



**HAL**  
open science

## L'habitat groupé laténien de Verdun-sur-le-Doubs : nouvelles données sur le second âge du Fer et le début de l'Antiquité dans le secteur de la confluence Saône-Doubs-Dheune. Rapport de fouille programmée 2022

Emmanuel Hamon, Matthieu Thivet, Valérie Taillandier, Rebecca Perruche,  
Luc Jacotey, Delphine Champeaux, Alessandro Peinetti, Mathilde Deblois,  
Pierre Dehan, Charlotte Dromard, et al.

### ► To cite this version:

Emmanuel Hamon, Matthieu Thivet, Valérie Taillandier, Rebecca Perruche, Luc Jacotey, et al.. L'habitat groupé laténien de Verdun-sur-le-Doubs : nouvelles données sur le second âge du Fer et le début de l'Antiquité dans le secteur de la confluence Saône-Doubs-Dheune. Rapport de fouille programmée 2022. Chrono-Environnement, UMR 6249. 2022, pp.260. hal-04041453

**HAL Id: hal-04041453**

**<https://hal.science/hal-04041453v1>**

Submitted on 22 Mar 2023

**HAL** is a multi-disciplinary open access archive for the deposit and dissemination of scientific research documents, whether they are published or not. The documents may come from teaching and research institutions in France or abroad, or from public or private research centers.

L'archive ouverte pluridisciplinaire **HAL**, est destinée au dépôt et à la diffusion de documents scientifiques de niveau recherche, publiés ou non, émanant des établissements d'enseignement et de recherche français ou étrangers, des laboratoires publics ou privés.



Distributed under a Creative Commons Attribution - NonCommercial 4.0 International License

# RAPPORT ARCHÉOLOGIQUE

Fouille programmée 2022  
dans le cadre du PCR  
« La confluence Saône / Doubs à l'âge du Fer »

## L'HABITAT GROUPÉ LATÉNIEN DE VERDUN-SUR-LE-DOUBS

dirigée par  
**Emmanuel HAMON** et  
**Matthieu THIVET**

avec les contributions de  
**V. TAILLANDIER, R. PERRUCHE,  
L. JACOTTEY, D. CHAMPEAUX,  
A. PEINETTI, M. DEBLOIS,  
P. DEHAN, C. DROMARD,  
E. GAUTHIER, L. LEGERON,  
A. ROGER, A. TATRE,  
J. BRENOT, C. SANCHEZ,  
F. BLONDEL, E. ESTUR,  
F. OLMER, C. LACHICHE**

L'HABITAT GROUPÉ LATÉNIEN DE VERDUN-SUR-LE-DOUBS

2022



### R É S U M É

La campagne 2022 a pris la forme de sondages exploratoires. Les trois fenêtres investies, aux lieux-dits Petit

Chauvort et En Semard, offrent des résultats essentiels à la compréhension des limites de l'habitat gaulois et à la perception des dynamiques d'occupation de la plaine alluviale sur la longue durée. La fenêtre principale (secteur 3) a permis l'exploration d'un ensemble d'enclos fossoyés imbriqués repérés au cours des prospections magnétiques extensives de 2021. Les éléments les plus marquants du secteur concernent une série d'aménagements vraisemblablement liés à la gestion de l'eau. Ils pourraient témoigner de l'existence d'un établissement rural. D'un point de vue chronologique, on distingue deux horizons principaux. Le premier est daté de LT C-D et le second de la fin du Ier, voire du début du IIe s. ap. notre ère. La découverte d'un cuvelage de puits, dont le TPQ à -170 fournit par dendrochronologie, interroge sur une possible occupation de la zone contemporaine des premiers temps de l'habitat groupé. Un autre sondage (secteur 4), d'une surface ne dépassant pas les 200 m<sup>2</sup>, était destinée à la reconnaissance du quartier sud de l'habitat groupé laténien. Il a permis la découverte d'une zone assez densément structurée, présentant deux états distincts. Le secteur est principalement marqué par un ensemble de tranchées profondes, dont le comblement est chargé en microcharbons de bois et en éléments de terre à bâtir carbonisés. Si la surface réduite du sondage ne permet pas pour l'heure d'assurer la reconstitution des édifices mis aux jours, l'aménagement pourrait révéler l'existence d'un type de construction jusqu'alors inconnu sur le site, ancré au moyen d'imposantes tranchées de fondation. D'un point de vue chronologique et malgré le fait que les études définitives des ensembles de mobilier soient encore en cours, les premiers résultats témoignent d'un faciès typochronologique classique d'une occupation datée entre LT C2 et LT D1b.





# **RAPPORT DE FOUILLE PROGRAMMÉE 2022**

DANS LE CADRE DU PCR «LA CONFLUENCE SAÔNE/DOUBS À L'ÂGE DU FER»

## **L'HABITAT GROUPÉ LATÉNIEN DE VERDUN- SUR-LE-DOUBS**

Nouvelles données sur le second âge du Fer et le  
début de l'Antiquité dans le secteur de  
la confluence Saône-Doubs-Dheune

**E. HAMON ET M. THIVET**

avec les contributions de

V. Taillandier, R. Perruche, L. Jacottey, D. Champeaux, Alessandro Peinetti, M. Deblois,  
P. Dehan, C. Dromard, E. Gauthier, L. Legeron, A. Roger, A. Tatre, J. Brenot, C. Sanchez, F. Blondel,  
E. Estur, F. Olmer, C. Lachiche

## **RAPPORT DE FOUILLE ARCHÉOLOGIQUE PROGRAMMÉE 2022**

dans le cadre du Projet Collectif de Recherche « La confluence Saône-Doubs à l'âge du Fer »

### **Coordination**

EMMANUEL HAMON, MATTHIEU THIVET

### **Référence bibliographique**

Hamon, Thivet 2022 : HAMON (E.) et THIVET (M.) (dir), avec les contributions de V. TAILLANDIER, R. PER-RUCHE, L. JACOTTEY, D. CHAMPEAUX, ALESSANDRO PEINETTI, M. DEBLOIS, P. DEHAN, C. DROMARD, E. GAUTHIER, L. LEGERON, A. ROGER, A. TATRE, J. BRENOT, C. SANCHEZ, F. BLONDEL, E. ESTUR, F. OLMER, C. LACHICHE. L'habitat groupé laténien de Verdun-sur-le-Doubs: nouvelles données sur le second âge du Fer et le début de l'Antiquité dans le secteur de la confluence Saône-Doubs-Dheune, Rapport de fouille programmée 2022, Besançon, UMR Chrono-Environnement, 1 vol.

Ce rapport est un document administratif destiné à rendre compte des actions réalisées au cours de l'année 2022 dans le cadre de l'opération de fouille archéologique programmée n°044044, intégré au Projet Collectif de Recherche consacré à la confluence Saône-Doubs à l'âge du Fer.

Sa diffusion est restreinte à l'administration de tutelle (SRA/DRAC de Bourgogne/Franche-Comté), aux institutions et collectivités territoriales qui soutiennent le projet et aux collaborateurs scientifiques.

L'accès aux informations contenues dans ce rapport par des personnes extérieures au PCR est soumis à la réglementation en vigueur (circulaire du 26 mars 1993).

Toute consultation, utilisation, reproduction, même partielle, de données ou documents scientifiques réalisés dans le cadre du PCR, par des personnes extérieures au projet, est soumise à autorisation spécifique des responsables du PCR.

### **Mise en page, maquette**

EMMANUEL HAMON ET ALEX VAUTHIER

### **PARTENAIRES**

MINISTÈRE DE LA CULTURE ET DE LA COMMUNICATION

DIRECTION RÉGIONALE DES AFFAIRES CULTURELLES BOURGOGNE-FRANCHE COMTÉ

UNIVERSITÉ BOURGOGNE-FRANCHE COMTÉ

RÉGION BOURGOGNE-FRANCHE COMTÉ

EVEHA

UMR 6249 CHRONO-ENVIRONNEMENT

UMR 5608 TRACES

INRAP

MSHE C-N. LEDOUX-BESANÇON

BIBRACTE

MAIRIE DE VERDUN-SUR-LE-DOUBS

MAIRIE DE BRAGNY-SUR-SAÔNE



# L'habitat groupé laténien de Verdun-sur-le-Doubs - Petit Chauvort, fouille programmée 2022 dans le cadre du PCR « La Confluence Saône/Doubs à l'âge du Fer »

## FICHE SYNTHÉTIQUE

|  |   |
|--|---|
| <i>Type d'opération</i>                          | Fouille programmée, autorisation pluriannuelle.   |
| <i>Interrégion :</i>                             | Est Région : Bourgogne – Franche-Comté (pôle SRA de Dijon)  |
| <i>Département :</i>                             | Saône et Loire (71)   |
| <i>Commune :</i>                                 | Verdun-sur-le-Doubs   |
| <i>Code de l'opération :</i>                     | 044044  |
| <i>Références cadastrales et propriétaires :</i> | parcelle AB 53, lieu-dit Petit Chauvort : propriétaire M. Maxime Violot, domicilié 7 Rue du Bourg, 71350 Ciel<br>parcelles 73 et 74, lieu-dit le Semard : propriétaire Emmanuel Bonin, domicilié 1 Rue du Tepenit, 71350 Verdun-sur-le-Doubs                                    |
| <i>Responsables scientifiques :</i>              | Matthieu Thivet, ingénieur de recherche, Université de Franche-Comté, UMR 6249 Chrono-environnement, UFR SLHS, 30-32 rue Mégevand, 25030 Besançon cedex<br>Emmanuel Hamon, ingénieur d'étude contractuel, MSHE N. Ledoux (UAR 3124), 1 Rue Charles Nodier, 25030 Besançon cedex |
| <i>Organisme scientifique support</i>            | UMR 6249 Chrono-environnement   |
| <i>Organisme gestionnaire</i>                    | Délégation Centre-est, Vandoeuvre-lès-Nancy   |
| <i>Financement :</i>                             | Ministère de la Culture, financement global PCR Confluence, 50 000 €<br>Région Bourgogne Franche-Comté, aide chantier patrimoniaux, 8 000 €   |
| <i>Autorisation de fouille :</i>                 | Annexe 1  |
| <i>Nature du gisement :</i>                      | Habitat groupé laténien (-300 / -100)   |
| <i>Durée de l'opération de terrain :</i>         | 4 semaines (17 jours, 340 j/h)  |

# GÉNÉRIQUE DE L'OPÉRATION

## EQUIPE DE TERRAIN

### Responsables de terrain

Matthieu THIVET, ingénieur de recherche à l'Université de Franche-Comté, UMR 6249 Chrono-environnement  
Emmanuel HAMON, ingénieur d'étude contractuel, UAR 3124 MSHE N. Ledoux

### Adjoints

Valérie PICHOT, ingénieur de recherche CNRS, UAR 3124 MSHE Ledoux  
Pierre DEHAN, master en archéologie, Université de Bourgogne

### Responsable des relevés géophysiques

Christelle SANCHEZ, topographe - géophysicienne, Eveha International

### Rédaction du rapport

Emmanuel HAMON et Matthieu THIVET

### Topographie

Emmanuel HAMON, Matthieu THIVET, Pierre DEHAN

### Équipe de fouille

Pierre BARRAL, Laura BECARD, Maxime DARD, Mathilde DEBLOIS, Vincent FRANCHINI, Etienne GAUTHIER, Margot GAUTRON, Clémentine GILLER, Morgane GUILLOT, Richard HANISCH, Apolline LAMBERT, Marie-Hermance MARTIN, Mathilde MASSON, Matthieu MULLER, Alice PONS, Savinien PY, Adrien ROGER, Claude SOUVIGNET, Lou-Ann STABILE, Alfred TATRE, Alice THIVET, Mathilde WARET

### DAO, coupes stratigraphiques et plans

Emmanuel HAMON, Matthieu THIVET

## SPÉCIALISTES ET COLLABORATEURS SCIENTIFIQUES

### Macro-restes

Alfred TATRE, masterant à l'Université de Franche-Comté

### Dendrochronologie

François BLONDEL, post-doctorant, Université de Genève, chercheur associé UMR 6249 Chrono-environnement

### Mobilier lithique

Luc JACCOTTEY, responsable d'opération, spécialiste, INRAP



### **Archéozoologie**

Caroline LACHICHE, docteure de l'Université de Bourgogne, archéozoologue, UMR 6298 ArTeHis  
Léo LEGERON, étudiant de licence à l'Université de Franche-Comté

### **Vaisselle céramique**

Emilien ESTUR, céramologue, INRAP  
Delphine CHAMPEAUX, céramologue, Eveha  
Charlotte DROMARD, masterante à l'Université de Franche-Comté

### **Amphores**

Mathilde DEBLOIS, masterante à l'Université de Franche-Comté  
Fabienne OLMER, chercheuse CNRS, UMR 7299 Centre Camille Jullian

### **Mobilier métallique et «petit mobilier»**

Rebecca PERRUCHE, docteure de l'Université de Franche-Comté, chercheuse associée UMR 6249 Chrono-Environnement

Valérie TAILLANDIER, docteure de l'université de Franche-Comté, chercheuse associée UMR 6249 Chrono-Environnement

Marion BERRANGER, ingénieure de recherche à Université de technologie de Belfort Montbéliard, UMR 7065, IRAMAT

Mathilde WARRET, masterante de l'Université de Bourgogne

Leana BERT, masterante de l'Université de Bourgogne

Adrien ROGER, mastérant de l'Université de Bourgogne

### **Numismatique**

Pierre DEHAN, master archéologie de l'Université de Bourgogne



**PRÉFET  
DE LA RÉGION  
BOURGOGNE-  
FRANCHE-COMTÉ**

*Liberté  
Égalité  
Fraternité*

**Direction régionale  
des affaires culturelles**

Arrêté n° 2022/385 du 17 JUIN 2022

portant autorisation de fouille programmée.

Le Préfet de région ;

Vu le code du patrimoine et notamment son livre V ;

Vu l'arrêté n° 21.68 BAG du 23 mars 2021 du Préfet de la région Bourgogne-Franche-Comté portant délégation de signature à Madame Aymée ROGE, Directrice régionale des affaires culturelles de Bourgogne-Franche-Comté ;

Vu l'arrêté du 4 mars 2022 portant subdélégation de signature de la Directrice régionale des affaires culturelles de Bourgogne-Franche-Comté ;

Vu le dossier, enregistré sous le n° PGR272022000080, de demande d'opération archéologique arrivé le 24 mars 2022 ;

**ARRÊTE**

**Article 1** - Monsieur Matthieu THIVET est autorisé, en qualité de responsable scientifique, à conduire une opération de fouille programmée à partir de la date de notification du présent arrêté jusqu'au 31 août 2022, sise en :

- RÉGION : BOURGOGNE-FRANCHE-COMTE
- DEPARTEMENT : SAONE-ET-LOIRE
- COMMUNE : VERDUN-SUR-LE-DOUBS
- Lieudit : Le Petit Chauvort
- Cadastre : Section : ZA, Parcelle : 73 / Section : AB, Parcelles : 52 à 56

Intitulé de l'opération : Verdun/Doubs - Fouille Thivet/Hamon.

Programme de recherche : Axe 5. Les âges des métaux.

Code de l'opération : **044044**

**Article 2 - prescriptions générales**

Les recherches sont effectuées sous la surveillance du conservateur régional de l'archéologie territorialement compétent et conformément aux prescriptions imposées pour assurer le bon déroulement scientifique de l'opération.

Le responsable scientifique de l'opération informe régulièrement le conservateur régional de l'archéologie de ses travaux et découvertes. Il lui signale immédiatement toute découverte importante de caractère mobilier ou immobilier. Il revient au préfet de région de statuer sur les mesures définitives à prendre à l'égard des découvertes.

.../...



À la fin de l'année civile, le responsable scientifique de l'opération adresse au conservateur régional de l'archéologie, en triple exemplaire papier plus un exemplaire au format pdf, un rapport accompagné des plans et coupes précis des structures découvertes et des photographies nécessaires à la compréhension du texte. L'inventaire de l'ensemble du mobilier recueilli est annexé au rapport d'opération. Il signale les objets d'importance notable. Il indique les études complémentaires envisagées et, le cas échéant, le délai prévu pour la publication.

**Article 3 - destination du matériel archéologique découvert**

Le responsable prend les dispositions nécessaires à la sécurité des objets mobiliers. Le mobilier archéologique est mis en état pour étude, classé, marqué et inventorié. Son conditionnement est adapté par type de matériaux et organisé en fonction des unités d'enregistrement. Le statut juridique et le lieu de dépôt du matériel archéologique découvert au cours de l'opération sont fixés conformément aux dispositions légales et réglementaires et aux termes des conventions passées avec les propriétaires des terrains concernés.

**Article 4 - versement des archives de fouilles**

L'intégralité des archives accompagnée d'une notice explicitant son mode de classement et de conditionnement et fournissant la liste des codes utilisés avec leur signification, fait l'objet de la part du responsable de l'opération d'un versement unique. Ce versement est détaillé sur un bordereau récapitulatif établi par le responsable de l'opération, dont le visa par le préfet de région vaut acceptation et décharge. Le lieu de conservation est désigné par le préfet de région.


**Article 5 - prescriptions particulières**

La commission territoriale de la recherche archéologique, lors de sa séance des 3, 4, 5 et 6 mai 2022 a validé la modification du programme de fouille pour 2022, à savoir l'abandon du secteur initial au profit de l'ouverture d'un grand transect au nord et de deux tranchées perpendiculaires au sud.

**Article 6** - La Directrice régionale des affaires culturelles est chargée de l'exécution du présent arrêté, qui sera notifié à Monsieur Matthieu THIVET.

Fait à Dijon, le 17 JUIN 2022

Pour le Préfet de la région Bourgogne-Franche-Comté,  
et par délégation,  
Pour la Directrice régionale des  
affaires culturelles, et par subdélégation,  
La Conservatrice régionale adjointe de l'archéologie



Dominique BONNISSENT

**MINISTÈRE DE LA CULTURE**  
**PRÉFECTURE DE LA RÉGION BOURGOGNE-FRANCHE-COMTÉ**  
**DIRECTION RÉGIONALE DES AFFAIRES CULTURELLES DE**  
**BOURGOGNE-FRANCHE-COMTÉ**

**SERVICE RÉGIONAL  
DE L'ARCHÉOLOGIE**

Dijon, le 18 août 2022

**COMMISSION TERRITORIALE  
DE LA RECHERCHE ARCHÉOLOGIQUE**  
Interrégion Est de la France  
(Grand Est et Bourgogne - Franche-Comté)

**PROCÈS-VERBAL DE LA SÉANCE DES  
3, 4, 5 et 6 mai 2022**  
**DRAC Bourgogne Franche-Comté - DIJON**

**Approuvé le 29 juin 2022**

**Saône-et-Loire / VERDUN-SUR-LE-DOUBS - « Le Petit Chauvort » – Fouille programmée 2020-2022**

Axe 5

Responsable : Matthieu THIVET et Emmanuel HAMON (Univ. Franche-Comté, UMR 6249 Chrono-environnement)

*Rapporteur : Jean-Marie LARUAZ*

Le rapport concernant l'opération de fouille menée en 2021 à Verdun-sur-le-Doubs est coordonné par Matthieu Thivet et rédigé en collaboration avec E. Hamon. Cette intervention s'inscrit dans le cadre du PCR « La confluence du Saône-Doubs à l'âge du Fer », dirigé par Emilie Dubreucq (Eveha) et Matthieu Thivet. Il s'agit de la deuxième année d'une autorisation triennale, faisant suite à une année probatoire en 2019. Le rapport compte 253 pages qui présentent de manière claire et détaillée les résultats de cette opération.

Pour rappel, le projet vise à documenter le rythme et les modalités de la mise en place d'un pôle aggloméré à l'âge du Fer, au niveau de la confluence. Le chantier de Verdun-sur-le-Doubs « Le Petit Chauvort », se trouve en vis à vis de celui de Bragny-sur-Saône, qui livre des vestiges antérieurs et complémentaires. Le site du « Petit Chauvort », occupé entre la Tène C et D1b, a été découvert dans les années 1970 (A. Guillot) et a fait l'objet de fouilles programmées entre 1966 et 1999 (P. Barral). L'opération réalisée en 2021 s'est déroulée à l'ouest de l'emprise fouillée en 2019, qui mesurait 450 m<sup>2</sup>. Pour rappel, la campagne 2020 n'a pu avoir lieu en raison du contexte sanitaire lié à la pandémie de Covid19. En 2021, la campagne a été marquée par de violents orages et des intempéries, qui ont contrarié le programme de l'équipe.

La fenêtre ouverte cette année couvre 682 m<sup>2</sup>. Son emplacement a été déterminé grâce aux travaux précédents, mais aussi en fonction des résultats d'une importante campagne de prospections géophysiques, menée en parallèle, dans le cadre du PCR. 117 structures ont été mises au jour, qui confirment la densité attendue d'après les magnétogrammes et la fouille voisine. Ces creusements percent un niveau qui a livré du mobilier ancien (âge du Bronze final : tessons et fragment de poignard). La qualification précise de cette nappe de mobilier reste suspendue à des observations complémentaires qui devraient avoir lieu en 2022. Les vestiges du deuxième âge du Fer présentent peu de recoupements, mais le mobilier permet d'envisager que toute la séquence jusque-là reconnue est représentée. La fonction primaire de plusieurs creusements reste indéterminée. Leur comblement a livré de grandes quantités de mobiliers, dont quelques éléments permettent d'affiner la nature de l'occupation. On notera que la description des vestiges est réalisée avec soin, et qu'elle est accompagnée d'une documentation graphique de qualité. Parmi les structures reconnues, on observe la présence de plusieurs bâtiments semi excavés (7), couvrant entre 4 et 8 m<sup>2</sup>, ainsi que de silos (7 également). L'identification de certains de ces indices devrait peut-être faire



l'objet de plus de réserves, compte tenu de leur forme assez équivoque. On constate également la présence de plusieurs alignements qui permettent de restituer partiellement une trame d'organisation. En outre, les silos présentent un effet de concentration assez manifeste au centre de l'emprise (2019-2021). Quelques trous de poteau isolés ont été identifiés dans la nouvelle fenêtre. Seulement quatre d'entre eux permettent de restituer le plan d'une petite construction quadrangulaire. L'état de conservation de cette dernière, jugé satisfaisant, interroge à juste titre les auteurs sur la taphonomie générale du site, et sur la relative absence d'éléments similaires dans les autres fenêtres. Le terme de « fosse dépotoir » employé pour caractériser les autres creusements, dont la fonction n'est pas déterminée, devrait être évité.

Le rapport dresse un état des lieux méticuleux de l'avancement des études spécialisées. On apprécie le soin accordé à cet aspect, qui est un enjeu important du projet, compte tenu des quantités importantes de mobilier mises au jour. Parmi les études naturalistes, on note que les tests palynologique se sont révélés négatifs, mais que 12 prélèvements ont fourni des restes carpologiques (L. Chabert). Les restes de faune, qui constituent un ensemble considérable (163 kg en 2019, 510 kg en 2021) ont été intégralement lavés et pré-inventoriés. La présence de restes humains a été mise en évidence grâce à la découverte d'une mandibule. A n'en point douter, d'autres restes pourront être identifiés après un examen exhaustif des restes de faune. On attire cependant l'attention sur le fait que la présence de restes humains est loin d'être l'apanage des sanctuaires ou des établissements ruraux. La plupart des agglomérations de l'âge du Fer dont le contexte permet la conservation des restes osseux, et qui ont fait l'objet d'études ad hoc en ont livré (Bâle, Levroux par exemple). On peut souligner l'important travail réalisé par A. Estur au sujet de la céramique. La campagne 2021 a en effet livré plus de 18 000 tessons, dont une partie significative a été étudiée pour l'occasion (près de 400 formes dessinées). L'étude contribue largement à définir le cadre chronologique de l'occupation, depuis LT C2 (peu d'importations, mais présence de céramique peinte à décor géométrique) jusqu'à La Tène D1b. La production de vases de type Besançon est suspectée en raison de l'abondance et de la standardisation des exemplaires mis au jour. La présence de plaques de micaschiste sur la fouille constitue un argument supplémentaire (L. Jaccotey, 57 fragments). Les amphores (1883 restes pour 194 NMI) font l'objet d'une étude à part dans le cadre d'un Master (M. Deblois). Signalons que d'autres travaux universitaires ont été engagés pour avancer le travail de recherche, notamment au sujet des monnaies (P. Dehan), et des fibules (E. Segura). L'instrumentum comprend cette année 364 restes (all. Cui, Fer, plomb, MDA). Il est étudié par R. Perruche et V. Taillandier. Les premières déterminations font valoir la présence de trois currency bars, de poinçons en os, peut-être liés au travail du cuir ? Est présent également un lot de clous en alliage cuivreux, qui ne semble trouver de comparaisons que dans les corpus liés à la batellerie méditerranéenne. Ces différents objets constituent donc des pistes intéressantes pour appréhender les activités menées sur place. A cela s'ajoute un lot important, mais très fragmenté, de matériel de mouture, qui comprend au moins 13 meules rotatives et une à va et vient, issues de 7 faciès de roche, démontrant ainsi un approvisionnement très large.

Pour l'année 2022, dernière année de la campagne triennale, l'équipe prévoit de modifier le projet initialement présenté. D'une part, des difficultés d'accès aux parcelles limitent la possibilité d'extension de la fouille. D'autre part, l'équipe fait valoir la nécessité de réduire les ouvertures, afin de disposer des moyens et du temps nécessaires pour traiter tout le mobilier correctement. Enfin, le nouveau projet proposé tient compte des résultats géomorphologiques et géophysiques de l'année. Ces arguments sont tout à fait recevables : la fouille a démontré le besoin de caractériser davantage le site naturel et les processus sédimentaires à l'œuvre dans le secteur. La découverte d'un établissement fossoyé au sud de l'agglomération, dans le cadre des prospections géophysiques, ajoute par ailleurs de nouvelles problématiques au projet. L'équipe propose donc d'orienter la fouille de l'année prochaine vers des sondages qui permettront de documenter ces différents aspects. Les raisons avancées par l'équipe sont tout à fait compréhensibles, et la réorientation proposée est opportune. Toutefois, la stratégie envisagée apparaît contradictoire avec les ambitions annoncées, car le cumul des ouvertures prévues dépasse en superficie l'aire ouverte cette année. Le transect géomorphologique prévu au nord (100 m x 3 m) adossé à une fenêtre de 200 m<sup>2</sup> sur le point haut, pourrait livrer des indices qui nécessiteront un traitement adapté, et les ouvertures en croix au niveau de l'enclos du « Semard » (2 m x 50 m x 3 m) seront certainement très positives. On préconisera donc de limiter le transect à une largeur plus réduite, avec des élargissements ponctuels, et de limiter significativement les ouvertures au niveau de l'enceinte. Ces adaptations devraient permettre d'acquérir les informations suffisantes pour répondre aux questions soulevées et mettre en place un projet adapté dans le cadre d'une future triennale.

Après avis du conservateur régional de l'archéologie et discussion générale, la commission adopte l'avis suivant :

Avis de la commission :

La commission a examiné le bon rapport intermédiaire 2021 de la fouille programmée 2020-2022 conduite sur le site « Le Petit Chauvort » à Verdun-sur-le-Doubs (Saône-et-Loire) présenté par Matthieu Thivet et Emmanuel Hamon.

Elle émet un avis favorable à la modification du programme de fouille pour 2022 : abandon du secteur initial au profit de l'ouverture d'un grand transect au nord et de deux tranchées perpendiculaires au sud. Elle préconise toutefois d'en réduire significativement les emprises prévues afin que puissent être traités les résultats dans l'année.

## SOMMAIRE

|   |           |
|---|-----------|
| FICHE SYNTHÉTIQUE   | 3         |
| GÉNÉRIQUE DE L'OPÉRATION  | 4         |
| <b>1. PRÉSENTATION DE L'OPÉRATION</b>   | <b>13</b> |
| 1.1. CADRE, OBJECTIFS ET OPTIONS DE PRÉSENTATION  | 14        |
| 1.2. CONDITIONS D'INTERVENTIONS   | 18        |
| 1.3. ÉQUIPEMENT MIS EN ŒUVRE ET MÉTHODOLOGIE  | 20        |
| <b>2. PRÉSENTATION DES STRUCTURES</b>   | <b>23</b> |
| 2.1. LE SECTEUR 2   | 24        |
| 2.2. SECTEUR 3 : UN PROBABLE ÉTABLISSEMENT RURAL EN PÉRIPHÉRIE DE L'AGGLOMÉRATION.  | 28        |
| 2.3. SECTEUR 4 : EXPLORATION DU QUARTIER MÉRIDIONAL DE L'AGGLOMÉRATION LATÉNIENNE   | 48        |
| <b>3. ÉTUDES SPÉCIALISÉES</b>   | <b>66</b> |
| 3.1. LE MOBILIER CÉRAMIQUE DES SECTEURS 2 ET 3 (D. CHAMPEAUX)   | 67        |
| 3.2. LE MOBILIER CÉRAMIQUE DU SECTEUR 4 (E. ESTUR, C. DROMARD)  | 82        |
| 3.3. LES AMPHORES (M. DEBLOIS, F. OLMER)  | 87        |
| 3.4. LE MOBILIER MÉTALLIQUE ET L'INSTRUMENTUM (R. PERRUCHE avec la contribution de V. TAILLANDIER et la collaboration de L. BERT, A. ROGER ET M. WARET) | 92        |
| 3.5. LE MOBILIER SCORIFIÉ (A. ROGER)  | 108       |
| 3.6. LE MOBILIER NUMISMATIQUE (P. DEHAN)  | 110       |
| 3.7. LA PARRURE EN VERRE (E. HAMON, M. THIVET)  | 115       |
| 3.8. LES MACRO-RESTES VÉGÉTAUX ET ANIMAUX (A. TATRE)  | 117       |
| 3.9. LES RESTES OSSEUX ANIMAUX (C. LACHICHE, L. LEGERON)  | 119       |
| 3.10. LE MACRO-OUTILLAGE LITHIQUE (L. JACOTTEY)   | 122       |
| 3.11. LES TERRES-CUITES ARCHITECTURALES (É. GAUTHIER)   | 125       |

4. CONCLUSION ET PROGRAMMATION 2023-2025 133

TABLE DES ILLUSTRATIONS 138

5. ANNEXES 143

**1.**

**PRÉSENTATION DE  
L'OPÉRATION**





Fig.1 Localisation de la commune de Verdun-sur-le-Doubs (données IGN)

## 1.1. CADRE, OBJECTIFS ET OPTIONS DE PRÉSENTATION

### 1.1.1. CADRE GÉNÉRAL

Les recherches consacrées depuis 2019 à l'habitat du second Âge du Fer du Petit Chauvort s'intègrent dans un projet de recherche collectif pluriannuel coordonné par Matthieu Thivet (IGR Université de Franche-Comté, UMR Chrono-environnement) et Émilie Dubreucq (EVEHA, chercheure associée, UMR TRACES, Université de Toulouse Jean Jaurès). Intitulé « Confluence Saône-Doubs à l'âge du Fer », ce programme vise à la compréhension des dynamiques de peuplement et des mécanismes d'organisation territoriale dans la longue durée (de la fin de l'âge du Bronze au début de l'Antiquité), dans un secteur clé : à la rencontre de deux cours d'eau navigables. Il s'appuie sur deux sites emblématiques, distants de seulement 1 km, présentant chacun des indices

d'habitats agglomérés à spécialisation artisanale et commerciale : Bragny-sur-Saône « Sous Moussière » et Verdun-sur-le-Doubs « Petit Chauvort ». Conformément à la réglementation en vigueur, les opérations inscrites dans le programme de recherche collectif pluriannuel ont chacune fait l'objet d'une autorisation annuelle d'opération archéologique accordée par le préfet de Bourgogne Franche-Comté. Les résultats du PCR confluence font par ailleurs l'objet d'un rapport de synthèse (M. Thivet, E. Dubreucq (dir.)) présentant l'état d'avancement des réflexions collectives suites aux travaux conduits sur la zone confluence sur la période 2019-2022. Nous nous attacherons ici à rendre compte uniquement des actions réalisées au cours de l'année 2022 dans le cadre de l'opération de fouille programmée menée sur la commune de Verdun-sur-le-Doubs (n° opération 044044).

### 1.1.2.

### 1.1.3. SITUATION GÉOGRAPHIQUE

L'habitat laténien du Petit Chauvort est situé au nord-est du département de la Saône-et-Loire, à peu près à équidistance de Beaune et de Chalon-sur-Saône (Fig.1). Il prend place à l'intérieur d'un large méandre de la Saône, à environ 1,2 km en aval de sa rencontre avec le Doubs et à hauteur de sa jonction avec la Dheune (Fig.2). Le cœur du site surplombe, à seulement 200 m de la rive actuelle, une légère éminence oblongue qui s'apparente à un cordon littoral. À l'exception des quelques habitations du hameau médiéval et moderne du Petit Chauvort qui s'organisent le long d'une unique rue parallèle au tracé de la Saône, le secteur est principalement occupé par des terrains agricoles. La morphologie générale de cette partie de la plaine alluviale a connu des modifications majeures à l'époque moderne. Le secteur dit du Petit

Chauvort, dont les parcelles concentrent la majorité des vestiges connus, est aujourd'hui marquée de manière significative par la présence trois digues artificielles formant un triangle qui le protègent des débordements de la Saône. Au sud, la route départementale D970 constitue la limite septentrionale des lieux-dits Le Semard et La Carotte.

### 1.1.4. TRAVAUX ANTÉRIEURS

Les premiers vestiges protohistoriques du Petit Chauvort ont été découverts de manière fortuite en 1969, lors du creusement de tranchées destinées aux fondations d'un pavillon d'habitation. Le site a fait l'objet de recherches de 1970 à 1974 par A. Guillot (Fig.3) puis de 1996 à 1999 par Ph. Barral (Fig.4), qui ont notamment permis de reconnaître le caractère aggloméré et la spécialisation

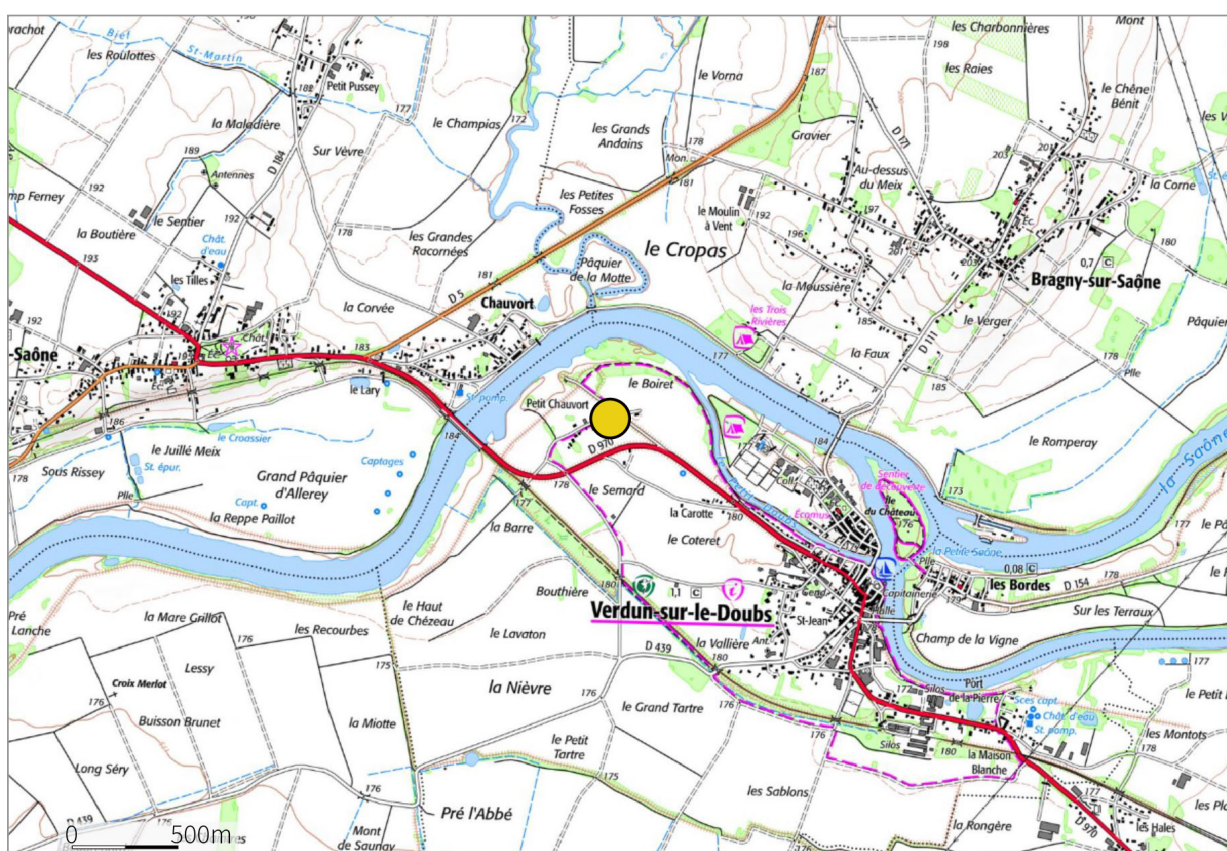


Fig.2 Localisation du site du « Petit-Chauvort » sur le fond de carte topographique IGN 1/25000e (© IGN Geoportail).

artisanale et commerciale de l'habitat gaulois. Elles livrent des ensembles mobiliers dont la qualité et la diversité offrent un remarquable témoignage de l'évolution de la culture matérielle de la fin de l'âge du Fer dans le châlonnais-verdunois. L'étude des ensembles mobiliers permettent de dresser la chronologie fine du site, dans laquelle trois à quatre horizons peuvent être distingués, entre LT C1/2 et l'extrême fin de LT D1. La présence de productions locales et de mobilier d'importations témoigne du double rôle artisanal et commercial de l'agglomération. L'intérêt de ces données dépasse clairement le cadre régional puisque les résultats apportés par les travaux de Ph. Barral ont permis d'approfondir nos connaissances des mécanismes territoriaux et économiques de la fin de l'âge du Fer dans l'est de la Gaule («Barral 1999», «Barral, Videau 2012»).



Fig.3 Photographie de la campagne de fouilles 1971, dirigée par A. Guillot.



Fig.4 Photographie de la campagne de fouilles 1998, dirigée par Ph. Barral.

#### 1.1.5. OBJECTIFS DE LA CAMPAGNE 2022

La reprise des interventions sur le Verdunois s'inscrit dans une démarche multiproxy dite « intégrée », dont l'une des principales composantes consiste dans la mise en œuvre systématique, en amont des fouilles, de prospections géophysiques à large échelle. Les deux premières campagnes de fouilles, en 2019 et 2021 avaient permis l'exploration d'un secteur d'environ 1150 m<sup>2</sup> présentant le double intérêt d'avoir livré des anomalies magnétiques et d'être accolée à un sondage de 1996, permettant d'assurer la continuité stratigraphique et planimétrique des enregistrements. Le projet initialement envisagé pour la campagne 2022 visait à poursuivre la reconnaissance extensive du secteur précédemment investi afin d'obtenir une fenêtre d'observation continue la plus étendue possible et de permettre les réflexions sur l'organisation interne du site à l'échelle d'un quartier. Devant l'inquiétude du propriétaire des parcelles à voir ces terrains sondés de manière extensive et compte tenu de l'émergence de nouvelles problématiques scientifiques, la programmation a été révisée. Conformément au projet formulé dans le précédent rapport et avec l'accord de la commission territoriale de la recherche archéologique, le secteur initial a été abandonné au profit sondages (Fig.5), visant à répondre à un double objectif. Il s'agissait en premiers lieux de mieux cerner les dynamiques paléohydrographiques de la plaine alluviale au moyen de relevés géomorphologiques et d'autre part de poursuivre l'exploration archéologique de la plaine alluviale à travers l'appréhension de secteurs inédits ou connus par les seules prospections géophysiques. Bien que les relevés des séquences stratigraphiques aient été réalisés dans le cadre de l'autorisation d'opération archéologique, les résultats des études géomorphologiques sont présentés de manière détaillée au sein du volume de synthèse du PCR.



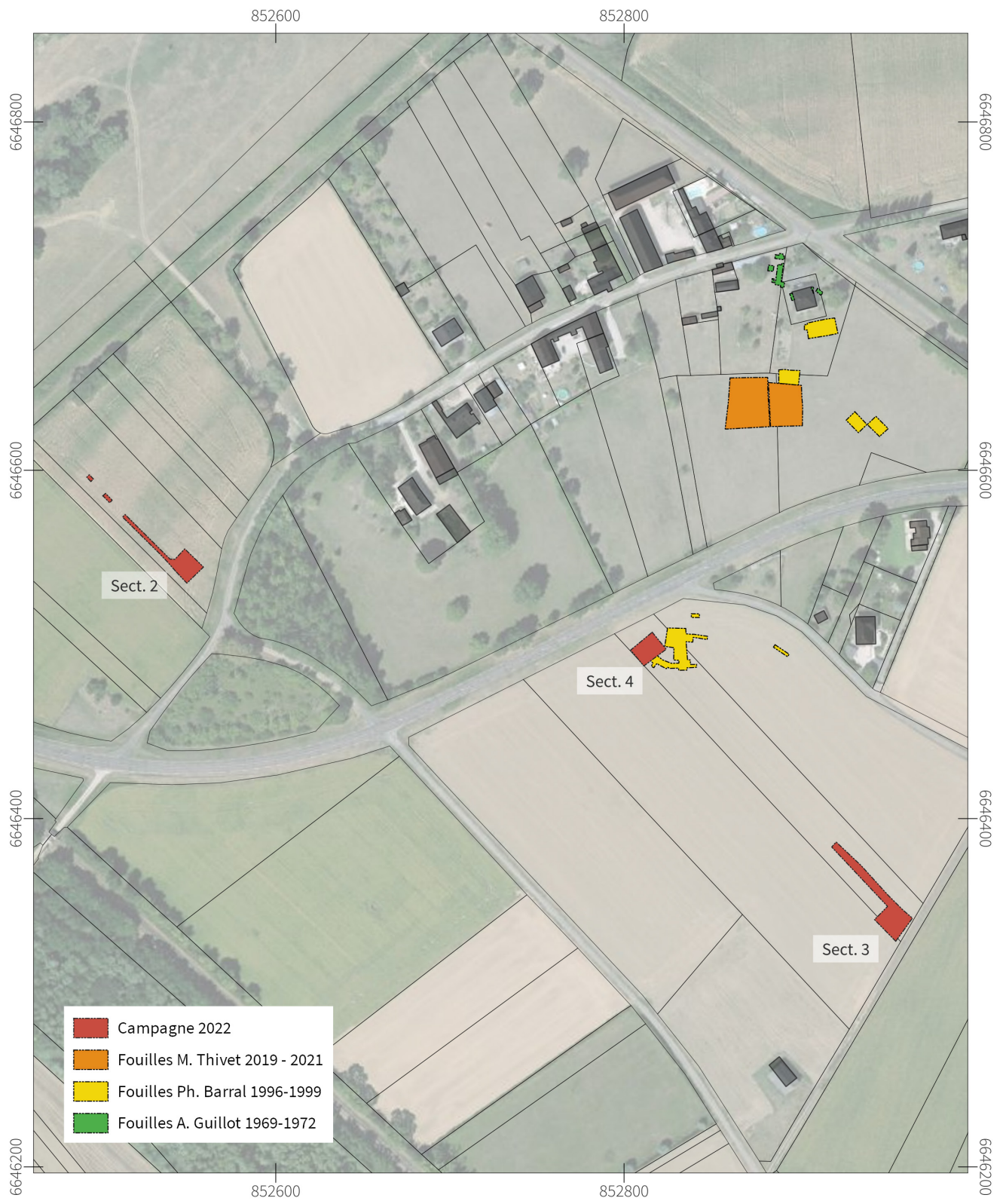


Fig.5 – Localisation des secteurs fouillés depuis 1969 (CAO E. Hamon).

## 1.2. CONDITIONS D'INTERVENTIONS

La campagne, d'une durée de quatre semaines, s'est déroulée du 19 juillet au 11 août, avec un effectif variable d'environ 20 personnes en moyenne. En plus des encadrants, l'équipe était composée d'étudiants des Universités de Franche-Comté, Bourgogne, Lyon 2 et Strasbourg.

L'intervention a pris place sur les parcelles agricoles AB 53 et ZA 73-74, appartenant respectivement à M. Maxime Violot et M. Emmanuel Bonin. Nous tenons ici à exprimer leur exprimer notre gratitude, ainsi qu'à Aurore Paillard, exploitante des parcelles situées au lieu-dit Le Semard, pour leur accueil et leur soutien sans faille. Nos remerciements vont également à Mr et Mme Dupuis et Mr et Mme Boulenger, voisins des parcelles investies, pour leur continuelle bienveillance. Notre intervention n'aurait pas pu avoir lieu sans le soutien de la Mairie de Verdun, que nous tenons à remercier pour la mise à disposition d'une salle multisports ainsi que d'un emplacement permettant d'accueillir l'ensemble des tentes de l'équipe de fouille au camping municipal de Verdun.

Aux antipodes des conditions météorologiques à très forte pluviométrie qui avaient marqué la campagne 2021, la campagne 2022 a été frappée par une vague de

chaleur particulièrement remarquable par son intensité et sa durée, au cours de laquelle les valeurs se sont plusieurs fois situées autour de 40 °C (Fig.7). On notera également déficit pluviométrique important, représentant environ 30-40 % des précipitations moyennes mensuelles du secteur pour le mois de juillet. La combinaison des températures caniculaires et l'absence de précipitations ont entraîné cet été un triste record historique de la plus grande sécheresse des sols superficiels jamais enregistré, entre juillet et mi-août. Ces conditions difficiles, en plus d'imposer des horaires de chantiers aménagés (6h - 13h), ont passablement compliqué la lecture du terrain (Fig.6). L'ensemble du sédiment, qui a séché immédiatement après le décapage jusqu'à plusieurs dizaines de centimètres de profondeur, est devenu très compact



Fig.6 Photographies des sondages 4 (en haut et à gauche) et 3 (en bas à droite) en cours de fouille (E. Hamon et M. Thivet)



et poussiéreux. La sécheresse des sédiments a eu pour conséquence d'entraîner la formation de crevasses, la disparition des contrastes et l'effacement rapide des limites de structures. De plus, les fortes luminosités et les

ombres portées quasi systématiques ont réduit significativement la qualité des enregistrements photographiques sur le chantier.

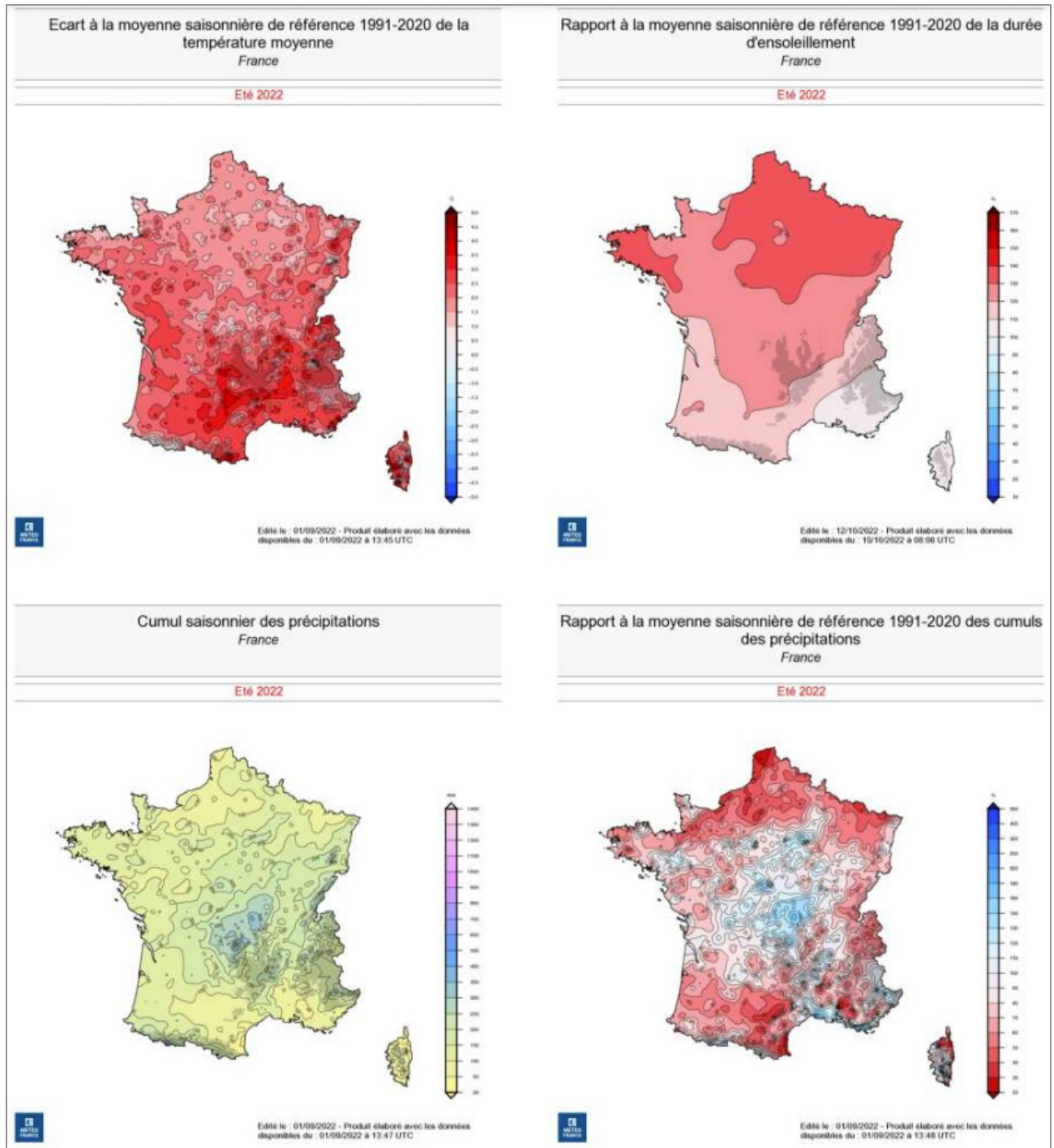


Fig.7 Rapport météorologique alarmant de l'été 2022 (© Météo-France).

### 1.3. ÉQUIPEMENT MIS EN ŒUVRE ET MÉTHODOLOGIE

#### 1.3.1. MÉTHODOLOGIE GÉNÉRALE

Conformément au projet formulé en 2021, la campagne 2022 avait pour objectif de reconnaître des secteurs inédits ou peu connus du méandre accueillant l'agglomération laténienne du Petit Chauvort, sous forme de sondages. Trois secteurs ont été investis. La dénomination des sondages a été effectuée de manière séquentielle, de 2 à 4, où 1 correspond à la zone préalablement explorée en 2019 et 2021.

Le décapage mécanique a été conduit les 19 et 20 juillet à l'aide d'une pelle mécanique de 20 tonnes équipée d'un godet lisse de 2 m. Ils ont nécessité la présence systématique, en plus du conducteur d'engins, d'un minimum de trois personnes. Après enlèvement des 10-15 cm de terre végétale, le décapage s'est poursuivi par fines passes de 5 à 10 cm, jusqu'au niveau d'apparition des premières concentrations de mobilier ou des premiers contrastes sédimentaires. Sauf exception (mentionnés ci-dessous), la totalité des structures mises au jour a ensuite été fouillée de manière manuelle.

L'usage du détecteur à métaux a été systématique depuis le décapage jusqu'au rebouchage du chantier, afin de tendre vers un ramassage le plus exhaustif possible du « petit mobilier métallique » et de se prémunir autant que possible des risques de pillage nocturne. Le protocole retenu consiste à ne ramasser que les objets rencontrés à une profondeur inférieure à 5 cm. Les signaux correspondant à des objets situés sous cette limite ont fait l'objet d'un marquage de surface en attendant que la fouille atteigne les niveaux concernés. La position d'une proportion significative du mobilier métallique a ainsi été dévoilée avant d'être exhumée.

L'ensemble des données de géolocalisations ont été réalisées à l'aide d'un capteur GNSS Stonex 850A capable de calculer sa position d'après plusieurs constellations satellitaires (GPS, GLONASS, GALILEO, IRNSS, etc.). Ce système de mesures « cinématique temps réel » (« Real Time Kinematic » ou RTK en anglais) permet par ailleurs, grâce à des données de corrections reçues d'une ou plusieurs stations de référence, d'obtenir des mesures à une précision infra-centimétrique. Cette solution légère présente l'avantage d'être extrêmement simple à prendre en main et ne nécessite pas de mise en station. Le milieu très dégagé des plaines de la Saône a permis de conserver une précision moyenne de 6 mm en moyenne en horizontal et de 1 cm en vertical pour chacune des mesures effectuées. L'appareil est contrôlé sur tablette durcie au moyen d'un logiciel de type SIG permettant la visualisation en plan des données mesurées et la complétion en direct des tables attributaires. Au total, elle aura permis le relevé de plus de 400 points (**annexe 5 – inventaire des points topographiques**).

Des points de références ont été implantés aux abords immédiats des sondages afin de permettre les mesures d'altitudes à la lunette de chantier et d'autoriser le calcul et le géoréférencement des photogrammétries d'ensemble. Après un nettoyage général post-décapage, un relevé photogrammétrique d'ensemble a été réalisé à l'aide d'un drone sur chacun des secteurs. Les plans tirés de ces relevés ont servi de référentiel tout au long de l'opération.

Deux relevés photogrammétriques d'ensemble ont été réalisés pour chaque secteur au cours de l'opération : après décapage et avant rebouchage. Ils ont été effectués de manière aéroportée à l'aide d'un drone « DJI Phantom 4 pro » (équipé d'un capteur CMOS de 20 M pixel pour une résolution d'image de 5472 x 3648 px). Les vols ont été réalisés par Matthieu Thivet, télépilote agréée CNRS, dans le cadre de vols déclarés de scénario

---

1 (vol à vue, hors zone habitée, à moins de 100 m de distance verticale du pilote). Plusieurs photogrammétriques de détails ont été réalisées à l'aide d'une perche photographique Picpole, autorisant des prises de vue jusqu'à 4 m de hauteur.

L'enregistrement des données de terrain s'est fait suivant la nomenclature en usage au Centre de Recherche Européen de Bibracte. Chaque couche a reçu un numéro d'UF (Unité de Fouille) unique. Les structures fossoyées disposent d'un numéro de creusement (UF négative) et d'autant de numéros de comblements que de couches observées à la fouille (UF positive). Pour des raisons évidentes d'intelligibilité et en l'absence de numéros de faits archéologiques, les structures seront identifiées par leurs numéros de creusement, qui font office d'UF dite « englobantes ». Afin de se prémunir autant que possible des erreurs de nommage, les UF ont fait l'objet d'une numérotation continue indépendante sur chacun des sondages. La numérotation des UF du secteur 2 a commencé à 2000, celle du secteur 3 à 3000, du secteur 4 à 4000. Au total, 176 UF ont été créés cette année. Certains numéros ont été annulés en cours d'opération (**annexe 2 – inventaire des UF**). La documentation de terrain rassemble également 134 groupes de photographies traditionnelles (**annexe 3 - inventaire des photographies**), réalisées à l'aide d'appareils photo Canon EOS6D Mark II de 26 Mpixels. La documentation graphique a également fait l'objet de 65 minutes de relevés (**annexe 4 - inventaire des minutes de relevés**), principalement des coupes, réalisées par l'équipe de fouille et vérifiées par les encadrants. À l'instar des numéros d'UF, les minutes de relevés ont fait l'objet d'une numérotation continue par secteur.

L'enregistrement du mobilier a été classiquement réalisé par UF. Sur le terrain et dans l'attente des inventaires spécialisés définitifs (réalisés selon la norme définie par le SRA), les objets individualisés (ISO) sont

numérotés de façon séquentielle à l'intérieur de l'UF, quelle que soit la catégorie de mobilier. Les numéros d'ISO respectent la séquence d'enregistrement temporaire suivante : code du chantier - année - n° UF - n° d'ordre (exemple : vsld-22-3000-1). Seuls les objets présentant un intérêt (typochronologique ou fonctionnel) particulier ont été isolés. Chacun d'entre eux a été précisément géolocalisé sur la fouille afin de permettre l'examen de leur répartition spatiale.

### 1.3.2. LA PROSPECTION GÉOPHYSIQUE EN COURS DE FOUILLE

Parallèlement aux prospections magnétiques extensives mises en place en amont des fouilles de manière systématique depuis 2019, les travaux d'excavation ont pu bénéficier de l'appui des méthodes de relevés géophysiques en cours de fouille. À l'instar de la campagne 2019, qui avait permis d'établir une preuve de concept témoignant de l'intérêt de cette méthode, les secteurs investis lors de la campagne 2022 ont fait l'objet de mesures de susceptibilité magnétiques post-décapage. Elle permet de mesurer les propriétés magnétiques des sols au travers la teneur et la composition des oxydes et hydroxydes de fer présents dans les sédiments. Ces modifications se traduisent par des changements dans les propriétés magnétiques des sols (**Le Borgne, 1955 ; Mullins, 1974 ; Marmet, 2000**) et concernent par exemple la chauffe du sol (incendie de bâtiment, zone foyère, essartage), le taux de matière organique et bien évidemment les activités liées au travail du fer (présence de microdéchet) (**Le Borgne 1965**). Ainsi, l'usage de la prospection géophysique en cours de fouille est une démarche rare et souvent ponctuelle, généralement réservée à l'étude de zones d'atelier métallurgiques (**Hulin 2014**). Néanmoins, les variations de granulométrie des sédiments, dues à des conditions de dépôt différenciées, peuvent aussi avoir un impact sur le signal magnétique. Ce type d'approche peut donc apporter une aide précieuse à la localisation de structures discrètes, peu visibles à l'œil nu.



L'intérêt est de s'affranchir de la plupart des pollutions modernes présentes dans les couches végétalisées et des niveaux recouvrant les structures archéologiques. Compte tenu de la sécheresse des sols superficiels et de la faible lisibilité des sédiments rencontrés au cours de la campagne 2022, elle s'est avérée décisive à la prise de décision dans le choix des stratégies de fouille.

L'ensemble des relevés de susceptibilité magnétiques ont été réalisés à l'aide d'une sonde MS2D de chez Bartington, offrant une profondeur d'investigation d'environ 15 cm (Benech 2000). Après un passage systématique au détecteur de métaux permettant de localiser et/ou prélever les objets susceptibles de créer des mesures aberrantes et biaiser les relevés planimétriques, la zone investiguée est quadrillée. Un maillage de reconnaissance est alors décidé en fonction des surfaces à couvrir et des questionnements archéologiques sous-jacents. Dans un but méthodologique, plusieurs mailles, c'est-à-dire l'espacement entre deux mesures, ont été testées sur les différents secteurs investis au cours de la campagne 2022 : 2 m, 0,5 m et 0,2 m. Chaque point de mesure utilisé pour

la cartographie résulte de la médiane de cinq valeurs prise au même endroit afin de s'affranchir d'éventuelle mesure aberrante. Une mesure zéro de calibration a systématiquement été prise entre chaque valeur. Les relevés ont systématiquement été réalisés par deux opérateurs : une personne est chargée de prendre la mesure, l'autre de reporter l'emplacement et les valeurs acquises. Compte tenu de la faible portée de l'appareil (env. 15 cm), la prise de mesures n'a impacté que de manière très limitée la conduite du chantier et la distribution des fouilleurs, malgré la nécessité de respecter un rayon prudent d'environ 2 m vides d'objets métalliques (outils de chantier, chaussures coquées, clous de relevé, etc.).

Les plans obtenus grâce aux relevés de susceptibilité magnétique réalisés en cours de fouilles seront présentés par secteurs en même temps que les résultats des fouilles. Ils témoignent de l'intérêt et de la précision de la méthode, qui sera poursuivie lors des éventuelles prochaines campagnes.



Fig.8 Réalisation de mesures de susceptibilité magnétique en cours de fouille (cliché C. Sanchez)

**2.**

**PRÉSENTATION DES  
STRUCTURES**



## 2. DONNÉES DE TERRAIN

### 2.1. LE SECTEUR 2

#### 2.1.1. OBJECTIFS ET MÉTHODES

La parcelle AB 53, située en périphérie nord-est du hameau du Petit Chauvort, a été appréhendée au moyen d'un sondage rectangulaire d'environ 190 m<sup>2</sup> (13 x 15 m) prolongé en direction de la Saône d'une tranchée longue de 70 m et large de 2 m (une largeur de godet).

La conduite d'un sondage à cet emplacement répondait avant tout à une volonté de mieux cerner les dynamiques hydromorphologiques de la plaine alluviale. Il s'agissait de recouper des anomalies phytologiques linéaires parallèles au lit actuel de la Saône, observées sur les images aériennes prises par l'IGN en 2020, alors associées à la présence d'un ou de plusieurs paléochenaux (Fig.9) Nous avons également tiré profit de cette fenêtre d'exploration pour effectuer une reconnaissance archéologique de ce secteur jusqu'alors inédit et interroger les limites de l'agglomération gauloise d'une part, tester la fiabilité des relevés de prospection magnétique d'autre part. Les levés géophysiques n'avaient livré aucune anomalie clairement rattachable à des activités anthropiques dans ce secteur (Fig.9). La question d'un potentiel épais recouvrement sédimentaire rendant inadaptées les prospections magnétiques dans les parcelles contiguës du lit majeur de la Saône s'était alors posée. Si elles n'avaient fait l'objet d'aucune exploration antérieure, on notera tout de même la mention par Ph. Barral («Barral 1999») de découvertes fortuites effectuées non loin à l'occasion de suivi de travaux, suggérant la proximité de l'occupation laténienne (Fig.10). La première, plus au nord, fait écho à la découverte de vaisselle céramique et de fragments d'amphore rattachée LT D1 lors de la plantation d'un

arbre. La seconde au sud, tirant profit du creusement d'une tranchée de pose de câble électrique, avait livré plusieurs structures fossoyées ainsi que du matériel fournissant une datation similaire.

#### 2.1.2. DESCRIPTION DES STRUCTURES

La fenêtre investie n'a livré les restes que de six fosses circulaires, identifiées comme des trous de poteaux (Fig.11). Seules les fosses d'ancrages ont été reconnues, sans qu'aucun négatif de poteaux ni aucun élément de calage ne soit apparu clairement. On distingue aisément deux alignements de trois trous de poteaux chacun, au sein desquels ils apparaissent suivant un espacement régulier d'environ 3,5 m (Fig.12).

Quatre d'entre eux, situés aux extrémités des alignements, accusent des morphologies et des dimensions comparables. Ils ont en plan une ouverture de 1 m de diamètre, pour une profondeur maximale de 0,30 m et présentent un comblement unique et homogène de limon argileux brun jaune, légèrement plus foncé que l'encaissant. Les deux, autres, en position centrale, sont plus massifs et atteignent jusqu'à 1,4 m à l'ouverture et un profil cuvelé profond d'environ 0,60 m. Leurs comblements stratifiés ont livré de fréquents nodules de charbons qui ont fait l'objet de prélèvement en vue d'éventuelles datations C14.

Les deux alignements de poteaux, distants de 7 m, apparaissent de manière parfaitement parallèle. Ils adoptent une orientation SE/NO, suivant un gradient d'environ 130 degrés. Ils dessinent un bâtiment ou partie d'un bâtiment, reconnu sur une emprise de 55 m<sup>2</sup>. Les dimensions et la profondeur plus importantes des poteaux situés en vis-à-vis au centre des alignements pourraient évoquer un ancrage plus important lié à la présence de poteaux faîtières, qui définiraient un module à file axiale («Péfau 2021»). Ce type d'architecture impliquerait la poursuite du bâtiment au sud au-delà



Fig.9 Emprise du secteur 2, recoupant des anomalies phytologiques et points de découvertes fortuites ayant livrés du matériel daté de LT D1



Fig.10 Relevé de prospection géophysique à l'aplomb du secteur 2 (C. Sanchez, E. Hamon)

des limites du sondage, formant un bâtiment à deux nefs.

Le comblement des trous de poteaux n'a livré qu'une faible quantité de mobilier (NR= 16), notamment représenté par des petits fragments de T.C.A. (NR= 7) et de céramique (NR= 6). Considérant la faiblesse des éléments de datation, qui incite à la prudence, nous proposons de rattacher cet ensemble à la période gallo-romaine, au sens large.

L'exploration de ce secteur, qui n'a livré aucun vestige rattaché directement avec l'occupation gauloise du Petit Chauvort, a pour principal intérêt de

confirmer l'efficacité des cartes magnétiques pour l'identification des limites de l'habitat groupé, ou tout du moins des secteurs densément occupés. Elle permet d'exclure l'hypothèse d'un épais recouvrement sédimentaire masquant les aménagements gaulois dans les parcelles contiguës des rives actuelles de la Saône. Ces résultats peuvent désormais être extrapolés à l'ensemble des zones vide d'anomalies situées au nord-est du méandre, qui ne semble pas avoir été aménagé au second âge du Fer, ou de manière très peu dense.

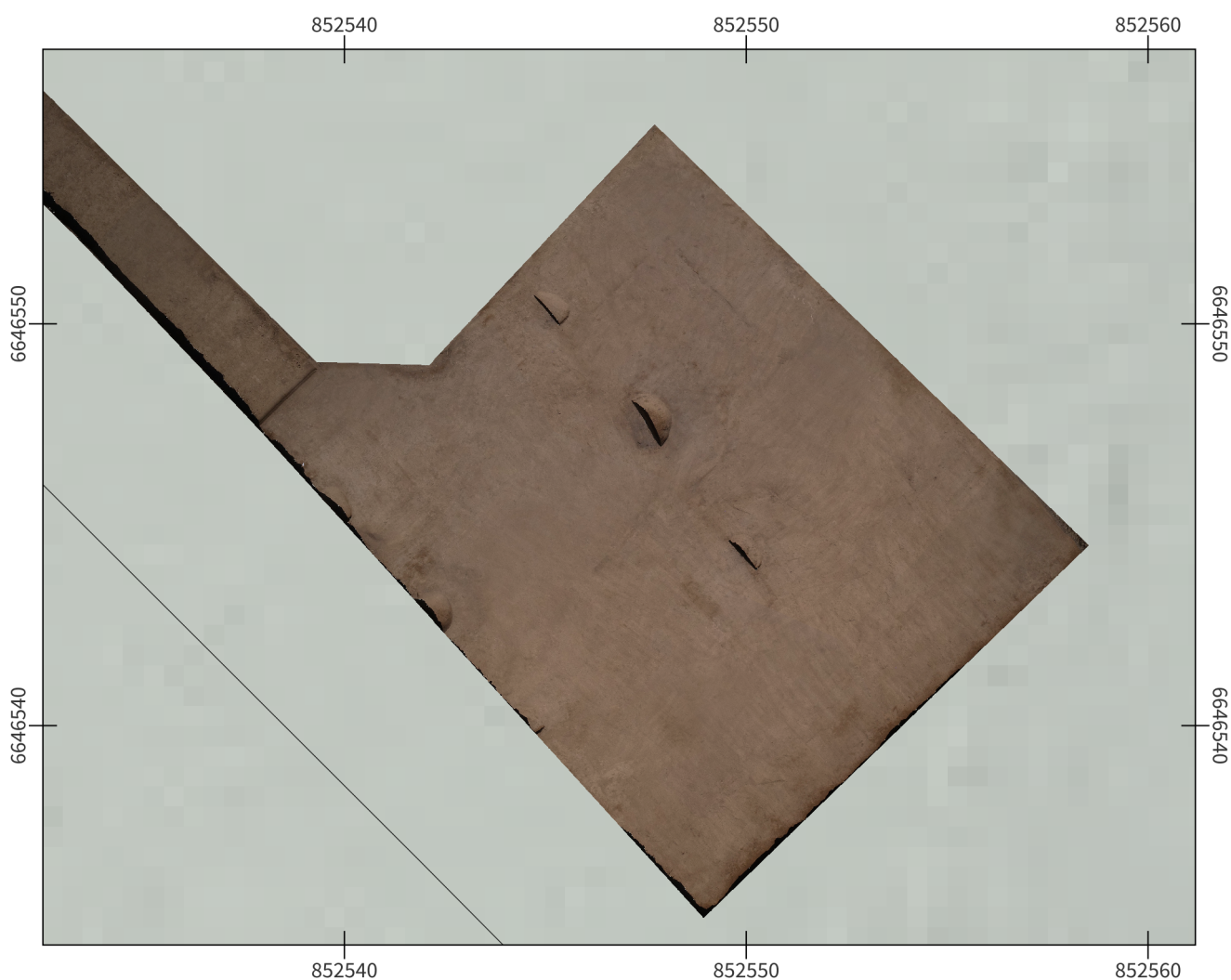


Fig.11 Photogrammétrie du secteur 2 (PAO E. HAMON)

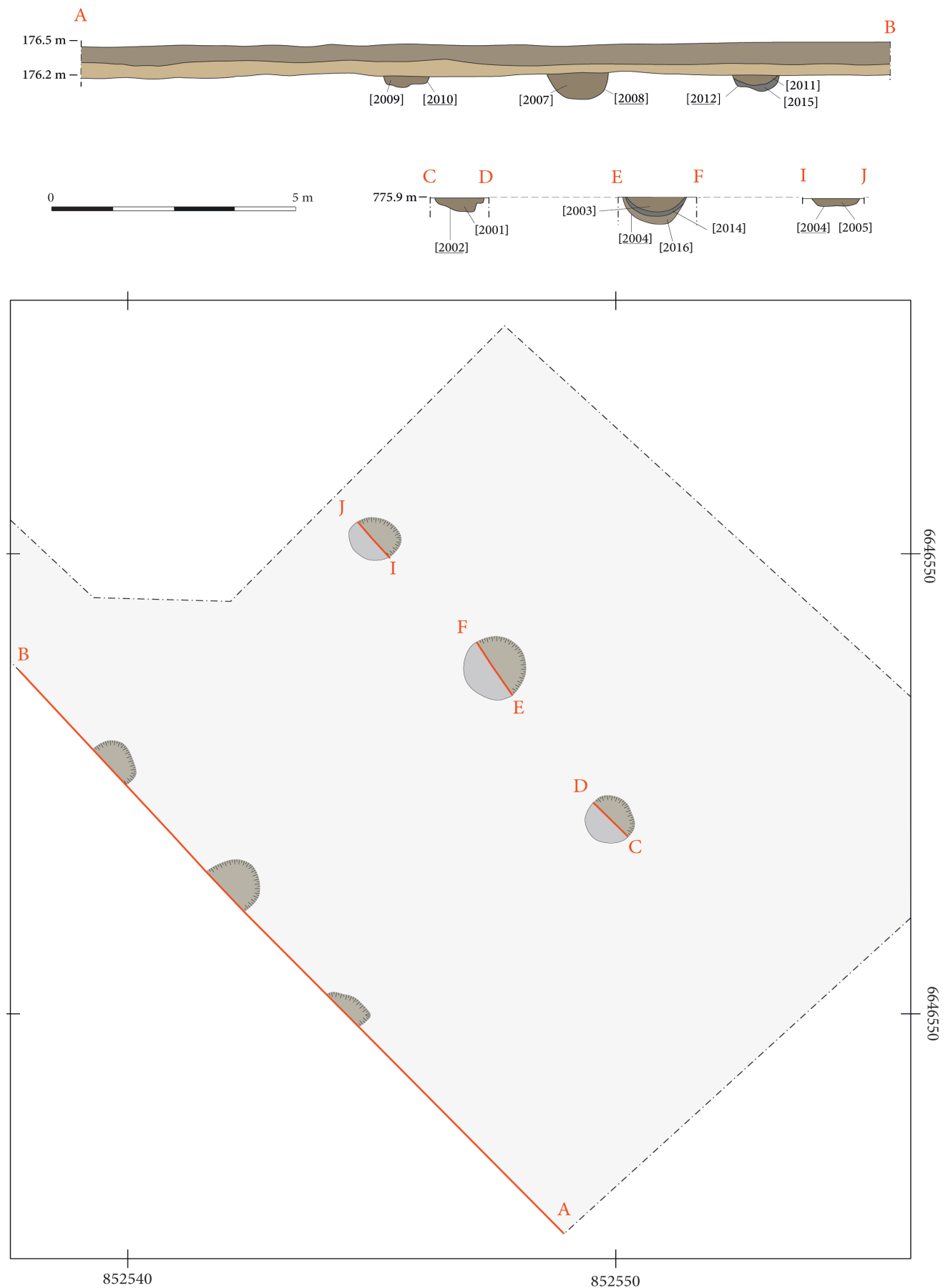


Fig.12 Plan et coupes des structures du secteur 2 (CAO et DAO E. Hamon))



## 2.2. SECTEUR 3 : UN PROBABLE ÉTABLISSEMENT RURAL EN PÉRIPHÉRIE DE L'AGGLOMÉRATION.

Le second secteur investi concerne un groupe de parcelles situées au sud du lieu-dit Le Semard. L'objectif principal consistait à déterminer la nature et la chronologie de l'occupation d'un complexe d'enclos fossés imbriqués, détecté par prospection magnétique en 2021. Il a été appréhendé au moyen d'un sondage carré d'environ 16 m de côté (250 m<sup>2</sup>) prolongé au nord par une tranchée de 40 m de long pour 4,5 m de large, visant à recouper une partie des fossés d'enclos. Les profils de ce transect ont fait l'objet d'un relevé en logs pédosédimentaires, complétés à l'extrémité nord par un sondage mécanisé profond. Les résultats de cette analyse, conduite par Jérôme Brenot, sont présentés en détail dans le rapport volume de synthèse 2020-2022. Plusieurs prélèvements ont également été effectués à l'intérieur d'une sélection de structures en vue

d'une analyse micromorphologique de leurs remplissages (cf 2.2.5).

### 2.2.1. PRINCIPAUX ÉLÉMENTS DE STRATIGRAPHIE

Le niveau de terre arable, épais de 0,10 à 0,15m, est composé d'un limon brun organique homogène. Elle recouvre une couche de limon brun-grisâtre homogène [3000] dont l'épaisseur, en moyenne de 0,35 m au sud du sondage, atteint près de 0,60 m au nord-ouest. À contrario du secteur 4 (cf 2.3), elle recèle un mobilier assez homogène, composé essentiellement de fragments de terre cuite architecturale et d'amphore, ainsi que de cailloutis et de graviers alluviaux, observés sous la forme de légers aplats discontinus. Ils témoignent probablement du remaniement et de la mise en labours du secteur aux périodes antiques et post-antiques.

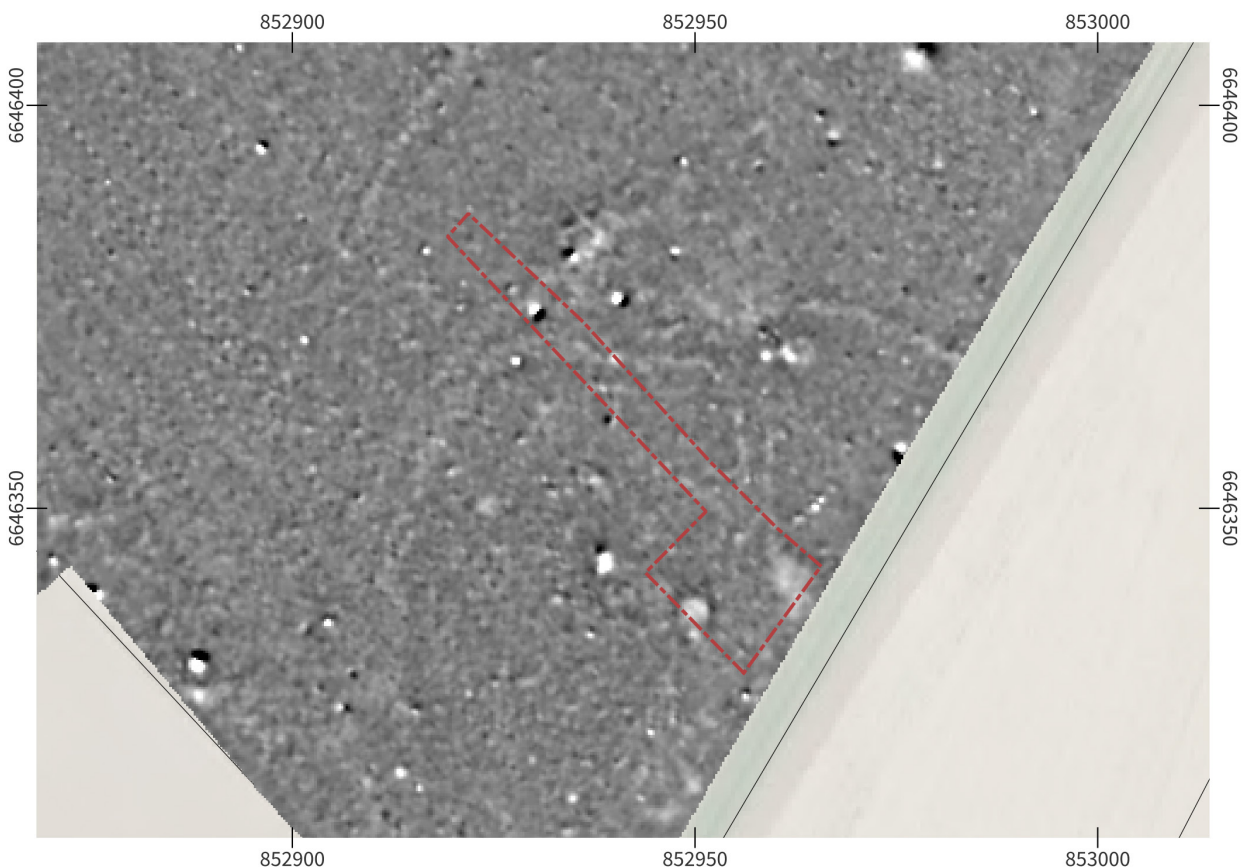


Fig.13 Localisation et emprise du secteur 3 sur fond de relevé magnétique (CAO E. Hamon)



Le décapage s'est poursuivi jusqu'à l'apparition des premières concentrations significatives de mobilier, à une côte moyenne de 175,8 m. Au total, 22 structures, dont certaines ont fait l'objet d'une numérotation par lots (cf. infra), ont pu être mises au jour. Une majorité d'entre elles présentaient un remplissage homogène unique parsemé de mobilier détritique fragmenté. À l'instar du niveau de labour [3000], elles étaient principalement parsemées de fragments de TCA et de tessons d'amphores, n'offrant que peu d'informations utiles sur la fonction des aménagements. La faune et la céramique étaient au contraire assez peu abondantes par rapport à la quantité de rejet domestique observée habituellement au Petit Chauvort.



Fig.14 Orthophotographie de la fouille après nettoyage, produite par photogrammétrie aéroportée par drone (M. Thivet)

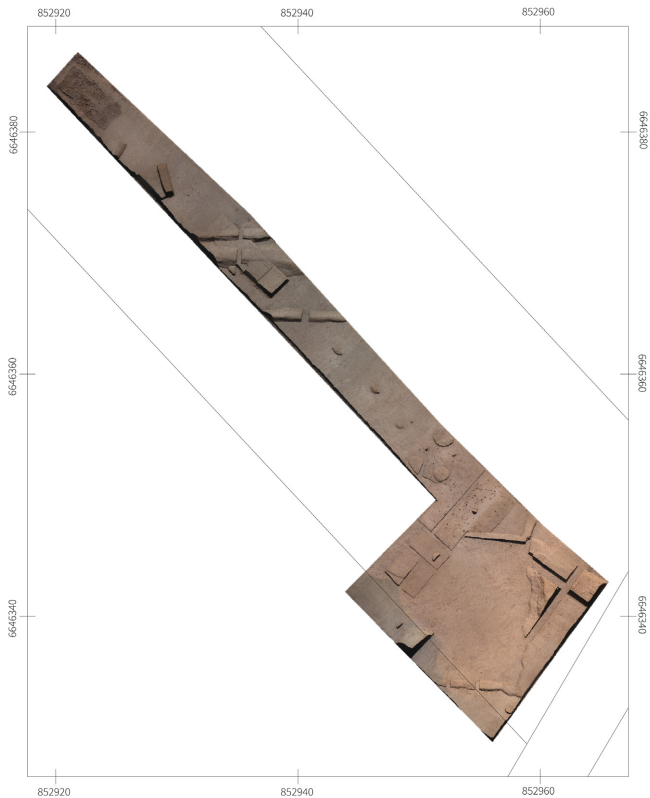


Fig.15 Orthophotographie finale du secteur 3, produite par photogrammétrie aéroportée par drone (M. Thivet)

Les structures présentent généralement des limites diffuses et se développent majoritairement de manières juxtaposées, sans présenter de recouvrements stratigraphiques. Sur la base des éléments mobiliers et des quelques informations de stratigraphie relative, il est possible de distinguer deux à trois états d'occupations.

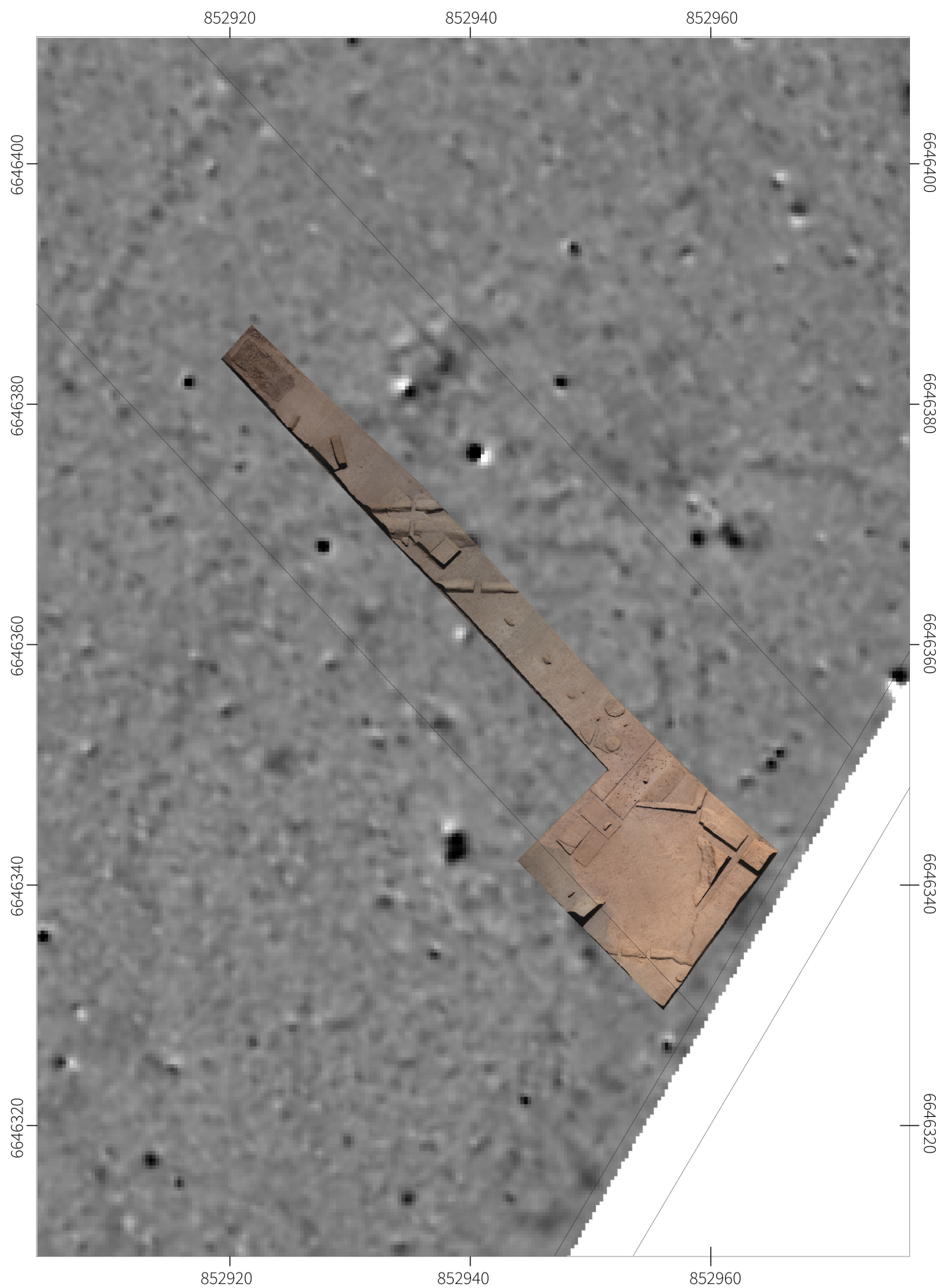


Fig.16 Orthophotographie du secteur 3 en fin de chantier, produite par photogrammétrie aéroportée par drone, superposée à la carte de prospection magnétique (M. Thivet)

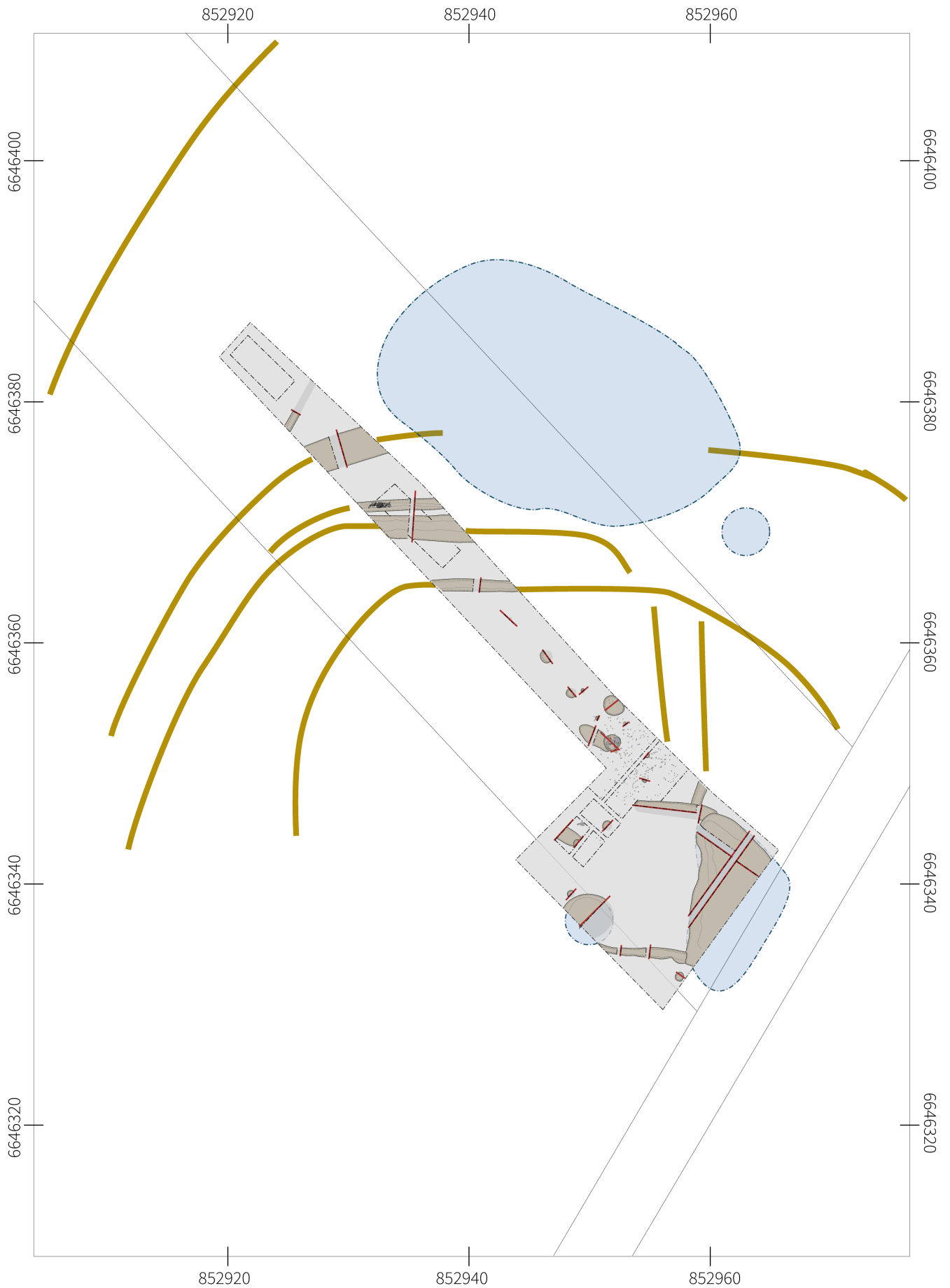


Fig.17 Plan masse des vestiges fouillé complété avec les principales anomalies interprétées de la prospection magnétique (M. Thivet)



Fig.18 Relevé de coupe de référence du secteur 3: minute 3\_22 (DAO M. Thivet)



### 2.2.2. ETAT I : UNE ÉNIGMATIQUE « FORÊT » DE TROU DE PIQUET

L'occupation la plus précoce est matérialisée, à la jonction entre le sondage quadrangulaire et la tranchée de reconnaissance, par une nuée de trous de piquets. On en compte 231 sur une surface légèrement inférieure à 45 m<sup>2</sup>. Ils ont fait l'objet d'une numérotation unique [3080], où chaque élément de mobilier a été géolocalisé. La majorité d'entre eux présentent une ouverture en plan pseudo-circulaire. Les plus petits n'ont que 2 à 3 cm de diamètre, tandis que les plus grands, plus rares, peuvent atteindre 15 cm. Malgré l'impression de confusion générée par la densité importante de ces structures, l'analyse de leurs répartitions permet d'observer un certain nombre de récurrences (formes quadrangulaires et naviformes, alignement de séries de couples ou de tierce de trous de piquets) qui témoignent d'une organisation logique. Toutefois, le manque d'éléments réellement caractéristique, ne permet pas pour



Fig.20 Photo oblique du niveau d'apparition de la nuée de trous de piquets [3080] (cliché M. Thivet)

l'heure d'en attester la fonction. En l'état actuel des éléments à notre disposition, une fonction liée à des activités d'élevage ou piscicole ne peut cependant pas être exclue.

Malgré les difficultés de lisibilités du terrain, la méthodologie mise en œuvre et l'extension des sondages autour du secteur qui a permis leur identification, permet de garantir que la majorité de ces structures a bien été identifiée au sein de l'espace étudié.

Enfin, comme c'est très souvent le cas pour ce type d'aménagement, on ne dispose que de trop peu d'élément mobilier pour proposer une datation précise. Néanmoins, l'étude céramologique en cours permet déjà d'exclure une datation antique et post-antique et rattache plutôt l'ensemble des éléments découverts à La Tène finale. En tout état de cause, il apparaît que le comblement (donc l'abandon) de cette forêt de piquet est recouvert par une fine couche de limon alluvial dans laquelle le reste des structures apparaissent creusées. Ce constat témoigne sans équivoque de l'antériorité des piquets par rapport au reste des vestiges identifiés. De plus, malgré leur rareté, certaines relations stratigraphiques (recoupement par des structures appartenant à l'état II), viens corroborer cette hypothèse.

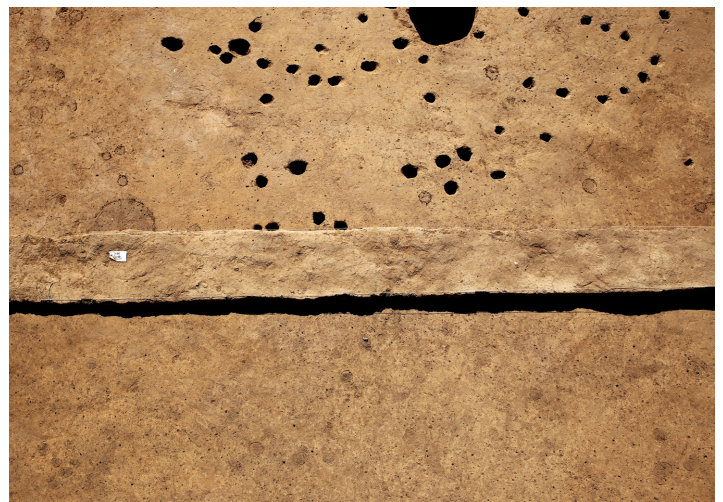


Fig.19 Photo zénithale de la nuée de trous de piquets [3080]. En haut, en cours de fouille; en bas, niveau d'apparition (cliché V. Franchini)

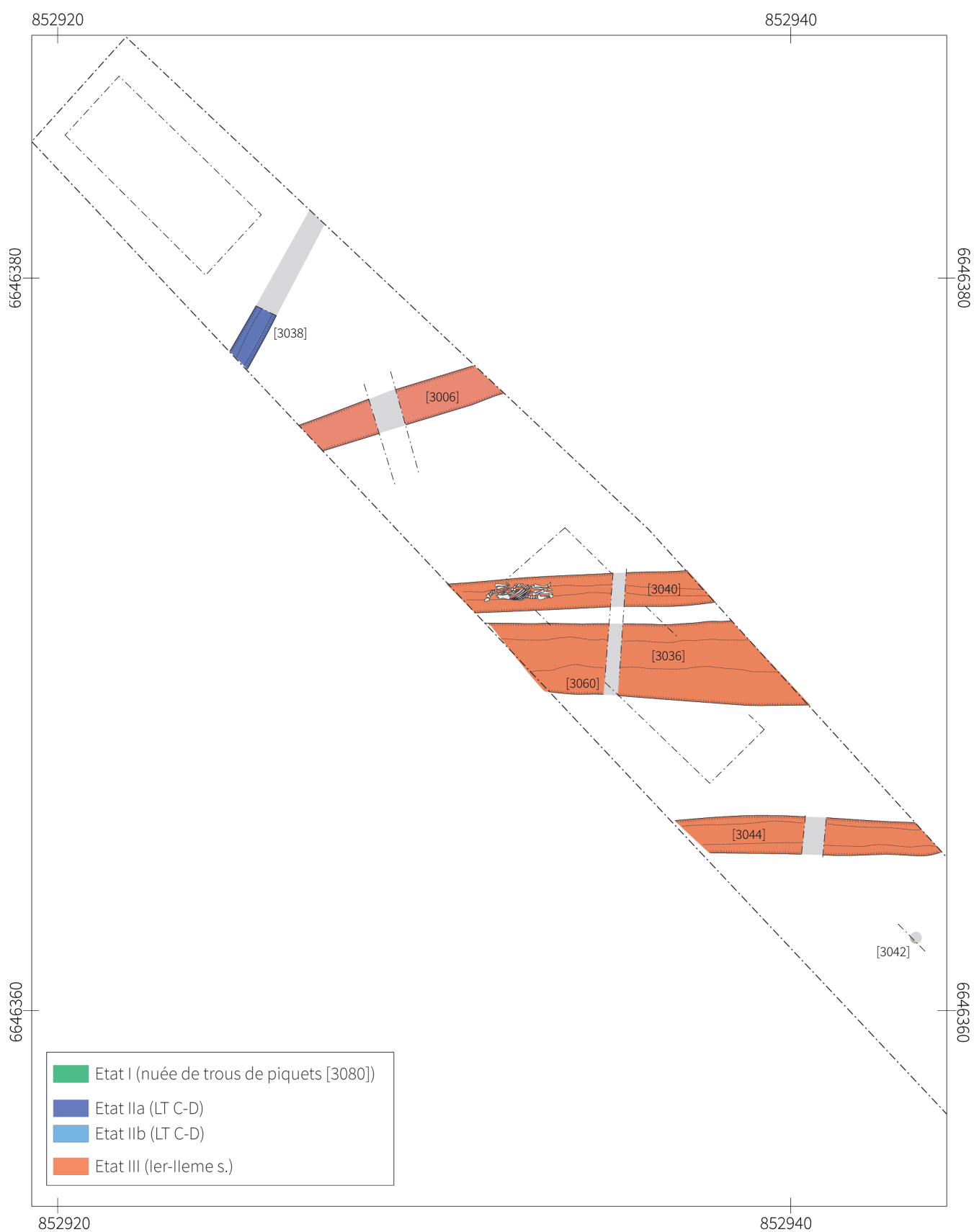


Fig.21 Plan des structures du secteur 3 par horizons chrono-stratigraphiques - transept septentrional (DAO. M. Thivet, E. Hamon).

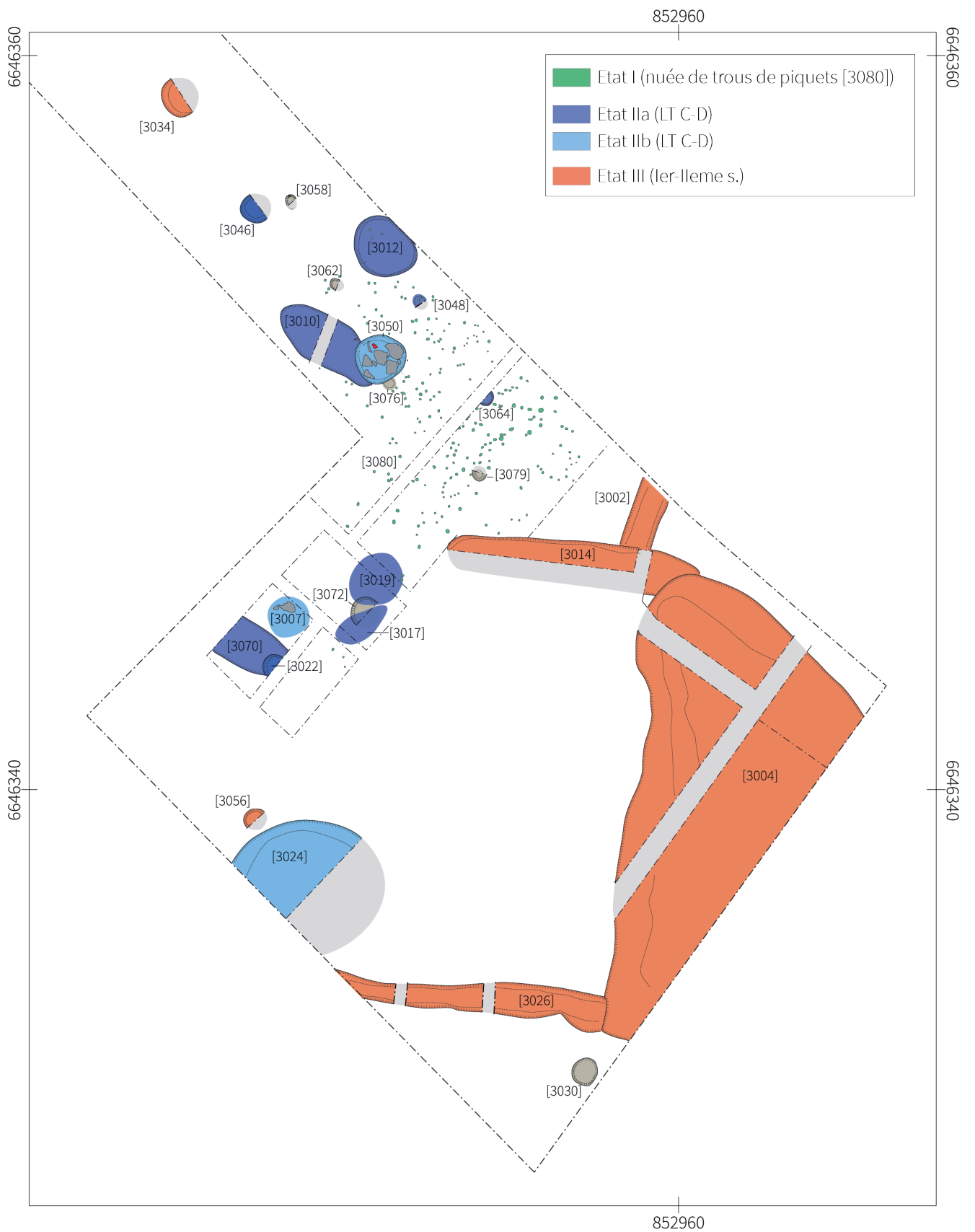


Fig.22 Plan des structures du secteur 3 par horizons chrono-stratigraphiques - sondage carré (DAO. M. Thivet, E. Hamon).



**2.2.3. ETAT II : PREMIERS INDICES D'UNE OCCUPATION LATÉNIENNE EN PÉRIPHÉRIE DE L'AGGLOMÉRATION.**

A l'exception d'un ensemble de fossés et drains, l'immense majorité des structures identifiées lors de la fouille appartiennent à une même phase d'occupation, dont seule l'état d'abandon apparaît préservé. Il s'agit principalement de quelques fosses peu profondes, de niveaux d'épandage de mobilier associés ; de quelques trous de poteau désorganisés et d'un puits. Ces structures et les ensembles de mobilier qu'elles conservent renvoie vraisemblablement à une occupation domestique encore mal identifiée.

**LE PUIITS [3024]**

- Le puits [3024] est situé en limite occidentale du sondage. Il a d'abord été appréhendé manuellement jusqu'à une profondeur 1,50 m de profondeur avant d'être stoppé pour des raisons évidentes de sécurité. La fouille s'est poursuivie de manière mécanisée, jusqu'à la côte de 171,8 m (Fig.23). Le profil obtenu



Fig.24 Comblement supérieur [3023] du puits [3024] en cours de fouille (cliché E. Gauthier)

permet de restituer un avant-trou pseudo-circulaire d'un peu plus de 5 m de diamètre à l'ouverture, dont les parois évasées marquent un goulot d'étranglement à environ 2,50 m de profondeur. Il adopte alors un profil tubulaire d'environ 2,20 m de diamètre. La fosse d'entame est comblée par des niveaux de limon plus ou moins argileux, faiblement distincts du sédiment environnant. Les inclusions sont rares à l'exception de paillettes de charbon de bois et de nodules de terre cuite, observés en concentration variable. En partie

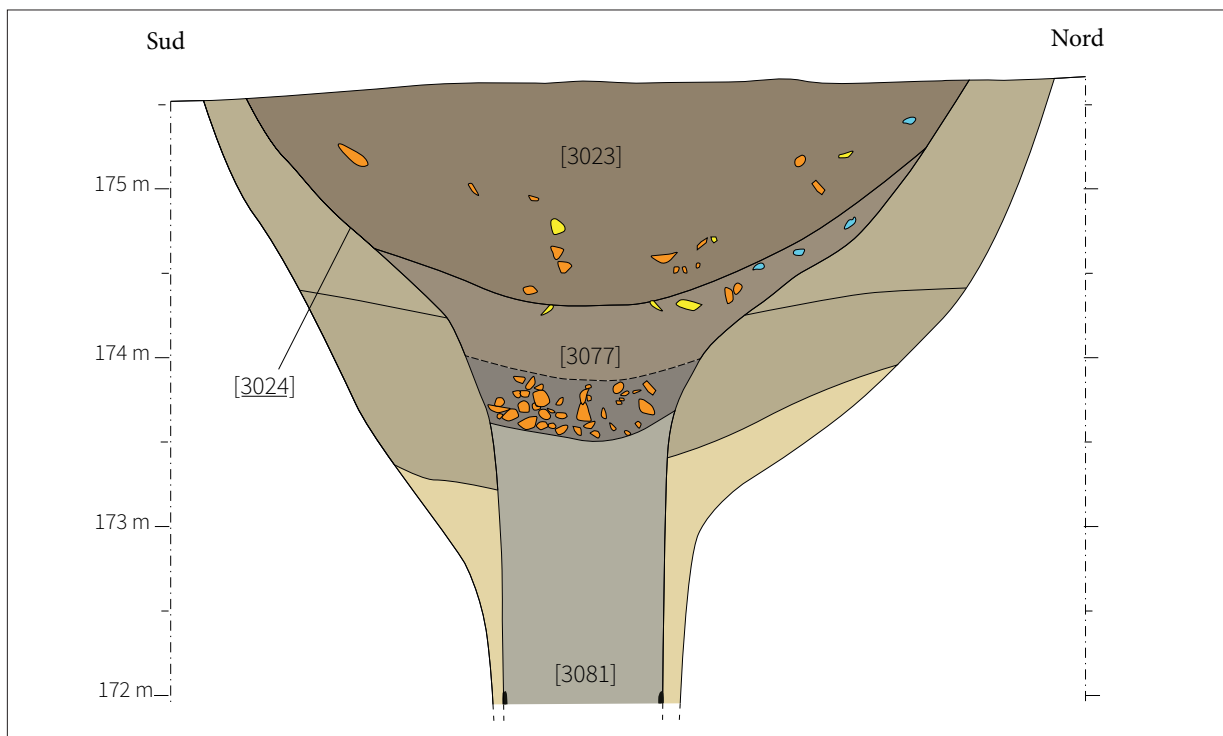


Fig.23 Coupe du puits [3024] (DAO. E. Hamon).

inférieure, son comblement est constitué d'argile fine beige (Fig.25).

La fouille a permis de révéler la présence d'un cuvelage en bois apparemment quadrangulaire d'environ 1,30 x 1,10m, conservé à environ 4 m de profondeur. L'apparition de ce dernier, correspondant au niveau de la nappe phréatique, a constitué le niveau d'arrêt du sondage (Fig.26). L'établissement d'une stratégie de fouille fine adaptée est désormais nécessaire à la poursuite de son appréhension.

Quelques fragments de chênes, conservés dans une gangue d'argile grise très fine, ont pu être prélevés. Ces derniers ont été immédiatement immergés dans des bacs d'eau étanches en vue d'analyses. Ils ont fait l'objet d'une étude préliminaire, réalisée par François Blondel (UMR 6249 Chrono-environnement), qui témoigne du potentiel dendrologique et dendrochronologique de la fouille intégrale du puits. Compte tenu du faible nombre d'éléments, les prélèvements n'offrent pour l'heure que peu d'information utile sur l'architecture du cuvelage. En l'état actuel des données à notre disposition, on retiendra :



Fig.26 Photo du niveau d'apparition du cuvelage en bois (direction sud - Cliché E. Hamon).



Fig.25 Photographie du puits en cours de fouille (direction nord). On distingue clairement le remplissage du cuvelage quadrangulaire du remplissage de l'avant-trou (cliché et DAO, E. Hamon).

- Les fragments recueillis sont équarris sur un ou deux côtés (plus rare), le plus souvent débités radialement.

- La datation par dendrochronologie des bois (chêne, *Quercus* spp.) a porté sur trois séries de largeurs de cernes qui peuvent être synchronisées en une seule chronologie de 133 années (Fig.27). Elle a été comparée avec les séries de références de Bourgogne (t=6,1), du Bassin parisien (t=4,6), et de l'est de la France (t=4,2 ; «Durost 2005»). La série observe une très bonne corrélation (t=9,5) avec celle de trois puits découverts sur le site du Champ du Four à Saint-Marcel («Blondel, Collet, à paraître»), à environ 17 km au sud-ouest de Verdun-sur-le-Doubs. La proximité des deux ensembles (Fig.28) laisse envisager des terroirs de collecte proche. L'absence d'aubier parmi les fragments recueillis interdit cependant de restituer la date d'abattage. Le dernier cerne conservé fournit un TPQ à l'année -170.

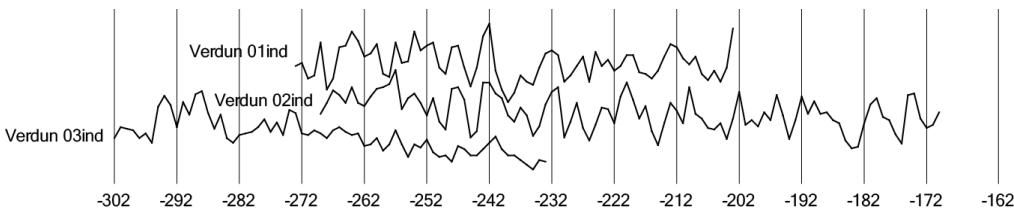


Fig.27 Chronologie synchronisée des trois séries dendrochronologiques du puits [3024] (F. Blondel).

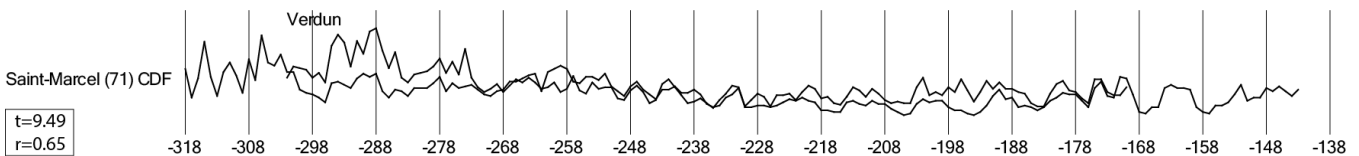


Fig.28 Courbe de corrélation des lectures de cernes des bois du puits [3023] et celles des trois puits de Saint-Marcel (F. Blondel).

Le cuvelage est surmonté d'un épais niveau d'argile grise-beige homogène quasi vierge d'inclusions anthropiques, qui pourrait traduire une phase d'ensablement. L'abandon définitif est marqué par l'installation, à hauteur du goulot d'étranglement, d'un bouchon constitué essentiellement de pieds d'amphores entremêlés. Plusieurs éléments semblent disposés « tête-bêche », suggérant une déposition structurée. Des observations similaires avaient été effectuées sur le puits [62] observé en 2019 (« **Thivet Dubreucq 2019** »). La partie supérieure du puits est marquée par un important élargissement dans lequel on distingue deux remblais ([3077] et [3023]) de limon argileux hétérogène observant plusieurs teintes de gris et de marron foncé. Le comblement supérieur [3023] présente des inclusions d'argile rubéfiée, de charbon de bois et de petits galets, observés par poches éparses. Il livre également un matériel fragmenté abondant, dont l'étude se poursuit actuellement, mais dont les premiers résultats sont présentés dans les études spécialisées qui suivent. Les premières observations suggèrent un comblement final intervenant entre LT D2b et la période augustéenne.

La différence notable entre la datation fournie par dendrochronologie et celle par le mobilier du comblement terminal interroge et pose clairement la question

de la phase de construction, mais surtout d'utilisation du puits. Sommes-nous face à un établissement dont le fonctionnement est contemporain de l'agglomération ou se développe-t-il uniquement après l'abandon de l'habitat groupé ? La fouille intégrale du cuvelage, prévue en 2023, permettra de lever ces incertitudes en plus de permettre enfin l'obtention de précieuses informations sur l'environnement du site par la préservation de matériaux organique (pollen, végétaux, etc.) en milieu anaérobie.

#### UN ENSEMBLE DE STRUCTURES FOSSOYÉES PEU PROFONDES [ 3017 = 3019 ]

Sur l'emprise ouverte cette année, un petit ensemble de structures en creux, assez peu profondes (inf. à 25 cm), a été identifié. Elles se regroupent principalement à la jonction entre le sondage carré et la tranchée, autour de la nuée de trous de piquets (Fig.22). Leur fonction demeure énigmatique en l'état actuel de nos connaissances. Toutefois nous pouvons proposer certaines hypothèses d'interprétation uniquement à partir de critères morphologiques. Il pourrait donc s'agir de la base du creusement de trous de poteau et de sablières fortement arasés ([3022], [3046], [3070] [3072], de fosses à comblement détritiques ([3010], [3012] (Fig.29)), ou de dépressions topographiques



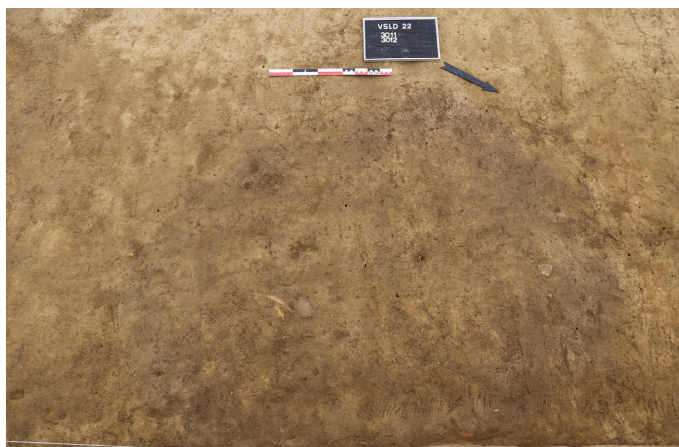


Fig.29 Niveau d'apparition de la fosse [3012] (cliché M. Thivet)

complées naturellement et préservant de faibles épan-  
dages de mobilier épars ([3017=3019].

De façon plus évidente, sept trous de poteau ([3042], [3058], [3062], [3048], [3076], [3064] et [3079]) de même module (diam. : 30 cm ; prof. : 25 cm) sont parfaitement reconnaissable. On regrette toutefois que leur organisation ne laisse entrevoir, sur les surfaces investiguées, aucune organisation particulière.

D'un point de vue stratigraphique, aucune relation directe n'existe entre ces différentes structures, excluant dès lors toutes possibilités de chronologie relative, à l'exception de celle déjà décrite avec les piquets [3080]. Néanmoins l'étude préliminaire (cf. études spécialisées) du mobilier céramique récolté dans leur comblement (unique, composé d'une matrice de limon argilo-sableux brun jaune) autorise la datation de leur abandon à la Tène D en général et plus précisément à LTD2 lorsque les ensembles permettent une datation plus fine. Cette information, confirme les premiers éléments de chronologie obtenus sur le puits et laisse présager, dans cette partie de la plaine alluviale, d'une occupation périurbaine durant La Tène finale et dont la phase d'abandon se situerait autour de la conquête.

## DEUX MASSIFS DE FONDATIONS [3050] ET [3007]

Deux constructions en pierre ont également été identifiées sur la fouille. Il s'agit de deux amas de moellons calcaires [3049] et [3007], de forme circulaire (Fig.22). Le premier est inséré dans une structure circulaire [3050] profonde de seulement 0,15 m, qui a environ 1,40 m de diamètre. Le comblement [3049] est donc constitué principalement de blocs de calcaire agglomérés incluant quelques fragments de céramiques et d'amphores (Fig.30). La disposition de ces matériaux d'origine exogène, concentrés vers le centre de la structure, permet de l'interpréter comme un massif de fondations ou un imposant système de calage de poteaux. Le creusement de la structure recoupe clairement la fosse [3010], témoignant ici exceptionnellement de sa postériorité. Le second massif de blocs calcaires [3007], a été observé à environ 6,5 m au sud-ouest du premier. Cependant, aucun creusement n'y était associé, ce qui témoigne soit de deux modes de construction légèrement différents soit d'un état d'érosion plus avancé.

Les éléments de datations fournis par la céramique permettent également d'attribuer la construction de ces massifs à la fin de la période gauloise grâce au mobilier découvert entre les blocs de [3049], sans l'unique tesson antique très altéré découvert autour de [3007] ne puisse en contredire la datation.



Fig.30 Fouille du massif de fondation [3050] (cliché M. Thivet)



### 2.2.4. ETAT III, DES TÉMOINS D'UNE CONTINUITÉ D'OCCUPATIONS JUSQU'AU DÉBUT DU IIÈME S. D. N. È..

Le reste des structures fouillées cette année correspondent principalement à l'ensemble de fossés détecté par prospection géophysique ainsi qu'à un petit lot de structures hydrauliques. La totalité d'entre elles présente un comblement unique homogène qui atteste selon toute vraisemblance d'un comblement rapide correspondant à l'abandon définitif du site.

### L'ENSEMBLE DE STRUCTURES [3004, 3002, 3014, 3026]

La partie méridionale du secteur est marquée par la présence d'une vaste structure excavée [3004], de forme irrégulière et dont les dimensions atteignent 11 m de long pour 1,40 m de profondeur (Fig.22 - Fig.31). Elle n'a été appréhendée que partiellement, mais la cartographie magnétique permet d'en restituer précisément l'extension. Elle présente des parois tantôt évassées, tantôt subverticales. Son remplissage de limon brun-gris est homogène et on ne distingue aucune variation suggérant des séquences de comblements

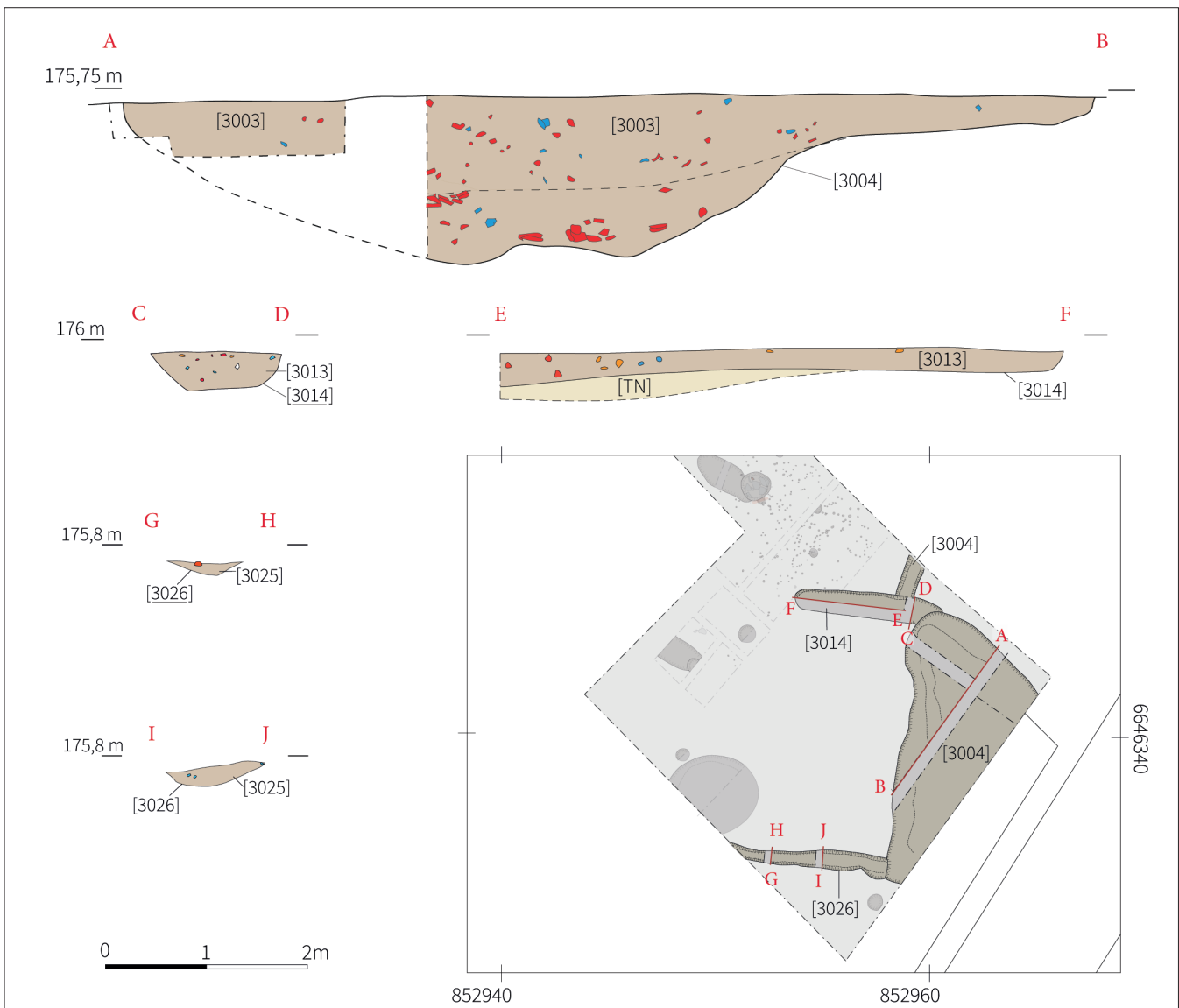


Fig.31 Plan et coupes de l'ensemble de structures [3004, 3002, 3014, 3026] (DAO M. Thivet et E. Hamon)

distinctes (cf 2.2.5). Il livre un mobilier fragmenté assez abondant correspondant à la totalité de la chronologie d'occupation du secteur, soit de la fin du second âge du Fer au début du second siècle de notre ère, avec notamment de nombreux fragments de TCA. Les premiers résultats des études de mobilier (céramique et numismatique notamment), fournissent un premier TPQ, qui suggère un comblement n'intervenant pas avant la fin du I<sup>er</sup> s. de notre ère.

La structure [3004] est associée à trois tronçons de tranchées longilignes Deux d'entre elles, [3026] et [3014], distantes d'environ 11 m, apparaissent parfaitement parallèles, dans une orientation O-E (- 7 degrés). Ils rejoignent respectivement les angles nord-ouest et sud-ouest, avec un pendage régulier en direction de [3004]. Ils mesurent entre 0,70 et 0,90 m de large et atteignent 0,40 m de profondeur. Un troisième tronçon [3002], a pu être reconnu sur une longueur de seulement 1,70 m. Il rejoint perpendiculairement l'extrémité orientale de [3014] suivant une orientation et un pendage N-S.

Bien qu'aucun indice direct de circulation d'eau n'ait pu être observé, la morphologie et l'agencement des structures permettent de proposer des fonctions de drainage et de retenue d'eau (mare) témoignant d'une gestion hydraulique sur le site.

## LES FOSSÉS [3006, 3036, 3038, 3040 ET 3044]

La fouille a surtout permis de recouper quatre des fossés d'enclos identifiés sur les relevés magnétiques de 2021. On notera la présence d'un cinquième creusement longiligne [3038], à l'extrémité nord-ouest du transect, qui n'apparaît pas sur les cartes géophysiques. Compte tenu de ses faibles dimensions et de la méconnaissance de son emprise, son identification est incertaine. Il pourrait s'agir d'un drain. Les caractéristiques morphologiques de ces cinq aménagements peuvent être synthétisées dans un tableau (Fig.32).

Tous présentaient une séquence de comblement unique, homogène (certainement rapide), composé de limon mêlé d'argile brun gris clair (Fig.18). Ils sont parsemés d'inclusions de TCA, ainsi que de quelques fragments de moellons calcaires (Fig.35 et Fig.36). Leurs complements respectifs n'offrent à peu près aucune information décisive sur la nature ni sur la datation de leur utilisation. Seul le remplissage du petit fossé [3040] a livré un squelette anatomiquement complet, à l'exception du crâne, d'un bovin déposé en connexion anatomique sur le fond du creusement (Fig.33). Les raisons de ce dépôt sont inconnues (maladie?) tout autant que l'étonnante absence de la tête (Fig.34). En l'état, on peut tout au plus restituer un abandon synchrone et rapide des cinq structures à la période antique, vraisemblablement vers le début du II<sup>e</sup> s. de n. è. Il est notable de rappeler que ce comblement semble

| ° UF | Id      | Largeur (m) | Profondeur (m) | Profil   | Orientations générale | Orientations (degrés) |
|------|---------|-------------|----------------|----------|-----------------------|-----------------------|
| 3044 | Fossé 4 | 0,9         | 0,5            | en « U » | E-O                   | +/- 0°                |
| 3036 | Fossé 3 | 2           | 0,8            | en « V » | E-O                   | +/- 0°                |
| 3040 | Fossé 2 | 0,9         | 0,8            | en « V » | E-O                   | +/- 0°                |
| 3006 | Fossé 1 | 1           | 0,35           | en « U » | NE-SO                 | 18°                   |
| 3038 | Drain ? | 0,6         | 0,3            | en « V » | NE-SO                 | 62°                   |

Fig.32 Synthèse des principaux éléments morphologiques et métrologiques des fossés du secteur 3 (E. Hamon)



Fig.33 Squelette de bovin déposé au fond du fossé [3040] (cliché V. Franchini)



Fig.34 Photo de détail du bovin déposé au fond du fossé [3040] (cliché V. Franchini)



Fig.35 Photo oblique des fossées [3036] et [3040] (cliché E. Estur)



Fig.36 Comblement du fossé [3044] (cliché E. Estur)



intervenir conjointement avec celui de la « mare » décrite précédemment. Toutefois la présence de mobilier caractéristique de La Tène finale en quantité non négligeable dans le comblement des différents fossés ne permet absolument pas d'exclure un fonctionnement contemporain des structures rattaché à l'état II, voir même à l'état I.

Nous terminerons la présentation des données stratigraphiques du secteur 3 en mentionnant la présence de deux trous de poteau [3034] et [3055] dont le mobilier récolté dans les comblements, particulièrement les fragments de TCA, atteste d'une datation durant l'antiquité sans qu'il soit possible de trancher entre une phase d'occupation (calage) ou une phase d'abandon (comblement). L'étude de la céramique permet toutefois d'affiner la chronologie de leur utilisation durant le I<sup>er</sup> s. de n. è. Ils constituent alors les seuls témoins d'une occupation possiblement structurée à l'intérieur de l'enclos, en dehors des vestiges hydrauliques. Il semblerait donc que l'occupation antérieure (La Tène D) ce soit ici pérennisée jusqu'au début de l'époque antique.

On notera enfin, le trou de poteau [3056] dont la proximité avec le puits [3024] (env. 40 cm) questionne sur leur possible relation fonctionnelle ? D'un diamètre conservé de 60 cm à l'ouverture, il se développe sur 26 cm de profondeur.

#### **2.2.5. ETUDE MICROMORPHOLOGIQUE DES STRUCTURES EN CREUX DU SECTEUR 3: PREMIÈRES OBSERVATIONS ET ÉCHANTILLONNAGES (A. PEINETTI)**

Une étude géoarchéologique fondée sur l'emploi de la micromorphologie des sols comme outil analytique a été mise en place dans le secteur 3, afin de répondre à des questionnements liés au fonctionnement de certaines structures en creux. L'étude s'est concentrée plus spécifiquement sur des structures

que, par leur morphologie et leurs relations mutuelles, évoquent une fonction en partie liée à la gestion de l'eau : des structures linéaires de type fossé et une structure en creux profonde de type « mare » (cf 2.2.4).

Leur remplissage se présente homogène et faiblement stratifié, évoquant un comblement rapide et volontaire. La base du remplissage de ces structures se démarque par l'absence de traits sédimentaires traduisant clairement une sédimentation mise en place en présence d'eau. Ce manque peut s'expliquer par différents facteurs naturels ou anthropiques, qui peuvent avoir agi en synergie : l'alternance cyclique de phases sèches et humides, associées à une forte reprise de l'activité biologique entre des périodes marquées par une présence d'eau ; des curages répétés du fond des structures. Ces processus peuvent avoir contribué à brouiller la lecture du signal fonctionnel d'origine, portant à une déstructuration et au remaniement des traits sédimentaires traduisant des apports d'origine hydrique, mais leur portée effective et leur interaction restent à démontrer.

En revanche, des traits redoxiques, sous forme de nodules et ferruginisations, caractérisent les séquences de comblement. La formation de traits redoxiques observée in situ correspond tout particulièrement à des altérations chimiques de la matière organique par l'action des bactéries sidérophiles, en conditions d'humectation prolongée avec des phases de dessiccations qui favorisent l'oxydation du fer (Courty, Fedoroff 2002 ; Lindbo et al. 2010). Leur présence est courante dans les formations pédo-sédimentaires sur lesquelles le site est implanté. Dans le cas des remplissages des structures en creux analysées, il est donc nécessaire de distinguer entre traits hérités et traits formés in situ pendant le fonctionnement de la structure et la mise en place de son remplissage.

L'étude géoarchéologique proposée se fonde



ainsi sur la caractérisation des processus sédimentaires et pédologiques (naturels et anthropiques), afin d'atteindre une meilleure lecture fonctionnelle des structures en creux. Pour cela, elle met en œuvre un outil privilégié de la géoarchéologie («**Stoops 2010**»), la micromorphologie des sols telle qu'elle a été adaptée à l'étude des contextes archéologiques (i.e. «**Courty et al. 1989**»). Elle permet un continuum d'observations, depuis l'œil nu (caractéristiques morpho-sédimentaires des unités stratigraphiques sur le terrain et caractéristiques microstratigraphiques en lame mince) jusqu'aux échelles microscopiques (propriétés pédo-sédimentaires en lame mince au microscope polarisant). Elle peut être définie comme une approche multi-scalaire réalisée en deux étapes : étude pédo-stratigraphique de terrain et étude en lames minces. La première étape s'appuie sur une lecture fine de la stratification sur le terrain, accompagnée de la réalisation d'un échantillonnage pour analyses micromorphologiques. La caractérisation de l'enregistrement sédimentaire sur le terrain est ensuite prolongée par l'analyse micromorphologique, en s'appuyant sur l'étude de lames minces obtenues à partir de blocs de sédiment non perturbés et orientés, prélevés dans les séquences étudiées. Cette technique de prélèvement permet de conserver la structure des sédiments en vue de la fabrication de la lame mince et d'observer leur organisation tridimensionnelle, requis indispensables pour déterminer le processus de formation des couches et des structures identifiées sur le terrain.

Ainsi, deux logs dans des structures de type différent ont été choisis pour mener l'étude : la log 1 dans la « mare » st. 3004 et le log 2 pour le fossé st. 3036 (**Fig.37**). Dans la mesure où les questions liées au fonctionnement et à la gestion d'origine des structures sont prioritaires, l'étude s'est concentrée sur l'analyse du fond des structures et sur la transition entre creusement et substrat. Seules les observations de terrain et l'échantillonnage seront présentés dans le cadre de ce

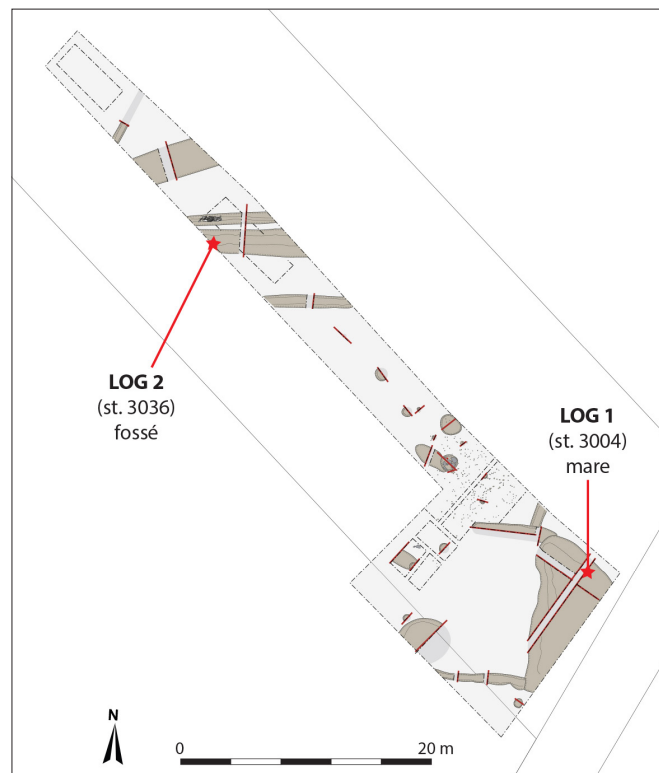


Fig.37 Plan du secteur 3 : localisation des logs destinés à l'étude micromorphologique (A. Peinetti)

rapport. L'analyse en lame mince sera réservée par des futurs approfondissements, dont la nature et l'ampleur seront dictées des moyens à disposition et de l'évolution des problématiques de terrain.

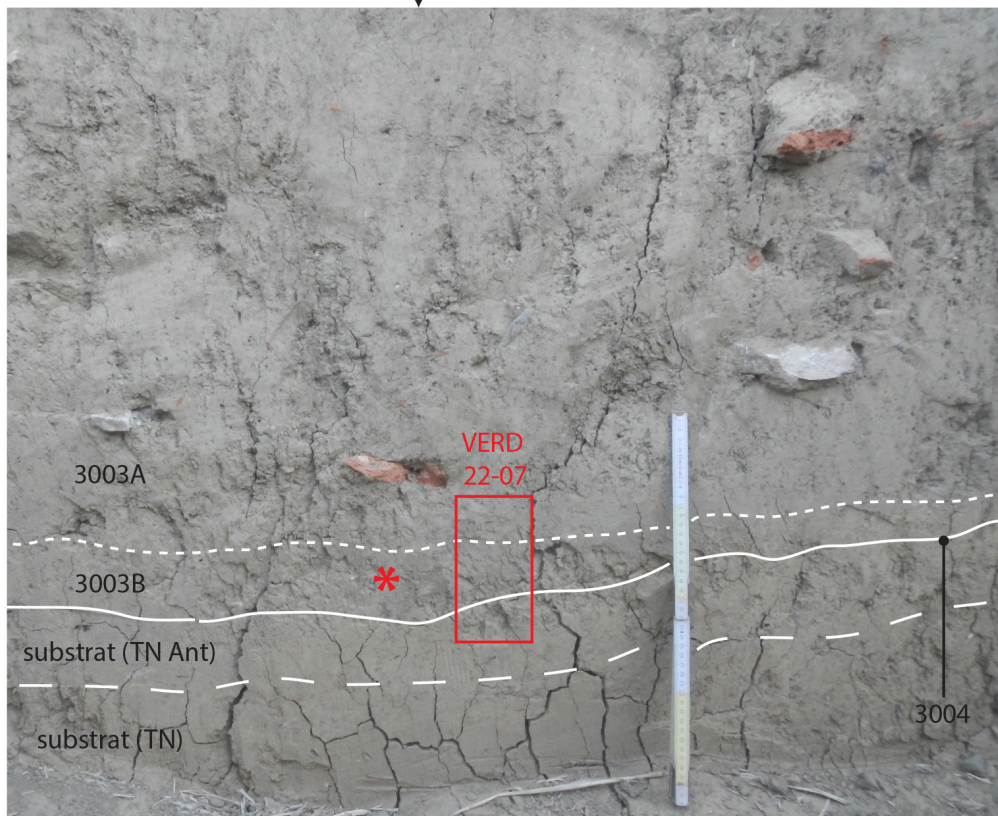
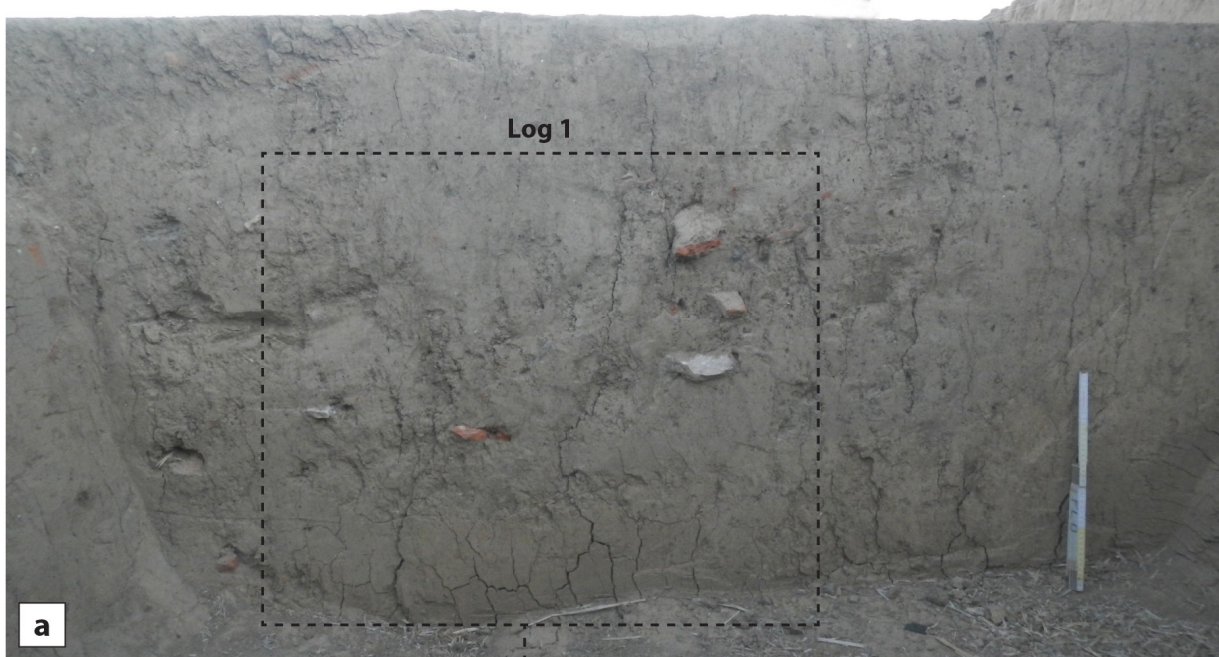
#### LOG 1 : LA « MARE » ST. 3004

La séquence stratigraphique de la structure en creux interprétée comme une mare (**Fig.38a**) se compose d'un creusement à parois obliques et fond plat (US 3004) et d'un comblement argilo-limoneux homogène, à inclusion d'abondants fragments de résidus manufacturés (céramique, tuiles, etc.) et de diffus charbons millimétriques (US 3003).

L'observation des caractères pédo-sédimentaires de la base de la séquence de remplissage permet toutefois d'affiner cette lecture et de différencier deux unités distinctes au sein d'US 3003 : l'unité 3003A et, à la base, l'unité 3003B (**Fig.38b**).

< Sud-ouest

Nord-est >



prélèvement micromorphologie  
(bloc de sédiments orienté)



prélèvement malacologie  
(sédiments en vrac, 10 litres)

Fig.38 La « mare » St. 3004 (Log 1) : (a) vue de la coupe ouest-est de la structure ; (b) log d'échantillonnage avec les unités pédo-sédimentaires identifiées sur le terrain et la localisation des prélèvements (A. Peinetti)

L'unité 3003A englobe l'essentiel du comblement, sur une épaisseur de plus d'un mètre. Il s'agit de sédiments argilo-limoneux, à structure grumeleuse fine à moyenne, localement grenue, de couleur brun olive (2.5Y4/4). Parmi les inclusions, se démarquent d'abondants fragments de tuiles et briques centimétriques à plat ou avec orientation légèrement inclinée, des charbons millimétriques diffus (2%) et de la malacofaune très fragmentée. Des fins nodules ferrugineux couleur rouille se rencontrent de façon éparse (1%). Il s'agit très probablement de traits ferrugineux hérités des matériaux apportés dans la structure. L'ensemble de ces caractères semblent confirmer l'interprétation de cette unité comme un comblement volontaire et rapide, formé d'apports successifs de matériaux.

En revanche, l'unité 3003B est un niveau d'épaisseur compris entre 3 et 5 cm, localisé à la base du comblement, au contact avec le creusement. Sa limite supérieure est diffuse et sa structure grumeleuse fine à légèrement polyédrique. Il se différencie par une texture limoneuse faiblement argileuse, une couleur plus claire (brun olive clair 2.5Y5/4) et une plus forte concentration d'imprégnations et de nodules ferrugineux de couleur brun-rouille (2-5%). Les charbons inclus sont épars (1%) et de taille inférieure ou égale à 1 mm, les fragments roulés de terre cuite architecturale sont occasionnels (1-2 mm de section), alors que la malacofaune entière ou fragmentée est abondante. Ce niveau de base pourrait constituer un niveau de transition avec l'encaissant ou être un témoin du fonctionnement à l'air libre de la mare. La présence accrue d'imprégnations et de nodules ferrugineux et la structuration pédologique modérément exprimée des sédiments renvoient à la deuxième hypothèse, mais la lecture des mécanismes de mise en place de ce niveau demeure incertaine. Par ailleurs, sa faible épaisseur pourrait témoigner de curages et d'un prélèvement de matériaux sur le fond de la structure en creux.

La limite inférieure entre l'unité 3003B et le substrat encaissant est assez nette, mais caractérisée par des ondulations. Ces ondulations sont très probablement à mettre en relation avec l'impact des outils employés pour le creusement de la structure ou à des surcreusements liés aux activités de curage du fond.

L'unité de transition sous-jacente au creusement présente les caractères du substrat naturel, mais elle est faiblement anthropisée sur une épaisseur d'environ 10 cm (unité TNAnt, **Fig.38b**). Il s'agit de sédiments argilo-limoneux brun jaunâtres clairs (2.5Y6/4), à structure polyédrique fine et surstructure prismatique faiblement exprimée. Les nodules Fe/Mn et les nodules et imprégnations ferrugineux couleur rouille sont abondants (5-10%). Les charbons de 1-5 mm de section et les fragments roulés de terre cuite architecturale de 1-2 mm de section sont occasionnels. Il pourrait s'agir de résidus infiltrés à cause du retrait et du gonflement des argiles pendant le fonctionnement de la mare.

Ainsi, un prélèvement micromorphologique a été réalisé à la transition entre l'US 3003A, l'US 3003B et le substrat encaissant (prl. VERD22-07, **(Fig.38b)**), afin de vérifier le fonctionnement de la structure en tant que mare, puis de détailler son histoire fonctionnelle en documentant les modalités de creusement et de gestion de la structure avant son remblayage. Un prélèvement pour étude malacologique a également été effectué sur les niveaux 3003B (prl. VERD22-08), dans le but de caractériser les conditions de milieu du fond de la structure avant la mise en place de son comblement définitif.



## LOG 2 : LE FOSSÉ ST. 3036

Le fossé St. 3036 comporte une séquence quelque peu similaire à celle de la « mare » (Fig.39). Le comblement argilo-limoneux brun olive clair (2.5Y5/3), assez homogène, présente une structure grumeleuse à polyédrique fine/moyenne (US 3035A). Il comporte l'inclusion de charbons millimétriques (1-2%), de fragments de terre cuite architecturale millimétriques (1-2%) et de malacofaune fragmentée. À la base, une unité d'épaisseur pluricentimétrique (5-7 cm), présente des caractères pédo-sédimentaires similaires, mais une faible inclusion de charbons millimétriques (occasionnels) et des concentrations de tâches ferrugineuses brunes, brun-rouges et jaune-vertes (US 3035B). Sa limite avec le substrat est peu nette. Cette unité semble s'apparenter à un niveau de transition entre le comblement et le substrat. Hormis les traits redoxiques probablement formés in situ, les traits concernant le fonctionnement du fossé demeurent peu lisibles sur le terrain et restent à documenter plus en détail. Pour cette raison, deux prélèvements micromorphologiques en colonne continue (Fig.39) ont été réalisés : l'un à la transition entre US 3035A et le sommet d'US 3035B (prl. VERD22-09) et l'autre en englobant la base d'US 3035A, le développement intégral d'US 3035B et sa transition avec le substrat US 3004 (prl. VERD22-10).

L'étude micromorphologique des prélèvements du log 1 et du log 2 permettra, d'une part, de donner une image plus précise du pedo-paysage et de l'usage des sols contemporains du fonctionnement des structures, à travers la caractérisation des matériaux qui constituent leur comblement. D'autre part, elle aidera à préciser le fonctionnement et donc la fonction de ces structures en creux.

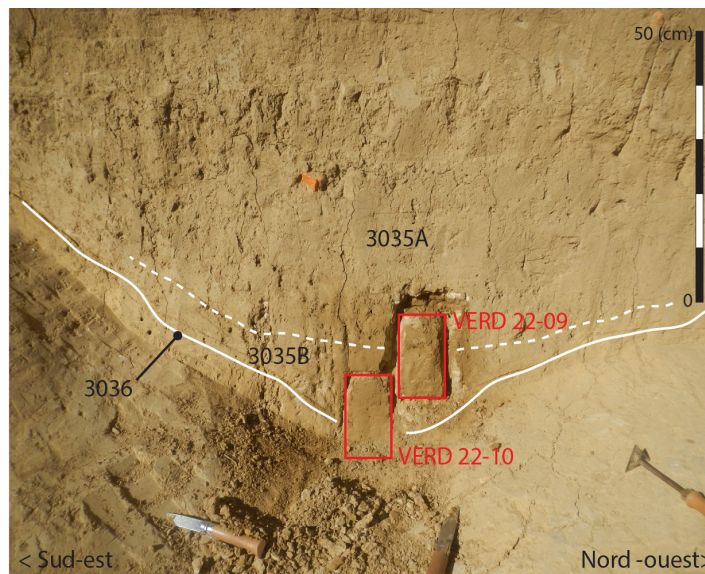


Fig.39 Fossé 3035 (Log 2) : unités pédo-sédimentaires identifiées sur le terrain et localisation des prélèvements micromorphologiques (en rouge). (A. Peinetti)

## 2.2.6. CONCLUSION

Malgré une surface de fouille trop restreintes pour appréhender correctement un établissement dont l'étendue est estimée par la géophysique à près de 2 ha, tous les éléments actuellement à notre disposition tendent à montrer que nous sommes ici en présence d'un établissement rural implanté en périphérie de l'agglomération gauloise. Son origine pourrait remonter à une phase contemporaine de l'agglomération, mais l'indigence de mobilier au sein des vestiges attribué à l'état 1 ne permet pas encore de l'attester. Toutefois, la fouille en 2023 du puits [3023] permettra certainement d'en valider l'hypothèse. En revanche, la principale phase d'occupation semble devoir être attribuée, d'après le corpus mobilier, à La Tène finale et se pérenniser ensuite durant le haut-empire (accompagné d'une évolution spatiale et architecturale difficilement perceptible à notre échelle d'intervention). L'abandon de l'établissement semble se situer dans le courant du second siècle et se traduire ensuite par une remise en culture rapide des terrains.



### 2.3. SECTEUR 4 : EXPLORATION DU QUARTIER MÉRIDIONAL DE L'AGGLOMÉRATION LATÉNIENNE

Un dernier sondage, d'une emprise légèrement inférieure à 200 m<sup>2</sup>, a été conduit à l'extrémité nord de la parcelle ZA73, à proximité immédiate de la départementale D970. L'objectif de ce sondage était double, d'une part définir la nature d'un ensemble d'anomalies linéaires détecté par prospection géophysique («**Hamon, Thivet 2021**»), d'autre part en préciser la chronologie et si possible en confirmer l'appartenance au tissu de l'agglomération gauloise.

Il est le seul à avoir livré des aménagements rattachés directement à l'habitat groupé laténien, dont la datation est comprise entre LT C2 et LT D1. La fenêtre d'observation présentait le double avantage d'avoir livré des anomalies magnétiques en densité assez forte et de recouper un sondage de 1999 («**Barral 1999**»), permettant d'assurer la continuité stratigraphique des enregistrements (**Fig.41**). Il paraît donc ici essentiel de rappeler les principaux résultats des travaux menés préalablement sur le secteur.

#### 2.3.1. RÉSULTATS DE LA CAMPAGNE DE 1999

La dernière campagne de fouille conduite par Philippe Barral à Verdun-sur-le-Doubs avait d'abord pris la forme de tranchées mécanisées. Quatre sondages ont ainsi été ouverts (**Fig.42**). Les sondages 3 et 4 (réalisés en premier), n'ayant pas livré de vestiges d'occupation gauloise, ont été rapidement abandonnés. L'enlèvement de la terre arable dans le sondage 4 n'a livré à son extrémité nord qu'un remblai étroit de pierre et de mortier, interprété comme la récupération d'un mur. Ce dernier, alors incompris, peut être mis en relation avec

un bâtiment maçonné mis en évidence au cours de la campagne de photographie aérienne réalisée par Pierre Nouvel en 2015 (**Fig.42**). Si l'identification de cette anomalie phytologique reste incertaine, la mention sur la carte de Cassini d'une tuilerie située entre le bourg de Verdun-sur-le-Doubs et le hameau du Petit Chauvort offre une piste d'interprétation qui, aux vues de la faiblesse des éléments à notre disposition, ne saurait être négligée (**Fig.40**).

Dans les sondages 1 et 2, le décapage mécanique a été arrêté au niveau où sont apparus les premiers vestiges mobiliers significatifs, à un niveau moyen oscillant entre 0,30 et 0,40 m sous le sol actuel. Les deux sondages ont ensuite été joints, formant une fenêtre d'observation d'environ 330 m<sup>2</sup> (**Fig.43**). L'élément le plus marquant de l'occupation laténienne, identifié comme un remblai d'aménagement de voie ([503]), est apparu comme une bande allongée matérialisée par une concentration exceptionnelle de matériel fragmenté et disposé à plat. Elle a été dégagée sur plus de 25 m. La partie centrale et sommitale, large de 4 m, affecte un tracé assez rectiligne d'orientation sud-nord,



Fig.40 Extrait de la carte de Cassini (depuis la plateforme Géoportail)

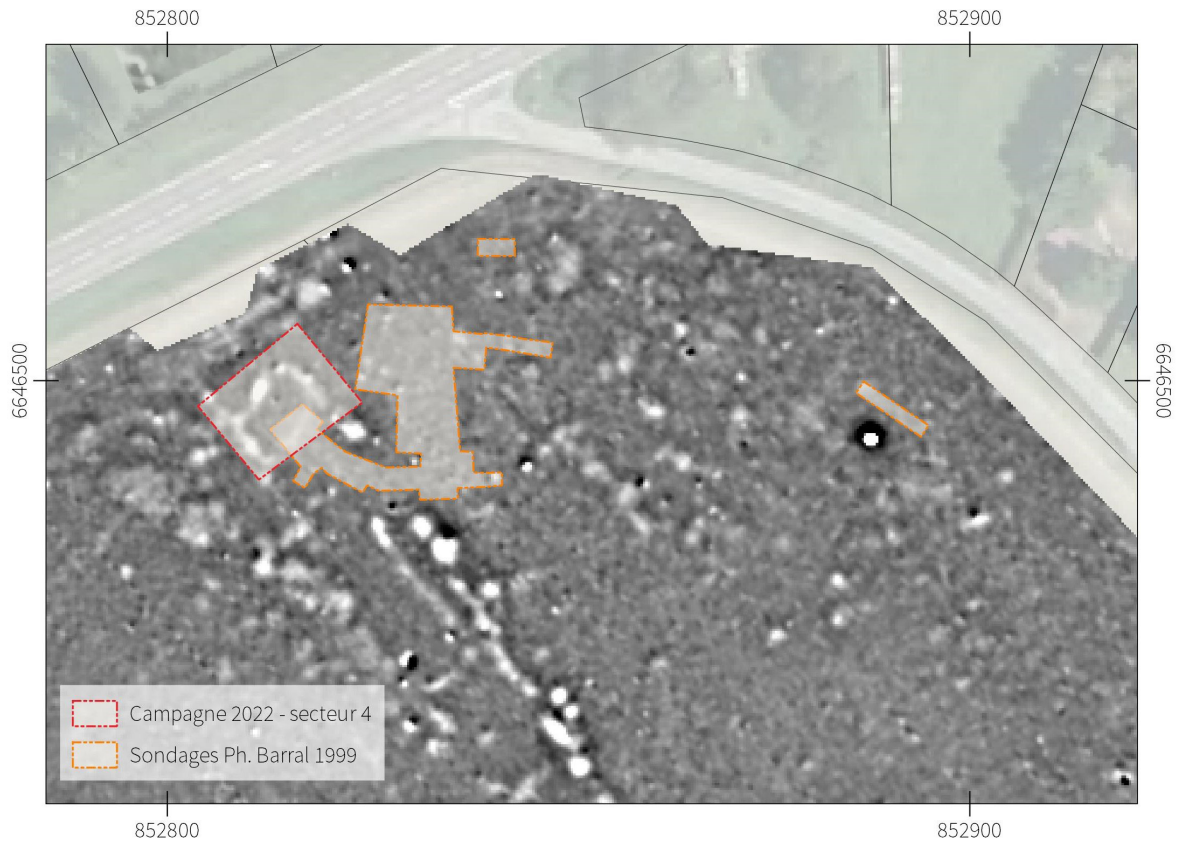


Fig.41 Localisation et emprise des sondages réalisés au sud de la D970 , sur fond de relevés magnétiques (CAO E. Hamon)



Fig.42 Localisation et emprise des sondages réalisés au sud de la D970. Fond : projection géoréférencée d'une photographie aérienne réalisée par P. Nouvel au cours de l'été 2015 (CAO E. Hamon)



interrompu au nord par une brusque inflexion en direction du nord-est. Les concentrations de mobilier se poursuivent de part et d'autre de la bande centrale de manière plus diffuse et sinueuse, sur une largeur maximale oscillant entre 8 et 12 m. Le mobilier dont est constituée la voie semble avoir fait l'objet d'une sélection, où faune et amphore sont largement majoritaires tandis que la céramique est peu fréquente. On notera également la présence en surface de l'axe de cheminement et sur un espace assez restreint, de plusieurs objets en fer intacts ou peu abîmés (parmi lesquels on compte notamment une pelle à feu et une entrave de prisonnier avec sa clé ()) ainsi qu'un ensemble de petits objets en bronze (tôles, tiges, fabricats de fibule, etc.) interprétable comme un rejet d'atelier. La richesse

et la diversité du mobilier mis aux jours fournissent un faciès clairement rattachable à LT D1, présentant ponctuellement des éléments plus anciens.

De part et d'autre de cette voie, huit fosses, pour certaines très superficielles, sont également rattachables à l'occupation laténienne. À l'exception d'un silo circulaire [505], La morphologie de la plupart d'entre elles ne permet pas d'interroger leurs fonctions primaires. Leurs comblements détritiques fournissent des datations tout à fait cohérentes avec le reste de l'habitat groupé, entre LT C2 et LT D1a.

La fouille a également livré des structures postérieures à l'occupation laténienne, que la faiblesse des

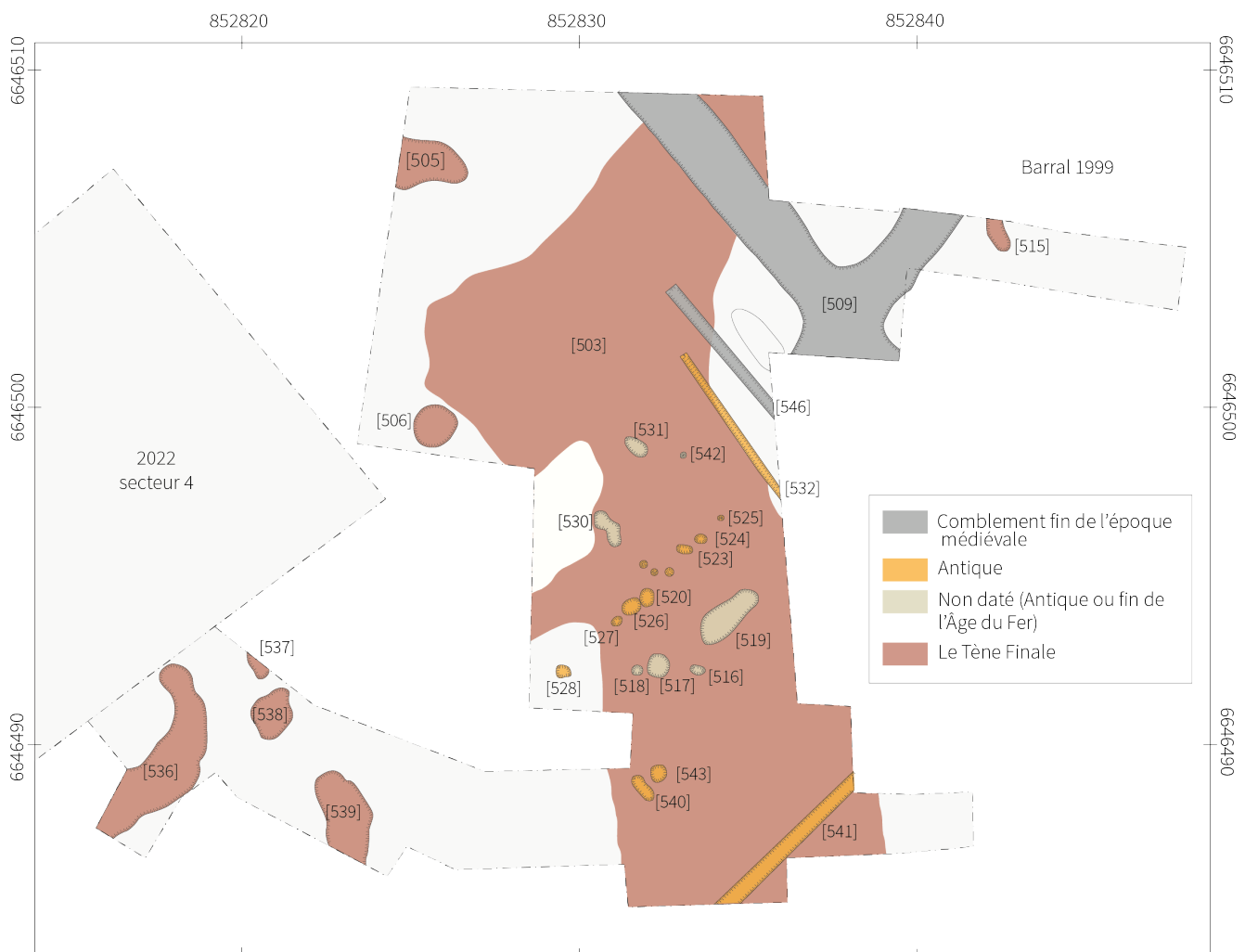


Fig.43 Plan phasé des structures de la campagne 1999, d'après Barral 1999 (DAO E. Hamon)

éléments mobiliers ne permet pas de dater précisément. Ils ont été distingués soit par leurs insertions stratigraphiques, soit pour des questions de cohérence avec l'organisation générale des structures gauloises. Parmi les éléments les plus marquants, on pourra mentionner un alignement de plusieurs trous de poteaux d'orientation est-ouest, ou encore plusieurs tranchées de récupération de murs qui pourraient appartenir à un ensemble cohérent. L'élément le plus tardif correspond au croisement de deux segments de fossés synchrones dont le comblement final semble intervenir vers le XVe-XVIe siècle, tel que le suggère la découverte en partie supérieure du comblement de petits fragments de céramique glaçurée verte.

### 2.3.2. PRINCIPAUX ÉLÉMENTS DE STRATIGRAPHIE

La stratigraphie d'ensemble observée dans le sondage 4 peut se résumer comme suit. La couche de terre végétale actuelle, épaisse de 0,10 à 0,15m, est composée d'un limon brun organique homogène. Elle recouvre un niveau [4000] de limon argileux brun clair, homogène, qui présente du matériel archéologique épars, généralement fragmenté, d'époques diverses (mobilier médiéval, fragments de tuiles antiques). Cet horizon régulier de sédiment alluvionnaire anthropisé pourrait correspondre aux labours liés à la mise en culture du secteur aux époques antique et post-antique. Il a été observé sur l'ensemble du secteur investi sur une épaisseur de 0,20 à 0,25 m. La faiblesse des éléments mobiliers protohistorique dans ce niveau, en plus de la conservation des niveaux d'épandage de mobilier tel que décrit dans les fouilles de 1999, suggère un faible arasement des niveaux laténien.

Le décapage mécanique s'est poursuivi jusqu'au



Fig.44 vue de la couche de remblai US 503 en cours de dégagement; on distingue nettement l'entrave et une pelle à feu (Barral 1999)

niveau d'apparition des premières concentrations significatives de mobilier. Des niveaux associés à l'habitat laténien ont pu être reconnus sur la totalité de la zone ouverte. Ils apparaissent sous la forme de concentrations de mobilier, notamment de faune, en quantité très variable, parfois éparse, localement très abondante, correspondant au remplissage supérieur des structures excavées. L'ensemble des structures fossoyées reconnues dans le secteur apparaissent à une altitude similaire, à une côte d'environ 175,9 m NGF, soit à une profondeur d'environ 0,4 m par rapport au sol actuel. Elles entament un limon sableux jaune brun caractéristique des dépôts de plaine alluviale, en tout point semblable à celui observé lors des campagnes précédentes. Contrairement aux observations conduites en 2021 au nord de la départementale D970 (secteur 1), aucun indice de fréquentation antérieure à l'habitat gaulois du Petit Chauvort n'a été identifié. L'ensemble des aménagements étudiés dans le secteur 4 semble pouvoir se rattacher à la période laténienne.

Aucun sol ni aucun niveau de circulation n'est apparu dans la zone investie. L'observation d'un remblai constitutif d'une voie contemporaine de la dernière



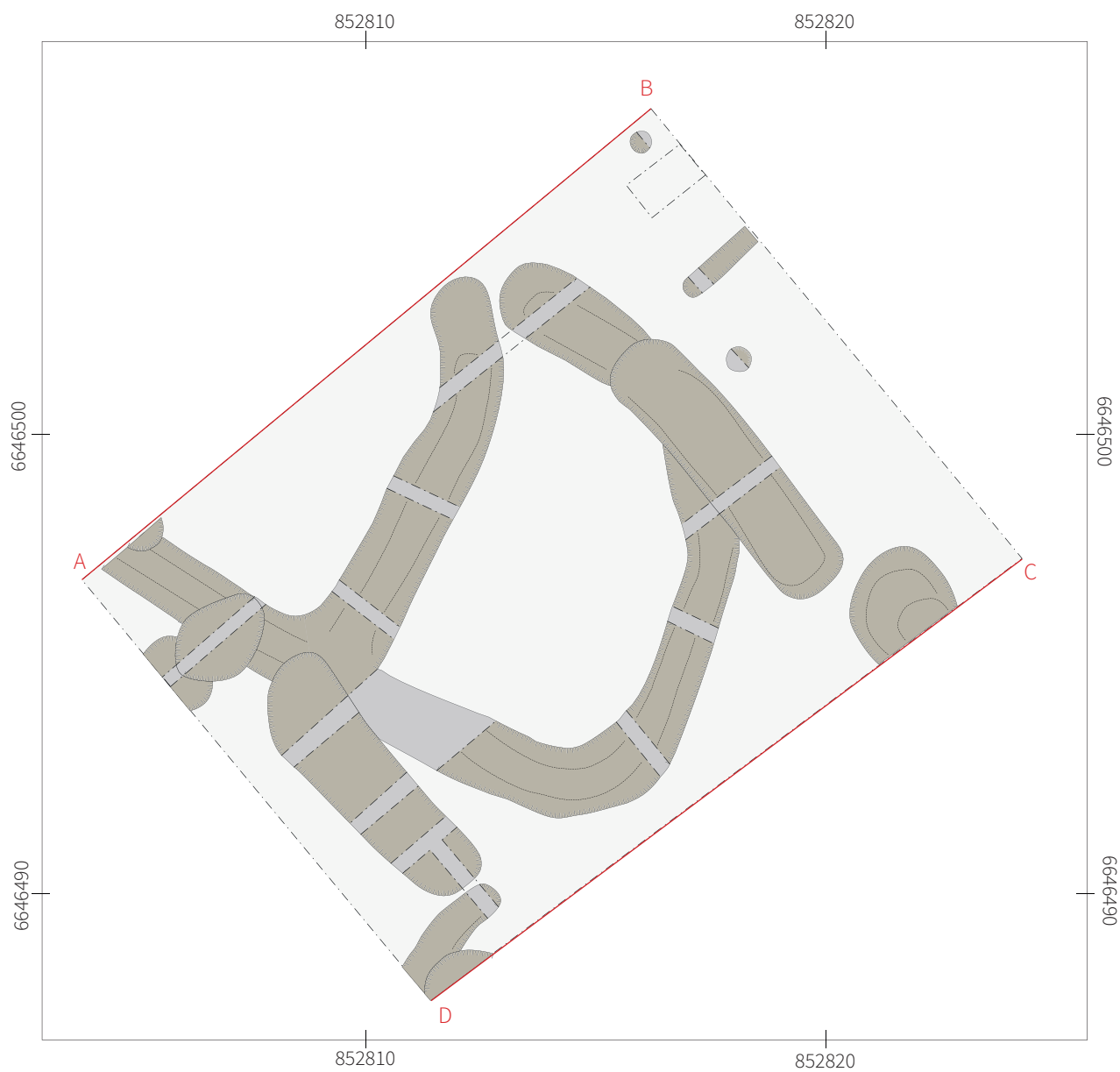
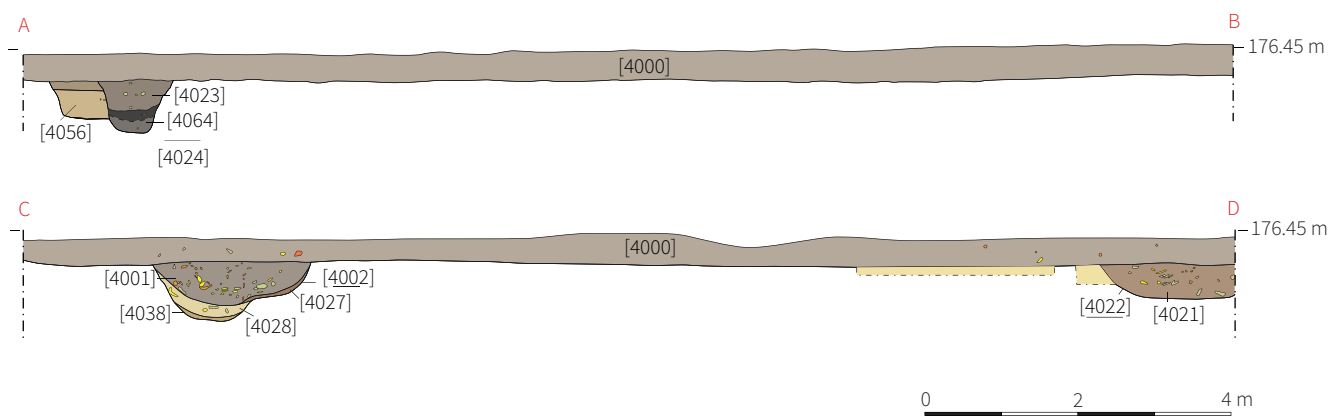


Fig.45 Coupes de référence et plan d'ensemble des structures du secteur 4 (DAO E. Hamon)

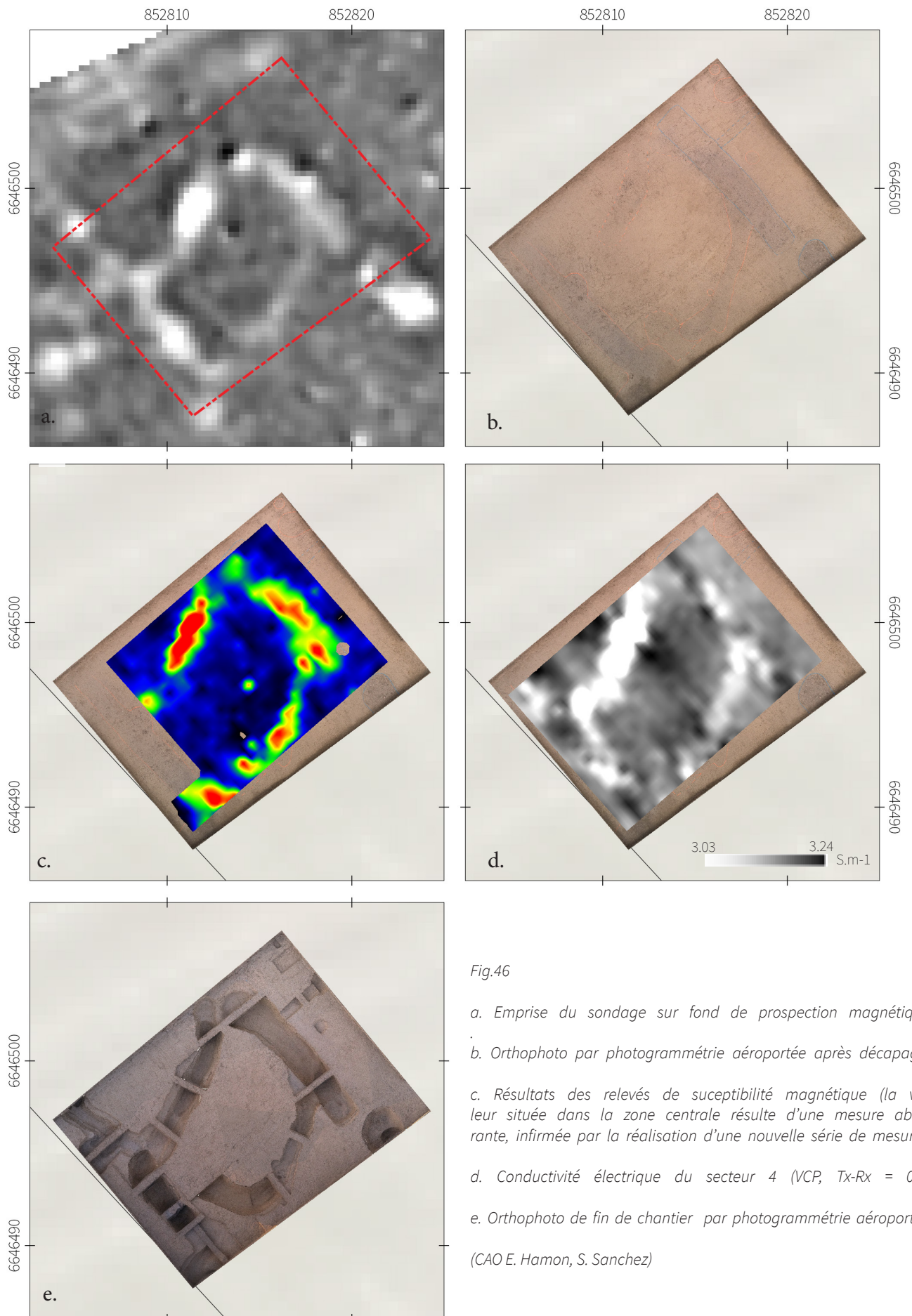


Fig.46

- a. Emprise du sondage sur fond de prospection magnétique
  - b. Orthophoto par photogrammétrie aéroportée après décapage.
  - c. Résultats des relevés de susceptibilité magnétique (la valeur située dans la zone centrale résulte d'une mesure aberrante, infirmée par la réalisation d'une nouvelle série de mesure).
  - d. Conductivité électrique du secteur 4 (VCP, Tx-Rx = 0.5)
  - e. Orthophoto de fin de chantier par photogrammétrie aéroportée
- (CAO E. Hamon, S. Sanchez)

phase d'occupation de l'habitat groupé du Petit Chauvort dans le sondage contigu de 1999 (Fig.43) suggère néanmoins que les aménagements n'aient pas subi un important arasement dans ce secteur.

Les structures appréhendées au décapage ont été aussitôt marquées à la bombe de peinture, afin de se prémunir autant que possible du séchage du sédiment entraînant la disparition rapide des couleurs. Notons que l'ouest du secteur présentait une importante densité d'aménagements dont le comblement superficiel, homogène, ne permettait pas la distinction entre les différents éléments. Le comblement superficiel de cette zone [4019] a été dégagé par passes artificielles d'environ 0,05 à 0,10 m jusqu'à l'appréhension des limites de structures.

Un certain nombre de bermes, aménagées dès la phase de nettoyage, ont été conservées jusqu'à la fin de l'opération pour obtenir des coupes stratigraphiques du remplissage des structures. Les remplissages ont régulièrement fait l'objet de divisions artificielles entre ces bermes, afin de spatialiser le mobilier à l'intérieur des couches les plus étendues.

### 2.3.3. STRUCTURES DE L'OCCUPATION LA-TÉNIENNE

La zone investie au nord de la parcelle ZA73 présente une densité de structures excavées légèrement inférieure à celle observée au nord de la route départementale en 2021 (Fig.46). Contrairement aux observations faites au Petit Chauvort (secteur 1), ces fosses de taille et de morphologie variable observent des recoupements qui apportent des informations de chronologie relative et autorisent l'appréhension de l'évolution du secteur. La quasi-totalité des structures mise aux jours présente un remplissage chargé en objets domestiques et/ou artisanaux fragmentés qui atteste d'une fonction secondaire de dépotoir au cours de la phase d'abandon. L'insertion stratigraphique des

vestiges permet pour l'heure d'identifier deux états d'occupation distincts. Dans l'attente de la finalisation des études spécialisées, à mesure de nous fournir de précieuses informations de chronologie, les structures isolées ont été placées dans l'état II. Les observations de terrains suggéraient pour la plupart d'entre elles une appartenance à la phase d'occupation la plus récente. Certaines structures ont livré du mobilier en quantité très faible, qui ne permettront pas une datation précise. Seules les questions d'ordonnement général pourront alors être évoquées.

### ETAT I

Le premier état est caractérisé par une série de creusements longilignes dessinant en plan un rectangle aux angles incurvés d'une surface d'environ 58 m<sup>2</sup> (9 x 6.5m mesures prises au centre des structures). L'espace interne est vide d'aménagement, tel que le confirment les relevés géophysiques (Fig.46 c et d). La limite occidentale présente une excroissance qui se poursuit vers le nord-ouest jusqu'au-delà de la fenêtre investie, interdisant l'appréhension de cet ensemble dans sa globalité (Fig.47). Malgré une bonne homogénéité générale, il observe des variations spatiales sensibles, tant dans les profils de creusements que dans la composition de leurs complements :

- Le tronçon méridional [4016], d'orientation nord-est/sud-ouest, avait déjà été reconnu partiellement lors de la campagne de 1999 (Barral 1999, St. 535). Elle avait été observée comme une fosse oblongue peu profonde, longue d'environ 3,2 m. La poursuite des investigations nous en donne une image plus complète. Son remblai supérieur [4015] est composé d'un limon sableux brun jaune. Il présente localement des perturbations diffuses, matérialisées par des poches de sédiment plus sombres ou par des concentrations isolées de paillettes de charbon, ayant laissé penser à la présence de trou de poteau, sans qu'il n'ait été possible

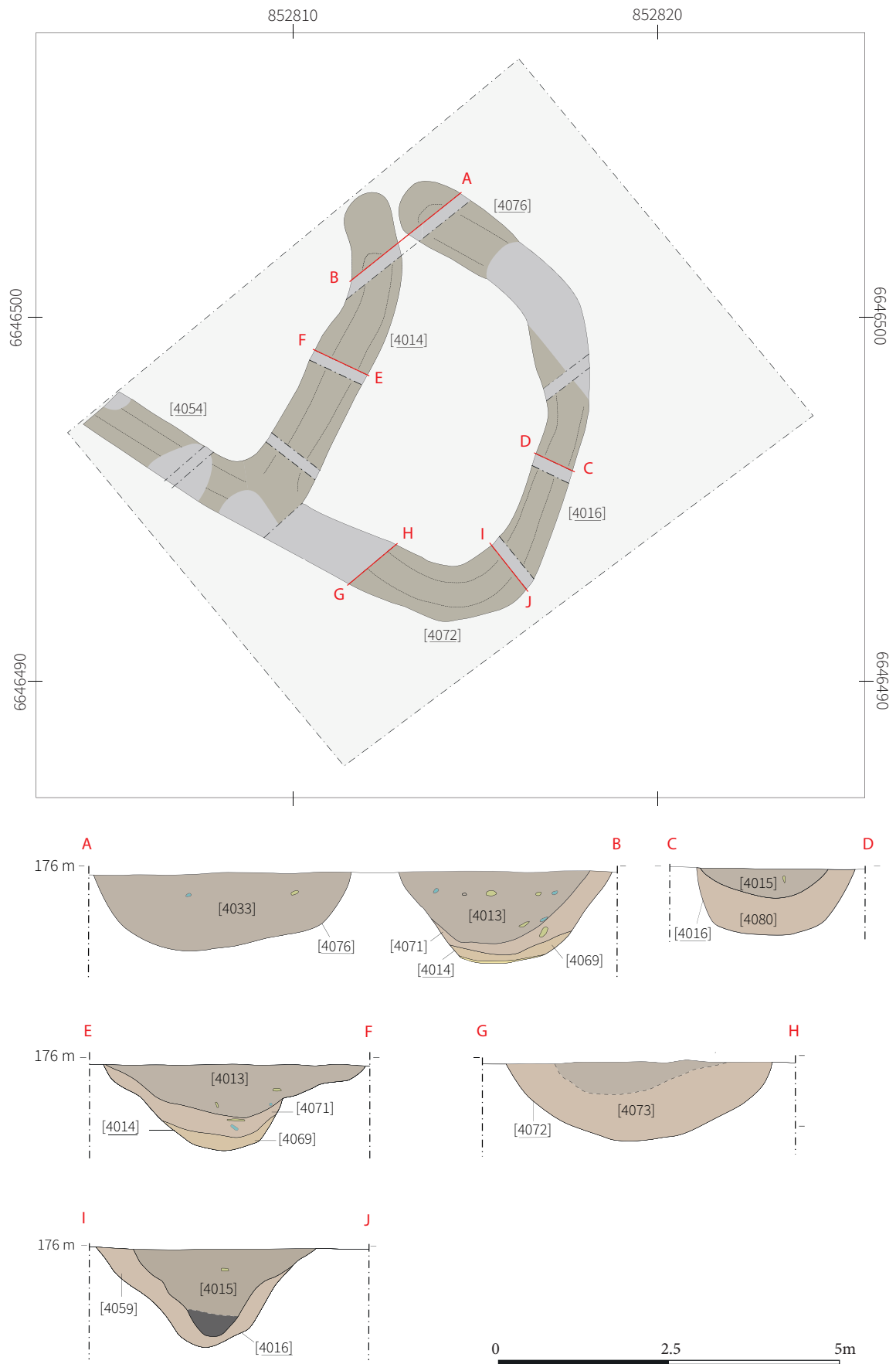


Fig.47 Plan des structures de l'état I (DAO E. Hamon)



de les distinguer clairement. Le comblement inférieur [4059=4065] ne se distingue de l'encaissant que par la présence éparses de mobilier, observé principalement contre les parois du creusement. Le dégagement de ces remblais permet d'observer un profil de creusement curviligne, large d'en moyenne 1,30m et profond d'environ 0,70 m.

Les extrémités orientale et occidentale du tronçon [4016] sont marquées par des retours à angle droit en direction du nord-est, où ils sont respectivement recoupés par des structures [4004] et [4020], rattachées à l'état II (cf infra).

- Le tronçon oriental [4076], d'orientation NO-SE, n'est conservé que dans son extrémité nord sur une longueur d'environ 3 m, où il conserve encore une largeur de 1,6 m environ. Il présente des parois quasi verticales en partie supérieure et un fond en forme d'auge. Son extrémité nord accuse une pente assez douce vers le sud. Il n'est pas lié au tronçon septentrional [4014], constituant à l'angle nord-est la seule interruption dans les creusements de l'ensemble d'état I. L'emprise actuelle ne nous permet pas elle pourrait témoigner de l'existence d'un dispositif d'accès se poursuivant sous la limite de fouille septentrionale.

- Le fossé septentrional [4014] n'a connu aucune perturbation postérieure à son comblement. De même largeur que le précédent, il fait un peu plus de 8 m de long pour 1,50 m de large. Son extrémité nord-est est marquée par un appendice peu profond aux parois très évasées, long d'environ 1,6 m, dont l'orientation nord-sud diffère de celle du reste de la structure.

En partie supérieure, la tranchée est comblée par un niveau [4013] de limon sableux brun gris parsemé de nodules d'argile rubéfiée noirs, roses et blancs.



Fig.48 Tranchée méridionale [4014] en cours de fouille (cliché E. Hamon)

Notons également qu'une fine poche [4052] constituée exclusivement d'argile rubéfiée rouge orangé a pu être observée en partie inférieure ce remblai [4013], contre la paroi sud du creusement de la structure. Il repose sur un niveau [4071] brun jaune qui présente en partie inférieure une concentration systématique de nodules de charbon. Il s'appuie contre un niveau de sable fin [4069], épais de deux à cinq centimètres seulement, qui tapisse le fond de la structure dans son ruban central.

- Le tronçon occidental [4054], lié au précédent [4014], est recoupé par plusieurs aménagements postérieurs ([4020], [4037] et [4054]) et n'a pu être apprécié que très partiellement. Son comblement [4055] présente en partie basse de nombreuses traces d'oxydoréduction subhorizontales [4078], qui pourraient témoigner d'un contact prolongé du sédiment avec de l'eau. Un prélèvement a été effectué dans le profil en vue d'étude géomorphologique. L'analyse de ces prélèvements, qui se poursuit actuellement, devrait permettre une meilleure appréhension des dynamiques de comblement de cette structure.

- L'interprétation de cet ensemble, qui n'a été appréhendé que partiellement, présente plusieurs

difficultés. Néanmoins, deux hypothèses principales peuvent être évoquées :

- Les tranchées pourraient se rapporter à des fondations de poteaux plantés, dont le démantèlement n'aurait laissé que des traces diffuses. Le comblement du tronçon méridional présentait en effet plusieurs perturbations localisées qui pourraient suggérer la présence et l'enlèvement de poteaux. Le comblement du tronçon septentrional observait également des poches de concentration de mobilier qui pourraient évoquer un phénomène similaire. Cette hypothèse est confortée par la profondeur inhabituelle des creusements, qui atteignent régulièrement 0,60 m.

- Les indices ténus de circulation d'eau, observées dans les tronçons nord et ouest des tranchées, peuvent aussi suggérer une fonction de drainage des eaux de pluie. L'ordonnement général des tranchées de drainage, qui forment un espace rectangulaire vide de vestige, pourrait se rapprocher des découvertes (fig. xx) réalisées sur les sites de Moulay (Mayenne; «**Le Goff 2020**») ou de la ZAC de Bâtipolis à Aiffres (Deux-Sèvres). P. Péfau («**Péfau 2021**», p. 464) propose d'y voir des « indices indirects » permettant de déduire la présence d'un édifice dont la structure porteuse n'a pas laissé de trace au sol, soit parce qu'elles ont disparu, soit parce qu'elles se réfèrent à un mode de construction non fondé (construction à parois porteuses, édifice en terre massive, etc.).

En l'état, aucun argument archéologique ne permet de trancher entre ces deux propositions. La poursuite des investigations vers le nord s'avère indispensable à la meilleure compréhension de ce complexe. L'agencement général des vestiges permet tout au plus de restituer l'édification, à l'état I, d'un bâtiment rectangulaire dans une orientation SE/NO, suivant un gradient d'environ 150 degrés.

## ÉTAT II

L'abandon du bâtiment d'état I entraîne un important réaménagement du secteur. L'état II regroupe la majorité des vestiges antérieurs. Les éléments les plus marquants de cette restructuration concernent deux tranchées oblongues ([4004] et [4020]) parallèles l'une de l'autre et distantes d'environ 9 m (**Fig.50**). Le premier élément notable consiste au changement général d'orientation des structures, où l'axe des tranchées d'état II (130 degrés) diverge d'environ 20 degrés par rapport à l'axe du creusement oriental du bâtiment d'état I.

- La structure [4004], à l'est du secteur, est caractérisée par un creusement rectangulaire aux angles arrondis, orienté sud-est/nord-ouest. Elle accuse une largeur relativement régulière d'environ 1,7 m pour une longueur d'environ 6,8 m. Elle recoupe sur toutes leurs profondeurs les structures [4016] et [4076] qui forment l'angle sud-est du bâtiment rectangulaire d'état I.

Son comblement superficiel [4003], atteignant parfois plus de 0.60m d'épaisseur, est le plus massif. Il est composé de limon sableux brun-beige riche en matériel détritique. Il recouvre un fin niveau [4034] de limon qui se distingue notamment la fréquence



Fig.49 Comblements de la structure [4004], qui recoupe à gauche la tranchée [4016] (cliché V. Franchini)

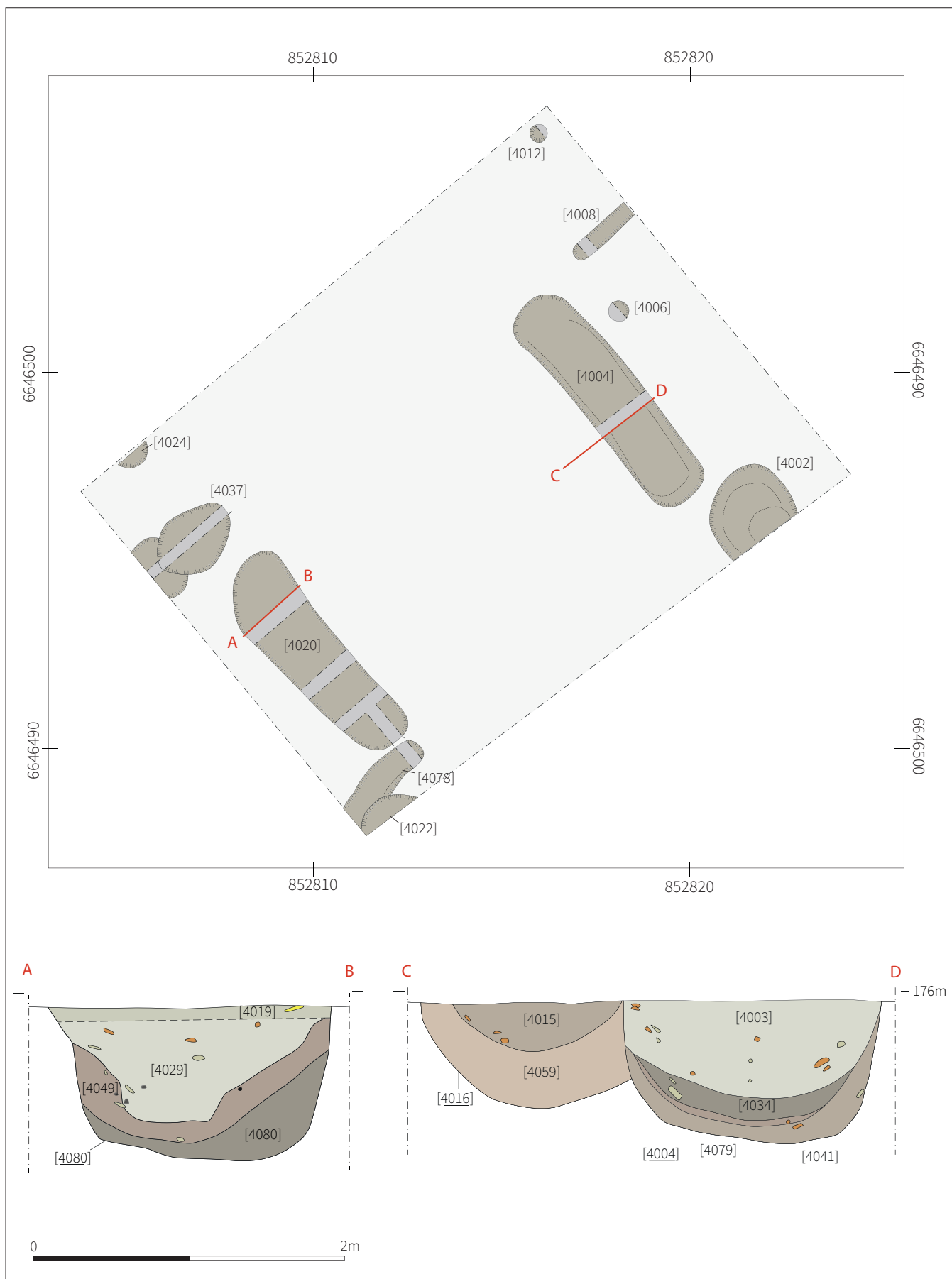


Fig.50 Plan et sélection de coupes des structures de l'état II (DAO E. Hamon)



importante d'inclusions de paillettes de charbon. Il s'appuie sur une fine couche [4079] de torchis rubéfié, d'emprise très réduite, observée de manière ponctuelle à peu près au centre de la structure. L'emprise de cette dernière, ainsi que son pendage, apparaît de manière assez nette sur le relevé de susceptibilité magnétique à (Fig.46c). Le creusement [4004], profond d'en moyenne 0.80m, présente des parois subverticales (env. 80 degrés) et un fond légèrement cuvelé qui accuse un discret pendage en direction du sud.

- La structure [4020], à l'ouest du sondage, a des caractéristiques similaires à la précédente [4004]. Elle fait 6,50 m pour une largeur moyenne de 1,70 m et une profondeur maximale d'un mètre. Le creusement présente des parois subverticales et un fond légèrement curviligne.

Elle est comblée par des remblais de démolition, chargés en pastilles de charbon et en lentilles de torchis carbonisé, dans lequel douze couches distinctes ont pu être observées (Fig.52). La majorité d'entre elles n'avaient que des emprises réduites, difficiles à suivre en plan. L'enlèvement du comblement supérieur [4029], constitué d'un limon argileux brun foncé, a permis d'observer plusieurs plaques de torchis rubéfié



Fig.52 Vue de profil des comblements de la structures [4020] (clichés E. Hamon)

[4031] observées en lambeaux disjoints (Fig.51). Elles observaient un pendage vers la partie centrale de la structure. La présence systématique d'une fine interface de cendre [4047] sous les fragments de plaques trahit la destruction par le feu du clayonnage. Plusieurs tâches de charbon diffuses ont été distinguées dans le comblement inférieur du creusement, notamment à proximité de la paroi orientale. Il est possible de les interpréter soit par le rejet d'éléments de démolition, soit par l'existence de poteaux, sans qu'aucun ordre ne soit apparu clairement. Le comblement initial [4080], constitué de limon argileux jaune proche de l'encaissant, témoigne du lessivage des parois du creusement.



Fig.51 Photos d'ensemble et de détail des plaques de torchis rubéfiés [4031]. On distingue clairement à droite l'interface de cendre [4047] (clichés E. Hamon)



L'interprétation des tranchées [4004] et [4020] restent pour l'heure équivoques. Plusieurs hypothèses peuvent être proposées :

- La première hypothèse consiste à rapprocher ces structures de bâtiments semi-excavés/Grubenhäuser, qui constituent le mode de construction le plus couramment mis en évidence sur l'habitat gaulois du Petit Chauvort, avec neuf occurrences («**Barral 1997**», «**Hamon, Thivet 2021**»). Ce type de structure répond à un mode de construction largement répandu dans les agglomérations de la fin de l'âge du Fer en Europe centrale, depuis la Bavière jusqu'au piémont des Carpates, notamment en contexte de plaines alluvionnaires. L'emprise réduite des structures rencontrées, qui délimitent des espaces de 4,5 m<sup>2</sup> à 8 m<sup>2</sup>, suggère qu'elles aient aussi pu constituer les soubassements de bâtiments plus importants, dont il ne reste aucune trace. Les tranchées [4004] et [4020], caractérisées par une ouverture en plan allongée et étroite, ainsi que par une profondeur importante (jusqu'à un mètre), se distinguent néanmoins assez nettement des modules observés au cours des campagnes précédentes. L'absence de systèmes d'accès (appendice ou emmarchement), pourtant couramment mis en évidence sur le site, ainsi que l'irrégularité de leurs fonds (qui adoptent régulièrement des profils curvilignes), sont également

des critères en défaveur de cette interprétation.

- La seconde hypothèse consiste à les identifier comme de larges tranchées de fondation. Ce mode de construction singulier souffre néanmoins d'un manque criant de comparaisons (**Fig.53**). On peut mentionner à ce titre le bâtiment 1.1 découvert lors de la fouille du «**Village Vacances**» («**Laruaz 2018**») sur l'oppidum des Châtelliers à Amboise (Indre-et-Loire). Il se compose de quatre tranchées, larges d'environ 1 m et profondes d'un maximum d'environ 0,80 m, associées deux à deux dans le sens de la longueur. Elles délimitent un bâtiment d'une surface d'environ 12,5 x 7 m. La fouille de la «**ZAC le Redoux**» («**Cure 2019**»), à Chaize-le-Vicomte (Vendée) a également livré des témoignages de plusieurs bâtiments (UND 2292, 2267 et 2546) ancrés au moyen de tranchées de fondation quadrangulaires.

Compte tenu de la présence d'un bâtiment de taille importante à l'état précédent d'une part, et de la symétrie entre les deux tranchées d'autre part, il est tentant d'envisager qu'elles appartiennent à un même bâtiment monumental, remplaçant le bâtiment d'état I. L'espacement entre les deux tranchées, d'environ 9 m, et l'absence d'indice de fondation intermédiaire, ne permet néanmoins pas de restituer une construction en mesure de supporter la charge des éléments en



Fig.53 Quelques exemples de bâtiments fondés sur tranchées de fondation massives, issus de fouilles récentes. (D'après Laruaz 2018 et Cure 2019))

élévation. S'il est possible d'envisager que des traces de fondations intermédiaires aient pu disparaître, il nous semble préférable en l'état des connaissances de proposer une autre lecture du plan, où la tranchée orientale pourrait se référer à l'existence d'un bâtiment se développant vers l'est, en direction de la voie mise au jour en 1999 et tout juste distante de 5 m environ. Cette hypothèse est confortée par la présence, à l'ouest du secteur, d'un creusement longiligne peu profond [4008]. Ce dernier, perpendiculaire à la tranchée [4004] et situé à seulement 1 m de sa limite septentrionale, peut être interprété comme une sablière. Son remplissage [4007] n'a malheureusement livré aucun mobilier capable d'en fournir une datation précise. De la même manière, il est possible d'identifier le creusement [4081], accolé au sud de la tranchée [4020], comme une sablière participant au maintien d'un bâtiment se prolongeant vers l'ouest. Là aussi, les levés magnétiques suggèrent une distance approximative d'environ 5 m entre la tranchée [4020] et les premières anomalies qui se développent à l'ouest.

L'emprise réduite de la fenêtre sondée ne livre aucun argument archéologique permettant de trancher pour l'instant de manière certaine en faveur de l'une



Fig.54 Photo oblique de la coupe de la structure [4002], en limite de fouille (cliché V. Franchini)

ou l'autre de ces hypothèses. L'appréhension de l'organisation globale du secteur via l'extension des zones de fouille, apparaît désormais nécessaire.

- La structure [4002] (Fig.50) n'a été appréhendée que partiellement au sud-est de la fenêtre investie, sur une longueur d'environ 1,8 m. Le relevé de prospection magnétique suggère qu'elle puisse s'étendre de plusieurs mètres en direction du sud, sans qu'il soit possible d'en restituer les dimensions et la morphologie précise. D'une profondeur moyenne de 0,40 m, elle présente un profil cuvelé dont le fond est marqué par un surcreusement semi-circulaire d'environ 0,20 m, observé en limite de sondage. Son comblement superficiel [4001], formé de limon charbonneux brun foncé, est chargé en matériel détritique (Fig.54). On y observe notamment une bonne concentration d'amphore ainsi que plusieurs fragments de vaisselle de service en Campanienne B, dont une partie n'a été observée qu'en coupe et n'a pour l'heure pas fait l'objet de prélèvement. La composition particulière du rejet interroge néanmoins quant à la nature du dépôt, qu'il est possible de rattacher à LT D1b (cf 3.2.1). Les résultats des analyses spécialisées, qui se poursuivent actuellement, devrait permettre de mieux l'appréhender.

Le remblai [4001] repose sur un niveau [4027] de limon jaune dont l'apparence est proche de l'encaissant, qui ne livre aucun mobilier. Ce dernier, assez épais à l'extrémité nord de la structure, s'affine vers le centre de la structure. Il pourrait témoigner de l'effondrement ou du lessivage des parois du creusement. Le surcreusement semi-circulaire est comblé avant l'intervention du remblai [4027]. En partie supérieur, il est comblé par une couche [4028] de limon gris foncé qui présente de nombreuses inclusions de

microcharbons. Cette dernière repose sur un fin niveau de limon jaune [4038] dans laquelle les charbons sont plus rare, et qui se distingue du sédiment environnant que par la présence éparses de restes fauniques.

- La fosse [4037] forme en plan un creusement ovalaire de 2,30 m par 1,7 m (Fig.50). Elle adopte un profil cuvelé profond d'environ 0,40 m. Elle recoupe, au nord de la structure [4020], la tranchée occidentale d'état I [4054=4056]. Deux comblements distincts ont pu être identifiés. Le comblement supérieur [4036], constitué limon argileux brun foncé, présentait des inclusions de nodules d'argile jaune vif, qui pourraient se rattacher au pourrissement de débris végétaux. Elle repose sur un niveau [4043] de limon argileux gris-noir présentant en surface une importante concentration de mobilier observé à plat, parmi laquelle la faune y était largement majoritaire (Fig.55). On y mentionnera la découverte d'une obole de Marseille (ISO.4043.1) qui témoigne du caractère tardif de la structure, dont le TPQ doit être placé autour de 90 av. n.-è. (cf infra). Il



Fig.55 Niveau d'apparition du comblement [4043] de la fosse [4037] (cliché M. Deblois)

s'agit de la deuxième obole de Marseille identifiée sur le site, après la découverte en 1996 d'une monnaie appartenant à la même série sur un niveau d'épandage superficiel (ISO.05.1 – «Barral 1999»).

- La fosse [4024], apparue en limite nord du sondage, n'a été appréhendée que partiellement, sous la forme d'un creusement semi-circulaire d'un mètre de diamètre, profond d'environ 0,65 m (Fig.50). Elle adopte un profil en auge dont les parois évasées suivent un pendage d'environ 65 degrés. On observe un remblaiement dans lequel on discerne difficilement plusieurs couches de remplissage [4023 et 4064] à partir de variations de teintes, du gris clair au brun foncé. Son comblement, riche en microfragments de charbons de bois, est parsemé de matériel fragmenté et assez peu abondant.

- La fosse [4022] n'a été reconnue que partiellement, à l'angle sud-ouest du sondage (Fig.50). Il s'agit d'une fosse superficielle, dont la morphologie générale, pseudo-circulaire ou ovalaire, ne peut pas être assurément restituée. Elle présente des limites diffuses. Sont le comblement [4021] composé de limon argileux hétérogène est en tout point similaire à celui du creusement contigu [4081]. Seule l'appréhension de la partie basse des creusements a permis la distinction entre les deux structures.

- Le secteur 4 a encore livré deux creusements circulaires [4006] et [4012] d'environ 0,40 m de diamètre, peu profonds, identifiés comme des trous de poteaux isolés (Fig.50). On notera la découverte dans le comblement [4011] du second, situé à l'angle nord-est du sondage, d'un potin au guerrier courant (LT 8124, cf 3.6) inhabituel sur l'agglomération.

## BIBLIOGRAPHIE

### Barral 1996

BARRAL Ph., 1996. *Verdun-sur-le Doubs, Le Petit Chauvort (Saône et Loire)*. Rapport de fouille archéologique programmée, Dijon, SRA Bourgogne, 17 p.

### Barral 1997

BARRAL Ph., 1997. *Verdun-sur-le Doubs, Le Petit Chauvort (Saône et Loire)*. Rapport de fouille archéologique programmée. Dijon, SRA Bourgogne, 24 p.

### Barral 1998

BARRAL Ph., 1998. *Verdun-sur-le Doubs, Le Petit Chauvort (Saône et Loire)*. Rapport de fouille archéologique programmée. Dijon, SRA Bourgogne, 58 p.

### Barral 1999

BARRAL Ph., 1999. *Verdun-sur-le Doubs, Le Petit Chauvort (Saône et Loire)*. Rapport de fouille archéologique programmée. Dijon, SRA Bourgogne, 101 p.

### Barral, Videau 2012

BARRAL Ph., VIDEAU G., 2012. « De Bibracte à Vesontio : esquisse d'une périodisation de la fin de l'âge du Fer en Bourgogne et Franche-Comté ». In BARRAL Ph., FICHTL S. (dir.), *Regards sur la chronologie de la fin de l'âge du Fer (IIIe - Ier siècle avant J.-C.) en Gaule non méditerranéenne*. Actes de la table-ronde de Bibracte, Bibracte, Glux-en-Glenne, 2012, 95-113.

### Benech, 1998

BENECH C., 1998. *Prospection magnétique sur le site du Petit Chauvort*, SRA Bourgogne, Dijon, 1998, 2 vol., n. p.

### Blondel, Collet, à paraître

BLONDEL F., COLLET A., à paraître. exploitations, transformations et utilisations du chêne à feuillage caduc sur le site du champ du four à saint-marcel (saône-et-loire) à partir de trois puits cuvelés datés du second

âge du fer. In, publication des actes du 45ème colloque de l'AFEAF, du 13 au 15 mai 2021, Gijon

### Bocquillon, Lambot, 2012

BOCQUILLON H., LAMBOT B. (dir.), 2012. Le site protohistorique d'Acy-Romance, Ardennes. IV, Les constructions du village gaulois. Société archéologique champenoise, Reims, 316 p.

### Courty, Fedoroff 2002

COURTY M.-A., FEDOROFF N., 2002. Micromorphologie des sédiments archéologiques, in Miskovsky J.-C. (dir.), *Géologie de la préhistoire*, Paris, Association pour l'étude de l'environnement géologique de la préhistoire, p. 277-316.

### Courty et al. 1989

COURTY M.-A., GOLDBERG P., MACPHAIL R., 1989. Soils and micromorphology in archaeology, Cambridge / New York, Cambridge University Press (Cambridge manuals in archaeology), 344 p.

### Cure 2019

CURE L., POIRIER-COUTANSAIS Chl., SASSI M. 2019. Un établissement de la seconde moitié du Second âge du Fer à la Chaize-le-Vicomte « ZAC Le Redoux » (Vendée), Bulletin de l'AFEAF, 37, p. 55-58.

### Durost 2005

DUROST S., 2005. Dendrochronologie et dendroclimatologie du 2e âge du Fer et de l'époque romaine dans le Nord et l'Est de la France. Datations, système de références et modélisations, Thèse de doctorat, Univ. de Franche-Comté, France

### Fichtl et al. 2019

FICHTL S., BARRAL Ph., PIERREVELCIN G. et al. (dir.), 2019. *Les agglomérations ouvertes de l'Europe celtique (IIIe - Ier s. av. J.-C.)*. Table ronde internationale (Glux-en-Glenne, 28-30 oct. 2015). AVAGE, Strasbourg, 450p.



(Mémoires d'Archéologie du Grand Est, 4).

#### **Guillot, 1970**

GUILLOT A., 1970. Rapport de fouilles. Fouilles de sauvetages (1969-1970) du site de la Tène III du Petit Chauvort (Verdun-sur-le-Doubs), Direction des Antiquités Historiques de Bourgogne, Dijon, 26 p.

#### **Guillot, 1972**

GUILLOT A., 1972. Rapport de fouilles. Fouilles en 1971-1972 du site de la Tène III du Petit Chauvort (Verdun-sur-le-Doubs), Direction des Antiquités Historiques de Bourgogne, Dijon, 32 p.

#### **Hamon, Thivet 2021**

HAMON E., THIVET M. (dir.) 2021. *L'agglomération gauloise de Verdun-sur-le-Doubs au Petit Chauvort*. Rapport de fouille programmée 2021 dans le cadre du PCR « La confluence Saône / Doubs à l'Âge du Fer. SRA Bourgogne, Dijon, 252p. Mis en ligne le 03/03/2022. DOI : <https://doi.org/10.34847/nkl.f482e17>.

#### **Léger 1972**

LEGER P., 1972. *Site de la Tène III, Site gaulois du Petit Chauvort*, SRA Bourgogne, Dijon, 15 p.

#### **Laruaz 2018**

LARUAZ J.M., 2018. Premières réflexions concernant les pratiques architecturales en usage sur l'oppidum des Châtelliers à Amboise (Indre-et-Loire) durant La Tène D2. Anne Villard-Le Tiec; Yves Menez; Patrick Maguer. Architectures de l'âge du Fer en Europe occidentale et centrale. Actes du 40e colloque international de l'Association française pour l'étude de l'âge du Fer (Rennes, 4-7 mai 2016), Presses universitaires de Rennes, pp.661, Archéologie & Culture, 978-2-7535-7442-7

#### **Le Goff 2020**

LE GOFF E., 2020. *Regard sur la ville de la fin de l'âge du Fer : L'organisation spatiale interne de l'agglomération*

*artisanale de Kergolvez à Quimper (Finistère) et de l'oppidum de Moulay (Mayenne)*. Thèse de doctorat, Archéologie et Protohistoire, Tours Université de Tours, 720 p.

#### **Lindbo et al. 2010**

LINDBO D.L., STOLT M.H., VEPRASKAS M.J., 2010. Redoximorphic features, in G. Stoops, V. Marcelino, F. Mees (dir.), *Interpretation of Micromorphological Features of Soils and Regoliths*, Amsterdam / Oxford, Elsevier, p. 129-147.

#### **Péfau 2021**

PEFAU P., 2021. *Construire dans les agglomérations gauloises. L'architecture des bâtiments du Second âge du Fer en Gaule interne : approche technique et socio-économique*, Thèse de doctorat, Archéologie, Université de Toulouse 2 – Jean Jaurès, 730 p.

#### **Sanchez, Brenot 2022**

C. SANCHEZ, J. BRENOT, 2022. *Approches géoarchéologiques de la confluence Saône-Doubs. Rapport d'opération 2022* » Dijon, SRA Bourgogne.

SANCHEZ C., GAETAN L., SOICHET J., et al., 2016. « Verdun-sur-le-Doubs, Le Petit Chauvort. Réouverture du dossier de Verdun-sur-le-Doubs : L'usage des méthodes de prospection dans la caractérisation d'un site archéologique protohistorique ». In VENAULT S., *Agglomérations antiques de Bourgogne, Franche-Comté et Champagne Méridionale, Inventaire archéologique, cartographie et analyse spatiale*. SRA Bourgogne, Dijon, 2016, 50-118.

#### **Stoops 2010**

STOOPS G., 2010. Micromorphology as a Tool in Soil and Regolith Studies, in G. Stoops, V. Marcelino, F. Mees (dir.), *Interpretation of Micromorphological Features of Soils and Regoliths*, Amsterdam / Oxford, Elsevier, p. 1-20.

**Thivet Dubreucq 2019**

THIVET M., DUDREUCQ E. (dir.), 2019. *PCR La confluence Saône-Doubs à l'âge du Fer (Vie s. av. J.-C. au Ier siècle de notre ère). Projet scientifique 2020-2022. Rapport annuel 2019*. SRA Bourgogne, Dijon, 2 vol., 208 et 142 p.. Mis en ligne le 12/03/2020. DOI : <https://doi.org/11280/8d5ff3f9>.

**Thivet et al., à paraître**

THIVET M., SANCHEZ C. HAMON E. et al., à paraître. Vers une meilleure appréhension des sites d'habitats groupés : vingt ans d'approches intégrées en Bourgogne Franche-Comté. In : HIRIART E., KRAUSZ S., .Actes du premier workshop du réseau NEMESIS (Bordeaux, 2-3 déc. 2021), Ausonius Editions, Bordeaux.

**3.**  
**ÉTUDES SPÉCIALISÉES**

### 3. ÉTUDES SPÉCIALISÉES

La campagne 2022 a livré un abondant mobilier archéologique, inégalement réparti entre les secteurs. Il est le reflet de la densité, de la nature et de l'état de conservation des vestiges rencontrés:(Fig.56).

- Le secteur 4, seul rattachés directement à l'habitat groupé laténien, est celui qui proportionnellement à l'emprise fouillée, présente les plus grandes quantités de mobilier. A l'instar des campagnes précédentes, les assemblages sont dominés par les restes osseux animaux et la céramique.

- Le secteur 3, présente un mobilier marqueurs chronologiques entre LT C et se poursuit au Haut-Empire, présente des proportions plus grandes d'amphore et de T.C.A. (ces dernières ont fait l'objet d'un échantillonnage sur le terrain). Les lots les plus importants proviennent des comblements du puits [3024] et de la structure de rétention d'eau [3004] tandis que la plupart des autres structures n'avaient que des inclusions de mobilier éparses.

- Enfin, le secteur 2, sur lequel seules six fosses d'ancrages de poteaux ont été reconnues, n'a livré que de rares indices matériels

L'intégralité du mobilier a été lavé et pré-inventorié pendant la phase de terrain par l'équipe de fouille. Les inventaires analytiques ont pour la majorité été réalisés à l'occasion d'un stage de post-fouilles tenu à l'automne. Ce dernier a réuni dans les locaux du centre de Recherche archéologique de Bibracte environ 15 personnes, spécialistes et étudiants (à part égale), pendant douze jours (180 j/h).

Dépendantes de la disponibilité des différents chercheurs et du calendrier des travaux universitaires, nous proposons ici des états d'avancements variés des études spécialisées. \*

#### 3.1. LE MOBILIER CÉRAMIQUE DES SECTEURS 2 ET 3 (D. CHAMPEAUX)

La fouille réalisée sur le site de Verdun-sur-le-Doubs – Le petit Chauvort – Secteurs 2 et 3, a permis de recueillir 2656 fragments (NR) de céramiques (poteries antiques) représentant 512 individus (NMI cumulé) pour une masse d'un peu plus de 35,743 kilogrammes. Ce mobilier se répartit dans 46 d'entités archéologiques. L'inventaire exhaustif de la céramique témoigne d'une fréquentation du lieu durant la fin de la période gauloise, mais également durant l'Antiquité et jusqu'à l'époque contemporaine. L'essentiel du mobilier provient de niveaux détritiques ou d'ensembles

remaniés qui induisent des corpus assez hétérogènes d'un point de vue chronologique.

| Matériau             | Sect. 2   |            | Sect. 3     |                | Sect. 4       |                |
|----------------------|-----------|------------|-------------|----------------|---------------|----------------|
|                      | NR        | Masse (g)  | NR          | Masse (g)      | NR            | Masse (g)      |
| Céramique            | 34        | 466        | 2 656       | 35 743         | 4 662         | 65 323         |
| Amphore              | -         | -          | 1 345       | 161 438        | 132           | 21 229         |
| Faune                | 3         | 55         | 1 482       | 17 151         | 11 663        | 115 622        |
| Scorie               | -         | -          | 6           | 224            | 35            | 1 175          |
| Métal                | 6         | 29         | 146         | 1 250          | 101           | 999            |
| Lithique             | -         | -          | 7           | 6 015          | 24            | 9 770          |
| TCA                  | 7         | 380        | 58          | 27 849         | 2             | 327            |
| <b>Total général</b> | <b>50</b> | <b>930</b> | <b>5700</b> | <b>249 670</b> | <b>16 619</b> | <b>214 445</b> |

Fig.56 Quantités de mobiliers découverts sur les trois secteurs de la campagne 2022, présenté par catégories (E. Hamon)



### 3.1.1. MÉTHODOLOGIE

#### 3.1.1.1. GÉNÉRALITÉS

Les lots récoltés ont fait l'objet d'un examen, par unités stratigraphiques. La méthode de quantification se calque sur les recommandations données dans la table ronde de Bibracte (Arcelin, Tuffreau-Libre 1998). Au sein de chaque US le nombre de restes (NR) totalise le nombre de tessons avant collages éventuels. Le nombre minimum d'individus (NMI) est calculé après recollage, d'après le nombre de bords ou de fonds, suivant la catégorie la plus nombreuse. Le NMI est dit pondéré en cas d'absence de formes, lorsqu'une catégorie est uniquement représentée par une panse par exemple. Il est bien noté que les NMI ne s'additionnent pas en cas de regroupement d'US ou de création de phase chronologique, il est alors recalculé.

Des numéros d'inventaires ont été attribués systématiquement sous la forme requise dans la région à savoir : C-numéro d'OA- suivi d'un numéro d'ordre. Notre corpus comprend les numéros allant de C-044044-01 à C-044044-60

L'inventaire est présenté par structure en annexe de cette étude (Annexe. 1\_044004\_Cer\_sec.2et3) et par numéro de lot dans la section 3 du rapport (044044 In-vGafinal \_CER\_ANTDC)

Les catégories de céramique employées reprennent celles couramment utilisées dans la région pour la vaisselle antique.

#### 3.1.1.2. DÉFINITION DES GROUPES DE PÂTES

La particularité de ce corpus est de regrouper des chronologies de la période gauloise et de la période antique.

Pour les définitions des catégories des pâtes de la

période gauloise, nous avons utilisé le dendrogramme et les définitions mises en place par Ph. Barral et mise à jour par E. Estur dans le bilan de synthèse du rapport triennal du PCR 2022. Nous renvoyons donc le lecteur à ces pages (**Dubreucq, Thivet 2022**)

Le mobilier céramique de la période antique en Bourgogne du Sud, à la vue de son activité archéologique, est relativement bien connu et bien publié. Les récents articles collectifs dirigés par Sylvie Mouton-Venault et Anne Ahü-Delor parues dans la RAE (**Mouton-Venault et al. 2015**) ainsi que leurs recueils des ateliers de potiers (**Mouton-Venault, Ahü-Delor 2017**) sur la région sont nos références principales pour ce travail.

Dans le premier ouvrage, Chalon-sur-Saône, mais surtout ses environs sont appréhendés au travers du mobilier issu de contextes de consommation et dans le second le focus est de facto mis sur la production.

Ainsi, nous disposons de référentiel pour les typologies et caractéristiques des pâtes des différents ateliers régionaux, mais pas de référentiels chronologiques et d'assemblage directs pour les contextes urbains.

Dans un souci de clarté, nous reprenons et explicitons ci-dessous les définitions des différents types de pâtes décrites dans le recueil des ateliers (**Mouton-Venault, Ahü-Delor 2017 p. 377**), que nous avons utilisés dans cette étude.

#### GROUPE DU CHALONNAIS

Il s'agit des types génériques du Châlonnais et non des types particuliers par atelier, les distinctions étant très ténues à l'œil nu.

• **Groupe Chal. 1**

- Pâte sombre, matrice sableuse à nombreuses particules de quartz et fines particules de mica, rares oxydes de fer, pâte plus fine pouvant être dorée au mica particulièrement les productions phares de la rue de Rochefort les pots CHAL. P1 et P12.

- Atelier de Chenôves et de Chalon-sur-Saône rue de Rochefort (= Chen.1 et Chal-Ro.1 et Chal.2 et Chal. 5 (Ahü-Delor et al. 2010) (Mouton-Venault et al. 2015))

- Cuisson en mode B

- Chronologie : Ier siècle tend à disparaître au IIe siècle au profit de Chal. 2

• **Groupe Chal. 2**

- Pâte claire, matrice sableuse à nombreuses particules de quartz et fines particules de mica, rares oxydes de fer. produits les plus fréquents.

- Atelier de Chalon-sur-Saône rue de Rochefort, dernière production, et de La Ferté et de Sevrey (= Chal-Ro.2 et Fer.1 et Sev. 1 et Chal. 4 (Ahü-Delor et al. 2010) (Mouton-Venault et al. 2015))

- Cuisson en mode A

- Chronologie : Fin Ier, IIe, IIIe

• **Groupe Chal. 3**

- Pâte claire, matrice sableuse plus fine que Chal. 2 à nombreuses particules de quartz et fines particules de mica, rares oxydes de fer.

- Certains produits, souvent destinés à l'exportation, des officines de La Ferté-Saint-Ambreuil et de la rue de Rochefort. Atelier de Champforgeuil (= Chal-Ro.3 et Fer.2 et Champ. 1 et Chal. 4 (Ahü-Delor et al. 2010) (Mouton-Venault et al. 2015))

- Cuisson en mode A

- Chronologie : Fin Ier, IIe, IIIe

Les références typologiques reprennent les types génériques du chalonais et renvoient au tableau fig. 91 p. 378-379 (Mouton-Venault et al. 2015)

CÉRAMIQUE FINE

Pour ce qui est de la définition des vaisselles d'importations, nous nous sommes référées à l'ouvrage s'intitulant « La céramique romaine en Gaule du Nord », dictionnaire des céramiques publié en 2010 par R. Brulet, F. Vilvorder et R. Delage (Brulet et al. 2010). Ils définissent de manière très précise ces grandes catégories. Au besoin d'autres ouvrages plus précis sur certaines catégories sont également utilisés ; par exemple les articles sur les ateliers de Lezoux (Bet Delor 2000, Bet et al 2022) et de Gueugnon (Notet 2012).

**3.1.2. ÉTAT DE CONSERVATION ET RÉPARTITION DE LA CÉRAMIQUE**

D'un point de vue général, le mobilier est en bon état de conservation. Aucune trace d'utilisation particulière n'a été remarquée.

**3.1.2.1. RÉPARTITION SPATIALE**

Le mobilier provient exclusivement de niveaux détritiques (Fig.57). La majeure partie des céramiques (24,74% du NR) provient des comblements du puits (UF 3023 3077). Les vestiges issus de la fouille de la mare (UF 3003) constituent le deuxième lot le plus important (20%) suivi par le corpus recueilli dans les comblements des fossés (16%) (UF 3005, 3035, 3035, 3039, 3043) puis les drains (14%) (UF 3001, 3013, 3025). Le reste du mobilier issu de structures telles que les fosses, sablières, trous de poteau et trous de piquet est très peu nombreux.

**3.1.2.2. RÉPARTITION CHRONOLOGIQUE**

La figure (Fig.58) montre la répartition des datations par type de structure, on y constate que les vestiges attribués à la fin de la période gauloise sont majoritaires. Ils sont caractéristiques d'un site d'habitat ; sablières, trous de poteau, fosses et fossés. Les rapides

analyses fonctionnelles des mobiliers vont également dans ce sens. En ce qui concerne les aménagements contenant du mobilier antique, hormis la mare, il s'agit uniquement de structure linéaire de type fossés ou drains, qui attestent une occupation relativement importante, mais sans assurer la nature de cette occupation. Malgré tout, la quantité de mobilier et l'assemblage du corpus issu de l'échantillonnage de la fouille de la Mare (UF 3003) vont dans le sens d'un dépotoir domestique, qui permettrait de proposer l'hypothèse d'un secteur d'habitation proche.

Si l'on analyse les datations dans le détail (Fig.59 - Fig.60) on peut distinguer deux grandes périodes chronologiques, la fin de la période gauloise (LTD particulièrement) et le Haut-Empire. Bien que le nombre de structures attribuées à la période gauloise soit plus élevé, le pourcentage du nombre minimum d'individus est en faveur de la période antique. La phase attribuée à la fin de l'indépendance est assez homogène tandis que la phase antique propose des datations qui s'étalent durant les 1er et la première moitié du IIe

siècle après J.-C. L'élément le plus récent étant une panse de sigillée du Centre de la Gaule caractéristique

### 3.1.3. DESCRIPTION PAR STRUCTURE

La description des mobiliers par structures est très succincte, elle est présentée sous la forme d'un tableau auquel il faut coupler l'inventaire par structure qui détaille chacun des types de mobilier en présence dans les UF pour avoir une vision complète (Fig.61).

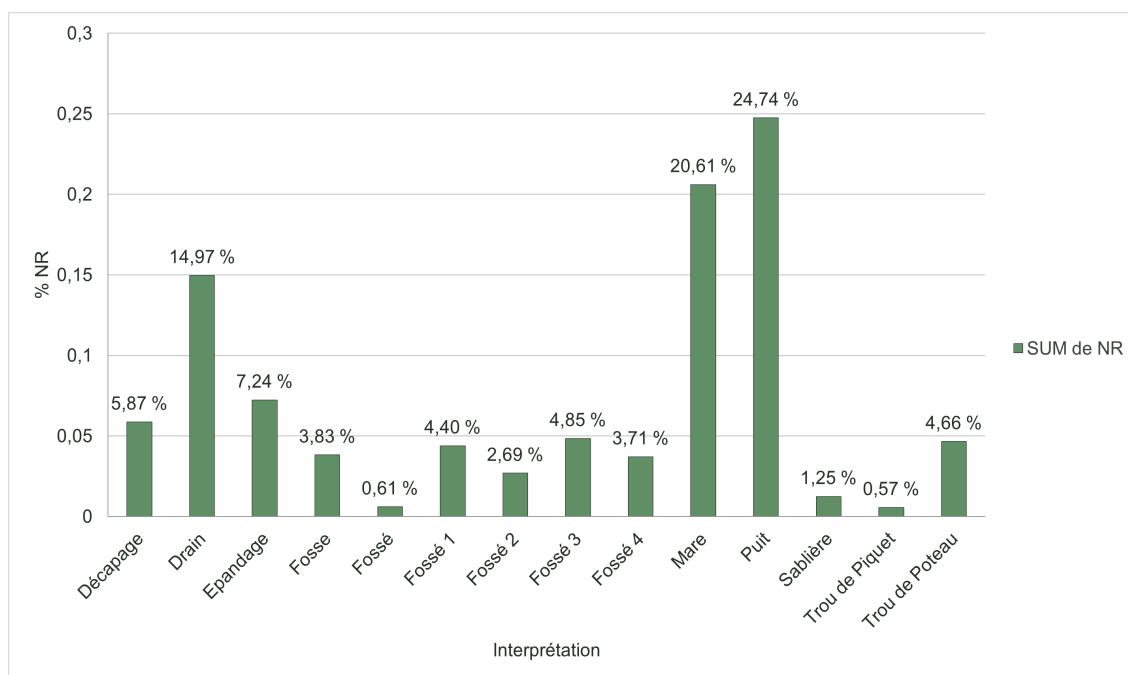


Fig.57 - Répartition du nombre de fragments par type de structure (D. Champeaux)

La lettre A en majuscule désigne la première moitié d'un siècle, la lettre B la seconde moitié, les lettres a, b, c et d en minuscule renvoient à des quarts de siècle.

| Interprétation       | UF        | Datation         | NR  | %NR    |
|----------------------|-----------|------------------|-----|--------|
| Décapage             | 3000      | Mélangé          | 155 | 5,87%  |
| Total pour Décapage  |           |                  | 155 | 5,87%  |
| Drain                | 3001      | IB               | 47  | 1,78%  |
|                      | 3013      | IIB              | 296 | 11,22% |
|                      | 3025      | IB               | 52  | 1,97%  |
| Total pour Drain     |           |                  | 395 | 14,97% |
| Epanchage            | 3009      | LTD              | 171 | 6,48%  |
|                      | 3017      | LTD              | 17  | 0,64%  |
|                      | 3069      | LTC/D            | 3   | 0,11%  |
| Total pour Epanchage |           |                  | 191 | 7,24%  |
| Fosse                | 3011      | LTD pè LTD2b-Aug | 59  | 2,24%  |
|                      | 3045      | LTD2             | 40  | 1,52%  |
|                      | 3059      | LTC/D            | 2   | 0,08%  |
| Total pour Fosse     |           |                  | 101 | 3,83%  |
| Fossé                | 3037      | LTD              | 16  | 0,61%  |
| Total pour Fossé     |           |                  | 16  | 0,61%  |
| Fossé 1              | 3005      | IIA              | 116 | 4,40%  |
| Total pour Fossé 1   |           |                  | 116 | 4,40%  |
| Fossé 2              | 3039      | LTD/II           | 71  | 2,69%  |
| Total pour Fossé 2   |           |                  | 71  | 2,69%  |
| Fossé 3              | 3035      | Mélangé          | 128 | 4,85%  |
| Total pour Fossé 3   |           |                  | 128 | 4,85%  |
| Fossé 4              | 3043      | IA               | 98  | 3,71%  |
| Total pour Fossé 4   |           |                  | 98  | 3,71%  |
| mare                 | 3003      | 120-140          | 544 | 20,61% |
| Total pour mare      |           |                  | 544 | 20,61% |
| Puits                | 3023      | LTD2             | 608 | 23,04% |
|                      | 3077      | LTD              | 45  | 1,71%  |
| Total pour Puits     |           |                  | 653 | 24,74% |
| Sablière             | 3010      | LTD              | 4   | 0,15%  |
|                      | 3071      | LTC/D            | 29  | 1,10%  |
| Total pour Sablière  |           |                  | 33  | 1,25%  |
| Trou de Piquet       | 3088Pi01  | LTD              | 1   | 0,04%  |
|                      | 3088Pi010 | LTD              | 1   | 0,04%  |
|                      | 3088Pi012 | LTD              | 1   | 0,04%  |
|                      | 3088Pi013 | LTD              | 1   | 0,04%  |
|                      | 3088Pi014 | LTD              | 1   | 0,04%  |
|                      | 3088Pi015 | LTD              | 1   | 0,04%  |



| Interprétation            | UF        | Datation | NR   | %NR     |
|---------------------------|-----------|----------|------|---------|
| Trou de piquet (suite)    | 3088Pi016 | LTD      | 1    | 0,04%   |
|                           | 3088Pi017 | LTD      | 1    | 0,04%   |
|                           | 3088Pi019 | LTD      | 1    | 0,04%   |
|                           | 3088Pi020 | LTD      | 1    | 0,04%   |
|                           | 3088Pi03  | LTD      | 1    | 0,04%   |
|                           | 3088Pi05  | LTD      | 1    | 0,04%   |
|                           | 3088Pi07  | LTD      | 1    | 0,04%   |
|                           | 3088Pi08  | LTD      | 1    | 0,04%   |
|                           | 3088Pi09  | LTD      | 1    | 0,04%   |
| Total pour Trou de Piquet |           |          | 15   | 0,57%   |
| Trou de Poteau            | 3007      | HE       | 1    | 0,04%   |
|                           | 3021      | LTD      | 26   | 0,99%   |
|                           | 3033      | Antique  | 1    | 0,04%   |
|                           | 3034      | I        | 22   | 0,83%   |
|                           | 3036      | LTD      | 4    | 0,15%   |
|                           | 3049      | LTD      | 65   | 2,46%   |
|                           | 3055      | LTC/D    | 2    | 0,08%   |
|                           | 3065      | LTC/D    | 2    | 0,08%   |
| Total pour Trou de Poteau |           |          | 123  | 4,66%   |
| Total général             |           |          | 2639 | 100,00% |

Fig.58 Répartition du nombre de fragments par type de structure et datation (D. Champeaux).

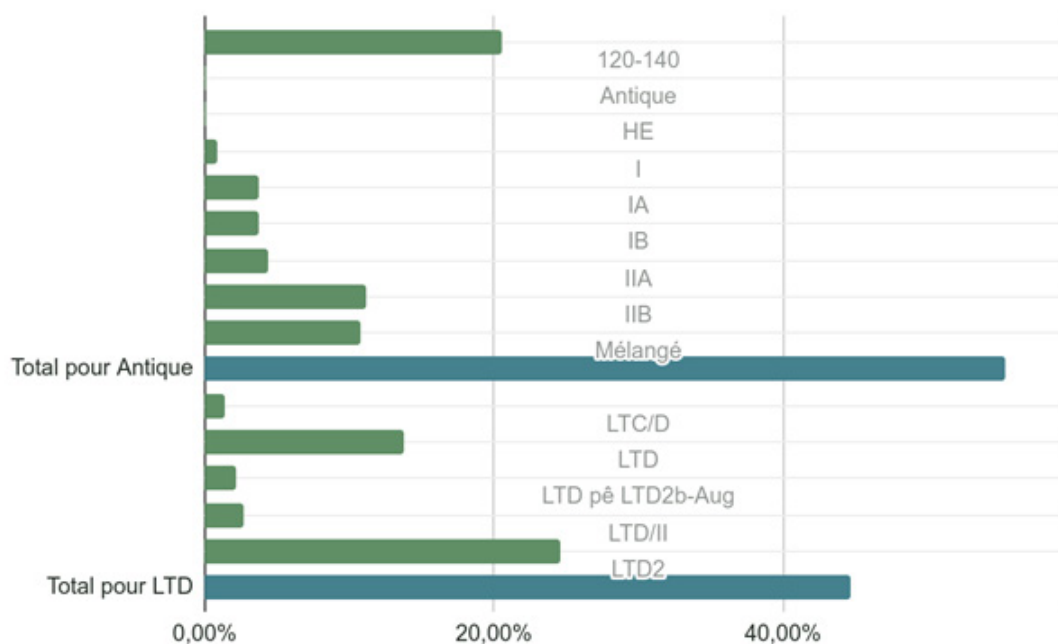


Fig.59 Répartition du pourcentage du NMI par datation et grande période chronologique (D. Champeaux).

| Horizon/Phase Chrono | UF        | Datation         | % de NR |
|----------------------|-----------|------------------|---------|
| Antique              | 3001      | IB               | 2,06%   |
|                      | 3003      | 120-140          | 23,81%  |
|                      | 3005      | IIA              | 5,08%   |
|                      | 3007      | HE               | 0,04%   |
|                      | 3013      | IIB              | 12,95%  |
|                      | 3025      | IB               | 2,28%   |
|                      | 3033      | Antique          | 0,04%   |
|                      | 3034      | I                | 0,96%   |
|                      | 3043      | IA               | 4,29%   |
| Total pour Antique   |           |                  | 51,51%  |
| LTD                  | 3009      | LTD              | 7,48%   |
|                      | 3010      | LTD              | 0,18%   |
|                      | 3011      | LTD pê LTD2b-Aug | 2,58%   |
|                      | 3017      | LTD              | 0,74%   |
|                      | 3021      | LTD              | 1,14%   |
|                      | 3023      | LTD2             | 26,61%  |
|                      | 3036      | LTD              | 0,18%   |
|                      | 3037      | LTD              | 0,70%   |
|                      | 3045      | LTD2             | 1,75%   |
|                      | 3049      | LTD              | 2,84%   |
|                      | 3055      | LTC/D            | 0,09%   |
|                      | 3059      | LTC/D            | 0,09%   |
|                      | 3065      | LTC/D            | 0,09%   |
|                      | 3069      | LTC/D            | 0,13%   |
|                      | 3071      | LTC/D            | 1,27%   |
|                      | 3077      | LTD              | 1,97%   |
|                      | 3088Pi01  | LTD              | 0,04%   |
|                      | 3088Pi010 | LTD              | 0,04%   |
|                      | 3088Pi012 | LTD              | 0,04%   |
|                      | 3088Pi013 | LTD              | 0,04%   |
|                      | 3088Pi014 | LTD              | 0,04%   |
|                      | 3088Pi015 | LTD              | 0,04%   |
|                      | 3088Pi016 | LTD              | 0,04%   |
|                      | 3088Pi017 | LTD              | 0,04%   |
|                      | 3088Pi019 | LTD              | 0,04%   |
|                      | 3088Pi020 | LTD              | 0,04%   |
|                      | 3088Pi03  | LTD              | 0,04%   |
| 3088Pi05             | LTD       | 0,04%            |         |
| 3088Pi07             | LTD       | 0,04%            |         |
| 3088Pi08             | LTD       | 0,04%            |         |
| 3088Pi09             | LTD       | 0,04%            |         |
| Total pour LTD       |           |                  | 48,49%  |
| Total général        |           |                  | 100,00% |

Fig.60 Répartition du pourcentage du NMI par datation et grande période chronologique (D. Champeaux).

| UF   | Interprétation | Description Mobilier   | TPQ          | Datation      | NR  | Masse |
|------|----------------|--|--------------|---------------|-----|-------|
| 2000 | Décapage       | Mélange de mobilier contemporain tel de l'arcopale avec de la faïence d'époque Moderne et des éléments plus anciens, céramique non tournée et pâte sombre.   | contemporain | Mélangé       | 11  | 113   |
| 2002 |                | deux fragments gaulois ou antique, mal conservés, un éclat de pâte claire et une panse de pâte sombre  |              | Proto/Antique | 2   | 12    |
| 2007 |                | quatre panses de céramique commune sombre<br>indique la période antique plus probablement le I <sup>er</sup> siècle  |              | Antique       | 4   | 108   |
| 3000 | Décapage       | Mobilier sélectionné au ramassage pendant le décapage. Les éléments majoritaires sont les vases du I <sup>er</sup> siècle avec un répertoire très proche des ateliers de la région de Chalon-sur-Saône. Quelques éléments en pâte claire fine dont des bouteilles gauloises sont également présentes et attestent d'une occupation gauloise sous-jacente. Les bords de pot de type Besançon et les pots à lèvres inversés en céramique non tournée vont également dans ce sens. Les fragments de vaisselle en grès montrent le faciès chronologique remanié de cette couche de labour.   | 110/120      | Mélangé       | 155 | 1830  |
| 3001 | Drain          | La céramique fine du lot est illustrée par au moins 2 vases bouteille à fond rehaussé, et un bord de cruche en pâte claire, une panse de mortier provenant peut-être d'Italie montre les importations. Les fins sombres sont présentes à travers un assemblage de gobelets et d'assiette à paroi oblique imitation du Lamb 5/7. Les céramiques culinaires sont peu présentes, 2 pots à lèvres moulurés en céramique non tournée sombre. Ce lot est à placer dans la fin de la période gauloise ou au début de la période augustéenne compte également un élément plus récent en pâte sombre se rapportant au type CHAL J18 qui donne un TPQ pour cette couche détritique dans la seconde moitié du I <sup>er</sup> siècle. | 50-75        | IB            | 47  | 650   |

| UF   | Interprétation | Description Mobilier  | TPQ | Datation | NR  | Masse |
|------|----------------|---|-----|----------|-----|-------|
| 3003 | mare           | La structure 3003 est interprétée comme une mare. Le corpus céramique correspond à un secteur fouillée à la main qui permet d'avoir un échantillonnage représentatif. Le mobilier est en assez bon état de conservation. Le contexte d'enfouissement a très largement altéré les aspects de surface. Les altérations observées sont attribuables à un usage domestique. La chronologie de consommations des vaisselles indique un lot centré sur la fin du 1er siècle dont la clôture doit être positionnée dans les années 120-130 après. J.-C. Mais il y a de très nombreux éléments résiduels. | 120 | 120-140  | 544 | 8090  |
| 3005 | Fossé 1        | Le fossé livré un mobilier plutôt homogène dans le milieu du 1er siècle, les éléments les plus récents sont donnés par une coupelle VeC1 en sigillée du Sud de la Gaule qui apparaît autour des années 60 et un pot CHAL. P20 en pâte des ateliers du Val de Saône dont l'apparition est à placer dans le début du IIe siècle ap. J.-C.   | 100 | IIA      | 116 | 1440  |
| 3007 | Trou de Poteau | Mobilier très altéré surface manquante  |     | HE       | 1   | 8     |
| 3009 | Epannage       | La fouille de cet épannage de mobilier a permis de recueillir un peu moins de 200 fragments de mobilier céramique. L'intégralité de ces fragments se rapporte à la fin de la période gauloise. Le ratio entre la céramique non tournée et la céramique tournée, en faveur de cette dernière indique que nous sommes dans une période chronologique attribuable à la Tène D  |     | LTD      | 171 | 2150  |
| 3010 | Sablère        | Le mobilier piégé dans le comblement de cette sablière permet de proposer une datation dans la tène D malgré l'indigence de ces fragments. Le ratio Non tournée Tournée permet de proposer cette chronologie.   |     | LTD      | 4   | 27    |



| UF   | Interprétation | Description Mobilier  | TPQ        | Datation            | NR  | Masse |
|------|----------------|---|------------|---------------------|-----|-------|
| 3011 | Fosse          | <p>La fouille du comblement de cette fosse a livré un mobilier relativement abondant. Le ratio entre les vases réalisées en technique non tournée et tournée est en faveur de la céramique tournée. Cette constatation associée à la présence d'une panse de campanienne A permet de proposer une datation de ce mobilier dans la Tène D. La présence d'un pot à col côtelée en céramique tournée sombre peut laisser penser que nous sommes dans une phase récente de cette période, nous pensons à la Tène D2b voir même le début de la période augustéenne.</p>  |            | LTD pè<br>LTD2b-Aug | 59  | 640   |
| 3013 | Drain          | <p>Comme pour le Drain 3001, le mobilier issu du comblement de cette structure drainante est hétérogène. Une partie est à rapprocher du faciès de la fin de l'époque Gauloise avec des éléments de Camp B, de vase peinte pour les vase de présentation et des écuelles du Type TFS-ECU1 par exemple. Mais les éléments les plus récents, céramiques communes claire de la zone chalonnaise et surtout fragment de céramique des ateliers arvernes aux caractéristiques de la Phase 6 renvoient dans le milieu du IIe siècle. du mobilier du Ier siècle est également présent, des sigillées du sud de la gaulle par exemple, coupe Drag. 29, Couple drag. 4/22 et coupelle VeA1.</p> | 150        | IIB                 | 296 | 1930  |
| 3017 | Epan dage      | <p>Le faciès des pâtes et des formes illustrent un ensemble à placer durant la Tène D.</p>  |            | LTD                 | 17  | 1100  |
| 3021 | Trou de Poteau | <p>Le faciès des pâtes et des formes illustrent un ensemble à placer durant la Tène D. Une panse de pâtes claire au caractéristiques proches des ateliers chalonnais à partir de la seconde moitié du Ier siècle pourrait donner le TPQ mais il paraît plus probable qu'il s'agisse d'un élément intrusif</p>   | mi Ier IIe | LTD                 | 26  | 340   |

| UF   | Interprétation | Description Mobilier  | TPQ   | Datation | NR  | Masse |
|------|----------------|---|-------|----------|-----|-------|
| 3023 | Puits          | Le comblement de cette fosse a livré un ensemble de mobilier céramique assez conséquent 608 restes et varié pour une centaine d'individus estimés. Le mobilier est bien conservé. L'assemblage contient des campaniennes A, B et C, des céramique NPR, associé à de nombreuses pâtes fines sombres dont des Bols et écuelles de type 1 ainsi qu'un tonnelet Ton 1, ainsi que la présence d'une anse torsadée. Ce faciès ainsi que l'absence de sigillée italique oriente la chronologie vers la fin de la Tène finale. Ce corpus devra faire pour le rapport de 2023 l'objet d'une analyse plus précise ainsi que la mise au net des dessins déjà réalisés. |       | LTD2     | 608 | 8800  |
| 3025 | Drain          | Comme pour les drains 3001 et 3013, le mobilier est hétérogène mélangeant des éléments de la Tène finale à des éléments du début du 1er siècle ap. J.-C. tel qu'un calice Drag. 11 du sud de la Gaule ou encore une assiette en Terra Nigra régionale de forme Joly 53.   | 50-75 | IB       | 52  | 690   |
| 3033 | Trou de Poteau | La fouille de ce trou de poteau a livré un fond de mortier utilisé durant toute l'antiquité   |       | Antique  | 1   | 180   |
| 3034 | Trou de Poteau | Le comblement de ce trou de poteau a livré un mobilier assez nombreux mais relativement fragmenté. Les céramiques de la fin de la Tène côtoient des contenants utilisés durant le 1er siècle.   |       | I        | 22  | 160   |
| 3035 | Fossé 3        | La fouille du comblement du fossé a livré un peu plus d'une centaine d'individus. Ces objets proposent une chronologie très hétérogène. L'élément le plus ancien est une panse de Camp A et le plus récent un bord de coupe Lez 42 (120). qui fixe le TPQ de clôture de cette structure   | 120   | Mélangé  | 128 | 1280  |
| 3036 | Trou de Poteau | La faible quantité de restes issus du comblement du trou de poteau livre un mobilier à rapprocher des ensembles de la Tène Finale   |       | LTD      | 4   | 40    |
| 3037 | Fossé          | La faible quantité de restes issus du comblement du fossé 3037 livre un mobilier à rapprocher des ensembles de la Tène Finale   |       | LTD      | 16  | 108   |

| UF   | Interprétation | Description Mobilier   | TPQ | Datation | NR | Masse |
|------|----------------|--|-----|----------|----|-------|
| 3039 | Fossé 2        | Le comblement du fossé livre un peu moins d'une centaine d'éléments hétérogènes. Le mobilier de la Tène finale est bien présent, mais les éléments antiques du 1er siècle donnent les indices de la chronologie de clôture. L'élément le plus récent donnant le TPQ est une bord de Jatte du type CHAL. J20 des ateliers du Val de Saône dont la production se met en place de la 1ère moitié du IIe siècle. | 130 | LTD/II   | 71 | 880   |
| 3043 | Fossé 4        | Le comblement du fossé est assez homogène. Catégories et formes renvoient à un faciès à placer dans la première moitié du 1er siècle   |     | IA       | 98 | 2280  |
| 3045 | Fosse          | La fouille du comblement détritique de cette fosse a livré un mobilier homogène à placer dans la fin de la Tène Finale   |     | LTD2     | 40 | 380   |
| 3049 | Trou de Poteau | Une quantité importante de mobilier est issue de la fouille du comblement de ce trou de poteau, plus de 60 fragments. Tous se rattachent à un faciès de la fin de la période gauloise  |     | LTD      | 65 | 700   |
| 3055 | Trou de Poteau | L'élément de pâte claire tournée renvoie à une chronologie dans la période gauloise  |     | LTC/D    | 2  | 28    |
| 3060 | Fosse          | Le mobilier issu de cette structure renvoie à une chronologie à placer dans la fin de la période gauloise  |     | LTC/D    | 2  | 10    |
| 3065 | Trou de Poteau | Le bord d'écuille en NPR issus du comblement de ce trou de poteau permet de proposer une datation dans la Tène Finale  |     | LTC/D    | 2  | 12    |
| 3069 | Epan dage      | Cette petite concentration de mobilier est à rapprocher du faciès de la Tène Finale  |     | LTC/D    | 3  | 27    |
| 3071 | Sablière       | Le mobilier issu de la fouille de cette sablière permet de la positionner à la Tène finale   |     | LTC/D    | 29 | 620   |
| 3077 | Puits          | Le comblement de cette fosse a permis de recueillir un peu moins de cinquante fragments de céramiques. Ces éléments détritiques sont assez homogènes et révèlent un faciès de la fin de la période Gauloise  |     | LTD      | 45 | 1110  |

| UF        | Interprétation | Description Mobilier  | TPQ | Datation | NR   | Masse |
|-----------|----------------|---|-----|----------|------|-------|
| 3088Pi01  | Trou de Piquet | Les éléments issus des trou de piquet 3088 renvoient tous à la fin de la Tène |     | LTD      | 1    | 0     |
| 3088Pi010 | Trou de Piquet | Les éléments issus des trou de piquet 3088 renvoient tous à la fin de la Tène |     | LTD      | 1    | 0     |
| 3088Pi012 | Trou de Piquet | Les éléments issus des trou de piquet 3088 renvoient tous à la fin de la Tène |     | LTD      | 1    | 0     |
| 3088Pi013 | Trou de Piquet | Les éléments issus des trou de piquet 3088 renvoient tous à la fin de la Tène |     | LTD      | 1    | 0     |
| 3088Pi014 | Trou de Piquet | Les éléments issus des trou de piquet 3088 renvoient tous à la fin de la Tène |     | LTD      | 1    | 0     |
| 3088Pi015 | Trou de Piquet | Les éléments issus des trou de piquet 3088 renvoient tous à la fin de la Tène |     | LTD      | 1    | 0     |
| 3088Pi016 | Trou de Piquet | Les éléments issus des trou de piquet 3088 renvoient tous à la fin de la Tène |     | LTD      | 1    | 0     |
| 3088Pi017 | Trou de Piquet | Les éléments issus des trou de piquet 3088 renvoient tous à la fin de la Tène |     | LTD      | 1    | 0     |
| 3088Pi019 | Trou de Piquet | Les éléments issus des trou de piquet 3088 renvoient tous à la fin de la Tène |     | LTD      | 1    | 0     |
| 3088Pi020 | Trou de Piquet | Les éléments issus des trou de piquet 3088 renvoient tous à la fin de la Tène |     | LTD      | 1    | 0     |
| 3088Pi03  | Trou de Piquet | Les éléments issus des trou de piquet 3088 renvoient tous à la fin de la Tène |     | LTD      | 1    | 0     |
| 3088Pi05  | Trou de Piquet | Les éléments issus des trou de piquet 3088 renvoient tous à la fin de la Tène |     | LTD      | 1    | 0     |
| 3088Pi07  | Trou de Piquet | Les éléments issus des trou de piquet 3088 renvoient tous à la fin de la Tène |     | LTD      | 1    | 0     |
| 3088Pi08  | Trou de Piquet | Les éléments issus des trou de piquet 3088 renvoient tous à la fin de la Tène |     | LTD      | 1    | 0     |
| 3088Pi09  | Trou de Piquet | Les éléments issus des trou de piquet 3088 renvoient tous à la fin de la Tène |     | LTD      | 1    | 0     |
| Total     |                |   |     |          | 2656 | 35743 |

Fig.61 Répartition du pourcentage du NMI par datation et grande période chronologique (D. Champeaux).

#### 3.1.4. PRÉSENTATION TECHNIQUE ET TYPOLOGIQUE DU MOBILIER CÉRAMIQUE

L'analyse quantitative des mobiliers sera réalisée dans l'année afin d'être présentée dans le rapport du PCR 2023. L'intégralité des mobiliers apportant un intérêt à être illustrés a été dessinée. Seul le mobilier issu

du puits 3023 a pour l'instant été remis au net, il est présenté sur les planches : 3023 planche01 (Fig.62) et 3023 planche02 (Fig.63).



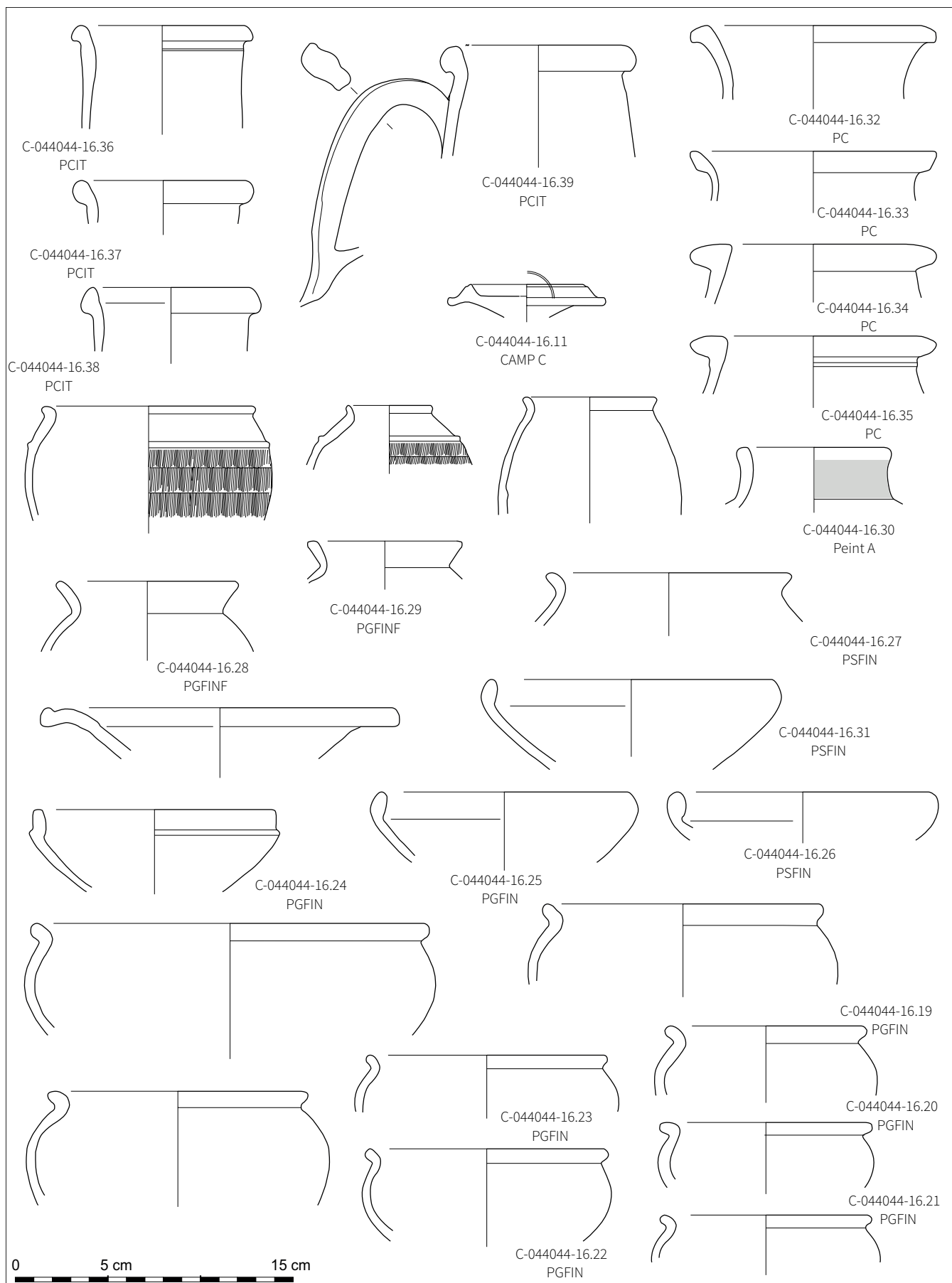


Fig.62 Planche céramique du puits [3023]; ech. 1/3 ; 1 sur 2 (Dessin : D. Champeaux; DAO D. Champeaux et J. Soichet).

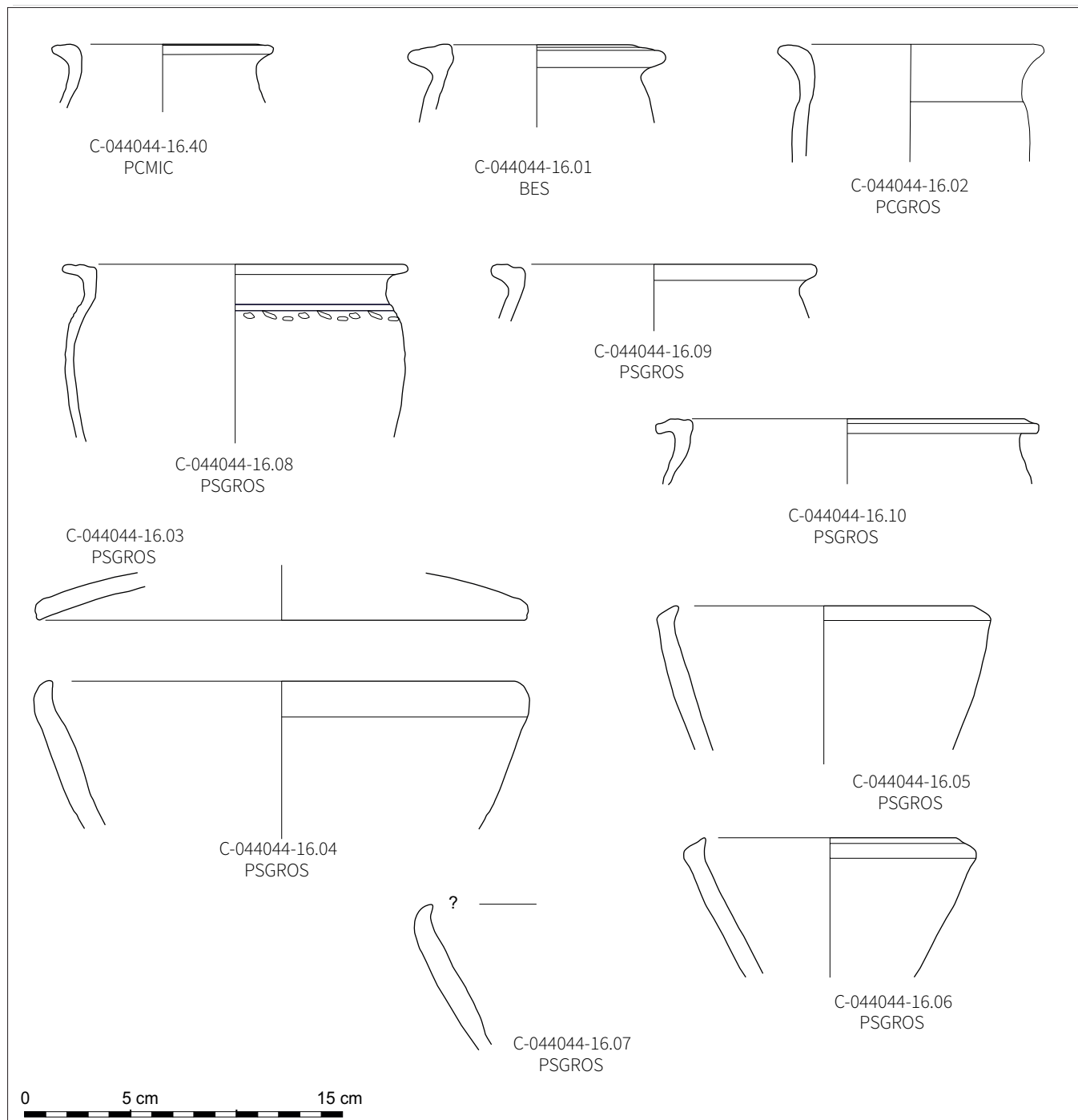


Fig.63 Planche céramique du puits [3023]; ech. 1/3 ; 2 sur 2 (Dessin : D. Champeaux; DAO D. Champeaux et J. Soichet).

## BIBLIOGRAPHIE

ARCELIN P., TUFFREAU-LIBRE M., La quantification des céramiques, conditions et protocole, Actes de la table ronde du Centre archéologique européen du Mont-Beuvray (Glux-en-Glenne, 7-9 avril 1998), Glux-en-Glenne : Centre Archéologique Européen du Mont

Beuvray, Bibracte n°2, 139 p.

BRULET R., VILVORDER F., DELAGE R., La céramique romaine en Gaule du Nord. Dictionnaire des céramiques, La vaisselle à large diffusion, Turnhout : Brepols Publishers, 462 p.

MOUTON-VENAULT, S., AHÜ-DELOR A., La production céramique gallo-romaine en Bourgogne. Recueil des ateliers. Céramiques communes, amphore et mortier, In BARAY L. (dir. ), De silex, de terre et de faïence, la mémoire du sol en Bourgogne, Hommage à Jean-Paul DELOR, Autun, Edition Mergoïl, 2017, pp. 295-635.

MOUTON-VENAULT, S., AHÜ-DELOR A., BARTHÉLEMY D., HUMBERT S., avec la coll. de F. BARTHÉLEMY, A. CORSIEZ, C. HERVÉ, M. JOLY et A. SAGGESE, Évolution des répertoires de la céramique culinaire en Champagne, Bourgogne et Franche-Comté au cours des cinq premiers siècles de notre ère, Revue Archéologique de l'Est, t. 64-2015, pp. 182-184.

### 3.2. LE MOBILIER CÉRAMIQUE DU SECTEUR 4

Proportionnellement à son emprise réduite, le sondage conduit dans le secteur 4 a livré un abondant mobilier céramique, comprenant au total environ de 4660 tessons, pour un poids total légèrement supérieur à 65 kg. L'ensemble du mobilier a pu être lavé et inventorié durant la phase terrain et lors d'un stage en novembre 2022. L'étude de la céramique issue du secteur 4 fait l'objet d'un mémoire de master placé sous la direction de Ph. Barral, M. Thivet et E. Estur à l'Université de Franche Comté, par C. Dromard. Les résultats de cette analyse, qui devrait se conclure d'ici la fin du semestre de printemps, sera intégré au rapport 2023. Dans l'attente de sa complétion, seul le mobilier issu de la structure [4002] sera ici présenté.

Le mobilier céramique a été identifié et classifié selon les techniques de montage, la couleur des pâtes, la nature des revêtements et leur provenance géographique supposée. Les catégories techniques ainsi définies se sont vues attribuées un code fortement

inspiré de celui en usage pour la catégorisation des céramiques de Bibracte (Lüginbühl et Barrier 2021), tout en intégrant les spécificités de la céramique gauloise du Val de Saône. Ces catégories sont présentées sur un dendrogramme (fig. 78). Les éléments de forme, les bords essentiellement, font également l'objet d'un classement à partir d'une typologie établie pour les principales formes du site de Verdun-sur-le-Doubs. La variété importante de formes retrouvées depuis 2019 invite à la mise à jour régulière de la typologie (cf volume synthèse triennal). La typologie se base principalement sur les travaux de Ph. Barral, dont la thèse présente un éventail plus exhaustif de formes pour le Val de Saône (Barral 1994). Pour la céramique importée depuis le monde méditerranéen on se refera notamment aux typologies établies par N. Lamboglia ou J.-P. Morel pour la céramique à vernis noir et par M. Py et M. Bats pour les céramiques communes claires du site de Lattes (Dicocer 1993). Les comptages sont effectués suivant le protocole en vigueur au Mont-Beuvray (Protocole Beuvray 1998). Le NMI par UF a été déterminé selon les éléments de formes les plus nombreux par catégorie technique.

#### 3.2.1. LE MOBILIER DE LA FOSSE [4002] (C. DROMARD)

La fosse a fonction indéterminée [4002] est comblée par une série de remblais chargés en mobilier détritique. Son comblement supérieur [4001] est le seul à avoir livré du mobilier céramique. Elle comprenait un ensemble de 187 tessons pour un NMI de 31 et un poids de 2,950 kg.

La céramique non-tournée grossière est représentée par 2 individus, les deux formes sont des écuelles de type CNT-ECU 1a (Fig.65, n°1). La céramique de « type Besançon » est représentée par un NMI de 2, il s'agit de deux pots classiques de type CNT-POT 1 à bord triangulaire (Fig.65, n°3) et CNT-POT 2 à lèvre éversée (Fig.65, n°2). La céramique tournée fine

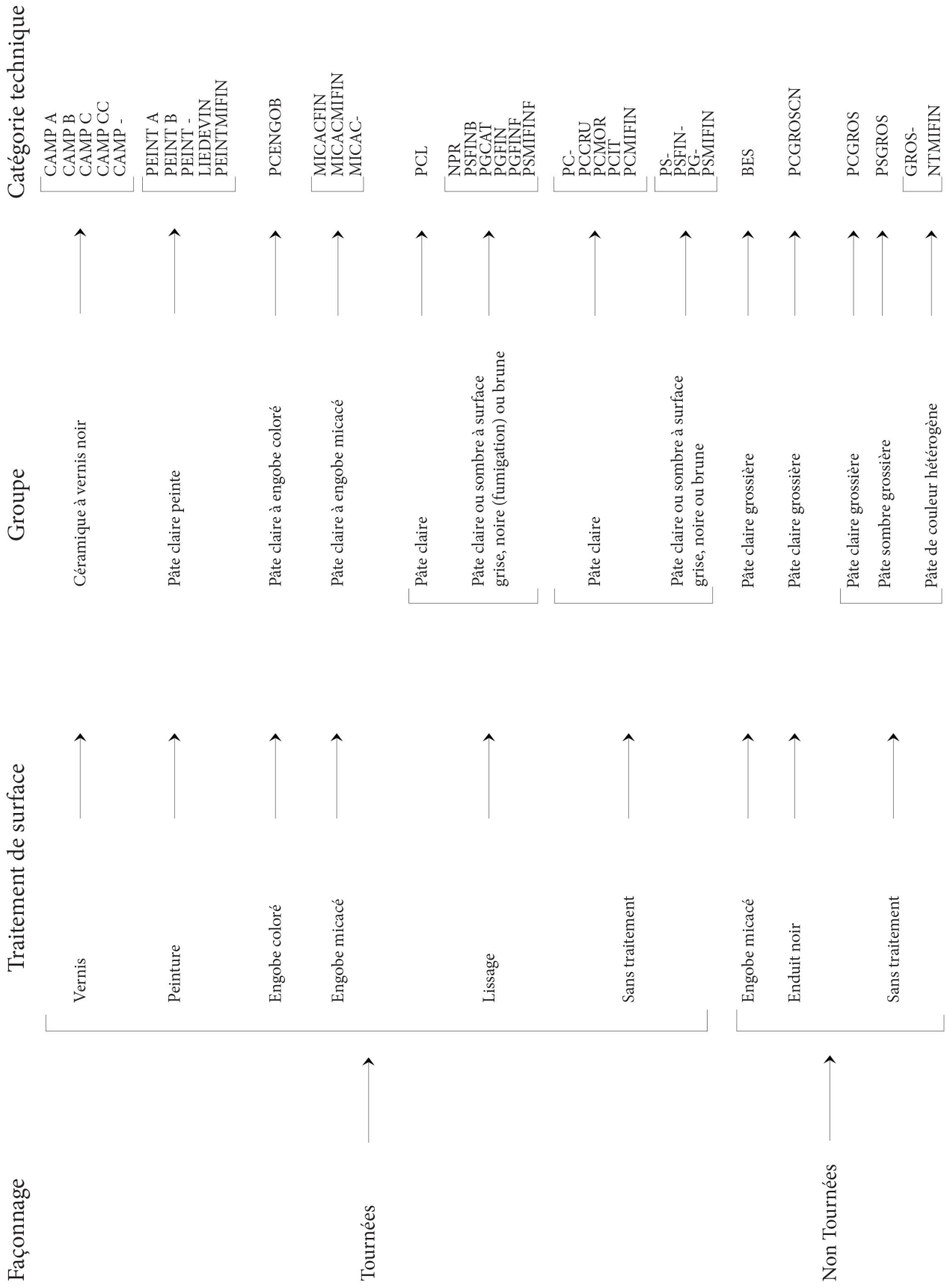


Fig.64 Dendrogramme des catégories techniques de céramiques de la fin du second Âge du Fer de Verdun-sur-le-Doubs (E. Estur)

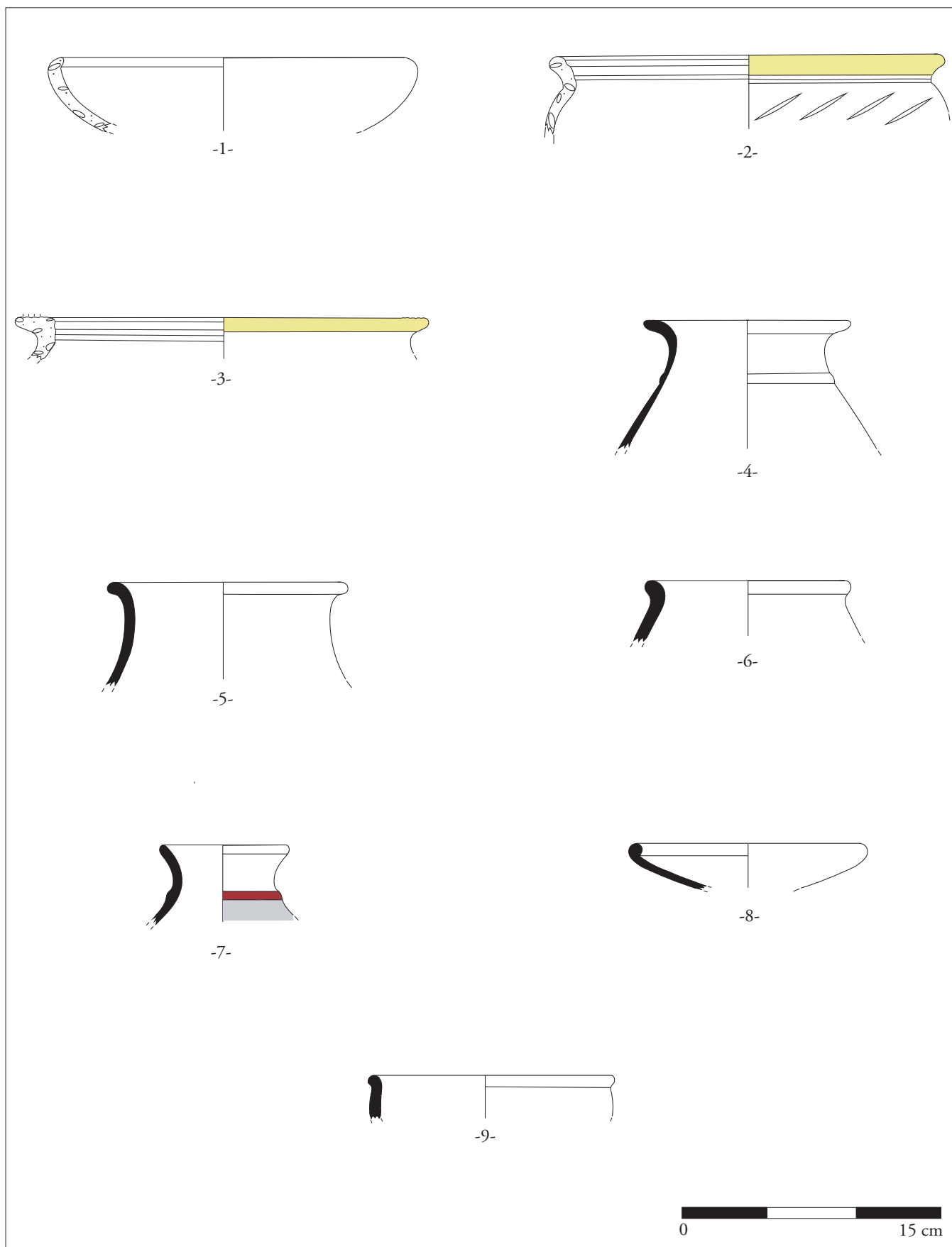


Fig.65 UF 4001 - 1 : PSGROS, 2-3: BES, 4-6:PC, 7: PEINT A, 8-9: NPR (C. Dromard).



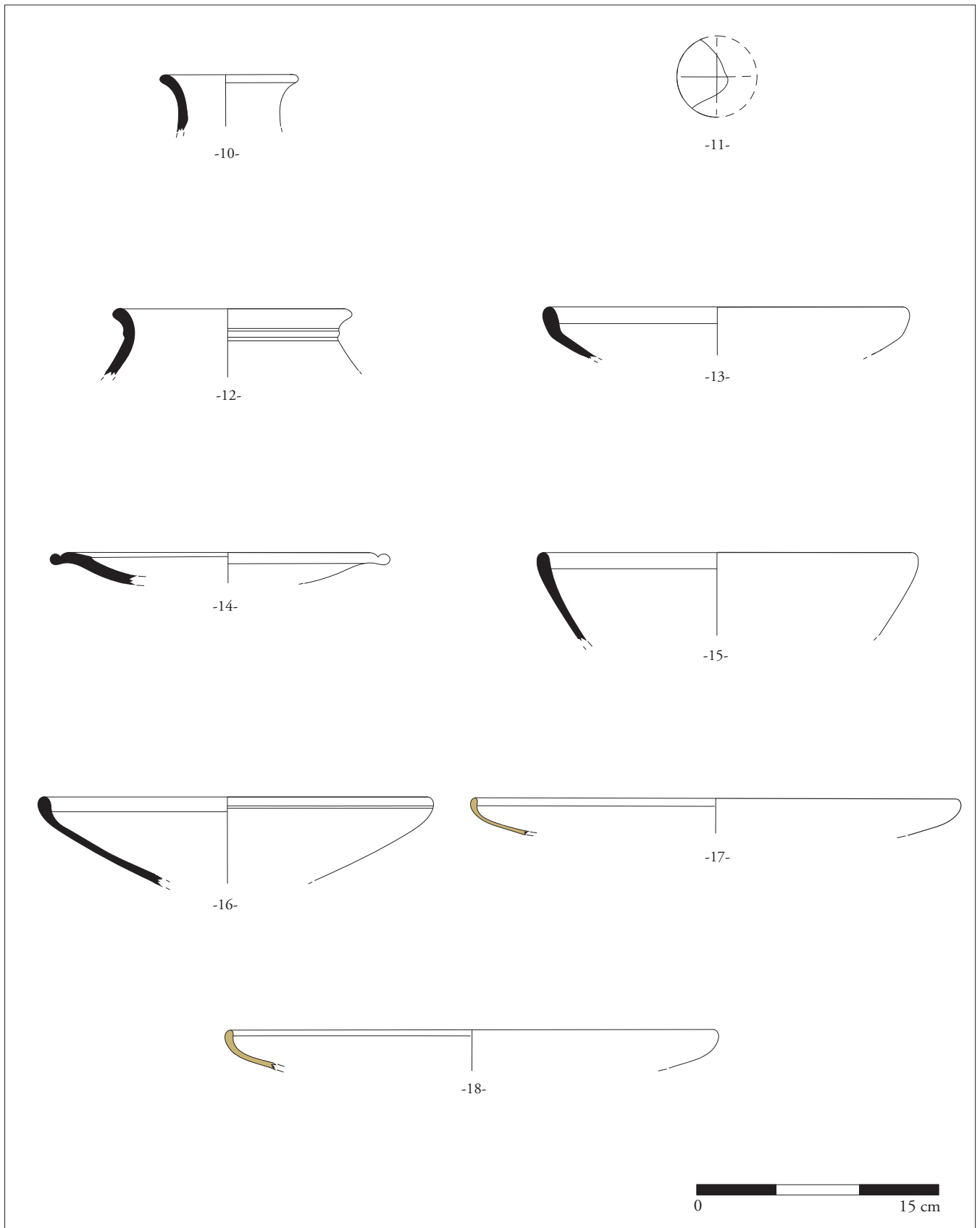


Fig.66 UF 4001 - 10 - 11 :NPR, 12: PSFIN, 13-14 :PGFIN, 15-16: PGFINF, 17-18: CAMP B (C. Dromard).

claire peinte ou non est représentée par 5 individus. On retrouve 2 formes de TFC-BOU 2 dont une décorée d'aplats de couleur rouge et blanche (Fig.65, n°7). On note également un individu de type TFC-BOU 1 (Fig.65, n°5), un individu de type TFC-BOU 3 (Fig.65, n°4) et enfin un individu de type TFC-GOB 1 (Fig.65, n°6). On compte 9 individus en céramique tournée fine sombre, la moitié étant des écuelles, avec un individu de type TFS-ECU 1a (Fig.65, n°8), deux individus de type TFS-ECU 1b (Fig.66, n°13), et un individu de type TFS-ECU 1c (Fig.66, n°16). Les autres types sont diversifiés, avec un individu de type TFS-BOU 1 (Fig.66, n°10) ainsi qu'un fond portant une incision en forme de croix de Saint-André sur le dessous (Fig.66, n°11), un individu de type TFS-TON 1a (Fig.65, n°9). On retrouve également une assiette de type TFS-ASS 1b (Fig.66, n°14), une coupe de type TFS-COUP 1b (Fig.66, n°15), et un pot de type TFS-POT 1a (Fig.66, n°12).

En termes d'importation on note la présence de quelques fragments de cruches italiennes de type indéterminé. On retrouve également de la céramique campanienne pour un NMI de 2, avec deux individus fragmentaires de type Lamb.5 (Fig.66, n°17 et n°18).

## BIBLIOGRAPHIE

BARRAL (Ph.) — Céramique indigène et faciès culturels à la Tène Finale dans la vallée de Saône, Thèse de doctorat de l'Université de Franche-Comté, Besançon, 1994, 3 vol., 476 p.

BARRAL (Ph.) et VIDEAU (G.) — « De Bibracte à Vesontio : esquisse d'une périodisation de la fin de l'âge du Fer en Bourgogne et Franche-Comté », In : Barral Ph. (dir.) et Fichtl S. (dir.) : Regards sur la chronologie de la fin de l'Âge du Fer (IIIe-ler siècles avant notre ère) en Gaule non méditerranéenne, Actes de la table ronde tenue à

Bibracte du 15 au 17 octobre 2007, Bibracte 22, Centre Archéologique Européen du Mont Beuvray, Glux-en-Glenne, 2012, p. 95-111.

BARRIER (S.), LUGINBÜHL (Th.), BARRAL (Ph.) coll. — La vaisselle céramique de Bibracte. De l'identification à l'analyse. Glux-en-Glenne : Bibracte, 2021, 318 pages, 177 illustrations (Bibracte, 31)

DICOCER : PY (M.) (dir.). — Dictionnaire des céramiques antiques (VIIème s. av. n.è. - VIIème s. de n.è.) en Méditerranée nord - occidentale (Provence, Languedoc, Ampurdan). Lattes : Mélanges d'histoire et d'archéologie de Lattes, 1993, 623 p. (Lattara ; 6).

LAVENDHOMME M.-O. et GUICHARD V. — Rodumna (Roanne, Loire) le village gaulois, D.A.F., 62, Editions de la M.S.H., Paris, 1997, 369 p.

« Protocole de quantification des céramiques », in : ARCELIN (P.) et TUFFRAU-LIBRE (M.) (dir.) : La quantification des céramiques, conditions et protocole, Actes de la table ronde du Centre archéologique européen du Mont Beuvray, Glux-en-Glenne, 7-9 avril 1998, Bibracte, 2, Centre Archéologique Européen du Mont Beuvray, Glux-en-Glenne, 1998, p. 141-157.

### 3.3. LES AMPHORES (M. DEBLOIS)

L'étude des amphores de la campagne 2022 porte sur 1345 restes, pour une masse avoisinant les 170 kg. Calculé sur la base du nombre de bords et pondéré par les fonds et les épaulements, le NMI s'élève à 154 amphores. Pour rappel, les campagnes 2019 et 2021 avaient livré respectivement 2298 (NMI = 122) et 1883 (NMI = 194) restes et NMI (Soichet 2019 ; Deblois 2021).

Sur les trois secteurs étudiés cette année, seuls les secteurs 3 et 4 ont révélé la présence d'amphores. La majorité du mobilier amphorique provient du secteur 3, avec un NR de 1213 pour 136 individus, soit 90 % du mobilier amphorique issu de la campagne de fouille 2022. Il s'agit néanmoins de mobiliers résiduels. En revanche, pour le secteur 4, qui s'avère plus précoce et a révélé des vestiges gaulois, on compte 132 fragments d'amphores (NR) pour 18 individus (Fig.67).

La totalité du mobilier amphorique a été traité lors du stage de post-fouille effectué à Bibracte, en collaboration avec Fabienne Olmer. À l'issue des tris et comptages, les tessons de panse ont été jetés, permettant de conserver les formes nécessaires à l'étude (bords, épaulements, fonds, anses). L'étude générale des amphores de l'habitat groupé du Petit-Chauvort fait l'objet d'un sujet de master, en cours de réalisation.

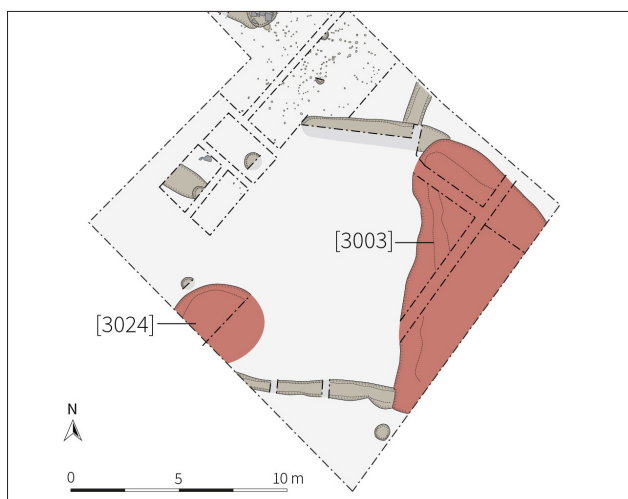


Fig.68 Localisation des structures [3003] et [3024] (M. Deblois)

| Secteur      | Type                       | NMI        | NR          |
|--------------|----------------------------|------------|-------------|
| Secteur 3    | Dressel 1                  | 91         | 1127        |
|              | Gauloise 3-5               | 11         | 18          |
|              | Dressel 20                 | 1          | 1           |
|              | Gauloise 2 Marseille       | 2          | 2           |
|              | Dressel 20 Guadalquivir    | 1          | 2           |
|              | Dressel 20 Tarraconaise    | 1          | 1           |
|              | Dressel 2/4 Amphore de Cos | 1          | 20          |
|              | Indéterminée Tarraconaise  | 7          | 11          |
|              | Indéterminée Bétique       | 10         | 18          |
|              | Indéterminée Gauloise      | 1          | 1           |
|              | Indéterminée Africaine     | 1          | 1           |
|              | Indéterminée               | 9          | 11          |
|              | <b>Total secteur 3</b>     |            | <b>136</b>  |
| Secteur 4    | Dressel 1                  | 13         | 125         |
|              | Dressel 1 Tarraconaise     | 1          | 2           |
|              | Indéterminée Tarraconaise  | 2          | 2           |
|              | Indéterminée               | 1          | 1           |
|              | <b>Total secteur 4</b>     |            | <b>18</b>   |
| <b>Total</b> |                            | <b>154</b> | <b>1345</b> |

Fig.67 Synthèse des NR et NMI par type et par secteurs (M. Deblois)

Une synthèse faisant état de l'état d'avancement des études est présentée dans le rapport triennal permettant de dresser le plan et les objectifs de ce travail (Deblois, Olmer/ rapport triennal 2022).

Nous ne présenterons ici les restes de quelques ensembles, issus de structures comprenant un NR supérieur à 50 ; cela concerne deux structures provenant du secteur 3 (Fig.68) et une structure issue du secteur 4 (Fig.69).

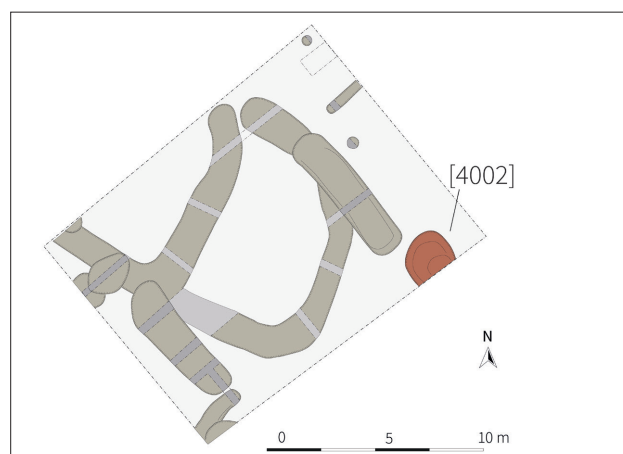


Fig.69 Localisation de la fosse [4002] (M. Deblois)

### 3.3.1. LA MARRE [3003] (FIG.70)

Le comblement [3003] de la marre comptabilise 143 restes pour 28 individus. Une majorité d'amphores Dressel 1 compose cet ensemble. Notons néanmoins la présence de cinq amphores gauloises (de type G 3-5), de sept amphores de Bétique dont une Dressel 20, de deux amphores de Tarraconaise et enfin, de trois amphores probablement originaires d'Afrique du Nord (de Tunisie, de type Africaine précoce). Des échantillons d'argile ont été prélevés pour valider ces hypothèses avec des éléments de comparaison.

On observe la présence d'un timbre, une grande palme, qui semble caractéristique de l'atelier de Cosa, toutefois localisé sur un fragment de fond (échantillon n° 29), ce qui n'avait jamais été observé jusqu'à présent. Ce timbre est connu uniquement sur la lèvre ailleurs (Deblois, Olmer/ rapport triennal 2022).

### 3.3.2. LE PUIT [3024] (FIG.71 & FIG.72)

Le puits [3024] comporte deux comblements successifs. Le premier [3077] propose 83 restes (NR)

pour 14 individus (NMI) et le second [3023] 514 restes (NR) pour 30 individus (NMI). Les deux comblements se composent d'une majorité d'amphores Dressel 1 mais on note pour l'UF [3023] la présence de deux amphores de Tarraconaise, ainsi qu'une amphore Dressel 1C. Pour ce qui concerne l'UF [3077].

On observe deux bords de Dressel 1 portant des timbres figurant un petit gouvernail, découverts respectivement dans chacune des phases de comblement. Ces timbres (échantillons n° 77 et n° 134) sont originaires de Cosa et assez bien diffusés (cf. Deblois, Olmer / volume triennal). Notons également la présence d'un troisième timbre illisible dans l'UF [3023] (échantillon n° 89).

### 3.3.3. LA FOSSE [4002] (FIG.73)

La fosse [4002], au caractère vraisemblablement détritique, a révélé la présence d'amphores dans son comblement supérieur [4001], qui présente 106 restes (NR) pour 9 individus (NMI). Outre 7 Dressel 1 italiennes, on observe deux Dressel 1 de Tarraconaise. Cette structure s'avère représenter les deux phases de l'occupation

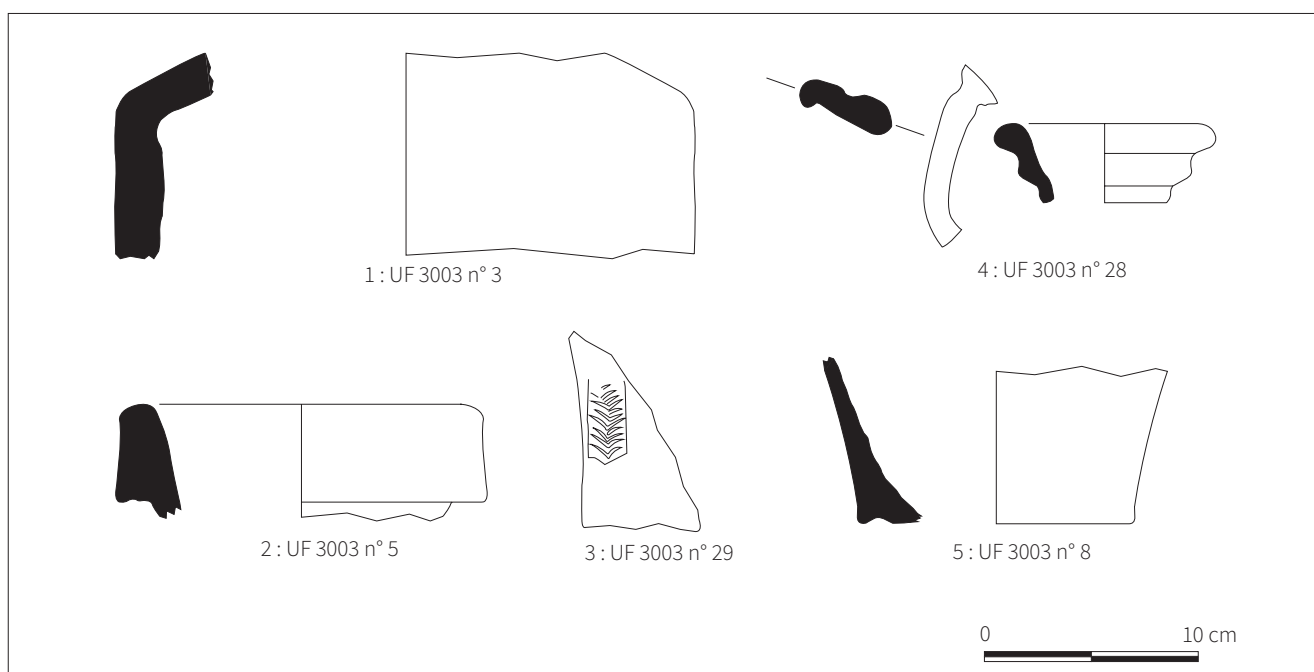


Fig.70 LUF 3003 - Dressel 1 : 1-3; Gauloise 3-5 : 4-5 (M. Deblois)

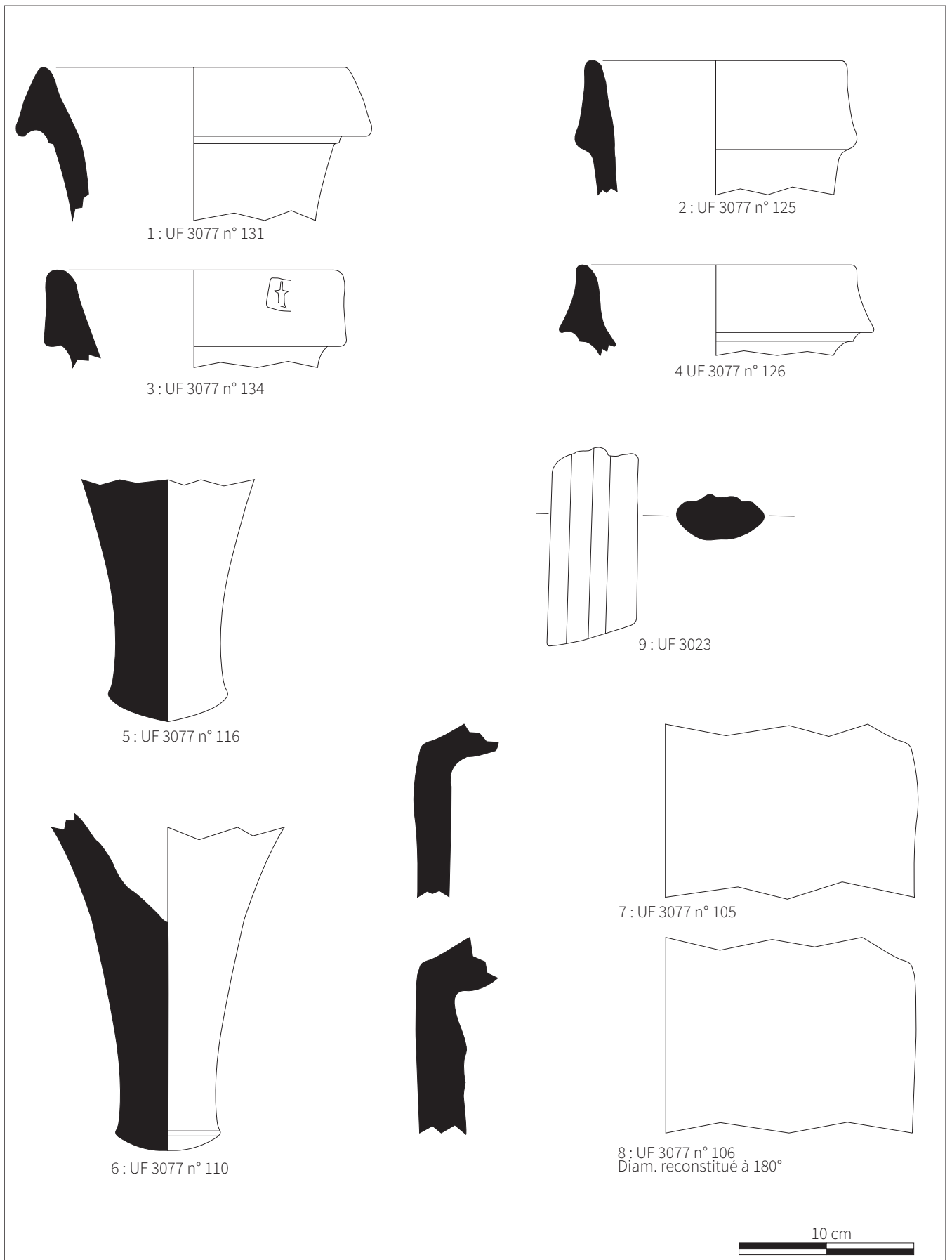


Fig.71 LUF 3077 - 1-8: Dressel 1; 9: Dressel 1C (M. Deblois)



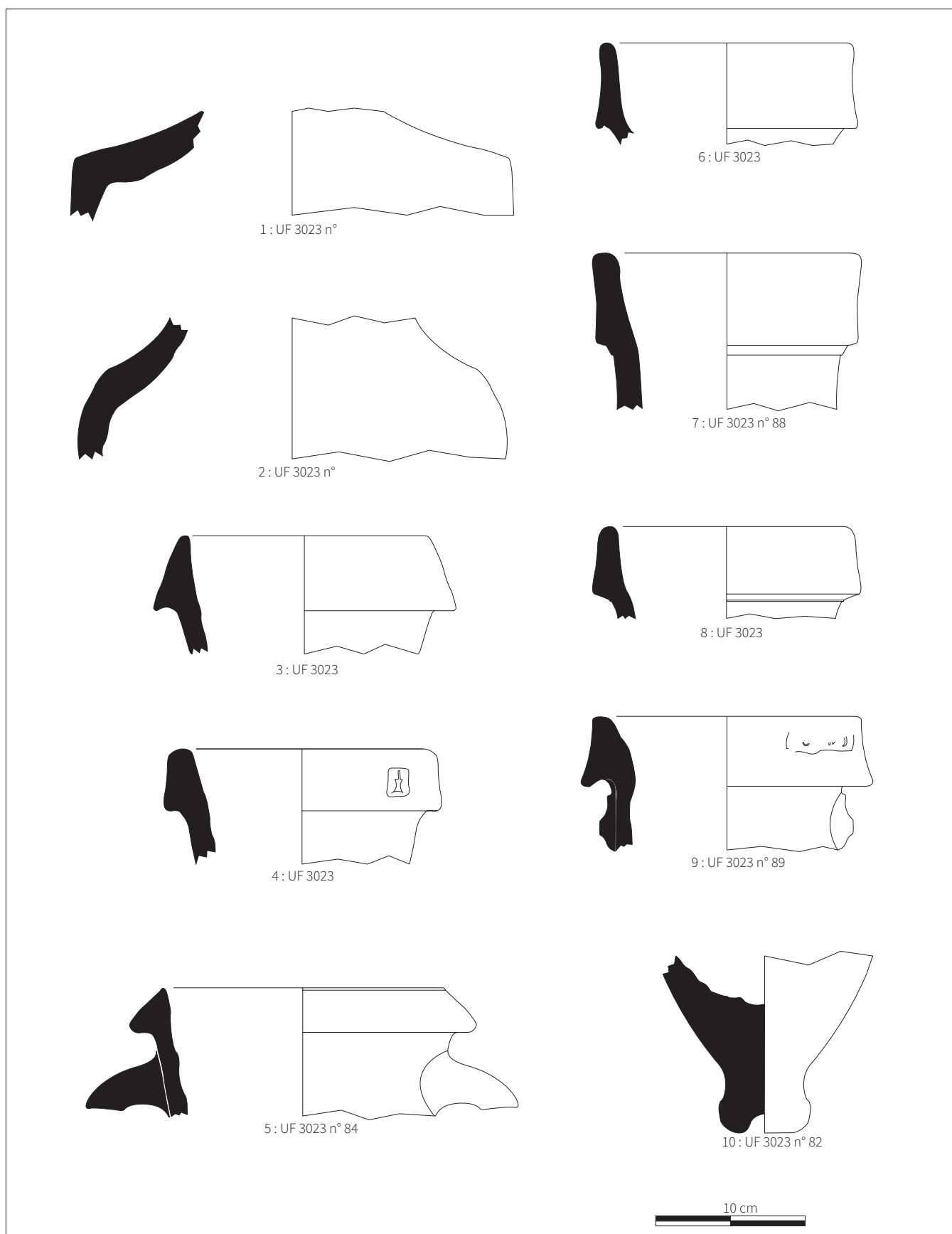


Fig.72 UF 3023 - 1-10 : Dressel 1 (M. Deblois)

de l'agglomération ouverte : absence d'amphore dans la phase ancienne (comblement inférieur) et leur présence abondante dans la phase suivante (comblement supérieur).

secteur 4 peuvent être attribuées à la Tène D1, comme celles livrées par la fouille de 2021 et qui ont fait l'objet d'un Master 1 (Deblois 2022).

Le corpus de cette campagne de 2022 est principalement représenté par des objets en position résiduelle provenant de l'occupation pré-augustéenne (mobilier du secteur 3). À l'inverse et en accord avec les autres types de mobilier, les amphores issues du

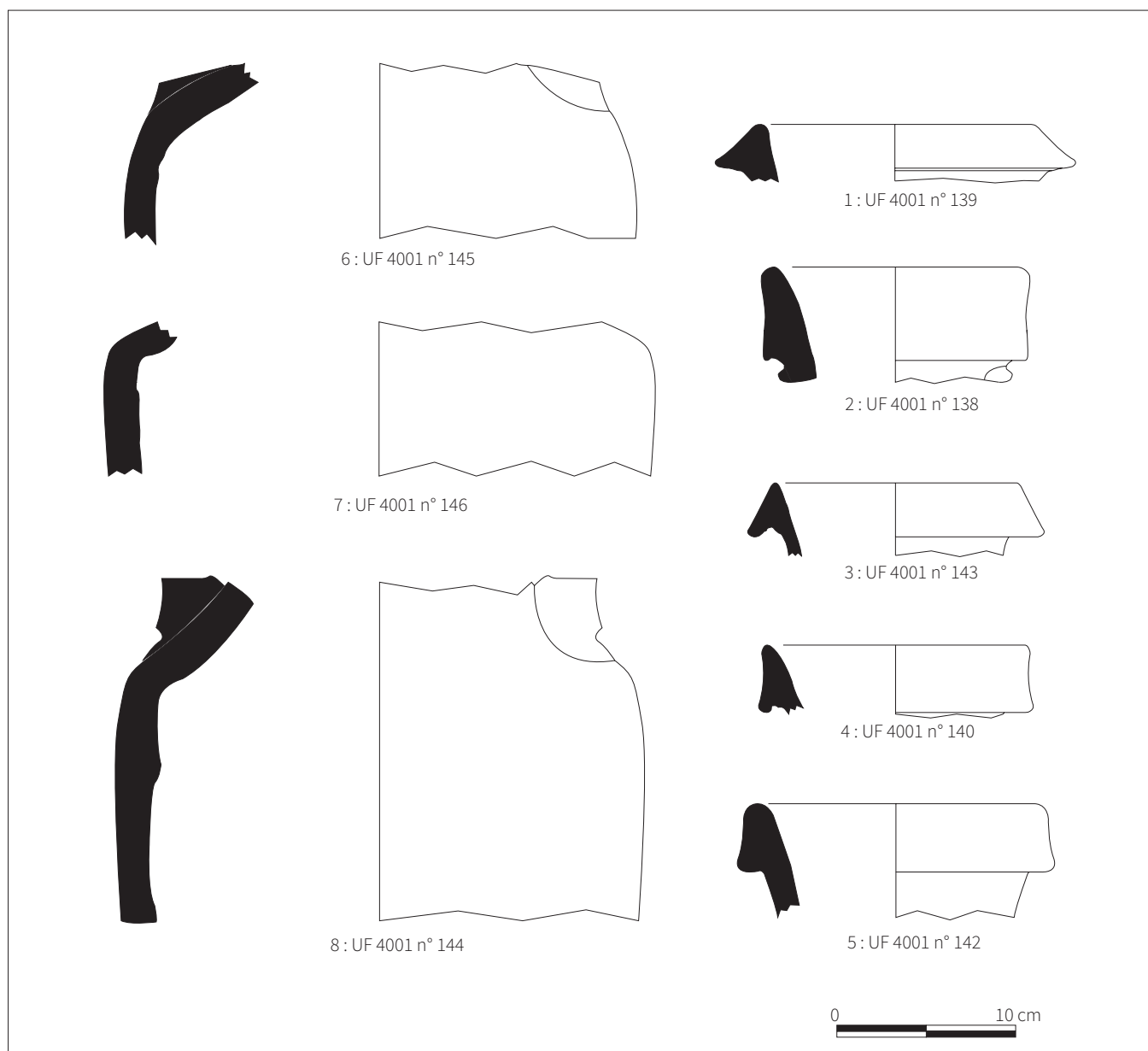


Fig.73 UF4001 - 1 : Greco - italique ? ; 2 - 8 : Dressel 1 (M. Deblois)

### 3.4. LE MOBILIER MÉTALLIQUE ET L'INSTRUMENTUM (R. PERRUICHE avec la contribution de V. TAILLANDIER et la collaboration de L. BERT, A. ROGER ET M. WARET)

#### 3.4.1. PROTOCOLE D'ÉTUDE

##### 3.4.1.1. CONSIDÉRATIONS GÉNÉRALES

Cette étude traite des artefacts métalliques (alliage cuivreux, fer, plomb) et de l'instrumentum en os, terre cuite, en verre ou roche noire mis au jour à l'occasion de la campagne de fouille de 2022 à Verdun-sur-le-Doubs.

L'inventaire du mobilier est proposé sous la forme d'un tableur Excel et a été réalisé en collaboration avec V. Taillandier. Il comprend les données relatives à l'identification et la fonction de l'objet suivi d'une courte description et des précisions typo-chronologiques d'usage quand les artefacts ont pu être déterminés. Les objets considérés comme significatifs ou remarquables d'un point de vue chronologique ou contextuel sont traités de façon plus spécifique dans le corps de cette étude.

Le mobilier en alliage cuivreux et en plomb a fait l'objet d'un simple nettoyage à la brosse. La plus grande partie des objets cuivreux n'ont pas subi d'altération de leur surface originelle et s'avèrent très facilement identifiables. Les objets en fer sont moins bien conservés et ont parfois nécessité l'utilisation d'une micro-sableuse pour leur identification.

Signalons que l'utilisation systématique du détecteur à métaux dans les phases de décapage, de fouille et de rebouchage a permis de recueillir en surface une importante quantité de mobilier laténien et antique, mais également médiéval ou moderne.

L'essentiel du matériel jugé pertinent a été dessiné et l'intégralité des objets isolés découverts en 2022 a été photographiée par des étudiants de master de première et deuxième année de l'Université de Bourgogne (M. Waret, A. Roger et L. Bert). Dans le cadre de leur formation, ces derniers ont également participé à l'inventaire du mobilier effectué à l'EPCC Bibracte entre le 7 et 18 novembre 2022.

##### 3.4.1.2. PROTOCOLE DE CLASSEMENT ET DE DÉNOMBREMENT DU MOBILIER

D'une façon générale, les systèmes de classement de l'instrumentum développés ces vingt dernières années ont tous en commun de proposer une catégorisation fonctionnelle des objets. Des travaux menés par J.-P. Guillaumet et O. Nillesse dans les fermes indigènes de l'est de la Gaule (Guillaumet et Nillesse 2000), réactualisés par le groupe de travail «étude des mobiliers métalliques et de l'instrumentum» (Briand et al. 2013), aux études plus récentes de S. Raux, A. Ogay, E. Roux, M. Demierre ou B. Girard, les conventions ont peu évolué (Fig.74).

Envisager le mobilier à partir de grandes catégories permet de dresser le profil d'un site en fonction des activités humaines qui s'y déroulent. Ainsi, le protocole d'analyse du mobilier employé reste le même, quelle que soit la nature du site envisagé. Il importe en effet pour valider les caractéristiques spécifiques d'un corpus de pouvoir le comparer à des ensembles de nature différente. Cela nécessite d'utiliser des méthodes d'analyses homogènes entre les différents sites, comme la classification du mobilier et sa quantification. Les objets sont donc triés selon le principe du NR/NMI/NMO : décompte du nombre de restes (NR), estimation du nombre minimum d'individus (NMI) et le cas échéant le nombre minimum d'objets réels (NMO) (Fig.75).

| Domaine     | Catégorie                   | Définition  | Fonction  |
|-------------|-----------------------------|---|---|
| Domestique  | Activité culinaire          | Objets de la sphère culinaire, de la préparation à la consommation (ustensiles, vaisselle, stockage)  | Conserver, préparer, cuire, manger, boire, servir |
|             | Ameublement                 | Regroupe les meubles, leurs décors, ainsi que leurs éléments d'assemblage (charnières, ferrures, clous décoratifs...) et leurs systèmes de fermeture (serrure, cadenas, clés, bagues-clés...) | Aménager, ranger                                  |
|             | Éclairage                   | Éléments liés à la production de la lumière (lampes à huile)  | Éclairer  |
| Échange     | Commerce                    | Objets liés au commerce et mesures (monnaies, balances, poids, plombs fiscaux, jetons...)   | Commercer, échanger                               |
| Immobilier  | Construction                | Clouterie et pièces de quincaillerie utilisées pour la construction (élévations, couvertures) et l'aménagement du bâti  | Construire  |
|             | Huisserie                   | Clouterie et pièces de quincaillerie dont l'utilisation pour la réalisation et le fonctionnement des ouvrants est avérée (clés, serrures)   | Fermer  |
|             | Hydraulique                 | Objets liés à la gestion de l'eau (canalisations, chenets...)   | Acheminer/stocker l'eau                           |
| Militaire   | Armement                    | Armes offensives et défensives  | Combattre   |
|             | Militaire                   | Objets liés à la sphère militaire (agrafes de ceinturon, segments de cuirasse, clous de chaussure, etc.)  | Se vêtir / s'équiper pour combattre               |
| Personnel   | Parure et vêtement          | Objets de parure (fibules, bracelets, bagues, épingles) et accessoires vestimentaires (clous de chaussure, agrafes de ceinturon féminines)  | Paraître / se vêtir                               |
|             | Soin du corps               | Objets de la toilette, de l'hygiène et de la médecine   | (s')entretenir / (se) soigner                     |
| Production  | Subsistance                 | Outils et ustensiles liés aux activités agropastorales: agriculture, pêche et à entretien paysager  | Produire, extraire, transformer                   |
|             | Artisanat                   | Extraction, fabrication et transformation des ressources naturelles ; inclut tous les objets relatifs à l'artisanat (outils, matière première)  | cultiver, entretenir                              |
| Spirituel   | Objet à caractère religieux | Objets liés à la magie, à la divination et à la religion dans un contexte culturel  | Sacrifier, prier, offrir                          |
| Transport   | Attelage                    | Pièces d'attelage, de charronnerie et véhicules terrestres divers   | Se déplacer / transporter                         |
|             | Harnachement                | Objets liés à l'harnachement de l'animal  |   |
| Vie sociale | Divertissement              | Pièces de jeu, jouets   | Jouer, se divertir                                |
|             | Écriture                    | Objets liés à l'écriture  | Écrire  |
| Inclassable | Divers polyvalent           | Objets identifiés, mais dont la fonction précise n'est pas ou ne peut pas (tiges, tôles, barres, etc.) être assurément attribuée à une catégorie  |   |
|             | Indéterminé                 | Objets indéterminés   |   |

Fig.74 Définitions des catégories fonctionnelles (d'après Briand et al. 2013)

| NR   | Dénombrement Bataille 2004 | Dénombrement Girard 2010   |                 |
|--|----------------------------|--|-----------------|
|  | NMI                        | NMI  | NMO             |
| 1 ressort<br>1 fragment d'arc<br>1 fragment de pied  | =<br>1 fibule              | =<br>1 fibule  | =<br>1 fibule   |
| 3 fragments de plaque de fourreau<br>1 fragment de bouterolle<br>1 fragment de pontet                                    | =<br>1 fourreau            | =<br>1 fragments de plaque de fourreau<br>1 fragment de bouterolle<br>1 fragment de pontet | =<br>1 fourreau |
| 3 fragments de panse<br>1 fragment de bord<br>1 fragment d'attache supérieur<br>1 attache inférieure d'anse<br>1 support | =<br>1 cruche              | =<br>1 vasque<br>1 anse<br>1 support   | =<br>1 cruche   |
| 3 fragments de cerclage<br>2 fragments d'anse<br>1 fragment d'attache d'anse   | =<br>1 cruche              | =<br>1 vasque<br>1 anse<br>1 support   | =<br>1 seau     |

Fig.75 La quantification du mobilier métallique par le NR, NMI et NMO (d'après Bataille 2008 et Girard 2010)

Le corpus de Verdun-sur-le-Doubs comprend presque la totalité des catégories fonctionnelles définies par le groupe de recherche (Briand et al. 2013). Tout comme pour le corpus de Coirent (Demierre 2019), la création de sous-catégories a toutefois été nécessaire pour classer de la manière la plus précise possible le mobilier afin de faciliter les analyses

statistiques, d'assemblage et de répartition spatiale. Ainsi, la catégorie relative à la production artisanale, une dimension particulièrement importante à Verdun, a par exemple été subdivisée en plusieurs sous-catégories liées aux différents artisanats attestés sur le site (Fig.76).

| Catégorie                            | Sous-catégorie                    | Catégorie                          | Sous-catégorie     |
|--------------------------------------|-----------------------------------|------------------------------------|--------------------|
| Parure et accessoires vestimentaires | Fibules                           | Activité culinaire ou de boucherie | Récipients         |
|                                      | Vêtement (hors fibules)           |                                    | Couteaux           |
|                                      | Parure annulaire                  |                                    | Ustensiles         |
| Artisanat métal ind.                 | Outils liés au travail du métal   | Activités de subsistance           | Outils agricoles   |
| Artisanat du fer                     | Chute liée au travail du fer      |                                    | Chasse             |
|                                      | Déchets liés au travail du fer    |                                    | Pêche              |
|                                      | Fabricat fer                      |                                    |                    |
| Artisanat des métaux fusibles        | Chute liée au travail du bronze   | Armement                           | Armement offensif  |
|                                      | Déchets liés au travail du bronze |                                    | Armement défensif  |
|                                      | Fabricat bronze                   |                                    | Fourniment         |
|                                      | Déchets liés au travail du plomb  |                                    |                    |
| Artisanat du textile                 | Outils liés au travail du textile | Indéterminé                        | Indéterminé tige   |
| Artisanat du bois                    | Outils liés au travail du bois    |                                    | Indéterminé plaque |
| Artisanat de l'os et MDOA            | Outils liés au travail de l'os    |                                    | Indéterminé tôle   |
|                                      | Fabricat os                       |                                    | Objet indéterminé  |
|                                      | Déchets de tabletterie            |                                    |                    |

Fig.76 Sous-catégories fonctionnelles



### 3.4.2. SECTEUR 2 : PRÉSENTATION GÉNÉRALE DU CORPUS

Le secteur 2 n'a livré que 6 objets, tous en fer. Il s'agit de deux clous ; d'un clou de ferrure moderne ; d'un possible maillon de chaîne (2000-001) ; ainsi que de chutes, d'une barre et d'une tôle liées au travail de forgeage.

### 3.4.3. LE SECTEUR 3

#### 3.4.3.1. PRÉSENTATION GÉNÉRALE DU CORPUS

Le corpus du secteur 3 est composé de 146 fragments soit 123 NMI pour un poids total de 1250 g. Hors clous (31 NMI) et mobilier moderne (2 NMI), les objets isolés découverts en 2022 regroupent 113 restes (NR) pour 82 individus (NMI), soulignant ainsi la faible fragmentation du mobilier.

Avec 140 fragments pour 117 objets inventoriés, le métal est le matériau le mieux distribué dans le corpus (Fig.77). La part des éléments en fer représente 71 % du corpus soit 88 individus ; suivent les objets en alliage cuivreux (26 NMI) et les éléments en plomb (2 NMI) ou en étain (1 NMI). Les objets travaillés en os, en terre cuite, en verre, en ambre et en roche noire représentent la plus faible part de notre corpus avec 6 individus déterminés.

#### 3.4.3.2. LES OBJETS EN FER (FIG.78)

Assez bien conservés dans l'ensemble, les objets en fer sont nombreux avec un total de 88 NMI pour 103 restes. En excluant du comptage, les éléments d'huisserie, de gros-œuvre et la petite quincaillerie (clous, plaques, pitons, crampons, tiges indéterminées, etc.) présente en grande quantité, ce nombre chute à 29 individus.

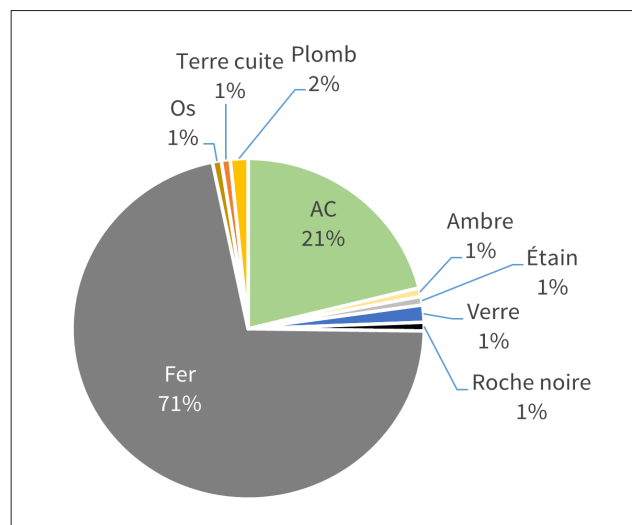


Fig.77 Répartition du mobilier du secteur 3 par matériau (123 NMI)

Dans petit lot, est surtout regroupée une petite série d'objets liés à l'artisanat du fer ou du métal. On distingue notamment :

- 16 chutes liées au travail du fer (13 NMI) : une tige abandonnée en cours de martelage et 13 fragments de barres dont les extrémités biseautées et les sections irrégulières conservent l'indice d'un travail de forge ;
- un outil identifié comme un tas de frappe (3049-002), retrouvé dans le comblement d'un trou de poteau ;
- une charnière mâle de coffret ou de petit meuble probablement en cours de fabrication (3023-024). L'objet se présente en effet sous la forme d'une barre de section rectangulaire, mais la perforation nécessaire pour enclencher la partie femelle n'a pas été forée. Dans le corpus d'Augst deux éléments similaires sont attestés, l'un bronze (Riha 1990, Taf.14, n° 194) l'autre en fer (Riha 1990, Taf.19, n° 263). Tous deux sont bien identifiés comme des fabricats.

Il faut ajouter à cet ensemble lié à la production artisanale une hache à douille dont les dimensions

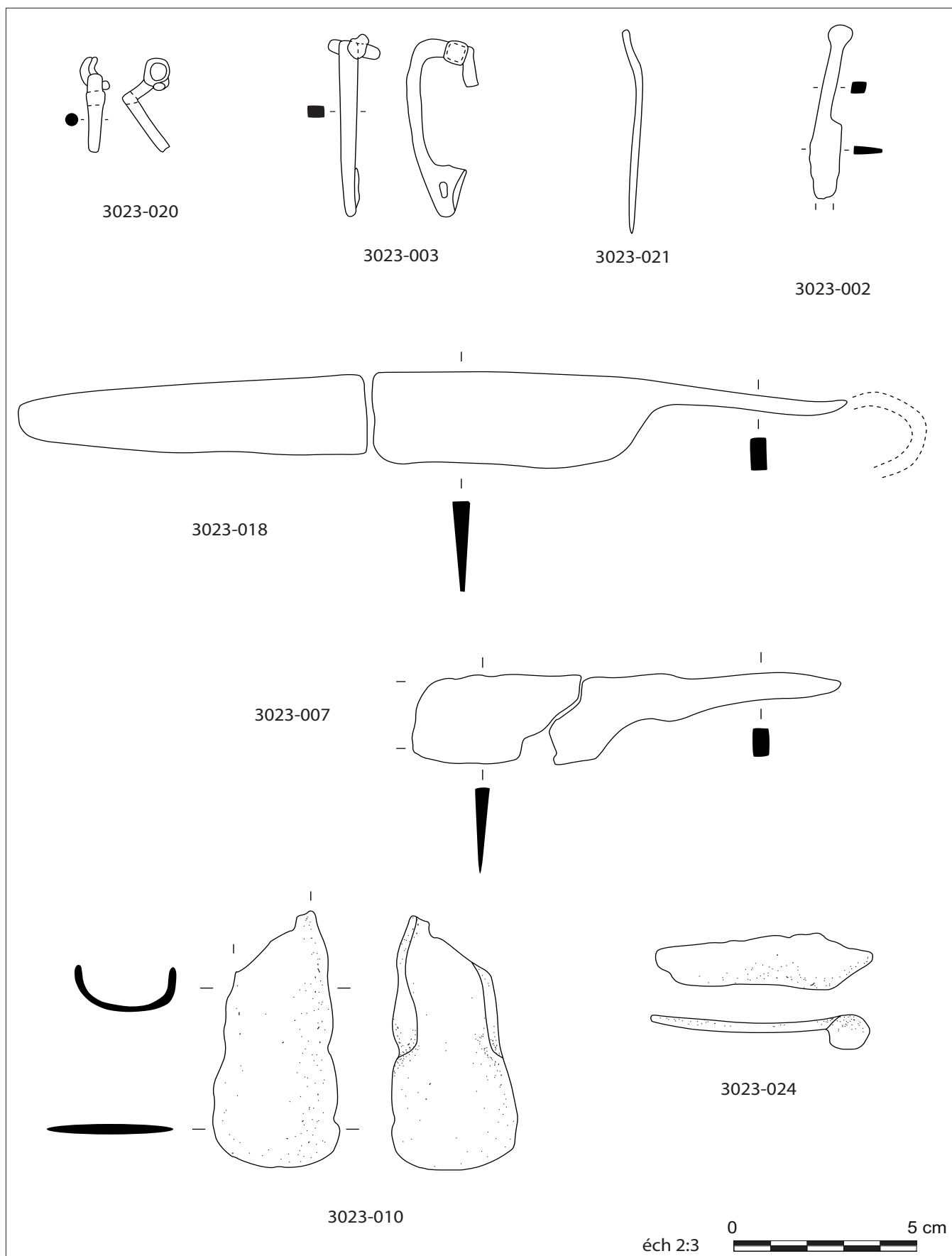


Fig.78 Sélection d'objets en fer découverts à Verdun-sur-le-Doubs en 2022 - Secteur 3 (DAO R. Perruche)

réduites, moins de 8 cm de long, indiquent qu'elle a dû servir à des travaux de précision. Un exemplaire assez proche, à ailettes rabattues, a d'ailleurs été découvert à Bragny (Feugère, Guillot, 1986, p. 186, fig. 28, n° 9). Enfin, on note la présence dans le comblement du puits d'une lame de forces (3023-018), que l'on peut associer au travail du textile.

Les autres catégories fonctionnelles ne sont représentées que par un ou deux objets. Un couteau à soie, également retrouvé dans le puits (3023-007), témoigne des activités de cuisine ou de boucherie ; une pointe de flèche à douille, asymétrique et à simple barbelure de celles de la chasse (3049-003). Les fibules représentent les uniques éléments de parure en fer. On compte :

- Deux fibules de schéma La Tène C datées de LT C2/D1 (3003-003 et 3049-001)
- Une fibule du type « Knickfibel » (3023-020) caractérisée par un arc coudé à la tête et décoré au niveau du coude par une perle. Ce modèle, qui préfigure les fibules à ailettes, est daté d'après les données de l'oppidum de Bibracte de e LT D2a (Backhaus 2016).
- Une fibule à charnière (3023-003). Comme les « Knickfibeln », ce type aux caractères techniques atypiques est également présent au Mont-Beuvray ce qui suggère une datation aux alentours de LT D2b. Néanmoins, il faut sans doute considérer que ce modèle est toujours diffusé dans le premier tiers du 1er siècle après J.-C (Feugère 1985, p. 203).

### 3.4.3.3. LES OBJETS EN ALLIAGE CUIVREUX (FIG.79)

Avec 26 individus inventoriés pour un poids total de 89,6 g, les objets en alliage cuivreux sont assez nombreux dans ce corpus. Le mobilier est assez bien conservé avec un taux de fragmentation globalement

peu élevé. Les catégories fonctionnelles sont peu variées. En dehors de quelques éléments de quincaillerie décorative (anneau, clou et rondelle) et d'ameublement – entre autres un clou de serrure à tête de lion – la parure regroupe l'ensemble des objets découverts sur le secteur 3 (18 NMI). Les fibules sont bien représentées dans cette catégorie avec au total 8 individus. Les différents types attestés sont classés d'après la typologie mise en place par E. Riha (Riha 1994) (Fig.80). D'un point de vue chronologique, le corpus couvre une période comprise entre le début du 1er siècle après J.-C. et la période flavienne. Les fibules appartiennent toutes à des types ordinaires et sont issues d'un circuit commercial local.

En dehors des fibules, les éléments de parure annulaire sont également nombreux. On peut mentionner la présence de deux perles (sont classés en perles, les anneaux pour lesquels la dimension du diamètre interne est inférieure à celle de la section) et de trois anneaux dont les dimensions particulièrement réduites (diamètre interne inférieure à 2 mm) invitent à les classer dans les accessoires de parure (Demierre 2019). Une applique vestimentaire complète finalement le corpus de la parure (3000-008). Elle se présente sous la forme d'une tôle rectangulaire, étamée, pliée en deux et terminée par une tête d'oiseau ou de reptile.

### 3.4.3.4. L'INSTRUMENTUM NON MÉTALLIQUE (FIG.81)

À l'exception d'une fusaïole en terre cuite (3000-020), l'instrumentum non métallique regroupe uniquement des perles. La perle 3003-006 est un objet atypique, réalisée en ambre, elle de forme plano-convexe et présente une perforation axiale latérale. Les parallèles pour cet objet sont rares. On peut mentionner deux perles en jais plano-convexe à double perforation retrouvées à Colchester dans des tombes de la deuxième moitié du 1er siècle (Crummey 1971, n° 955-956)

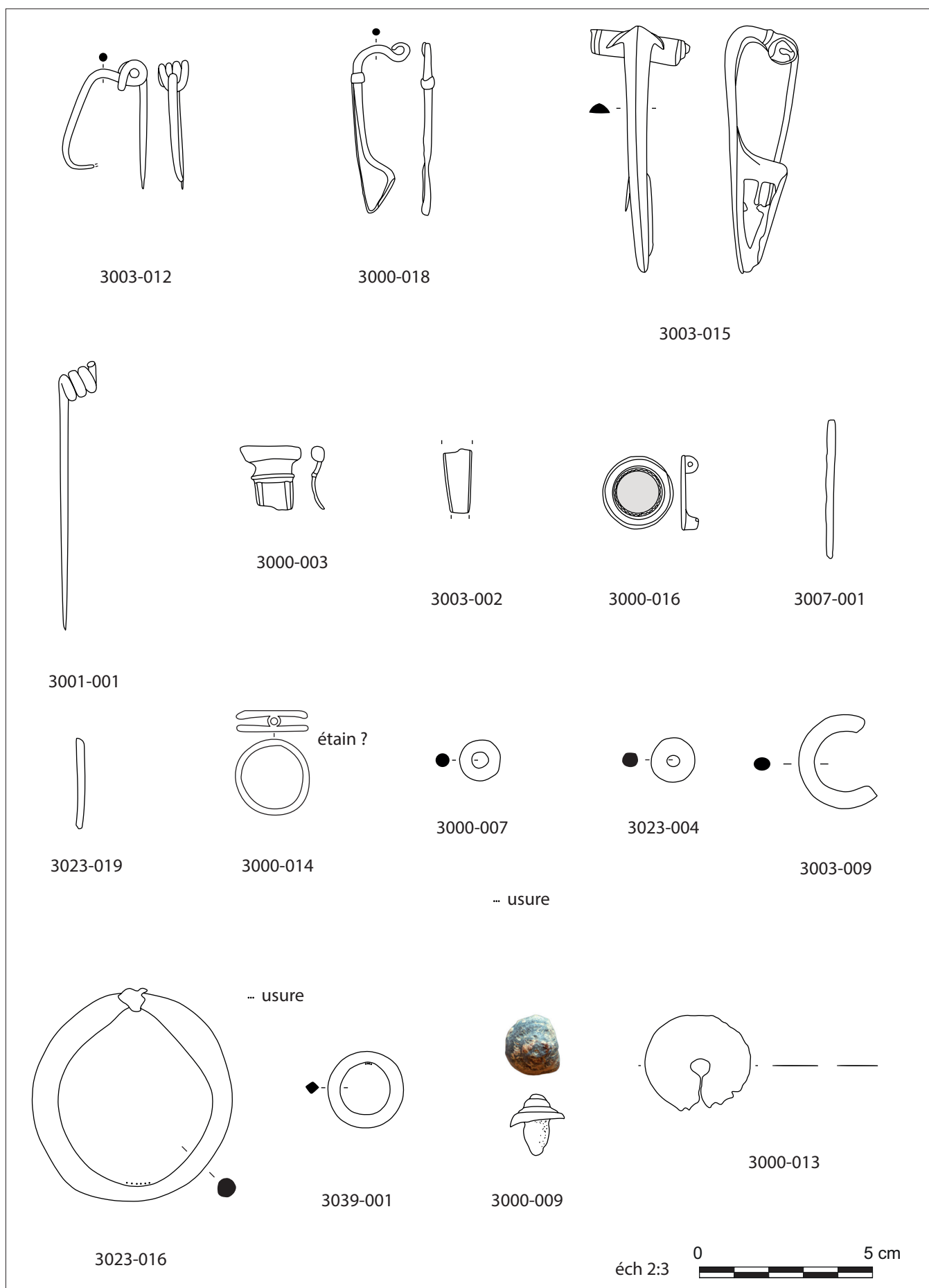


Fig.79 Sélection d'objets en alliage cuivreux découverts à Verdun-sur-le-Doubs en 2022 - Secteur 3 (DAO : R. Perruche)

| UF   | Iso | Dimensions (mm) | Description  | Datation absolue | Type                |
|------|-----|-----------------|--|------------------|---------------------|
| 3000 | 18  | L : 49          | Fibule pseudo LTC. Arc tendu à profil en archet de violon de section circulaire avec pied en retour sur l'arc maintenu par une bague. Une seule spire encore présente. Ardillon disparu.   | 10/80            | Type Riha 1.4       |
| 3003 | 12  | L cons: 35      | Fibule pseudo LTC. Arc de section circulaire à profil en archet de violon. Ressort à 2 fois 2 spires et corde interne. Le pied est cassé.  | 10/80            | Type Riha 1.4       |
| 3001 | 1   | L : 74          | Ardillon et ressort d'une fibule simple gauloise. Présence de l'ardillon et de 3 spires  | -30/+30(+60)     | Type Riha 2.2       |
| 3003 | 15  | L : 69          | Fibule à large couvre-ressort. Arc non interrompu avec une arête sur la face supérieur; couvre ressort décoré d'une incision transversale à chaque extrémité ; porte-ardillon fenestré   | 15/70            | Type Riha 4.2       |
| 3000 | 3   | L cons : 18     | Fibule à charnière, arc rectangulaire, arc cassé, pied et ardillon disparus  | (15)20/60(80)    | Type Riha 5.12      |
| 3003 | 2   | L cons : 19     | Arc de fibule, étamé, trapézoïdal décoré de deux incisions longitudinales.   | (15)20/60(80)    | Type Riha 5.12      |
| 3000 | 1   | L cons : 14     | Fibule à charnière, arc rectangulaire à profil à angle droit au niveau de la tête ; arc cassé, pied et ardillon disparus.  | 30/100           | Type Riha 5.12/5.17 |
| 3000 | 16  | D : 20          | Fibule à charnière réduite sous l'arc. Arc en forme de disque décoré par des lignes incisées sur tout le pourtour avec un décor central disparu (décor estampé ou étamé), orné sur son pourtour d'une guirlande de feuille. Ardillon disparu | 30/70(100)       | Type Riha 7.2       |

Fig.80 Tableau récapitulatif des fibules en alliage cuivreux découvertes à Verdun-sur-le-Doubs en 2022 - secteur 3

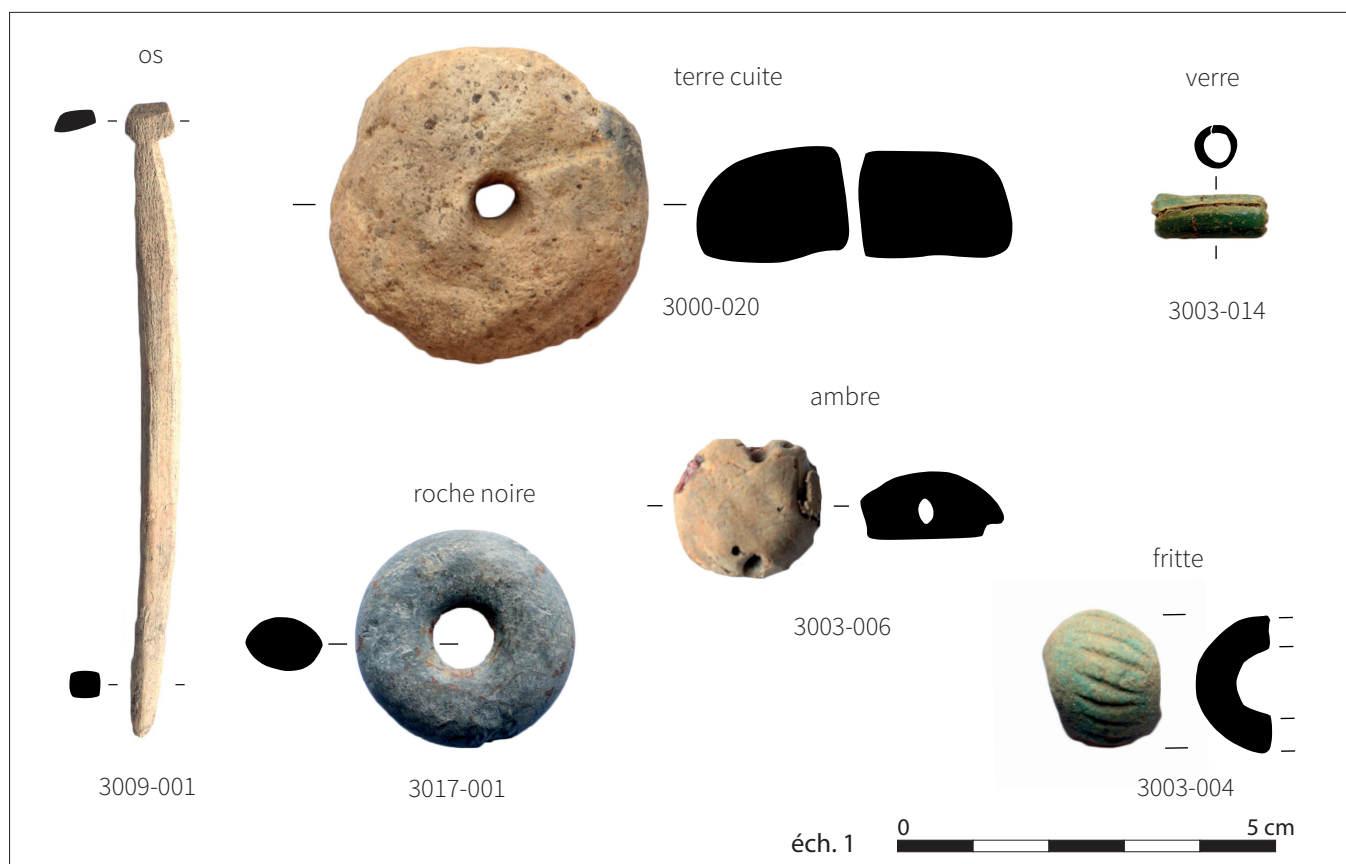


Fig.81 Objets non métalliques découverts à Verdun-sur-le-Doubs en 2022 - Secteur 3 (Clichés : L. Bert et M. Waret ; PAO, DAO : R. Perruche)



et une perle biconvexe à perforation latérale dans un des quartiers d'Augst (Riha 1990, n° 1348). Au vu du caractère particulier de ce matériau généralement importé de la Baltique ou de la Méditerranée, on le retrouve surtout dans des contextes religieux ou funéraires. Le secteur 3 a également livré une perle en roche en noire (3017-001) dans une couche d'épandage de mobilier laténien. En l'absence d'éléments caractéristiques, les objets de parure en roche noire sont particulièrement difficiles à dater. La phase de diffusion des anneaux et des bracelets concerne l'ensemble des périodes de l'âge du Fer et la technique de tournage se maintient jusqu'à l'époque romaine. Les deux dernières perles sont en verre. La première est une perle dite « en melon » (Riha 1990, type 11.1.1). Elle se distingue des autres perles en verre par son mode de fabrication particulier pour lequel on emploie de la fritte, une matière fusible artificielle qui est obtenue en mélangeant des grains de silice à des oxydes métalliques de cuivre bleu ou vert auxquels on fait subir un début de fusion. Le mélange pâteux obtenu permet de mouler de petits objets comme cette perle, un modèle particulièrement apprécié à l'époque romaine. La deuxième perle, découverte

dans le comblement de la marre (3003-014), est de forme cylindrique de section hexagonale en verre vert. Sa période de diffusion couvre toute l'Antiquité (Riha 1990 ; Guido 1978).

### 3.4.3.5. ANALYSE SYNTHÉTIQUE DU MOBILIER

Le corpus de mobilier du secteur 3 est très différent de ceux du secteur 4 et des fouilles des années 2019 et 2021. Tout d'abord d'un point de vue chronologique, où le mobilier datant, en grande majorité des fibules, se concentre sur le 1er siècle de notre ère, entre la période augustéenne et la fin de la période flavienne. Les éléments laténiens sont rares. Ils se résument à deux fibules en fer de schéma La Tène C et une autre fibule fer du type « Knickfibel » considérée comme un marqueur chronologique de LT D2a, notamment présente sur les oppida de Corent (Poux, Demierre 2015, p. 249) et de Bibracte (Backhaus 2016, type 6). Le secteur 3 se distingue également par ses assemblages de mobilier (Fig.82). Bien que des éléments liés au travail de la forge rappellent la vocation artisanale de l'agglomération,

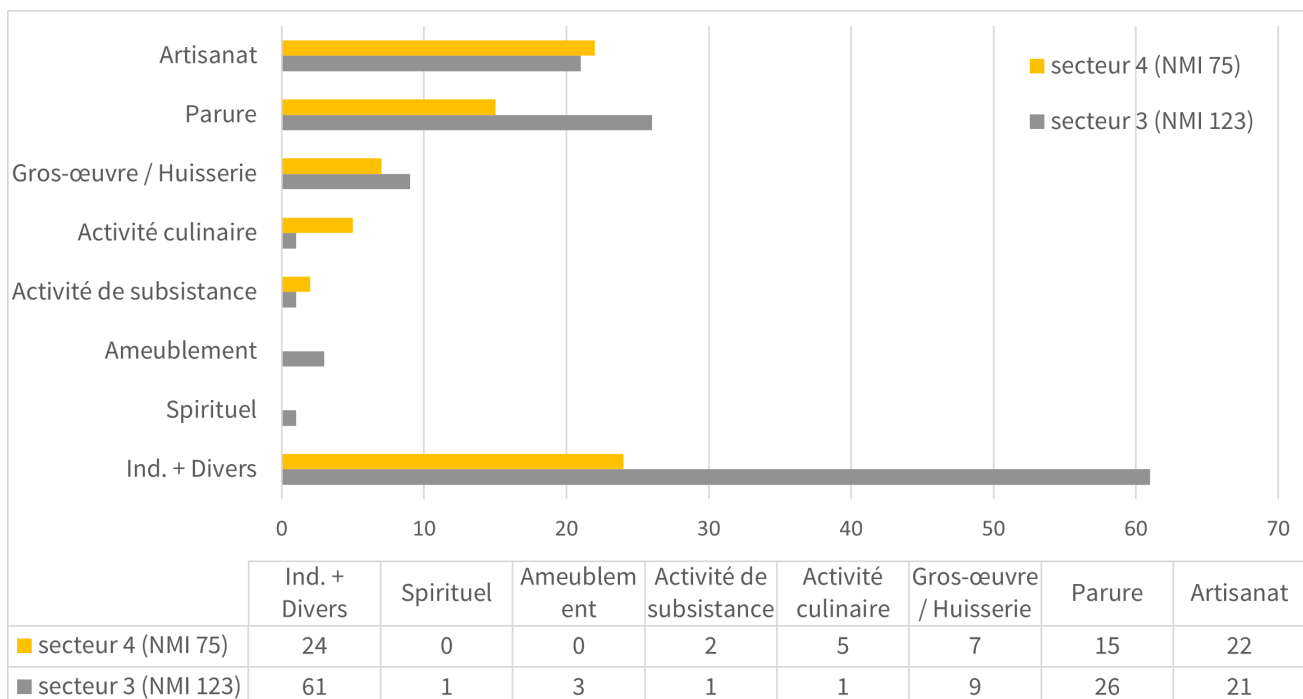


Fig.82 Assemblages comparés du mobilier des secteurs 3 et 4

le corpus est surtout représenté par les indéterminés et la parure : non seulement par les fibules en bronze, mais aussi par de la parure annulaire. Cette dernière catégorie regroupe notamment deux perles et trois anneaux en bronze. Elle est également enrichie par des perles en ambre, en verre, en fritte et en roche noire, probablement utilisées dans la réalisation de colliers ou de bracelets alternants des anneaux de différentes couleurs et matières pour créer un jeu de polychromie et de forme original. Les éléments liés à la production artisanale sont relativement nombreux, en revanche ceux liés aux activités culinaires, particulièrement présents dans les zones d'habitat de Verdun, ne sont attestés dans le secteur 3 que par une lame de couteau. De même, les pièces nécessaires à la construction en bois, tels que les clous massifs en fer, sont absents des assemblages. Enfin, le couteau miniature représente une pièce unique à Verdun où les objets à caractère religieux sont plutôt rares si l'on excepte les quelques rouelles découvertes entre 2019 et 2022, dont rappelons-le, la charge religieuse n'est pas assurée dans tous les contextes (Guichon 2019). Du cultuel au profane, la frontière est mince et si les assemblages de mobilier du secteur 3 présentent un faciès caractéristique des sanctuaires gallo-romains, composé en majorité d'accessoires de parure peu fragmentés, accompagnés de quelques offrandes spécifiques comme les objets miniatures (Perruche 2021), ces mêmes assemblages sont également des marqueurs des centres urbains. Les fibules et la parure annulaire font partie des objets de la vie quotidienne qui s'accumulent avec d'autres catégories de mobilier de façon récurrente dans les différents secteurs des agglomérations. Les contextes de découverte des objets de parure, qui se répartissent entre les terres arables, la marre (UF 3003) et le puits (UF 3023) où quelques éléments en bronze sont brûlés, ne permettent pas tout à fait de trancher la question. De plus, on peut noter que d'un point de vue taphonomique le corpus du secteur 3 est caractérisé par un mobilier plutôt fragmenté. Les fibules, à l'exception de

la fibule à large couvre-ressort et de la fibule à charnière en fer, sont largement incomplètes ce qui est typique dans les zones d'habitat, mais plutôt inhabituel en contexte cultuel où le mobilier a plutôt tendance à présenter un taux de fragmentation assez faible (Perruche 2021 ; Poux, Demierre 2012).

#### 3.4.4. LE SECTEUR 4

##### 3.4.4.1. PRÉSENTATION GÉNÉRALE DU CORPUS

La fouille du secteur 4 a permis la découverte de 101 fragments soit 75 NMI pour un poids total de 999,1 g. Le fer est prédominant dans le corpus puisqu'il représente 89 % des objets découverts (90 NR pour 67 NMI) (Fig.83). Avec seulement 6 individus, la part des éléments en alliage cuivreux est quant à elle particulièrement réduite tout comme celle de l'instrumentum non métallique. En comparant la répartition par catégorie de mobilier du secteur 4 à celles de 2019 et 2021, on s'aperçoit que si l'artisanat et la parure dominent le corpus à l'instar des années précédentes, la proportion de fibules est toutefois particulièrement réduite en 2022. Elles ne représentent que 17%, là où elles représentaient près de la moitié du corpus en 2019 et 2021 (Cf. volume de synthèse triennal).

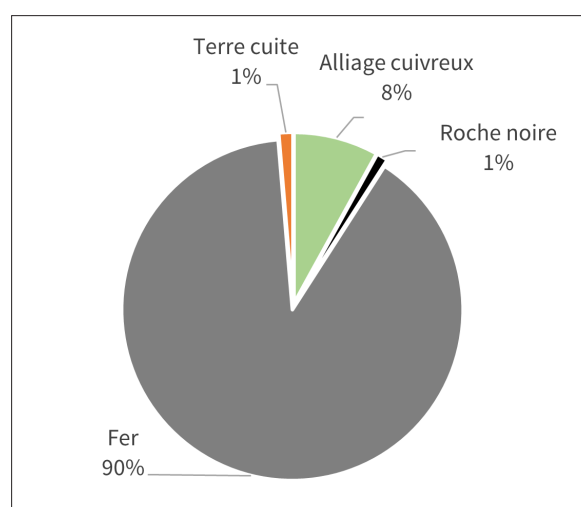


Fig.83 Répartition du mobilier du secteur 4 par matériau (75 NMI)

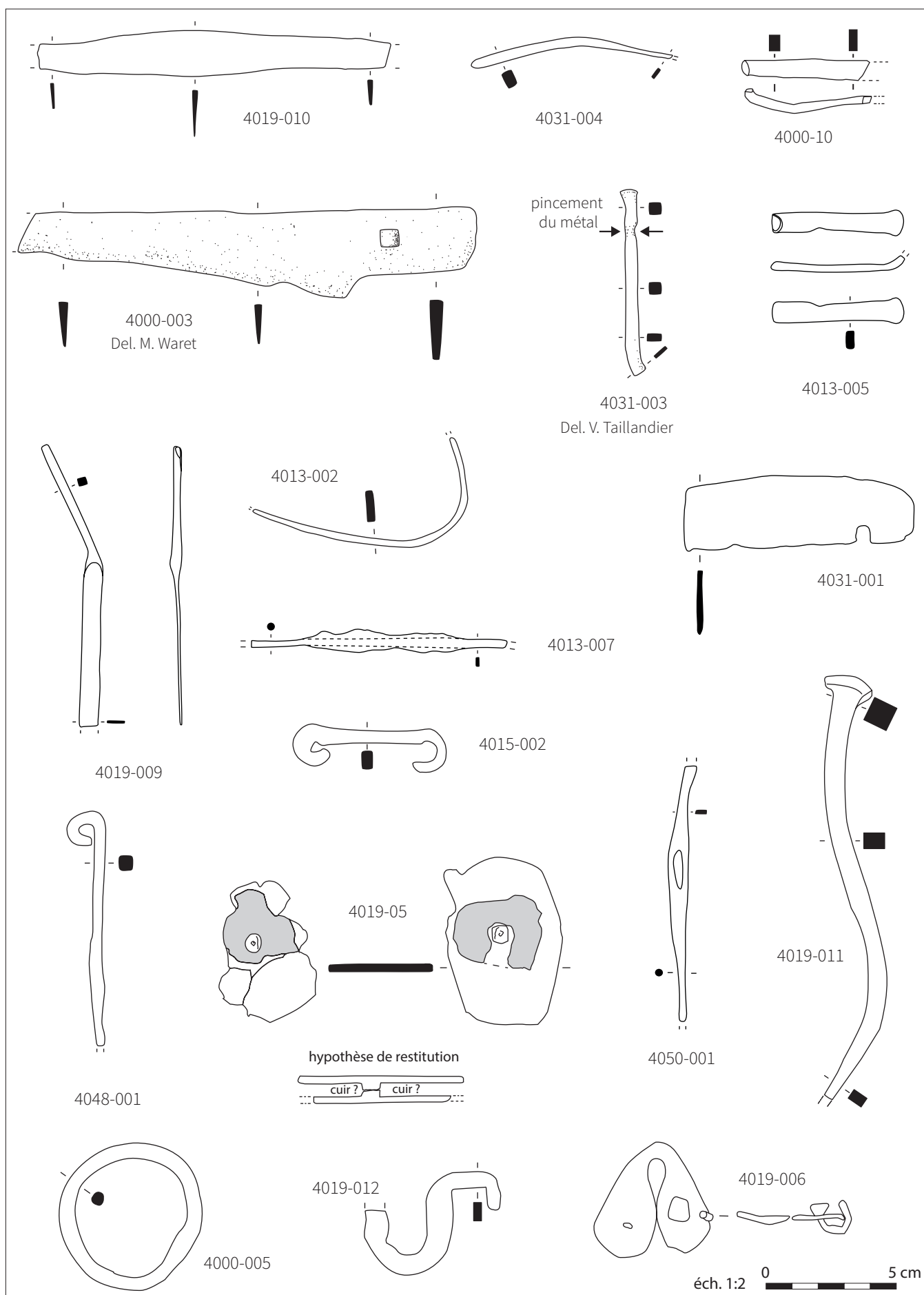


Fig.84 Sélection d'objets en fer découverts à Verdun-sur-le-Doubs en 2022 - Secteur 4 (DAO : R. Perruche sauf 4019-005, 4019-011, 4000-005, 4019-012 et 4019-006 V. Taillandier)

### 3.4.4.2. LES OBJETS EN FER (FIG.84)

Les 67 objets en fer inventoriés se répartissent entre les éléments de production (cf. 3.4.5.1), la parure, uniquement représentée par les fibules (cf. 3.4.5.2), et quelques éléments liés aux activités culinaires ou de boucherie (5 NMI). Cette dernière catégorie est marquée par la présence de deux couteaux (4000-003 et 4021-002) et de deux possibles fragments de barre de gril (4000-003 et 4000-008). Enfin, on peut noter la présence d'une petite attache d'anse de situle en arc de cercle qui trouve des comparaisons dans le quartier d'habitation de l'oppidum de Corent (Demierre 2019, fig. 188, n° 26), ainsi qu'en Gaule Belgique (Sueur 2018, fig. 206-207) ; exclusivement en fer, ce modèle semble associé à des situles en alliage cuivreux, mais pourrait aussi avoir été utilisé pour des seaux en bois (Sueur 2018, p. 257).

### 3.4.4.3. LES OBJETS EN ALLIAGE CUIVREUX

À l'inverse du secteur 3, les objets en alliage cuivreux sont particulièrement peu nombreux dans le secteur 4. On peut seulement signaler la présence de deux fibules de Nauheim fragmentaires (4001-001 et 4019-004) d'un bracelet à jonc plein (4001-002) daté de LT C2/D1 et d'un petit anneau plat (4021-003). Les deux autres objets en bronze sont modernes. Il s'agit d'un dé à coudre et d'une agrafe de demi-ceint (4000-001), une sorte de ceinture étroite en tissu ou en cuir portée par les femmes entre la fin du Moyen Âge et le XVIIe siècle.

### 3.4.4.4. L'INSTRUMENTUM NON MÉTALLIQUE

La part d'objets non métalliques est également assez faible. Elle est représentée par une perle en roche noire de section circulaire (4003-003) et une balle de fronde en terre cuite (4013-001).

### 3.4.5. ANALYSE SYNTHÉTIQUE DU MOBILIER

#### 3.4.5.1. L'ARTISANAT (V. TAILLANDIER)

Les activités de productions sont très nettement et essentiellement représentées par des activités manufacturées, pour ne pas dire artisanales, avec 22 NMI sur les 24 compris dans ce domaine. Elles correspondent à la moitié des effectifs de productions des fouilles menées en 2022, l'autre moitié provenant exclusivement du secteur 3. Les deux éléments restants correspondent à des objets liés à une activité de subsistance, a priori spécifique à une occupation de bord de rivière : une balle de fronde et que l'on pourrait associer à la chasse d'oiseaux, ainsi qu'un hameçon, objet spécifique à la pêche (Fig.85). Ces objets n'ont rien d'anecdotique sur le site depuis les fouilles réalisées par A. Guillot. Elles sont également présentées sur le site de Bragny-sur-Saône.

Les activités artisanales sont quant à elles essentiellement représentées par une activité de forge (Fig.86). L'artisanat des textiles est en effet ici anecdotique et n'est véritablement représenté que par une aiguille à chas (n°4050-001). L'autre objet classé dans cette catégorie, un dé à coudre découvert dans le

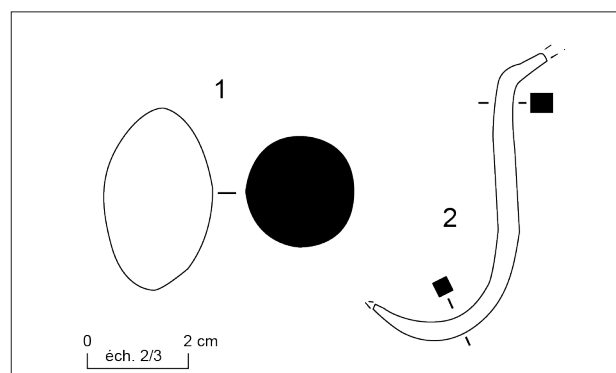


Fig.85 Objets représentatifs d'une activité de subsistance dans le secteur 4 : n°1, balle de fronde, TC ; n°2, hameçon, fer. Ech. 1. (DAO : V. Taillandier)

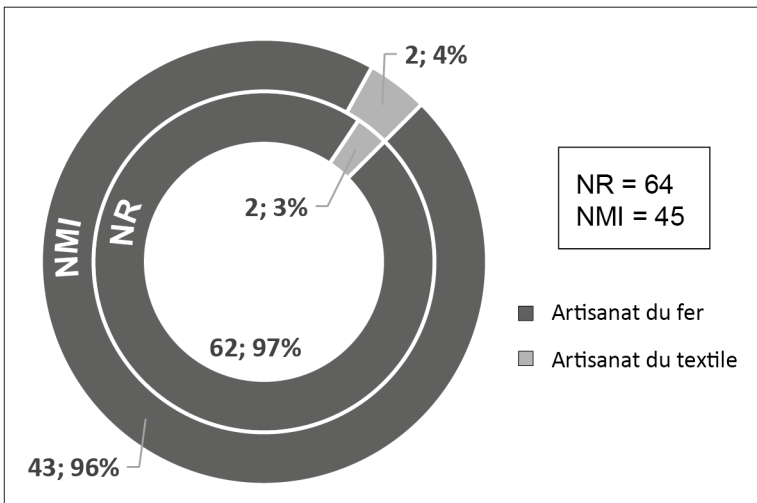


Fig.86 Proportions des différentes activités artisanales représentées dans le secteur 4

niveau de décapage UF 4000 et beaucoup plus récent, n'est de fait pas représentatif de l'occupation gauloise. L'artisanat du fer est ainsi l'activité qui régit véritablement ce secteur de fouille. Il est presque exclusivement attesté par des restes et résidus liés au travail du fer : fabricats, chutes diverses (tiges, barres, tôles, mais aussi celle d'une barre à douille qui vient compléter le corpus plus conséquent mis au jour en 2021), ainsi que divers déchets de forges (cf. inventaire réalisé par A. Roger et intégré ici dans les comptages). En additionnant ces déchets (41 NR) et les éléments inclus dans le corpus métallique (20 NR), le corpus atteint un total de 61 NR. On peut ajouter à ces résidus et restes une lime (n°4013-007), seul outil représenté (Fig.87).

#### 3.4.5.2. ÉTUDE CHRONO-TYPOLOGIQUE DES FIBULES (R. PERRUCHE)

Les 12 fibules découvertes dans les niveaux archéologiques du secteur 4 ne couvrent pas un large spectre typologique (Fig.88). Avec 10 individus, les fibules en fer de schéma La Tène C sont largement majoritaires. Les exemplaires les mieux conservés, se distinguent par un ressort large, à plus de huit spires

et à corde externe, un arc tendu et filiforme de section circulaire, inorné ou décoré d'une perle sur le pied. Ces fibules sont datées par les contextes de Vufflens-la-Ville (Demierre, Wimmer 2022), Basel-Gasfabrik (Wimmer 2022) et de Manching (Gebhard 1991) de LT C2 pour les modèles les plus précoces. Les autres fibules à arc plus épais et au profil plus développé apparaissent un peu plus tardivement et sont encore produites au début de LT D1. L'ensemble des fibules de Verdun semblent plutôt appartenir à ce dernier groupe diffusé dans la deuxième moitié du IIe siècle avant J.-C. Seule la fibule n°4013-

003, découverte dans le comblement supérieur d'une structure fossoyée [4014], attribuée à l'état 1, semble plus précoce. Son arc semi-circulaire peu développé et l'ornementation du pied sont en effet plutôt caractéristiques des types de LT C2 classique (Demierre, Wimmer 2022). Les deux autres fibules retrouvées en

|                              | NR | NMI |
|------------------------------|----|-----|
| Outil lié au travail du fer  | 1  | 1   |
| Lime                         | 1  | 1   |
| Chute liée au travail du fer | 17 | 16  |
| Barre                        | 12 | 11  |
| Barre à douille              | 1  | 1   |
| Tige                         | 4  | 6   |
| Déchet lié au travail du fer | 41 | 23  |
| culot                        | 14 | 12  |
| fragments de scories         | 16 | 6   |
| paroi de four                | 10 | 4   |
| scorie coulée                | 1  | 1   |
| Fabricat fer                 | 3  | 3   |
| Fabricat de lame             | 1  | 1   |
| Fabricat de lame?            | 1  | 1   |
| Fabricat de tige             | 1  | 1   |
| Total                        | 62 | 43  |

Fig.87 Résidus et objets représentatifs de l'activité de forge dans le secteur 4



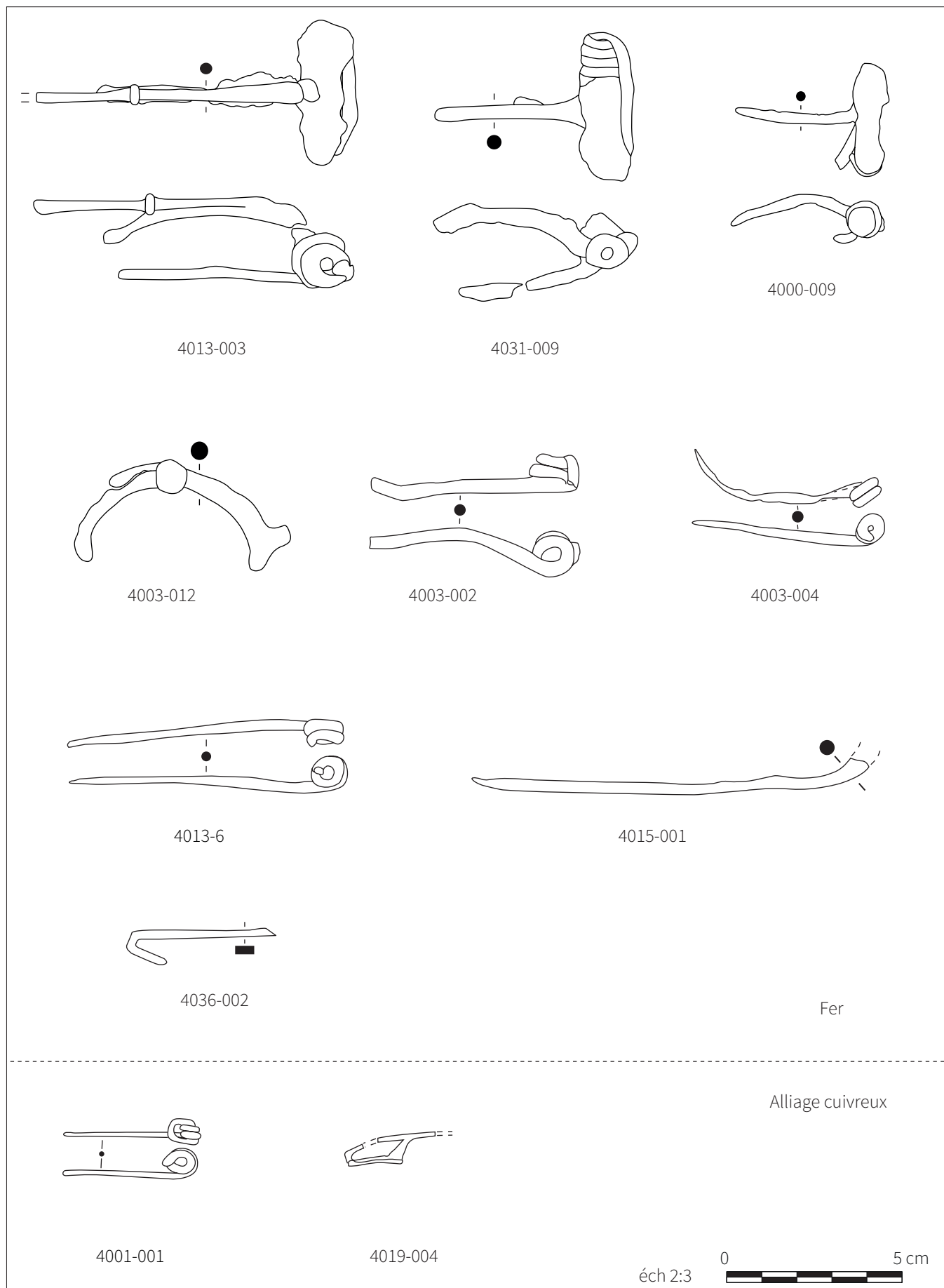


Fig.88 Sélection de fibules découvertes à Verdun-sur-le-Doubs en 2022 - Secteur 4 (DAO : V. Taillandier sauf 4013-003, 4000-009 et 4031-009 R. Perruche)

contexte et assez bien préservées pour être identifiées comme des modèles de la transition LT C2/D1 (4003-012 et 4031-002) proviennent quant à elles de niveaux de comblement plus tardifs (état 2). Les autres fibules en fer sont trop fragmentaires pour être attribuées à une phase chronologique plus précise que LT C/D.

Les éléments en alliage cuivreux appartiennent a priori à des fibules de Nauheim considérées comme des fossiles directeurs de LT D1b. La première fibule (4001-001), la mieux conservée, présente un ressort à deux fois deux spires et corde interne. Elle provient du comblement terminal d'une fosse de l'état 2 dans lequel on a également mis au jour un bracelet en bronze à jonc plein de section circulaire (4001-002). Il n'est pas complet, mais sa forme rappelle les bracelets à extrémités chevauchantes de LT C2/D1, retrouvés en nombre dans le sanctuaire de Mirebeau-sur-Bèze (**Perruche 2021**) et déjà reconnus lors des précédentes campagnes de fouilles à Verdun. La seconde fibule de Nauheim (4019-004) n'a été identifiée qu'à partir de son pied trapézoïdal, caractéristique du type. Dans sa structure de découverte, remplissage du bâtiment excavé, nous avons également identifié de nombreux objets liés à l'artisanat du fer : 4 chutes liées au travail de forge, une barre à douille (4019-009) et un fabricant de lame (4019-010).

## BIBLIOGRAPHIE

BACKHAUS C., Ceci n'est pas une chronologie: Die Konstruktion einer alternativen Fibelchronologie am Beispiel der Fibern des Oppidum Bibracte (Burgund, Frankreich), Thèse de doctorat (France, Université de Bourgogne).

BATAILLE G., Les Celtes : des mobiliers aux cultes, Dijon, France : Éd. universitaires de Dijon, coll. « Art et patrimoine ».

BRIAND A., DUBREUCQ É., DUCREUX A., FEUGERE M., GALTIER C., GIRARD B., JOSSET D., MULOT A., TAILLANDIERV., TISSERAND N., « Le classement fonctionnel des mobiliers d'instrumentum », *Les nouvelles de l'archéologie*, 131, pp. 14-19.

CRUMMY N., *The Roman small finds from excavations in Colchester 1971-9*, Colchester, Royaume-Uni de Grande-Bretagne et d'Irlande du Nord : Colchester Archaeological Trust, coll. « Colchester archaeological report », 2.

DEMIERRE M., *Caractérisation des assemblages métalliques d'une agglomération celtique : le centre-ville de l'oppidum de Corent (Puy-de-Dôme, France)*, s.l. : Éditions Mergoïl, coll. « Protohistoire européenne », 15.

DEMIERRE M., POUX M., « Essai d'analyse taphonomique et spatiale des petits mobiliers du sanctuaire de Corent et de ses abords », in CAZANOVE O. de, MENIEL P. (éd.), *Étudier les lieux de culte de Gaule romaine: actes de la table ronde de Dijon, 18-19 septembre 2009*, Étudier les lieux de culte de Gaule romaine: actes de la table ronde de Dijon, 18-19 septembre 2009, Montagnac : s.n., coll. « Archéologie et histoire romaine, n°24 », pp. 209-227.

DEMIERRE M., WIMMER J., « Typologie des fibules des 2e et 1er s. av. notre ère sur le Plateau suisse. Typologie der Fibern des 2. und 1. Jh. v. Chr. aus dem Schweizer Mittelland », *Annuaire d'Archéologie Suisse*, 105, pp. 93-146.

FEUGERE M., *Les fibules en Gaule méridionale, de la conquête à la fin du Ve s. ap. J.-C.*, Paris, France : Éditions du Centre national de la recherche scientifique, coll. « Revue archéologique de Narbonnaise. Suppléments », 12.

FEUGERE M., GUILLOT A., « Fouilles de Bragny. 1. Les petits objets dans leur contexte du hallstatt final », *Revue archéologique de l'Est*, 37, pp. 159-221.

GEBHARD R., *Die Fibeln aus dem Oppidum von Manching*, Stuttgart, Allemagne : Franz Steiner.

GIRARD B., *Le mobilier métallique de l'âge du fer en Provence (VI<sup>ème</sup> siècle - I<sup>er</sup> siècle avant J.C) : contribution à l'étude des Celtes de France méditerranéenne*, Thèse de doctorat (France, Université de Bourgogne).

GUICHON R., « Des jetons de vote gaulois ? : Le petit mobilier circulaire en contexte politico-religieux », in BORLENGHI A., CHILLET C., HOLLARD V., LOPEZ-RABATEL L., MORETTI J.-C., *Voter en Grèce, à Rome et en Gaule : Pratiques, lieux et finalités*, Lyon : MOM Éditions, coll. « Histoire & Épigraphie », pp. 451-470.

GUIDO M., *The Glass Beads of the Prehistoric and Roman Periods in Britain and Ireland*, s.l. : Society of Antiquaries of London.

GUILLAUMET J.-P., NILLESSE O., « Les petits objets de quelques fermes gauloises : approche méthodologique », in BLANCQUAERT G., MARION S., *Les installations agricoles de l'âge du Fer en France septentrionale*, Paris : Ed. Rue d'Ulm, Presses de l'École normale supérieure, coll. « Études d'histoire et archéologie », 6, pp. 251-276.

PERRUCHE R., *Mobilier métallique et instrumentum dans les sanctuaires protohistoriques et antiques de Gaule du Centre-Est (I<sup>ve</sup> s. av. J.-C. - I<sup>ve</sup> s. ap. J.-C.) : analyse des pratiques rituelles à partir du cas de Mirebeau-sur-Bèze (Côte-d'Or)*, Thèse de doctorat (Besançon, Université de Franche-Comté).

POUX M., DEMIERRE M., *Le sanctuaire de Corent (Puy-de-Dôme, Auvergne) : vestiges et rituels*, CNRS Éditions,

Paris : s.n., coll. « Supplément Gallia », 62.

RIHA E., *Der römische Schmuck aus Augst und Kaiseraugst*, Augst, Suisse : Römermuseum Augst, coll. « Forschungen in Augst », 10.

RIHA E., *Die römischen Fibeln aus Augst und Kaiseraugst : die Neufunde seit 1975*, Augst, Suisse : Römermuseum, coll. « Forschungen in Augst : Römermuseum, 1977 », 18.

SUEUR Q., *La vaisselle métallique de Gaule septentrionale à la veille de la conquête typologie, fonction et diffusion*, Drémil-Lafage : Éditions Mergoïl, coll. « Monographie Instrumentum 55 ».

WIMMER J., « Wenn Fibeln sprechen könnten (Text): Taphonomische und chronologische Untersuchungen anhand stratifizierter Fundinventare aus der jüngerlatènezeitlichen Siedlung Basel-Gasfabrik », *Materialhefte zur Archäologie in Basel*, 25A, pp. 1-301.

### 3.5. LE MOBILIER SCORIFIÉ (A. ROGER)

Le mobilier scorifié issu de la campagne 2022 a fait l'objet d'un inventaire détaillé, regroupant 52 restes (Fig.89). Les scories (23 NR) et les culots (17 NR) sont les mieux représentés. On observe également quelques éléments de paroi scorifiée provenant du foyer de forge (11 NR) ainsi qu'une scorie coulée (1 NR). Leurs identifications se base sur les familles typologiques formalisées par V. Serneels (Serneels, 1998) : SFR pour Scorie Ferreuse Rouillée, SGD pour Scorie Grise Dense, SAS pour Scorie Argilo-Sableuse

Les culots sont majoritairement de type SFR (12 sur 17), indiquant une activité de martelage et de forme. La présence de culots multiples, au nombre de

deux, montre également que le forgeron n'a pas forcément nettoyé son four entre deux opérations de forge. En effet le forgeron a, dans un premier temps chauffer puis forger son objet, donnant des culots SFR et SGD, puis dans un second temps, faire des finitions avec des ajouts siliceux pour protéger ou nettoyer sa pièce.

Le premier aperçu des déchets de métallurgie, du moins des scories, semble indiquer la présence d'une activité métallurgique sur le site de Verdun-sur-le-Doubs. L'étude des déchets de métallurgie se poursuit actuellement, dans le cadre d'un mémoire de master à l'Université de Bourgogne, par Adrien Roger, sous la direction de Matthieu Thivet et de Marion Berranger. Les résultats de cette étude seront intégrés au rapport 2023.

| N° UF  | Type de déchet     | Indice de taille (mm) | % conservé | NR | NMI | Masse (g.) | Type  | Multiple | Commentaire   |
|--------|--------------------|-----------------------|------------|----|-----|------------|-------|----------|---|
| 4000-4 | Culot              |                       | 80%        | 1  | 1   | 214        | SFR   |          | Un culot ovale et bombé, avec des traces de sole.       |
| 4000-7 | Culot              |                       | 20%        | 3  | 1   | 156        | SGD 1 |          | Un culot ovale plao-convexe.                            |
| 4001-3 | Culot              |                       | 80%        | 1  | 1   | 538        | SGD 1 |          | Légère couche SAS. Trace de charbon, plaque oxydée      |
| 4013-4 | Fragment de Culot  |                       | 20%        | 1  | 1   | 128        | SFR   |          |   |
| 2000   | Fragment de scorie | <24                   |            | 1  | 1   | 3          | SFR   |          |   |
| 3000   | Fragment de Culot  |                       | 20%        | 1  | 1   | 69         | SFR   |          |   |
| 3003   | Fragment de scorie | <27                   |            | 2  | 1   | 8          | SFR   |          |   |
| 3005   | Culot              |                       | 45%        | 1  | 1   | 395        | SGD 1 |          | Un culot circulaire et concave avec des traces de sole. |
| 3009   | Fragment de scorie | <23                   |            | 1  | 1   | 4          | SFR   |          |   |
| 3011   | Fragment de paroi  | <41                   |            | 1  | 1   | 17         | /     |          |   |

| N° UF | Type de déchet     | Indice de taille (mm) | % conservé | NR | NMI | Masse (g.) | Type  | Multiple | Commentaire   |
|-------|--------------------|-----------------------|------------|----|-----|------------|-------|----------|---|
| 3012  | Fragment de Culot  |                       | 100%       | 1  | 1   | 25         | SFR   |          |   |
| 3012  | Fragment de Culot  |                       | 80%        | 1  | 1   | 24         | SFR   |          |   |
| 3012  | Fragment de scorie | <27                   |            | 2  | 2   | 14         | SAS   |          | présence d'une petite tige de métal dans le sac   |
| 3025  | Fragment de scorie | <39                   |            | 1  | 1   | 14         | SFR   |          |   |
| 3035  | Fragment de Culot  |                       | 90%        | 1  | 1   | 142        | SAS   |          | Aspect SAS, mais relativement dense   |
| 4000  | Fragment de Culot  |                       | 30%        | 1  | 1   | 115        | SFR   |          |   |
| 4001  | Culot              |                       | 90%        | 1  | 1   | 179        |       | SGD/SAS  | Un culot ovale et concave, avec reste de parois et une légère surcouche SAS.                                    |
| 4001  | Fragment de scorie | <62                   |            | 7  | 3   | 236        | SFR   |          |   |
| 4003  | Fragment de scorie | <27                   |            | 1  | 1   | 16         | SFR   |          |   |
| 4013  | Fragment de paroi  | <41                   |            | 9  | 3   | 98         | /     |          | 9 scories avec fragments de parois, d'une qui serait un fragment de culot se rapprochant du culot de la même UF |
| 4013  | Culot              |                       | 20%        | 1  | 1   | 48         |       | SGD/SAS  | Un culot concave avec une forme en plan indéterminé   |
| 4013  | Fragment de scorie | <29                   |            | 4  | 1   | 15         |       | SFR/SAS  | Présence de parois, beige et rouge  |
| 4019  | Fragment de Culot  |                       | 100%       | 1  | 1   | 23         | SRF   |          |   |
| 4033  | Fragment de Culot  |                       | 100%       | 1  | 1   | 32         | SFR   |          |   |
| 4043  | Culot              |                       | 90%        | 1  | 1   | 99         | SGD 1 |          | Un culot ovale et plano-convexe.  |
| 4048  | Fragment de scorie | <39                   |            | 4  | 1   | 55         | SFR   |          |   |
| 4048  | Culot              |                       | 50%        | 1  | 1   | 92         |       | SGD/SAS  | Culot avec reste de parois sur la partie inférieure, de forme ovale et bombé.                                   |
| 4048  | Scorie coulée      | <21                   |            | 1  | 1   | 5          | SFR   |          | Rangée dans le sac de fragments faute de sachet   |



| N° UF    | Type de déchet     | Indice de taille (mm) | % conservé | NR | NMI | Masse (g.) | Type | Multiple | Commentaire |
|----------|--------------------|-----------------------|------------|----|-----|------------|------|----------|-------------|
| 4048     | Fragment de paroi  |                       |            | 1  | 1   | 35         | /    |          |             |
| 4049     | Fragment de Culot  |                       | 10%        | 1  | 1   | 61         | SGD  |          |             |
| Indéfini | Fragment de scorie | <39                   |            | 2  | 2   | 38         | SFR  |          |             |

Fig.89 Inventaire analytique du mobilier scorifié de la campagne 2022 (A. Roger)

### 3.6. LE MOBILIER NUMISMATIQUE (P. DEHAN)

#### 3.6.1. COMMENTAIRE GÉNÉRAL

La campagne de fouilles 2022 a permis la découverte de 21 monnaies. A l'instar des campagnes précédentes, les potins constituent une écrasante majorité du corpus (Fig.90).

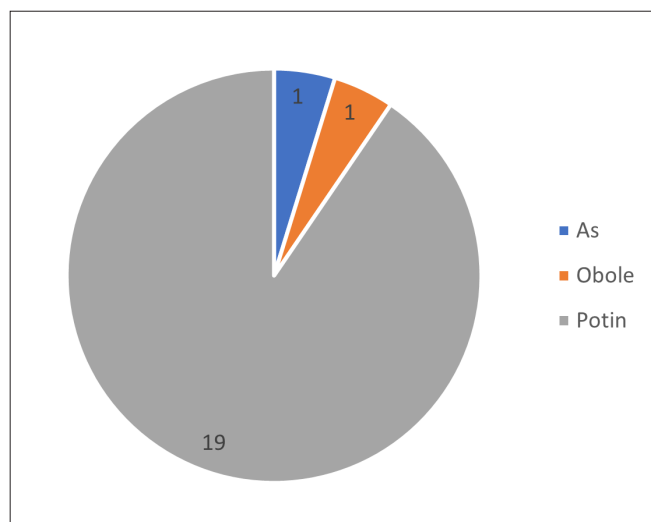


Fig.90 Répartition des monnaies par dénomination (P. Dehan).

Ce lot numismatique a la particularité de pouvoir être divisé en deux ensembles distincts en lien avec les deux secteurs excavés lors de cette campagne. Celles du secteur 4 au nombre de 9 (Fig.91), ont un faciès

bien connu depuis les fouilles de Philippe Barral. Avec comme lors des dernières campagnes une omniprésence du potin Castellin 822-825, 3 exemplaires. Un autre exemplaire de potin à la grosse tête n'a pas pu être identifié précisément. D'un potin au torque (Cat. 17). A noter la présence dans le lot d'une obole de Marseille (Cat. 19) et d'un potin au guerrier courant attribuer au Remi (Cat. 18). Et enfin de 2 potins indéterminés.

Le secteur 3 lui à livrer 12 monnaies (Fig.91). Le potin à la grosse tête de type A et ses dérivés au nombre de 9 un potin à la tête diabolique (Cat. 10), ainsi qu'un potin dont l'état de conservation ne permet pas l'identification (Cat. 11). Les monnaies de potin sont toujours omniprésentes dans ce lot semble en phase avec une période récente de l'occupation humaine de cette zone pouvant être rattachée à la seconde moitié du 1er siècle avant notre ère jusqu'à la moitié du 1er siècle de notre ère. Avec notamment une monnaie de Néron découvert dans le remblai 3003 (Cat. 12) dans cette unité stratigraphique a aussi été découvert de la terre cuite architecturale signe d'une occupation gallo-romaine à proximité. Il s'agit de la première monnaie romaine impériale réellement attribuable à une structure du site.

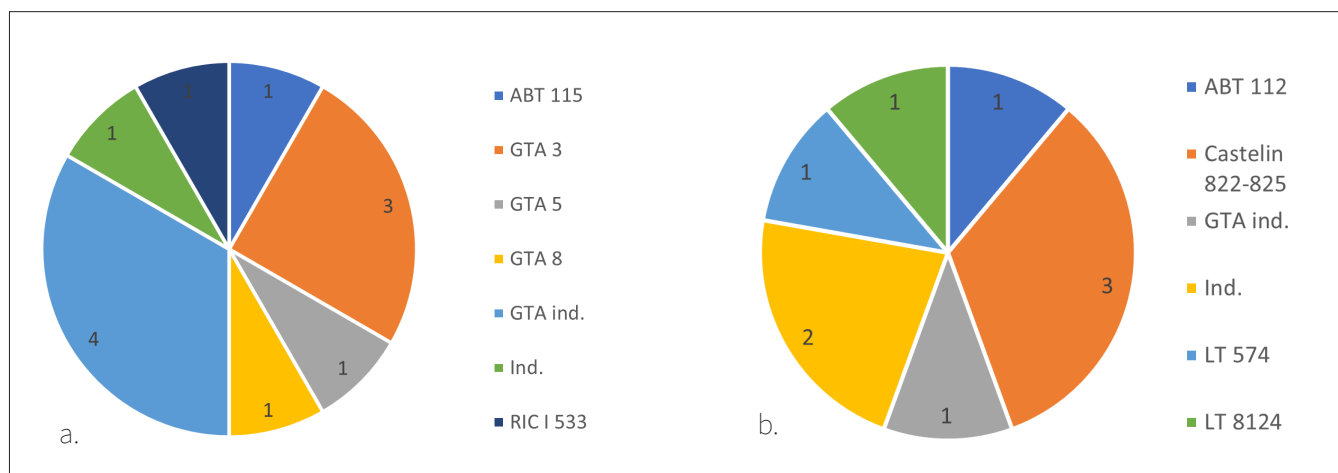


Fig.91 Répartition des monnaies du secteur 3 (a.) et du secteur 4 (b.) par dénomination (P. Dehan).

### 3.6.2. CATALOGUE

Nous vous proposons le catalogue des monnaies découvertes (Fig.92). Les monnaies sont présentées par secteur en commençant par le 3 puis le 4 ensuite par périodes tout d'abord les monnaies gauloises, puis les monnaies de l'Empire romain. Les monnaies gauloises sont subdivisées par région d'attribution, puis présentées par métal dans l'ordre suivant : potin, alliage cuivreux, argent.

Chaque type monétaire est identifié. Une description de son droit et de son revers, puis les éléments bibliographiques qui ont permis l'identification des monnaies et, pour finir, une proposition de datation.

Chaque monnaie est associée à un numéro qui permet de l'identifier sur les planches (Fig.93), le numéro d'US qui lui a été attribué lors de sa découverte, ainsi que le métal qui la compose, et ses données métrologiques (poids en grammes, diamètre en millimètres, et l'axe des coins exprimé en heure). En illustration la monnaie, ou si c'est une série de monnaies la plus lisible illustre la série.

### Références bibliographiques utilisées dans le catalogue :

ABT : BLANCHET – Traité des monnaies gauloises. Paris : Leroux, 1905.

Castelin : CASTELIN – Keltische Münzen : Katalog der Sammlung im Schweizerischen Landesmuseum Zürich. Bern : Eidg. Drucksachen-und Materialzentrale, 1985.

GTA : GEISER, GENECHESI, GRUEL, JEUNOT – Les potins « à la grosse tête » : une nouvelle évaluation typologique. Zürich : Gazette Numismatique Suisse, 2009.

LT : LA TOUR – Atlas des monnaies gauloises. Paris : Plon, 1892.

RIC I : SUTHERLAND – The Roman Imperial Coinage. Londres : Spink and Son, 1984

| n° Catalogue | n° fouille | us   | année | dénomination | métal            | masse (g) | diamètre (mm) | axe (h) | légende droit                              | description droit          | légende revers   | description revers          | date ancienne | date récente | référence |
|--------------|------------|------|-------|--------------|------------------|-----------|---------------|---------|--|----------------------------|------------------|-----------------------------|---------------|--------------|-----------|
| 1            | 3000-04    | 3000 | 2022  | Potin        | potin            | 5,79      | 19,38         | 5       | anépigraphe                                | Tête casquée à gauche      | anépigraphe      | Cheval cornu-pète à gauche  |               |              | GTA 3     |
| 2            | 3000-10    | 3000 | 2022  | Potin        | potin            | 4,84      | 19,85         | 2       | anépigraphe                                | Tête casquée à gauche      | anépigraphe      | Cheval cornu-pète à gauche  |               |              | GTA 3     |
| 3            | 3023-05    | 3023 | 2022  | Potin        | potin            | 4,28      | 19,14         | 3       | anépigraphe                                | Tête casquée à gauche      | anépigraphe      | Cheval cornu-pète à gauche  |               |              | GTA 3     |
| 4            | 3000-15    | 3000 | 2022  | Potin        | potin            | 4,61      | 18,41         | 5       | anépigraphe                                | Tête casquée à gauche      | anépigraphe      | Cheval cornu-pète à gauche  |               |              | GTA 5     |
| 5            | 3043-01    | 3042 | 2022  | Potin        | potin            | 4,76      | 19,68         | 9       | anépigraphe                                | Tête casquée à gauche      | anépigraphe      | Cheval cornu-pète à gauche  |               |              | GTA 8     |
| 6            | 3000-02    | 3000 | 2022  | Potin        | potin            | 5,54      | 19,31         | 3       | anépigraphe                                | Fruste                     | anépigraphe      | Fruste                      |               |              | GTA ind.  |
| 7            | 3000-19    | 3000 | 2022  | Potin        | potin            | 4,4       | 18,72         | 2       | anépigraphe                                | Fruste                     | anépigraphe      | Fruste                      |               |              | GTA ind.  |
| 8            | 3003-13    | 3003 | 2022  | Potin        | potin            | 4         | 17,8          | 7       | anépigraphe                                | Fruste                     | anépigraphe      | Fruste                      |               |              | GTA ind.  |
| 9            | 3023-01    | 3023 | 2022  | Potin        | potin            | 5,07      | 19,72         | ?       | anépigraphe                                | Fruste                     | anépigraphe      | Fruste                      |               |              | GTA ind.  |
| 10           | 3000-06    | 3000 | 2022  | Potin        | potin            | 2,55      | 15,57         | ?       | anépigraphe                                | Tête à gauche              | anépigraphe      | Fruste                      |               |              | ABT 115   |
| 11           | 3013-01    | 3013 | 2022  | Potin        | potin            | 3,78      | 20,83         | ?       | anépigraphe                                | Fruste                     | anépigraphe      | Fruste                      |               |              | Ind.      |
| 12           | 3003-05    | 3003 | 2022  | As           | Alliage cuivreux | 9,47      | 28,79         | 7       | IMP NERO<br>CAESAR AVG<br>P MAX TRP<br>P P | Tête nue de Néron à droite | GENIO AUGUSTI SC | Génie à la gloire d'Auguste | 66            | 68           | RIC I 533 |

| n° Cata-<br>logue | n°<br>feuille | us   | année | dénomination | métal  | masse<br>(g) | dia-<br>mètre<br>(mm) | axe<br>(h) | légende<br>droit | description<br>droit  | légende<br>revers | description<br>revers   | date<br>an-<br>cienne            | date<br>ré-<br>ré-<br>cente | réfé-<br>rence      |
|-------------------|---------------|------|-------|--------------|--------|--------------|-----------------------|------------|------------------|---|-------------------|---|----------------------------------|-----------------------------|---------------------|
| 13                | 4000-06       | 4000 | 2022  | Potin        | potin  | 5,42         | 19,93                 | 2          | anépigraphe      | Tête casquée<br>à gauche, ca-<br>lotte courte                         | anépi-<br>graphe  | Cheval cor-<br>nupète à<br>gauche, tête<br>basse                |                                  |                             | Castelin<br>822-825 |
| 14                | 4019-03       | 4019 | 2022  | Potin        | potin  | 4,35         | 18,5                  | 2          | anépigraphe      | Tête casquée<br>à gauche, ca-<br>lotte courte                         | anépi-<br>graphe  | Cheval cor-<br>nupète à<br>gauche, tête<br>basse                |                                  |                             | Castelin<br>822-825 |
| 15                | 4066-01       | 4066 | 2022  | Potin        | potin  | 4,63         | 20,63                 | 3          | anépigraphe      | Tête casquée<br>à gauche, ca-<br>lotte courte                         | anépi-<br>graphe  | Cheval cor-<br>nupète à<br>gauche, tête<br>basse                |                                  |                             | Castelin<br>822-825 |
| 16                | 4036-01       | 4036 | 2022  | Potin        | potin  | 4,91         | 21,37                 | ?          | anépigraphe      | Fruste  | anépi-<br>graphe  | Fruste  |                                  |                             | GTA ind.            |
| 17                | 4019-02       | 4019 | 2022  | Potin        | potin  | 2,7          | 18,33                 | 3          | anépigraphe      |   | anépi-<br>graphe  |   |                                  |                             | ABT 112             |
| 18                | 4011-01       | 4011 | 2022  | Potin        | potin  | 4,25         | 21,24                 | 8          | anépigraphe      | Guerrier<br>courant à<br>droite tenant<br>une lance et<br>un torrique | anépi-<br>graphe  | Sanglier<br>à droite,<br>serpent des-<br>sous, fibule<br>dessus | Fin du<br>I <sup>er</sup> siècle |                             | LT 8124             |
| 19                | 4043-01       | 4043 | 2022  | Obole        | argent | 0,45         | 10,03                 | 6          | anépigraphe      | Tête à<br>gauche?   | MA                | Croix   | -90                              | -49                         | LT 574              |
| 20                | 4021-01       | 4021 | 2022  | Potin        | potin  | 2,09         | 20,7                  | ?          | anépigraphe      | Fruste  | anépi-<br>graphe  | Fruste  |                                  |                             | Ind.                |
| 21                | 4033-01       | 4033 | 2022  | Potin        | potin  | 2,25         | 19,63                 | ?          | anépigraphe      | Fruste  | anépi-<br>graphe  | Fruste  |                                  |                             | Ind.                |

Fig.92 Catalogue des monnaies de la campagne 2022 (P. Dehan).

1.



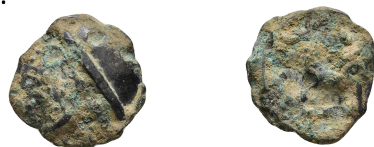
7.



2.



8.



3.



9.



4.



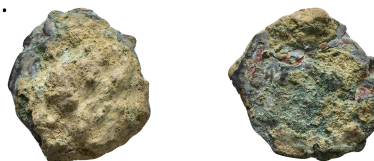
10.



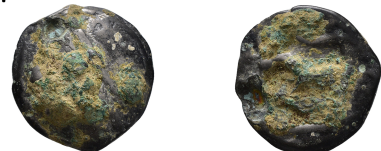
5.



11.



6.



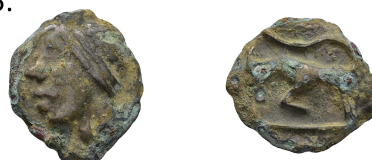
12.



13.



15.



14.



16.







Fig.93 Planche des monnaies de la campagne 2022. Ech 1:1. 1-12: monnaies du secteur 3; 13-21: monnaies du secteur 4 (P. Dehan)

### 3.7. LA PARRURE EN VERRE (E. HAMON, M. THIVET)

La campagne 2022 a livré six fragments de parure annulaire en verre, correspondant à cinq individus (Fig.94). On compte trois bracelets et deux perles, provenant tous des structures du secteur 4.

Leur sériation typologique a pu être réalisée sur la base des typologies de référence les plus couramment utilisées de T. Haevernick et de R. Gebhard, complétés dans la récente publication du travail doctoral

de J. Rolland (Rolland 2021). Le corpus, ainsi que l'ensemble du verre laténien mis aux jours sur le site depuis 1969 (cf volume de synthèse triennal), à fait l'objet d'une documentation graphique permettant la réalisation d'une planche (Fig.95). Chaque fragment à également fait l'objet de photographies prises au microscope numérique.

Deux bracelets (n°1 et 2) proviennent du comblement supérieur de structures d'état I. Le bracelet à jonc simple n° 4 ainsi que les deux perles (n°4 et 5) sont rattachés à l'état II.

| ID     | Type     | Description   | Couleur     | Masse (g) | Typo   |
|--------|----------|---|-------------|-----------|--|
| 4003-6 | perle    | jonc en D transparent à fond jaune. Recolle avec 4003-7             | transparent | 2,47      | Type Haevernick : type 20 ;<br>Type Gebhard : groupe Ic  |
| 4003-7 | perle    | jonc en D transparent à fond jaune. Recolle avec 4003-6             | transparent | 1,68      | Type Haevernick : type 20 ;<br>Type Gebhard : groupe Ic  |
| 4013-8 | bracelet | jonc à cinq côtes parallèles, transparent à fond jaune. 2 fragments | transparent | 5,44      | Type Haevernick : type 7a ;<br>Type Gebhard : série 27   |
| 4019-1 | perle    | jonc en D transparent à fond jaune                                  | transparent | 1,22      | Type Haevernick : type 20 ;<br>Type Gebhard : groupe Ic  |
| 4033-3 | bracelet | jonc très fin (en D ?). rongé, dévoré, couleur pourpre probable     | pourpre ?   | 0,5       | Type Haevernick : type 3a ?<br>Type Gebhard : série 36 ? |
| 4034-1 | bracelet | bracelet vert à tige simple, jonc en D                              | vert        | 2,76      | Type Haevernick : type 3a ;<br>Type Gebhard : série 34   |

Fig.94 Inventaire analytique de la parure en verre issu de la campagne 2022 (E. Hamon et M. Thivet)

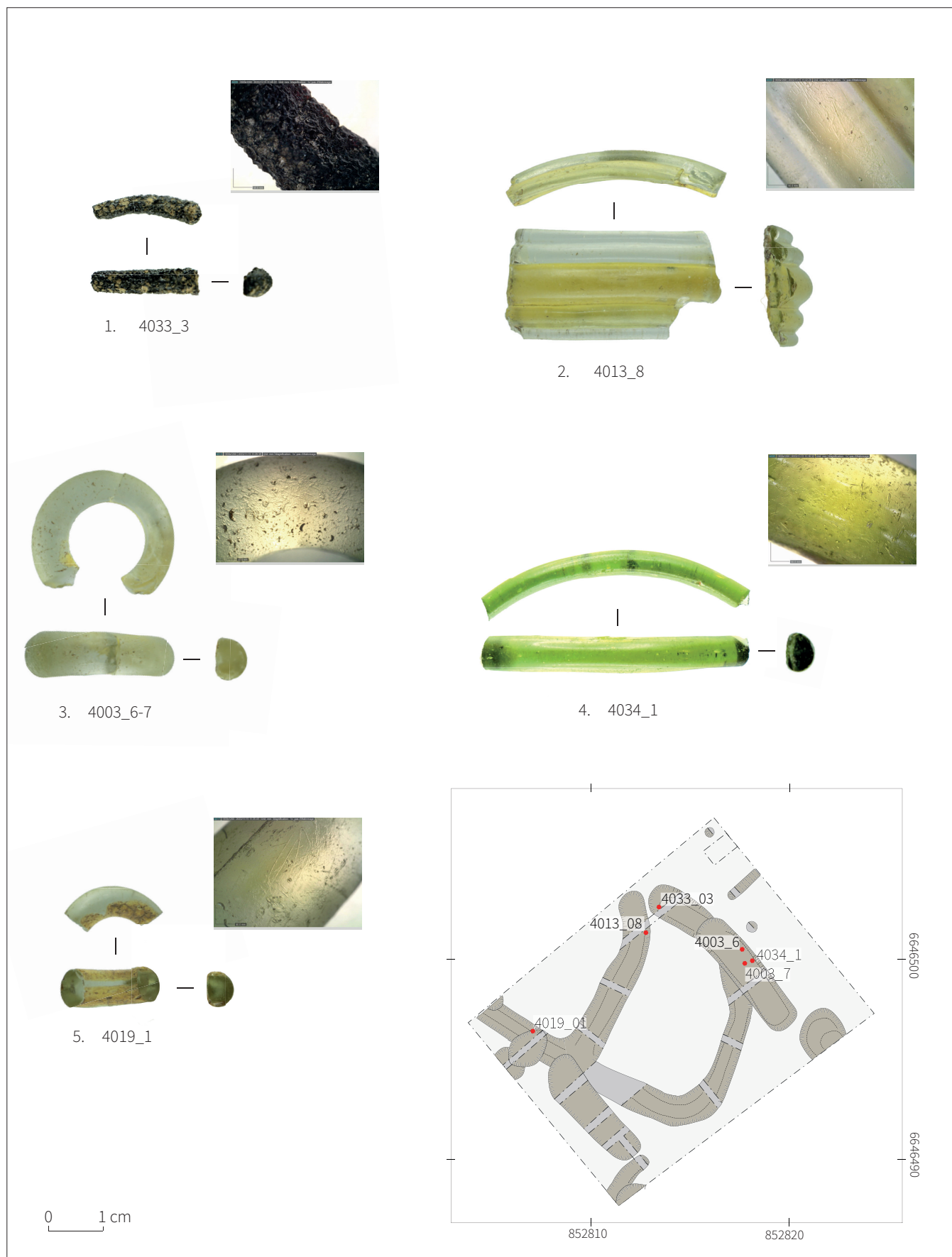


Fig.95 Fragments de parure en verre issu de la campagne 2022 et localisation à l'intérieur du secteur 4 (E. Hamon, M. Thivet)

## BIBLIOGRAPHIE

HAEVERNICK, T. E., 1960. Die Glasarmringe und Ringperlen der Mittel-und Spätlatenezeit auf dem europäischen Festland, Römisch-Germanische Kommission des Deutschen Archäologischen Instituts zu Frankfurt, Bonn.

GEBHARD, R. 1989. Pour une nouvelle typologie de bracelets celtiques en verre. in : FEUGÈRE, dir. Le verre préromain en Europe occidentale, Montagnac, 1989, 73-85.

ROLLAND J. 2021. Le verre de l'Europe celtique. Approches archéométriques, technologiques et sociales d'un artisanat du prestige au second âge du Fer, 378 p.

### 3.8. LES MACRO-RESTES VÉGÉTAUX ET ANIMAUX (A. TATRE)

#### 3.8.1. PRÉLÈVEMENTS :

La campagne de fouille programmée conduite sur la commune de Verdun-sur-le-Doubs a fait l'objet de douze prélèvements dédiés à l'étude des macro-restes fauniques et botaniques : cinq sur le secteur 3 et sept sur le secteur 4 (fig. tableau inventaire). Le sédiment argilo-limoneux de la plaine alluviale s'est caractérisé, au cours de la sécheresse qui a marqué la campagne 2022, par une grande homogénéité des couleurs, compliquant l'observation des vestiges organiques à l'œil nu. Les prélèvements ont été réalisés à vue et de manière non systématique. Le protocole d'échantillonnage retenu vise à tendre vers un assemblage cohérent et représentatif des structures reconnues dans les différents secteurs. Certaines structures ont fait l'objet de

plusieurs prélèvements, visant à questionner de manière plus précise leurs fonctions ou la composition de leurs remplissages. C'est notamment le cas du comblement supérieur [3023] du puits [3024] et des complements fortement chargés en charbon de la structure excavée [4020] (fig. localisation des prélèvements). L'ensemble des prélèvements ont été réalisés en seaux de manière à atteindre, quand cela était possible, un volume de dix litres. La méthodologie d'extraction a consisté à prélever de manière privilégiée les complements médians et/ou inférieurs des structures afin de se prémunir des risques de pollution et d'inclusion postérieurs à leurs complements.

Le traitement et l'analyse des prélèvements se poursuit actuellement sein du laboratoire Chrono-Environnement (UMR 6249), dans le cadre d'un travail de master recherche mené à l'Université de Franche-Comté par A. Tatre

#### 3.8.2. TAMISAGE :

Chacun des prélèvements est traité selon les méthodes classiquement appliquées à la carpologie. Les techniques de tamisage par flottaison et par aspersion sont privilégiées. Le tamisage par flottaison permet de séparer les éléments légers. Le sédiment est gorgé d'eau, puis brassé pour mettre en suspension les éléments charbonneux, suivant le principe de la densité différentielle. Les éléments flottant en surface sont délicatement versés sur la colonne de tamis. Le tamisage par aspersion permet de séparer les éléments lourds. La combinaison de ces deux techniques permet la division des refus de flottation et les refus lourds, mais aussi la division en fonction de critères métrologiques, dépendant des mailles de tamis choisis.

Concernant le protocole de tamisage, le tamisage par flottation sera effectué avec deux tamis : 1mm et 0,5mm. Le tamisage par aspersion sera effectué avec

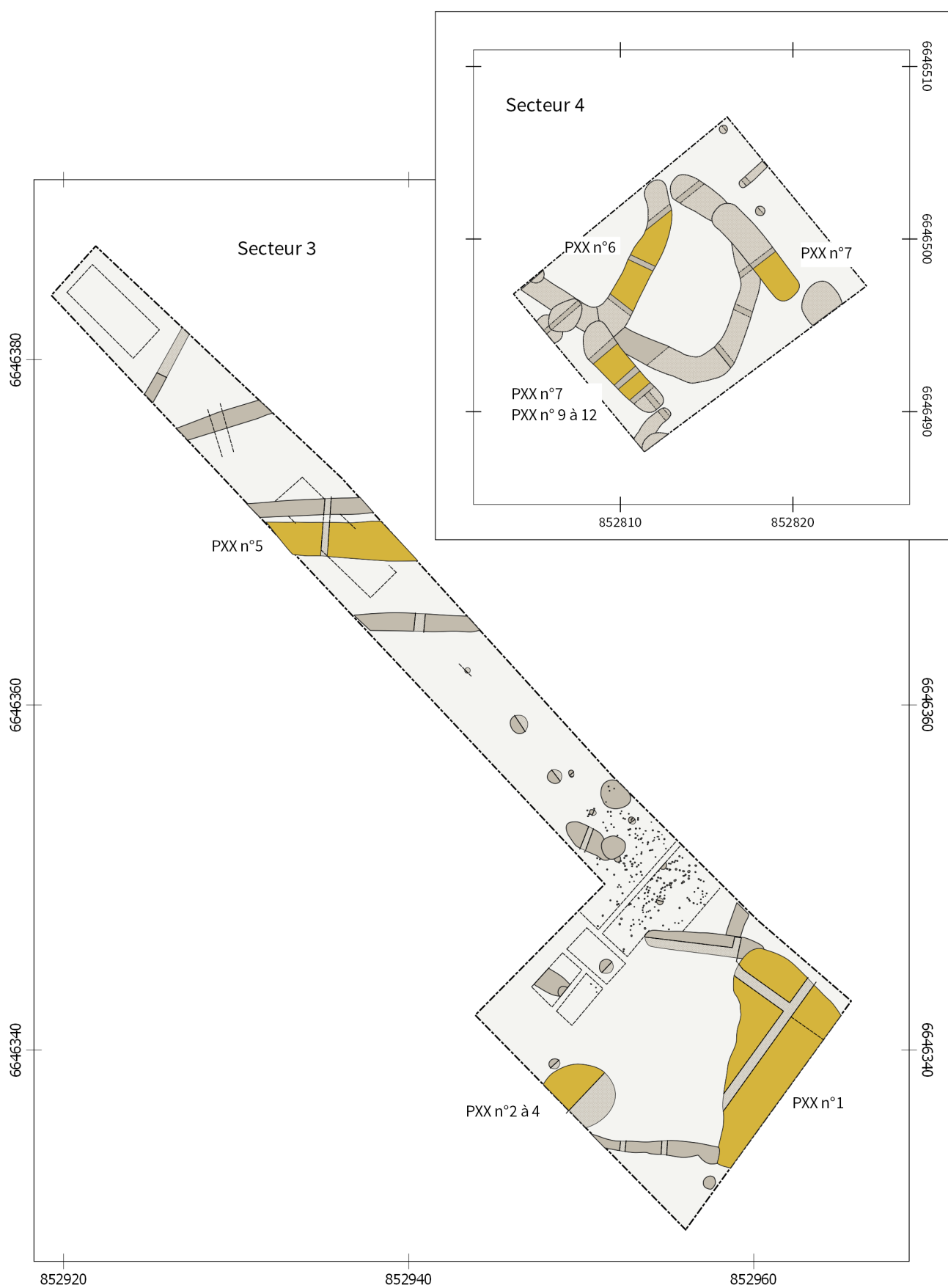


Fig.96 Localisation des prélèvements de sédiments (CAO A. Tatre)

quarte tamis : 4mm, 2mm, 1mm et 0,5mm. Le tamisage par flottation consiste en l'extraction de tous les éléments charbonneux du sédiment. Le sédiment est gorgé d'eau brassée pour mettre en suspension les éléments charbonneux. Le matériel carbonisé, moins dense que l'eau, flotte en surface puis il est délicatement versé sur la colonne de tamis. Le refus lourd restant dans le seau est éliminé. Pour le tamisage par aspersion, l'entièreté des refus de tamis sont traités sont extraits, séchés et triés. Les refus de tamis secs sont stockés en sacs par maille de tamis.

### 3.8.3. TRI ET POURSUITE DES ÉTUDES

Le tri des refus de tamis s'effectue à l'aide d'une loupe binoculaire avec un grossissement de x5 jusqu'à x32, de pinces de biologie et de boîtes de pétri en verre. La vue stéréoscopique du matériel de dimension inférieur à 2 cm est optimale pour les graines par exemple, mais est également utile pour des petits artefacts ou encore pour étudier certains détails de mobiliers. Il permet l'isolement de tous les bio-restes : carporestes et les charbons, restes fauniques et ichtyofauniques ainsi que tous les artefacts d'artisanats (céramiques, amphores, etc.) conservés dans les refus lourds. Les prélèvements réalisés au cours des campagnes de fouille 2019 et 2021 ont révélé la présence de macro-restes d'ichtyofaune, de rongeurs ainsi que des restes d'amphibiens et de reptiles. Ils font actuellement l'objet d'un tri typologique pour identification dans le cadre d'une étude en anatomie comparée (Radu, 2005), (Bailon, 1999), (Charissou, 1999) . Les comparaisons sont basées sur des spécimens conservés au Museum National d'Histoire Naturel de Paris gracieusement mis à disposition par Mr. Philippe Béarez (directeur de recherche, laboratoire Archéozoologie et Archéobotanique, UMR 7209).

## BIBLIOGRAPHIE

RADU, V. (2005). Atlas for the identification of bony fish bones from archaeological sites. Contrast.

BAILON, S. (1999). Fiches d'ostéologie animale pour l'archéologie, série C : Varia ; Différenciation ostéologique des anoures (amphibia, anura) de France. APDCA, Antibes.

CHARISSOU, I. (1999). Identification des restes trouvés dans les pelotes de réjection de rapaces. EPOPS, La revue des naturalistes du Limousin, 44.

### 3.9. LES RESTES OSSEUX ANIMAUX

A l'instar des campagnes précédentes, la campagne 2022 a livré des quantités importantes de restes osseux animaux. On compte plus de 11 000 restes (115.6kg) pour le secteur 4 uniquement. Ils sont rencontrés en concentration moindre, mais toujours importante dans le secteur 3 (NR = 1482; 17,2 kg). Compte tenu de leurs abondance, ils sont étudiés à N+1, après sélection des ensembles (cf volume de synthèse triennale).

Pour l'heure, seul les restes d'un bovin découverts dans le comblement d'un fossé du secteur 3 à fait l'objet d'une analyse par Léo Legeron (étudiant de licence archéologie à l'Université de Franche-Comté), dans le cadre d'une formation encadrée par C. Lachiche (docteure de l'Université de Bourgogne, archéozoologue - UMR 6298 ArTeHis)



### 3.9.1. LE SQUELETTE DE BOVIN DÉPOSÉ AU FOND DU FOSSÉ [3040] (L. LEGERON)

La campagne 2022 a permis la mise au jour d'un squelette de bovidé en connexion anatomique déposé au fond du fossé [3040], sans la présence du crâne. La position du squelette a été enregistré sur le terrain de manière classique et complété par la réalisation d'une photogrammétrie de détail (Fig.97). L'animal est placé sur le dos, légèrement incliné sur le flanc gauche. Les vertèbres cervicales présentent une courbe en direction de la paroi sud du fossé. L'atlas n'est pas relié à l'axis. Il a subi une traction lors du prélèvement du crâne.

#### 3.9.1.1. OS PRÉSENT (FIG.98):

1 métacarpe, paires fémurs, de tibias, de radius, d'ulnas, 1 humérus, paire de calcanéums, de scapulas, de talus, coxal gauche et droit, 34 vertèbres : 7 cervicales (présence de l'atlas et axis), 14 vertèbres thoraciques, 7 lombaires (présence du sacrum en 2 fragments) 6 caudales. Reste de côtes fragmentées, présence des carpes et des torses, deux phalanges 1, 2 phalanges 2, 2 phalanges 3, présence des torses et des carpes (fragments), sternum

#### 3.9.1.2. OS MANQUANT (FIG.98) :

2 métatarses, 1 métacarpe, entière phalange patte droite avant, et les deux pattes arrières, entière du crâne, partie des vertèbres caudales.

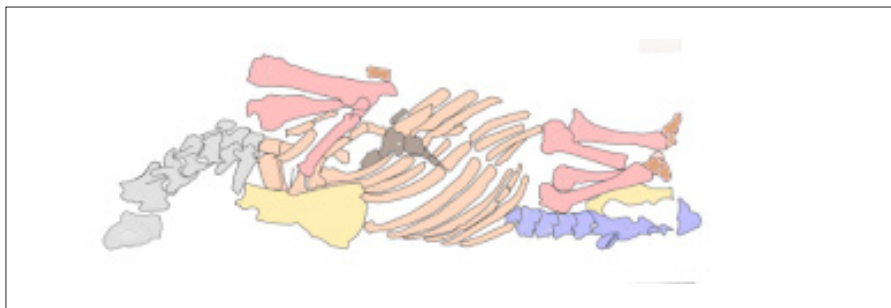
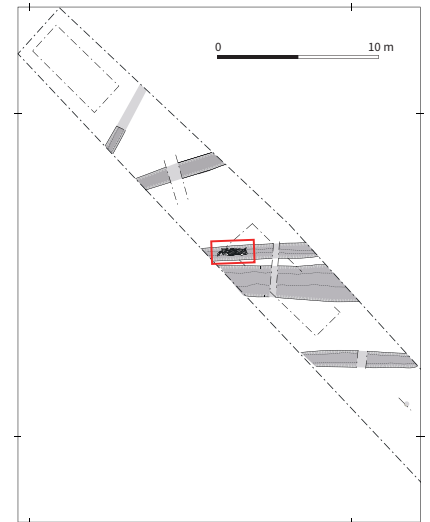
#### 3.9.1.3. OS LONGS ÉPIPHYSÉS :

| Os long | Épiphyses proximales | Épiphyses distales |
|---------|----------------------|--------------------|
| Fémur   | Non soudés           | Non soudés         |
| Tibia   | Non soudés           | Soudés             |
| Humérus | Non soudé            | Soudé              |
| Radius  | Non soudés           | Soudés             |

#### 3.9.1.4. ÉTAT DES CONNEXIONS ANATOMIQUES PAR RÉGIONS ANATOMIQUE

La majorité des régions anatomiques sont en connexions étroites, à l'exception du grill costal et du bas de patte antérieur droit. L'atlas n'est pas relié à l'axis et semble avoir subi un déplacement indiquant une traction lors du prélèvement du crâne.

|                                | Étroite                   | Lâche | Déplacé | Disloquée                 |
|--------------------------------|---------------------------|-------|---------|---------------------------|
| Tête                           |                           |       |         | X (absent, atlas déplacé) |
| Rachis                         | X                         |       |         |                           |
| Grill costal                   |                           | X     | X       |                           |
| Membre antérieur gauche        | X                         |       |         |                           |
| Membre antérieur droit         |                           |       |         |                           |
| Bas de patte antérieur gauche  | X (phalange déconnectées) |       |         |                           |
| Bas de patte antérieur droit   |                           |       | X       |                           |
| Membre postérieur gauche       | X                         |       |         |                           |
| Membre postérieur droit        | X                         |       |         |                           |
| Bas de patte postérieur gauche | X                         |       |         |                           |
| Bas de patte postérieur droit  | X                         |       |         |                           |



- vertèbres cervicales
- vertèbres thoraciques, côtes
- scapula, os coxal
- os longs
- sternum
- bas des pattes
- vertèbres lombaires, sacrum

Fig.97 Orthophoto par photogrammétrie du squelette de bovin, localisation à l'intérieur du secteur 3 et dessin (L. Longeron)

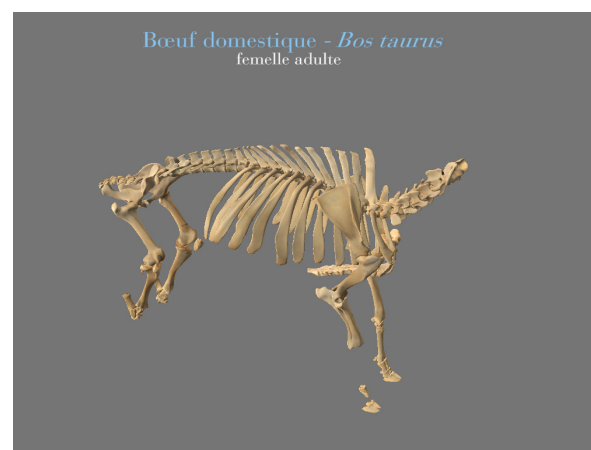


Fig.98 Modélisation 3D des os présents (a et b) et manquants (c) à l'aide du logiciel « Laetoli » lié à l'université de Strasbourg (L. Longeron)

### 3.9.1.5. CONCLUSION :

Les différentes études menées sur le squelette ont permis de voir que 90 % des vertèbres ne sont pas épiphysées, on compte un nombre de reste osseux de 572, pour un poids de 12kg70. La taille du garrot est estimée entre 1m30 et 1m40, l'âge estimé est de 3 à 4 ans, et d'après le dimorphisme sexuel du radius on peut déterminer qu'il s'agissait d'une jeune femelle et les restes osseux ne présentent pas de trace de découpe visible.

La vache s'est donc décomposée dans le fossé qui est resté ouvert. Au moment du comblement le crâne devait être détachée, il s'agit d'une connexion labile. Les étuis cornés sont recherchés en artisanat, ils ont sûrement dû être récupéré, en hypothèse on peut en conclure qu'il s'agissait d'une vache morte de maladie et que les parties manquantes laissent suggèrent le prélèvement de la peau également.

## BIBLIOGRAPHIE

BARONE R. 1966. Anatomie comparée des mammifères domestiques, Tome I, Ostéologie, Bulletin de l'Académie Vétérinaire de France tome 119 n°5, 1966, 788 p.

LIGNEREUX Y. & PETERS J. 1996. Techniques de boucherie et rejets osseux en Gaule romaine. *Anthropozoologica* 1996, 45-98.

VALENZUELA-LAMAS Silvia , GARDEISEN Armelle. L'environnement animal urbain à l'époque gallo-romaine. Le témoignage de trois puits de Lattes (PT129011, PT471 et PT290). Lattara, 2005. p 235-270.

DUVAL Colin et CLAVEL Benoît, Bœufs gaulois

et bœufs français : morphologies animales et dynamiques économiques au cours de La Tène et des périodes historiques , Gallia, 75 | 2018, p 141-171.

## 3.10. LE MACRO-OUTILLAGE LITHIQUE (L. JACOTTEY)

### 3.10.1. LE MACRO-OUTILLAGE LITHIQUE DU SECTEUR 3

Ce mobilier est très peu abondant et très fragmenté. En dehors des éléments en calcaire, il comprend 4 fragments de meules (Uf. 3003 et 3023), 2 outils de percussion et 1 aiguisoir (Uf. 3023). La quasi-totalité de cet outillage provient du comblement d'un puits (Uf. 3023) daté de la toute fin de la Tène (La Tène D2b), alors qu'une dernière pièce, découverte dans le comblement d'une mare (Uf. 3003), est datée de la fin du I<sup>er</sup> siècle de notre ère. Il s'agit donc d'un ensemble qui est chronologiquement postérieur à l'importante occupation gauloise, et dans lequel certains éléments caractéristiques de la période gauloise manquent comme les meules et molettes va-et-vient, les mortiers, ainsi que les fragments de schiste micacés. En revanche les outils de percussion et le polissoir peuvent indiquer une activité particulière dans ce secteur de la fouille.

|                            | La Tène D2b | Fin 1er s. ap. J.-C. |
|----------------------------|-------------|----------------------|
| Outils de mouture rotatifs |             | 1                    |
| Meules indéterminés        | 3           |                      |
| Aiguisoirs                 | 1           |                      |
| Outils de percussion       | 2           |                      |
| Total                      | 6           | 1                    |

Fig.99 Nombre et types d'outils par phases d'occupation découverts dans le secteur 3 (L. Jacottey)

Trois fragments de meules sont issus d'une structure datée de La Tène D2b (Uf. 3023), deux sont en grès grossier siliceux pauvre en feldspaths et le dernier est dans un grès à nombreux petits feldspaths roses. Ces deux types de matériau sont parmi les plus courants dans le corpus des outils de mouture de la Tène C/D1 de l'occupation de Verdun-sur-le-Doubs. La fragmentation très importante de ces outils ne permet pas de savoir si ce sont des pièces résiduelles de l'importante occupation de La Tène ou des pièces plus tardives de l'extrême fin de la période gauloise. En effet, ces matériaux restent toujours employés au-delà de la conquête romaine. La même question se pose également pour le fragment de catillus dans le même grès peu feldspathique découvert dans comblement de la marre et daté de la fin du I<sup>er</sup> siècle ap. J.-C. (Uf. 3003).

À ces fragments de meules s'ajoutent deux fragments d'outils de percussion, qui sont en fait de simples galets de quartzite grise et de grès quartzitique dont les extrémités portent des stigmates de leur utilisation. Ces galets peuvent provenir des alluvions de la Saône, mais il est également possible que ces roches siliceuses aient été charriées par le Doubs, car elles sont aussi présentes dans les formations plio-quadernaires de la forêt de Chaux présentes au niveau de Dole. Que l'origine soit la vallée de la Saône ou celle du Doubs, il s'agit de roches qui ont été prélevées dans l'environnement proche du site. Leur utilisation s'est faite sans mise en forme préalable et leur abandon est intervenu dès leur bris. L'absence d'investissement consacré à ces outils dans leur acquisition et leur façonnage, tout comme leur abandon rapide, suggère des pièces faciles à remplacer. La dernière pièce, toujours issue du remplissage du puits (Uf. 3023) est un aiguiseur façonné à partir d'un bloc quadrangulaire de grès fin micacé du Rhétien. Comme le polissoir découvert dans le secteur 4, la roche est probablement originaire de la bordure orientale du Morvan, à une trentaine de kilomètres à l'ouest du site. Cette pièce a été employée

sur ses quatre faces pour un travail d'aiguisage longitudinal d'outils à tranchant rectiligne (couteaux), ou légèrement concave (faux, serpettes ...). Au niveau des arrêtes entre les différentes faces, de petites stries transversales obliques résultent du passage du fil de la lame métallique lors de son aiguisage. Ce type d'outil qui peut être employé dans un cadre domestique, agricole ou dans la chaîne opératoire de production des outils en métal évolue très peu au cours des siècles et ne peut être daté.

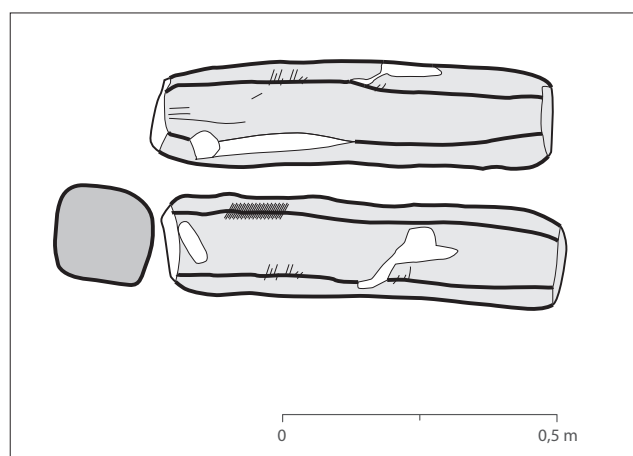


Fig.100 aiguiseur en grès fin -UF 3023 (L. Jacotey)

### 3.10.2. LE MACRO OUTILLAGE LITHIQUE DE LA ZONE 4

Dix-neuf éléments ont été recensés lors de la campagne 2022 dans ce secteur. Comme pour le mobilier lithique issu des fouilles des années antérieures cet outillage, peu abondant, est particulièrement fragmenté. Ainsi le lot est dominé par les débris (13 pièces) et seuls 4 fragments de meules, 1 mortier et 1 polissoir ont été découverts. Quatre éléments proviennent de structures datées de La Tène C2/D1 et 14 de structures de La Tène D1.

Les informations sur les outils de mouture sont quasiment inexistantes : trois fragments de catillus (Uf. 4044 et 4066), dont aucun avec un profil ou un diamètre restituable, ont été découverts. Le dernier fragment

|                            | La Tène<br>C2/D1a | La Tène<br>D1b |
|----------------------------|-------------------|----------------|
| Outils de mouture rotatifs |                   | 3              |
| Meules indéterminés        |                   | 1              |
| Mortiers                   |                   | 1              |
| Polissoirs                 | 1                 |                |
| Fragments et débris        |                   | 7              |
| schiste                    | 3                 | 4              |
| Total                      | 4                 | 16             |

Fig.102 Nombre et types d'outils par phases d'occupation découverts lors des campagnes 2019 à 2022 (L. Jacotey)

recensé appartient à un outil de mouture indéterminé (Uf. 4029). La seule réelle nouveauté par rapport aux époques antérieures est que ces objets sont pour trois d'entre eux façonnés dans des roches basaltiques vacuolaires originaires du Massif Central (Uf. 4044, 4049 et 4066). Ces trois fragments sont dans une roche vacuolaire grise à petites inclusions ferrugineuses oxydées. La similarité des matériaux et la proximité des différentes structures dans lesquelles ils ont été retrouvés amène à se poser la question de l'appartenance de ces trois fragments à une seule pièce, même si aucun remontage n'a pu être effectué. L'utilisation des roches basaltiques pour les outils de mouture à la fin de l'âge du Fer est déjà largement reconnue régionalement, notamment à Bibracte. La dernière pièce est en grès grossier à nombreux petits feldspaths blancs, originaire des carrières de Fangy (Uf. 4044). Enfin, une série de fragments de grès à feldspaths roses (Uf. 4034, 4035 et 4070) et de grès siliceux à muscovites (Uf. 4066) a également été découverte. Même si ces fragments ne conservent aucun élément qui permettent de les rattacher à des outils de mouture, ils sont dans des matériaux connus sur le site pour avoir été employés pour la fabrication de meules.

En plus de ces fragments de meules, un mortier et un polissoir à main ont également été exhumés. Le mortier (Uf. 4019) est en grès grossier siliceux gris, très

altéré par la chaleur. Le polissoir est en grès fin ocre et micacé, originaire des affleurements du Rhétien, situés sur la bordure du Morvan. Le mortier est à fond plat, il a un diamètre de 28 cm et une hauteur de 9,5 cm. Ce type d'outil est relativement fréquent dans les occupations de la fin de la période gauloise comme celles du Pâtural à côté de Clermont-Ferrand (Deberge et al. 2007), ou de Bibracte (Boyer et Farget 2008). Le polissoir a été réalisé sur un petit bloc de grès fin ocre riche en micas. Cette roche est originaire des formations du Rhétien qui affleurent en divers secteurs de la région : sur toute la bordure orientale du Morvan, en limite des formations gréseuses du Trias, à une trentaine de km à l'ouest du site ; sur la bordure nord du massif de la Serre à un peu plus de 50 km au nord-est, ou dans la région de Salins-les-Bains, à 65 km à l'est. Pour l'origine de ce grès, l'hypothèse de la bordure du Morvan, et notamment du secteur de la vallée de la Deunhe, est privilégiée à la fois en raison de la proximité géographique, mais aussi car les liens avec la bordure du Morvan sont attestés pour les approvisionnements meuliers. Les dimensions du polissoir (L. : 9,5 cm ; l. : 5 cm ; ép. 4,5 cm) sont celles des blocs présents à l'affleurement et

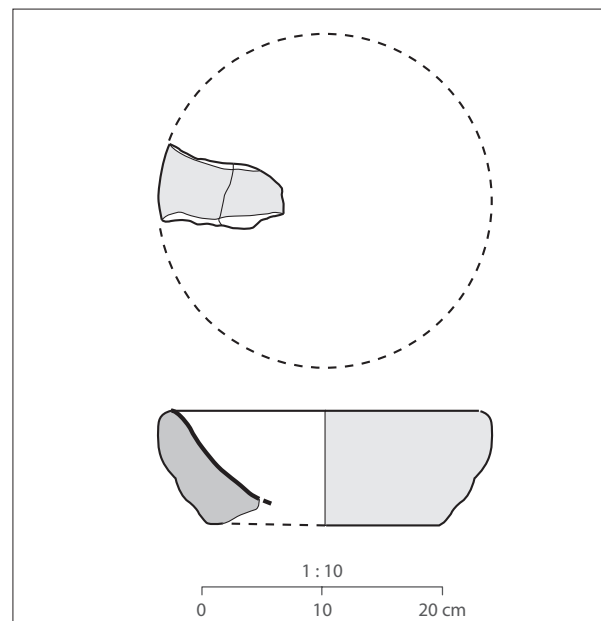


Fig.101 fragment de mortier en grès grossier gris (Us. 4019) (L. Jacotey)



cet outil n'a subi aucune mise en forme avant son utilisation. Trois faces ont été employées et ont un profil longitudinal en S, alors que les profils transversaux sont légèrement convexes. Cet outil a été utilisé pour un travail d'aiguisage d'outils métalliques tranchants. Il a pu servir dans un cadre domestique (couteau), agricole (faux, serpe, ...) ou en lien avec une activité métallurgique.

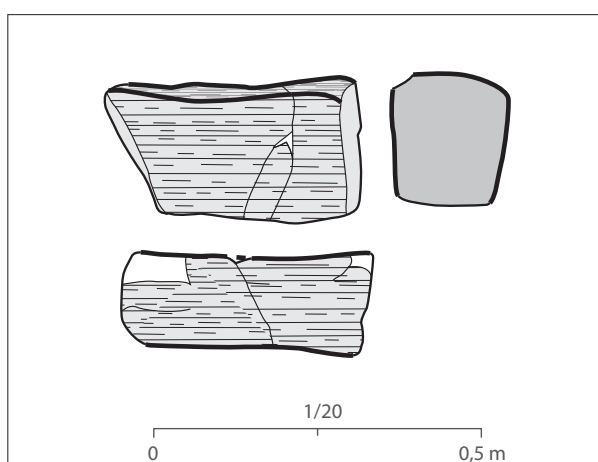


Fig.103 polissoir en grès fin (Us. 4061) (L. Jacottey)

## BIBLIOGRAPHIE

### Boyer et Farget 2008

BOYER (F.) et FARGET (V.) – Les mortiers de Bibracte. Iconographie, proposition de typologie, nature lithologique, in Bibracte, rapport 2008, p. 213 à 218.

### Deberge et al. 2007

DEBERGE (Y.), COLLIS (J.) et DUNKLEY (J.) : Le Pâtural, Clermont-Ferrand, Puy-de-Dôme. Un établissement agricole gaulois en Limagne d'Auvergne, DARA, n°30,

## 3.11. LES TERRES-CUITES ARCHITECTURALES (E. GAUTHIER)

A contrario des années précédentes (Hamon, Thivet 2021), où les rares fragments de TCA étaient mis au jour exclusivement dans les niveaux de recouvrement superficiels, la campagne 2022 a livré un corpus important de TCA, notamment dans le secteur 3. Ce dernier a fait l'objet d'un tri sur le terrain puis en post-fouille pour ne conserver que les restes présentant des éléments morphologiques permettant de mieux les caractériser. Au total, on compte 73 restes pour un poids de 30 kg (NMI = 24).

En l'absence d'édifice identifiés avec lesquelles elles auraient pu être associées, l'ensemble du corpus est découvert en position secondaire. Leur principal intérêt réside dans leur apport chronologique, comme marqueur de l'horizon chronologique antique découverts dans les secteurs 2 et 3.

La méthode utilisée afin de calculer l'ensemble des éléments présents sur le site, tegulae comme imbrices, est celle de Charlier F., impliquant d'additionner le plus grand nombre de type d'angle de tegulae au nombre d'angle droit ou gauche d'imbrices divisé par deux (Clément 2021, p. 26-27) sans compter quelques éléments particuliers comptant comme un individu (Fig.104). L'ensemble des déterminations sont établies sur la base de la typologie proposée par B. Clément (Clément 2021).

### 3.11.1. PRÉSENTATION DES ENSEMBLES

#### 3.11.1.1. COMPLEMENT DES TROUS DE POITEAUX DANS LE SECTEUR 2 (UF 2007)

Dans le cas du secteur 2, une structure a livré quelques éléments de TCA (UF 2007). Ils permettent de les rattacher à la période antique, au sens large.



Fig.104 Brique de colonne; UF 3003; cat.1 (E. Gauthier)

#### 3.11.1.2. COMBLEMENT DU PUITTS DU SECTEUR 3 (UF 3023) :

Les quelques éléments présents au sein de cette structure ne constituent pas un ensemble cohérent et sont trop fragmentaires. Compte tenu de leur faible quantité par rapport au faciès global du mobilier de cette unité stratigraphique ainsi que de leur caractère fragmentaire et anecdotique, il s'agit sans doute d'éléments intrusifs.

#### 3.11.1.3. COMBLEMENT DE LA MARE DU SECTEUR 3 (UF 3003) :

Il s'agit de la structure ayant livré la plus grande quantité de terres-cuites architecturales de tout le site, soit près de 30 kg. Au sein de celle-ci, rien n'a été retrouvé en position primaire. En effet, les sédiments de la mare semblent indiquer que la structure a été comblée en une fois. De fait, l'ensemble des éléments retrouvés (Fig.104; 2) ne semble constituer qu'un rejet hétéroclite, destiné à combler la structure à la fin du Ier siècle ap. J.-C.

Néanmoins, un grand nombre d'éléments typologiques ont pu être extraits comme quelques angles de tegulae (Fig.105.4, 5 et 6) ainsi que quelques éléments comportant des traces digitées (Fig.105.2 et .3). De plus, la présence de grands d'éléments complets ou presque (Fig.104 ; Fig.105.1) offre ici la possibilité de documenter de manière indirecte le faciès architectural présent à l'époque romaine dans les environs de Verdun-sur-le-Doubs.

#### 3.11.1.4. DRAINS DU SECTEUR 3 (UF 3001 ; 3013/3013-3015 ; 3025 ; 3037)

Ces structures semblent avoir été comblées avec de la TCA en même temps que la Mare. Néanmoins, très peu d'éléments d'intérêt y ont été retrouvés. On peut notamment citer le cas de l'un d'entre eux (UF 3025) (Fig.107.2) qui semble avoir livré un fragment de TCA assez semblable au type G de la typologie de Benjamin Clément (Clément 2021, p. 89).

#### 3.11.1.5. COMBLEMENT DES FOSSÉS DU SECTEUR 3 (UF 3005 ; 3035 ; 3039 ; 3043)

Ces fossés ont été comblés, eux aussi, à l'époque romaine si l'on en juge par la grande quantité de TCA qui en a été extraite. Malheureusement, seuls les fragments provenant du fossé 4 (UF 3043) (fig. 3) paraissent sortir du commun, du fait de la présence d'angles.

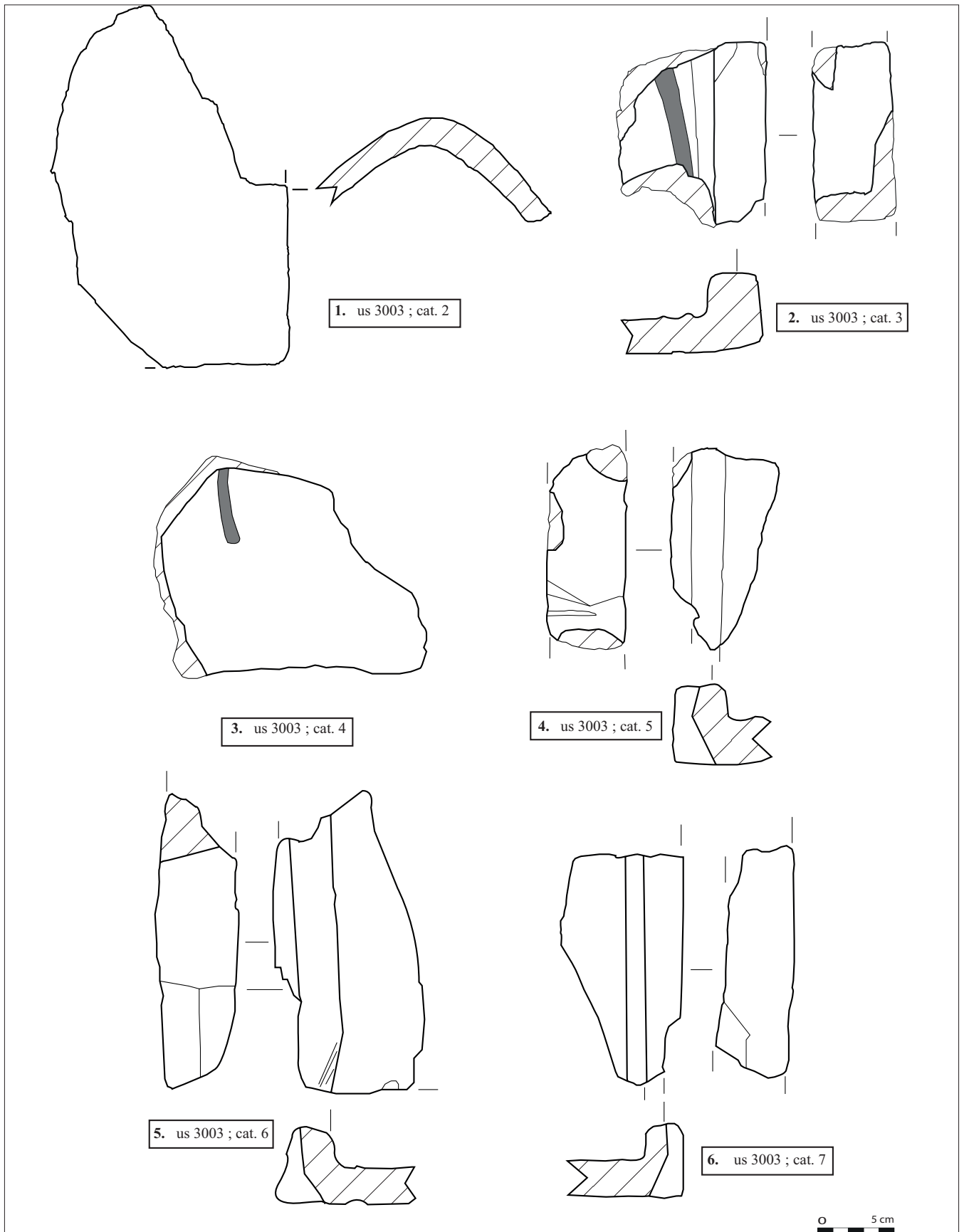
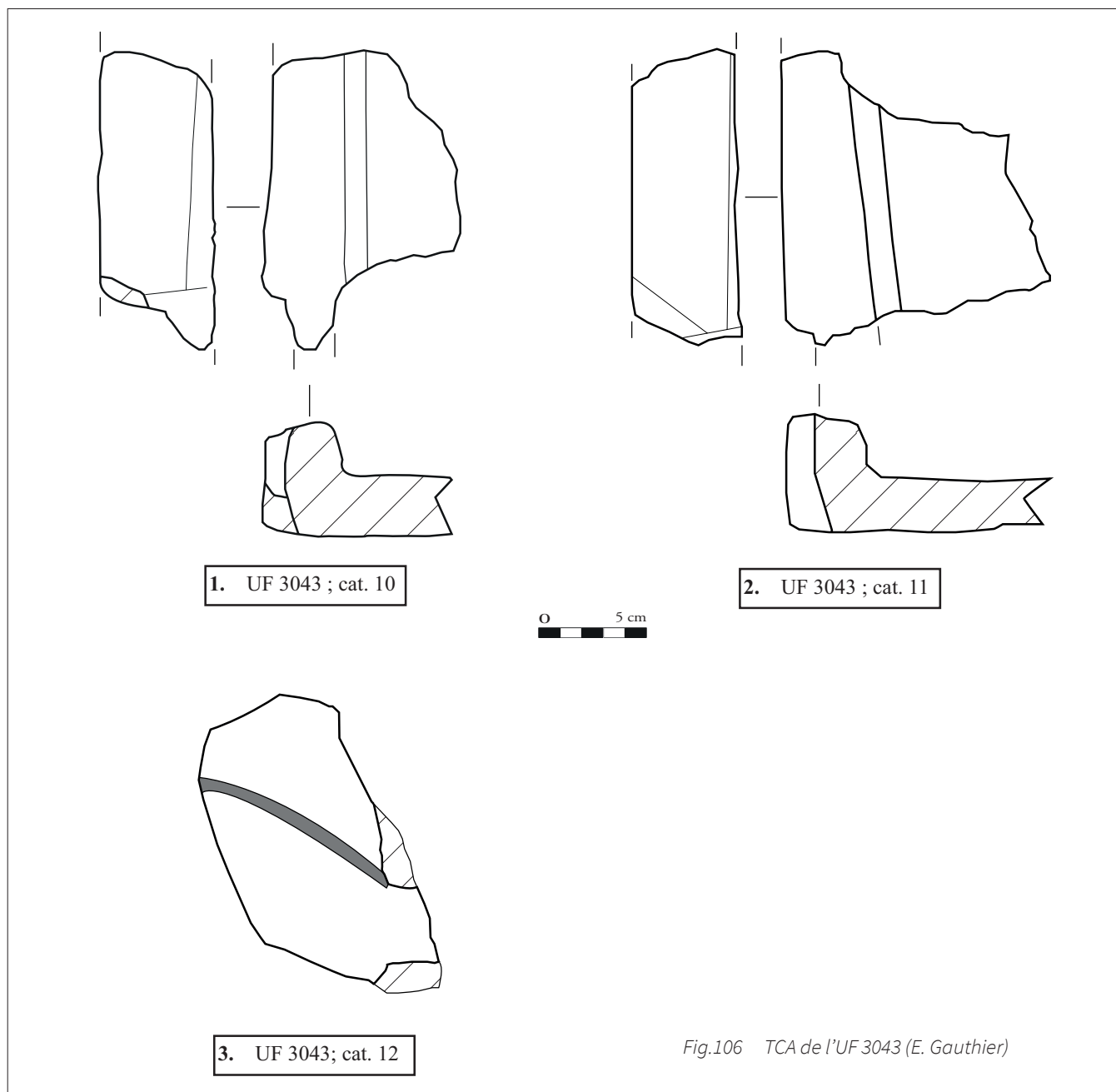


Fig.105 TCA de l'UF 3003 (E. Gauthier)



### 3.11.1.6. COMBLEMENT DES TROUS DE POTEAUX DANS LE SECTEUR 3 (UF 3033 ; 3049 ; 3055) :

La totalité des éléments retrouvés dans les comblements des trous de poteaux de ce secteur correspondent à des éléments de calage ou bien de comblement au moment de l'abandon des structures.

Dans le secteur 3, seul un fragment de l'un d'entre

eux, qui est également supposé être un radier de fondation (UF 3049) (Fig.107.1), semble comporter quelques éléments caractéristiques à l'instar d'une double marque digitée en forme d'oméga ainsi que d'une encoche d'un angle, malheureusement incomplète pour pouvoir l'identifier. Un autre trou de poteau (UF 3033) (Fig.107.3) a livré quelques traces particulières à savoir celle d'une triple marque digitée. Néanmoins, il s'agit des seuls éléments présentant un intérêt, au sein de ces structures. Le trou de poteau (3055) a livré 13

fragments de TCA., pour la plupart très fragmentaires (1,6 kg). Ils sont beaucoup trop fragmentaires pour pouvoir en dire plus.

### 3.11.1.7. STRUCTURES DU SECTEUR 4 (UF 4001 ; 4008 ; 4019)

Dans ce secteur, des TCA ont pu être retrouvées dans ce qui correspond au à l'interface des niveaux de recouvrement et du remplissage supérieur des structures protohistoriques. En effet, le caractère fragmentaire couplé à une faible quantité de restes permet de supposer que la présence de TCA au sein de ces structures relève d'un caractère intrusif dû aux labours.

Seul le comblement de l'une d'entre elles (UF 4019) comporte davantage d'éléments que la moyenne de ce secteur, soit environ 2 kg. Néanmoins, malgré la présence des deux angles d'imbrices identifiés, le caractère extrêmement fragmentaire de l'ensemble des éléments en TCA ainsi que celui très superficiel de ce comblement semblent indiquer qu'ils sont probablement issus d'une intrusion.

### 3.11.2. TYPOLOGIE ET MARQUES PARTICULIÈRES

Dans son ensemble, le corpus présente de très nettes disparités entre quantité et qualité d'une UF à l'autre. De fait, seuls certains des éléments les mieux conservés ont été prélevés pour le NMI ainsi que ceux présentant des marques particulières. Néanmoins, la très large majorité des éléments qui ont été retrouvés étaient dans un état si fragmentaire qu'ils étaient inexploitable. Par exemple, l'une des difficultés rencontrées lors de l'identification des types résidait en la très grande quantité d'angles arrière, partie qui est réputée ne pas évoluer à travers le temps (Clément 2021, p. 55-56). De fait, seuls les encoches avant présentaient des caractéristiques suffisamment intéressantes pour faire l'objet d'une documentation.

Ainsi, seules certaines structures bien précises ont apporté des ensembles cohérents et compréhensibles. Il s'agit du fossé n°1 (UF 3005) et de la mare au centre de l'enclos (UF 3003) dont les niveaux de comblement ont livré l'équivalent de plus de 70 kg de TCA et dont quelques éléments bien conservés permettaient de

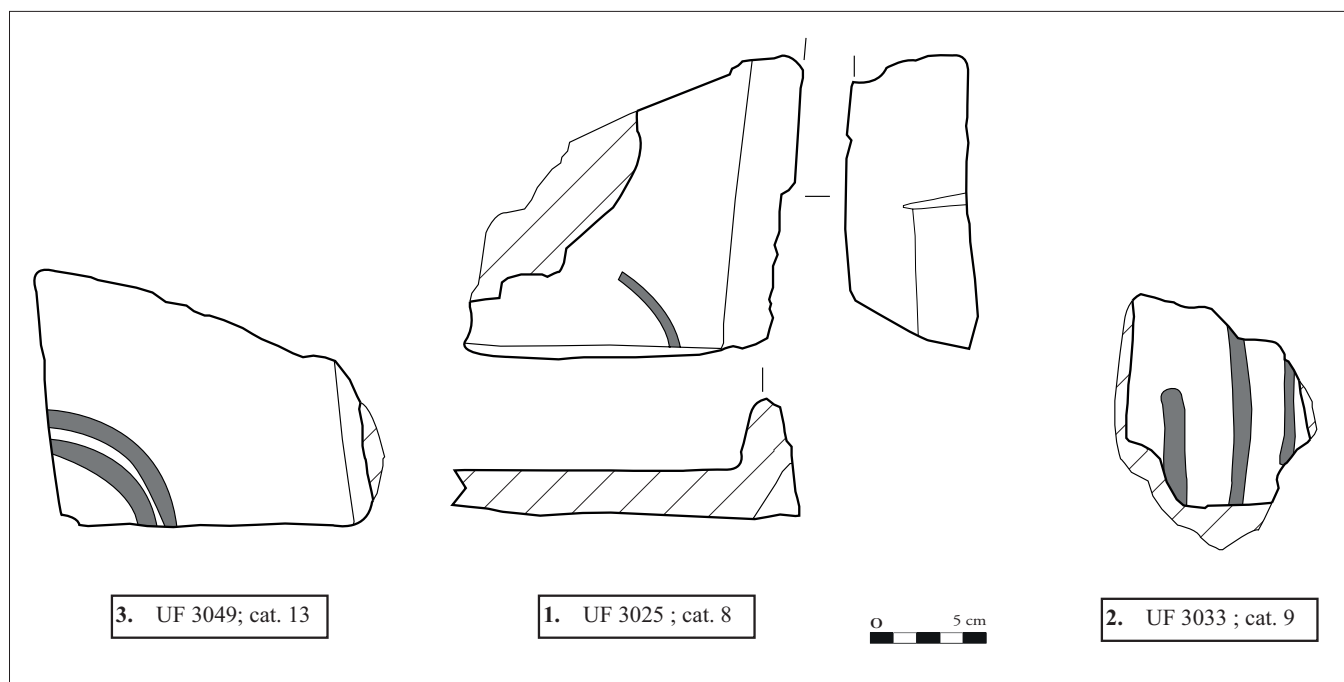


Fig.107 TCA des UF 3025 ; 3033 ; 3049 (E. Gauthier)



proposer une étude en tant qu'ensemble. Ainsi, dans le cas la mare (UF 3003) (**Fig.104** ; 2), l'ensemble des tegulae identifiées paraît se rapprocher du type E voire du type D légèrement plus ancien, établis par Benjamin Clément. La similitude avec les exemples retrouvés dans le fossé n°1 (**Fig.106**) semble également confirmer cette homogénéité typologique et permet de suggérer une synchronicité de fermeture. De fait, l'ensemble des angles de tegulae semble assez proche sur le plan typologique de ceux collectés du côté de la rue Pasteur à Besançon (**Clément 2021**, p. 117-118). Les éléments différents sont rares à l'instar de l'angle issu de là l'un des drain (UF 3025) (**Fig.107.2**). Ce dernier peut suggérer un caractère plus tardif car semblables au type G. Néanmoins, cela n'exclut en rien le fait que cet angle puisse être un intrus parmi le reste des autres éléments extraits, mais malheureusement sans caractéristiques particulières.

Néanmoins, la découverte la plus intéressante sur ce site demeure la présence d'une brique ronde formant un quart de colonne en terre-cuite. Cet élément isolé n'est ni atypique, ni analogue dans ce secteur. En effet, chez les Séquanes comme chez les Eduens et ce durant la période laténienne comme durant le Haut-Empire, des exemples ont été déterminés (**Charlier 2017** ; **Delencre, Garcia 2020**). Néanmoins, le rayon de cet artefact de 24 cm semble confirmer le caractère important de l'architecture dont il est issu. Sa présence peut suggérer celle d'un établissement ou bien simplement d'un édifice à caractère monumental dans les environs immédiats du site de la découverte. Cette hypothèse est renforcée par le caractère régional extrêmement marqué de l'architecture de la vallée de la Saône où se développent en majorité des élévations en matériaux périssables (**Delencre, Garcia 2016**, p. 10 ; **Delencre 2017**, p. 257).

Quant aux marques digitées, leur présence est constatée sur un grand nombre d'éléments issus du

site. Mais, elles aussi sont soumises au caractère fragmentaire de leurs supports et devraient être replacées dans un contexte local avec un atelier en particulier (**Clément 2021**, p. 67). Néanmoins, il est possible d'en distinguer une quantité équivalente à 3 en fonction du nombre de traces à proximité l'une de l'autre (**Fig.107**).

### 3.11.3. PRÉSENTATION DE LA DIVERSITÉ DES PÂTES :

Cette partie est un complément à l'étude typologique précédemment établie. Une observation factuelle des différentes pâtes (**Fig.108**) a permis de montrer que la plupart d'entre elles étaient rarement grossières. En effet, le groupe 2 est très faible en inclusions mis à part quelques-unes de nature ferrugineuse. De plus les groupes 1 et 4 sont caractérisés par la présence d'inclusions translucides de petites dimensions assez similaires à des grains de sable ou de calcaire. Seul un des groupes de patte, à savoir le groupe 4 comporte des inclusions grossières de quartz. De fait, il semble que l'ensemble de ces groupes correspond au faciès géologique local de la Saône réputée argileuse (**Delencre, Garcia 2016**, p. 10 ; **Delencre 2017**, p. 254-257). Ainsi, il n'est pas à exclure qu'un atelier pouvait se trouver à proximité du site.

### 3.11.4. CONCLUSION :

Pour terminer, nous pouvons dire que les TCA du corpus mobilier de Verdun-sur-le Doubs n'offrent que des informations secondaires et finales concernant ce site archéologique. En effet, malgré la grande quantité de fragments retrouvés sur le terrain, seules quelques structures ont livré des éléments intéressants permettant principalement d'indiquer que les niveaux supérieurs ainsi que les structures en creux du secteur 3 (mare, drains, etc.) correspondent à niveaux de remblais d'époque antique. Cependant, cette grande quantité ainsi que certaines pièces du corpus, à l'instar de la brique servant de quart de colonne, sont

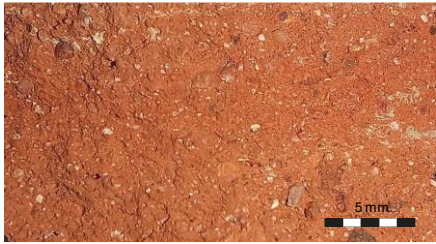
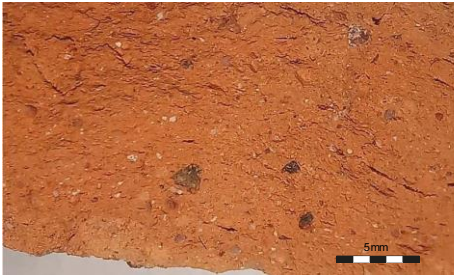


| Groupes macroscopiques | Descriptions   | Echantillons  | Photo  |
|------------------------|--|---|--|
| Groupe 1               | Présence d'inclusions blanches de petites dimensions et d'apparence calibrées (calcaires ou quartz), rare présence d'autres inclusions | 1 ; 2 ; 5 ; 7 ; 11 ;<br>14 ; 29 ; 30 ; 33 ;<br>34 ; 38 ; 39 ; 59  |    |
| Groupe 2               | Faibles inclusions exptées la présence de quelques inclusions férugineuses   | 3 ; 6 ; 8 ; 10 ; 12<br>; 13 ; 16 ; 19 ; 21<br>; 25 ; 26 ; 27 ; 35<br>; 42 ; 44 ; 46 ; 47<br>; 48 ; 49 ; 50 ; 51<br>; 52 ; 53 ; 56 ; 58<br>; 61 ; 63 ; 65 ; 66 |    |
| Groupe 3               | Inclusions grossières et nombreuses de mica, de calcaire et de nodules d'argile  | 4 ; 9 ; 17 ; 18 ;<br>20 ; 22 ; 23 ; 24 ;<br>32 ; 37 ; 43 ; 45 ;<br>54 ; 57 ; 60   |  |
| Groupe 4               | Inclusions grossières de nodules d'argile et rare inclusions fines de couleur blanche  | 15 ; 25 ; 28 ; 31 ;<br>36 ; 40 ; 64   |  |

Fig.108 groupes de pates qui composent les TCA de la campagne 2022 (E. Gauthier)

prometteuses. En effet, elles suggèrent la présence d'une occupation romaine, sans doute en partie monumentale, non loin de la découverte.

## BIBLIOGRAPHIE

Charlier F. 2017 : Les briques de colonnes, Munier C. (dir.), in *Le quartier antique du palatium et ses domus : archéologie au collège Lumière à Besançon, Doubs, Besançon, éd. Presses Universitaires de Franche-Comté, p. 117*

Clément B. 2021 : *Les couvertures de tuiles en terre cuite en Gaule du Centre-Est*, Drémil-Lafage, éd. Mergoil, 2021, 350 p.

Delencre F. et Garcia J.-P. 2016 : *Les influences romaines dans l'emploi des matériaux de construction dans l'Est de la Gaule du II<sup>e</sup> siècle avant J.-C. au I<sup>er</sup> siècle après J.-C.* (Eduens, Lingons, Séquanes, Rèmes, Tricasses et Sénons), in : *Blanquaert G. et Malrain F. (dir.) Évolution des sociétés gauloises du Second âge du Fer entre mutations internes et influences externes*, Actes du 38<sup>e</sup> Coll. International de l'AFEAF à Amiens, 29 mai - 1<sup>er</sup> juin 2014, Rev. Arch. de Picardie, N<sup>o</sup> spéc. 30417-431

Delencre F. 2017 : *Terre et pierres pour matières de cultures : l'apparition et la diffusion de nouveaux matériaux et modes de construction dans le Nord-Est de la Gaule romaine (II<sup>e</sup> siècle avant J.-C. – II<sup>e</sup> siècle après J.-C.)*, Thèse de doctorat, Université de Bourgogne-Franche-Comté, vol. 1, 966 p.

Delencre F. et Garcia J.-P. 2020 : *Les éléments de colonnes en pierre de l'oppidum de Bibracte (mont Beuvray, Bourgogne-Franche-Comté) : un savoir-faire local appliqué à un édifice romain du milieu du I<sup>er</sup> siècle avant J.-C.*, in : *Blary F., Gély J.-P. (dir.) Ressources et construction : la transmission des savoirs sur les chantiers*, Paris, éd. Comité des travaux historiques

et scientifiques, p. (coll. Actes des congrès nationaux des sociétés historiques et scientifiques) [URL : <http://books.openedition.org/cths/10512>, consulté le 07/12/22]

Hamon E., Thivet M. 2021 (dir.) : *L'agglomération gauloise de Verdun-sur-le-Doubs « Le Petit Chauvort »*. Rapport de fouille programmée 2021, Besançon, UMR 6249 Chrono-environnement, 1 vol.

**4.**  
**CONCLUSION ET**  
**PROGRAMMATION**  
**2023-2025**

#### 4. CONCLUSION ET PROGRAMMATION 2023-2025

Compte tenu des difficultés d'accès aux parcelles préalablement investies (limitant les possibilités d'extension de la fouille) d'une part, et à l'apparition de nouvelles problématiques répondants aux résultats des campagnes de prospection magnétique d'autre part, la campagne 2022 a pris la forme de sondages exploratoires. Les trois fenêtres investies, aux lieux-dits Petit Chauvort et En Semard, offrent des résultats essentiels à la perception des dynamiques d'occupation de la plaine alluviale.

Le sondage géomorphologique réalisé à l'ouest du hameau actuel du Petit Chauvort a permis de mieux caractériser le site naturel et les processus sédimentaires à l'œuvre dans le secteur. S'il reste pour l'heure difficile de percevoir précisément le cadre chronologique des phénomènes hydrologiques mis en évidence, ils semblent avoir joué un rôle primordial dans le développement de l'habitat groupé gaulois, qui s'inscrit en dehors des zones soumises aux battements de nappe et aux débordements de la Saône. Les aménagements ont également pu être limités par la présence de chenaux d'écoulement de faible profondeur et de faible débit. Le cœur urbain le plus ancien, qui pourrait remonter à une phase précoce de La Tène moyenne, semble se concentrer sous le bourg actuel et par conséquent sur le sommet de l'éminence topographique. Toutefois ces allégations ne trouvent leurs origines que dans quelques indices mobiliers découverts lors des fouilles réalisées par A. Guillot entre 1969 et 1972, malheureusement très limités spatialement. Gageons qu'après le recollement de ces collections (effectué ces trois dernières années) l'étude exhaustive du mobilier permettra de confirmer cette impression.

Un deuxième sondage, implanté en périphérie méridionale de l'agglomération à l'aplomb d'anomalies

magnétiques, a permis l'exploration d'une portion d'un probable établissement rural. Il apparaît ceint par un vaste complexe de fossés dessinant de larges enclos imbriqués, à l'intérieur desquels la plupart des structures semblent pouvoir être directement rattachées à des problématiques de gestion de l'eau (drains, mare, puits, etc.). Dans l'attente de la complétion des études spécialisées, il paraît possible de distinguer trois horizons chrono-stratigraphiques. Les aménagements les plus précoces sont matérialisés par une nuée de tous de piquets dont l'ordonnement général témoigne d'une organisation logique, bien qu'il soit en l'état impossible d'en déterminer la fonction précise. Si une partie des vestiges semblent abandonnés dans la seconde moitié du I<sup>er</sup> siècle avant notre ère, la majorité des structures présentent un comblement unique chargé en TCA, qui témoigne d'un remodelage général du secteur au cours de la période antique et n'offre que peu d'information utile sur leurs phases d'occupation. La découverte d'un puits, dont le cuvelage partiellement observé cette année fournit un TPQ à -170, témoigne d'une occupation synchrone avec l'habitat groupé et offre des pistes de recherche inédites pour la compréhension de l'évolution du secteur.

Un troisième sondage, d'une surface ne dépassant pas les 200 m<sup>2</sup>, était destinée à la reconnaissance du quartier sud de l'habitat groupé laténien. Situé partiellement à l'aplomb d'un sondage réalisé par Philippe Barral en 1999 au sud de la départementale D970, il a permis la découverte d'une zone assez densément structurée, présentant deux états clairement distincts. Les éléments les plus marquants concernent un ensemble de tranchées atteignant jusqu'à 7m de long pour 1.70m de large. Certaines mesurent jusqu'à un mètre de profondeur. Leurs complements sont chargés en microcharbons de bois et en éléments de terre à bâtir carbonisés (dont les dimensions varient de lentilles à de véritables plaques décimétriques) qui témoignent de la démolition par le feu d'éléments bâtis.



Si la surface réduite du sondage ne permet pas pour l'heure d'assurer la reconstitution des complexes mis aux jours, l'aménagement révèle l'existence d'un type de construction jusqu'alors inconnu sur le site, ancré au moyen d'imposantes tranchées de fondation. Enfin, l'apport majeur de cette dernière campagne consiste à la réaffirmation des orientations dominantes. Les deux trames structurantes mises en évidence plus au nord trouvent ici une résonance chronologique, où l'axe des tranchées de l'état II diverge d'environ 20 degrés par rapport à celles de l'état I.

La reprise d'une reconnaissance archéologique extensive d'un secteur du quartier méridional de l'agglomération dont les relevés géophysiques fournissent une image claire, offre des conditions favorables à la poursuite des études sur l'organisation de l'espace urbain et de son évolution chrono-spatiale

et fonctionnelle. Sous réserve de reconduite du projet, nous proposons dans le cadre d'un nouveau projet triennal 2023-2025, une programmation de terrain qui offrirait sur trois années une fenêtre d'observation continue d'environ 1900 m<sup>2</sup>. Les levés géophysiques réalisés en 2021 y témoignent d'une occupation relativement dense marquée notamment par des successions d'anomalies linéaires, dont le signal magnétique est comparable à celui des vestiges déjà mis aux jours dans le secteur 4. Le découpage du secteur proposé permettrait d'en explorer chaque année environ 630m<sup>2</sup>, du nord vers le sud. L'alignement des zones de fouille permettrait la l'enregistrement de coupes de référence. L'année 2023 serait consacrée à la reconnaissance d'une zone entourant le sondage 4 de la précédente campagne vers le nord. Ainsi définie, elle permettrait d'appréhender un ensemble d'anomalies observées à proximité du talus sur lequel s'appuie la

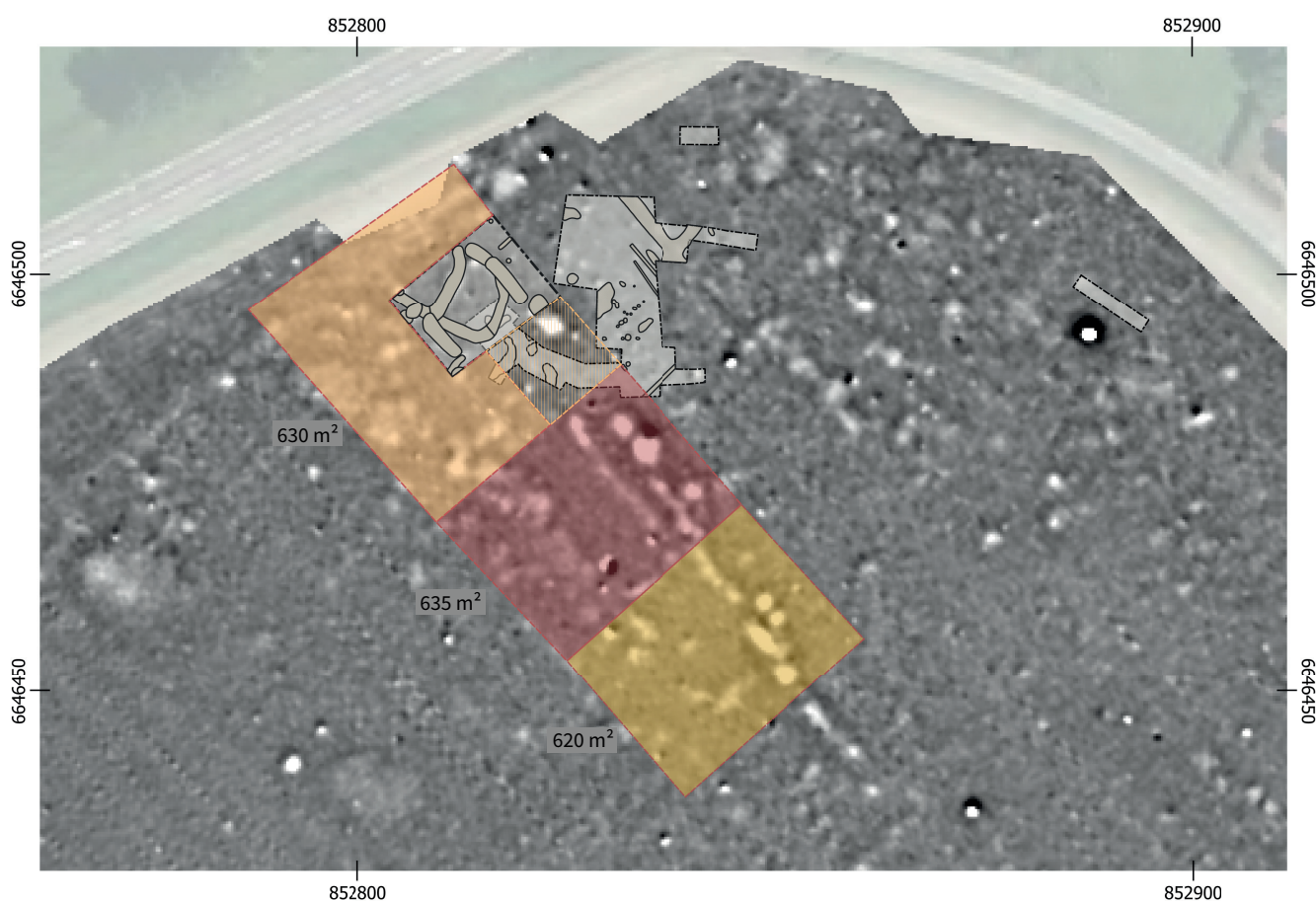


Fig.109 – Programmation 2023-2025 : localisation des trois emprises retenus (CAO E. Hamon)

départementale D970, et de compléter au nord le plan de l'édifice d'état I. En limite occidentale, on observe une succession de grandes anomalies dont le signal diffus est proche de celui observé à l'aplomb de la mare [3004]. Ce linéament de deux ou trois anomalies forme par ailleurs à l'ouest un effet de parois qui s'inscrit dans l'axe des installations d'état I.

Les zones rouge et jaune, dont nous proposons l'exploration pour les années 2024 et 2025, présentent plusieurs amas d'anomalies magnétiques dipolaires dont les valeurs sont supérieures à toutes celles rencontrées sur la zone. Si elles peuvent trahir la présence d'importantes concentrations de mobilier avec une forte thermorémanence (amphore, torchis carbonisé, etc.), elles pourraient aussi témoigner de la présence de structures de chauffe (potentiellement lié à l'artisanat) ou de zones de concentration de mobilier métallique.

L'amas situé dans la zone rouge, en particulier, s'inscrit dans la continuité des zones de rejet d'atelier observé par Ph. Barral en 1999 et pourrait témoigner de leur poursuite en direction du sud-ouest.

En 2023, nous souhaiterions également terminer la fouille du puits [3024] avec les moyens adaptés à sa réalisation. Elle nécessitera, sur une durée d'environ une semaine, la présence de trois ou quatre personnes, incluant les spécialistes du bois archéologique du laboratoire Chrono-environnement (Olivier Girarclos ou François Blondel et Clara Penagos) en mesure de garantir le prélèvement et l'étude des bois du cuvelage. On estime que le décapage d'une surface d'environ 160 m<sup>2</sup>, en majorité comprise à l'intérieure de la zone déjà investie au cours de la campagne 2022, est nécessaire à la réalisation des paliers de sécurité permettant d'atteindre le cuvelage observé à environ 4



Fig.110 – Programmation 2023 : rappel de l'emplacement du puits [3023] (CAO E. Hamon)

m. de profondeur. Des prélèvements sédimentaires en vue d'analyses paléo-environnementales seront réalisés (palynologie, carpologie, paléoparasitologie) et le stockage et la conservation de l'ensemble des vestiges mobiliers découverts sera réalisé selon les protocoles en vigueur adaptés à leur nature.

L'équipe de terrain sera composée d'une vingtaine de personnes, incluant environ quinze étudiants provenant principalement des universités de Franche-Comté et de Bourgogne, ainsi que quatre ou cinq encadrants aguerris sur le terrain et spécialistes de la culture matérielle de La Tène moyenne et finale. Dans la mesure du possible, l'ensemble du mobilier mis au jour sera lavé, trié et pré-inventorié au cours de l'intervention, permettant ainsi d'engager au plus tôt les études spécialisées immédiatement après la phase terrain.

La durée de l'opération envisagée est de cinq semaines; elle ne saurait en aucun cas être inférieure à quatre semaines. L'hébergement est, pour le moment, prévu au camping de Verdun-sur-le-Doubs. Des discussions sont en cours avec la municipalité afin de nous permettre de bénéficier comme en 2022 de la salle multisports comme base de vie, de travail et espace de stockage des équipements et du mobilier. Les moyens logistiques de terrain et d'hébergement seront assurés avec le soutien de l'UMR Chrono-environnement, d'Eveha, et de Bibracte EPCC.

Le décapage sera assuré au moyen d'une pelle mécanique d'environ 20 tonnes équipée d'un godet lisse de 2 m de large. Le dégagement des niveaux superficiels sera suivi par trois ou quatre personnes, dont au moins une formée à l'utilisation du détecteur de métaux, afin de tendre vers un ramassage le plus exhaustif possible du « petit mobilier » métallique et de se prémunir autant que possible des risques de pillage nocturne. Conformément au protocole en usage, seuls

les objets situés à une profondeur inférieure à 5 cm seront prélevés.

Plusieurs réflexions méthodologiques sont en cours afin de lutter autant que possible contre les difficultés de lisibilité des limites de structures entraînées par l'assèchement rapide des sédiments superficiels. Le décapage pourrait ainsi être suivi, immédiatement après le passage de la pelle, par un groupe dédié à la documentation et la prise de photo des niveaux d'apparition des structures. La journée de décapage pourrait également être suivie par un vol de drone permettant la réalisation d'une première photogrammétrie d'ensemble. La possibilité d'utiliser des d'abris couvrant tout ou partie de la fouille est également à l'étude.

## TABLE DES ILLUSTRATIONS

|        |   |    |
|--------|---|----|
| Fig.1  | Localisation de la commune de Verdun-sur-le-Doubs (données IGN)   | 19 |
| Fig.2  | Localisation du site du « Petit-Chauvort » sur le fond de carte topographique IGN 1/25000e (© IGN Geoportail).  | 20 |
| Fig.3  | Photographie de la campagne de fouilles 1971, dirigée par A. Guillot.   | 21 |
| Fig.4  | Photographie de la campagne de fouilles 1998, dirigée par Ph. Barral.   | 21 |
| Fig.5  | – Localisation des secteurs fouillés depuis 1969 (CAO E. Hamon).  | 22 |
| Fig.6  | Photographies des sondages 4 (en haut et à gauche) et 3 (en bas à droite) en cours de fouille (E. Hamon et M. Thivet)   | 23 |
| Fig.7  | Rapport météorologique alarmant de l'été 2022 (© Météo-France).   | 24 |
| Fig.8  | Réalisation de mesures de susceptibilité magnétique en cours de fouille (cliché C. Sanchez)   | 27 |
| Fig.9  | Emprise du secteur 2, recoupant des anomalies phytologiques et points de découvertes fortuites ayant livrés du matériel daté de LT D1                             | 30 |
| Fig.10 | Relevé de prospection géophysique à l'aplomb du secteur 2 (C. Sanchez, E. Hamon)  | 30 |
| Fig.11 | Photogrammétrie du secteur 2 (PAO E. HAMON)   | 31 |
| Fig.12 | Plan et coupes des structures du secteur 2 (CAO et DAO E. Hamon))   | 32 |
| Fig.13 | Localisation et emprise du secteur 3 sur fond de relevé magnétique (CAO E. Hamon))  | 33 |
| Fig.15 | Orthophotographie finale du secteur 3, produite par photogrammétrie aéroportée par drone (M. Thivet)  | 34 |
| Fig.14 | Orthophotographie de la fouille après nettoyage, produite par photogrammétrie aéroportée par drone (M. Thivet)  | 34 |
| Fig.16 | Orthophotographie du secteur 3 en fin de chantier, produite par photogrammétrie aéroportée par drone, superposée à la carte de prospection magnétique (M. Thivet) | 35 |
| Fig.17 | Plan masse des vestiges fouillé complété avec les principales anomalies interprétées de la prospection magnétique (M. Thivet)                                     | 36 |
| Fig.18 | Relevé de coupe de référence du secteur 3: minute 3_22 (DAO M. Thivet)  | 37 |
| Fig.20 | Photo oblique du niveau d'apparition de la nuée de trous de piquets [3080] (cliché M. Thivet)   | 38 |
| Fig.19 | Photo zénithale de la nuée de trous de piquets [3080]. En haut, en cours de fouille; en bas, niveau d'apparition (cliché V. Franchini)                            | 38 |
| Fig.21 | Plan des structures du secteur 3 par horizons chrono-stratigraphiques - transept septentrional (DAO. M. Thivet, E. Hamon).  | 39 |
| Fig.22 | Plan des structures du secteur 3 par horizons chrono-stratigraphiques - sondage carré (DAO. M.  |    |

|        |  |    |
|--------|--|----|
|        | Thivet, E. Hamon).   | 40 |
| Fig.23 | Coupe du puits [3024] (DAO. E. Hamon).   | 41 |
| Fig.24 | Comblement supérieur [3023] du puits [3024] en cours de fouille (cliché E. Gauthier)   | 41 |
| Fig.26 | Photo du niveau d'apparition du cuvelage en bois (direction sud - Cliché E. Hamon).  | 42 |
| Fig.25 | Photographie du puits en cours de fouille (direction nord). On distingue clairement le remplissage du cuvelage quadrangulaire du remplissage de l'avant-trou (cliché et DAO, E. Hamon).                                  | 42 |
| Fig.27 | Chronologie synchronisée des trois séries dendrochronologiques du puits [3024] (F. Blondel).   | 43 |
| Fig.28 | Courbe de corrélation des lectures de cernes des bois du puits [3023] et celles des trois puits de Saint-Marcel (F. Blondel).  | 43 |
| Fig.29 | Niveau d'apparition de la fosse [3012] (cliché M. Thivet)  | 44 |
| Fig.30 | Fouille du massif de fondation [3050] (cliché M. Thivet)   | 44 |
| Fig.31 | Plan et coupes de l'ensemble de structures [3004, 3002, 3014, 3026] (DAO M. Thivet et E. Hamon)  | 45 |
| Fig.32 | Synthèse des principaux éléments morphologiques et métrologiques des fossées du secteur 3 (E. Hamon)   | 46 |
| Fig.34 | Photo de détail du bovin déposé au fond du fossé [3040] (cliché V. Franchini)  | 47 |
| Fig.35 | Photo oblique des fossées [3036] et [3040] (cliché E. Estur)   | 47 |
| Fig.33 | Squelette de bovin déposé au fond du fossé [3040] (cliché V. Franchini)  | 47 |
| Fig.36 | Comblement du fossé [3044] (cliché E. Estur)   | 47 |
| Fig.37 | Plan du secteur 3 : localisation des logs destinés à l'étude micromorphologique (A. Peinetti)  | 49 |
| Fig.38 | La « mare » St. 3004 (Log 1) : (a) vue de la coupe ouest-est de la structure ; (b) log d'échantillonnage avec les unités pédo-sédimentaires identifiées sur le terrain et la localisation des prélèvements (A. Peinetti) | 50 |
| Fig.39 | Fossé 3035 (Log 2) : unités pédo-sédimentaires identifiées sur le terrain et localisation des prélèvements micromorphologiques (en rouge). (A. Peinetti)   | 52 |
| Fig.40 | Extrait de la carte de Cassini (depuis la plateforme Géoportail)   | 53 |
| Fig.41 | Localisation et emprise des sondages réalisés au sud de la D970 , sur fond de relevés magnétiques (CAO E. Hamon)   | 54 |
| Fig.42 | Localisation et emprise des sondages réalisés au sud de la D970. Fond : projection géoréférencée d'une photographie aérienne réalisée par P. Nouvel au cours de l'été 2015 (CAO E. Hamon)                                | 54 |
| Fig.43 | Plan phasé des structures de la campagne 1999, d'après Barral 1999 (DAO E. Hamon)  | 55 |
| Fig.44 | vue de la couche de remblai US 503 en cours de dégagement; on distingue nettement l'entrave et une pelle à feu (Barral 1999)   | 56 |
| Fig.45 | Coupes de référence et plan d'ensemble des structures du secteur 4 (DAO E. Hamon)  | 57 |

|        |   |    |
|--------|---|----|
| Fig.46 | a. Emprise du sondage sur fond de prospection magnétique. b. Orthophoto après décapage.c. Résultats des relevés de susceptibilité magnétique d. Conductivité électrique (CAO. E. Hamon, S. Sanchez) | 58 |
| Fig.47 | Plan des structures de l'état I (DAO E. Hamon)  | 60 |
| Fig.48 | Tranchée méridionale [4014] en cours de fouille (cliché E. Hamon)   | 61 |
| Fig.49 | Comblements de la structure [4004], qui recoupe à gauche la tranchée [4016] (cliché V. Franchini)   | 62 |
| Fig.50 | Plan et sélection de coupes des structures de l'état II (DAO E. Hamon)  | 63 |
| Fig.51 | Photos d'ensemble et de détail des plaques de torchis rubéfiés [4031]. On distingue clairement à droite l'interface de cendre [4047] (clichés E. Hamon)   | 64 |
| Fig.52 | Vue de profil des comblements de la structures [4020] (clichés E. Hamon)  | 64 |
| Fig.53 | Quelques exemples de bâtiments fondés sur tranchées de fondation massives, issus de fouilles récentes.(D'après Laruz 2018 et Cure 2019))  | 65 |
| Fig.54 | Photo oblique de la coupe de la structure [4002], en limite de fouille (cliché V. Franchini)  | 66 |
| Fig.55 | Niveau d'apparition du comblement [4043] de la fosse [4037] (cliché M. Deblois)   | 67 |
| Fig.56 | Quantités de mobiliers découverts sur les trois secteurs de la campagne 2022, présenté par catégories (E. Hamon)  | 72 |
| Fig.57 | - Répartition du nombre de fragments par type de structure (D. Champeaux)   | 75 |
| Fig.59 | Répartition du pourcentage du NMI par datation et grande période chronologique (D. Champeaux ).   | 77 |
| Fig.58 | Répartition du nombre de fragments par type de structure et datation (D. Champeaux ).   | 77 |
| Fig.60 | Répartition du pourcentage du NMI par datation et grande période chronologique (D. Champeaux ).   | 78 |
| Fig.61 | Répartition du pourcentage du NMI par datation et grande période chronologique (D. Champeaux ).   | 84 |
| Fig.62 | Planche céramique du puits [3023] ; ech. 1/3 ; 1 sur 2 (Dessin : D. Champeaux; DAO D. Champeaux et J. Soichet).   | 85 |
| Fig.63 | Planche céramique du puits [3023] ; ech. 1/3 ; 2 sur 2 (Dessin : D. Champeaux; DAO D. Champeaux et J. Soichet).   | 86 |
| Fig.64 | Dendrogramme des catégories techniques de céramiques de la fin du second Âge du Fer de Verdun-sur-le-Doubs (E. Estur)   | 88 |
| Fig.65 | UF 4001 - 1 : PSGROS, 2-3: BES, 4-6 :PC, 7: PEINT A, 8-9: NPR (C. Dromard).   | 89 |
| Fig.66 | UF 4001 - 10 - 11 :NPR, 12: PSFIN, 13-14 :PGFIN, 15-16: PGFINF, 17-18: CAMP B (C. Dromard).   | 90 |
| Fig.68 | Localisation des structures [3003] et [3024] (M. Deblois)   | 92 |
| Fig.67 | Synthèse des NR et NMI par type et par secteurs (M. Deblois)  | 92 |
| Fig.69 | Localisation de la fosse [4002] (M. Deblois)  | 92 |



|        |   |     |
|--------|---|-----|
| Fig.70 | LUF 3003 - Dressel 1 : 1-3 ; Gauloise 3-5 : 4-5 (M. Deblois)  | 93  |
| Fig.71 | LUF 3077 - 1-8 : Dressel 1 : 9: Dressel 1C (M. Deblois)   | 94  |
| Fig.72 | UF 3023 - 1-10 : Dressel 1 (M. Deblois)   | 95  |
| Fig.73 | UF 4001 - 1 : Greco - italique ? ; 2 - 8 : Dressel 1 (M. Deblois)   | 96  |
| Fig.74 | Définitions des catégories fonctionnelles (d'après Briand et al. 2013)  | 98  |
| Fig.75 | La quantification du mobilier métallique par le NR, NMI et NMO (d'après Bataille 2008 et Girard 2010)   | 99  |
| Fig.76 | Sous-catégories fonctionnelles  | 99  |
| Fig.77 | Répartition du mobilier du secteur 3 par matériau (123 NMI)   | 100 |
| Fig.78 | Sélection d'objets en fer découverts à Verdun-sur-le-Doubs en 2022 - Secteur 3 (DAO R. Perruche)  | 101 |
| Fig.79 | Sélection d'objets en alliage cuivreux découverts à Verdun-sur-le-Doubs en 2022 - Secteur 3 (DAO : R. Perruche)   | 103 |
| Fig.80 | Tableau récapitulatif des fibules en alliage cuivreux découvertes à Verdun-sur-le-Doubs en 2022 - secteur 3   | 104 |
| Fig.81 | Objets non métalliques découverts à Verdun-sur-le-Doubs en 2022 - Secteur 3 (Clichés : L. Bert et M. Waret ; PAO, DAO : R. Perruche)                                      | 104 |
| Fig.82 | Assemblages comparés du mobilier des secteurs 3 et 4  | 105 |
| Fig.83 | Répartition du mobilier du secteur 4 par matériau (75 NMI)  | 106 |
| Fig.84 | Sélection d'objets en fer découverts à Verdun-sur-le-Doubs en 2022 - Secteur 4 (DAO : R. Perruche sauf 4019-005, 4019-011, 4000-005, 4019-012 et 4019-006 V. Taillandier) | 107 |
| Fig.85 | Objets représentatifs d'une activité de subsistance dans le secteur 4 : n°1, balle de fronde, TC ; n°2, hameçon, fer. Ech. 1. (DAO : V. Taillandier)                      | 108 |
| Fig.86 | Proportions des différentes activités artisanales représentées dans le secteur 4  | 109 |
| Fig.87 | Résidus et objets représentatifs de l'activité de forge dans le secteur 4   | 109 |
| Fig.88 | Sélection de fibules découvertes à Verdun-sur-le-Doubs en 2022 - Secteur 4 (DAO : V. Taillandier sauf 4013-003, 4000-009 et 4031-009 R. Perruche)                         | 110 |
| Fig.89 | Inventaire analytique du mobilier scorifié de la campagne 2022 (A. Roger)   | 115 |
| Fig.90 | Répartition des monnaies par dénomination (P. Dehan).   | 115 |
| Fig.91 | Répartition des monnaies du secteur 3 (a.) et du secteur 4 (b.) par dénomination (P. Dehan).  | 116 |
| Fig.92 | Catalogue des monnaies de la campagne 2022 (P. Dehan).  | 118 |
| Fig.93 | Planche des monnaies de la campagne 2022. Ech 1:1. 1-12: monnaies du secteur 3; 13-21: monnaies du secteur 4 (P. Dehan)   | 120 |
| Fig.94 | Inventaire analytique de la parure en verre issu de la campagne 2022 (E. Hamon et M. Thivet)  | 120 |

|         |   |     |
|---------|---|-----|
| Fig.95  | Fragments de parure en verre issu de la campagne 2022 et localisation à l'intérieur du secteur 4 (E. Hamon, M. Thivet)                    | 121 |
| Fig.96  | Localisation des prélèvements de sédiments (CAO A. Tatre)   | 123 |
| Fig.97  | Orthophoto par photogrammétrie du squelette de bovin, localisation à l'intérieur du secteur 3 et dessin (L. Longeron)                     | 126 |
| Fig.98  | Modelisation 3D des os présents (a et b) et manquants (c) à l'aide du logiciel « Laetoli » lié à l'université de Strasbourg (L. Longeron) | 126 |
| Fig.99  | Nombre et types d'outils par phases d'occupation découverts dans le secteur 3 (L. Jacottey)   | 127 |
| Fig.100 | Aiguiseur en grès fin -UF 3023 (L. Jacottey)  | 128 |
| Fig.102 | Nombre et types d'outils par phases d'occupation découverts lors des campagnes 2019 à 2022 (L. Jacottey)                                  | 129 |
| Fig.101 | fragment de mortier en grès grossier gris (Us. 4019) (L. Jacottey)  | 129 |
| Fig.103 | polissoir en grès fin (Us. 4061) (L. Jacottey)  | 130 |
| Fig.104 | Brique de colonne; UF 3003 ; cat.1 (E. Gauthier)  | 131 |
| Fig.105 | TCA de l'UF 3003 (E. Gauthier)  | 132 |
| Fig.106 | TCA de l'UF 3043 (E. Gauthier)  | 133 |
| Fig.107 | TCA des UF 3025 ; 3033 ; 3049 (E. Gauthier)   | 134 |
| Fig.108 | groupes de pates qui composent les TCA de la campagne 2022 (E. Gauthier)  | 136 |
| Fig.109 | Programmation 2023-2025 : localisation des trois emprises retenus (CAO E. Hamon)  | 140 |
| Fig.110 | Programmation 2023 : rappel de l'empacement du puits [3023] (CAO E. Hamon)  | 141 |

5. ANNEXES

# ANNEXES

| N°_UF | UF_Type  | UF_Identification | UF_Description   | Strati_Anterieur   | Strati_Contemporain | Strati_Posterieur                  |
|-------|----------|-------------------|--|--|---------------------|------------------------------------|
| 2000  | Positive | Décapage          | Couverture superficielle du secteur 2. Limon brun homogène pré-sentant du mobilier épars en faible quantité                                      |  |                     |                                    |
| 2001  | Positive | Remblai           | Comblement du TP [2002]. Limon brun homogène   | Sert d'appui à 2000  |                     | Remplit 2002                       |
| 2002  | Négative | TP                | Creusement circulaire en cuvette. Fosse ancrage de poteau  | Remplie par 2001   |                     | Recoupe 2016                       |
| 2003  | Positive | Remblai           | Comblement supérieur du TP [2004]. Limon brun homogène   | Sert d'appui à 2000  |                     | Remplit 2004; S'appuie contre 2013 |
| 2004  | Négative | TP                | Creusement circulaire en cuvette. Fosse ancrage de poteau  | Remplie par 2003; 2013; 2014   |                     | Recoupe 2016                       |
| 2005  | Positive | Remblai           | Comblement du TP [2006]. Limon brun foncé compact  | Sert d'appui à 2000  |                     | Remplit 2006                       |
| 2006  | Négative | TP                | Creusement circulaire en cuvette. Fosse ancrage de poteau  | Remplie par 2005   |                     | Recoupe 2016                       |
| 2007  | Positive | Remblai           | Comblement du TP [2008]. Limon sableux brun-jaune  | Sert d'appui à 2000  |                     | Remplit 2008                       |
| 2008  | Négative | TP                | Creusement circulaire en cuvette. Fosse ancrage de poteau  | Remplie par 2007   |                     | Recoupe 2016                       |
| 2009  | Positive | Remblai           | Comblement du TP [2010]. Limon sableux brun-jaune  | Sert d'appui à 2000  |                     | Remplit 2010                       |
| 2010  | Négative | TP                | Creusement circulaire en cuvette. Fosse ancrage de poteau  | Remplie par 2009   |                     | Recoupe 2016                       |
| 2011  | Positive | Remblai           | Comblement supérieur du TP [2011]. Limon argileux gris-jaune   | Sert d'appui à 2000  |                     | Remplit 2012; S'appuie contre 2015 |
| 2012  | Négative | TP                | Creusement circulaire en cuvette. Fosse ancrage de poteau  | Remplie par 2011 ; 2015  |                     | Recoupe 2016                       |
| 2013  | Positive | Remblai           | Comblement médian du TP [2004]. Limon compact blanchâtre   | Sert d'appui à 2004  |                     | Remplit 2004; S'appuie contre 2014 |
| 2014  | Positive | Remblai           | Comblement initial du TP [2004]. Limon charbonneux gris noir.  | Sert d'appui à 2013  |                     | Remplit 2004                       |
| 2015  | Positive | Remblai           | Comblement initial du TP [2012]. Limon beige. Inclusion de micro-charbon de bois   | Sert d'appui à 2011  |                     | Remplit 2012                       |
| 2016  | Positive | Remblai           | Encaissant. Niveau d'acréction épais d'environ 4m, associé à des dépôts alluvionnaire  | Sert d'appui à 2000; Est recoupée par 2002; 2004; 2006; 2008; 2010; 2012 |                     |                                    |
| 3000  | Positive | Décapage          | Décapage secteur 3<br>limon mêlé de sable-argileux brun gris foncé, et avec de inclusions de TCA, ainsi que de inclusions de Amphore. Charbons . |  |                     |                                    |

| N°_UF | UF_Type  | UF_Identification | UF_Description  | Strati_Anterieur                    | Strati_Contemporain                     | Strati_Posterieur   |
|-------|----------|-------------------|---|-------------------------------------|---|---|
| 3001  | Positive | Drain             | Comblement drain<br>limon mêlé de sable-argileux brun gris, et avec de inclusions de TCA, ainsi que de inclusions de Amphore. Charbons .  | Sert d'appui à 3000                 | Équivalente à 3013 ; Équivalente à 3015 | Remplit 3002  |
| 3002  | Négative | Drain             | Drain<br>Creusement rectangulaire, profil en cuvette.   | Remplie par 3001                    | Équivalente à 3014                      |   |
| 3003  | Positive | Marre             | Comblement marre<br>limon brun, et avec de inclusions de TCA, ainsi que de inclusions de lithique. Charbons rares.  | Sert d'appui à 3000                 | Équivalente à 3031                      | Remplit 3004  |
| 3004  | Négative |                   | creusement marre  | Remplie par 3003 ; Remplie par 3031 | Égale à 3032                            |   |
| 3005  | Positive | Fossé 1           | comblement fossé 1<br><br>Couche 1 : limon argileux brun avec des inclusions de TCA et d'amphore.<br>Couche 2 : limon argilo-sableux brun moyennement gris avec des inclusions de TCA amphore et Faune.<br>Couche 3 : limon argilo-sableux brun foncé | Sert d'appui à 3000                 |   | Remplit 3006  |
| 3006  | Négative | Fossé 1           | Creusement fossé 1  | Remplie par 3005                    |   |   |
| 3007  | Positive | TP                | comblement TP (callage)<br>TP avec callage massif en calcaire dans l'angle sud-ouest. Pas de creusement-bloc seul   | Sert d'appui à 3000                 |   | Remplit 3008  |
| 3008  | Négative | Annulé            | creusement TP 3007<br>Creusement circulaire.  | Remplie par 3007                    |   |   |
| 3009  | Positive |                   | Epannage de mobilier ou sablière ?<br><br>limon mêlé de sable brun sombre noir.   | Sert d'appui à 3000                 | Équivalente à 3067 ; Équivalente à 3069 | Remplit 3010 ; S'appuie contre 3075 ; S'appuie contre 3078 ; S'appuie contre 3080 |
| 3010  | Négative |                   | Creusement d'une hypothétique sablière  | Remplie par 3009                    |   |   |

| N°_UF | UF_Type  | UF_Identification | UF_Description  | Strati_Anterieur                          | Strati_Contemporain                     | Strati_Posterieur  |
|-------|----------|-------------------|---|---|---|--|
| 3011  | Positive |                   | Comblement fosse<br><br>Sable jaune   | Sert d'appui à 3000                       |   | Remplit 3012   |
| 3012  | Négative |                   | Creusement fosse<br><br>Creusement circulaire, profil en cuvette.   | Remplie par 3011                          |   |  |
| 3013  | Positive |                   | Comblement (abandon drain)<br><br>limon, et avec de inclusions de TCA, ainsi que de inclusions de Amphore.  | Sert d'appui à 3000                       | Équivalente à 3001 ; Équivalente à 3015 |  |
| 3014  | Négative |                   | creusement drain  |   | Équivalente à 3002                      |  |
| 3015  | Positive |                   | Comblement drain limon brun avec inclusion de TCA et d'Amphores   | Sert d'appui à 3000                       | Équivalente à 3001 ; Équivalente à 3013 |  |
| 3016  | Négative | Annulé            | Creusement drain<br>ANNULE  |   |   |  |
| 3017  | Positive |                   | Epannage de mobilier en surface (LT)<br>limon mêlé de sable brun sombre.  | Sert d'appui à 3000                       | Équivalente à 3019                      | S'appuie contre 3021 ;<br>S'appuie contre 3073 ;<br>S'appuie contre 3074 |
| 3018  | Négative | Annulé            |   |   |   |  |
| 3019  | Positive |                   | Epannage de mobilier. Couche peu épaisse (inf. à 5cm). Emprise iitée à l'angle entre tranchée et surface.<br>limon mêlé de sable-argileux brun, et avec de inclusions de gravier. | Sert d'appui à 3000                       | Équivalente à 3017 ; Équivalente à 3073 | S'appuie contre 3021 ;<br>S'appuie contre 3071 ;<br>S'appuie contre 3073 |
| 3020  | Négative | Annulé            | Creusement sablière ?   |   |   |  |
| 3021  | Positive |                   | Comblement TP<br>sable brun, et avec de inclusions de gravier en aut de la coupe.   | Sert d'appui à 3017 ; Sert d'appui à 3019 |   | Remplit 3022   |
| 3022  | Négative |                   | Creusement TP en relation avec 3072 ?<br>Creusement circulaire, profil en cuvette.  | Remplie par 3021                          |   | Coupe 3071   |



| N°_UF | UF_Type  | UF_Identification | UF_Description   | Strati_Anterieur                    | Strati_Contemporain | Strati_Posterieur                   |
|-------|----------|-------------------|--|-------------------------------------|---------------------|-------------------------------------|
| 3023  | Positive |                   | Comblement d'une potentielle fosse de rejet à mobilier varié et divers. Aucune TCA à l'exception d'une à la surface Présence de plus en plus importante de charbon ainsi que de poches de cendre à l'interface avec la couche inférieure. Premier niveau de comblement de la structure.<br><br>sable mêlé de limon marron, et avec de inclusions de Amphore, ainsi que de inclusions de torchis, mais aussi de inclusions de galets. | Sert d'appui à 3000                 |                     | Remplit 3024 ; S'appuie contre 3077 |
| 3024  | Négative |                   | Creusement fosse (grande)  | Remplie par 3023 ; Remplie par 3077 |                     |                                     |
| 3025  | Positive | Drain             | Comblement drain<br><br>sable brun-jaune, et avec de inclusions de gravier.  | Sert d'appui à 3000                 |                     | Remplit 3026                        |
| 3026  | Négative | Drain             | Creusement drain.  | Remplie par 3025                    |                     |                                     |
| 3027  |          | Annulé            | Creusement rectangulaire, profil en cuvette.<br><br>Comblement TP ?  |                                     |                     | Remplit 3028                        |
| 3028  |          | Annulé            | ANNULE<br><br>Creusement TP ?  | Remplie par 3027                    |                     |                                     |
| 3029  | Positive |                   | Comblement fosse ? TP ? Structure fugace peu profonde.<br><br>limon mêlé de sable-argileux brun-jaune,   | Sert d'appui à 3000                 |                     | Remplit 3030                        |
| 3030  | Négative |                   | Comblement fosse ? TP ?<br>En relation avec drain/mairie   | Remplie par 3029                    |                     |                                     |
| 3031  | Positive |                   | Comblement fosse (marre)<br><br>limon brun, et avec de inclusions de TCA, ainsi que de inclusions de Amphore.  | Sert d'appui à 3000                 | Équivalente à 3003  | Remplit 3004 ; S'appuie contre 3061 |

| N°_UF | UF_Type  | UF_Identification | UF_Description   | Strati_Anterieur                          | Strati_Contemporain | Strati_Posterieur                      |
|-------|----------|-------------------|--|---|---------------------|--|
| 3032  | Négative | Annulé            | ANNULE<br>= 3004   |   | Égale à 3004        |  |
| 3033  | Positive |                   | Comblement TP<br>limon brun, et avec de inclusions de lithique.  | Sert d'appui à 3000 ; Sert d'appui à 3061 |                     | Remplit 3034                           |
| 3034  | Négative |                   | Creusement TP<br>Creusement circulaire.  | Remplie par 3033 ; Remplie par 3061       |                     |  |
| 3035  | Positive |                   | Comblement fossé 3<br><br>Séquence comblement unique, probablement rapide<br>limon mêlé de argile brun gris clair, et avec de inclusions de TCA, ainsi que de inclusions de moellons calcaires.          | Sert d'appui à 3000                       |                     | Coupe 3059 ; Coupe 3060 ; Remplit 3036 |
| 3036  | Négative |                   | Creusement fossé 3   | Remplie par 3035                          |                     |  |
| 3037  | Positive |                   | Comblement fossé/drain ?<br>limon mêlé de argile brun,   | Sert d'appui à 3000                       |                     | Remplit 3038                           |
| 3038  | Négative |                   | Creusement fossé/drain ?<br><br>Creusement rectangulaire, profil en V.   | Remplie par 3037                          |                     |  |
| 3039  | Positive |                   | Comblement fossé 2<br><br>Séquence comblement unique, probablement rapide<br>limon mêlé de argile brun gris clair, et avec de inclusions de TCA, Amphore, ainsi que de inclusions de moellons calcaires. | Sert d'appui à 3000                       |                     | Remplit 3040                           |
| 3040  | Négative |                   | Creusement fossé 2   | Remplie par 3039                          |                     |  |
| 3041  | Positive |                   | Comblement TP<br>argile mêlé de sable gris, compact  | Sert d'appui à 3000                       |                     | Remplit 3042                           |
| 3042  | Négative |                   | Creusement TP  | Remplie par 3041                          |                     |  |

| N°_UF | UF_Type  | UF_Identification | UF_Description  | Strati_Anterieur    | Strati_Contemporain | Strati_Posterieur                                 |
|-------|----------|-------------------|---|---------------------|---------------------|---|
| 3043  | Positive | Fossé 4           | Comblement fossé 4<br><br>Séquence comblement unique, probablement rapide limon mêlé de argile brun gris clair, et avec de inclusions de TCA, Amphore, ainsi que de inclusions de moellons calcaires. | Sert d'appui à 3000 |                     | Remplit 3044                                      |
| 3044  | Négative |                   | Creusement fossé 4  | Remplie par 3043    |                     |   |
| 3045  | Positive |                   | Comblement fosse ? TP<br><br>Structure peu marquée, incertaine. Limon mêlé de sable-argileux brun clair   | Sert d'appui à 3000 |                     | Remplit 3046                                      |
| 3046  | Négative |                   | Creusement fosse ? TP<br><br>Possible trou de piquet ou terrier dans le fond.<br>Creusement circulaire, profil en cuvette.  | Remplie par 3045    |                     |   |
| 3047  | Positive |                   | Comblement TP<br><br>limon mêlé de argile Gris-Sombre jaune.  | Sert d'appui à 3000 |                     | Remplit 3048                                      |
| 3048  | Négative |                   | Creusement TP.  | Remplie par 3047    |                     |   |
| 3049  | Positive |                   | Comblement TP (callage ou hérisson (massif fondation) circulaire en bloc calcaire). Limon brun foncé. Consistant grossier composé de nombreux blocs de calcaire.                                      | Sert d'appui à 3000 |                     | Remplit 3050                                      |
| 3050  | Négative |                   | Creusement TP (callage) /fondation?   | Remplie par 3049    |                     | Coupe 3067 ; Coupe 3069 ; Coupe 3075 ; Coupe 3076 |
| 3051  | Positive | Annulé            | Comblement TP.<br>ANNULE  |                     |                     | Remplit 3052                                      |
| 3052  | Négative | Annulé            | Creusement TP.<br>ANNULE  | Remplie par 3051    |                     |   |

| N°_UF | UF_Type  | UF_Identification | UF_Description   | Strati_Anterieur                             | Strati_Contemporain | Strati_Posterieur                      |
|-------|----------|-------------------|--|--|---------------------|--|
| 3053  | Positive | Annulé            | Comblement TP.<br>ANNULE   |  |                     | Remplit 3054                           |
| 3054  | Négative | Annulé            | Creusement TP.<br>ANNULE   | Remplie par 3053                             |                     |  |
| 3055  | Positive |                   | Comblement TP.<br>argile gris.   | Sert d'appui à 3000                          |                     | Remplit 3056                           |
| 3056  | Négative |                   | Creusement TP.<br>Localisé à côté du puit 3024.  | Remplie par 3055                             |                     |  |
| 3057  | Positive |                   | Comblement TP.<br>argile gris, compact.  | Sert d'appui à 3000                          |                     | Remplit 3058                           |
| 3058  | Négative |                   | Creusement TP.   | Remplie par 3057                             |                     |  |
| 3059  | Positive |                   | Comblement de ?<br>argile mêlé de limon brun.  | Coupée par 3035 ; Sert<br>d'appui à 3000     |                     | Remplit 3060                           |
| 3060  | Négative |                   | Creusement circulaire, profil en cuvette.  | Coupée par 3035 ; Rem-<br>plie par 3059      |                     | Fosse recoupée par<br>fossé 3          |
| 3061  | Positive |                   | Comblement/callage TP.<br>argile couleur marron orangé / rouille Présence de oxyde de fer. | Sert d'appui à 3000 ; Sert<br>d'appui à 3031 |                     | Remplit 3034 ; S'appuie<br>contre 3033 |
| 3062  | Négative |                   | Creusement de TP circulaire, profil en cuvette.  | Remplie par 3063                             |                     |  |

| N°_UF | UF_Type  | UF_Identification | UF_Description   | Strati_Anterieur                      | Strati_Contemporain                     | Strati_Posterieur  |
|-------|----------|-------------------|--|---------------------------------------|---|--|
| 3063  | Positive |                   | Comblement TP.<br><br>limon brun, et avec de inclusions de Amphore, ainsi que de inclusions de Céramique, mais aussi de inclusions de Faune. | Sert d'appui à 3000                   |   | Remplit 3062   |
| 3064  | Négative |                   | Creusement de TP (semi?)circulaire, profil en cuvette.   | Remplie par 3065                      |   |  |
| 3065  | Positive |                   | Comblement TP<br><br>limon brun, et avec de inclusions de Faune, ainsi que de inclusions de Céramique.                                       | Sert d'appui à 3000                   |   | Remplit 3064   |
| 3066  | Négative | Annulé            | Comblement TP<br>ANNULEE   |                                       |   |  |
| 3067  | Positive |                   | epandage de mobilier (LT) autour callage en pierre.<br><br>limon mêlé de sable brun sombre noir. forte densité de mobilier archéo            | Coupée par 3050 ; Sert d'appui à 3000 | Équivalente à 3009 ; Équivalente à 3069 | S'appuie contre 3075 ;<br>S'appuie contre 3078 ;<br>S'appuie contre 3080 |
| 3068  | Négative | Annulé            | TP<br>ANNULEE  |                                       |   |  |
| 3069  | Positive |                   | Epannage mobilier autour massif de pierre.<br><br>limon mêlé de sable brun sombre noir. forte densité de mobilier archéo                     | Coupée par 3050 ; Sert d'appui à 3000 | Équivalente à 3009 ; Équivalente à 3067 | S'appuie contre 3078 ;<br>S'appuie contre 3080                           |
| 3070  | Négative |                   | Sablère ? épannage ?<br><br>Creusement rectangulaire, profil en cuvette.   | Remplie par 3071                      |   |  |
| 3071  | Positive |                   | Comblement sablière.<br><br>limon mêlé de argile gris jaune,   | Coupée par 3022 ; Sert d'appui à 3019 |   | Remplit 3070   |

| N°_UF | UF_Type  | UF_Identification | UF_Description  | Strati_Anterieur  | Strati_Contemporain | Strati_Posterieur                   |
|-------|----------|-------------------|---|---|---------------------|-------------------------------------|
| 3072  | Négative |                   | Creusement TP.  | Remplie par 3073 ; Remplie par 3074                             |                     |                                     |
| 3073  | Positive |                   | Comblement supérieur du TP 3072.<br><br>sable gris jaune, et avec de inclusions de gravier. Charbons .        | Sert d'appui à 3000 ; Sert d'appui à 3017 ; Sert d'appui à 3019 | Équivalente à 3019  | Remplit 3072 ; S'appuie contre 3074 |
| 3074  | Positive |                   | Comblement inférieur TP 3072.<br><br>limon mêlé de sable brun sombre, et inclusion de charbons .              | Sert d'appui à 3017 ; Sert d'appui à 3073                       |                     | Remplit 3072                        |
| 3075  | Positive |                   | Comblement TP.<br><br>limon fin brun foncé noir, et hétérogène. Tâches orangées                               | Coupée par 3050 ; Sert d'appui à 3009 ; Sert d'appui à 3067     |                     | Remplit 3076                        |
| 3076  | Négative |                   | Creusement TP.  | Coupée par 3050 ; Remplie par 3075                              |                     |                                     |
| 3077  | Positive |                   | 2e comblement puit.<br><br>argile brun-jaune, compact et hétérogène. Charbons .<br><br>Fut enregistré en 3147 | Sert d'appui à 3023   |                     | Remplit 3024                        |
| 3078  | Positive |                   | Comblement TP.<br><br>argile mêlé de limon brun-gris.<br><br>Remplace 3101?                                   | Sert d'appui à 3009 ; Sert d'appui à 3067 ; Sert d'appui à 3069 |                     | Remplit 3079                        |



| N°_UF | UF_Type   | UF_Identification     | UF_Description  | Strati_Anterieur   | Strati_Contemporain | Strati_Posterieur  |
|-------|-----------|-----------------------|---|--|---------------------|--|
| 3079  | Négative  |                       | Creusement TP en limite de forêt de trou de piquet.   | Remplie par 3078   |                     |  |
| 3080  | Technique | Forêt Trou de piquets | Creusement circulaire, profil en cuvette.<br>unité réunissant un ensemble de trous de piquets   | Sert d'appui à 3009 ; Sert d'appui à 3067 ; Sert d'appui à 3069  |                     |  |
| 4000  | Technique | Décapage              | Remplace les UF 3075 à 3146.<br>Décapage secteur 4 - 200m <sup>2</sup> parcelle le Semard   |  |                     | S'appuie contre 4001 ; 4003 ; 4005 ; 4007 ; 4011 ; 4013 ; 4015 ; 4017 ; 4019 ; 4021 ; 4023 ; 4073 ; 4040 ; 4046 ; 4048 ; 4060 ; 4063 |
| 4001  | Positive  | Remblai               | Comblement supérieur de la fosse [4002], observé partiellement (extrémité nord seulement) en limite sud-est du chantier. Limon charbonneux brun foncé.  | Sert d'appui à 4000  |                     | Remplit 4002 ; S'appuie contre 4027 ; S'appuie contre 4028   |
| 4002  | Négative  | Fosse                 | Creusement fosse 4002. Observé en partie seulement, en limite de fouille sud-est (berme sud).   | Remplie par 4001 ; Remplie par 4027 ; Remplie par 4028 ; Remplie par 4038  |                     |  |
| 4003  | Positive  | Remblai               | Comblement supérieur du creusement 4004. Epais niveau de limon sableux brun/gris présentant des concentrations inégales de mobilier détritique. Distinction avec 4033 parfois mal perçue en partie nord.  | Sert d'appui à 4000  |                     | Remplit 4004 ; S'appuie contre 4025 ; S'appuie contre 4035 ; S'appuie contre 4041 ; S'appuie contre 4079 ; Sur 4026 ; Sur 4034       |
| 4004  | Négative  | Creusement            | Creusement linéaire d'orientation N-S d'environ 7.50m de longueur pour 1.7m de largeur, profond d'environ 0.80m. Parois quasi-verticales et fond plat, légèrement cuvelées par endroit. Fondation bâtiment ?<br>Semblable au creusement parallèle 4020 situé à 8.80m à l'ouest. | Remplie par 4003 ; Remplie par 4034 ; Remplie par 4035 ; Remplie par 4041 ; Remplie par 4074 ; Remplie par 4075 ; Remplie par 4079 |                     | Coupe 4015 ; Coupe 4016 ; Coupe 4033 ; Coupe 4076 ; Coupe 4077   |

| N°_UF | UF_Type  | UF_Identification | UF_Description  | Strati_Anterieur    | Strati_Contemporain               | Strati_Posterieur                              |
|-------|----------|-------------------|---|---------------------|-----------------------------------|--|
| 4005  | Positive | Remblai           | Comblement du TP 4006. Limon sableux jaune gris se distinguant difficilement du sédiment environnant. Mobilier rare.  | Sert d'appui à 4000 |                                   | Remplit 4006                                   |
| 4006  | Négative | TP                | Creusement circulaire à bords quasi-verticaux et fond quasi-plat. Profil légèrement cuvelé. TP ?  | Remplie par 4005    |                                   |  |
| 4007  | Positive | Remblai           | Comblement sablière 4008. Limon sableux jaune gris. Inclusion très rare de mobilier. Faible lisibilité des limites de structures.   | Sert d'appui à 4000 |                                   | Remplit 4008                                   |
| 4008  | Négative | Sablière          | Creusement lingligne d'orientation est-ouest observé seulement partiellement (fuit sous la limite de fouille orientale) sur une longueur d'1.90m. Il accuse une largeur de 0.50m et un profil cuvelé, pour une profondeur de seulement 0.15m environ. | Remplie par 4007    |                                   |  |
| 4009  | Annulée  | Annulé            |   |                     |                                   |  |
| 4010  | Annulée  | Annulé            |   |                     |                                   |  |
| 4011  | Positive | Remblai           | Comblement du TP 4012. Limon sableux jaune gris, se distinguant peu du sédiment environnant   | Sert d'appui à 4000 |                                   | Remplit 4012                                   |
| 4012  | Négative | TP                | Creusement circulaire d'environ 0.50m de diamètre, peu profond (env. 0.10m), présentant des parois quasi-verticales et un fond plat. TP ?   | Remplie par 4011    |                                   |  |
| 4013  | Positive | Remblai           | Comblement supérieur de 4014. Niveau de limon sableux brun présentant de nombreuses inclusions de nodules de torchis rubefié (calibre moyen 2-4 cm - souvent trop friables pour être prélevés). Epaisseur variable entre 0.15 et 0.50 m environ       | Sert d'appui à 4000 | Égale à 4046 ; Équivalente à 4040 | Remplit 4014 ; S'appuie contre 4071 ; Sur 4052 |

| N°_UF | UF_Type  | UF_Identification | UF_Description   | Strati_Anterieur  | Strati_Contemporain   | Strati_Posterieur                              |
|-------|----------|-------------------|--|---|---|--|
| 4014  | Négative | Creusement        | Creusement linéaire d'orientation SO/NE observé en partie nord du secteur d'une largeur d'environ 1.50m à l'ouverture. Parois quasi verticales en partie haute, profil en auge en partie inférieure. Long d'environ 8.80m. Accuse une extension à son extrémité nord-est dont l'orientation est légèrement divergente avec le reste. Participe du même geste de creusement que les structures [4054] et [4072].<br>Forme la limite nord d'un rectangle fossoyé formé par les structures [4016], [4054] et [4076]. Fondation fossoyée ? | Coupée par 4020 ; Remplie par 4013 ; Remplie par 4040 ; Remplie par 4046 ; Remplie par 4052 ; Remplie par 4069 ; Remplie par 4071 | Équivalente à 4016 ; Équivalente à 4054 ; Équivalente à 4072 ; Équivalente à 4076 |  |
| 4015  | Positive | Remblai           | Comblement supérieur du creusement 4016. Niveau assez épais de limon argileux gris jaune présentant des inclusions fréquentes de faunes. Remblai hétérogène présentant des constituants différenciés, non distingués.  | Coupée par 4004 ; Sert d'appui à 4000   | Égale à 4017 ; Égale à 4048   | Remplit 4016 ; S'appuie contre 4059 ; Sur 4065 |
| 4016  | Négative | Creusement        | Creusement linéaire d'orientation SO/NE observé en partie sud du secteur, d'une largeur moyenne d'environ 1.20m à l'ouverture. Parois quasi verticales en partie haute, profil en auge en partie inférieure. Long d'environ 7.20m. Participe du même geste de creusement que la structure [4072]. Forme la limite méridionale d'un rectangle fossoyé formé par les structures [4014], [4054] et [4076]. Fondation bâtiment état 1 ? Recoupé en partie orientale par le creusement de la structure [4004].                              | Coupée par 4004 ; Remplie par 4015 ; Remplie par 4017 ; Remplie par 4059 ; Remplie par 4065                                       | Équivalente à 4014 ; Équivalente à 4072 ; Équivalente à 4076                      |  |
| 4017  | Positive | Remblai           | Tâche circulaire dans le comblement superficiel de [4016]. D'abord distingué comme trou de poteau (creusement annulé dans la fouille). Comblement identique à [4015]   | Sert d'appui à 4000   | Égale à 4015  | Remplit 4016                                   |
| 4018  | Annulée  | Annulé            |  |   |   |  |

| N°_UF | UF_Type   | UF_Identification | UF_Description  | Strati_Anterieur   | Strati_Contemporain | Strati_Posterieur  |
|-------|-----------|-------------------|---|--|---------------------|--|
| 4019  | Technique | Remblai           | Comblement superficiel de la structure [4020]. Distinction stratigraphique mauvaise avec les comblements supérieurs des structures [4037] et [4054]. Remblai hétérogène de limon argileux aux teintes foncées.  | Sert d'appui à 4000  |                     | Remplit 4020 ; S'appuie contre 4029 ; Sur 4030 ; Sur 4032 ; Sur 4036 |
| 4020  | Négative  | Creusement        | Creusement linéaire d'orientation N-S d'environ 6.50m de longueur pour 1.7m de largeur, profond d'environ 0.80m. Parois quasi-verticales et fond plat, légèrement cuvelées par endroit. Fondation bâtiment ?<br><br>Semblable au creusement parallèle 4003 situé à 8.80m à l'est. | Remplie par 4019 ; Remplie par 4029 ; Remplie par 4031 ; Remplie par 4032 ; Remplie par 4044 ; Remplie par 4047 ; Remplie par 4049 ; Remplie par 4050 ; Remplie par 4053 ; Remplie par 4058 ; Remplie par 4066 ; Remplie par 4070 ; Remplie par 4080 |                     | Coupe 4014 ; Coupe 4072  |
| 4021  | Positive  | Remblai           | Comblement de la fosse [4022]. Remblai hétérogène de limon brun gris. Litage peu marqué pouvant traduire un remplissage en deux temps, non distingué à la fouille.  | Sert d'appui à 4000  | Égale à 4063        | Remplit 4022   |
| 4022  | Négative  | Creusement        | Creusement pseudo-circulaire observé partiellement en limite de fouille sud-ouest. Parois évasées. Diamètre supposé d'environ 1.80m. Fosse indet.   | Remplie par 4021 ; Remplie par 4063  |                     | Coupe 4053   |
| 4023  | Positive  | Remblai           | Comblement supérieur de la fosse 4024, observé partiellement en limite de fouille nord-ouest (berme nord). Limon gris noir hétérogène présentant de nombreuses inclusions de paillettes de charbon  | Sert d'appui à 4000  |                     | Remplit 4024 ; S'appuie contre 4064                                  |
| 4024  | Négative  | Fosse             | Fosse pseudo circulaire observée partiellement en limite de fouille nord-ouest. Profil en auge présentant en partie supérieure des parois quasi-verticales.   | Remplie par 4023 ; Remplie par 4064  |                     | Coupe 4055   |

| N°_UF | UF_Type  | UF_Identification | UF_Description   | Strati_Anterieur                          | Strati_Contemporain         | Strati_Posterieur  |
|-------|----------|-------------------|--|---|-----------------------------|--|
| 4025  | Positive | Démolition        | Tâche charbonneuse circulaire d'environ 0.03m de diamètre observée en surface de [4035]. Complètement trou de piquet [4026] ?  | Sert d'appui à 4003                       |                             | Remplit 4026   |
| 4026  | Négative | Trou de piquet    | Relative à a trace cendreuse circulaire, d'un diamètre inférieur à 5 cm, observé dans le comblement de la structure [4004], à l'interface entre [4003] et [4035]. Trou de piquet ?   | Remplie par 4025 ; Sous 4003              |                             | Coupe 4035   |
| 4027  | Positive | Remblai           | Comblement médian de la structure fossoyée [4002]. Limon argileux jaune proche du sédiment environnant. Remblai ou effondrement de parois?   | Sert d'appui à 4001                       |                             | Remplit 4002 ; S'appuie contre 4028                        |
| 4028  | Positive | Remblai           | Comblement de la structure fossoyée [4002], observé en partie inférieure. Limon argileux gris sombre parsemé de pellicule de charbon.  | Sert d'appui à 4001 ; Sert d'appui à 4027 |                             | Remplit 4002 ; S'appuie contre 4038                        |
| 4029  | Positive | Remblai           | Comblement du creusement [4020] sous le remblai superficiel [4019]. Limon argileux brun foncé - noir.  | Sert d'appui à 4019                       | Égale à 4032 ; Égale à 4053 | Remplit 4020 ; S'appuie contre 4031                        |
| 4030  | Positive | Remblai           | Concentration de nodules de torchis rubéfié observé sans ordre en partie superficielle du creusement [4056], sur [4057]  | Sous 4019                                 |                             | Remplit 4056 ; Sur 4057                                    |
| 4031  | Positive | Remblai           | Fragments de paroi en torchis rubéfié observé par plaques, en lambeaux disjoints, dans le comblement médian du creusement 4020. Présente un pendage vers la partie centrale du creusement. Rejet de parois en torchis, observé en alternance avec une fine couche de cendre [4047] témoignant de l'incendie du clayonnage. | Sert d'appui à 4029 ; Sert d'appui à 4032 |                             | Remplit 4020 ; S'appuie contre 4044 ; S'appuie contre 4047 |
| 4032  | Positive | Remblai           | Comblement intermédiaire de la structure [4020]. Limon argileux gris noi couvrant les plaques d'argile rubéfiées [4031]  | Sous 4019                                 | Égale à 4029                | Remplit 4020 ; S'appuie contre 4031                        |
| 4033  | Positive | Remblai           | Comblement de la structure fossoyée [4076]. Limon argileux jaune brun présentant des inclusions de mobilier éparçés et en faible quantité.   | Coupée par 4004                           |                             | Remplit 4076 ; Sur 4051 ; Sur 4077                         |

| N°_UF | UF_Type  | UF_Identification | UF_Description  | Strati_Antérieur  | Strati_Contemporain | Strati_Posterieur   |
|-------|----------|-------------------|---|---|---------------------|---|
| 4034  | Positive | Remblai           | Comblement médian de la structure fossoyée [4004]. Observée uniquement en partie méridionale. Fine couche de limon charbonneux observée à l'interface entre le comblement supérieur [4003] et celui inférieur [4035]. | Sous 4003   |                     | Remplit 4004 ; S'appuie contre 4035 ; S'appuie contre 4041 ; S'appuie contre 4079 |
| 4035  | Positive | Remblai           | Remblai inférieur de la structure [4004]. Limon argileux blanc parcé-mé de pellicule d'argile jaune vive, observé au fond de la structure et contre les parois de la structure.                                       | Coupée par 4026 ; Sert d'appui à 4003 ; Sert d'appui à 4034     | Égale à 4041        | Remplit 4004  |
| 4036  | Positive | Remblai           | Comblement supérieur de la fosse [4037]. Limon argileux brun foncé présentant des inclusions de nodules d'argile jaune vif.   | Sous 4019   |                     | S'appuie contre 4043  |
| 4037  | Négative | Fosse             | Fosse ovulaire observée dans l'angle nord-ouest du secteur 2. Profil en cuvette   | Remplie par 4043  |                     | Coupe 4054 ; Coupe 4055 ; Coupe 4056 ; Coupe 4057                                 |
| 4038  | Positive | Remblai           | Comblement inférieur de la fosse [4002]. Limon argileux jaune présentant de rares inclusions de micro-charbons et des restes éparpillés de faune.   | Sert d'appui à 4028   |                     | Remplit 4002  |
| 4039  |          | Annulé            |   |   |                     |   |
| 4040  | Positive | Remblai           | Comblement superficiel de l'extrémité occidentale de 4014. Identique à 4013   | Sous 4000   | Équivalente à 4013  | Remplit 4014 ; S'appuie contre 4071   |
| 4041  | Positive | Remblai           | Comblement inférieur de la structure [4004]. Limon argileux blanc parsemé d'inclusions de nodules d'argile jaune vif.   | Sert d'appui à 4003 ; Sert d'appui à 4034 ; Sert d'appui à 4079 | Égale à 4035        | Remplit 4004 ; Sur 4074 ; Sur 4075  |
| 4042  |          | Annulé            |   |   |                     |   |
| 4043  | Positive | Remblai           | Comblement inférieur de la fosse [4037], sous [4036]. Limon argileux gris-noir présentant en surface une importante concentration de mobilier.  | Sert d'appui à 4036   |                     | Remplit 4037  |
| 4044  | Positive | Remblai           | Comblement intermédiaire de la structure [4020]. Remblai de limon argileux hétérogène observé sous les rejets de parois en torchis [4031-4047].   | Sert d'appui à 4031   |                     | Remplit 4020 ; S'appuie contre 4049   |
| 4045  |          | Annulé            |   |   |                     |   |



| N°_UF | UF_Type   | UF_Identification | UF_Description   | Strati_Anterieur                   | Strati_Contemporain  | Strati_Posterieur   |
|-------|-----------|-------------------|--|------------------------------------|--|---|
| 4046  | Technique | Remblai           | Passé artificielle en surface du tronçon septentrionale de 4014. Égale à 4013  | Sous 4000                          | Égale à 4013   | Remplit 4014  |
| 4047  | Positive  | Démolition        | Comblement intermédiaire de la structure [4020]. Fine interface de cendre, gris claire, observée sous les plaques de torchi rubéfié [4031]. Interprété comme témoin de la destruction par le feu des clayonnages de la paroi en adobe rejetée dans le comblement de [4020] | Sert d'appui à 4031                |  | Remplit 4020  |
| 4048  | Positive  | Remblai           | Comblement de la structure [4016]. Égale à [4015], dans la partie nord de la structure. Passe artificielle supérieure.   | Sous 4000                          | Égale à 4015 ; Égale à 4065                                  | Sur 4065  |
| 4049  | Positive  | Remblai           | Comblement intermédiaire de la structure [4020]. Remblai à sédiment limono-argileux fortement chargé en charbon.   | Sert d'appui à 4044                |  | Remplit 4020 ; S'appuie contre 4050 ; S'appuie contre 4066 ; Sur 4058 |
| 4050  | Positive  | Remblai           | Comblement inférieur de la structure [4020]. Limon fortement charbonneux accolé au parties inférieurs des parois du creusement [4020]  | Sert d'appui à 4049                | Égale à 4066   | Remplit 4020  |
| 4051  | Positive  | Remblai           | Limon argileux hétérogène brun jaune présentant des inclusions de nodules d'argile orangé. Observé de manière localisé, contre la parois nord-est de [4076]  | Sous 4033                          |  | Remplit 4076 ; Sur 4077   |
| 4052  | Positive  | Remblai           | Couche de torchis rubéfié observé de manière localisée contre la paroi sud de [4014].  | Sous 4013                          |  | Remplit 4014 ; S'appuie contre 4071                                   |
| 4053  | Positive  | Remblai           | Comblement superficiel de la structure [4020], dans son extrémité méridionale. Égale à [4029]  | Coupée par 4022                    | Égale à 4029   | Remplit 4020  |
| 4054  | Négative  | Sablère           | Creusement longiligne d'orientation sud-est/nord-est. Equivalent de [4014] et [4072]. Sablière/ Drain état 1?  | Coupée par 4037 ; Remplie par 4055 | Équivalente à 4014 ; Équivalente à 4056 ; Équivalente à 4072 |   |
| 4055  | Positive  | Remblai           | Comblement de la structure [4054] limon argileux hétérogène brun jaune.  | Coupée par 4024 ; Coupée par 4037  | Égale à 4057   | Remplit 4054  |

| N°_UF | UF_Type   | UF_Identification | UF_Description   | Strati_Anterieur   | Strati_Contemporain               | Strati_Posterieur                   |
|-------|-----------|-------------------|--|--|-----------------------------------|-------------------------------------|
| 4056  | Négative  | Creusement        | Creusement longiligne d'orientation sud-est/nord-ouest, Continuité de [4054] au nord de la fosse [4037].   | Coupée par 4037 ; Remplie par 4030 ; Remplie par 4062 ; Remplie par 4078 | Équivalente à 4054                |                                     |
| 4057  | Positive  | Remblai           | Comblement principal de la structure longiforme [4056]. Remblai de limon argileux brun jaune.  | Coupée par 4037 ; Sous 4030  | Égale à 4055                      | S'appuie contre 4078 ; Sur 4062     |
| 4058  | Positive  | Remblai           | Niveau de torchis et de charbon observé sans ordre à l'extrémité nord de la structure [4020]. Remblai  | Sous 4049  | Équivalente à 4066                | Remplit 4020 ; Sur 4070             |
| 4059  | Positive  | Remblai           | Comblement de la structure [4016] en partie inférieure. Egale à 4065.  | Sert d'appui à 4015  | Égale à 4065                      | Remplit 4016                        |
| 4060  | Technique | Remblai           | Nettoyage de surface de [4072]   | Sous 4000  | Égale à 4073                      | Remplit 4072                        |
| 4061  | Positive  | Remblai           | Égale à 4013   |  | Égale à 4013                      |                                     |
| 4062  | Positive  | Remblai           | Comblement inférieur de la structure [4056], sous [4057]. Couche localisée, peu épaisse, de sable blanc.   | Sous 4057  | Équivalente à 4078                | Remplit 4056                        |
| 4063  | Positive  | Remblai           | Comblement de la fosse [4022]. Egale à [4021] dans la partie est de la structure. Limon sableux homogène brun jaune.   | Sous 4000  | Égale à 4021                      | Remplit 4022                        |
| 4064  | Positive  | Remblai           | Comblement inférieur de la fosse [4024], observée partiellement en limite de fouille nord-orientale.   | Sert d'appui à 4023  |                                   | Remplit 4024                        |
| 4065  | Positive  | Remblai           | Comblement de la structure [4016] en partie inférieure. Egale à [4059].  | Sous 4015 ; Sous 4048  | Égale à 4048 ; Égale à 4059       | Remplit 4016                        |
| 4066  | Positive  | Remblai           | Comblement inférieur de la structure [4020]. Niveau de limon fortement charbonneux appuyé contre les parois du creusement, en partie inférieure.                 | Sert d'appui à 4049  | Égale à 4050 ; Équivalente à 4058 | Remplit 4020 ; S'appuie contre 4080 |
| 4067  |           | Annulé            |  |  |                                   |                                     |
| 4068  |           | Annulé            |  |  |                                   |                                     |
| 4069  | Positive  | Remblai           | Comblement inférieur de la structure [4014]. Niveau peu épais de sable fin présentant en partie supérieure une concentration systématique de nodules de charbon. | Sous 4071  |                                   | Remplit 4014                        |

| N°_UF | UF_Type  | UF_Identification | UF_Description   | Strati_Anterieur   | Strati_Contemporain  | Strati_Posterieur       |
|-------|----------|-------------------|--|--|--|-------------------------|
| 4070  | Positive | Remblai           | Comblement inférieur de la structure. Limon sableux beige présentant des inclusions fréquentes de nodules d'agiles jaune vif, observé contre la parois de la structure [4020].   | Sous 4058  |  | Remplit 4020            |
| 4071  | Positive | Remblai           | Comblement médian de la structure [4014] sous le remblai supérieur [4013]. Limon argileux brun jaune   | Sert d'appui à 4013 ; Sert d'appui à 4040 ; Sert d'appui à 4052          |  | Remplit 4014 ; Sur 4069 |
| 4072  | Négative | Creusement        | Creusement longiligne observant un profil en cuvette. Orientation sud-est/nord. Retour de [4016]   | Coupée par 4020 ; Remplie par 4060 ; Remplie par 4073                    | Équivalente à 4014 ; Équivalente à 4016 ; Équivalente à 4054 |                         |
| 4073  | Positive | Remblai           | Comblement du creusement [4072]. Limon argileux jaune brun ne présentant que peu de mobilier fragmenté, principalement en partie inférieure.   | Sert d'appui à 4000  | Égale à 4060 ; Équivalente à 4080                            | Remplit 4072            |
| 4074  | Positive | Remblai           | Fine trace circulaire, d'un diamètre d'environ 4cm observé au fond de la structure 4004, en partie nord-ouest. Reste tenu d'un trou de piquet ?  | Sous 4041  |  | Remplit 4004            |
| 4075  | Positive | Démolition        | Fine trace longiligne d'argile grise, longue d'environ 50cm et large de seulement 3cm observé au fond de la structure 4004.  | Sous 4041  |  | Remplit 4004            |
| 4076  | Négative | Creusement        | Creusement d'orientation NO-SE observé sur une longueur de 3m pour une largeur de 1.6m environ. Parois quasi-verticales en partie supérieur et fond en auge présentant, à son extrémité nord un pen-sage vers le sud. Recoupé en partie méridionale par le creusement de la structure [4004]. Angle nord-est du bâtiment rectangulaire d'état 1. | Coupée par 4004 ; Remplie par 4033 ; Remplie par 4051 ; Remplie par 4077 | Équivalente à 4014 ; Équivalente à 4016                      |                         |
| 4077  | Positive | Remblai           | Comblement inférieur de la structure [4076] rattachée à l'état 1. Limon argileux jaune brun présentant des inclusions de mobilier éparses  | Coupée par 4004 ; Sous 4033 ; Sous 4051                                  |  | Remplit 4076            |

| N°_UF | UF_Type  | UF_Identification | UF_Description   | Strati_Anterieur                          | Strati_Contemporain | Strati_Posterieur                   |
|-------|----------|-------------------|--|---|---------------------|-------------------------------------|
| 4078  | Positive | Remblai           | Comblement inférieur de la structure [4056], sous [4057]. Sable fin présentant des très fins interfaces de peroxydation.                             | Sert d'appui à 4057                       | Équivalente à 4062  | Remplit 4056                        |
| 4079  | Positive | Remblai           | Interface de tochis rubéfié observée de manière localisée dans le comblement de [4004].  | Sert d'appui à 4003 ; Sert d'appui à 4034 |                     | Remplit 4004 ; S'appuie contre 4041 |
| 4080  | Positive | Remblai           | Limon argileux jaune proche du sédiment environnant, observé sur une faible épaisseur au fond du creusement 4020. Lessivage des parois du creusement | Sert d'appui à 4066                       | Équivalente à 4073  | Remplit 4020                        |

ANNEXE 4- LISTING DES RELEVÉS (2022)

| N°_minute | Support              | Sujet_Liste   | Auteur            | Date      |
|-----------|----------------------|---|-------------------|-----------|
| Min_2_01  | Calque millimétré A3 | UF.2009; UF 2010 (Coupe et plan ; 1:20)   | Adrien Roger      | 7/20/2022 |
| Min_2_02  | Calque millimétré A3 | UF.2011; UF 2012; UF 2015 (Plan ; 1:20)   | Etienne Gauthier  | 7/20/2022 |
| Min_2_03  | Calque millimétré A3 | UF.2001; UF 2002 (Coupe et plan ; 1:20)   | Adrien Roger      | 7/20/2022 |
| Min_2_04  | Calque millimétré A3 | UF.2005; UF 2006 (Coupe et plan ; 1:20)   | Etienne Gauthier  | 7/20/2022 |
| Min_2_05  | Calque millimétré A3 | UF.2003; UF 2004 (Coupe et plan ; 1:20)   | Vincent Franchini | 7/20/2022 |
| Min_2_06  | Calque millimétré A3 | UF.2007; UF 2008 (Plan ; 1:20)  | Vincent Franchini | 7/20/2022 |
| Min_2_07  | Calque millimétré A3 | UF 2016 (Coupe ; 1:20)  | Adrien Roger      | 7/20/2022 |
| Min_2_08  | Calque millimétré A3 | UF.2007; UF 2008; UF 2009. UF 2010; UF 2011; UF 2012;<br>UF 2015; UF 2016 (Coupe ; 1:20)  | Vincent Franchini | 7/20/2022 |
| Min_2_09  | Calque millimétré A3 | UF 2016 (Coupe ; 1:20)  | Vincent Franchini | 7/20/2022 |
| Min.3_01  | Calque millimétré A3 | UF.3007 (Coupe ; 1:20) ; UF.3008 (Coupe ; 1:20)   | Mathilde Waret    | 7/22/2022 |
| Min.3_02  | Calque millimétré A3 | UF.3001 (Coupe ; 1:20) ; UF.3002 (Coupe ; 1:20) ;<br>UF.3011 (Coupe ; 1:20) ; UF.3012 (Coupe ; 1:20) ;<br>UF.3035 (Coupe ; 1:20) ; UF.3036 (Coupe ; 1:20) ;<br>UF.3039 (Coupe ; 1:20) ; UF.3040 (Coupe ; 1:20) ;<br>UF.3044 (Coupe ; 1:20) ; UF.3000 (Coupe ; 1:20) | Matthieu Muller   | 7/22/2022 |
| Min.3_03  | Calque millimétré A3 | UF.3013 (Coupe ; 1:20)  | Pierre Barral     | 8/3/2022  |
| Min.3_04  | Calque millimétré A3 | UF.3003 (Coupe ; 1:20) ; UF.3004 (Coupe ; 1:20)   | Vincent Franchini | 8/3/2022  |
| Min.3_05  | Calque millimétré A3 | UF.3072 (Plan + coupe ; 1:20) ; UF.3073 (Plan + coupe<br>; 1:20)  | Maxime Dard       | 8/3/2022  |
| Min.3_06  | Calque millimétré A3 | UF.3003 (Coupe ; 1:20) ; UF.3004 (Coupe ; 1:20)   | Matthieu Muller   | 8/3/2022  |
| Min.3_07  | Calque millimétré A3 | UF.3003 (Coupe ; 1:20) ; UF.3004 (Coupe ; 1:20)   | Vincent Franchini | 8/3/2022  |
| Min.3_08  | Calque millimétré A3 | UF.3003 (Coupe ; 1:20) ; UF.3004 (Coupe ; 1:20)   | Vincent Franchini | 8/3/2022  |
| Min.3_09  | Calque millimétré A3 | UF.3080 (Plan ; 1:20)   | Matthieu Muller   | 8/4/2022  |
| Min.3_10  | Calque millimétré A3 | UF.3003 (Coupe ; 1:20) ; UF.3004 (Coupe ; 1:20)   | Pierre Barral     | 8/4/2022  |
| Min.3_11  | Calque millimétré A3 | UF.3025 (Coupe ; 1:20) ; UF.3026 (Coupe ; 1:20)   | Alice Pons        | 8/4/2022  |
| Min.3_12  | Calque millimétré A3 | UF.3025 (Coupe ; 1:20) ; UF.3026 (Coupe ; 1:20)   | Alice Pons        | 8/4/2022  |
| Min.3_13  | Calque millimétré A3 | UF.3049 (Plan + coupe ; 1:20) ; UF.3050 (Plan + coupe<br>; 1:20)  | Pierre Barral     | 8/4/2022  |
| Min.3_14  | Calque millimétré A3 | UF.3023 (Plan + coupe ; 1:20) ; UF.3024 (Plan + coupe ;<br>1:20) ; UF.3077 (Plan + coupe ; 1:20)  | Etienne Gauthier  | 8/6/2022  |
| Min.3_15  | Calque millimétré A3 | UF.3005 (Coupe ; 1:20) ; UF.3006 (Coupe ; 1:20)   | Alfred Tatre      | 8/6/2022  |
| Min.3_16  | Calque millimétré A3 | UF.3012 (Plan + coupe ; 1:20) ; UF.3011 (Plan + coupe<br>; 1:20)  | Alice Pons        | 8/8/2022  |
| Min.3_17  | Calque millimétré A3 | UF.3055 (Plan + coupe ; 1:20) ; UF.3056 (Plan + coupe<br>; 1:20)  | Etienne Gauthier  | 8/8/2022  |
| Min.3_18  | Calque millimétré A3 | UF.3033 (Plan + coupe ; 1:20) ; UF.3034 (Plan + coupe ;<br>1:20) ; UF.3061 (Plan + coupe ; 1:20)  | Mathilde Waret    | 8/8/2022  |
| Min.3_19  | Calque millimétré A3 | UF.3045 (Plan + coupe ; 1:20) ; UF.3046 (Plan + coupe<br>; 1:20)  | Mathilde Waret    | 8/8/2022  |
| Min.3_20  | Calque millimétré A3 | UF.3029 (Plan + coupe ; 1:20) ; UF.3030 (Plan + coupe<br>; 1:20)  | Pierre Barral     | 8/8/2022  |
| Min.3_21  | Calque millimétré A3 | UF.3062 (Plan + coupe ; 1:20) ; UF.3063 (Plan + coupe<br>; 1:20)  | Vincent Franchini | 8/9/2022  |
| Min.3_22  | Calque millimétré A3 | UF.3041 (Plan + coupe ; 1:20) ; UF.3042 (Plan + coupe<br>; 1:20)  | Etienne Gauthier  | 8/9/2022  |

ANNEXE 4 - LISTING DES RELEVÉS (2022)

| N°_minute | Support              | Sujet_Liste   | Auteur            | Date      |
|-----------|----------------------|---|-------------------|-----------|
| Min.3_23  | Calque millimétré A3 | UF.3021 (Plan + coupe ; 1:20) ; UF.3022 (Plan + coupe ; 1:20) ; UF.3019 (Coupe ; 1:20)  | Alice Pons        | 8/9/2022  |
| Min.3_24  | Calque millimétré A3 | UF.3064 (Plan + coupe ; 1:20) ; UF.3065 (Plan + coupe ; 1:20)   | Mathilde Waret    | 8/9/2022  |
| Min.3_25  | Calque millimétré A3 | UF.3075 (Coupe ; 1:20) ; UF.3076 (Coupe ; 1:20)   | Mathilde Waret    | 8/9/2022  |
| Min.3_26  | Calque millimétré A3 | UF.3057 (Plan + coupe ; 1:20) ; UF.3058 (Plan + coupe ; 1:20)   | Etienne Gauthier  | 8/9/2022  |
| Min.3_27  | Calque millimétré A3 | UF.3009 (Coupe ; 1:20) ; UF.3010 (Coupe ; 1:20)   | Maxime Dard       | 8/9/2022  |
| Min.3_28  | Calque A3            | UF.3040 (Coupe ; 1:20) ; UF.3039 (Coupe ; 1:20) ; UF.3035 (Coupe ; 1:20) ; UF.3036 (Coupe ; 1:20) ; UF.3043 (Coupe ; 1:20) ; UF.3044 (Coupe ; 1:20) ; UF.3012 (Coupe ; 1:20) ; UF.3011 (Coupe ; 1:20) ; UF.3001 (Coupe ; 1:20) ; UF.3002 (Coupe ; 1:20) | Matthieu Muller   | 8/9/2022  |
| Min.3_29  | Calque millimétré A3 | UF.3043 (Coupe ; 1:20) ; UF.3044 (Coupe ; 1:20)   | Savinien Py       | 8/9/2022  |
| Min.3_3_  | Calque millimétré A3 | UF.3048 (Plan + coupe ; 1:20) ; UF.3047 (Plan + coupe ; 1:20)   | Pierre Dehan      | 8/9/2022  |
| Min.3_31  | Calque millimétré A3 | UF.3070 (Coupe ; 1:20) ; UF.3071 (Coupe ; 1:20)   | Pierre Dehan      | 8/9/2022  |
| Min.3_32  | Calque millimétré A3 | UF.3039 (Coupe ; 1:20) ; UF.3034 (Coupe ; 1:20) ; UF.3040 (Coupe ; 1:20) ; UF.3035 (Coupe ; 1:20)   | Savinien Py       | 8/9/2022  |
| Min.3_33  | Calque millimétré A3 | UF.3078 (Coupe ; 1:20) ; UF.3079 (Coupe ; 1:20)   | Maxime Dard       | 8/9/2022  |
| Min.3_34  | Calque millimétré A3 | UF.3037 (Coupe ; 1:20) ; UF.3038 (Coupe ; 1:20)   | Alfred Tatre      | 8/9/2022  |
| Min.3_35  | Calque A3            | UF.3044 (Coupe ; 1:20) ; UF.3043 (Coupe ; 1:20) ; UF.3035 (Coupe ; 1:20) ; UF.3036 (Coupe ; 1:20) ; UF.3039 (Coupe ; 1:20) ; UF.3040 (Coupe ; 1:20) ; UF.3006 (Coupe ; 1:20) ; UF.3005 (Coupe ; 1:20) ; UF.3037 (Coupe ; 1:20) ; UF.3038 (Coupe ; 1:20) | Vincent Franchini | 8/9/2022  |
| Min.4_01  | Millimétré A3        | UF.4007 (Plan + coupe ; 1:20) ; UF.4008 (Plan + coupe ; 1:20)   | Savinien Py       | 7/26/2022 |
| Min.4_02  | Millimétré A3        | UF.4003 (Plan + coupe ; 1:20) ; UF.4004 (Plan + coupe ; 1:20) ; UF.4034 (Plan + coupe ; 1:20) ; UF.4041 (Plan + coupe ; 1:20)   | Apolline Lambert  | 7/27/2022 |
| Min.4_03  | Millimétré A3        | UF.4011 (Plan + coupe ; 1:20) ; UF.4012 (Plan + coupe ; 1:20)   | Lou-Ann Stabile   | 7/27/2022 |
| Min.4_04  | Millimétré A3        | UF.4005 (Plan + coupe ; 1:20) ; UF.4006 (Plan + coupe ; 1:20)   | Savinien Py       | 7/28/2022 |
| Min.4_05  | Millimétré A3        | UF.4001 (Plan + coupe ; 1:20) ; UF.4002 (Plan + coupe ; 1:20) ; UF.4027 (Plan + coupe ; 1:20) ; UF.4028 (Plan + coupe ; 1:20) ; UF.4038 (Plan + coupe ; 1:20)   | Morgane Guillot   | 7/29/2022 |
| Min.4_06  | Millimétré A3        | UF.4015 (Plan ; 1:20) ; UF.4016 (Plan ; 1:20) ; UF.4017 (Plan ; 1:20)   | Claude Souvignet  | 8/2/2022  |
| Min.4_07  | Millimétré A3        | UF.4000 (Coupe ; 1:20) ; UF.4001 (Coupe ; 1:20) ; UF.4002 (Coupe ; 1:20) ; UF.4027 (Coupe ; 1:20) ; UF.4028 (Coupe ; 1:20) ; UF.4038 (Coupe ; 1:20) ; UF.4021 (Coupe ; 1:20) ; UF.4022 (Coupe ; 1:20)   | Vincent Franchini | 8/10/2022 |



ANNEXE 4- LISTING DES RELEVÉS (2022)

| N°_minute | Support       | Sujet_Liste  | Auteur            | Date      |
|-----------|---------------|--|-------------------|-----------|
| Min.4_08  | Calque A3     | UF.4015 (Coupe ; 1:20) ; UF.4016 (Coupe ; 1:20) ;<br>UF.4059 (Coupe ; 1:20) ; UF.4003 (Coupe ; 1:20) ;<br>UF.4004 (Coupe ; 1:20) ; UF.4034 (Coupe ; 1:20) ;<br>UF.4041 (Coupe ; 1:20) ; UF.4079 (Coupe ; 1:20) | Apolline Lambert  | 8/10/2022 |
| Min.4_09  | Calque A3     | UF.4000 (Coupe ; 1:20) ; UF.4037 (Coupe ; 1:20)  | Vincent Franchini | 8/10/2022 |
| Min.4_10  | Millimétré A3 | UF.4072 (Coupe ; 1:20) ; UF.4073 (Coupe ; 1:20)  | Emmanuel Hamon    | 8/10/2022 |
| Min.4_11  | Calque A3     | UF.4015 (Coupe ; 1:20) ; UF.4059 (Coupe ; 1:20) ;<br>UF.4016 (Coupe ; 1:20)  | Apolline Lambert  | 8/10/2022 |
| Min.4_12  | Calque A3     | UF.4015 (Coupe ; 1:20) ; UF.4016 (Coupe ; 1:20) ;<br>UF.4059 (Coupe ; 1:20)  | Apolline Lambert  | 8/10/2022 |
| Min.4_13  | Calque A3     | UF.4013 (Coupe ; 1:20) ; UF.4014 (Coupe ; 1:20) ;<br>UF.4071 (Coupe ; 1:20) ; UF.4069 (Coupe ; 1:20)   | Apolline Lambert  | 8/10/2022 |
| Min.4_14  | Calque A3     | UF.4013 (Coupe ; 1:20) ; UF.4014 (Coupe ; 1:20) ;<br>UF.4069 (Coupe ; 1:20) ; UF.4071 (Coupe ; 1:20)   | Apolline Lambert  | 8/10/2022 |
| Min.4_15  | Millimétré A3 | UF.4013 (Coupe ; 1:20) ; UF.4014 (Coupe ; 1:20) ;<br>UF.4071 (Coupe ; 1:20) ; UF.4069 (Coupe ; 1:20) ;<br>UF.4033 (Coupe ; 1:20) ; UF.4076 (Coupe ; 1:20)  | Richard Hanisch   | 8/10/2022 |
| Min.4_16  | Calque A3     | UF.4019 (Coupe ; 1:20) ; UF.4036 (Coupe ; 1:20) ;<br>UF.4043 (Coupe ; 1:20) ; UF.4037 (Coupe ; 1:20) ;<br>UF.4055 (Coupe ; 1:20) ; UF.4054 (Coupe ; 1:20)  | Mathilde Deblois  | 8/10/2022 |
| Min.4_17  | Calque A3     | UF.4033 (Coupe ; 1:20) ; UF.4076 (Coupe ; 1:20)  | Pierre Barral     | 8/10/2022 |
| Min.4_18  | Calque A3     | UF.4019 (Coupe ; 1:20) ; UF.4029 (Coupe ; 1:20) ;<br>UF.4047 (Coupe ; 1:20) ; UF.4080 (Coupe ; 1:20)   | Mathilde Deblois  | 8/10/2022 |
| Min.4_19  | Millimétré A3 | UF.4029 (Coupe ; 1:20) ; UF.4020 (Coupe ; 1:20) ;<br>UF.4031 (Coupe ; 1:20) ; UF.4047 (Coupe ; 1:20) ;<br>UF.4066 (Coupe ; 1:20) ; UF.4080 (Coupe ; 1:20)  | Vincent Franchini | 8/10/2022 |
| Min.4_20  | Calque A3     | UF.4029 (Coupe ; 1:20) ; UF.4031 (Coupe ; 1:20) ;<br>UF.4047 (Coupe ; 1:20) ; UF.4032 (Coupe ; 1:20) ;<br>UF.4080 (Coupe ; 1:20) ; UF.4066 (Coupe ; 1:20) ;<br>UF.4031 (Coupe ; 1:20)                          | Vincent Franchini | 8/10/2022 |
| Min.4_21  | Calque A3     | UF.4007 (Coupe ; 1:20) ; UF.4008 (Coupe ; 1:20) ;<br>UF.4000 (Coupe ; 1:20)  | Vincent Franchini | 8/10/2022 |

ANNEXE 5 - LISTING DES POINTS TOPOGRAPHIQUES (2022)

| Secteur | ID           | X          | Y           | Z       | Code   |
|---------|--------------|------------|-------------|---------|--------|
| 2       | s2_log-1     | 852539.109 | 6646549.510 | 176.263 | DRW_PT |
| 2       | s2_log-2     | 852537.106 | 6646551.488 | 176.339 | DRW_PT |
| 2       | s2_log-3     | 852533.625 | 6646555.079 | 176.372 | DRW_PT |
| 2       | s2_log-4     | 852529.981 | 6646558.682 | 176.376 | DRW_PT |
| 2       | s2_log-5     | 852526.402 | 6646562.305 | 176.410 | DRW_PT |
| 2       | s2_log-6     | 852522.941 | 6646565.772 | 176.407 | DRW_PT |
| 2       | s2_log-7     | 852519.328 | 6646569.359 | 176.448 | DRW_PT |
| 2       | s2_log-8     | 852515.646 | 6646572.834 | 176.417 | DRW_PT |
| 2       | s2_log-9     | 852504.417 | 6646584.635 | 176.482 | DRW_PT |
| 2       | s2_log-10    | 852493.973 | 6646596.560 | 176.509 | DRW_PT |
| 2       | s2_pt_ref-1  | 852546.316 | 6646533.981 | 176.376 | PT_REF |
| 2       | s2_pt_ref-2  | 852560.465 | 6646542.838 | 176.374 | PT_REF |
| 2       | s2_pt_ref-3  | 852548.948 | 6646562.820 | 176.402 | PT_REF |
| 2       | s2_pt_ref-4  | 852530.571 | 6646559.008 | 176.464 | PT_REF |
| 2       | s2_pt_ref-5  | 852504.358 | 6646580.051 | 176.561 | PT_REF |
| 2       | s2_pt_ref-6  | 852517.747 | 6646550.395 | 176.697 | PT_REF |
| 3       | s3_emprise-1 | 852965.558 | 6646342.736 | --      | AREA   |
| 3       | s3_emprise-2 | 852955.821 | 6646329.667 | --      | AREA   |
| 3       | s3_emprise-3 | 852943.841 | 6646342.060 | --      | AREA   |
| 3       | s3_emprise-4 | 852951.262 | 6646349.431 | --      | AREA   |
| 3       | s3_emprise-5 | 852934.067 | 6646368.094 | --      | AREA   |
| 3       | s3_emprise-6 | 852919.559 | 6646383.720 | --      | AREA   |
| 3       | s3_emprise-7 | 852922.192 | 6646386.561 | --      | AREA   |
| 3       | s3_emprise-8 | 852954.811 | 6646352.737 | --      | AREA   |
| 3       | s3_emprise-9 | 852965.558 | 6646342.736 | --      | AREA   |
| 3       | s3_geophy-1  | 852934.745 | 6646348.574 | --      | GEOPHY |
| 3       | s3_geophy-2  | 852963.125 | 6646344.108 | 175.665 | GEOPHY |
| 3       | s3_geophy-3  | 852954.595 | 6646352.587 | 175.785 | GEOPHY |
| 3       | s3_geophy-4  | 852951.770 | 6646349.817 | 175.825 | GEOPHY |
| 3       | s3_geophy-5  | 852944.073 | 6646341.820 | 175.793 | GEOPHY |
| 3       | s3_geophy-6  | 852952.548 | 6646333.460 | 175.626 | GEOPHY |
| 3       | s3_geophy-7  | 852923.719 | 6646379.682 | 175.451 | GEOPHY |
| 3       | s3_geophy-8  | 852926.270 | 6646381.997 | 175.464 | GEOPHY |
| 3       | s3_geophy-9  | 852954.963 | 6646330.920 | 175.730 | GEOPHY |
| 3       | s3_geophy-10 | 852960.102 | 6646335.859 | 175.781 | GEOPHY |
| 3       | s3_geophy-11 | 852957.563 | 6646338.349 | 175.775 | GEOPHY |
| 3       | s3_pt_ref-1  | 852934.745 | 6646348.574 | 176.266 | PT_REF |
| 3       | s3_pt_ref-2  | 852967.008 | 6646349.223 | 176.223 | PT_REF |
| 3       | s3_pt_ref-3  | 852948.555 | 6646371.957 | 176.305 | PT_REF |
| 3       | s3_pt_ref-4  | 852926.502 | 6646383.026 | 176.298 | PT_REF |
| 3       | s3_pt_ref-5  | 852922.585 | 6646378.773 | 176.291 | PT_REF |
| 3       | s3_pt_ref-6  | 852954.721 | 6646329.361 | 176.321 | PT_REF |
| 3       | s3_pt_ref-7  | 852940.720 | 6646358.690 | 176.241 | PT_REF |
| 3       | 3000_1       | 852960.733 | 6646337.714 | 175.872 | OBJ    |
| 3       | 3000_2       | 852960.048 | 6646337.802 | 175.838 | OBJ    |
| 3       | 3000_3       | 852961.259 | 6646338.425 | 175.765 | OBJ    |
| 3       | 3000_4       | 852963.409 | 6646340.995 | 175.682 | OBJ    |
| 3       | 3000_5       | 852962.921 | 6646342.242 | 175.881 | OBJ    |

ANNEXE 5 - LISTING DES POINTS TOPOGRAPHIQUES (2022)

| Secteur | ID      | X          | Y           | Z       | Code |
|---------|---------|------------|-------------|---------|------|
| 3       | 3000_6  | 852963.979 | 6646342.118 | 175.232 | OBJ  |
| 3       | 3000_7  | 852963.974 | 6646342.808 | 175.164 | OBJ  |
| 3       | 3000_8  | 852957.773 | 6646341.799 | 175.923 | OBJ  |
| 3       | 3000_9  | 852960.202 | 6646341.138 | 175.852 | OBJ  |
| 3       | 3000_10 | 852957.551 | 6646341.762 | 175.795 | OBJ  |
| 3       | 3000_11 | 852956.776 | 6646342.822 | 175.830 | OBJ  |
| 3       | 3000_12 | 852962.107 | 6646343.577 | 175.681 | OBJ  |
| 3       | 3000_13 | 852953.709 | 6646346.361 | 175.823 | OBJ  |
| 3       | 3000_14 | 852953.276 | 6646349.238 | 175.787 | OBJ  |
| 3       | 3000_15 | 852947.864 | 6646355.804 | 175.943 | OBJ  |
| 3       | 3000_16 | 852936.747 | 6646371.498 | 175.521 | OBJ  |
| 3       | 3000_17 | 852929.226 | 6646375.087 | 175.571 | OBJ  |
| 3       | 3000_18 | 852962.353 | 6646342.089 | 175.365 | OBJ  |
| 3       | 3023_01 | 852949.720 | 6646336.618 | 175.661 | OBJ  |
| 3       | 3023_02 | 852948.798 | 6646337.437 | 175.650 | OBJ  |
| 3       | 3023_05 | 852948.798 | 6646337.437 | 175.650 | OBJ  |
| 3       | 3023_04 | 852949.050 | 6646337.213 | 175.520 | OBJ  |
| 3       | 3013_01 | 852956.090 | 6646346.857 | 175.779 | OBJ  |
| 3       | 3003_01 | 852959.962 | 6646341.749 | 175.694 | OBJ  |
| 3       | 3003_02 | 852959.962 | 6646341.749 | 175.694 | OBJ  |
| 3       | 3003_03 | 852962.026 | 6646345.198 | 175.579 | OBJ  |
| 3       | 3039_01 | 852934.768 | 6646372.351 | 175.153 | OBJ  |
| 3       | 3023_06 | 852948.798 | 6646337.437 | 175.650 | OBJ  |
| 3       | 3003_04 | 852959.962 | 6646341.749 | 175.694 | OBJ  |
| 3       | 3003_05 | 852959.962 | 6646341.749 | 175.694 | OBJ  |
| 3       | 3001_01 | 852959.425 | 6646347.507 | 175.661 | OBJ  |
| 3       | 3003_06 | 852961.654 | 6646342.244 | 175.458 | OBJ  |
| 3       | 3003_07 | 852959.831 | 6646342.768 | 175.349 | OBJ  |
| 3       | 3023_07 | 852949.784 | 6646338.482 | 175.305 | OBJ  |
| 3       | 3023_08 | 852950.520 | 6646338.070 | 175.262 | OBJ  |
| 3       | 3003_08 | 852959.488 | 6646345.147 | 175.408 | OBJ  |
| 3       | 3023_09 | 852950.399 | 6646338.122 | 175.196 | OBJ  |
| 3       | 3023_10 | 852949.787 | 6646338.449 | 175.196 | OBJ  |
| 3       | 3023_11 | 852949.611 | 6646338.570 | 175.204 | OBJ  |
| 3       | 3023_12 | 852949.162 | 6646338.209 | 175.134 | OBJ  |
| 3       | 3023_13 | 852949.441 | 6646337.035 | 175.109 | OBJ  |
| 3       | 3023_14 | 852948.933 | 6646337.654 | 175.146 | OBJ  |
| 3       | 3003_09 | 852960.258 | 6646341.000 | 175.058 | OBJ  |
| 3       | 3007_01 | 852949.245 | 6646344.608 | 175.798 | OBJ  |
| 3       | 3023_15 | 852948.704 | 6646337.637 | 175.052 | OBJ  |
| 3       | 3023_16 | 852950.346 | 6646337.957 | 175.055 | OBJ  |
| 3       | 3017_01 | 852951.286 | 6646345.641 | 175.765 | OBJ  |
| 3       | 3023_17 | 852948.939 | 6646337.038 | 175.020 | OBJ  |
| 3       | 3043_01 | 852939.121 | 6646364.938 | 175.553 | OBJ  |
| 3       | 3005_01 | 852929.342 | 6646376.231 | 175.299 | OBJ  |
| 3       | 3003_10 | 852960.487 | 6646344.611 | 175.358 | OBJ  |
| 3       | 3003_11 | 852961.148 | 6646342.461 | 174.717 | OBJ  |
| 3       | 3003_12 | 852961.440 | 6646343.406 | 175.401 | OBJ  |

ANNEXE 5 - LISTING DES POINTS TOPOGRAPHIQUES (2022)

| Secteur | ID          | X          | Y           | Z       | Code   |
|---------|-------------|------------|-------------|---------|--------|
| 3       | 3003_13     | 852962.156 | 6646343.833 | 175.366 | OBJ    |
| 3       | 3023_18     | 852949.181 | 6646336.957 | 174.604 | OBJ    |
| 3       | 3003_14     | 852962.149 | 6646343.499 | 175.268 | OBJ    |
| 3       | 3000_19     | 852943.839 | 6646364.730 | 176.070 | OBJ    |
| 3       | 3023_19     | 852949.744 | 6646337.101 | 174.493 | OBJ    |
| 3       | 3003_15     | 852959.276 | 6646334.620 | 175.582 | OBJ    |
| 3       | 3009_01     | 852950.113 | 6646352.879 | 175.740 | OBJ    |
| 3       | minute_5_a  | 852951.890 | 6646345.220 | 175.839 | DRW_PT |
| 3       | minute_5_b  | 852951.077 | 6646344.353 | 175.831 | DRW_PT |
| 3       | minute_4_a  | 852963.235 | 6646344.307 | 175.757 | DRW_PT |
| 3       | minute_4_b  | 852958.775 | 6646338.170 | 175.817 | DRW_PT |
| 3       | minute_6_a  | 852958.957 | 6646344.214 | 175.889 | DRW_PT |
| 3       | minute_6_b  | 852961.783 | 6646342.215 | 175.883 | DRW_PT |
| 3       | minute_8_a  | 852959.259 | 6646337.906 | 175.841 | DRW_PT |
| 3       | minute_8_b  | 852963.634 | 6646343.933 | 175.841 | DRW_PT |
| 3       | minute_7_a  | 852963.887 | 6646340.651 | 175.545 | DRW_PT |
| 3       | minute_7_b  | 852962.204 | 6646341.806 | 175.532 | DRW_PT |
| 3       | minute_3_a  | 852958.827 | 6646345.938 | 175.965 | DRW_PT |
| 3       | minute_3_b  | 852953.573 | 6646346.553 | 175.972 | DRW_PT |
| 3       | minute_10_a | 852958.950 | 6646345.152 | 175.958 | DRW_PT |
| 3       | minute_10_b | 852959.270 | 6646346.497 | 175.956 | DRW_PT |
| 3       | minute_9_a  | 852956.119 | 6646349.467 | 175.790 | DRW_PT |
| 3       | minute_9_b  | 852952.881 | 6646346.779 | 175.818 | DRW_PT |
| 3       | minute_9_c  | 852952.190 | 6646347.676 | 175.798 | DRW_PT |
| 3       | minute_9_d  | 852955.461 | 6646350.311 | 175.806 | DRW_PT |
| 3       | minute_11_a | 852954.920 | 6646333.788 | 175.814 | DRW_PT |
| 3       | minute_11_b | 852955.007 | 6646334.857 | 175.806 | DRW_PT |
| 3       | minute_12_a | 852952.531 | 6646334.022 | 175.799 | DRW_PT |
| 3       | minute_12_b | 852952.622 | 6646334.822 | 175.796 | DRW_PT |
| 3       | minute_13_a | 852950.939 | 6646352.490 | 175.965 | DRW_PT |
| 3       | minute_13_b | 852952.425 | 6646351.109 | 175.983 | DRW_PT |
| 3       | minute_15_a | 852929.970 | 6646374.545 | 175.581 | DRW_PT |
| 3       | minute_15_b | 852929.093 | 6646377.588 | 175.577 | DRW_PT |
| 3       | minute_16_a | 852952.356 | 6646355.209 | 175.967 | DRW_PT |
| 3       | minute_16_b | 852951.381 | 6646354.446 | 175.983 | DRW_PT |
| 3       | minute_14_a | 852951.654 | 6646338.921 | 175.911 | DRW_PT |
| 3       | minute_14_b | 852949.173 | 6646336.464 | 175.913 | DRW_PT |
| 3       | minute_17_a | 852948.840 | 6646339.527 | 175.856 | DRW_PT |
| 3       | minute_17_b | 852948.071 | 6646338.662 | 175.875 | DRW_PT |
| 3       | minute_18_a | 852946.109 | 6646359.343 | 175.923 | DRW_PT |
| 3       | minute_18_b | 852946.950 | 6646358.299 | 175.918 | DRW_PT |
| 3       | minute_19_a | 852948.264 | 6646356.107 | 175.952 | DRW_PT |
| 3       | minute_19_b | 852948.747 | 6646355.361 | 175.950 | DRW_PT |
| 3       | minute_20_a | 852957.211 | 6646332.609 | 175.837 | DRW_PT |
| 3       | minute_20_b | 852957.883 | 6646332.308 | 175.818 | DRW_PT |
| 3       | minute_23_b | 852948.703 | 6646343.007 | 175.841 | DRW_PT |
| 3       | minute_23_a | 852949.362 | 6646343.806 | 175.843 | DRW_PT |
| 3       | minute_21_a | 852950.775 | 6646353.928 | 175.893 | DRW_PT |

ANNEXE 5 - LISTING DES POINTS TOPOGRAPHIQUES (2022)

| Secteur | ID          | X          | Y           | Z       | Code      |
|---------|-------------|------------|-------------|---------|-----------|
| 3       | minute_21_b | 852950.604 | 6646353.584 | 175.898 | DRW_PT    |
| 3       | minute_24_a | 852954.896 | 6646351.002 | 175.891 | DRW_PT    |
| 3       | minute_24_b | 852954.635 | 6646350.528 | 175.893 | DRW_PT    |
| 3       | minute_25_a | 852951.765 | 6646350.961 | 175.887 | DRW_PT    |
| 3       | minute_25_b | 852952.367 | 6646351.156 | 175.889 | DRW_PT    |
| 3       | minute_31_a | 852947.090 | 6646343.612 | 175.896 | DRW_PT    |
| 3       | minute_31_b | 852948.604 | 6646345.266 | 175.891 | DRW_PT    |
| 3       | minute_30_a | 852953.205 | 6646353.415 | 175.828 | DRW_PT    |
| 3       | minute_30_b | 852952.782 | 6646353.095 | 175.836 | DRW_PT    |
| 3       | minute_26_a | 852949.784 | 6646356.310 | 175.923 | DRW_PT    |
| 3       | minute_26_b | 852949.102 | 6646355.734 | 175.930 | DRW_PT    |
| 3       | minute_22_a | 852942.663 | 6646362.646 | 175.974 | DRW_PT    |
| 3       | minute_22_b | 852944.001 | 6646361.391 | 175.968 | DRW_PT    |
| 3       | minute_27_a | 852950.414 | 6646353.044 | 175.883 | DRW_PT    |
| 3       | minute_27_b | 852953.137 | 6646350.535 | --      | DRW_PT    |
| 3       | minute_32_a | 852935.313 | 6646368.468 | 175.826 | DRW_PT    |
| 3       | minute_32_b | 852935.549 | 6646372.521 | 175.809 | DRW_PT    |
| 3       | minute_29_a | 852940.837 | 6646364.183 | 175.816 | DRW_PT    |
| 3       | minute_29_b | 852940.983 | 6646365.327 | 175.830 | DRW_PT    |
| 3       | minute_28_b | 852963.900 | 6646344.435 | 176.342 | DRW_PT    |
| 3       | minute_28_a | 852923.160 | 6646385.955 | 176.337 | DRW_PT    |
| 3       | minute_33_a | 852954.766 | 6646348.334 | 175.744 | DRW_PT    |
| 3       | minute_33_b | 852954.310 | 6646348.828 | 175.750 | DRW_PT    |
| 3       | minute_34_a | 852926.035 | 6646378.907 | 175.488 | DRW_PT    |
| 3       | minute_34_b | 852925.349 | 6646379.306 | 175.507 | DRW_PT    |
| 3       | minute_35_a | 852920.090 | 6646382.692 | 176.319 | DRW_PT    |
| 3       | minute_35_b | 852951.177 | 6646349.683 | 176.214 | DRW_PT    |
| 3       | pg_3039-1   | 852932.124 | 6646371.577 | --      | TARGET_PT |
| 3       | pg_3039-2   | 852933.746 | 6646370.820 | 175.305 | TARGET_PT |
| 3       | pg_3039-3   | 852932.477 | 6646370.462 | 175.235 | TARGET_PT |
| 3       | pg_3039-4   | 852933.793 | 6646368.717 | 175.653 | TARGET_PT |
| 3       | pg_3039-5   | 852935.719 | 6646370.354 | 175.253 | TARGET_PT |
| 3       | pg_3039-6   | 852935.695 | 6646371.606 | 175.606 | TARGET_PT |
| 3       | pg_3039-7   | 852933.849 | 6646372.118 | 175.280 | TARGET_PT |
| 3       | pg_3039-8   | 852931.936 | 6646371.917 | 175.569 | TARGET_PT |
| 3       | pg_3039-9   | 852931.486 | 6646371.217 | 175.196 | TARGET_PT |
| 3       | pg_3039-10  | 852932.507 | 6646370.483 | 175.229 | TARGET_PT |
| 3       | pg_3039-11  | 852933.797 | 6646368.712 | 175.649 | TARGET_PT |
| 3       | pg_3039-12  | 852935.753 | 6646371.568 | 175.597 | TARGET_PT |
| 3       | pg_3039-13  | 852933.745 | 6646370.844 | 175.311 | TARGET_PT |
| 3       | pg_3039-14  | 852933.910 | 6646371.450 | 174.943 | TARGET_PT |
| 3       | pg_3039-15  | 852933.839 | 6646372.092 | 175.300 | TARGET_PT |
| 3       | pg_3023-1   | 852948.993 | 6646339.060 | 175.757 | TARGET_PT |
| 3       | pg_3023-2   | 852950.863 | 6646338.463 | 175.526 | TARGET_PT |
| 3       | pg_3023-3   | 852950.776 | 6646336.275 | 175.735 | TARGET_PT |
| 3       | pg_3023-4   | 852949.754 | 6646337.468 | 174.397 | TARGET_PT |
| 3       | pg_3023-5   | 852948.424 | 6646337.345 | 175.025 | TARGET_PT |
| 3       | pg_3049-1   | 852952.147 | 6646352.485 | 175.798 | TARGET_PT |

ANNEXE 5 - LISTING DES POINTS TOPOGRAPHIQUES (2022)

| Secteur | ID         | X          | Y           | Z       | Code      |
|---------|------------|------------|-------------|---------|-----------|
| 3       | pg_3049-2  | 852952.260 | 6646351.100 | 175.809 | TARGET_PT |
| 3       | pg_3049-3  | 852951.166 | 6646351.418 | 175.819 | TARGET_PT |
| 3       | pg_3049-4  | 852951.833 | 6646351.548 | 175.719 | TARGET_PT |
| 3       | pg_3003-1  | 852959.279 | 6646346.500 | 175.789 | TARGET_PT |
| 3       | pg_3003-2  | 852963.036 | 6646344.377 | 175.684 | TARGET_PT |
| 3       | pg_3003-3  | 852960.847 | 6646344.035 | 175.252 | TARGET_PT |
| 3       | pg_3003-4  | 852961.123 | 6646342.130 | 174.615 | TARGET_PT |
| 3       | pg_3003-5  | 852959.028 | 6646342.932 | 175.815 | TARGET_PT |
| 3       | pg_3003-6  | 852959.377 | 6646339.404 | 175.539 | TARGET_PT |
| 3       | pg_3003-7  | 852960.148 | 6646337.304 | 175.570 | TARGET_PT |
| 3       | pg_3003-8  | 852962.449 | 6646340.706 | 175.391 | TARGET_PT |
| 3       | pg_3003-9  | 852963.633 | 6646342.431 | 174.621 | TARGET_PT |
| 3       | pg_3003-10 | 852956.680 | 6646335.210 | 175.778 | TARGET_PT |
| 3       | pg_3003-11 | 852958.552 | 6646342.701 | 175.816 | TARGET_PT |
| 3       | pg_3003-12 | 852960.562 | 6646346.855 | 175.735 | TARGET_PT |
| 3       | pg_3003-13 | 852963.976 | 6646341.627 | 174.662 | TARGET_PT |
| 3       | pg_3003-14 | 852961.031 | 6646341.930 | 174.652 | TARGET_PT |
| 3       | pg_3003-15 | 852962.004 | 6646338.657 | 175.404 | TARGET_PT |
| 3       | pg_3009-1  | 852954.996 | 6646351.278 | 175.793 | TARGET_PT |
| 3       | pg_3009-2  | 852954.386 | 6646347.699 | 175.711 | TARGET_PT |
| 3       | pg_3009-3  | 852951.809 | 6646346.076 | 175.814 | TARGET_PT |
| 3       | pg_3009-4  | 852951.619 | 6646349.487 | 175.720 | TARGET_PT |
| 3       | pg_3009-5  | 852951.241 | 6646351.611 | --      | TARGET_PT |
| 3       | pg_3009-6  | 852949.756 | 6646354.475 | 175.804 | TARGET_PT |
| 3       | 3080_tp1   | 852954.219 | 6646349.011 | 175.660 | ST        |
| 3       | 3080_tp2   | 852954.113 | 6646348.721 | 175.672 | ST        |
| 3       | 3080_tp3   | 852953.835 | 6646349.449 | 175.698 | ST        |
| 3       | 3080_tp4   | 852953.503 | 6646350.139 | 175.750 | ST        |
| 3       | 3080_tp5   | 852952.615 | 6646350.445 | 175.731 | ST        |
| 3       | 3080_tp6   | 852953.041 | 6646349.794 | 175.723 | ST        |
| 3       | 3080_tp7   | 852953.425 | 6646350.330 | 175.628 | ST        |
| 3       | 3080_tp8   | 852952.910 | 6646350.015 | 175.636 | ST        |
| 3       | 3080_tp9   | 852952.540 | 6646350.423 | 175.621 | ST        |
| 3       | 3080_tp10  | 852953.305 | 6646350.725 | 175.674 | ST        |
| 3       | 3080_tp11  | 852952.826 | 6646350.918 | 175.615 | ST        |
| 3       | 3080_tp12  | 852952.991 | 6646351.093 | 175.643 | ST        |
| 3       | 3080_tp13  | 852953.492 | 6646351.457 | 175.722 | ST        |
| 3       | 3080_tp14  | 852952.486 | 6646351.115 | 175.659 | ST        |
| 3       | 3080_tp15  | 852950.928 | 6646351.111 | 175.705 | ST        |
| 3       | 3080_tp16  | 852950.384 | 6646353.563 | 175.743 | ST        |
| 3       | 3080_tp17  | 852956.030 | 6646350.162 | 175.638 | ST        |
| 3       | 3080_tp18  | 852956.214 | 6646348.751 | 175.716 | ST        |
| 3       | 3080_tp19  | 852956.266 | 6646348.634 | 175.678 | ST        |
| 3       | 3080_tp20  | 852956.750 | 6646349.389 | 175.690 | ST        |
| 3       | 3080_tp21  | 852951.514 | 6646353.805 | 175.737 | ST        |
| 3       | 3070-1     | 852948.604 | 6646344.498 | 175.826 | ST        |
| 3       | 3070-2     | 852948.440 | 6646344.509 | 175.834 | ST        |
| 3       | 3070-3     | 852948.453 | 6646344.677 | 175.826 | ST        |



ANNEXE 5 - LISTING DES POINTS TOPOGRAPHIQUES (2022)

| Secteur | ID             | X          | Y           | Z       | Code      |
|---------|----------------|------------|-------------|---------|-----------|
| 3       | 3070-4         | 852948.596 | 6646344.673 | 175.821 | ST        |
| 3       | 3070-5         | 852948.604 | 6646344.498 | 175.826 | ST        |
| 3       | 3081-1         | 852948.372 | 6646337.527 | 173.703 | ST        |
| 3       | 3081-2         | 852948.576 | 6646337.880 | 173.679 | ST        |
| 3       | 3081-3         | 852948.523 | 6646338.211 | 173.659 | ST        |
| 3       | 3081-4         | 852948.209 | 6646338.060 | 173.680 | ST        |
| 3       | 3081-5         | 852948.125 | 6646337.761 | 173.721 | ST        |
| 3       | 3081-6         | 852948.372 | 6646337.527 | 173.703 | ST        |
| 3       | 3082-1         | 852948.510 | 6646337.404 | 173.702 | ST        |
| 3       | 3082-2         | 852948.723 | 6646337.840 | 173.665 | ST        |
| 3       | 3082-3         | 852948.905 | 6646338.149 | 173.713 | ST        |
| 3       | 3082-4         | 852948.667 | 6646338.548 | 173.768 | ST        |
| 3       | 3082-5         | 852948.262 | 6646338.519 | 173.705 | ST        |
| 3       | 3082-6         | 852947.931 | 6646338.122 | 173.731 | ST        |
| 3       | 3082-7         | 852948.510 | 6646337.404 | 173.702 | ST        |
| 3       | pxx_3080-1     | 852950.205 | 6646347.720 | 175.746 | PRLVT     |
| 3       | pxx_3080-2     | 852954.765 | 6646352.369 | 175.688 | PRLVT     |
| 3       | pxx_3080-3     | 852956.817 | 6646350.429 | 175.719 | PRLVT     |
| 3       | pxx_3080-4     | 852954.535 | 6646347.736 | 175.750 | PRLVT     |
| 3       | pxx_3080-5     | 852956.726 | 6646345.816 | 175.818 | PRLVT     |
| 3       | pxx_3080-6     | 852954.605 | 6646343.577 | 175.828 | PRLVT     |
| 3       | pxx_3080-7     | 852950.205 | 6646347.720 | 175.746 | PRLVT     |
| 4       | s4_emprise-1   | 852816.196 | 6646507.071 | --      | AREA      |
| 4       | s4_emprise-2   | 852803.809 | 6646496.819 | --      | AREA      |
| 4       | s4_emprise-3   | 852811.398 | 6646487.673 | --      | AREA      |
| 4       | s4_emprise-4   | 852824.274 | 6646497.281 | --      | AREA      |
| 4       | s4_emprise-5   | 852816.196 | 6646507.071 | --      | AREA      |
| 4       | s4_pt_ref-1    | 852828.785 | 6646495.942 | 176.386 | PT_REF    |
| 4       | s4_pt_ref-2    | 852806.311 | 6646482.218 | 176.380 | PT_REF    |
| 4       | s4_pt_ref-3    | 852794.392 | 6646492.518 | 176.368 | PT_REF    |
| 4       | s4_pt_ref-4    | 852802.932 | 6646510.295 | 176.542 | PT_REF    |
| 4       | s4_pt_ref-5    | 852817.965 | 6646486.790 | 176.374 | PT_REF    |
| 4       | s4_geophy-c4-1 | 852815.368 | 6646505.399 | 175.952 | GEOPHY    |
| 4       | s4_geophy-c4-2 | 852804.882 | 6646496.165 | 175.868 | GEOPHY    |
| 4       | s4_geophy-c4-3 | 852811.405 | 6646488.670 | 175.830 | GEOPHY    |
| 4       | s4_geophy-c4-4 | 852821.953 | 6646497.873 | 175.931 | GEOPHY    |
| 4       | drw_02_pt1     | 852820.072 | 6646496.569 | 176.040 | DRW_PT    |
| 4       | drw_02_pt1     | 853824.631 | 6645563.783 | --      | DRW_PT    |
| 4       | drw_01_pt1     | 852816.225 | 6646502.335 | 175.959 | DRW_PT    |
| 4       | drw_01_pt2     | 852818.476 | 6646504.204 | 176.004 | DRW_PT    |
| 4       | drw_01_pt3     | 852817.151 | 6646503.237 | 176.096 | DRW_PT    |
| 4       | drw_02_pt2     | 852818.959 | 6646498.118 | 175.998 | DRW_PT    |
| 4       | 4026_alt_suo   | 852818.892 | 6646497.240 | 175.639 | DRW_PT    |
| 4       | drw_03_pt1     | 852815.810 | 6646506.631 | 175.985 | DRW_PT    |
| 4       | drw_03_pt2     | 852816.181 | 6646506.191 | 175.972 | DRW_PT    |
| 4       | drw_03_pt1     | 852818.335 | 6646501.372 | 176.048 | DRW_PT    |
| 4       | drw_04_pt2     | 852817.788 | 6646501.952 | 176.044 | DRW_PT    |
| 4       | gram_4020_pt1  | 852808.916 | 6646491.668 | 175.988 | TARGET_PT |

ANNEXE 5 - LISTING DES POINTS TOPOGRAPHIQUES (2022)

| Secteur | ID             | X          | Y           | Z       | Code      |
|---------|----------------|------------|-------------|---------|-----------|
| 4       | gram_4020_pt2  | 852811.926 | 6646491.808 | 175.949 | TARGET_PT |
| 4       | gram_4020_pt3  | 852808.731 | 6646493.898 | 175.970 | TARGET_PT |
| 4       | gram_4020_pt4  | 852804.833 | 6646495.316 | 176.073 | TARGET_PT |
| 4       | gram_4020_pt5  | 852806.407 | 6646498.845 | 176.012 | TARGET_PT |
| 4       | gram_4004_pt1  | 852818.867 | 6646498.192 | 175.985 | TARGET_PT |
| 4       | gram_4004_pt2  | 852820.473 | 6646498.262 | 176.000 | TARGET_PT |
| 4       | gram_4004_pt3  | 852820.616 | 6646496.631 | 175.988 | TARGET_PT |
| 4       | gram_4004_pt4  | 852819.312 | 6646495.827 | 175.987 | TARGET_PT |
| 4       | gram_4004_pt5  | 852817.927 | 6646496.962 | 175.989 | TARGET_PT |
| 4       | gram_4036_pt1  | 852806.912 | 6646493.705 | 175.984 | TARGET_PT |
| 4       | gram_4036_pt2  | 852810.170 | 6646495.610 | 175.994 | TARGET_PT |
| 4       | gram_4036_pt3  | 852808.084 | 6646496.842 | 176.019 | TARGET_PT |
| 4       | gram_4036_pt4  | 852806.157 | 6646498.172 | 175.978 | TARGET_PT |
| 4       | gram_4036_pt5  | 852804.078 | 6646496.552 | 176.005 | TARGET_PT |
| 4       | gram_4031_pt1  | 852810.826 | 6646490.145 | 175.962 | TARGET_PT |
| 4       | gram_4031_pt2  | 852812.286 | 6646491.936 | 175.982 | TARGET_PT |
| 4       | gram_4031_pt3  | 852809.141 | 6646491.457 | 176.005 | TARGET_PT |
| 4       | gram_4031_pt4  | 852808.112 | 6646492.713 | 175.995 | TARGET_PT |
| 4       | gram_4031_pt5  | 852810.325 | 6646494.109 | 175.987 | TARGET_PT |
| 4       | drw_02_pt3     | 852818.383 | 6646497.585 | 176.017 | DRW_PT    |
| 4       | drw_02_pt4     | 852819.590 | 6646498.549 | 176.025 | DRW_PT    |
| 4       | berme nord_pt1 | 852803.628 | 6646496.587 | 176.231 | DRW_PT    |
| 4       | berme nord_pt2 | 852816.193 | 6646507.002 | 176.251 | DRW_PT    |
| 4       | drw_07_pt1     | 852824.214 | 6646497.231 | 176.440 | DRW_PT    |
| 4       | drw_07_pt2     | 852811.373 | 6646487.537 | 176.457 | DRW_PT    |
| 4       | drw_08_pt2     | 852819.029 | 6646499.313 | 176.041 | DRW_PT    |
| 4       | drw_08_pt1     | 852816.851 | 6646497.678 | 176.044 | DRW_PT    |
| 4       | drw_09_pt2     | 852803.802 | 6646496.964 | 176.452 | DRW_PT    |
| 4       | drw_10_pt1     | 852811.254 | 6646492.492 | 176.008 | DRW_PT    |
| 4       | drw_10_pt2     | 852813.090 | 6646493.987 | 176.010 | DRW_PT    |
| 4       | drw_13_pt1     | 852810.743 | 6646495.771 | 176.063 | DRW_PT    |
| 4       | drw_13_pt2     | 852809.297 | 6646496.915 | 176.059 | DRW_PT    |
| 4       | drw_14_pt2     | 852810.396 | 6646499.177 | 176.009 | DRW_PT    |
| 4       | drw_14_pt1     | 852812.219 | 6646498.286 | 176.017 | DRW_PT    |
| 4       | drw_16_pt1     | 852807.840 | 6646496.702 | 176.041 | DRW_PT    |
| 4       | drw_16_pt2     | 852805.462 | 6646494.817 | 176.025 | DRW_PT    |
| 4       | drw_11_pt1     | 852817.729 | 6646495.752 | 175.975 | DRW_PT    |
| 4       | drw_11_pt2     | 852816.529 | 6646496.305 | 175.969 | DRW_PT    |
| 4       | drw_12_pt1     | 852815.373 | 6646493.817 | 176.032 | DRW_PT    |
| 4       | drw_12_pt2     | 852816.592 | 6646492.307 | 176.000 | DRW_PT    |
| 4       | drw_15_pt2     | 852811.630 | 6646501.029 | 175.999 | DRW_PT    |
| 4       | drw_15_pt1     | 852815.022 | 6646503.802 | 175.990 | DRW_PT    |
| 4       | drw_17_pt1     | 852813.237 | 6646501.891 | 175.983 | DRW_PT    |
| 4       | drw_17_pt2     | 852815.335 | 6646503.614 | 175.987 | DRW_PT    |
| 4       | drw_21_pt1     | 852816.118 | 6646507.168 | 176.486 | DRW_PT    |
| 4       | drw_21_pt2     | 852824.248 | 6646497.276 | 176.464 | DRW_PT    |
| 4       | drw_18_pt1     | 852810.477 | 6646490.550 | 175.989 | DRW_PT    |
| 4       | drw_18_pt2     | 852821.284 | 6646487.800 | --      | DRW_PT    |

ANNEXE 5 - LISTING DES POINTS TOPOGRAPHIQUES (2022)

| Secteur | ID         | X          | Y           | Z       | Code   |
|---------|------------|------------|-------------|---------|--------|
| 4       | drw_19_pt1 | 852809.627 | 6646491.519 | 176.028 | DRW_PT |
| 4       | drw_19_pt2 | 852811.024 | 6646492.853 | 176.035 | DRW_PT |
| 4       | drw_20_pt1 | 852808.147 | 6646492.986 | 175.997 | DRW_PT |
| 4       | drw_20_pt2 | 852810.532 | 6646495.011 | 176.003 | DRW_PT |
| 4       | drw_22_pt1 | 852813.308 | 6646489.156 | 176.016 | DRW_PT |
| 4       | drw_22_pt2 | 852811.652 | 6646491.211 | 176.004 | DRW_PT |
| 4       | drw_23_pt1 | 852813.026 | 6646488.994 | 176.007 | DRW_PT |
| 4       | drw_23_pt2 | 852811.441 | 6646490.971 | 176.008 | DRW_PT |
| 4       | verd_22-01 | 852821.876 | 6646495.799 | 175.771 | PRLVT  |
| 4       | verd_22-01 | 852821.880 | 6646495.805 | 175.612 | PRLVT  |
| 4       | verd_22-02 | 852821.723 | 6646496.004 | 175.658 | PRLVT  |
| 4       | verd_22-02 | 852821.734 | 6646496.013 | 175.504 | PRLVT  |
| 4       | verd_22-03 | 852821.791 | 6646495.944 | 175.534 | PRLVT  |
| 4       | verd_22-03 | 852821.823 | 6646495.944 | 175.388 | PRLVT  |
| 4       | verd_22-04 | 852821.891 | 6646495.846 | 175.385 | PRLVT  |
| 4       | verd_22-04 | 852821.912 | 6646495.856 | 175.232 | PRLVT  |
| 4       | verd_22-05 | 852821.210 | 6646496.662 | 175.793 | PRLVT  |
| 4       | verd_22-05 | 852821.214 | 6646496.673 | 175.622 | PRLVT  |
| 4       | verd_22-06 | 852821.161 | 6646496.766 | 175.728 | PRLVT  |
| 4       | verd_22-06 | 852821.159 | 6646496.770 | 175.560 | PRLVT  |
| 4       | 4000-01    | 852815.026 | 6646505.172 | 175.978 | OBJ    |
| 4       | 4000-03    | 852814.039 | 6646502.037 | 175.893 | OBJ    |
| 4       | 4000-02    | 852812.248 | 6646490.855 | 175.918 | OBJ    |
| 4       | 4000-04    | 852809.980 | 6646493.006 | 175.960 | OBJ    |
| 4       | 4011-01    | 852815.931 | 6646505.934 | 175.966 | OBJ    |
| 4       | 4000-05    | 852808.757 | 6646494.037 | 175.887 | OBJ    |
| 4       | 4000-06    | 852818.586 | 6646498.037 | 175.916 | OBJ    |
| 4       | 4000-07    | 852811.550 | 6646489.815 | 175.876 | OBJ    |
| 4       | 4001-01    | 852821.788 | 6646496.874 | 175.977 | OBJ    |
| 4       | 4019-01    | 852807.054 | 6646496.445 | 175.949 | OBJ    |
| 4       | 4019-02    | 852809.000 | 6646492.974 | 175.962 | OBJ    |
| 4       | 4019-03    | 852811.217 | 6646491.669 | 175.890 | OBJ    |
| 4       | 4019-04    | 852810.453 | 6646493.013 | 175.920 | OBJ    |
| 4       | 4019-05    | 852810.414 | 6646493.142 | 175.937 | OBJ    |
| 4       | 4019-06    | 852810.801 | 6646491.185 | 175.916 | OBJ    |
| 4       | 4019-07    | 852810.647 | 6646491.393 | 175.958 | OBJ    |
| 4       | 4019-08    | 852809.817 | 6646491.681 | 175.946 | OBJ    |
| 4       | 4019-09    | 852809.798 | 6646492.716 | 175.832 | OBJ    |
| 4       | 4001-02    | 852821.963 | 6646496.772 | 175.796 | OBJ    |
| 4       | 4003_01    | 852819.334 | 6646497.506 | 175.763 | OBJ    |
| 4       | 4003_02    | 852819.347 | 6646497.731 | 175.647 | OBJ    |
| 4       | 4019-10    | 852808.530 | 6646495.218 | 175.781 | OBJ    |
| 4       | 4019-11    | 852808.710 | 6646495.034 | 175.780 | OBJ    |
| 4       | 4001-03    | 852821.772 | 6646496.054 | 175.559 | OBJ    |
| 4       | 4003-03    | 852819.337 | 6646497.180 | 175.604 | OBJ    |
| 4       | 4019-12    | 852810.104 | 6646492.367 | 175.716 | OBJ    |
| 4       | 4019-13    | 852810.247 | 6646493.239 | 175.930 | OBJ    |
| 4       | 4033_01    | 852813.932 | 6646503.008 | 175.872 | OBJ    |

ANNEXE 5 - LISTING DES POINTS TOPOGRAPHIQUES (2022)

| Secteur | ID      | X          | Y           | Z       | Code |
|---------|---------|------------|-------------|---------|------|
| 4       | 4000-08 | 852812.225 | 6646490.548 | 175.929 | OBJ  |
| 4       | 4031-01 | 852810.812 | 6646492.153 | 175.656 | OBJ  |
| 4       | 4031-02 | 852810.939 | 6646491.984 | 175.577 | OBJ  |
| 4       | 4036-01 | 852806.616 | 6646496.412 | 175.625 | OBJ  |
| 4       | 4031-03 | 852810.814 | 6646492.096 | 175.597 | OBJ  |
| 4       | 4015-01 | 852816.079 | 6646492.618 | 175.896 | OBJ  |
| 4       | 4043-01 | 852807.152 | 6646496.359 | 175.655 | OBJ  |
| 4       | 4044-01 | 852810.650 | 6646491.785 | 175.594 | OBJ  |
| 4       | 4021-1  | 852812.165 | 6646490.077 | 175.802 | OBJ  |
| 4       | 4031-04 | 852812.578 | 6646490.261 | 175.670 | OBJ  |
| 4       | 4021-2  | 852811.725 | 6646488.854 | 175.704 | OBJ  |
| 4       | 4031-04 | 852811.977 | 6646491.030 | 175.680 | OBJ  |
| 4       | 4013-1  | 852810.358 | 6646496.612 | 175.760 | OBJ  |
| 4       | 4048-1  | 852815.217 | 6646492.325 | 175.869 | OBJ  |
| 4       | 4048-2  | 852815.501 | 6646492.224 | 175.869 | OBJ  |
| 4       | 4048-3  | 852815.660 | 6646492.473 | 175.862 | OBJ  |
| 4       | 4021-3  | 852812.244 | 6646488.479 | 175.716 | OBJ  |
| 4       | 4048-4  | 852815.516 | 6646492.476 | 175.822 | OBJ  |
| 4       | 4050-01 | 852810.898 | 6646491.852 | 175.246 | OBJ  |
| 4       | 4015-02 | 852817.648 | 6646497.617 | 175.795 | OBJ  |
| 4       | 4013-2  | 852810.752 | 6646497.236 | 175.532 | OBJ  |
| 4       | 4013-3  | 852810.705 | 6646497.849 | 175.447 | OBJ  |
| 4       | 4048-5  | 852814.941 | 6646492.256 | 175.770 | OBJ  |
| 4       | 4003_04 | 852815.695 | 6646502.034 | 175.659 | OBJ  |
| 4       | 4003-05 | 852817.373 | 6646500.219 | 175.622 | OBJ  |
| 4       | 4013-4  | 852812.378 | 6646499.797 | 175.717 | OBJ  |
| 4       | 4013-5  | 852812.308 | 6646499.890 | 175.697 | OBJ  |
| 4       | 4036-2  | 852806.916 | 6646496.014 | 175.522 | OBJ  |
| 4       | 4013-6  | 852812.313 | 6646499.909 | 175.600 | OBJ  |
| 4       | 4013-7  | 852812.319 | 6646499.955 | 175.578 | OBJ  |
| 4       | 4066-01 | 852810.394 | 6646492.467 | 175.378 | OBJ  |
| 4       | 4013-8  | 852812.772 | 6646501.391 | 175.487 | OBJ  |
| 4       | 4003_07 | 852817.777 | 6646499.844 | 175.569 | OBJ  |
| 4       | 4070-1  | 852811.001 | 6646492.101 | 175.400 | OBJ  |
| 4       | 4034_01 | 852818.153 | 6646499.973 | 175.314 | OBJ  |
| 4       | 4034_02 | 852817.267 | 6646499.812 | 175.318 | OBJ  |

## ANNEXE 6 - PRÉ-INVENTAIRE DU MOBILIER (2022)

| Date | Site | Sect. | UF   | Matériau  | Catégories                    | NR  | Masse (g.) |
|------|------|-------|------|-----------|-------------------------------|-----|------------|
| 2022 | VSLD | 2     | 2000 | MÉTAL     | FER CLOUS                     | 3   | 8          |
| 2022 | VSLD | 2     | 2000 | MÉTAL     | FER INDETERMINE               | 3   | 22         |
| 2022 | VSLD | 2     | 2000 | TERRE     | TERRE CUITE VAISSELLE         |     | 98         |
| 2022 | VSLD | 2     | 2000 | VERRE     | VERRE                         | 7   | 4          |
| 2022 | VSLD | 2     | 2000 | PIERRE    | PIERRE AUTRE                  | 2   | 117        |
| 2022 | VSLD | 2     | 2002 | TERRE     | TERRE CUITE VAISSELLE         |     | 9          |
| 2022 | VSLD | 3     | 2002 | ORGANIQUE | OS                            | 1   | 0,9        |
| 2022 | VSLD | 2     | 2003 | TERRE     | TBR                           | 1   | 34         |
| 2022 | VSLD | 2     | 2003 | PIERRE    | PIERRE AUTRES                 | 1   | 512        |
| 2022 | VSLD | 2     | 2007 | TERRE     | TERRE CUITE VAISSELLE         | 3   | 152        |
| 2022 | VSLD | 2     | 2007 | TERRE     | TCA CONSERVE                  | 7   | 411        |
| 2022 | VSLD | 2     | 2007 | PIERRE    | PIERRE AUTRE                  | 1   | 4          |
| 2022 | VSLD | 2     | 2007 | ORGANIQUE | OS                            | 3   | 55         |
| 2022 | VSLD | 2     | 2011 | PIERRE    | PIERRE AUTRE                  | 1   | 67         |
| 2022 | VSLD | 3     | 3000 | MÉTAL     | FER CLOUS                     | 3   | 42         |
| 2022 | VSLD | 3     | 3000 | MÉTAL     | FER AUTRE OBJET               | 6   | 77         |
| 2022 | VSLD | 3     | 3000 | MÉTAL     | FER INDETERMINE               | 3   | 7          |
| 2022 | VSLD | 3     | 3000 | MÉTAL     | AUTRE METAL INDET SCORIE      | 1   | 68         |
| 2022 | VSLD | 3     | 3000 | TERRE     | TERRE CUITE VAISSELLE         |     | 2223       |
| 2022 | VSLD | 3     | 3000 | TERRE     | TERRE CUITE AMPHORE JETE      | 38  | 3370       |
| 2022 | VSLD | 3     | 3000 | TERRE     | TERRE CUITE AMPHORE CONSERVEE | 28  | 2519       |
| 2022 | VSLD | 3     | 3000 | TERRE     | TBR                           | 4   | 132        |
| 2022 | VSLD | 3     | 3000 | TERRE     | TCA JETE                      | 25  | 1700       |
| 2022 | VSLD | 3     | 3000 | VERRE     | VERRE                         | 2   | 10         |
| 2022 | VSLD | 3     | 3000 | PIERRE    | PIERRE AUTRE                  | 13  | 1327       |
| 2022 | VSLD | 3     | 3000 | ORGANIQUE | OS                            | 80  | 690        |
| 2022 | VSLD | 3     | 3001 | TERRE     | TERRE CUITE VAISSELLE         |     | 800        |
| 2022 | VSLD | 3     | 3001 | TERRE     | TERRE CUITE AMPHORE JETE      | 6   | 516        |
| 2022 | VSLD | 3     | 3001 | TERRE     | TERRE CUITE AMPHORE CONSERVEE | 5   | 1332       |
| 2022 | VSLD | 3     | 3001 | TERRE     | TCA JETE                      | 16  | 1600       |
| 2022 | VSLD | 3     | 3001 | PIERRE    | MORTIER CHAUX                 | 1   | 34         |
| 2022 | VSLD | 3     | 3001 | PIERRE    | PIERRE INDET                  | 2   | 672        |
| 2022 | VSLD | 3     | 3001 | ORGANIQUE | OS                            | 13  | 140        |
| 2022 | VSLD | 3     | 3003 | MÉTAL     | FER CLOUS                     | 14  | 100        |
| 2022 | VSLD | 3     | 3003 | MÉTAL     | FER AUTRE OBJET               | 18  | 121        |
| 2022 | VSLD | 3     | 3003 | MÉTAL     | FER INDETERMINE               | 6   | 14         |
| 2022 | VSLD | 3     | 3003 | MÉTAL     | AUTRE METAL INDET SCORIE      | 1   | 9          |
| 2022 | VSLD | 3     | 3003 | TERRE     | TERRE CUITE VAISSELLE         | 612 | 8976       |
| 2022 | VSLD | 3     | 3003 | TERRE     | TERRE CUITE AMPHORE JETE      | 72  | 8496       |
| 2022 | VSLD | 3     | 3003 | TERRE     | TERRE CUITE AMPHORE CONSERVEE | 44  | 8554       |
| 2022 | VSLD | 3     | 3003 | TERRE     | TBR                           | 6   | 27         |
| 2022 | VSLD | 3     | 3003 | TERRE     | TCA JETE                      | 119 | 2746       |
| 2022 | VSLD | 3     | 3003 | TERRE     | TCA CONSERVE                  | 21  | 16400      |
| 2022 | VSLD | 3     | 3003 | VERRE     | VERRE                         | 39  | 52         |
| 2022 | VSLD | 3     | 3003 | PIERRE    | PIERRE AUTRES INDET           | 94  | 40128      |
| 2022 | VSLD | 3     | 3003 | ORGANIQUE | OS                            | 106 | 876        |

## ANNEXE 6 - PRÉ-INVENTAIRE DU MOBILIER (2022)

| Date | Site | Sect. | UF        | Matière   | Catégories                    | NR  | Masse (g.) |
|------|------|-------|-----------|-----------|-------------------------------|-----|------------|
| 2022 | VSLD | 3     | 3005      | MÉTAL     | AUTRE MÉTAL INDET SCORIE      | 1   | 300        |
| 2022 | VSLD | 3     | 3005      | TERRE     | TERRE CUITE AMPHORE JETE      | 15  | 1783       |
| 2022 | VSLD | 3     | 3005      | TERRE     | TERRE CUITE AMPHORE CONSERVEE | 28  | 6406       |
| 2022 | VSLD | 3     | 3005      | TERRE     | TCA JETE                      | 66  | 10929      |
| 2022 | VSLD | 3     | 3005      | TERRE     | TCA CONSERVE                  | 3   | 660        |
| 2022 | VSLD | 3     | 3005      | PIERRE    | PIERRE AUTRES INDET           | 25  | 11971      |
| 2022 | VSLD | 3     | 3005      | ORGANIQUE | OS                            | 21  | 867        |
| 2022 | VSLD | 3     | 3007      | TERRE     | TERRE CUITE VAISSELLE         |     | 27         |
| 2022 | VSLD | 3     | 3008      | ORGANIQUE | OS                            | 1   | 2          |
| 2022 | VSLD | 3     | 3009      | MÉTAL     | AUTRE MÉTAL INDET SCORIE      | 1   |            |
| 2022 | VSLD | 3     | 3009      | TERRE     | TERRE CUITE VAISSELLE         |     | 2142       |
| 2022 | VSLD | 3     | 3009      | TERRE     | TERRE CUITE AMPHORE JETE      | 7   | 455        |
| 2022 | VSLD | 3     | 3009      | TERRE     | TERRE CUITE AMPHORE CONSERVEE | 2   | 197        |
| 2022 | VSLD | 3     | 3009      | TERRE     | TBR                           | 1   | 392        |
| 2022 | VSLD | 3     | 3009      | ORGANIQUE | OS                            | 148 | 1397       |
| 2022 | VSLD | 3     | 3010      | TERRE     | TERRE CUITE VAISSELLE         | 3   | 16         |
| 2022 | VSLD | 3     | 3010      | PIERRE    | PIERRE AUTRE INDETT           | 2   | 30         |
| 2022 | VSLD | 3     | 3010      | ORGANIQUE | OS                            | 4   | 23         |
| 2022 | VSLD | 3     | 3011      | MÉTAL     | AUTRE MÉTAL INDET SCORIE      | 1   | 17         |
| 2022 | VSLD | 3     | 3012      | MÉTAL     | FER AUTRE OBJET               | 2   | 11         |
| 2022 | VSLD | 3     | 3012      | MÉTAL     | AUTRE MÉTAL INDET SCORIE      | 4   | 68         |
| 2022 | VSLD | 3     | 3012      | TERRE     | TERRE CUITE VAISSELLE         |     | 1250       |
| 2022 | VSLD | 3     | 3012      | TERRE     | TERRE CUITE AMPHORE JETE      | 78  | 7697       |
| 2022 | VSLD | 3     | 3012      | TERRE     | TERRE CUITE AMPHORE CONSERVEE | 40  | 2550       |
| 2022 | VSLD | 3     | 3012      | TERRE     | TBR                           | 3   | 37         |
| 2022 | VSLD | 3     | 3012      | PIERRE    | PIERRE AUTRE INDETT           | 9   | 1037       |
| 2022 | VSLD | 3     | 3012      | ORGANIQUE | OS                            | 125 | 1232       |
| 2022 | VSLD | 3     | 3013      | MÉTAL     | FER CLOUS                     | 2   | 13         |
| 2022 | VSLD | 3     | 3013      | TERRE     | TERRE CUITE VAISSELLE         |     | 1194       |
| 2022 | VSLD | 3     | 3013      | TERRE     | TERRE CUITE AMPHORE CONSERVEE | 5   | 322        |
| 2022 | VSLD | 3     | 3013      | TERRE     | TCA JETE                      | 25  | 3168       |
| 2022 | VSLD | 3     | 3013      | TERRE     | TCA CONSERVE                  | 3   | 830        |
| 2022 | VSLD | 3     | 3013      | VERRE     | VERRE                         | 4   | 2          |
| 2022 | VSLD | 3     | 3013      | PIERRE    | PIERRE AUTRE INDETT           | 1   | 688        |
| 2022 | VSLD | 3     | 3013      | ORGANIQUE | OS                            | 8   | 89         |
| 2022 | VSLD | 3     | 3013-3015 | TERRE     | TERRE CUITE VAISSELLE         |     | 82         |
| 2022 | VSLD | 3     | 3013-3015 | TERRE     | TCA JETE                      | 18  | 1228       |
| 2022 | VSLD | 3     | 3013-3015 | TERRE     | TCA CONSERVE                  | 9   | 1481       |
| 2022 | VSLD | 3     | 3013-3015 | VERRE     | VERRE                         | 2   | 2          |
| 2022 | VSLD | 3     | 3013-3015 | ORGANIQUE | OS                            | 4   | 39         |
| 2022 | VSLD | 3     | 3015      | MÉTAL     | FER CLOUS                     | 1   | 12         |
| 2022 | VSLD | 3     | 3015      | MÉTAL     | FER AUTRE OBJET               | 1   | 11         |
| 2022 | VSLD | 3     | 3015      | TERRE     | TERRE CUITE VAISSELLE         |     | 735        |
| 2022 | VSLD | 3     | 3015      | TERRE     | TERRE CUITE AMPHORE JETE      | 5   | 92         |
| 2022 | VSLD | 3     | 3015      | TERRE     | TERRE CUITE AMPHORE CONSERVEE | 2   | 84         |
| 2022 | VSLD | 3     | 3015      | ORGANIQUE | OS                            | 11  | 59         |



## ANNEXE 6 - PRÉ-INVENTAIRE DU MOBILIER (2022)

| Date | Site | Sect. | UF   | Matière   | Catégories                    | NR  | Masse (g.) |
|------|------|-------|------|-----------|-------------------------------|-----|------------|
| 2022 | VSLD | 3     | 3017 | MÉTAL     | FER AUTRE OBJET               | 1   | 20         |
| 2022 | VSLD | 3     | 3017 | TERRE     | TERRE CUITE VAISSELLE         |     | 963        |
| 2022 | VSLD | 3     | 3017 | TERRE     | TERRE CUITE AMPHORE JETE      | 1   | 57         |
| 2022 | VSLD | 3     | 3017 | TERRE     | TERRE CUITE AMPHORE CONSERVEE | 1   | 336        |
| 2022 | VSLD | 3     | 3017 | TERRE     | TBR                           | 2   | 24         |
| 2022 | VSLD | 3     | 3017 | PIERRE    | PIERRE AUTRE INDETT           | 2   | 55         |
| 2022 | VSLD | 3     | 3017 | ORGANIQUE | OS                            | 128 | 603        |
| 2022 | VSLD | 3     | 3021 | TERRE     | TERRE CUITE VAISSELLE         |     | 652        |
| 2022 | VSLD | 3     | 3021 | TERRE     | TERRE CUITE AMPHORE JETE      | 1   | 14         |
| 2022 | VSLD | 3     | 3021 | PIERRE    | PIERRE AUTRE INDETT           | 1   | 24         |
| 2022 | VSLD | 3     | 3021 | ORGANIQUE | OS                            | 28  | 285        |
| 2022 | VSLD | 3     | 3023 | MÉTAL     | FER CLOUS                     | 5   | 81         |
| 2022 | VSLD | 3     | 3023 | MÉTAL     | FER AUTRE OBJET               | 16  | 182        |
| 2022 | VSLD | 3     | 3023 | MÉTAL     | FER INDETERMINE               | 4   | 10         |
| 2022 | VSLD | 3     | 3023 | TERRE     | TERRE CUITE VAISSELLE         |     | 7439       |
| 2022 | VSLD | 3     | 3023 | TERRE     | TERRE CUITE AMPHORE JETE      | 304 | 28905      |
| 2022 | VSLD | 3     | 3023 | TERRE     | TERRE CUITE AMPHORE CONSERVEE | 186 | 28166      |
| 2022 | VSLD | 3     | 3023 | TERRE     | TBR                           | 56  | 4258       |
| 2022 | VSLD | 3     | 3023 | TERRE     | TCA JETE                      | 7   | 560        |
| 2022 | VSLD | 3     | 3023 | TERRE     | TCA CONSERVE                  | 1   | 160        |
| 2022 | VSLD | 3     | 3023 | TERRE     | TERRE CUITE IND               | 2   | 23         |
| 2022 | VSLD | 3     | 3023 | TERRE     | TERRE CUITE AUTRE OBJET       | 1   | 24         |
| 2022 | VSLD | 3     | 3023 | PIERRE    | PIERRE AUTRE INDETT           | 38  | 13691      |
| 2022 | VSLD | 3     | 3023 | ORGANIQUE | OS TRAVAILLE                  | 1   | 18         |
| 2022 | VSLD | 3     | 3023 | ORGANIQUE | OS                            | 517 | 6771       |
| 2022 | VSLD | 3     | 3025 | MÉTAL     | AUTRE METAL INDET SCORIE      | 1   | 13         |
| 2022 | VSLD | 3     | 3025 | TERRE     | TERRE CUITE VAISSELLE         |     | 939        |
| 2022 | VSLD | 3     | 3025 | TERRE     | TERRE CUITE AMPHORE JETE      | 12  | 1471       |
| 2022 | VSLD | 3     | 3025 | TERRE     | TERRE CUITE AMPHORE CONSERVEE | 9   | 1653       |
| 2022 | VSLD | 3     | 3025 | TERRE     | TCA JETE                      | 25  | 3862       |
| 2022 | VSLD | 3     | 3025 | TERRE     | TCA CONSERVE                  | 2   | 785        |
| 2022 | VSLD | 3     | 3025 | PIERRE    | PIERRE AUTRE INDETT           | 4   | 1109       |
| 2022 | VSLD | 3     | 3025 | ORGANIQUE | OS                            | 19  | 220        |
| 2022 | VSLD | 3     | 3033 | TERRE     | TERRE CUITE AMPHORE JETE      | 8   | 843        |
| 2022 | VSLD | 3     | 3033 | TERRE     | TERRE CUITE AMPHORE CONSERVEE | 10  | 495        |
| 2022 | VSLD | 3     | 3033 | TERRE     | TCA JETE                      | 18  | 1656       |
| 2022 | VSLD | 3     | 3033 | TERRE     | TCA CONSERVE                  | 3   | 580        |
| 2022 | VSLD | 3     | 3033 | PIERRE    | PIERRE AUTRE INDETT           | 2   | 509        |
| 2022 | VSLD | 3     | 3034 | TERRE     | TERRE CUITE VAISSELLE         |     | 142        |
| 2022 | VSLD | 3     | 3034 | TERRE     | TERRE CUITE AMPHORE CONSERVEE | 1   | 17         |
| 2022 | VSLD | 3     | 3034 | VERRE     | VERRE                         | 1   | 2          |
| 2022 | VSLD | 3     | 3034 | ORGANIQUE | OS                            | 17  | 202        |
| 2022 | VSLD | 3     | 3035 | MÉTAL     | AUTRE METAL INDET SCORIE      | 1   | 143        |
| 2022 | VSLD | 3     | 3035 | TERRE     | TERRE CUITE VAISSELLE         |     | 1562       |
| 2022 | VSLD | 3     | 3035 | TERRE     | TERRE CUITE AMPHORE JETE      | 25  | 2670       |
| 2022 | VSLD | 3     | 3035 | TERRE     | TERRE CUITE AMPHORE CONSERVEE | 22  | 605        |

## ANNEXE 6 - PRÉ-INVENTAIRE DU MOBILIER (2022)

| Date | Site | Sect. | UF   | Matière   | Catégories                                | NR  | Masse (g.) |
|------|------|-------|------|-----------|---|-----|------------|
| 2022 | VSLD | 3     | 3035 | TERRE     | TCA JETE                                  | 55  | 6877       |
| 2022 | VSLD | 3     | 3035 | TERRE     | TCA CONSERVE                              | 3   | 585        |
| 2022 | VSLD | 3     | 3035 | PIERRE    | PIERRE AUTRE INDETT                       | 11  | 2705       |
| 2022 | VSLD | 3     | 3035 | ORGANIQUE | OS  | 50  | 1223       |
| 2022 | VSLD | 3     | 3037 | TERRE     | TERRE CUIE VAISSELLE                      |     | 104        |
| 2022 | VSLD | 3     | 3037 | TERRE     | TERRE CUIE AMPHORE CONSERVEE              | 1   | 30         |
| 2022 | VSLD | 3     | 3037 | TERRE     | TCA CONSERVE                              | 2   | 45         |
| 2022 | VSLD | 3     | 3037 | ORGANIQUE | OS  | 4   | 16         |
| 2022 | VSLD | 3     | 3039 | METAL     | FER CLOUS                                 | 1   | 10         |
| 2022 | VSLD | 3     | 3039 | METAL     | FER AUTRE OBJET                           | 1   | 3          |
| 2022 | VSLD | 3     | 3039 | TERRE     | TERRE CUIE VAISSELLE                      |     | 911        |
| 2022 | VSLD | 3     | 3039 | TERRE     | TERRE CUIE AMPHORE JETE                   | 21  | 1029       |
| 2022 | VSLD | 3     | 3039 | TERRE     | TERRE CUIE AMPHORE CONSERVEE              | 12  | 1461       |
| 2022 | VSLD | 3     | 3039 | TERRE     | TCA JETE                                  | 59  | 3374       |
| 2022 | VSLD | 3     | 3039 | PIERRE    | PIERRE AUTRE INDETT                       | 4   | 561        |
| 2022 | VSLD | 3     | 3039 | ORGANIQUE | OS  | 104 | 1536       |
| 2022 | VSLD | 3     | 3041 | TERRE     | TERRE CUIE AMPHORE JETE                   | 1   | 18         |
| 2022 | VSLD | 3     | 3071 | TERRE     | TERRE CUIE VAISSELLE                      |     | 597        |
| 2022 | VSLD | 3     | 3071 | TERRE     | TERRE CUIE AMPHORE CONSERVEE              | 1   | 86         |
| 2022 | VSLD | 3     | 3071 | PIERRE    | PIERRE AUTRE INDETT                       | 2   | 90         |
| 2022 | VSLD | 3     | 3071 | ORGANIQUE | OS  | 60  | 683        |
| 2022 | VSLD | 3     | 3074 | ORGANIQUE | OS  | 13  | 63         |
| 2022 | VSLD | 3     | 3075 | ORGANIQUE | OS  | 2   | 5          |
| 2022 | VSLD | 3     | 3077 | TERRE     | TERRE CUIE VAISSELLE                      |     | 118        |
| 2022 | VSLD | 3     | 3080 | TERRE     | TERRE CUIE VAISSELLE                      | 16  | 335        |
| 2022 | VSLD | 3     | 3080 | PIERRE    | PIERRE AUTRE INDETT                       | 1   | 1          |
| 2022 | VSLD | 3     | 3080 | ORGANIQUE | BOIS NON TRAVAILLE                        | 1   | 0,5        |
| 2022 | VSLD | 3     | 3080 | ORGANIQUE | OS  | 10  | 5,5        |
| 2022 | VSLD | 4     | 4000 | METAL     | FER AUTRE OBJET                           | 8   | 48         |
| 2022 | VSLD | 4     | 4000 | METAL     | AUTRE MÉTAL/MÉTAL INDÉTERMINÉ/<br>SCORIES | 1   | 116        |
| 2022 | VSLD | 4     | 4000 | TERRE     | TERRE CUIE AMPHORE CONSERVÉ               | 1   | 122        |
| 2022 | VSLD | 4     | 4000 | TERRE     | TBR                                       | 3   | 26         |
| 2022 | VSLD | 4     | 4000 | TERRE     | TCA JETÉE                                 | 2   | 50         |
| 2022 | VSLD | 4     | 4000 | ORGANIQUE | OS/COQUILLE NON TRAVAILLÉ                 | 126 | 1477       |
| 2022 | VSLD | 4     | 4001 | METAL     | FER CLOU                                  | 2   | 29         |
| 2022 | VSLD | 4     | 4001 | METAL     | FER AUTRE OBJET                           | 1   | 9          |
| 2022 | VSLD | 4     | 4001 | METAL     | AUTRE MÉTAL/MÉTAL INDÉTERMINÉ/<br>SCORIES | 7   | 421        |
| 2022 | VSLD | 4     | 4001 | TERRE     | TERRE CUIE VAISSELLE                      |     | 3369       |
| 2022 | VSLD | 4     | 4001 | TERRE     | TERRE CUIE AMPHORE JETÉE                  | 59  | 6247       |
| 2022 | VSLD | 4     | 4001 | TERRE     | TERRE CUIE AMPHORE CONSERVÉ               | 49  | 8391       |
| 2022 | VSLD | 4     | 4001 | TERRE     | TCA JETÉE                                 | 5   | 512        |
| 2022 | VSLD | 4     | 4001 | PIERRE    | PIERRE AUTRE OBJET                        | 1   | 30         |
| 2022 | VSLD | 4     | 4001 | PIERRE    | PIERRE AUTRE INDÉTERMINÉ                  | 5   | 1522       |
| 2022 | VSLD | 4     | 4001 | ORGANIQUE | OS/COQUILLE NON TRAVAILLÉ                 | 536 | 8382       |

## ANNEXE 6 - PRÉ-INVENTAIRE DU MOBILIER (2022)

| Date | Site | Sect. | UF   | Matériau  | Catégories                                | NR   | Masse (g.) |
|------|------|-------|------|-----------|---|------|------------|
| 2022 | VSLD | 4     | 4003 | MÉTAL     | FER CLOU                                  | 2    | 16         |
| 2022 | VSLD | 4     | 4003 | MÉTAL     | FER AUTRE OBJET                           | 5    | 56         |
| 2022 | VSLD | 4     | 4003 | MÉTAL     | AUTRE MÉTAL/MÉTAL INDÉTERMINÉ/<br>SCORIES | 1    | 16         |
| 2022 | VSLD | 4     | 4003 | TERRE     | TERRE CUITE VAISSELLE                     |      | 2392       |
| 2022 | VSLD | 4     | 4003 | TERRE     | TBR                                       | 17   | 1191       |
| 2022 | VSLD | 4     | 4003 | PIERRE    | PIERRE AUTRE INDÉTERMINÉ                  | 21   | 2197       |
| 2022 | VSLD | 4     | 4003 | ORGANIQUE | OS/COQUILLE NON TRAVAILLÉ                 | 1121 | 16621      |
| 2022 | VSLD | 4     | 4006 | TERRE     | TERRE CUITE VAISSELLE                     | 1    | 10         |
| 2022 | VSLD | 4     | 4006 | ORGANIQUE | OS/COQUILLE NON TRAVAILLÉ                 | 2    | 13         |
| 2022 | VSLD | 4     | 4008 | TERRE     | TERRE CUITE VAISSELLE                     |      | 60         |
| 2022 | VSLD | 4     | 4008 | TERRE     | TCA JETÉE                                 | 1    | 40         |
| 2022 | VSLD | 4     | 4008 | ORGANIQUE | OS/COQUILLE NON TRAVAILLÉ                 | 4    | 22         |
| 2022 | VSLD | 4     | 4013 | MÉTAL     | AUTRE MÉTAL/MÉTAL INDÉTERMINÉ/<br>SCORIES | 13   | 169        |
| 2022 | VSLD | 4     | 4013 | TERRE     | TERRE CUITE VAISSELLE                     |      | 8892       |
| 2022 | VSLD | 4     | 4013 | TERRE     | TERRE CUITE AMPHORE JETÉE                 | 1    | 13         |
| 2022 | VSLD | 4     | 4013 | TERRE     | TERRE CUITE AMPHORE CONSERVÉ              | 2    | 30         |
| 2022 | VSLD | 4     | 4013 | TERRE     | TBR                                       | 39   | 828        |
| 2022 | VSLD | 4     | 4013 | PIERRE    | PIERRE AUTRE INDÉTERMINÉ                  | 28   | 1358       |
| 2022 | VSLD | 4     | 4013 | ORGANIQUE | OS/COQUILLE NON TRAVAILLÉ                 | 756  | 9594       |
| 2022 | VSLD | 4     | 4015 | MÉTAL     | FER AUTRE OBJET                           | 1    | 3          |
| 2022 | VSLD | 4     | 4015 | TERRE     | TERRE CUITE AMPHORE CONSERVÉ              |      | 2461       |
| 2022 | VSLD | 4     | 4015 | TERRE     | TBR                                       | 20   | 252        |
| 2022 | VSLD | 4     | 4015 | PIERRE    | PIERRE AUTRE INDÉTERMINÉ                  | 7    | 1607       |
| 2022 | VSLD | 4     | 4015 | ORGANIQUE | OS/COQUILLE NON TRAVAILLÉ                 | 628  | 6448       |
| 2022 | VSLD | 4     | 4017 | TERRE     | TERRE CUITE AMPHORE JETÉE                 | 2    | 144        |
| 2022 | VSLD | 4     | 4017 | TERRE     | TERRE CUITE AMPHORE CONSERVÉ              | 2    | 836        |
| 2022 | VSLD | 4     | 4018 | TERRE     | TERRE CUITE VAISSELLE                     |      | 95         |
| 2022 | VSLD | 4     | 4018 | ORGANIQUE | OS/COQUILLE NON TRAVAILLÉ                 | 4    | 29         |
| 2022 | VSLD | 4     | 4019 | MÉTAL     | FER CLOU                                  | 2    | 52         |
| 2022 | VSLD | 4     | 4019 | MÉTAL     | FER AUTRE OBJET                           | 1    | 10         |
| 2022 | VSLD | 4     | 4019 | MÉTAL     | FER INDÉTERMINÉ                           | 1    | 13         |
| 2022 | VSLD | 4     | 4019 | MÉTAL     | AUTRE MÉTAL/MÉTAL INDÉTERMINÉ/<br>SCORIES | 1    | 23         |
| 2022 | VSLD | 4     | 4019 | TERRE     | TERRE CUITE VAISSELLE                     |      | 15854      |
| 2022 | VSLD | 4     | 4019 | TERRE     | TERRE CUITE AMPHORE JETÉE                 | 8    | 241        |
| 2022 | VSLD | 4     | 4019 | TERRE     | TERRE CUITE AMPHORE CONSERVÉ              | 13   | 1918       |
| 2022 | VSLD | 4     | 4019 | TERRE     | TBR                                       | 64   | 2506       |
| 2022 | VSLD | 4     | 4019 | TERRE     | TCA JETÉE                                 | 17   | 2025       |
| 2022 | VSLD | 4     | 4019 | TERRE     | TCA CONSERVÉE                             | 3    | 751        |
| 2022 | VSLD | 4     | 4019 | PIERRE    | PIERRE AUTRE INDÉTERMINÉ                  | 14   | 1536       |
| 2022 | VSLD | 4     | 4019 | ORGANIQUE | OS/COQUILLE NON TRAVAILLÉ                 | 1570 | 17586      |
| 2022 | VSLD | 4     | 4021 | TERRE     | TERRE CUITE VAISSELLE                     |      | 1950       |
| 2022 | VSLD | 4     | 4021 | TERRE     | TBR                                       | 12   | 135        |
| 2022 | VSLD | 4     | 4021 | PIERRE    | PIERRE AUTRE INDÉTERMINÉ                  | 1    | 31         |

## ANNEXE 6 - PRÉ-INVENTAIRE DU MOBILIER (2022)

| Date | Site | Sect. | UF   | Matière   | Catégories                                | NR   | Masse (g.) |
|------|------|-------|------|-----------|---|------|------------|
| 2022 | VSLD | 4     | 4021 | ORGANIQUE | OS/COQUILLE NON TRAVAILLÉ                 | 362  | 5111       |
| 2022 | VSLD | 4     | 4023 | TERRE     | TERRE CUIE VAISSELLE                      |      | 15         |
| 2022 | VSLD | 4     | 4023 | TERRE     | TBR                                       | 2    | 7          |
| 2022 | VSLD | 4     | 4023 | ORGANIQUE | OS/COQUILLE NON TRAVAILLÉ                 | 11   | 105        |
| 2022 | VSLD | 4     | 4024 | ORGANIQUE | OS/COQUILLE NON TRAVAILLÉ                 | 1    | 5          |
| 2022 | VSLD | 4     | 4028 | TERRE     | TERRE CUIE AMPHORE JETÉE                  |      | 425        |
| 2022 | VSLD | 4     | 4028 | TERRE     | TBR                                       | 8    | 53         |
| 2022 | VSLD | 4     | 4028 | PIERRE    | PIERRE AUTRE INDÉTERMINÉ                  | 1    | 93         |
| 2022 | VSLD | 4     | 4028 | ORGANIQUE | OS/COQUILLE NON TRAVAILLÉ                 | 21   | 223        |
| 2022 | VSLD | 4     | 4029 | TERRE     | TERRE CUIE VAISSELLE                      |      | 670        |
| 2022 | VSLD | 4     | 4019 | ORGANIQUE | OS/COQUILLE NON TRAVAILLÉ                 | 121  | 1258       |
| 2022 | VSLD | 4     | 4030 | TERRE     | TERRE CUIE VAISSELLE                      |      | 334        |
| 2022 | VSLD | 4     | 4030 | TERRE     | TBR                                       | 6    | 41         |
| 2022 | VSLD | 4     | 4030 | ORGANIQUE | OS/COQUILLE NON TRAVAILLÉ                 | 19   | 115        |
| 2022 | VSLD | 4     | 4031 | MÉTAL     | FER INDÉTERMINÉ                           | 5    | 7          |
| 2022 | VSLD | 4     | 4031 | TERRE     | TERRE CUIE VAISSELLE                      |      | 3688       |
| 2022 | VSLD | 4     | 4031 | TERRE     | TERRE CUIE AMPHORE JETÉE                  | 2    | 40         |
| 2022 | VSLD | 4     | 4031 | TERRE     | TERRE CUIE AMPHORE CONSERVÉ               | 1    | 661        |
| 2022 | VSLD | 4     | 4031 | TERRE     | TBR                                       | 64   | 834        |
| 2022 | VSLD | 4     | 4031 | PIERRE    | PIERRE AUTRE INDÉTERMINÉ                  | 9    | 312        |
| 2022 | VSLD | 4     | 4031 | ORGANIQUE | OS/COQUILLE NON TRAVAILLÉ                 | 451  | 5110       |
| 2022 | VSLD | 4     | 4033 | MÉTAL     | FER AUTRE OBJET                           | 2    | 18         |
| 2022 | VSLD | 4     | 4033 | MÉTAL     | AUTRE MÉTAL/MÉTAL INDÉTERMINÉ/<br>SCORIES | 1    | 32         |
| 2022 | VSLD | 4     | 4033 | TERRE     | TERRE CUIE VAISSELLE                      |      | 2613       |
| 2022 | VSLD | 4     | 4033 | TERRE     | TBR                                       | 23   | 516        |
| 2022 | VSLD | 4     | 4033 | PIERRE    | PIERRE AUTRE INDÉTERMINÉ                  | 24   | 1273       |
| 2022 | VSLD | 4     | 4033 | ORGANIQUE | OS/COQUILLE NON TRAVAILLÉ                 | 3071 | 4420       |
| 2022 | VSLD | 4     | 4034 | TERRE     | TERRE CUIE VAISSELLE                      |      | 4335       |
| 2022 | VSLD | 4     | 4034 | TERRE     | TBR                                       | 3    | 60         |
| 2022 | VSLD | 4     | 4034 | PIERRE    | PIERRE AUTRE INDÉTERMINÉ                  | 7    | 690        |
| 2022 | VSLD | 4     | 4034 | ORGANIQUE | OS/COQUILLE NON TRAVAILLÉ                 | 315  | 5466       |
| 2022 | VSLD | 4     | 4035 | TERRE     | TERRE CUIE VAISSELLE                      |      | 58         |
| 2022 | VSLD | 4     | 4035 | PIERRE    | PIERRE AUTRE INDÉTERMINÉ                  | 4    | 225        |
| 2022 | VSLD | 4     | 4035 | ORGANIQUE | OS/COQUILLE TRAVAILLÉ                     | 96   | 1813       |
| 2022 | VSLD | 4     | 4036 | TERRE     | TERRE CUIE VAISSELLE                      |      | 1096       |
| 2022 | VSLD | 4     | 4036 | TERRE     | TBR                                       | 3    | 34         |
| 2022 | VSLD | 4     | 4036 | ORGANIQUE | OS/COQUILLE NON TRAVAILLÉ                 | 114  | 1069       |
| 2022 | VSLD | 4     | 4038 | TERRE     | TERRE CUIE VAISSELLE                      |      | 234        |
| 2022 | VSLD | 4     | 4038 | ORGANIQUE | OS/COQUILLE NON TRAVAILLÉ                 | 9    | 195        |
| 2022 | VSLD | 4     | 4040 | MÉTAL     | FER INDÉTERMINÉ                           | 2    | 15         |
| 2022 | VSLD | 4     | 4040 | TERRE     | TERRE CUIE VAISSELLE                      |      | 291        |
| 2022 | VSLD | 4     | 4040 | TERRE     | TERRE CUIE AMPHORE JETÉE                  | 2    | 171        |
| 2022 | VSLD | 4     | 4040 | TERRE     | TBR                                       | 3    | 28         |
| 2022 | VSLD | 4     | 4040 | ORGANIQUE | OS/COQUILLE NON TRAVAILLÉ                 | 92   | 1485       |
| 2022 | VSLD | 4     | 4041 | TERRE     | TERRE CUIE VAISSELLE                      |      | 230        |

## ANNEXE 6 - PRÉ-INVENTAIRE DU MOBILIER (2022)

| Date | Site | Sect. | UF   | Matière   | Catégories                                | NR  | Masse (g.) |
|------|------|-------|------|-----------|---|-----|------------|
| 2022 | VSLD | 4     | 4041 | TERRE     | TBR                                       | 11  | 214        |
| 2022 | VSLD | 4     | 4041 | PIERRE    | PIERRE AUTRE INDÉTERMINÉ                  | 2   | 146        |
| 2022 | VSLD | 4     | 4041 | ORGANIQUE | OS/COQUILLE NON TRAVAILLÉ                 | 17  | 246        |
| 2022 | VSLD | 4     | 4042 | TERRE     | TERRE CUIVE VAISSELLE                     |     | 13         |
| 2022 | VSLD | 4     | 4042 | ORGANIQUE | OS/COQUILLE NON TRAVAILLÉ                 | 4   | 54         |
| 2022 | VSLD | 4     | 4043 | MÉTAL     | AUTRE MÉTAL/MÉTAL INDÉTERMINÉ/<br>SCORIES | 1   | 101        |
| 2022 | VSLD | 4     | 4043 | TERRE     | TERRE CUIVE VAISSELLE                     |     | 2825       |
| 2022 | VSLD | 4     | 4043 | TERRE     | TBR                                       | 6   | 99         |
| 2022 | VSLD | 4     | 4043 | PIERRE    | PIERRE AUTRE INDÉTERMINÉ                  | 1   | 23         |
| 2022 | VSLD | 4     | 4043 | ORGANIQUE | OS/COQUILLE NON TRAVAILLÉ                 | 493 | 4739       |
| 2022 | VSLD | 4     | 4044 | TERRE     | TERRE CUIVE VAISSELLE                     |     | 2312       |
| 2022 | VSLD | 4     | 4044 | TERRE     | TBR                                       | 37  | 641        |
| 2022 | VSLD | 4     | 4044 | PIERRE    | PIERRE AUTRE INDÉTERMINÉ                  | 12  | 1676       |
| 2022 | VSLD | 4     | 4044 | ORGANIQUE | OS/COQUILLE NON TRAVAILLÉ                 | 199 | 2915       |
| 2022 | VSLD | 4     | 4046 | TERRE     | TERRE CUIVE VAISSELLE                     |     | 777        |
| 2022 | VSLD | 4     | 4046 | TERRE     | TBR                                       | 1   | 55         |
| 2022 | VSLD | 4     | 4046 | ORGANIQUE | OS/COQUILLE NON TRAVAILLÉ                 | 126 | 1745       |
| 2022 | VSLD | 4     | 4048 | TERRE     | TERRE CUIVE VAISSELLE                     |     | 3226       |
| 2022 | VSLD | 4     | 4048 | TERRE     | TBR                                       | 60  | 1084       |
| 2022 | VSLD | 4     | 4048 | PIERRE    | PIERRE AUTRE INDÉTERMINÉ                  | 12  | 3141       |
| 2022 | VSLD | 4     | 4048 | ORGANIQUE | OS/COQUILLE NON TRAVAILLÉ                 | 475 | 5567       |
| 2022 | VSLD | 4     | 4049 | TERRE     | TERRE CUIVE VAISSELLE                     |     | 2598       |
| 2022 | VSLD | 4     | 4049 | TERRE     | TBR                                       | 22  | 720        |
| 2022 | VSLD | 4     | 4049 | PIERRE    | PIERRE AUTRE INDÉTERMINÉ                  | 7   | 241        |
| 2022 | VSLD | 4     | 4049 | ORGANIQUE | OS/COQUILLE NON TRAVAILLÉ                 | 244 | 3230       |
| 2022 | VSLD | 4     | 4053 | TERRE     | TERRE CUIVE VAISSELLE                     |     | 48         |
| 2022 | VSLD | 4     | 4053 | ORGANIQUE | OS/COQUILLE NON TRAVAILLÉ                 | 2   | 15         |
| 2022 | VSLD | 4     | 4055 | TERRE     | TERRE CUIVE VAISSELLE                     |     | 54         |
| 2022 | VSLD | 4     | 4055 | ORGANIQUE | OS/COQUILLE NON TRAVAILLÉ                 | 28  | 390        |
| 2022 | VSLD | 4     | 4057 | ORGANIQUE | OS/COQUILLE NON TRAVAILLÉ                 | 47  | 584        |
| 2022 | VSLD | 4     | 4058 | TERRE     | TERRE CUIVE VAISSELLE                     |     | 97         |
| 2022 | VSLD | 4     | 4058 | TERRE     | TBR                                       | 35  | 320        |
| 2022 | VSLD | 4     | 4058 | ORGANIQUE | OS/COQUILLE NON TRAVAILLÉ                 | 23  | 293        |
| 2022 | VSLD | 4     | 4060 | TERRE     | TERRE CUIVE VAISSELLE                     |     | 77         |
| 2022 | VSLD | 4     | 4060 | PIERRE    | PIERRE AUTRE INDÉTERMINÉ                  | 1   | 48         |
| 2022 | VSLD | 4     | 4060 | ORGANIQUE | OS/COQUILLE NON TRAVAILLÉ                 | 15  | 97         |
| 2022 | VSLD | 4     | 4061 | TERRE     | TERRE CUIVE VAISSELLE                     |     | 164        |
| 2022 | VSLD | 4     | 4061 | TERRE     | TBR                                       | 4   | 113        |
| 2022 | VSLD | 4     | 4060 | PIERRE    | PIERRE AUTRE INDÉTERMINÉ                  | 4   | 325        |
| 2022 | VSLD | 4     | 4060 | ORGANIQUE | OS/COQUILLE NON TRAVAILLÉ                 | 33  | 360        |
| 2022 | VSLD | 4     | 4062 | TERRE     | TERRE CUIVE VAISSELLE                     |     | 25         |
| 2022 | VSLD | 4     | 4063 | ORGANIQUE | OS/COQUILLE NON TRAVAILLÉ                 | 9   | 67         |
| 2022 | VSLD | 4     | 4064 | ORGANIQUE | OS/COQUILLE NON TRAVAILLÉ                 | 57  | 919        |
| 2022 | VSLD | 4     | 4065 | TERRE     | TERRE CUIVE VAISSELLE                     |     | 575        |
| 2022 | VSLD | 4     | 4065 | ORGANIQUE | OS/COQUILLE NON TRAVAILLÉ                 | 90  | 885        |

ANNEXE 6 - PRÉ-INVENTAIRE DU MOBILIER (2022)

| Date | Site | Sect. | UF   | Matière   | Catégories                | NR  | Masse (g.) |
|------|------|-------|------|-----------|---------------------------|-----|------------|
| 2022 | VSLD | 4     | 4066 | TERRE     | TERRE CUIITE VAISSELLE    |     | 6867       |
| 2022 | VSLD | 4     | 4066 | TERRE     | TBR                       | 41  | 2453       |
| 2022 | VSLD | 4     | 4066 | PIERRE    | PIERRE AUTRE INDÉTERMINÉ  | 6   | 5780       |
| 2022 | VSLD | 4     | 4066 | ORGANIQUE | OS/COQUILLE NON TRAVAILLÉ | 288 | 5517       |
| 2022 | VSLD | 4     | 4068 | TERRE     | TBR                       | 77  | 1637       |
| 2022 | VSLD | 4     | 4068 | ORGANIQUE | OS/COQUILLE NON TRAVAILLÉ | 1   | 4          |
| 2022 | VSLD | 4     | 4069 | TERRE     | TERRE CUIITE VAISSELLE    |     | 1147       |
| 2022 | VSLD | 4     | 4069 | TERRE     | TBR                       | 1   | 10         |
| 2022 | VSLD | 4     | 4069 | ORGANIQUE | OS/COQUILLE NON TRAVAILLÉ | 81  | 1444       |
| 2022 | VSLD | 4     | 4070 | TERRE     | TERRE CUIITE VAISSELLE    |     | 226        |
| 2022 | VSLD | 4     | 4070 | TERRE     | TBR                       | 12  | 238        |
| 2022 | VSLD | 4     | 4070 | PIERRE    | PIERRE AUTRE INDÉTERMINÉ  | 1   | 14         |
| 2022 | VSLD | 4     | 4073 | TERRE     | TERRE CUIITE VAISSELLE    |     | 120        |
| 2022 | VSLD | 4     | 4073 | ORGANIQUE | OS/COQUILLE NON TRAVAILLÉ | 1   | 4          |
| 2022 | VSLD | 4     | 4080 | TERRE     | TERRE CUIITE VAISSELLE    |     | 12         |



ANNEXE 7 - INVENTAIRE ANALYTIQUE DE LA CÉRAMIQUE DES SECTEURS 2 ET 3 (2022)

| UF             | NumLOT      | Datation          | Catégorie         | Sous Cat.            | Forme                 | Typologie               | B | F   | P  | A   | NR | NMI  | Masse |
|----------------|-------------|-------------------|-------------------|----------------------|-----------------------|-------------------------|---|-----|----|-----|----|------|-------|
| 2000           | C-044044-58 | Mélangé           | /                 | /                    | /                     | /                       | 0 | 0   | 0  | 0   | 11 | 0    |       |
| Total 2000     |             |                   |                   |                      |                       |                         | 0 | 0   | 0  | 0   | 11 | 0    | 113   |
| 2002           | C-044044-59 | Proto/<br>Antique | /                 | /                    | /                     | /                       | 0 | 0   | 0  | 0   | 2  | 0    |       |
| Total 2002     |             |                   |                   |                      |                       |                         | 0 | 0   | 0  | 0   | 2  | 0    | 12    |
| 2007           | C-044044-60 | Antique           | Commune<br>sombre | Co. Sb.              | Ind                   | Ind                     | 0 | 0   | 0  | 0   | 4  | 0    |       |
| Total 2007     |             |                   |                   |                      |                       |                         | 0 | 0   | 0  | 0   | 4  | 0    | 108   |
| 3000           | C-044044-01 | Mélangé           | Commune<br>sombre | Chal.1               | Ind                   | Ind                     | 0 | 2   | 15 | 0   | 17 | 0    |       |
|                |             |                   |                   | Jatte                |                       | à colerette             | 1 | 0   | 0  | 0   | 1  | 1    |       |
|                |             |                   |                   |                      |                       | CHAL. J1                | 1 | 0   | 0  | 0   | 1  | 1    |       |
|                |             |                   |                   |                      |                       | CHAL. J2                | 3 | 2   | 1  | 0   | 6  | 3    |       |
|                |             |                   |                   |                      |                       | CHAL. J9b               | 2 | 0   | 0  | 0   | 2  | 1    |       |
|                |             |                   |                   | Pot                  |                       | CHAL. P12               | 2 | 0   | 0  | 0   | 2  | 2    |       |
|                |             |                   |                   |                      |                       | lèvre en bour-<br>relet | 1 | 0   | 1  | 0   | 2  | 1    |       |
|                |             |                   | Fine              | TN                   | Ind                   | Ind                     | 0 | 0   | 2  | 0   | 2  | 2    |       |
|                |             |                   | Ind (pâte brûlée) | Ind (pâte<br>brûlée) | Ind                   | Ind                     | 0 | 0   | 4  | 0   | 4  | 0    |       |
|                |             |                   | MODERNE           | Grès                 | Ind                   | Ind                     | 0 | 0   | 5  | 0   | 5  | 0    |       |
|                |             |                   | Non tournée       | BES                  | Pot                   | Ind                     | 1 | 0   | 0  | 0   | 1  | 1    |       |
|                |             |                   |                   | PSGROS               | Ind                   | Ind                     | 0 | 0   | 13 | 0   | 13 | 1    |       |
|                |             |                   |                   |                      | Pot                   | lèvre éversée           | 1 | 0   | 0  | 0   | 1  | 1    |       |
|                |             |                   | Sigillée          | TS CG                | Ind                   | Ind                     | 0 | 0   | 2  | 0   | 2  | 2    |       |
|                |             |                   |                   | TS IT                | Ind                   | Ind                     | 0 | 0   | 1  | 0   | 1  | 1    |       |
|                |             |                   | Tournée-Claire    | PC-                  | Bouteille             | Ind                     | 9 | 2   | 6  | 0   | 17 | 2    |       |
|                |             |                   |                   |                      | Gobelet               | Ind                     | 1 | 0   | 0  | 0   | 1  | 1    |       |
|                |             |                   |                   |                      | Ind                   | Ind                     | 0 | 0   | 56 | 0   | 56 | 1    |       |
|                |             |                   | Tournée-Sombre    | NPR                  | Ind                   | Ind                     | 0 | 1   | 6  | 0   | 7  | 1    |       |
|                |             |                   |                   | PSFIN-               | Ind                   | Ind                     | 0 | 0   | 10 | 0   | 10 | 1    |       |
| PSMIFIN        | Jatte       | lèvre rentrante   |                   | 3                    | 0                     | 1                       | 0 | 4   | 3  |     |    |      |       |
| Total 3000     |             |                   |                   |                      |                       | 25                      | 7 | 123 | 0  | 155 | 26 | 1830 |       |
| 3001           | C-044044-02 | IB                | Commune claire    | Chal.2               | Jatte                 | CHAL. J18c              | 1 | 0   | 0  | 0   | 1  | 1    |       |
|                |             |                   |                   | Co. Cl.              | Ind                   | Ind                     | 0 | 0   | 7  | 0   | 7  | 1    |       |
|                |             |                   |                   | Co. Cl.<br>Ca        | Mortier               | Ind                     | 0 | 0   | 3  | 0   | 3  | 1    |       |
|                |             |                   | Commune<br>sombre | Chal.1               | Ind                   | Ind                     | 0 | 1   | 2  | 0   | 3  | 1    |       |
|                |             |                   | Fine              | TN                   | Ind                   | Ind                     | 0 | 0   | 1  | 0   | 1  | 1    |       |
|                |             |                   | Non tournée       | PSGROS               | Ind                   | Ind                     | 0 | 0   | 3  | 0   | 3  | 0    |       |
|                |             |                   |                   | Pot                  | dérivée Be-<br>sançon | 4                       | 0 | 2   | 0  | 6   | 2  |      |       |
| Tournée-Claire | PC-         | Bouteille         | Ind               | 0                    | 4                     | 6                       | 0 | 10  | 2  |     |    |      |       |

ANNEXE 7 - INVENTAIRE ANALYTIQUE DE LA CÉRAMIQUE DES SECTEURS 2 ET 3 (2022)

| UF         | NumLOT      | Datation | Catégorie      | Sous Cat.     | Forme         | Typologie      | B              | F                  | P  | A | NR  | NMI | Masse |   |  |
|------------|-------------|----------|----------------|---------------|---------------|----------------|----------------|--------------------|----|---|-----|-----|-------|---|--|
|            |             |          |                | PCCRU         | Cruche        | Ind            | 1              | 0                  | 7  | 0 | 8   | 1   |       |   |  |
|            |             |          | Tournée-Sombre | PSFIN-        | Assiette      | à bord oblique | 1              | 0                  | 0  | 0 | 1   | 1   |       |   |  |
|            |             |          |                |               | Gobelet       | lèvre éversée  | 1              | 0                  | 1  | 0 | 2   | 1   |       |   |  |
|            |             |          |                | PSMIFIN       | Ind           | Ind            | 0              | 0                  | 1  | 0 | 1   | 1   |       |   |  |
|            | C-044044-44 | IB       | Tournée-Claire | PC-           | Jeton         | rond           | 0              | 0                  | 1  | 0 | 1   | 1   |       |   |  |
| Total 3001 |             |          |                |               |               |                | 8              | 5                  | 34 | 0 | 47  | 14  | 650   |   |  |
| 3003       | C-044044-03 | 120-140  | Commune claire | Chal.2        | Ind           | Ind            | 0              | 4                  | 39 | 0 | 43  | 1   |       |   |  |
|            |             |          |                | Chal.2/3      | Ind           | Ind            | 7              | 0                  | 0  | 0 | 7   | 7   |       |   |  |
|            |             |          |                | Jatte         |               | CHAL. J18      | 5              | 0                  | 0  | 0 | 5   | 4   |       |   |  |
|            |             |          |                |               |               | CHAL. J18b     | 1              | 0                  | 0  | 0 | 1   | 1   |       |   |  |
|            |             |          |                |               |               | Chal. J18c     | 6              | 0                  | 0  | 0 | 6   | 5   |       |   |  |
|            |             |          |                |               |               | CHAL. J20      | 1              | 0                  | 0  | 0 | 1   | 1   |       |   |  |
|            |             |          |                | Pichet        | CHAL . Pi3    | 1              | 0              | 0                  | 0  | 1 | 1   |     |       |   |  |
|            |             |          |                | Plat          | lèvre simple  | 9              | 0              | 0                  | 0  | 9 | 7   |     |       |   |  |
|            |             |          |                | Co. Cl.<br>Ca |               | en marli       | 1              | 0                  | 0  | 0 | 1   | 1   |       |   |  |
|            |             |          |                |               |               | Cruche         | Ind            | Ind                | 0  | 6 | 164 | 6   | 176   | 1 |  |
|            |             |          |                |               |               |                |                | lèvre en corniche  | 1  | 0 | 0   | 0   | 1     | 1 |  |
|            |             |          |                |               |               |                |                | lèvre triangulaire | 4  | 0 | 0   | 1   | 5     | 4 |  |
|            |             |          |                |               |               | Gobelet        | lèvre en marli | 1                  | 0  | 0 | 0   | 1   | 1     |   |  |
|            |             |          |                |               |               | Ind            | bourelet       | Ind                | 2  | 0 | 0   | 0   | 2     | 1 |  |
|            |             |          |                |               |               |                |                | Ind                | 3  | 0 | 0   | 0   | 3     | 2 |  |
|            |             |          |                |               |               | jatte          |                | à colerette        | 1  | 0 | 0   | 0   | 1     | 1 |  |
|            |             |          |                |               |               |                |                | lèvre rentrante    | 1  | 0 | 0   | 0   | 1     | 1 |  |
|            |             |          |                |               |               | Mortier        | Haltern 60     | Ind                | 2  | 0 | 3   | 0   | 5     | 2 |  |
|            |             |          | Ind            | 0             | 0             |                |                | 1                  | 0  | 1 | 1   |     |       |   |  |
|            |             |          | Commune sombre | Chal.1        | Ind           | Ind            | 2              | 8                  | 71 | 0 | 81  | 3   |       |   |  |
|            |             |          |                |               | Jatte         |                | CHAL. J7       | 1                  | 0  | 0 | 0   | 1   | 1     |   |  |
|            |             |          |                |               |               |                | CHAL. J8       | 1                  | 0  | 0 | 0   | 1   | 1     |   |  |
|            |             |          |                |               |               |                | CHAL. J9       | 1                  | 0  | 0 | 0   | 1   | 1     |   |  |
|            |             |          |                |               | Pot           |                | CHAL. P1       | 12                 | 0  | 3 | 0   | 15  | 10    |   |  |
|            |             |          |                |               |               |                | CHAL. P12b     | 2                  | 0  | 0 | 0   | 2   | 1     |   |  |
|            |             |          |                |               |               |                | CHAL. P3?      | 1                  | 0  | 0 | 0   | 1   | 1     |   |  |
|            |             |          |                |               |               |                | CHAL. P5       | 4                  | 0  | 0 | 0   | 4   | 4     |   |  |
|            |             |          |                |               |               |                | ind            | 2                  | 0  | 0 | 0   | 2   | 2     |   |  |
|            |             |          |                |               | lèvre éversée | 3              | 0              | 0                  | 0  | 3 | 3   |     |       |   |  |
|            |             |          | Fine           | CEng          | Gobelet       | lèvre éversée  | 4              | 2                  | 6  | 0 | 12  | 4   |       |   |  |
|            |             |          |                |               |               | Ind            | 0              | 1                  | 5  | 0 | 6   | 4   |       |   |  |
|            |             |          |                | PF-LY         | Ind           | Ind            | 0              | 0                  | 1  | 0 | 1   | 1   |       |   |  |
|            |             |          |                | TN            | Assiette      | Joly 42        | 1              | 0                  | 0  | 0 | 1   | 1   |       |   |  |
| Joly 47/49 | 1           | 0        |                |               |               | 0              | 0              | 1                  | 1  |   |     |     |       |   |  |
| Joly 53a   | 1           | 0        |                |               |               | 0              | 0              | 1                  | 1  |   |     |     |       |   |  |
| Joly 54    | 1           | 0        |                |               |               | 0              | 0              | 1                  | 1  |   |     |     |       |   |  |
| Ind        | Ind         | 1        |                | 5             | 46            | 0              | 52             | 1                  |    |   |     |     |       |   |  |
| Jatte      | Joly 58     | 1        | 0              | 0             | 0             | 1              | 1              |                    |    |   |     |     |       |   |  |

ANNEXE 7 - INVENTAIRE ANALYTIQUE DE LA CÉRAMIQUE DES SECTEURS 2 ET 3 (2022)

| UF             | NumLOT      | Datation | Catégorie         | Sous Cat.            | Forme         | Typologie                     | B   | F  | P   | A | NR  | NMI | Masse |
|----------------|-------------|----------|-------------------|----------------------|---------------|-------------------------------|-----|----|-----|---|-----|-----|-------|
|                |             |          |                   | TNch                 | Assiette      | Deru A 37                     | 1   | 0  | 0   | 0 | 1   | 0   |       |
|                |             |          | Ind (pâte brûlée) | Ind (pâte brûlée)    | Gobelet       | Ind                           | 1   | 0  | 2   | 0 | 3   | 1   |       |
|                |             |          | Non tournée       | N-T sombre grossière | Ind           | Ind                           | 2   | 0  | 0   | 0 | 2   | 2   |       |
|                |             |          |                   |                      | Jatte         | lèvre aplati rainurée         | 1   | 0  | 0   | 0 | 1   | 1   |       |
|                |             |          |                   |                      | Jatte         | lèvre rentrante               | 1   | 0  | 0   | 0 | 1   | 1   |       |
|                |             |          |                   |                      | Pot           | lèvre en bourrelet éversé     | 2   | 0  | 0   | 0 | 2   | 1   |       |
|                |             |          |                   | Pot                  | lèvre éversée | 1                             | 0   | 0  | 0   | 1 | 1   |     |       |
|                |             |          |                   | PSGROS               | Ind           | Ind                           | 0   | 2  | 26  | 0 | 28  | 0   |       |
|                |             |          |                   | PSGROS               | Pot           | lèvre moulurée                | 1   | 0  | 0   | 0 | 1   | 1   |       |
|                |             |          | Sigillée          | TS CG                | Coupe         | Drag. 37                      | 0   | 0  | 2   | 0 | 2   | 1   |       |
|                |             |          |                   | TS EG                | Coupe         | Drag. 37                      | 0   | 0  | 3   | 0 | 3   | 1   |       |
|                |             |          |                   | TS SG                | Assiette      | Drag. 17                      | 0   | 3  | 0   | 0 | 3   | 1   |       |
|                |             |          |                   |                      |               | Ind                           | 0   | 1  | 0   | 0 | 1   | 1   |       |
|                |             |          |                   | Coupelle             |               | Drag. 33                      | 2   | 0  | 2   | 0 | 4   | 3   |       |
|                |             |          |                   |                      |               | Drag. 35                      | 1   | 0  | 3   | 0 | 4   | 1   |       |
|                |             |          | Ind               | Ind                  | 0             | 0                             | 10  | 0  | 10  | 1 |     |     |       |
|                |             |          | Tournée-Claire    | PC-                  | Bouteille     | lèvre triangulaire            | 1   | 0  | 0   | 0 | 1   | 1   |       |
|                |             |          |                   |                      |               | lèvre triangulaire col élargé | 1   | 0  | 0   | 0 | 1   | 1   |       |
|                |             |          |                   |                      | Ind           | Ind                           | 1   | 0  | 0   | 0 | 1   | 1   |       |
|                |             |          |                   | PEINT A              | Ind           | Ind                           | 0   | 0  | 1   | 0 | 1   | 1   |       |
|                |             |          | Tournée-Sombre    | PGFINF               | Assiette      | Barral 3                      | 1   | 0  | 0   | 0 | 1   | 1   |       |
|                |             |          |                   |                      | Ecuelle       | Barral 10                     | 1   | 0  | 0   | 0 | 1   | 1   |       |
|                |             |          |                   |                      | Jatte         | bord rentrant                 | 2   | 0  | 0   | 0 | 2   | 1   |       |
|                |             |          |                   |                      | Pot           | ovoïde                        | 5   | 0  | 0   | 0 | 5   | 5   |       |
|                |             |          |                   | PSMIFIN              | Couvercle     | Ind                           | 1   | 0  | 0   | 0 | 1   | 1   |       |
|                |             |          |                   |                      | Ecuelle       | marli                         | 2   | 0  | 0   | 0 | 2   | 1   |       |
|                |             |          | Ind               |                      | Ind           | 4                             | 0   | 0  | 0   | 4 | 4   |     |       |
| Total 3003     |             |          |                   |                      |               |                               | 117 | 32 | 388 | 7 | 544 | 120 | 8090  |
| 3005           | C-044044-04 | IIA      | Commune claire    | Chal.2               | Jatte         | CHAL. J18                     | 2   | 0  | 0   | 0 | 2   | 2   |       |
|                |             |          |                   | Chal.3               | Couvercle     | Ind                           | 1   | 0  | 0   | 0 | 1   | 1   |       |
|                |             |          |                   |                      | Pot           | CHAL. P20                     | 4   | 3  | 56  | 0 | 63  | 1   |       |
|                |             |          |                   | Co. Cl. Ca           | Cruche        | Ind                           | 0   | 1  | 29  | 1 | 31  | 1   |       |
|                |             |          | Commune sombre    | Chal.1               | Jatte         | CHAL. J8                      | 1   | 0  | 0   | 0 | 1   | 1   |       |
|                |             |          |                   |                      |               | CHAL. J9                      | 3   | 0  | 0   | 0 | 3   | 3   |       |
|                |             |          |                   |                      | Pot           | CHAL. P5                      | 1   | 0  | 0   | 0 | 1   | 1   |       |
|                |             |          | Fine              | TN                   | Ind           | Ind                           | 0   | 1  | 4   | 0 | 5   | 1   |       |
|                |             |          |                   |                      |               |                               |     |    |     |   |     |     |       |
|                |             |          | Sigillée          | TS SG                | Coupelle      | Drag. 46 (Ve C1)              | 2   | 0  | 0   | 0 | 2   | 1   |       |
| Ind            | Ind         | 0        |                   |                      | 0             | 4                             | 0   | 4  | 0   |   |     |     |       |
| Tournée-Sombre | PGFIN       | Ind      | Ind               | 1                    | 0             | 2                             | 0   | 3  | 1   |   |     |     |       |

ANNEXE 7 - INVENTAIRE ANALYTIQUE DE LA CÉRAMIQUE DES SECTEURS 2 ET 3 (2022)

| UF          | NumLOT      | Datation         | Catégorie      | Sous Cat.  | Forme              | Typologie                | B  | F   | P  | A   | NR  | NMI  | Masse |
|-------------|-------------|------------------|----------------|------------|--------------------|--------------------------|----|-----|----|-----|-----|------|-------|
| Total 3005  |             |                  |                |            |                    |                          | 15 | 5   | 95 | 1   | 116 | 13   | 1440  |
| 3007        | C-044044-05 | HE               | Commune claire | Co. Cl. Ca | Ind                | Ind                      | 0  | 0   | 1  | 0   | 1   | 1    | 8     |
| Total 3007  |             |                  |                |            |                    |                          | 0  | 0   | 1  | 0   | 1   | 1    | 8     |
| 3009        | C-044044-06 | LTD              | Non tournée    | BES        | Pot                | lèvre éversée            | 1  | 0   | 12 | 0   | 13  | 1    |       |
|             |             |                  |                | PCGROS     | Ecuelle            | CNT-ECU 1                | 1  | 0   | 1  | 0   | 2   | 1    |       |
|             |             |                  |                | PSGROS     | Ecuelle            | CNT-ECU 1                | 4  | 0   | 0  | 0   | 4   | 3    |       |
|             |             |                  |                |            | Ind                | Ind                      | 0  | 4   | 19 | 0   | 0   | 0    |       |
|             |             |                  |                | Pot        | lèvre éversée      | 1                        | 0  | 0   | 0  | 1   | 1   |      |       |
|             |             |                  |                |            | lèvre triangulaire | 1                        | 0  | 0   | 0  | 1   | 1   |      |       |
|             |             |                  | Tournée-Claire | PC-        | Bouteille          | TFC-BOUT 3               | 2  | 4   | 59 | 2   | 67  | 1    |       |
|             |             |                  |                | PCIT       | Ind                | Ind                      | 0  | 0   | 4  | 0   | 4   | 1    |       |
|             |             |                  |                | PEINT A    | Bouteille          | TFC-BOUT 1               | 2  | 0   | 25 | 0   | 27  | 2    |       |
|             |             |                  | Tournée-Sombre | NPR        | Bol                | Ind                      | 1  | 0   | 8  | 0   | 9   | 1    |       |
|             | PGFINF      | Coupe            |                | caréné     | 1                  | 0                        | 0  | 0   | 1  | 1   |     |      |       |
|             |             | Ecuelle          |                | Ind        | 1                  | 0                        | 1  | 0   | 2  | 1   |     |      |       |
|             |             | Ind              |                | Ind        | 1                  | 11                       | 4  | 0   | 16 | 1   |     |      |       |
|             |             | passoire         |                | Ind        | 0                  | 2                        | 0  | 0   | 2  | 1   |     |      |       |
|             | PSFIN-      | Bouteille        |                | TFS-BOUT 1 | 3                  | 0                        | 0  | 0   | 3  | 3   |     |      |       |
|             |             | Ecuelle          |                | TFS-ECU 1  | 3                  | 0                        | 0  | 0   | 3  | 3   |     |      |       |
| Ind         |             | Ind              | 0              | 5          | 10                 | 0                        | 15 | 0   |    |     |     |      |       |
| C-044044-45 | LTD         | Tournée-Sombre   | PSFIN-         | Jeton      | rond               | 0                        | 0  | 1   | 0  | 1   | 1   |      |       |
| Total 3009  |             |                  |                |            |                    | 22                       | 26 | 144 | 2  | 171 | 23  | 2150 |       |
| 3010        | C-044044-07 | LTD              | Non tournée    | BES        | Ind                | Ind                      | 0  | 0   | 1  | 0   | 1   | 1    |       |
|             |             |                  | Tournée-Claire | PC-        | Ind                | Ind                      | 0  | 0   | 1  | 0   | 1   | 1    | 27    |
|             |             |                  |                | PCCRU      | Cruche             | Ind                      | 1  | 0   | 0  | 0   | 1   | 1    |       |
|             |             |                  | Tournée-Sombre | PGFIN      | Ind                | Ind                      | 0  | 0   | 1  | 0   | 1   | 1    |       |
| Total 3010  |             |                  |                |            |                    | 1                        | 0  | 3   | 0  | 4   | 4   | 27   |       |
| 3011        | C-044044-08 | LTD pè LTD2b-Aug | Commune sombre | Co. Sb.    | Pot                | lèvre éversée col cotelé | 1  | 0   | 0  | 0   | 1   | 1    |       |
|             |             |                  | Importation    | CAMP A     | Ind                | Ind                      | 0  | 0   | 1  | 0   | 1   | 1    |       |
|             |             |                  | Non tournée    | PCGROS     | Pot                | lèvre éversée            | 1  | 0   | 0  | 0   | 1   | 1    |       |
|             |             |                  |                | PSGROS     | Ind                | Ind                      | 0  | 2   | 13 | 0   | 15  | 0    |       |
|             |             |                  |                |            | Jatte              | lèvre horizontale        | 1  | 0   | 0  | 0   | 1   | 1    |       |
|             |             |                  |                |            | Pot                | lèvre éversée            | 1  | 0   | 0  | 0   | 1   | 1    |       |
|             |             |                  | Tournée-Claire | PC-        | Ind                | Ind                      | 1  | 0   | 9  | 1   | 11  | 1    |       |
|             |             |                  |                | PEINT A    | bouteille          | Ind                      | 1  | 0   | 0  | 0   | 1   | 1    | 640   |
|             |             |                  |                |            | Ecuelle            | bord droit               | 1  | 0   | 1  | 0   | 2   | 1    |       |
|             |             |                  | Tournée-Sombre | PGFINF     | Coupe              | caréné                   | 1  | 0   | 0  | 0   | 1   | 1    |       |
| Ecuelle     | bord droit  | 2                |                |            | 0                  | 0                        | 0  | 2   | 1  |     |     |      |       |

ANNEXE 7 - INVENTAIRE ANALYTIQUE DE LA CÉRAMIQUE DES SECTEURS 2 ET 3 (2022)

| UF         | NumLOT         | Datation         | Catégorie         | Sous Cat.         | Forme   | Typologie     | B          | F  | P   | A | NR  | NMI | Masse |  |
|------------|----------------|------------------|-------------------|-------------------|---------|---------------|------------|----|-----|---|-----|-----|-------|--|
|            |                |                  |                   |                   | Ind     | Ind           | 1          | 2  | 16  | 0 | 19  | 4   |       |  |
|            |                |                  |                   |                   | Pot     | lèvre éversée | 1          | 0  | 0   | 0 | 1   | 1   |       |  |
|            | C-044044-46    | LTD pè LTD2b-Aug | Tournée-Sombre    | PSFIN-            | Jeton   | rond          | 0          | 0  | 1   | 0 | 1   | 1   |       |  |
|            | C-044044-47    | LTD pè LTD2b-Aug | Non tournée       | BES               | Jeton   | rond          | 0          | 0  | 1   | 0 | 1   | 1   |       |  |
| Total 3011 |                |                  |                   |                   |         |               | 12         | 4  | 42  | 1 | 59  | 17  | 640   |  |
| 3013       | C-044044-09    | IIB              | Commune claire    | Chal.2            | Ind     | Ind           | 3          | 4  | 14  | 0 | 21  | 3   |       |  |
|            |                |                  |                   | Co. Cl. Ca        | Cruche  | Ind           | 0          | 1  | 157 | 4 | 162 | 2   |       |  |
|            |                |                  | Commune sombre    | Chal.1            | Ind     | Ind           | 2          | 1  | 33  | 0 | 36  | 2   |       |  |
|            |                |                  |                   |                   | Pot     | /             | 1          | 0  | 0   | 0 | 1   | 1   |       |  |
|            |                |                  |                   |                   |         | CHAL. P1      | 1          | 0  | 0   | 0 | 1   | 1   |       |  |
|            |                |                  |                   |                   |         | CHAL. P2      | 4          | 0  | 0   | 0 | 4   | 1   |       |  |
|            |                |                  |                   |                   |         | Chercher      | 1          | 0  | 0   | 0 | 1   | 1   |       |  |
|            |                |                  |                   |                   |         |               |            |    |     |   |     |     |       |  |
|            |                |                  | Fine              | CAMP B            | Ind     | Ind           | 0          | 0  | 1   | 0 | 1   | 1   |       |  |
|            |                |                  |                   | CEng              | Ind     | Ind           | 0          | 0  | 3   | 0 | 3   | 1   |       |  |
|            |                |                  |                   | PF                | Ind     | Ind           | 0          | 0  | 1   | 0 | 1   | 1   |       |  |
|            |                |                  |                   | TN                | Ind     | Ind           | 1          | 0  | 5   | 0 | 6   | 1   |       |  |
|            |                |                  | Ind (pâte brûlée) | Ind (pâte brûlée) | Ind     | Ind           | 1          | 0  | 0   | 0 | 1   | 0   |       |  |
|            |                |                  |                   |                   |         |               |            |    |     |   |     |     |       |  |
|            |                |                  | Non tournée       | PSGROS            | Ecuelle | CNT-ECU 1     | 1          | 0  | 0   | 0 | 1   | 1   |       |  |
|            |                |                  |                   |                   | Ind     | Ind           | 0          | 0  | 3   | 0 | 3   | 0   |       |  |
|            |                |                  | Sigillée          | TS CG             | TS SG   | Assiette      | Ind        | 0  | 1   | 0 | 0   | 1   | 1     |  |
|            |                |                  |                   |                   |         | Coupe         | Drag. 29   | 0  | 0   | 1 | 0   | 1   | 1     |  |
|            |                |                  |                   |                   |         | Coupelle      | Drag. 4/22 | 0  | 2   | 0 | 0   | 2   | 1     |  |
|            |                |                  |                   |                   |         |               | VeA1       | 1  | 0   | 0 | 0   | 1   | 1     |  |
|            |                |                  |                   |                   |         |               |            |    |     |   |     |     |       |  |
|            |                |                  | Tournée-Claire    | PC-               | PEINT A | Bol           | Ind        | 1  | 0   | 0 | 0   | 1   | 1     |  |
|            |                |                  |                   |                   |         | Coupe         | Ind        | 1  | 0   | 0 | 0   | 1   | 1     |  |
|            |                |                  |                   | Bouteille         |         | Ind           | 0          | 5  | 17  | 0 | 22  | 3   |       |  |
|            | Ind            | Ind              |                   | 0                 |         | 0             | 1          | 0  | 1   | 1 |     |     |       |  |
|            | Tournée-Sombre | PGFINF           | Coupe             | Chercher          | 1       | 0             | 0          | 0  | 1   | 1 |     |     |       |  |
|            |                |                  | Ecuelle           | TFS-COUP 1        | 2       | 0             | 0          | 0  | 2   | 1 |     |     |       |  |
|            |                |                  |                   | TFS-ECU 1         | 6       | 2             | 9          | 0  | 17  | 3 |     |     |       |  |
|            |                |                  | Gobelet           | lèvre éversée     | 1       | 0             | 0          | 0  | 1   | 1 |     |     |       |  |
|            |                |                  | Ind               | Ind               | 0       | 0             | 1          | 0  | 1   | 1 |     |     |       |  |
|            |                |                  |                   |                   |         |               |            |    |     |   |     |     |       |  |
|            |                | C-044044-48      | IIB               | Non tournée       | PSGROS  | Jeton         | rond       | 0  | 0   | 1 | 0   | 1   | 1     |  |
| Total 3013 |                |                  |                   |                   |         |               | 28         | 17 | 247 | 4 | 296 | 35  | 1930  |  |
| 3017       | C-044044-10    | LTD              | Non tournée       | BES               | Pot     | profil tardif | 2          | 0  | 2   | 0 | 4   | 2   |       |  |
|            |                |                  |                   | PSGROS            | Ecuelle | CNT-ECU 1     | 1          | 0  | 0   | 0 | 1   | 1   |       |  |
|            |                |                  |                   |                   | Ind     | Ind           | 0          | 0  | 6   | 0 | 6   | 0   |       |  |
|            |                |                  |                   |                   | Pot     | Ind           | 0          | 0  | 2   | 0 | 2   | 1   | 1100  |  |

ANNEXE 7 - INVENTAIRE ANALYTIQUE DE LA CÉRAMIQUE DES SECTEURS 2 ET 3 (2022)

| UF         | NumLOT      | Datation | Catégorie         | Sous Cat.         | Forme                  | Typologie               | B           | F | P  | A | NR | NMI | Masse |  |
|------------|-------------|----------|-------------------|-------------------|------------------------|-------------------------|-------------|---|----|---|----|-----|-------|--|
|            |             |          | Tournée-Claire    | PCCRU             | Cruche                 | Ind                     | 0           | 0 | 0  | 1 | 1  | 1   |       |  |
|            |             |          | Tournée-Sombre    | PSFIN-            | Ecuelle                | Ind                     | 1           | 0 | 0  | 0 | 1  | 1   |       |  |
|            | C-044044-49 | LTD      | Tournée-Claire    | PC-               | Jeton                  | rond                    | 0           | 0 | 1  | 0 | 1  | 1   |       |  |
|            | C-044044-50 | LTD      | Non tournée       | PSGROS            | Jeton                  | rond                    | 0           | 0 | 1  | 0 | 1  | 1   |       |  |
| Total 3017 |             |          |                   |                   |                        |                         | 4           | 0 | 12 | 1 | 17 | 8   | 1100  |  |
| 3021       | C-044044-11 | LTD      | Commune claire    | Chal.2            | Ind                    | Ind                     | 0           | 0 | 1  | 0 | 1  | 1   |       |  |
|            |             |          | Ind (pâte brûlée) | Ind (pâte brûlée) | Ind                    | Ind                     | 0           | 0 | 1  | 0 | 1  | 0   |       |  |
|            |             |          | Non tournée       | PCGROS            | Ind                    | Ind                     | 0           | 0 | 2  | 0 | 2  | 1   |       |  |
|            |             |          |                   | PSGROS            | Pot                    | éversée moulurée        | 1           | 0 | 0  | 0 | 1  | 1   |       |  |
|            |             |          | Tournée-Claire    | PC-               | Ind                    | Ind                     | 0           | 0 | 0  | 1 | 0  | 1   |       |  |
|            |             |          |                   | PEINT A           | Bouteille              | Ind                     | 0           | 3 | 9  | 0 | 12 | 2   |       |  |
|            |             |          | Tournée-Sombre    | PGFIN             | Bol                    | caréné                  | 1           | 0 | 2  | 0 | 3  | 1   |       |  |
|            |             |          |                   | PGFINF            | Ecuelle                | TFS-ECU 1               | 1           | 0 | 0  | 0 | 1  | 1   |       |  |
|            |             |          |                   |                   | Ind                    | Ind                     | 0           | 0 | 5  | 0 | 5  | 1   |       |  |
| Total 3021 |             |          |                   |                   |                        |                         | 3           | 3 | 20 | 1 | 26 | 9   | 340   |  |
| 3023       | C-044044-16 | LTD2     | Fine              | CAMP A            | Assiette               | Lamb.5                  | 1           | 0 | 0  | 0 | 1  | 1   |       |  |
|            |             |          |                   | CAMP B            | Ind                    | Ind                     | Ind         | 0 | 0  | 2 | 0  | 2   | 1     |  |
|            |             |          |                   | CAMP Boïde        | Ind                    | Ind                     | Ind         | 0 | 0  | 1 | 0  | 1   | 1     |  |
|            |             |          |                   | CAMP C            | Bol                    | Camp B4                 | Ind         | 1 | 3  | 0 | 0  | 4   | 1     |  |
|            |             |          |                   |                   | Ind                    | Ind                     | Ind         | 0 | 1  | 0 | 0  | 1   | 1     |  |
|            |             |          |                   | Camp. ?           | Ind                    | Ind                     | Ind         | 1 | 0  | 0 | 0  | 1   | 1     |  |
|            |             |          |                   | Pré-sigillée?     | Ind                    | Ind                     | Ind         | 0 | 0  | 1 | 0  | 1   | 1     |  |
|            |             |          | Ind (pâte brûlée) | Ind (pâte brûlée) | Ind                    | Ind                     | 0           | 0 | 6  | 0 | 6  | 0   |       |  |
|            |             |          | Non tournée       | BES               | Pot                    | Ind                     | 6           | 1 | 19 | 0 | 26 | 5   |       |  |
|            |             |          |                   | PCGROS            | Pot                    | lèvre éversée           | 1           | 0 | 18 | 0 | 19 | 1   |       |  |
|            |             |          |                   | PSGROS            | Couvercle              | Ind                     | 1           | 0 | 0  | 0 | 1  | 1   |       |  |
|            |             |          |                   |                   |                        | Ecuelle                 | bord droit  | 2 | 0  | 0 | 0  | 2   | 2     |  |
|            |             |          |                   |                   |                        |                         | bord simple | 2 | 0  | 0 | 0  | 2   | 2     |  |
|            |             |          |                   |                   |                        |                         | CNT-ECU 1   | 7 | 0  | 0 | 0  | 7   | 7     |  |
|            |             |          |                   |                   | lèvre éversée moulurée | 1                       | 0           | 0 | 0  | 1 | 1  |     |       |  |
|            |             |          |                   | Ind               | Ind                    | Ind                     | 0           | 7 | 77 | 0 | 84 | 0   |       |  |
|            |             |          |                   | Pot               |                        | lèvre moulurée          | 1           | 0 | 0  | 0 | 1  | 1   |       |  |
|            |             |          |                   |                   |                        | marli mouluré           | 1           | 0 | 0  | 0 | 1  | 1   |       |  |
|            |             |          | var CNT-POT 2     |                   |                        | 3                       | 0           | 0 | 0  | 3 | 1  |     |       |  |
|            |             |          | Tournée-Claire    | MICAC-FIN         | Bol                    | bord à sillon sublabial | 1           | 0 | 0  | 0 | 1  | 1   |       |  |
|            |             |          |                   |                   | Gobelet                | amande éversée          | 2           | 0 | 0  | 0 | 2  | 2   |       |  |



| UF            | NumLOT          | Datation | Catégorie      | Sous Cat.         | Forme              | Typologie                    | B   | F   | P   | A   | NR  | NMI | Masse |      |
|---------------|-----------------|----------|----------------|-------------------|--------------------|------------------------------|---|-----|-----|-----|-----|-----|-------|------|
|               |                 |          |                |                   | Ind                | Ind                          | 0   | 1   | 2   | 0   | 3   | 0   |       |      |
|               |                 |          |                |                   | Pot                | aplati rainuré               | 3   | 0   | 0   | 0   | 3   | 2   |       |      |
|               |                 |          |                | MIFINC            | Ind                | Ind                          | 0   | 0   | 7   | 0   | 7   | 1   |       |      |
|               |                 |          |                | PC-               | Bouteille          | TFC-BOU 2                    | 1   | 0   | 0   | 0   | 1   | 1   |       |      |
|               |                 |          |                |                   |                    | triangulaire                 | 1   | 0   | 0   | 0   | 0   | 1   | 1     |      |
|               |                 |          |                |                   | Bou-<br>teille/Pot | rectangulaire                | 2   | 0   | 0   | 0   | 2   | 2   |       |      |
|               |                 |          |                |                   | Ind                | Ind                          | 0   | 20  | 149 | 0   | 169 | 9   |       |      |
|               |                 |          |                | PCCRU             | Cruche             | arrondie                     | 5   | 0   | 0   | 0   | 5   | 5   |       |      |
|               |                 |          |                |                   |                    | Ind                          | 2   | 0   | 0   | 1   | 3   | 2   |       |      |
|               |                 |          |                | PCIT              | Ind                | Ind                          | 0   | 1   | 30  | 1   | 32  | 1   |       |      |
|               |                 |          |                | PEINT A           | Bouteille          | TFC-BOU 1                    | 1   | 0   | 0   | 0   | 1   | 1   |       |      |
|               |                 |          |                |                   |                    | Ind                          | 0   | 0   | 27  | 0   | 27  | 0   |       |      |
|               |                 |          | Tournée-Sombre | NPR               | Assiette           | bord droit                   | 1   | 0   | 0   | 0   | 1   | 1   |       |      |
|               |                 |          |                |                   |                    |                              | Bol   | Ind | 2   | 0   | 0   | 0   | 2     | 1    |
|               |                 |          |                |                   |                    | sillon sub-la-<br>bial       |   | 2   | 0   | 0   | 0   | 2   | 1     |      |
|               |                 |          |                |                   |                    | Ind                          | 2   | 1   | 20  | 0   | 23  | 0   |       |      |
|               |                 |          |                |                   | PGFIN              | Bol                          | TFS-BOL 1   | 2   | 0   | 0   | 0   | 2   | 1     |      |
|               |                 |          |                |                   |                    |                              | Ind   | 0   | 6   | 51  | 0   | 57  | 0     |      |
|               |                 |          |                |                   | PGFINF             | Bol                          | lèvre légère-<br>ment oblique<br>rainure sous la<br>lèvre | 1   | 0   | 0   | 0   | 1   | 1     |      |
|               |                 |          |                |                   |                    |                              | Gobelet   | 2   | 0   | 0   | 0   | 2   | 2     |      |
|               |                 |          |                |                   |                    |                              | Ind   | 0   | 2   | 13  | 0   | 15  | 0     |      |
|               |                 |          |                |                   | PSFIN-             | Assiette                     | TFS-ASS 1   | 2   | 0   | 0   | 0   | 2   | 2     |      |
|               |                 |          |                |                   |                    |                              | Bol   | Ind | 2   | 0   | 0   | 0   | 2     | 2    |
|               |                 |          |                |                   |                    | TFS-BOL 1                    |   | 28  | 0   | 0   | 0   | 28  | 14    |      |
|               |                 |          |                |                   |                    | Coupe                        | 2   | 0   | 0   | 0   | 2   | 2   |       |      |
|               |                 |          |                |                   |                    | Ecuelle                      | 12  | 0   | 0   | 0   | 12  | 8   |       |      |
|               |                 |          |                |                   |                    | Gobelet                      | 4   | 0   | 0   | 0   | 4   | 3   |       |      |
|               |                 |          |                |                   |                    | Gobelet<br>ou bou-<br>teille | 2   | 0   | 0   | 0   | 2   | 1   |       |      |
|               |                 |          |                |                   |                    | Ind                          | 0   | 0   | 6   | 0   | 6   | 1   |       |      |
|               |                 |          |                |                   | PSMIFIN            | Ind                          | TFS-TON 1   | 1   | 0   | 0   | 0   | 1   | 1     |      |
|               |                 |          |                |                   |                    |                              | POT 3   | 2   | 0   | 1   | 0   | 3   | 2     |      |
|               | C-044044-<br>51 | LTD2     |                | Tournée-Sombre    | NPR                | Jeton                        | rond  | 0   | 0   | 1   | 0   | 1   | 1     |      |
| Total<br>3023 |                 |          |                |                   |                    |                              |   | 114 | 44  | 448 | 2   | 608 | 103   | 8800 |
| 3025          | C-044044-<br>12 | IB       |                | Commune claire    | Chal.2             | Ind                          | Ind   | 0   | 1   | 0   | 0   | 1   | 1     |      |
|               |                 |          |                | Commune<br>sombre | Chal.1             | Jatte                        | lèvre rentrante<br>en amande                              | 2   | 0   | 1   | 0   | 3   | 2     |      |
|               |                 |          | Pot            |                   |                    | Ind                          | 1   | 0   | 0   | 0   | 1   | 1   |       |      |

ANNEXE 7 - INVENTAIRE ANALYTIQUE DE LA CÉRAMIQUE DES SECTEURS 2 ET 3 (2022)

| UF         | NumLOT      | Datation | Catégorie      | Sous Cat.      | Forme    | Typologie              | B                      | F | P  | A | NR | NMI | Masse |  |
|------------|-------------|----------|----------------|----------------|----------|------------------------|------------------------|---|----|---|----|-----|-------|--|
|            |             |          | Fine           | TN             | Assiette | Joly 53                | 1                      | 0 | 0  | 0 | 1  | 1   |       |  |
|            |             |          | Non tournée    | PCGROS         | Ind      | Ind                    | 0                      | 0 | 1  | 0 | 1  | 1   |       |  |
|            |             |          |                | PSGROS         | Ind      | Ind                    | 1                      | 0 | 4  | 0 | 5  | 2   |       |  |
|            |             |          |                |                | Pot      | bord mouluré           | 2                      | 1 | 0  | 0 | 3  | 2   |       |  |
|            |             |          | Sigillée       | TS SG          | Calice   | Drag. 11               | 0                      | 1 | 0  | 0 | 1  | 1   |       |  |
|            |             |          | Tournée-Claire | PC-            | Cruche   | Ind                    | 0                      | 0 | 0  | 1 | 1  | 1   |       |  |
|            |             |          |                |                | Ind      | Ind                    | 0                      | 1 | 23 | 0 | 24 | 0   |       |  |
|            |             |          |                |                | PCCRU    | Cruche                 | Gose 363               | 1 | 0  | 0 | 0  | 1   | 1     |  |
|            |             |          | Tournée-Sombre | PGFINF         | Bol      | TFS-BOL 1              | 1                      | 0 | 0  | 0 | 1  | 1   |       |  |
|            |             |          |                |                | Coupe    | lèvre droite           | lèvre droite           | 1 | 0  | 0 | 0  | 1   | 1     |  |
|            |             |          |                |                |          | lèvre droite rainures  | lèvre droite rainures  | 1 | 0  | 0 | 0  | 1   | 1     |  |
|            |             |          |                |                |          | lèvre éversée rainurée | lèvre éversée rainurée | 1 | 0  | 0 | 0  | 1   | 1     |  |
|            |             |          |                |                | Gobelet  | lèvre éversée          | lèvre éversée          | 1 | 0  | 0 | 0  | 1   | 1     |  |
|            |             |          |                |                | Ind      | Ind                    | Ind                    | 0 | 1  | 4 | 0  | 5   | 0     |  |
| Total 3025 |             |          |                |                |          |                        | 13                     | 5 | 33 | 1 | 52 | 18  | 690   |  |
| 3033       | C-044044-13 | Antique  | Commune claire | Co. Cl. Ca     | Mortier  | Ind                    | 0                      | 1 | 0  | 0 | 1  | 1   |       |  |
| Total 3033 |             |          |                |                |          |                        | 0                      | 1 | 0  | 0 | 1  | 1   | 180   |  |
| 3034       | C-044044-14 | I        | Commune claire | Chal.2         | Ind      | Ind                    | 0                      | 0 | 1  | 0 | 1  | 1   |       |  |
|            |             |          |                | Co. Cl. Ca     | Ind      | Ind                    | 0                      | 0 | 1  | 0 | 1  | 1   |       |  |
|            |             |          | Fine           | TN             | Ind      | Ind                    | 2                      | 0 | 1  | 0 | 3  | 2   |       |  |
|            |             |          | Non tournée    | BES            | Ind      | Ind                    | 1                      | 0 | 2  | 0 | 3  | 1   |       |  |
|            |             |          | Sigillée       | TS SG          | Ind      | Ind                    | 0                      | 0 | 1  | 0 | 1  | 1   |       |  |
|            |             |          | Tournée-Claire | PEINT A        | Ind      | Ind                    | 0                      | 0 | 5  | 0 | 5  | 2   |       |  |
|            |             |          |                | Tournée-Sombre | NPR      | Ind                    | Ind                    | 0 | 0  | 3 | 0  | 3   | 1     |  |
|            |             |          |                | PGFINF         | Ind      | Ind                    | 0                      | 0 | 5  | 0 | 5  | 1   |       |  |
| Total 3034 |             |          |                |                |          |                        | 3                      | 0 | 19 | 0 | 22 | 10  | 160   |  |
| 3035       | C-044044-15 | Mélangé  | Commune claire | Chal. 2/3      | Pichet   | CHAL. Pi4              | 1                      | 0 | 0  | 0 | 1  | 1   |       |  |
|            |             |          |                | Co. Cl. Ca     | Ind      | Ind                    | 0                      | 1 | 27 | 1 | 29 | 1   |       |  |
|            |             |          | Commune sombre | Chal.1         | Ind      | Ind                    | 1                      | 0 | 13 | 0 | 14 | 1   |       |  |
|            |             |          |                |                | Jatte    | CHAL. J7               | 3                      | 0 | 0  | 0 | 3  | 3   |       |  |
|            |             |          | Fine           | CAMP A         | Ind      | Ind                    | 0                      | 0 | 1  | 0 | 1  | 1   |       |  |
|            |             |          |                | CEng           | Ind      | Ind                    | 0                      | 0 | 1  | 0 | 1  | 1   |       |  |
|            |             |          |                | TN             | Ind      | Ind                    | 0                      | 1 | 2  | 0 | 3  | 1   |       |  |
|            |             |          | Non tournée    | BES            | Pot      | Ind                    | 1                      | 0 | 2  | 0 | 3  | 1   |       |  |
|            |             |          |                | PSGROS         | Ecuelle  | Ind                    | 1                      | 0 | 0  | 0 | 1  | 1   |       |  |
|            |             |          |                |                | Ind      | Ind                    | 0                      | 2 | 10 | 0 | 12 | 0   |       |  |
|            |             |          | Sigillée       | TS Ind         | Coupelle | Lez. 42                | 1                      | 0 | 0  | 0 | 1  | 1   |       |  |
|            |             |          |                | TS IT          | Ind      | Ind                    | 0                      | 0 | 2  | 0 | 2  | 1   |       |  |
|            |             |          |                | TS SG          | Ind      | Ind                    | 1                      | 0 | 0  | 0 | 1  | 1   |       |  |

ANNEXE 7 - INVENTAIRE ANALYTIQUE DE LA CÉRAMIQUE DES SECTEURS 2 ET 3 (2022)

| UF          | NumLOT      | Datation       | Catégorie      | Sous Cat.  | Forme     | Typologie        | B  | F  | P   | A  | NR  | NMI | Masse |
|-------------|-------------|----------------|----------------|------------|-----------|------------------|----|----|-----|----|-----|-----|-------|
|             |             |                | Tournée-Claire | PCMOR      | Ind       | Ind              | 0  | 0  | 3   | 0  | 3   | 1   |       |
|             |             |                |                | PEINT A    | Ind       | Ind              | 1  | 1  | 27  | 0  | 29  | 2   |       |
|             |             |                | Tournée-Sombre | PGFINF     | Assiette  | bord droit       | 1  | 0  | 0   | 0  | 1   | 1   |       |
|             |             |                |                |            | Ecuelle   | Ind              | 1  | 0  | 0   | 0  | 1   | 1   |       |
|             |             |                |                | Ind        | Ind       | 1                | 1  | 11 | 0   | 13 | 3   |     |       |
|             | C-044044-52 | Mélangé        | Tournée-Claire | PEINT A    | Jeton     | rond             | 0  | 0  | 1   | 0  | 1   | 1   |       |
|             | C-044044-53 | Mélangé        | Tournée-Sombre | PSFIN-     | Jeton     | rond             | 0  | 0  | 1   | 0  | 1   | 1   |       |
|             | C-044044-54 | Mélangé        | Tournée-Sombre | PGFINF     | Jeton     | carré            | 0  | 0  | 1   | 0  | 1   | 1   |       |
| C-044044-55 | Mélangé     | Tournée-Claire | PC-            | Jeton      | rond      | 0                | 0  | 6  | 0   | 6  | 1   |     |       |
| Total 3035  |             |                |                |            |           |                  | 13 | 6  | 108 | 1  | 128 | 26  | 1280  |
| 3036        | C-044044-24 | LTD            | Non tournée    | PSGROS     | Ind       | Ind              | 0  | 0  | 1   | 0  | 1   | 1   |       |
|             |             |                | Tournée-Claire | PC-        | Ind       | Ind              | 0  | 0  | 1   | 0  | 1   | 1   |       |
|             |             |                |                | PEINT A    | Bouteille | TFS-BOUT 1       | 1  | 0  | 0   | 0  | 1   | 1   |       |
|             |             |                | Tournée-Sombre | PGFINF     | Ind       | Ind              | 0  | 0  | 1   | 0  | 1   | 1   |       |
| Total 3036  |             |                |                |            |           |                  | 1  | 0  | 3   | 0  | 4   | 4   | 40    |
| 3037        | C-044044-18 | LTD            | Tournée-Claire | MICAC-FIN  | Ind       | Ind              | 0  | 1  | 0   | 0  | 1   | 1   |       |
|             |             |                |                | PC-        | Ind       | Ind              | 0  | 0  | 1   | 0  | 1   | 1   |       |
|             |             |                |                | PCIT       | Ind       | Ind              | 0  | 0  | 1   | 0  | 1   | 1   |       |
|             |             |                |                | PEINT A    | Ind       | Ind              | 0  | 0  | 1   | 0  | 1   | 1   |       |
|             |             |                | Tournée-Sombre | NPR        | Ecuelle   | TFS-ECU 1        | 3  | 0  | 9   | 0  | 12  | 1   |       |
| Total 3037  |             |                |                |            |           |                  | 3  | 1  | 12  | 0  | 16  | 5   | 108   |
| 3039        | C-044044-19 | LTD/II         | Commune claire | Chal.2     | Jatte     | CHAL. J20        | 4  | 0  | 0   | 0  | 4   | 2   |       |
|             |             |                |                | Co. Cl. Ca | Ind       | Ind              | 0  | 0  | 28  | 1  | 29  | 1   |       |
|             |             |                | Commune sombre | Chal.1     | Ind       | Ind              | 0  | 0  | 3   | 1  | 4   | 0   |       |
|             |             |                |                |            | Pot       | CHAL. P1         | 1  | 0  | 0   | 0  | 1   | 1   |       |
|             |             |                |                |            |           | CHAL.P5          | 1  | 0  | 0   | 0  | 1   | 1   |       |
|             |             |                | Fine           | TN         | Ind       | Ind              | 0  | 0  | 2   | 0  | 2   | 1   |       |
|             |             |                | Non tournée    | BES        | Ind       | Ind              | 1  | 0  | 1   | 0  | 2   | 1   |       |
|             |             |                |                | PSGROS     | Ecuelle   | Ind              | 2  | 0  | 0   | 0  | 2   | 1   |       |
|             |             |                |                |            | Ind       | Ind              | 1  | 0  | 0   | 0  | 1   | 1   |       |
|             |             |                |                |            | Pot       | Ind              | 2  | 1  | 9   | 0  | 12  | 1   |       |
|             |             |                | Sigillée       | TS CG      | Coupelle  | Drag. 46 (Ve C1) | 1  | 0  | 0   | 0  | 1   | 1   |       |
|             |             |                | Tournée-Claire | MICAC-FIN  | Ind       | Ind              | 0  | 0  | 2   | 0  | 2   | 1   |       |
|             |             |                |                | PEINT A    | Ind       | Ind              | 0  | 0  | 2   | 0  | 2   | 1   |       |
|             |             |                | Tournée-Sombre | NPR        | Ind       | Ind              | 0  | 0  | 1   | 0  | 1   | 1   |       |
| PGFINF      | Ecuelle     | TFS-ECU 1      |                | 1          | 0         | 0                | 0  | 1  | 1   |    |     |     |       |
| PSFIN-      | Ecuelle     | Ind            |                | 1          | 1         | 3                | 0  | 5  | 1   |    |     |     |       |
|             | C-044044-56 | LTD/II         | Tournée-Sombre | NPR        | Jeton     | rond             | 0  | 0  | 1   | 0  | 1   | 1   |       |

ANNEXE 7 - INVENTAIRE ANALYTIQUE DE LA CÉRAMIQUE DES SECTEURS 2 ET 3 (2022)

| UF             | NumLOT      | Datation      | Catégorie      | Sous Cat.              | Forme       | Typologie    | B             | F   | P  | A  | NR | NMI | Masse |    |
|----------------|-------------|---------------|----------------|------------------------|-------------|--------------|---------------|-----|----|----|----|-----|-------|----|
| Total 3039     |             |               |                |                        |             |              | 15            | 2   | 52 | 2  | 71 | 17  | 880   |    |
| 3043           | C-044044-20 | IA            | Commune claire | Co. Cl. Ca             |             | Gose 359     | 1             | 0   | 0  | 0  | 1  | 1   |       |    |
|                |             |               |                |                        |             | Gose 363/364 | 1             | 0   | 0  | 0  | 1  | 1   |       |    |
|                |             |               |                | Ind                    | Ind         | 0            | 1             | 16  | 0  | 17 | 0  |     |       |    |
|                |             |               | Commune sombre | Chal.1                 | Ind         | Ind          | 0             | 3   | 20 | 0  | 23 | 0   |       |    |
|                |             |               |                |                        | Jatte       | CHAL. J18    | 1             | 0   | 0  | 0  | 1  | 1   |       |    |
|                |             |               |                |                        | Pot         | CHAL. J9     | 4             | 0   | 0  | 0  | 4  | 3   |       |    |
|                |             |               | Fine           | TN                     | Assiette    | Joly 53b     | 2             | 1   | 0  | 0  | 3  | 1   |       |    |
|                |             |               |                |                        | Coupe       | Joly 66a     | 6             | 0   | 6  | 0  | 12 | 1   |       |    |
|                |             |               | Non tournée    | BES                    | Ind         | Ind          | 0             | 0   | 1  | 0  | 1  | 1   |       |    |
|                |             |               |                |                        | PSGROS      | Ecuelle      | Ind           | 3   | 0  | 0  | 0  | 3   |       | 3  |
|                |             |               |                |                        | Ind         | Ind          | 0             | 3   | 18 | 0  | 21 | 0   |       |    |
|                |             |               | Tournée-Claire | PC-                    | Bouteille   | Ind          | 0             | 2   | 4  | 0  | 6  | 1   |       |    |
|                |             |               |                |                        | PEINT A     | Ind          | 0             | 0   | 3  | 0  | 3  | 1   |       |    |
| Tournée-Sombre | PGFINF      | Gobelet       | lèvre éversée  | 1                      | 0           | 0            | 0             | 1   | 1  |    |    |     |       |    |
| Total 3043     |             |               |                |                        |             |              | 20            | 10  | 68 | 0  | 98 | 16  | 2280  |    |
| 3045           | C-044044-21 | LTD2          | Commune claire | Co. Cl. Ca             | Ind         | Ind          | 0             | 0   | 3  | 0  | 3  | 1   |       |    |
|                |             |               |                |                        | Non tournée | BES          | Ind           | Ind | 0  | 0  | 11 | 0   |       | 11 |
|                |             |               | PSGROS         | Ecuelle                |             |              | Ind           | 2   | 0  | 0  | 0  | 2   |       | 2  |
|                |             |               | Ind            | Ind                    |             | 0            | 1             | 4   | 0  | 5  | 0  |     |       |    |
|                |             |               | Tournée-Claire | PC-                    | Ind         | Ind          | 0             | 0   | 1  | 0  | 1  | 1   |       |    |
|                |             |               |                |                        | PEINT A     | Ind          | 0             | 0   | 1  | 0  | 1  | 1   |       |    |
|                |             |               | Tournée-Sombre | NPR                    | Ind         | Ind          | 1             | 0   | 1  | 0  | 2  | 1   |       |    |
|                |             |               |                |                        | PGFINF      | Coupelle     | Ind           | 1   | 0  | 0  | 0  | 1   |       | 1  |
|                |             |               |                | Ind                    | Ind         | 0            | 1             | 2   | 0  | 3  | 1  |     |       |    |
| PSFIN-         | Assiette    | imit lamb 5/7 |                | 1                      | 0           | 0            | 0             | 1   | 1  |    |    |     |       |    |
| PSMIFIN        | Ind         | Ind           |                | 0                      | 1           | 9            | 0             | 10  | 1  |    |    |     |       |    |
| Total 3045     |             |               |                |                        |             | 5            | 3             | 32  | 0  | 40 | 11 | 380 |       |    |
| 3049           | C-044044-22 | LTD           | Non tournée    | BES                    | Ind         | Ind          | 0             | 0   | 2  | 0  | 2  | 1   | 700   |    |
|                |             |               |                |                        | PSGROS      | Ecuelle      | CNT-ECU 1     | 1   | 0  | 0  | 0  | 1   |       | 1  |
|                |             |               |                |                        |             | Ind          | Ind           | 1   | 0  | 0  | 0  | 1   |       | 1  |
|                |             |               |                |                        | Pot         | Ind          | lèvre éversée | 1   | 0  | 0  | 0  | 1   |       | 1  |
|                |             |               |                | lèvre éversée moulurée |             |              | 1             | 0   | 0  | 0  | 1  | 1   |       |    |
|                |             |               |                | Tournée-Claire         | MICAC-FIN   | Ind          | Ind           | 0   | 0  | 2  | 0  | 2   |       | 1  |
|                |             |               | PC-            |                        |             | Ind          | Ind           | 1   | 2  | 22 | 0  | 25  |       | 1  |
|                |             |               | PCIT           |                        |             | Cruche       | Ind           | 0   | 0  | 0  | 1  | 1   |       | 1  |
|                |             |               | PEINT A        |                        |             | Ind          | Ind           | 0   | 0  | 15 | 0  | 15  |       | 1  |
|                |             |               | Tournée-Sombre | PGFINF                 | Ind         | Ind          | 1             | 2   | 8  | 0  | 11 | 1   |       |    |
| Total 3049     |             |               |                |                        |             | 6            | 4             | 54  | 1  | 65 | 10 | 700 |       |    |

ANNEXE 7 - INVENTAIRE ANALYTIQUE DE LA CÉRAMIQUE DES SECTEURS 2 ET 3 (2022)

| UF             | NumLOT      | Datation | Catégorie         | Sous Cat.         | Forme     | Typologie          | B   | F | P  | A | NR | NMI | Masse |
|----------------|-------------|----------|-------------------|-------------------|-----------|--------------------|-----|---|----|---|----|-----|-------|
| 3055           | C-044044-26 | LTC/D    | Tournée-Claire    | PC-               | Ind       | Ind                | 0   | 0 | 2  | 0 | 2  | 1   | 28    |
| Total 3055     |             |          |                   |                   |           |                    | 0   | 0 | 2  | 0 | 2  | 1   | 28    |
| 3060           | C-044044-23 | LTC/D    | Tournée-Claire    | PC-               | Ind       | Ind                | 0   | 0 | 1  | 0 | 1  | 1   |       |
|                |             |          | Tournée-Sombre    | PGFINF            | Ind       | Ind                | 0   | 0 | 1  | 0 | 1  | 1   |       |
| Total 3060     |             |          |                   |                   |           |                    | 0   | 0 | 2  | 0 | 2  | 2   | 10    |
| 3065           | C-044044-25 | LTC/D    | Tournée-Sombre    | NPR               | Ecuelle   | bord simple        | 1   | 0 | 1  | 0 | 2  | 1   | 12    |
| Total 3065     |             |          |                   |                   |           |                    | 1   | 0 | 1  | 0 | 2  | 1   | 12    |
| 3069           | C-044044-27 | LTC/D    | Tournée-Claire    | MIFINC            | Ind       | Ind                | 0   | 0 | 1  | 0 | 1  | 1   |       |
|                |             |          |                   | PC-               | Ind       | Ind                | 0   | 0 | 1  | 0 | 1  | 1   |       |
|                |             |          | Tournée-Sombre    | NPR               | Ind       | Ind                | 1   | 0 | 0  | 0 | 1  | 1   |       |
| Total 3069     |             |          |                   |                   |           |                    | 1   | 0 | 2  | 0 | 3  | 3   | 27    |
| 3071           | C-044044-28 | LTC/D    | Non tournée       | BES               | Pot       | bord mouluré       | 2   | 0 | 12 | 0 | 14 | 1   |       |
|                |             |          |                   | PSGROS            | Ind       | Ind                | 0   | 0 | 1  | 0 | 1  | 1   |       |
|                |             |          | Tournée-Sombre    | NPR               | Ind       | Ind                | 0   | 0 | 14 | 0 | 14 | 1   |       |
| Total 3071     |             |          |                   |                   |           |                    | 2   | 0 | 27 | 0 | 29 | 3   | 620   |
| 3077           | C-044044-17 | LTD      | Ind (pâte brûlée) | Ind (pâte brûlée) | Ind       | Ind                | 0   | 0 | 4  | 0 | 4  | 0   |       |
|                |             |          |                   | Non tournée       | BES       | Pot                | Ind | 1 | 0  | 0 | 0  | 1   |       |
|                |             |          | PCGROS            |                   | Ind       | Ind                | 0   | 0 | 1  | 0 | 1  | 1   |       |
|                |             |          | PSGROS            |                   | Ecuelle   | Ind                | 1   | 0 | 0  | 0 | 1  | 1   |       |
|                |             |          | Tournée-Claire    | Pot               | Ind       | 0                  | 1   | 1 | 0  | 2 | 0  |     |       |
|                |             |          |                   |                   | Ind       | 0                  | 0   | 5 | 0  | 5 | 0  |     |       |
|                |             |          |                   | PC-               | Bouteille | TFC-BOU 3          | 1   | 1 | 13 | 0 | 15 | 1   |       |
|                |             |          |                   | PCCRU             | Cruche    | Ind                | 1   | 1 | 5  | 1 | 8  | 1   |       |
|                |             |          |                   |                   |           | lèvre en bourrelet | 2   | 0 | 0  | 0 | 2  | 2   |       |
|                |             |          | PEINT A           | Bouteille         | TFC-BOU 2 | 1                  | 0   | 0 | 0  | 1 | 1  |     |       |
| Tournée-Sombre | PGFINF      | Ind      | Ind               | 0                 | 0         | 2                  | 0   | 2 | 0  |   |    |     |       |
|                | C-044044-57 | LTD      | Tournée-Claire    | PC-               | Jeton     | rond               | 0   | 0 | 1  | 0 | 1  | 1   |       |
| Total 3077     |             |          |                   |                   |           |                    | 9   | 3 | 32 | 1 | 45 | 11  | 1110  |

ANNEXE 7 - INVENTAIRE ANALYTIQUE DE LA CÉRAMIQUE DES SECTEURS 2 ET 3 (2022)

| UF            | NumLOT          | Datation | Catégorie      | Sous Cat.                | Forme | Typologie | B | F | P | A | NR | NMI | Masse |
|---------------|-----------------|----------|----------------|--------------------------|-------|-----------|---|---|---|---|----|-----|-------|
| 3088<br>Pi01  | C-044044-<br>29 | LTD      | Tournée-Claire | éclat PC                 | Ind   | Ind       | 0 | 0 | 1 | 0 | 1  | 0   |       |
| 3088<br>Pi010 | C-044044-<br>35 | LTD      | Tournée-Claire | éclat PC                 | Ind   | Ind       | 0 | 0 | 1 | 0 | 1  | 0   |       |
| 3088<br>Pi012 | C-044044-<br>36 | LTD      | Tournée-Sombre | PGFINF                   | Ind   | Ind       | 1 | 0 | 0 | 0 | 1  | 0   |       |
| 3088<br>Pi013 | C-044044-<br>37 | LTD      | Tournée-Claire | PEINT A                  | Ind   | Ind       | 0 | 0 | 1 | 0 | 1  | 0   |       |
| 3088<br>Pi014 | C-044044-<br>38 | LTD      | Tournée-Claire | éclat PC                 | Ind   | Ind       | 0 | 0 | 1 | 0 | 1  | 0   |       |
| 3088<br>Pi015 | C-044044-<br>39 | LTD      | Tournée-Claire | éclat PC                 | Ind   | Ind       | 0 | 0 | 1 | 0 | 1  | 0   |       |
| 3088<br>Pi016 | C-044044-<br>40 | LTD      | Tournée-Sombre | PGFINF                   | Ind   | Ind       | 1 | 0 | 0 | 0 | 1  | 0   |       |
| 3088<br>Pi017 | C-044044-<br>41 | LTD      | Tournée-Claire | éclat PC                 | Ind   | Ind       | 0 | 0 | 1 | 0 | 1  | 0   |       |
| 3088<br>Pi019 | C-044044-<br>42 | LTD      | Amphore        | éclat<br>AMP<br>italique | Ind   | Ind       | 0 | 0 | 1 | 0 | 1  | 0   |       |
| 3088<br>Pi020 | C-044044-<br>43 | LTD      | Tournée-Claire | éclat PC                 | Ind   | Ind       | 0 | 0 | 1 | 0 | 1  | 0   |       |
| 3088<br>Pi03  | C-044044-<br>30 | LTD      | Tournée-Sombre | NPR                      | Ind   | Ind       | 1 | 0 | 0 | 0 | 1  | 0   |       |
| 3088<br>Pi05  | C-044044-<br>31 | LTD      | Tournée-Claire | PC-                      | Ind   | Ind       | 0 | 0 | 1 | 0 | 1  | 0   |       |
| 3088<br>Pi07  | C-044044-<br>32 | LTD      | Tournée-Claire | PC-                      | Ind   | Ind       | 0 | 0 | 1 | 0 | 1  | 0   |       |
| 3088<br>Pi08  | C-044044-<br>33 | LTD      | Tournée-Claire | PC-                      | Ind   | Ind       | 0 | 0 | 1 | 0 | 1  | 0   |       |
| 3088<br>Pi09  | C-044044-<br>34 | LTD      | Tournée-Claire | éclat PC                 | Ind   | Ind       | 0 | 0 | 1 | 0 | 1  | 0   |       |

| UF            | B   | F   | P    | A  | NR   | NMI | Masse |
|---------------|-----|-----|------|----|------|-----|-------|
| Total général | 444 | 178 | 2016 | 25 | 2656 | 512 | 35743 |



| UF   | Inter-prétation | Description mobilier   | Fonction                  | Cat. | Sous Cat.         | Forme     | Typologie  | B | F | P  | A | NR | NMI | N.figure | NCaisse  |
|------|-----------------|--|---------------------------|------|-------------------|-----------|------------|---|---|----|---|----|-----|----------|----------|
| 4000 | Décapage        | Une panse portant une petite perforation   | Indéterminée              | NT   | PSGROS            | Ind       | Ind        |   | 1 | 12 |   | 13 |     |          | CER 7/18 |
| 4000 | Décapage        |  | Vaisselle de présentation | NT   | PSGROS            | Ecuelle   | CNT-ECU 1  | 1 |   |    |   | 1  | 1   |          | CER 7/18 |
| 4000 | Décapage        |  | Indéterminée              | T    | PGFINF            | Ind       | Ind        |   |   | 1  |   | 1  | 1   |          | CER 7/18 |
| 4000 | Décapage        |  | Indéterminée              | T    | NPR               | Ind       | Ind        |   | 1 |    |   | 1  | 1   |          | CER 7/18 |
| 4000 | Décapage        |  | Vaisselle de présentation | T    | PSFIN-            | Ecuelle   | TFS-ECU 1a | 1 |   |    |   | 1  | 1   |          | CER 7/18 |
| 4000 | Décapage        |  | Vaisselle de présentation | T    | PSFIN-            | Ecuelle   | TFS-ECU 1a | 1 |   |    |   | 1  | 1   |          | CER 7/18 |
| 4000 | Décapage        |  | Vaisselle de présentation | T    | PSFIN-            | Ecuelle   | TFS-ECU 1a | 2 |   |    |   | 2  | 1   |          | CER 7/18 |
| 4000 | Décapage        |  | Indéterminée              | T    | Ind (pâte brûlée) | Ind       | Ind        |   |   | 1  |   | 1  |     |          | CER 7/18 |
| 4000 | Décapage        |  | Indéterminée              | T    | PC-               | Ind       | Ind        |   | 1 | 10 |   | 11 |     |          | CER 7/18 |
| 4000 | Décapage        |  | Vaisselle à boire         | T    | PC-               | Bouteille | TFC-BOUT 2 | 1 |   |    |   | 1  | 1   |          | CER 7/18 |
| 4000 | Décapage        |  | Indéterminée              | T    | PGFIN             | Ind       | Ind        |   |   | 4  |   | 4  |     |          | CER 7/18 |
| 4000 | Décapage        |  | Vaisselle de présentation | T    | PGFIN             | Ecuelle   | TFS-ECU 1a | 1 |   |    |   | 1  | 1   |          | CER 7/18 |
| 4000 | Décapage        |  | Vaisselle de présentation | T    | PGFIN             | Ecuelle   | TFS-ECU 1a | 1 |   |    |   | 1  | 1   |          | CER 7/18 |
| 4000 | Décapage        |  | Indéterminée              | NT   | PCGROS            | Ind       | Ind        |   | 1 | 2  |   | 3  | 1   |          | CER 7/18 |
| 4000 | Décapage        |  | Indéterminée              | T    | PEINT B           | Ind       | Ind        |   |   | 1  |   | 1  | 1   |          | CER 7/18 |
| 4000 | Décapage        | 12 tessons portent des traces de peinture blanche / 2 tessons portent des traces de peinture rouge   | Indéterminée              | T    | PEINT A           | Ind       | Ind        |   |   | 14 |   | 14 | 2   |          | CER 7/18 |
| 4000 | Décapage        | Une panse porte un décor de chevrons incisés / Une panse porte un décor de traits parallèles obliques incisés / Une panse porte un décor de traits parallèles obliques incisés | Indéterminée              | NT   | BES               | Ind       | Ind        |   |   | 18 |   | 18 |     |          | CER 7/18 |
| 4000 | Décapage        |  | Indéterminée              | NT   | BES               | Ind       | Ind        | 1 |   |    |   | 1  | 1   |          | CER 7/18 |
| 4000 | Décapage        |  | Indéterminée              | NT   | BES               | Ind       | Ind        | 1 |   |    |   | 1  | 1   |          | CER 7/18 |

| UF   | Inter-prétation | Description mobilier  | Fonction                  | Cat. | Sous Cat. | Forme         | Typologie  | B | F | P | A | NR | NMI | N.figure       | NCaisse  |
|------|-----------------|---|---------------------------|------|-----------|---------------|------------|---|---|---|---|----|-----|----------------|----------|
| 4000 | Décapage        |   | Vaisselle de cuisine      | NT   | BES       | Pot           | CNT-POT 1  | 1 |   |   |   | 1  | 1   | CER-044044-151 | CER 7/18 |
| 4000 | Décapage        | Décors de chevrons incisés                                      | Vaisselle de cuisine      | NT   | BES       | Pot           | CNT-POT 2  | 1 |   |   |   | 1  | 1   | CER-044044-152 | CER 7/18 |
| 4000 | Décapage        | Décors de chevrons incisés                                      | Vaisselle de cuisine      | NT   | BES       | Pot           | CNT-POT 2  | 1 |   |   |   | 1  | 1   |                | CER 7/18 |
| 4001 | Remblai         |   | Indéterminée              | T    | CAMP A    | Ind           | Ind        |   |   | 2 |   | 2  | 1   |                | CER 7/18 |
| 4001 | Remblai         |   | Autre                     | T    | CAMP A    | Jeton         | Ind        |   |   |   |   | 1  |     |                | CER 7/18 |
| 4001 | Remblai         | Céramique importée, cruche italique à pâte blanc crène ou jaune | Vaisselle à boire         | T    | PCIT      | Cruche        | Ind        |   |   | 7 |   | 7  | 1   |                | CER 7/18 |
| 4001 | Remblai         |   |                           | T    |           |               |            |   | 1 |   |   | 1  | 1   |                | CER 7/18 |
| 4001 | Remblai         | 4 éclats  | Indéterminée              | NT   | PSGROS    | Ind           | Ind        |   |   | 9 |   | 9  |     |                | CER 7/18 |
| 4001 | Remblai         |   | Vaisselle de présentation | NT   | PSGROS    | Ecuelle/Jatte | CNT-ECU 1a | 1 |   |   |   | 1  | 1   | CER-044044-150 | CER 7/18 |
| 4001 | Remblai         |   | Vaisselle de présentation | NT   | PSGROS    | Ecuelle       | CNT-ECU 1a | 1 |   |   |   | 1  | 1   |                | CER 7/18 |
| 4001 | Remblai         | Un fond avec graffiti en croix partielle                        | Indéterminée              | T    | NPR       | Ind           | Ind        |   | 2 | 4 |   | 6  |     | CER-044044-160 | CER 7/18 |
| 4001 | Remblai         |   | Vaisselle de présentation | T    | NPR       | Ecuelle       | TFS-ECU 1a | 1 |   |   |   | 1  | 1   | CER-044044-157 | CER 7/18 |
| 4001 | Remblai         |   | Vaisselle à boire         | T    | NPR       | Bouteille     | TFS-BOUT 1 | 1 |   |   |   | 1  | 1   | CER-044044-159 | CER 7/18 |
| 4001 | Remblai         |   | Vaisselle à boire         | T    | NPR       | Tonnelet      | TFS-TON 1a | 1 |   |   |   | 1  | 1   | CER-044044-158 | CER 7/18 |
| 4001 | Remblai         |   | Autre                     | T    | NPR       | Jeton         | Ind        |   |   |   |   | 1  |     |                | CER 7/18 |
| 4001 | Remblai         |   | Indéterminée              | NT   | BES       | Ind           | Ind        |   |   | 3 |   | 3  |     |                | CER 7/18 |
| 4001 | Remblai         |   | Vaisselle de stockage     | NT   | BES       | Pot           | CNT-POT 1  | 1 |   |   |   | 1  | 1   | 7              | CER 7/18 |

| UF   | Inter-prétation | Description mobilier   | Fonction                  | Cat. | Sous Cat. | Forme     | Typologie   | B | F | P  | A | NR | NMI | N.figure       | NCaisse  |
|------|-----------------|--|---------------------------|------|-----------|-----------|-------------|---|---|----|---|----|-----|----------------|----------|
| 4001 | Remblai         |  | Vaisselle de stockage     | NT   | BES       | Pot       | CNT-POT 2   | 1 |   |    |   | 1  | 1   | 8              | CER 7/18 |
| 4001 | Remblai         |  | Vaisselle de stockage     | NT   | BES       | Pot       | CNT-POT 2   | 1 |   |    |   | 1  | 1   |                | CER 7/18 |
| 4001 | Remblai         | Deux tessons portant des traces de peinture rouge / 4 tessons portant des traces de peinture rouge | Indéterminée              | T    | PEINT A   | Ind       | Ind         |   | 6 |    |   | 6  | 1   |                | CER 7/18 |
| 4001 | Remblai         | Deux tessons portant des traces de peinture rouge / 4 tessons portant des traces de peinture rouge | Vaisselle de stockage     | T    | PEINT A   | Bouteille | TFC-BOUT 2  | 3 |   |    |   | 3  | 1   | CER-044044-156 | CER 7/18 |
| 4001 | Remblai         |  | Indéterminée              | T    | CAMP B    | Ind       | Ind         |   | 2 |    |   | 2  |     |                | CER 7/18 |
| 4001 | Remblai         |  | Vaisselle de présentation | T    | CAMP B    | Assiette  | Lamb.5      | 3 |   |    |   | 3  | 1   | CER-044044-166 | CER 7/18 |
| 4001 | Remblai         |  | Vaisselle de présentation | T    | CAMP B    | Assiette  | Lamb.5      | 3 |   |    |   | 3  | 1   | CER-044044-167 | CER 7/18 |
| 4001 | Remblai         |  | Indéterminée              | T    | PGFINF    | Ind       | Ind         |   | 3 | 15 |   | 18 |     |                | CER 7/18 |
| 4001 | Remblai         |  | Vaisselle à boire         | T    | PGFINF    | Coupe     | TFS-COUP 1b | 1 |   |    |   | 1  | 1   | CER-044044-164 | CER 7/18 |
| 4001 | Remblai         |  | Vaisselle de présentation | T    | PGFINF    | Ecuelle   | TFS-ECU 1c  | 1 |   |    |   | 1  | 1   | CER-044044-165 | CER 7/18 |
| 4001 | Remblai         |  | Indéterminée              | T    | PGFIN     | Ind       | Ind         |   | 6 |    |   | 6  |     |                | CER 7/18 |
| 4001 | Remblai         |  | Vaisselle de présentation | T    | PGFIN     | Ecuelle   | TFS-ECU 1b  | 1 |   |    |   | 1  | 1   | CER-044044-162 | CER 7/18 |
| 4001 | Remblai         |  | Vaisselle à boire         | T    | PGFIN     | Bouteille | TFS-ECU 1b  | 1 |   |    |   | 1  | 1   |                | CER 7/18 |
| 4001 | Remblai         |  | Vaisselle de présentation | T    | PGFIN     | Assiette  | TFS-ASS 1b  | 2 |   |    |   | 2  | 1   | CER-044044-163 | CER 7/18 |
| 4001 | Remblai         |  | Vaisselle de stockage     | T    | PSFIN-    | Pot       | TFS-POT 1a  | 1 |   |    |   | 1  | 1   | CER-044044-161 | CER 7/18 |

| UF   | Inter-prétation | Description mobilier  | Fonction                  | Cat. | Sous Cat. | Forme     | Typologie   | B | F  | P  | A | NR | NMI | N.figure       | NCaisse  |
|------|-----------------|---|---------------------------|------|-----------|-----------|-------------|---|----|----|---|----|-----|----------------|----------|
| 4001 | Remblai         | Un fond en pâte sombre fine, altération thermique ? Pas circulaire ni plan, raté de cuisson ? / Certains tessons présentent un enduit de résine noir interne (poix) | Indéterminée              | T    | PC-       | Ind       | Ind         |   | 17 | 77 |   | 94 |     |                | CER 7/18 |
| 4001 | Remblai         |   | Vaisselle à boire         | T    | PC-       | Bouteille | TFC-BOUT 1  | 3 |    |    |   | 3  | 1   | CER-044044-153 | CER 7/18 |
| 4001 | Remblai         |   | Vaisselle à boire         | T    | PC-       | Bouteille | TFC-BOUT 2  | 1 |    |    |   | 1  | 1   |                | CER 7/18 |
| 4001 | Remblai         |   | Vaisselle à boire         | T    | PC-       | Bouteille | TFC-BOUT 3  | 1 |    |    |   | 1  | 1   | CER-044044-154 | CER 7/18 |
| 4001 | Remblai         |   | Vaisselle à boire         | T    | PC-       | Gobelet   | TFC-GOB 1   | 1 |    |    |   | 1  | 1   | CER-044044-155 | CER 7/18 |
| 4001 | Remblai         |   | Autre                     | T    | PC-       | Jeton     | Ind         |   |    |    |   | 1  |     |                | CER 7/18 |
| 4001 | Remblai         |   | Autre                     | T    | PC-       | Jeton     | Ind         |   |    |    |   | 1  |     |                | CER 7/18 |
| 4001 | Remblai         |   | Autre                     | T    | PC-       | Jeton     | Ind         |   |    |    |   | 1  |     |                | CER 7/18 |
| 4001 | Remblai         |   | Autre                     | T    | PC-       | Jeton     | Ind         |   |    |    |   | 1  |     |                | CER 7/18 |
| 4001 | Remblai         |   | Autre                     | T    | PC-       | Jeton     | Ind         |   |    |    |   | 1  |     |                | CER 7/18 |
| 4001 | Remblai         |   | Autre                     | T    | PC-       | Jeton     | Ind         |   |    |    |   | 1  |     |                | CER 7/18 |
| 4001 | Remblai         |   | Autre                     | T    | PC-       | Jeton     | Ind         |   |    |    |   | 1  |     |                | CER 7/18 |
| 4001 | Remblai         |   | Autre                     | T    | PC-       | Jeton     | Ind         |   |    |    |   | 1  |     |                | CER 7/18 |
| 4003 | Remblai         |   | Indéterminée              | T    | NPR       | Ind       | Ind         |   | 1  | 11 |   | 12 |     |                | CER 8/18 |
| 4003 | Remblai         |   | Vaisselle de présentation | T    | NPR       | Coupe     | TFS-COUP 1a | 1 |    |    |   | 1  | 1   |                | CER 8/18 |
| 4003 | Remblai         |   | Vaisselle à boire         | T    | NPR       | Tonnelet  | TFS-TON 1a  | 1 |    |    |   | 1  | 1   |                | CER 8/18 |
| 4003 | Remblai         |   | Vaisselle de stockage     | T    | NPR       | Bouteille | TFC-BOUT 1  | 2 |    |    |   | 2  | 1   |                | CER 8/18 |

| UF   | Inter-prétation | Description mobilier  | Fonction              | Cat. | Sous Cat. | Forme     | Typologie  | B | F | P   | A | NR  | NMI | N.figure | N.Caisse |
|------|-----------------|---|-----------------------|------|-----------|-----------|------------|---|---|-----|---|-----|-----|----------|----------|
| 4003 | Remblai         | Deux panses décor de chevrons incisés / 7 panses décors de traits parallèles obliques incisés / 4 panses décors de longs traits parallèles obliques incisés / Une panse décor de lignes ondules coupées d'un «Λ». | Indéterminée          | NT   | BES       | Ind       | Ind        |   | 5 | 248 |   | 253 |     |          | CER 8/18 |
| 4003 | Remblai         | Décor de chevrons incisés   | Vaisselle de cuisine  | NT   | BES       | Pot       | CNT-POT 2  | 2 |   |     |   | 2   | 1   |          | CER 8/18 |
| 4003 | Remblai         | Décor de traits obliques incisés  | Vaisselle de stockage | NT   | BES       | Couvercle | CNT-COUV 1 | 1 |   |     |   | 1   | 1   |          | CER 8/18 |
| 4003 | Remblai         | Décor de traits obliques incisés  | Vaisselle de cuisine  | NT   | BES       | Jarre     | CNT-JAR 1  | 2 |   |     |   | 2   | 1   |          | CER 8/18 |
| 4003 | Remblai         | Décor de traits obliques incisés  | Vaisselle de cuisine  | NT   | BES       | Pot       | CNT-POT 1  | 1 |   |     |   | 1   | 1   |          | CER 8/18 |
| 4003 | Remblai         | Décor de traits obliques incisés  | Vaisselle de cuisine  | NT   | BES       | Pot       | CNT-POT 1  | 2 |   |     |   | 2   | 1   |          | CER 8/18 |
| 4003 | Remblai         |   | Vaisselle de cuisine  | NT   | BES       | Pot       | CNT-POT 2  | 1 |   |     |   | 1   | 1   |          | CER 8/18 |
| 4003 | Remblai         |   | Vaisselle de cuisine  | NT   | BES       | Pot       | CNT-POT 1  | 1 |   |     |   | 1   | 1   |          | CER 8/18 |
| 4003 | Remblai         |   | Vaisselle de cuisine  | NT   | BES       | Pot       | CNT-POT 1  | 1 |   |     |   | 1   | 1   |          | CER 8/18 |
| 4003 | Remblai         |   | Vaisselle de cuisine  | NT   | BES       | Pot       | CNT-POT 2  | 1 |   |     |   | 1   | 1   |          | CER 8/18 |
| 4003 | Remblai         |   | Vaisselle de cuisine  | NT   | BES       | Pot       | CNT-POT 1  | 1 |   |     |   | 1   | 1   |          | CER 8/18 |
| 4003 | Remblai         |   | Vaisselle de cuisine  | NT   | BES       | Pot       | CNT-POT 6  | 1 |   |     |   | 1   | 1   |          | CER 8/18 |
| 4003 | Remblai         |   | Vaisselle de cuisine  | NT   | BES       | Pot       | CNT-POT 1  | 1 |   |     |   | 1   | 1   |          | CER 8/18 |
| 4003 | Remblai         |   | Vaisselle de cuisine  | NT   | BES       | Pot       | CNT-POT 3  | 1 |   |     |   | 1   | 1   |          | CER 8/18 |
| 4003 | Remblai         |   | Vaisselle de cuisine  | NT   | BES       | Pot       | CNT-POT 2  | 1 |   |     |   | 1   | 1   |          | CER 8/18 |
| 4003 | Remblai         |   | Vaisselle de cuisine  | NT   | BES       | Pot       | CNT-POT 2  | 1 |   |     |   | 1   | 1   |          | CER 8/18 |

| UF   | Inter-prétation | Description mobilier | Fonction                  | Cat. | Sous Cat. | Forme   | Typologie  | B | F | P | A | NR | NMI | N.figure | N.Caisse |
|------|-----------------|----------------------|---------------------------|------|-----------|---------|------------|---|---|---|---|----|-----|----------|----------|
| 4003 | Remblai         |                      | Vaisselle de cuisine      | NT   | BES       | Pot     | CNT-POT 1  | 1 |   |   |   | 1  | 1   |          | CER 8/18 |
| 4003 | Remblai         |                      | Vaisselle de cuisine      | NT   | BES       | Pot     | CNT-POT 1  | 1 |   |   |   | 1  | 1   |          | CER 8/18 |
| 4003 | Remblai         |                      | Vaisselle de cuisine      | NT   | BES       | Pot     | CNT-POT 1  | 1 |   |   |   | 1  | 1   |          | CER 8/18 |
| 4003 | Remblai         |                      | Vaisselle de cuisine      | NT   | BES       | Pot     | CNT-POT 1  | 1 |   |   |   | 1  | 1   |          | CER 8/18 |
| 4003 | Remblai         |                      | Vaisselle de cuisine      | NT   | BES       | Pot     | CNT-POT 1  | 1 |   |   |   | 1  | 1   |          | CER 8/18 |
| 4003 | Remblai         |                      | Vaisselle de cuisine      | NT   | BES       | Pot     | CNT-POT 1  | 1 |   |   |   | 1  | 1   |          | CER 8/18 |
| 4003 | Remblai         |                      | Vaisselle de cuisine      | NT   | BES       | Pot     | CNT-POT 1  | 1 |   |   |   | 1  | 1   |          | CER 8/18 |
| 4003 | Remblai         |                      | Vaisselle de cuisine      | NT   | BES       | Pot     | CNT-POT 1  | 2 |   |   |   | 2  | 1   |          | CER 8/18 |
| 4003 | Remblai         |                      | Vaisselle de stockage     | NT   | BES       | Jarre   | CNT-JAR 1  | 2 |   |   |   | 2  | 1   |          | CER 8/18 |
| 4003 | Remblai         |                      | Vaisselle de cuisine      | NT   | BES       | Pot     | CNT-POT 2  | 2 |   |   |   | 2  | 1   |          | CER 8/18 |
| 4003 | Remblai         |                      | Autre                     | NT   | BES       | Jeton   | Ind        |   |   |   |   | 1  |     |          | CER 8/18 |
| 4003 | Remblai         |                      | Autre                     | NT   | BES       | Jeton   | Ind        |   |   |   |   | 1  |     |          | CER 8/18 |
| 4003 | Remblai         |                      | Autre                     | NT   | BES       | Jeton   | Ind        |   |   |   |   | 1  |     |          | CER 8/18 |
| 4003 | Remblai         |                      | Indéterminée              | T    | PSMIFIN   | Ind     | Ind        |   | 3 | 6 |   | 9  |     |          | CER 8/18 |
| 4003 | Remblai         |                      | Vaisselle de présentation | T    | PSMIFIN   | Ecuelle | TFC-ECU 1  | 2 |   |   |   | 2  | 1   |          | CER 8/18 |
| 4003 | Remblai         |                      | Indéterminée              | T    | PSMIFIN   | Ind     | Ind        | 1 |   |   |   | 1  | 1   |          | CER 8/18 |
| 4003 | Remblai         |                      | Indéterminée              | T    | PSMIFIN   | Ind     | Ind        | 1 |   |   |   | 1  | 1   |          | CER 8/18 |
| 4003 | Remblai         |                      | Vaisselle de présentation | T    | PSMIFIN   | Ecuelle | TFS-ECU 1a | 1 |   |   |   | 1  | 1   |          | CER 8/18 |
| 4003 | Remblai         |                      | Autre                     | T    | PSMIFIN   | Jeton   | Ind        |   |   |   |   | 1  |     |          | CER 8/18 |
| 4003 | Remblai         |                      | Autre                     | T    | PSMIFIN   | Jeton   | Ind        |   |   |   |   | 1  |     |          | CER 8/18 |
| 4003 | Remblai         |                      | Indéterminée              | T    | PGFINF    | Ind     | Ind        |   | 1 | 8 |   | 9  |     |          | CER 8/18 |
| 4003 | Remblai         |                      | Vaisselle de présentation | T    | PGFINF    | Ecuelle | TFS-ECU 1a | 1 |   |   |   | 1  | 1   |          | CER 8/18 |



| UF   | Inter-prétation | Description mobilier  | Fonction                  | Cat. | Sous Cat.         | Forme     | Typologie  | B | F  | P | A | NR | NMI | N.figure | NCaisse  |
|------|-----------------|---|---------------------------|------|-------------------|-----------|------------|---|----|---|---|----|-----|----------|----------|
| 4003 | Remblai         |   | Vaisselle de présentation | T    | PGFINF            | Ecuelle   | TFS-ECU 1b | 1 |    |   |   | 1  | 1   |          | CER 8/18 |
| 4003 | Remblai         |   | Vaisselle de présentation | T    | PGFINF            | Ecuelle   | TFS-ECU 1a | 1 |    |   |   | 1  | 1   |          | CER 8/18 |
| 4003 | Remblai         |   | Indéterminée              | T    | PGFINF            | Ind       | Ind        | 1 |    |   |   | 1  | 1   |          | CER 8/18 |
| 4003 | Remblai         |   | Autre                     | T    | PGFINF            | Jeton     | Ind        | 1 |    |   |   | 1  | 1   |          | CER 8/18 |
| 4003 | Remblai         | Décor de lissage  | Vaisselle de présentation | T    | PGLUSTR           | Pot       | TFS-POT 2  | 1 |    |   |   | 1  | 1   |          | CER 8/18 |
| 4003 | Remblai         |   | Indéterminée              | T    | Ind (pâte brûlée) | Ind       | Ind        | 1 |    |   |   | 1  | 1   |          | CER 8/18 |
| 4003 | Remblai         |   | Autre                     | T    | Ind (pâte brûlée) | Jeton     | Ind        |   |    |   |   | 1  |     |          | CER 8/18 |
| 4003 | Remblai         |   | Indéterminée              | NT   | PCGROS            | Ind       | Ind        | 1 | 14 |   |   | 15 |     |          | CER 8/18 |
| 4003 | Remblai         |   | Vaisselle de présentation | NT   | PCGROS            | Ecuelle   | CNT-ECU 1a | 1 |    |   |   | 1  | 1   |          | CER 8/18 |
| 4003 | Remblai         |   | Vaisselle à boire         | NT   | PCGROS            | Gobelet   | CNT-GOB 1  | 1 |    |   |   | 1  | 1   |          | CER 8/18 |
| 4003 | Remblai         |   | Vaisselle de présentation | NT   | PCGROS            | Ecuelle   | CNT-ECU 1c | 1 |    |   |   | 1  | 1   |          | CER 8/18 |
| 4003 | Remblai         |   | Indéterminée              | T    | PGFIN             | Ind       | Ind        |   | 2  |   |   | 2  |     |          | CER 8/18 |
| 4003 | Remblai         |   | Vaisselle de présentation | T    | PGFIN             | Ecuelle   | TFS-ECU 1a | 1 |    |   |   | 1  | 1   |          | CER 8/18 |
| 4003 | Remblai         |   | Vaisselle de présentation | T    | PGFIN             | Ecuelle   | TFS-ECU 1b | 1 |    |   |   | 1  | 1   |          | CER 8/18 |
| 4003 | Remblai         | 11 panses présentent des traces de peinture rouge / 53 panses présentent des traces de peinture blanche | Indéterminée              | T    | PEINT A           | Ind       | Ind        |   | 64 |   |   | 64 |     |          | CER 8/18 |
| 4003 | Remblai         |   | Vaisselle de stockage     | T    | PEINT A           | Bouteille | TFC-BOU 3  | 1 |    |   |   | 1  | 1   |          | CER 8/18 |
| 4003 | Remblai         |   | Vaisselle à boire         | T    | PEINT A           | Tonnelet  | TFC-TON 1a | 1 |    |   |   | 1  | 1   |          | CER 8/18 |
| 4003 | Remblai         |   | Vaisselle de présentation | T    | PEINT A           | Ecuelle   | TFC-ECU 1  | 1 |    |   |   | 1  | 1   |          | CER 8/18 |
| 4003 | Remblai         |   | Indéterminée              | T    | PEINT A           | Ind       | Ind        | 1 |    |   |   | 1  | 1   |          | CER 8/18 |
| 4003 | Remblai         |   | Autre                     | T    | PEINT A           | Jeton     | Ind        |   |    |   |   | 1  |     |          | CER 8/18 |
| 4003 | Remblai         |   | Autre                     | T    | PEINT A           | Jeton     | Ind        |   |    |   |   | 1  |     |          | CER 8/18 |
| 4003 | Remblai         |   | Autre                     | T    | PEINT A           | Jeton     | Ind        |   |    |   |   | 1  |     |          | CER 8/18 |
| 4003 | Remblai         |   | Autre                     | T    | PEINT A           | Jeton     | Ind        |   |    |   |   | 1  |     |          | CER 8/18 |

| UF   | Inter-prétation | Description mobilier | Fonction                  | Cat. | Sous Cat. | Forme     | Typologie  | B | F | P  | A | NR | NMI | N.figure | NCaisse  |
|------|-----------------|----------------------|---------------------------|------|-----------|-----------|------------|---|---|----|---|----|-----|----------|----------|
| 4003 | Remblai         |                      | Autre                     | T    | PEINT A   | Jeton     | Ind        |   |   |    |   | 1  |     |          | CER 8/18 |
| 4003 | Remblai         |                      | Autre                     | T    | PEINT A   | Jeton     | Ind        |   |   |    |   | 1  |     |          | CER 8/18 |
| 4003 | Remblai         |                      | Autre                     | T    | PEINT A   | Jeton     | Ind        |   |   |    |   | 1  |     |          | CER 8/18 |
| 4003 | Remblai         |                      | Autre                     | T    | PEINT A   | Jeton     | Ind        |   |   |    |   | 1  |     |          | CER 8/18 |
| 4003 | Remblai         |                      | Autre                     | T    | PEINT A   | Jeton     | Ind        |   |   |    |   | 1  |     |          | CER 8/18 |
| 4003 | Remblai         |                      | Autre                     | T    | PEINT A   | Jeton     | Ind        |   |   |    |   | 1  |     |          | CER 8/18 |
| 4003 | Remblai         |                      | Autre                     | T    | PEINT A   | Jeton     | Ind        |   |   |    |   | 1  |     |          | CER 8/18 |
| 4003 | Remblai         |                      | Indéterminée              | T    | PC-       | Ind       | Ind        |   | 6 | 89 |   | 95 |     |          | CER 8/18 |
| 4003 | Remblai         |                      | Vaisselle de stockage     | T    | PC-       | Tonnelet  | TFC-TON 1a | 1 |   |    |   | 1  | 1   |          | CER 8/18 |
| 4003 | Remblai         |                      | Vaisselle de stockage     | T    | PC-       | Tonnelet  | TFC-TON 1a | 1 |   |    |   | 1  | 1   |          | CER 8/18 |
| 4003 | Remblai         |                      | Vaisselle de présentation | T    | PC-       | Ecuelle   | TFC-ECU 1  | 1 |   |    |   | 1  | 1   |          | CER 8/18 |
| 4003 | Remblai         |                      | Vaisselle de présentation | T    | PC-       | Coupe     | TFC-COU 1  | 1 |   |    |   | 1  | 1   |          | CER 8/18 |
| 4003 | Remblai         |                      | Vaisselle de présentation | T    | PC-       | Ecuelle   | TFC-ECU 1  | 1 |   |    |   | 1  | 1   |          | CER 8/18 |
| 4003 | Remblai         |                      | Vaisselle à boire         | T    | PC-       | Gobelet   | TFC-GOB 1  | 1 |   |    |   | 1  | 1   |          | CER 8/18 |
| 4003 | Remblai         |                      | Vaisselle de stockage     | T    | PC-       | Bouteille | TFC-BOU 1  | 1 |   |    |   | 1  | 1   |          | CER 8/18 |
| 4003 | Remblai         |                      | Indéterminée              | T    | PC-       | Ind       | Ind        |   |   |    |   | 1  | 1   |          | CER 8/18 |
| 4003 | Remblai         |                      | Indéterminée              | T    | PC-       | Ind       | Ind        |   |   |    |   | 1  | 1   |          | CER 8/18 |
| 4003 | Remblai         |                      | Vaisselle de stockage     | T    | PC-       | Pot       | TFC-POT 1  | 1 |   |    |   | 1  | 1   |          | CER 8/18 |
| 4003 | Remblai         |                      | Vaisselle de stockage     | T    | PC-       | Bouteille | TFC-BOU 3  | 1 |   |    |   | 1  | 1   |          | CER 8/18 |
| 4003 | Remblai         |                      | Vaisselle de stockage     | T    | PC-       | Bouteille | TFC-BOU 1  | 2 |   |    |   | 2  | 1   |          | CER 8/18 |
| 4003 | Remblai         |                      | Vaisselle de stockage     | T    | PC-       | Bouteille | TFC-BOU 1  | 2 |   |    |   | 2  | 1   |          | CER 8/18 |
| 4003 | Remblai         |                      | Vaisselle de stockage     | T    | PC-       | Bouteille | TFC-BOU 3  | 2 |   |    |   | 2  | 1   |          | CER 8/18 |
| 4003 | Remblai         |                      | Autre                     | T    | PC-       | Jeton     | Ind        |   |   |    |   | 1  |     |          | CER 8/18 |
| 4003 | Remblai         |                      | Autre                     | T    | PC-       | Jeton     | Ind        |   |   |    |   | 1  |     |          | CER 8/18 |
| 4003 | Remblai         |                      | Autre                     | T    | PC-       | Jeton     | Ind        |   |   |    |   | 1  |     |          | CER 8/18 |

| UF   | Inter-prétation | Description mobilier                                   | Fonction                  | Cat. | Sous Cat. | Forme     | Typologie     | B  | F  | P | A | NR | NMI | N.figure | N.Caisse |
|------|-----------------|--|---------------------------|------|-----------|-----------|---------------|----|----|---|---|----|-----|----------|----------|
| 4003 | Remblai         |  | Autre                     | T    | PC-       | Jeton     | Ind           |    |    |   |   | 1  |     |          | CER 8/18 |
| 4003 | Remblai         |  | Autre                     | T    | PC-       | Jeton     | Ind           |    |    |   |   | 1  |     |          | CER 8/18 |
| 4003 | Remblai         |  | Autre                     | T    | PC-       | Jeton     | Ind           |    |    |   |   | 1  |     |          | CER 8/18 |
| 4003 | Remblai         | anse porte des traces blanches (Peinture ? Calcaire ?) | Indéterminée              | NT   | PSGROS    | Ind       | Ind           | 10 | 44 |   |   | 54 |     |          | CER 8/18 |
| 4003 | Remblai         |  | Vaisselle de présentation | NT   | PSGROS    | Ecuelle   | CNT-ECU1d     | 1  |    |   |   | 1  | 1   |          | CER 8/18 |
| 4003 | Remblai         |  | Vaisselle de présentation | NT   | PSGROS    | Ecuelle   | CNT-ECU 1a    | 1  |    |   |   | 1  | 1   |          | CER 8/18 |
| 4003 | Remblai         |  | Vaisselle de présentation | NT   | PSGROS    | Ecuelle   | CNT-ECU 1a    | 1  |    |   |   | 1  | 1   |          | CER 8/18 |
| 4003 | Remblai         |  | Vaisselle de présentation | NT   | PSGROS    | Ecuelle   | CNT-ECU 1a    | 1  |    |   |   | 1  | 1   |          | CER 8/18 |
| 4003 | Remblai         |  | Vaisselle de présentation | NT   | PSGROS    | Ecuelle   | CNT-ECU 1a    | 1  |    |   |   | 1  | 1   |          | CER 8/18 |
| 4003 | Remblai         |  | Vaisselle de stockage     | NT   | PSGROS    | Couvercle | CNT-COUV<br>1 | 1  |    |   |   | 1  | 1   |          | CER 8/18 |
| 4003 | Remblai         |  | Vaisselle de présentation | NT   | PSGROS    | Ecuelle   | CNT-ECU 1a    | 1  |    |   |   | 1  | 1   |          | CER 8/18 |
| 4003 | Remblai         |  | Vaisselle de présentation | NT   | PSGROS    | Ecuelle   | CNT-ECU 1a    | 1  |    |   |   | 1  | 1   |          | CER 8/18 |
| 4003 | Remblai         |  | Vaisselle de stockage     | NT   | PSGROS    | Couvercle | CNT-COUV<br>1 | 1  |    |   |   | 1  | 1   |          | CER 8/18 |
| 4003 | Remblai         |  | Vaisselle de présentation | NT   | PSGROS    | Ecuelle   | CNT-ECU 1c    | 1  |    |   |   | 1  | 1   |          | CER 8/18 |
| 4003 | Remblai         |  | Vaisselle de présentation | NT   | PSGROS    | Ecuelle   | CNT-ECU 1c    | 1  |    |   |   | 1  | 1   |          | CER 8/18 |
| 4003 | Remblai         |  | Vaisselle de présentation | NT   | PSGROS    | Ecuelle   | CNT-ECU 1a    | 1  |    |   |   | 1  | 1   |          | CER 8/18 |
| 4003 | Remblai         |  | Vaisselle de présentation | NT   | PSGROS    | Ecuelle   | CNT-ECU 1a    | 1  |    |   |   | 1  | 1   |          | CER 8/18 |
| 4003 | Remblai         |  | Vaisselle de présentation | NT   | PSGROS    | Ecuelle   | CNT-ECU 1a    | 1  |    |   |   | 1  | 1   |          | CER 8/18 |
| 4003 | Remblai         |  | Vaisselle de présentation | NT   | PSGROS    | Ecuelle   | CNT-ECU 1a    | 1  |    |   |   | 1  | 1   |          | CER 8/18 |

| UF   | Inter-prétation | Description mobilier       | Fonction                  | Cat. | Sous Cat. | Forme   | Typologie  | B | F | P | A | NR | NMI | N.figure | N.Caisse  |
|------|-----------------|----------------------------|---------------------------|------|-----------|---------|------------|---|---|---|---|----|-----|----------|-----------|
| 4003 | Remblai         |                            | Vaisselle de stockage     | NT   | PSGROS    | Pot     | CNT-POT 4  | 1 |   |   |   | 1  | 1   |          | CER 8/18  |
| 4003 | Remblai         |                            | Vaisselle de présentation | NT   | PSGROS    | Ecuelle | CNT-ECU 1a | 1 |   |   |   | 1  | 1   |          | CER 8/18  |
| 4003 | Remblai         |                            | Vaisselle de présentation | NT   | PSGROS    | Ecuelle | CNT-ECU 1a | 1 |   |   |   | 1  | 1   |          | CER 8/18  |
| 4003 | Remblai         |                            | Vaisselle de stockage     | NT   | PSGROS    | Pot     | CNT-POT 3  | 1 |   |   |   | 1  | 1   |          | CER 8/18  |
| 4003 | Remblai         |                            | Vaisselle de présentation | NT   | PSGROS    | Ecuelle | CNT-ECU 1e | 4 |   |   |   | 4  | 1   |          | CER 8/18  |
| 4003 | Remblai         |                            | Vaisselle de présentation | NT   | PSGROS    | Ecuelle | CNT-ECU 1a | 1 |   |   |   | 1  | 1   |          | CER 8/18  |
| 4003 | Remblai         |                            | Vaisselle de présentation | NT   | PSGROS    | Ecuelle | CNT-ECU 1a | 1 |   |   |   | 1  | 1   |          | CER 8/18  |
| 4003 | Remblai         |                            | Vaisselle de présentation | NT   | PSGROS    | Ecuelle | CNT-ECU 1a | 1 |   |   |   | 1  | 1   |          | CER 8/18  |
| 4003 | Remblai         |                            | Vaisselle de présentation | NT   | PSGROS    | Ecuelle | CNT-ECU 1e | 2 |   |   |   | 2  | 1   |          | CER 8/18  |
| 4003 | Remblai         |                            | Autre                     | NT   | PSGROS    | Jeton   | Ind        |   |   |   |   | 1  |     |          | CER 8/18  |
| 4003 | Remblai         |                            | Autre                     | NT   | PSGROS    | Jeton   | Ind        |   |   |   |   | 1  |     |          | CER 8/18  |
| 4006 | Trou de Poteau  |                            | Indéterminée              | NT   | BES       | Ind     | Ind        |   |   | 1 |   | 1  | 1   |          | CER 9/18  |
| 4008 | Sablère         |                            | Indéterminée              | NT   | BES       | Ind     | Ind        |   |   | 2 |   | 2  | 1   |          | CER 9/18  |
| 4008 | Sablère         |                            | Indéterminée              | NT   | PSGROS    | Ind     | Ind        |   |   | 1 |   | 1  | 1   |          | CER 9/18  |
| 4008 | Sablère         |                            | Indéterminée              | T    | PC-       | Ind     | Ind        |   |   | 1 |   | 1  | 1   |          | CER 9/18  |
| 4008 | Sablère         |                            | Vaisselle de présentation | T    | PGFIN     | Ecuelle | TFS-ECU 1a | 1 |   |   |   | 1  | 1   |          | CER 9/18  |
| 4008 | Sablère         | Traces de peinture blanche | Indéterminée              | T    | PEINT A   | Ind     | Ind        |   |   | 2 |   | 2  | 1   |          | CER 9/18  |
| 4013 | Remblai         |                            | Indéterminée              | T    | PSFIN-    | Ind     | Ind        |   | 1 | 8 |   | 9  |     |          | CER 10/18 |
| 4013 | Remblai         |                            | Vaisselle de stockage     | T    | PSFIN-    | Pot     | TFS-POT 1a | 1 |   |   |   | 1  | 1   |          | CER 10/18 |
| 4013 | Remblai         |                            | Indéterminée              | T    | PSFIN-    | Ind     | Ind        |   |   |   |   | 1  | 1   |          | CER 10/18 |
| 4013 | Remblai         |                            | Vaisselle de stockage     | T    | PSFIN-    | Pot     | TFS-POT 2  | 1 |   |   |   | 1  | 1   |          | CER 10/18 |
| 4013 | Remblai         | peinture blanche           | Indéterminée              | T    | PEINT B   | Ind     | Ind        |   |   |   |   | 1  | 1   |          | CER 10/18 |



| UF   | Inter-prétation | Description mobilier | Fonction                  | Cat. | Sous Cat.         | Forme   | Typologie  | B | F | P  | A | NR | NMI | N.figure | NCaisse   |
|------|-----------------|----------------------|---------------------------|------|-------------------|---------|------------|---|---|----|---|----|-----|----------|-----------|
| 4013 | Remblai         |                      | Vaisselle de présentation | NT   | PSGROS            | Ecuelle | CNT-ECU 1a | 2 |   |    |   | 2  | 1   |          | CER 10/18 |
| 4013 | Remblai         |                      | Vaisselle de présentation | NT   | PSGROS            | Ecuelle | CNT-ECU 1a | 2 |   |    |   | 2  | 1   |          | CER 10/18 |
| 4013 | Remblai         |                      | Vaisselle de présentation | NT   | PSGROS            | Ecuelle | CNT-ECU 1a | 1 |   |    |   | 1  | 1   |          | CER 10/18 |
| 4013 | Remblai         |                      | Vaisselle de présentation | NT   | PSGROS            | Ecuelle | CNT-ECU 1a | 1 |   |    |   | 1  | 1   |          | CER 10/18 |
| 4013 | Remblai         |                      | Vaisselle de présentation | NT   | PSGROS            | Ecuelle | CNT-ECU 1a | 1 |   |    |   | 1  | 1   |          | CER 10/18 |
| 4013 | Remblai         |                      | Vaisselle de présentation | NT   | PSGROS            | Ecuelle | CNT-ECU 1a | 1 |   |    |   | 1  | 1   |          | CER 10/18 |
| 4013 | Remblai         |                      | Vaisselle de stockage     | NT   | PSGROS            | Pot     | CNT-POT 2  | 1 |   |    |   | 1  | 1   |          | CER 10/18 |
| 4013 | Remblai         |                      | Vaisselle de stockage     | NT   | PSGROS            | Pot     | CNT-POT 2  | 1 |   |    |   | 1  | 1   |          | CER 10/18 |
| 4013 | Remblai         |                      | Vaisselle de stockage     | NT   | PSGROS            | Pot     | CNT-POT 3  | 1 |   |    |   | 1  | 1   |          | CER 10/18 |
| 4013 | Remblai         |                      | Vaisselle de stockage     | NT   | PSGROS            | Pot     | CNT-POT 4  | 1 |   |    |   | 1  | 1   |          | CER 10/18 |
| 4013 | Remblai         |                      | Vaisselle de présentation | NT   | PSGROS            | Ecuelle | CNT-ECU 1b | 1 |   |    |   | 1  | 1   |          | CER 10/18 |
| 4013 | Remblai         |                      | Vaisselle de présentation | NT   | PSGROS            | Ecuelle | CNT-ECU 1a | 1 |   |    |   | 1  | 1   |          | CER 10/18 |
| 4013 | Remblai         |                      | Indéterminée              | T    | Ind (pâte brûlée) | Ind     | Ind        |   | 1 | 16 |   | 17 |     |          | CER 10/18 |
| 4013 | Remblai         |                      | Indéterminée              | T    | Ind (pâte brûlée) | Ind     | Ind        | 7 |   |    |   | 7  |     |          | CER 10/18 |
| 4013 | Remblai         |                      | Indéterminée              | T    | Ind (pâte brûlée) | Ind     | Ind        | 2 |   |    |   | 2  |     |          | CER 10/18 |
| 4013 | Remblai         |                      | Indéterminée              | T    | Ind (pâte brûlée) | Ind     | Ind        | 2 |   |    |   | 2  |     |          | CER 10/18 |
| 4013 | Remblai         |                      | Indéterminée              | T    | Ind (pâte brûlée) | Ind     | Ind        | 1 |   |    |   | 1  |     |          | CER 10/18 |
| 4013 | Remblai         |                      | Indéterminée              | T    | Ind (pâte brûlée) | Ind     | Ind        | 1 |   |    |   | 1  |     |          | CER 10/18 |
| 4013 | Remblai         |                      | Indéterminée              | T    | Ind (pâte brûlée) | Ind     | Ind        | 1 |   |    |   | 1  |     |          | CER 10/18 |



| UF   | Inter-prétation | Description mobilier  | Fonction             | Cat. | Sous Cat.         | Forme | Typologie | B | F | P   | A | NR  | NMI | N.figure | NCaisse   |
|------|-----------------|---|----------------------|------|-------------------|-------|-----------|---|---|-----|---|-----|-----|----------|-----------|
| 4013 | Remblai         |   | Indéterminée         | T    | Ind (pâte brûlée) | Ind   | Ind       | 1 |   |     |   | 1   |     |          | CER 10/18 |
| 4013 | Remblai         |   | Indéterminée         | T    | Ind (pâte brûlée) | Ind   | Ind       | 1 |   |     |   | 1   |     |          | CER 10/18 |
| 4013 | Remblai         |   | Indéterminée         | T    | Ind (pâte brûlée) | Ind   | Ind       | 1 |   |     |   | 1   |     |          | CER 10/18 |
| 4013 | Remblai         | 4 panses avec décors de lignes horizontales incisées / une panse avec décor de lignes parallèles obliques incisés / 4 panses avec décors de longues lignes obliques parallèles incisées | Indéterminée         | NT   | BES               | Ind   | Ind       |   | 3 | 105 |   | 108 |     |          | CER 10/18 |
| 4013 | Remblai         |   | Vaisselle de cuisine | NT   | BES               | Pot   | CNT-POT 2 | 2 |   |     |   | 2   | 1   |          | CER 10/18 |
| 4013 | Remblai         |   | Vaisselle de cuisine | NT   | BES               | Pot   | CNT-POT 2 | 2 |   |     |   | 2   | 1   |          | CER 10/18 |
| 4013 | Remblai         |   | Indéterminée         | NT   | BES               | Ind   | Ind       | 2 |   |     |   | 2   | 1   |          | CER 10/18 |
| 4013 | Remblai         |   | Vaisselle de cuisine | NT   | BES               | Pot   | CNT-POT 2 | 1 |   |     |   | 1   | 1   |          | CER 10/18 |
| 4013 | Remblai         |   | Vaisselle de cuisine | NT   | BES               | Pot   | CNT-POT 2 | 1 |   |     |   | 1   | 1   |          | CER 10/18 |
| 4013 | Remblai         |   | Vaisselle de cuisine | NT   | BES               | Pot   | CNT-POT 2 | 1 |   |     |   | 1   | 1   |          | CER 10/18 |
| 4013 | Remblai         |   | Vaisselle de cuisine | NT   | BES               | Pot   | CNT-POT 2 | 1 |   |     |   | 1   | 1   |          | CER 10/18 |
| 4013 | Remblai         |   | Vaisselle de cuisine | NT   | BES               | Pot   | CNT-POT 2 | 1 |   |     |   | 1   | 1   |          | CER 10/18 |
| 4013 | Remblai         |   | Vaisselle de cuisine | NT   | BES               | Pot   | CNT-POT 2 | 1 |   |     |   | 1   | 1   |          | CER 10/18 |
| 4013 | Remblai         |   | Indéterminée         | NT   | BES               | Ind   | Ind       | 1 |   |     |   | 1   | 1   |          | CER 10/18 |
| 4013 | Remblai         |   | Vaisselle de cuisine | NT   | BES               | Pot   | CNT-POT 2 | 1 |   |     |   | 1   | 1   |          | CER 10/18 |
| 4013 | Remblai         |   | Vaisselle de cuisine | NT   | BES               | Pot   | CNT-POT 2 | 1 |   |     |   | 1   | 1   |          | CER 10/18 |
| 4013 | Remblai         |   | Vaisselle de cuisine | NT   | BES               | Pot   | CNT-POT 2 | 1 |   |     |   | 1   | 1   |          | CER 10/18 |
| 4013 | Remblai         |   | Vaisselle de cuisine | NT   | BES               | Pot   | CNT-POT 2 | 1 |   |     |   | 1   | 1   |          | CER 10/18 |
| 4013 | Remblai         |   | Vaisselle de cuisine | NT   | BES               | Pot   | CNT-POT 4 | 1 |   |     |   | 1   | 1   |          | CER 10/18 |
| 4013 | Remblai         |   | Vaisselle de cuisine | NT   | BES               | Pot   | CNT-POT 2 | 1 |   |     |   | 1   | 1   |          | CER 10/18 |

| UF   | Inter-prétation | Description mobilier | Fonction                  | Cat. | Sous Cat. | Forme     | Typologie  | B | F | P  | A | NR | NMI | N.figure | N.Caisse  |
|------|-----------------|----------------------|---------------------------|------|-----------|-----------|------------|---|---|----|---|----|-----|----------|-----------|
| 4013 | Remblai         |                      | Autre                     | NT   | BES       | Jeton     | Ind        |   |   |    |   | 1  |     |          | CER 10/18 |
| 4013 | Remblai         |                      | Autre                     | NT   | BES       | Jeton     | Ind        |   |   |    |   | 1  |     |          | CER 10/18 |
| 4015 | Remblai         |                      | Indéterminée              | NT   | PSGROS    | Ind       | Ind        |   | 2 | 28 |   | 30 | 1   |          | CER 9/18  |
| 4015 | Remblai         |                      | Vaisselle de présentation | NT   | PSGROS    | Ecuelle   | CNT-ECU 2  | 1 | 0 | 0  |   | 1  | 1   |          | CER 9/18  |
| 4015 | Remblai         |                      | Vaisselle de présentation | NT   | PSGROS    | Ecuelle   | CNT-ECU 1b | 1 | 0 | 0  |   | 1  | 1   |          | CER 9/18  |
| 4015 | Remblai         |                      | Vaisselle de présentation | NT   | PSGROS    | Ecuelle   | CNT-ECU 1b | 1 | 0 | 0  |   | 1  | 1   |          | CER 9/18  |
| 4015 | Remblai         |                      | Vaisselle de présentation | NT   | PSGROS    | Ecuelle   | CNT-ECU 1a | 1 | 0 | 0  |   | 1  | 1   |          | CER 9/18  |
| 4015 | Remblai         |                      | Vaisselle de présentation | NT   | PSGROS    | Ecuelle   | CNT-ECU 1b | 1 | 0 | 0  |   | 1  | 1   |          | CER 9/18  |
| 4015 | Remblai         |                      | Vaisselle de présentation | NT   | PSGROS    | Ecuelle   | CNT-ECU 1a | 2 | 0 | 0  |   | 2  | 1   |          | CER 9/18  |
| 4015 | Remblai         |                      | Indéterminée              | NT   | PCGROS    | Ind       | Ind        |   | 4 | 14 |   | 18 | 1   |          | CER 9/18  |
| 4015 | Remblai         |                      | Vaisselle de présentation | NT   | PCGROS    | Ecuelle   | CNT-ECU 1a | 1 | 0 | 0  |   | 1  | 1   |          | CER 9/18  |
| 4015 | Remblai         |                      | Indéterminée              | T    | NPR       | Ind       | Ind        |   |   | 8  |   | 8  | 1   |          | CER 9/18  |
| 4015 | Remblai         |                      | Vaisselle à boire         | T    | NPR       | Tonnelet  | TFS-TON 1a | 1 | 0 | 0  |   | 1  | 1   |          | CER 9/18  |
| 4015 | Remblai         |                      | Vaisselle à boire         | T    | NPR       | Tonnelet  | TFS-TON 1a | 1 | 0 | 0  |   | 1  | 1   |          | CER 9/18  |
| 4015 | Remblai         |                      | Indéterminée              | T    | PGFINF    | Ind       | Ind        |   |   | 5  |   | 5  | 1   |          | CER 9/18  |
| 4015 | Remblai         |                      | Indéterminée              | T    | PC-       | Ind       | Ind        |   | 1 | 24 |   | 25 |     |          | CER 9/18  |
| 4015 | Remblai         |                      | Vaisselle de stockage     | T    | PC-       | Bouteille | TFC-BOUT 3 | 1 |   |    |   | 1  | 1   |          | CER 9/18  |
| 4015 | Remblai         |                      | Vaisselle à boire         | T    | PC-       | Gobelet   | TFC-GOB 1  | 1 |   |    |   | 1  | 1   |          | CER 9/18  |
| 4015 | Remblai         |                      | Indéterminée              | T    | PC-       | Ind       | Ind        |   |   |    |   | 1  | 1   |          | CER 9/18  |
| 4015 | Remblai         |                      | Vaisselle à boire         | T    | PC-       | Tonnelet  | TFS-TON 1a | 1 |   |    |   | 1  | 1   |          | CER 9/18  |
| 4015 | Remblai         |                      | Vaisselle à boire         | T    | PC-       | Tonnelet  | TFS-TON 1a | 1 |   |    |   | 1  | 1   |          | CER 9/18  |
| 4015 | Remblai         |                      | Vaisselle de stockage     | T    | PC-       | Bouteille | TFC-BOUT 1 | 2 |   |    |   | 2  | 1   |          | CER 9/18  |
| 4015 | Remblai         |                      | Autre                     | T    | PC-       | Jeton     | Ind        |   |   |    |   | 1  |     |          | CER 9/18  |
| 4015 | Remblai         |                      | Autre                     | T    | PC-       | Jeton     | Ind        |   |   |    |   | 1  |     |          | CER 9/18  |
| 4015 | Remblai         |                      | Indéterminée              | T    | PSMIFIN   | Ind       | Ind        |   | 1 |    |   | 1  |     |          | CER 9/18  |

ANNEXE 8 - INVENTAIRE DE LA CÉRAMIQUE DU SECTEUR 4 (2022)

| UF   | Inter-prétation | Description mobilier | Fonction                  | Cat. | Sous Cat.         | Forme     | Typologie  | B | F  | P   | A | NR  | NMI | N.figure | NCaisse   |
|------|-----------------|----------------------|---------------------------|------|-------------------|-----------|------------|---|----|-----|---|-----|-----|----------|-----------|
| 4015 | Remblai         |                      | Vaisselle de présentation | T    | PSMIFIN           | Ecuelle   | TFS-ECU 1b | 1 |    |     |   | 1   | 1   |          | CER 9/18  |
| 4015 | Remblai         |                      | Indéterminée              | T    | PSFIN-            | Ind       | Ind        |   |    | 6   |   | 6   | 1   |          | CER 9/18  |
| 4015 | Remblai         |                      | Autre                     | T    | PSFIN-            | Jeton     | Ind        |   |    |     |   | 1   |     |          | CER 9/18  |
| 4015 | Remblai         | Peinture blanche     | Indéterminée              | T    | PEINT A           | Ind       | Ind        |   |    | 13  |   | 13  | 1   |          | CER 9/18  |
| 4015 | Remblai         |                      | Autre                     | T    | PEINT A           | Jeton     | Ind        |   |    |     |   | 1   |     |          | CER 9/18  |
| 4015 | Remblai         |                      | Indéterminée              | T    | PEINT B           | Ind       | Ind        |   |    | 5   |   | 5   | 1   |          | CER 9/18  |
| 4015 | Remblai         |                      | Indéterminée              | NT   | BES               | Ind       | Ind        |   | 2  | 35  |   | 37  | O   |          | CER 9/18  |
| 4015 | Remblai         |                      | Vaisselle de cuisine      | NT   | BES               | Pot       | CNT-POT 2  | 1 |    |     |   | 1   | 1   |          | CER 9/18  |
| 4015 | Remblai         |                      | Vaisselle de cuisine      | NT   | BES               | Pot       | CNT-POT 2  | 1 |    |     |   | 1   | 1   |          | CER 9/18  |
| 4015 | Remblai         |                      | Autre                     | NT   | BES               | Jeton     | Ind        |   |    |     |   | 1   |     |          | CER 9/18  |
| 4015 | Remblai         |                      | Autre                     | NT   | BES               | Jeton     | Ind        |   |    |     |   | 1   |     |          | CER 9/18  |
| 4015 | Remblai         |                      | Autre                     | NT   | BES               | Jeton     | Ind        |   |    |     |   | 1   |     |          | CER 9/18  |
| 4015 | Remblai         |                      | Indéterminée              | T    | Ind (pâte brûlée) | Ind       | Ind        |   | 1  | 8   |   | 9   |     |          | CER 9/18  |
| 4018 | Annulé          |                      | Indéterminée              | NT   | PSGROS            | Ind       | Ind        |   |    |     |   | 12  |     |          | CER 9/18  |
| 4018 | Annulé          |                      | Vaisselle de présentation | NT   | PSGROS            | Ecuelle   | CNT-ECU 1a | 1 |    |     |   | 1   | 1   |          | CER 9/18  |
| 4018 | Annulé          |                      | Vaisselle de présentation | NT   | PSGROS            | Ecuelle   | CNT-ECU 1a | 2 |    |     |   | 2   | 1   |          | CER 9/18  |
| 4018 | Annulé          |                      | Indéterminée              | T    | NPR               | Ind       | Ind        |   |    | 1   |   | 1   | 1   |          | CER 9/18  |
| 4019 | Remblai         |                      | Indéterminée              | T    | PC-               | Ind       | Ind        |   | 10 | 219 |   | 229 | 1   |          | CER 11/18 |
| 4019 | Remblai         |                      | Vaisselle de stockage     | T    | PC-               | Bouteille | TFC-BOU 2  | 5 | 0  | 0   |   | 5   | 1   |          | CER 11/18 |
| 4019 | Remblai         |                      |                           | T    | PC-               |           |            | 1 | 0  | 0   |   | 1   | 1   |          | CER 11/18 |
| 4019 | Remblai         |                      |                           | T    | PC-               |           |            | 1 | 0  | 0   |   | 1   | 1   |          | CER 11/18 |
| 4019 | Remblai         |                      |                           | T    | PC-               |           |            | 1 | 0  | 0   |   | 1   | 1   |          | CER 11/18 |
| 4019 | Remblai         |                      | Indéterminée              | T    | PC-               | Ind       | Ind        |   |    | 0   |   | 1   | 1   |          | CER 11/18 |
| 4019 | Remblai         |                      | Indéterminée              | T    | PC-               | Ind       | Ind        |   |    | 0   |   | 1   | 1   |          | CER 11/18 |
| 4019 | Remblai         |                      | Vaisselle de stockage     | T    | PC-               | Bouteille | TFC-BOU 2  | 1 | 0  | 0   |   | 1   | 1   |          | CER 11/18 |

| UF   | Inter-prétation | Description mobilier   | Fonction                  | Cat. | Sous Cat. | Forme     | Typologie  | B | F  | P   | A | NR  | NMI | N.figure | NCaisse   |
|------|-----------------|--|---------------------------|------|-----------|-----------|------------|---|----|-----|---|-----|-----|----------|-----------|
| 4019 | Remblai         |  | Vaisselle à boire         | T    | PC-       | Tonnelet  | TFC-TON 1a | 1 | 0  | 0   |   | 1   | 1   |          | CER 11/18 |
| 4019 | Remblai         |  | Vaisselle à boire         | T    | PC-       | Tonnelet  | TFC-TON 1a | 1 | 0  | 0   |   | 1   | 1   |          | CER 11/18 |
| 4019 | Remblai         |  | Vaisselle de présentation | T    | PC-       | Ecuelle   | TFC-ECU 1  | 1 | 0  | 0   |   | 1   | 1   |          | CER 11/18 |
| 4019 | Remblai         |  | Vaisselle de stockage     | T    | PC-       | Pot       | TFC-POT 1  | 1 | 0  | 0   |   | 1   | 1   |          | CER 11/18 |
| 4019 | Remblai         |  | Vaisselle de stockage     | T    | PC-       | Pot       | TFC-POT 1  | 1 | 0  | 0   |   | 1   | 1   |          | CER 11/18 |
| 4019 | Remblai         |  | Vaisselle de stockage     | T    | PC-       | Bouteille | TFC-BOUT 3 | 3 | 0  | 0   |   | 3   | 1   |          | CER 11/18 |
| 4019 | Remblai         |  | Autre                     | T    | PC-       | Jeton     | Ind        |   |    |     |   | 1   |     |          | CER 11/18 |
| 4019 | Remblai         |  | Autre                     | T    | PC-       | Jeton     | Ind        |   |    |     |   | 1   |     |          | CER 11/18 |
| 4019 | Remblai         |  | Autre                     | T    | PC-       | Jeton     | Ind        |   |    |     |   | 1   |     |          | CER 11/18 |
| 4019 | Remblai         | 4 panses avec décors de traits parallèles obliques incisés / 3 panses avec décors de chevrons incisés / 2 panses avec décors de longs traits parallèles obliques incisés | Indéterminée              | NT   | BES       | Ind       | Ind        |   | 15 | 187 |   | 202 | 1   |          | CER 11/18 |
| 4019 | Remblai         |  | Vaisselle de cuisine      | NT   | BES       | Pot       | CNT-POT 2  | 1 | 0  | 0   |   | 1   | 1   |          | CER 11/18 |
| 4019 | Remblai         |  | Vaisselle de cuisine      | NT   | BES       | Pot       | CNT-POT 4  | 1 | 0  | 0   |   | 1   | 1   |          | CER 11/18 |
| 4019 | Remblai         |  | Vaisselle de cuisine      | NT   | BES       | Pot       | CNT-POT 2  | 1 | 0  | 0   |   | 1   | 1   |          | CER 11/18 |
| 4019 | Remblai         |  | Vaisselle de cuisine      | NT   | BES       | Pot       | CNT-POT 1  | 1 | 0  | 0   |   | 1   | 1   |          | CER 11/18 |
| 4019 | Remblai         |  | Vaisselle de cuisine      | NT   | BES       | Pot       | CNT-POT 1  | 1 | 0  | 0   |   | 1   | 1   |          | CER 11/18 |
| 4019 | Remblai         |  | Vaisselle de cuisine      | NT   | BES       | Pot       | CNT-POT 1  | 1 | 0  | 0   |   | 1   | 1   |          | CER 11/18 |
| 4019 | Remblai         |  | Vaisselle de cuisine      | NT   | BES       | Pot       | CNT-POT 1  | 1 | 0  | 0   |   | 1   | 1   |          | CER 11/18 |
| 4019 | Remblai         |  | Vaisselle de cuisine      | NT   | BES       | Pot       | CNT-POT 1  | 1 | 0  | 0   |   | 1   | 1   |          | CER 11/18 |
| 4019 | Remblai         |  | Vaisselle de cuisine      | NT   | BES       | Pot       | CNT-POT 1  | 1 | 0  | 0   |   | 1   | 1   |          | CER 11/18 |
| 4019 | Remblai         |  | Vaisselle de cuisine      | NT   | BES       | Pot       | CNT-POT 2  | 1 | 0  | 0   |   | 1   | 1   |          | CER 11/18 |
| 4019 | Remblai         |  | Vaisselle de cuisine      | NT   | BES       | Pot       | CNT-POT 2  | 1 | 0  | 0   |   | 1   | 1   |          | CER 11/18 |

ANNEXE 8 - INVENTAIRE DE LA CÉRAMIQUE DU SECTEUR 4 (2022)

| UF   | Inter-prétation | Description mobilier   | Fonction              | Cat. | Sous Cat.         | Forme | Typologie | B | F | P  | A | NR | NMI | N.figure | NCaisse   |
|------|-----------------|--|-----------------------|------|-------------------|-------|-----------|---|---|----|---|----|-----|----------|-----------|
| 4019 | Remblai         |  | Vaisselle de cuisine  | NT   | BES               | Pot   | CNT-POT 2 | 1 | 0 | 0  |   | 1  | 1   |          | CER 11/18 |
| 4019 | Remblai         |  | Vaisselle de cuisine  | NT   | BES               | Pot   | CNT-POT 1 | 1 | 0 | 0  |   | 1  | 1   |          | CER 11/18 |
| 4019 | Remblai         |  | Vaisselle de cuisine  | NT   | BES               | Pot   | CNT-POT 1 | 1 | 0 | 0  |   | 1  | 1   |          | CER 11/18 |
| 4019 | Remblai         |  | Vaisselle de stockage | NT   | BES               | Jarre | CNT-JAR 1 | 1 | 0 | 0  |   | 1  | 1   |          | CER 11/18 |
| 4019 | Remblai         |  | Vaisselle de cuisine  | NT   | BES               | Pot   | CNT-POT 1 | 1 | 0 | 0  |   | 1  | 1   |          | CER 11/18 |
| 4019 | Remblai         |  | Vaisselle de cuisine  | NT   | BES               | Pot   | CNT-POT 1 | 1 | 0 | 0  |   | 1  | 1   |          | CER 11/18 |
| 4019 | Remblai         |  | Vaisselle de cuisine  | NT   | BES               | Pot   | CNT-POT 1 | 1 | 0 | 0  |   | 1  | 1   |          | CER 11/18 |
| 4019 | Remblai         |  | Vaisselle de cuisine  | NT   | BES               | Pot   | CNT-POT 1 | 1 | 0 | 0  |   | 1  | 1   |          | CER 11/18 |
| 4019 | Remblai         |  | Vaisselle de cuisine  | NT   | BES               | Pot   | CNT-POT 1 | 1 | 0 | 0  |   | 1  | 1   |          | CER 11/18 |
| 4019 | Remblai         |  | Vaisselle de cuisine  | NT   | BES               | Pot   | CNT-POT 1 | 1 | 0 | 0  |   | 1  | 1   |          | CER 11/18 |
| 4019 | Remblai         |  | Vaisselle de cuisine  | NT   | BES               | Pot   | CNT-POT 1 | 1 | 0 | 0  |   | 1  | 1   |          | CER 11/18 |
| 4019 | Remblai         |  | Vaisselle de cuisine  | NT   | BES               | Pot   | CNT-POT 1 | 1 | 0 | 0  |   | 1  | 1   |          | CER 11/18 |
| 4019 | Remblai         |  | Vaisselle de cuisine  | NT   | BES               | Pot   | CNT-POT 1 | 1 | 0 | 0  |   | 1  | 1   |          | CER 11/18 |
| 4019 | Remblai         |  | Vaisselle de cuisine  | NT   | BES               | Pot   | CNT-POT 1 | 1 | 0 | 0  |   | 1  | 1   |          | CER 11/18 |
| 4019 | Remblai         |  | Vaisselle de cuisine  | NT   | BES               | Pot   | CNT-POT 1 | 1 | 0 | 0  |   | 1  | 1   |          | CER 11/18 |
| 4019 | Remblai         |  | Autre                 | NT   | BES               | Jeton | Ind       |   |   |    |   | 1  |     |          | CER 11/18 |
| 4019 | Remblai         |  | Indéterminée          | T    | Ind (pâte brûlée) | Ind   | Ind       |   | 1 | 5  |   | 6  | 1   |          | CER 11/18 |
| 4019 | Remblai         | Fond de mortier à fond annulaire, pas de pâte italique. Pâte verte fine, peut-être vallée du Rhône ? / Arcelin, 1982 | Indéterminée          | NT   | PCMOR             | Ind   | Ind       |   | 1 |    |   | 1  | 1   |          | CER 11/18 |
| 4019 | Remblai         |  | Indéterminée          | NT   | PCGROS            | Ind   | Ind       |   | 4 | 46 |   | 50 | 1   |          | CER 11/18 |

| UF   | Inter-prétation | Description mobilier  | Fonction                  | Cat. | Sous Cat. | Forme     | Typologie  | B | F  | P | A | NR | NMI | N.figure | NCaisse   |
|------|-----------------|---|---------------------------|------|-----------|-----------|------------|---|----|---|---|----|-----|----------|-----------|
| 4019 | Remblai         |   | Vaisselle de présentation | NT   | PCGROS    | Ecuelle   | CNT-ECU 1a | 1 | 0  | 0 |   | 1  | 1   |          | CER 11/18 |
| 4019 | Remblai         |   | Vaisselle de présentation | NT   | PCGROS    | Ecuelle   | CNT-ECU 1a | 1 | 0  | 0 |   | 1  | 1   |          | CER 11/18 |
| 4019 | Remblai         |   | Vaisselle de présentation | NT   | PCGROS    | Ecuelle   | CNT-ECU 1b | 1 | 0  | 0 |   | 1  | 1   |          | CER 11/18 |
| 4019 | Remblai         |   | Vaisselle de stockage     | NT   | PCGROS    | Pot       | CNT-POT 6  | 1 | 0  | 0 |   | 1  | 1   |          | CER 11/18 |
| 4019 | Remblai         |   | Indéterminée              | NT   | PCGROS    | Ind       | Ind        | 1 | 0  | 0 |   | 1  | 1   |          | CER 11/18 |
| 4019 | Remblai         |   | Vaisselle de présentation | NT   | PCGROS    | Ecuelle   | CNT-ECU 1a | 1 | 0  | 0 |   | 1  | 1   |          | CER 11/18 |
| 4019 | Remblai         |   | Vaisselle de présentation | NT   | PCGROS    | Ecuelle   | CNT-ECU 1a | 1 | 0  | 0 |   | 1  | 1   |          | CER 11/18 |
| 4019 | Remblai         |   | Vaisselle de présentation | NT   | PCGROS    | Ecuelle   | CNT-ECU 1a | 1 | 0  | 0 |   | 1  | 1   |          | CER 11/18 |
| 4019 | Remblai         | Une panse avec décor de lignes horizontales   | Indéterminée              | T    | PGFIN     | Ind       | Ind        | 1 | 19 |   |   | 20 | 1   |          | CER 11/18 |
| 4019 | Remblai         |   | Vaisselle de présentation | T    | PGFIN     | Ecuelle   | TFC-ECU 2b | 1 | 0  | 0 |   | 1  | 1   |          | CER 11/18 |
| 4019 | Remblai         |   | Vaisselle de présentation | T    | PGFIN     | Ecuelle   | TFS-ECU 1b | 1 | 0  | 0 |   | 1  | 1   |          | CER 11/18 |
| 4019 | Remblai         | 22 panses présentent des traces de peinture rouge / 41 panses présentent des traces de peinture blanche | Indéterminée              | T    | PEINT A   | Ind       | Ind        |   | 63 |   |   | 63 | 1   |          | CER 11/18 |
| 4019 | Remblai         |   | Vaisselle de stockage     | T    | PEINT A   | Bouteille | TFC-BOUT 1 | 1 | 0  | 0 |   | 1  | 1   |          | CER 11/18 |
| 4019 | Remblai         |   | Vaisselle à boire         | T    | PEINT A   | Tonnelet  | TFC-TON 1a | 1 | 0  | 0 |   | 1  | 1   |          | CER 11/18 |
| 4019 | Remblai         |   | Vaisselle de présentation | T    | PEINT A   | Ecuelle   | TFC-ECU 3  | 1 | 0  | 0 |   | 1  | 1   |          | CER 11/18 |
| 4019 | Remblai         |   | Vaisselle à boire         | T    | PEINT A   | Tonnelet  | TFC-TON 1b | 1 | 0  | 0 |   | 1  | 1   |          | CER 11/18 |
| 4019 | Remblai         |   | Vaisselle à boire         | T    | PEINT A   | Tonnelet  | TFC-TON 1a | 1 | 0  | 0 |   | 1  | 1   |          | CER 11/18 |
| 4019 | Remblai         |   | Autre                     | T    | PEINT A   | Jeton     | Ind        |   |    |   |   | 1  |     |          | CER 11/18 |
| 4019 | Remblai         |   | Autre                     | T    | PEINT A   | Jeton     | Ind        |   |    |   |   | 1  |     |          | CER 11/18 |
| 4019 | Remblai         |   | Indéterminée              | T    | PGFINF    | Ind       | Ind        | 1 | 11 |   |   | 12 | 1   |          | CER 11/18 |



## ANNEXE 8 - INVENTAIRE DE LA CÉRAMIQUE DU SECTEUR 4 (2022)

| UF   | Inter-prétation | Description mobilier                   | Fonction                  | Cat. | Sous Cat. | Forme    | Typologie   | B | F | P  | A | NR | NMI | N.figure | NCaisse   |
|------|-----------------|--|---------------------------|------|-----------|----------|-------------|---|---|----|---|----|-----|----------|-----------|
| 4019 | Remblai         |  | Vaisselle de présentation | T    | PGFINF    | Ecuelle  | TFS-ECU 1a  | 2 | 0 | 0  |   | 2  | 1   |          | CER 11/18 |
| 4019 | Remblai         |  | Vaisselle de présentation | T    | PGFINF    | Ecuelle  | TFS-ECU 1b  | 1 | 0 | 0  |   | 1  | 1   |          | CER 11/18 |
| 4019 | Remblai         |  | Autre                     | T    | PGFINF    | Jeton    | Ind         |   |   |    |   | 1  |     |          | CER 11/18 |
| 4019 | Remblai         |  | Indéterminée              | T    | NPR       | Ind      | Ind         |   | 1 | 14 |   | 15 | 1   |          | CER 11/18 |
| 4019 | Remblai         |  | Vaisselle de présentation | T    | NPR       | Ecuelle  | TFS-ECU 1a  | 1 | 0 | 0  |   | 1  | 1   |          | CER 11/18 |
| 4019 | Remblai         |  | Vaisselle de présentation | T    | NPR       | Bol      | TFS-BOL 1   | 1 | 0 | 0  |   | 1  | 1   |          | CER 11/18 |
| 4019 | Remblai         |  | Vaisselle à boire         | T    | NPR       | Tonnelet | TFS-TON 1a  | 1 | 0 | 0  |   | 1  | 1   |          | CER 11/18 |
| 4019 | Remblai         |  | Vaisselle de présentation | T    | NPR       | Bol      | TFS-BOL 1   | 1 | 0 | 0  |   | 1  | 1   |          | CER 11/18 |
| 4019 | Remblai         |  | Vaisselle à boire         | T    | NPR       | Tonnelet | TFS-TON 1a  | 1 | 0 | 0  |   | 1  | 1   |          | CER 11/18 |
| 4019 | Remblai         |  | Indéterminée              | T    | NPR       | Ind      | Ind         | 1 | 0 | 0  |   | 1  | 1   |          | CER 11/18 |
| 4019 | Remblai         |  | Indéterminée              | T    | NPR       | Ind      | Ind         | 1 | 0 | 0  |   | 1  | 1   |          | CER 11/18 |
| 4019 | Remblai         |  | Vaisselle de présentation | T    | NPR       | Coupe    | TFS-COUP 1a | 1 | 0 | 0  |   | 1  | 1   |          | CER 11/18 |
| 4019 | Remblai         |  | Vaisselle de présentation | T    | NPR       | Ecuelle  | TFS-ECU 1b  | 1 | 0 | 0  |   | 1  | 1   |          | CER 11/18 |
| 4019 | Remblai         |  | Vaisselle de stockage     | T    | NPR       | Pot      | TFS-POT 2   | 1 | 0 | 0  |   | 1  | 1   |          | CER 11/18 |
| 4019 | Remblai         |  | Vaisselle de présentation | T    | NPR       | Ecuelle  | TFS-ECU 1a  | 1 | 0 | 0  |   | 1  | 1   |          | CER 11/18 |
| 4019 | Remblai         |  | Vaisselle de stockage     | T    | NPR       | Pot      | TFS-POT 2   | 1 | 0 | 0  |   | 1  | 1   |          | CER 11/18 |
| 4019 | Remblai         |  | Vaisselle de présentation | T    | NPR       | Bol      | TFS-BOL 1   | 1 | 0 | 0  |   | 1  | 1   |          | CER 11/18 |
| 4019 | Remblai         |  | Vaisselle de présentation | T    | NPR       | Ecuelle  | TFS-ECU 1a  | 1 | 0 | 0  |   | 1  | 1   |          | CER 11/18 |
| 4019 | Remblai         |  | Vaisselle de stockage     | T    | NPR       | Pot      | TFS-POT 3   | 3 | 0 | 0  |   | 3  | 1   |          | CER 11/18 |
| 4019 | Remblai         |  | Indéterminée              | NT   | PSGROS    | Ind      | Ind         |   | 8 | 56 |   | 64 | 1   |          | CER 11/18 |
| 4019 | Remblai         | Déformation du bord (trace de doigt ?) | Vaisselle de présentation | NT   | PSGROS    | Ecuelle  | CNT-ECU 1a  | 1 | 0 | 0  |   | 1  | 1   |          | CER 11/18 |

| UF   | Inter-prétation | Description mobilier                                  | Fonction                  | Cat. | Sous Cat. | Forme     | Typologie  | B | F  | P | A | NR | NMI | N.figure | NCaisse   |
|------|-----------------|---|---------------------------|------|-----------|-----------|------------|---|----|---|---|----|-----|----------|-----------|
| 4019 | Remblai         |   | Vaisselle de présentation | NT   | PSGROS    | Ecuelle   | CNT-ECU 1a | 1 | 0  | 0 |   | 1  | 1   |          | CER 11/18 |
| 4019 | Remblai         |   | Vaisselle de présentation | NT   | PSGROS    | Ecuelle   | CNT-ECU 1a | 1 | 0  | 0 |   | 1  | 1   |          | CER 11/18 |
| 4019 | Remblai         |   | Vaisselle de présentation | NT   | PSGROS    | Ecuelle   | CNT-ECU 1a | 1 | 0  | 0 |   | 1  | 1   |          | CER 11/18 |
| 4019 | Remblai         |   | Vaisselle de présentation | NT   | PSGROS    | Ecuelle   | CNT-ECU 1a | 1 | 0  | 0 |   | 1  | 1   |          | CER 11/18 |
| 4019 | Remblai         |   | Vaisselle de présentation | NT   | PSGROS    | Ecuelle   | CNT-ECU 1a | 1 | 0  | 0 |   | 1  | 1   |          | CER 11/18 |
| 4019 | Remblai         |   | Vaisselle de présentation | NT   | PSGROS    | Ecuelle   | CNT-ECU 1a | 1 | 0  | 0 |   | 1  | 1   |          | CER 11/18 |
| 4019 | Remblai         |   | Vaisselle de présentation | NT   | PSGROS    | Ecuelle   | CNT-ECU 1a | 1 | 0  | 0 |   | 1  | 1   |          | CER 11/18 |
| 4019 | Remblai         |   | Vaisselle de présentation | NT   | PSGROS    | Ecuelle   | CNT-ECU 1a | 1 | 0  | 0 |   | 1  | 1   |          | CER 11/18 |
| 4019 | Remblai         |   | Vaisselle de stockage     | NT   | PSGROS    | Couvercle | CNT-COUV 1 | 1 | 0  | 0 |   | 1  | 1   |          | CER 11/18 |
| 4019 | Remblai         |   | Vaisselle de présentation | NT   | PSGROS    | Ecuelle   | CNT-ECU 1a | 1 | 0  | 0 |   | 1  | 1   |          | CER 11/18 |
| 4019 | Remblai         |   | Vaisselle de stockage     | NT   | PSGROS    | Pot       | CNT-POT 1  | 1 | 0  | 0 |   | 1  | 1   |          | CER 11/18 |
| 4019 | Remblai         |   | Autre                     | NT   | PSGROS    | Jeton     | Ind        |   |    |   |   | 1  |     |          | CER 11/18 |
| 4019 | Remblai         |   | Autre                     | NT   | PSGROS    | Jeton     | Ind        |   |    |   |   | 1  |     |          | CER 11/18 |
| 4019 | Remblai         | 6 panses présentent des décors de lignes horizontales | Indéterminée              | T    | PSMIFIN   | Ind       | Ind        | 1 | 58 |   |   | 59 | 1   |          | CER 11/18 |
| 4019 | Remblai         |   | Vaisselle de présentation | T    | PSMIFIN   | Ecuelle   | TFS-ECU 1a | 1 | 0  | 0 |   | 1  | 1   |          | CER 11/18 |
| 4019 | Remblai         |   | Vaisselle de présentation | T    | PSMIFIN   | Ecuelle   | TFS-ECU 1b | 1 | 0  | 0 |   | 1  | 1   |          | CER 11/18 |
| 4019 | Remblai         |   | Vaisselle de présentation | T    | PSMIFIN   | Coupe     | TFS-COUP 3 | 1 | 0  | 0 |   | 1  | 1   |          | CER 11/18 |
| 4019 | Remblai         |   | Vaisselle de présentation | T    | PSMIFIN   | Ecuelle   | TFS-ECU 1a | 1 | 0  | 0 |   | 1  | 1   |          | CER 11/18 |
| 4019 | Remblai         |   | Vaisselle à boire         | T    | PSMIFIN   | Gobelet   | TFS-GOB 1  | 1 | 0  | 0 |   | 1  | 1   |          | CER 11/18 |
| 4019 | Remblai         |   | Indéterminée              | T    | PSFIN-    | Ind       | Ind        |   | 7  |   |   | 7  | 1   |          | CER 11/18 |

ANNEXE 8 - INVENTAIRE DE LA CÉRAMIQUE DU SECTEUR 4 (2022)

| UF   | Inter-prétation | Description mobilier   | Fonction                  | Cat. | Sous Cat.         | Forme     | Typologie  | B | F  | P  | A | NR | NMI | N.figure | NCaisse   |
|------|-----------------|--|---------------------------|------|-------------------|-----------|------------|---|----|----|---|----|-----|----------|-----------|
| 4019 | Remblai         |  | Vaisselle de présentation | T    | PSFIN-            | Ecuelle   | TFS-ECU 3  | 1 | 0  | 0  |   | 1  | 1   |          | CER 11/18 |
| 4019 | Remblai         |  | Vaisselle de présentation | T    | PSFIN-            | Ecuelle   | TFS-ECU 1a | 1 | 0  | 0  |   | 1  | 1   |          | CER 11/18 |
| 4019 | Remblai         |  | Vaisselle de présentation | T    | PSFIN-            | Ecuelle   | TFS-ECU 1a | 1 | 0  | 0  |   | 1  | 1   |          | CER 11/18 |
| 4019 | Remblai         |  | Vaisselle de présentation | T    | PSFIN-            | Ecuelle   | TFS-ECU 1a | 1 | 0  | 0  |   | 1  | 1   |          | CER 11/18 |
| 4019 | Remblai         |  | Vaisselle de présentation | T    | PSFIN-            | Ecuelle   | TFS-ECU 1a | 1 | 0  | 0  |   | 1  | 1   |          | CER 11/18 |
| 4019 | Remblai         |  | Vaisselle de stockage     | T    | PSFIN-            | Bouteille | TFS-BOU 1  | 2 | 0  | 0  |   | 2  | 1   |          | CER 11/18 |
| 4019 | Remblai         |  | Vaisselle de stockage     | T    | PSFIN-            | Bouteille | TFS-BOU 1  | 1 | 0  | 0  |   | 1  | 1   |          | CER 11/18 |
| 4021 | Remblai         |  | Indéterminée              | T    | PC-               | Ind       | Ind        |   | 1  | 16 |   | 17 |     |          | CER 9/18  |
| 4021 | Remblai         |  | Indéterminée              | T    | PC-               | Ind       | Ind        | 1 |    |    |   | 1  | 1   |          | CER 9/18  |
| 4021 | Remblai         |  | Vaisselle de stockage     | T    | PC-               | Bouteille | TFC-BOU 1  | 1 |    |    |   | 1  | 1   |          | CER 9/18  |
| 4021 | Remblai         |  | Vaisselle de stockage     | T    | PC-               | Bouteille | TFC-BOU 1  | 2 |    |    |   | 2  | 1   |          | CER 9/18  |
| 4021 | Remblai         |  | Indéterminée              | NT   | PSGROS            | Ind       | Ind        |   |    | 8  |   | 8  |     |          | CER 9/18  |
| 4021 | Remblai         |  | Vaisselle de présentation | NT   | PSGROS            | Ecuelle   | CNT-ECU 1a | 1 |    |    |   | 1  | 1   |          | CER 9/18  |
| 4021 | Remblai         |  | Vaisselle de présentation | NT   | PSGROS            | Ecuelle   | CNT-ECU 1a | 2 |    |    |   | 2  | 1   |          | CER 9/18  |
| 4021 | Remblai         |  | Indéterminée              | T    | Ind (pâte brûlée) | Ind       | Ind        |   | 1  |    |   | 1  |     |          | CER 9/18  |
| 4021 | Remblai         |  | Vaisselle à boire         | T    | NPR               | Tonnelet  | TFS-TON 1b | 1 |    |    |   | 1  | 1   |          | CER 9/18  |
| 4021 | Remblai         |  | Indéterminée              | T    | NPR               | Ind       | Ind        |   | 1  |    |   | 1  |     |          | CER 9/18  |
| 4021 | Remblai         | 12 panses avec peinture blanche / 4 panses avec peinture rouge | Indéterminée              | T    | PEINT A           | Ind       | Ind        |   | 16 |    |   | 16 | 1   |          | CER 9/18  |
| 4021 | Remblai         |  | Indéterminée              | T    | PGFINF            | Ind       | Ind        |   | 1  |    |   | 1  |     |          | CER 9/18  |
| 4021 | Remblai         |  | Vaisselle de présentation | T    | PGFINF            | Bol       | TFC-BOL 1  | 1 |    |    |   | 1  | 1   |          | CER 9/18  |
| 4021 | Remblai         |  | Indéterminée              | NT   | PCGROS            | Ind       | Ind        |   | 2  |    |   | 2  |     |          | CER 9/18  |

| UF   | Inter-prétation | Description mobilier   | Fonction                  | Cat. | Sous Cat.         | Forme    | Typologie  | B | F  | A | NR | NMI | N.figure | NCaisse  |
|------|-----------------|--|---------------------------|------|-------------------|----------|------------|---|----|---|----|-----|----------|----------|
| 4021 | Remblai         |  | Indéterminée              | NT   | PCGROS            | Ind      | Ind        | 1 |    |   | 1  | 1   |          | CER 9/18 |
| 4021 | Remblai         |  | Autre                     | NT   | PCGROS            | Jeton    | Ind        |   |    |   | 1  |     |          | CER 9/18 |
| 4021 | Remblai         |  | Vaisselle de présentation | T    | PSMIFIN           | Ecuelle  | TFS-ECU 1a | 1 |    |   | 1  | 1   |          | CER 9/18 |
| 4021 | Remblai         |  | Vaisselle de présentation | T    | PSMIFIN           | Ecuelle  | TFS-ECU 1a | 1 |    |   | 1  | 1   |          | CER 9/18 |
| 4021 | Remblai         | 1 panse avec décor de chevrons incisés / 1 panse avec décor de traits obliques parallèles incisés  | Indéterminée              | NT   | BES               | Ind      | Ind        | 2 | 35 |   | 37 |     |          | CER 9/18 |
| 4021 | Remblai         |  | Vaisselle de cuisine      | NT   | BES               | Pot      | CNT-POT 2  | 1 |    |   | 1  | 1   |          | CER 9/18 |
| 4021 | Remblai         |  | Indéterminée              | NT   | BES               | Ind      | Ind        | 1 |    |   | 1  | 1   |          | CER 9/18 |
| 4023 | Remblai         |  | Indéterminée              | T    | PSFIN-            | Ind      | Ind        |   | 2  |   | 2  | 1   |          | CER 9/18 |
| 4023 | Remblai         |  | Indéterminée              | T    | PGFINF            | Ind      | Ind        |   | 1  |   | 1  | 1   |          | CER 9/18 |
| 4028 | Remblai         |  | Indéterminée              | T    | PGFINF            | Ind      | Ind        |   | 2  |   | 2  |     |          | CER 9/18 |
| 4028 | Remblai         |  | Vaisselle à boire         | T    | PGFINF            | Tonnelet | TFS-TON 1a | 1 |    |   | 1  |     |          | CER 9/18 |
| 4028 | Remblai         |  | Indéterminée              | NT   | BES               | Ind      | Ind        |   | 3  |   | 3  | 1   |          | CER 9/18 |
| 4028 | Remblai         | Peinture blanche   | Indéterminée              | T    | PEINT A           | Ind      | Ind        |   | 3  |   | 3  | 1   |          | CER 9/18 |
| 4028 | Remblai         |  | Indéterminée              | T    | PC-               | Ind      | Ind        |   | 2  |   | 2  | 1   |          | CER 9/18 |
| 4028 | Remblai         |  | Indéterminée              | NT   | PSGROS            | Ind      | Ind        |   | 1  |   | 1  |     |          | CER 9/18 |
| 4028 | Remblai         |  | Vaisselle de présentation | NT   | PSGROS            | Ecuelle  | CNT-ECU 1a | 1 |    |   | 1  | 1   |          | CER 9/18 |
| 4028 | Remblai         |  | Indéterminée              | T    | PG-               | Ind      | Ind        |   | 1  | 5 | 6  |     |          | CER 9/18 |
| 4028 | Remblai         |  | Vaisselle à boire         | T    | PG-               | Tonnelet | TFS-TON 1b | 1 |    |   | 1  | 1   |          | CER 9/18 |
| 4028 | Remblai         |  | Indéterminée              | T    | PCCRU             | Ind      | Ind        |   | 2  |   | 2  | 1   |          | CER 9/18 |
| 4028 | Remblai         | Inscription «MOM» a l'intérieur du fond : production de la Graufesenque, daté de 60-85 AD. / Hypothèse : intrusion dû à la proximité de l'emprise des anciennes fouilles OU intrusion lors de la fouille 2022 (tombe d'une autre US) | -                         | T    | Sigillée italique |          |            | 1 |    |   | 1  | 1   |          | CER 9/18 |

ANNEXE 8 - INVENTAIRE DE LA CÉRAMIQUE DU SECTEUR 4 (2022)

| UF   | Inter-prétation | Description mobilier   | Fonction                  | Cat. | Sous Cat. | Forme     | Typologie  | B | F | P  | A | NR | NMI | N.figure | NCaisse  |
|------|-----------------|--|---------------------------|------|-----------|-----------|------------|---|---|----|---|----|-----|----------|----------|
| 4029 | Remblai         |  | Indéterminée              | T    | PC-       | Ind       | Ind        |   | 1 | 14 |   | 15 |     |          | CER 9/18 |
| 4029 | Remblai         |  | Vaisselle de stockage     | T    | PC-       | Bouteille | TFC-BOU 2  | 1 |   |    |   | 1  | 1   |          | CER 9/18 |
| 4029 | Remblai         |  | Vaisselle de stockage     | T    | PC-       | Bouteille | TFC-BOU 2  | 1 |   |    |   | 1  | 1   |          | CER 9/18 |
| 4029 | Remblai         |  | Vaisselle de stockage     | T    | PC-       | Bouteille | TFC-BOU 2  | 1 |   |    |   | 1  | 1   |          | CER 9/18 |
| 4029 | Remblai         |  | Vaisselle de présentation | T    | PC-       | Bol       | TFS-BOL 1  | 1 |   |    |   | 1  | 1   |          | CER 9/18 |
| 4029 | Remblai         |  | Vaisselle de stockage     | T    | PC-       | Bouteille | TFC-BOU 2  | 1 |   |    |   | 1  | 1   |          | CER 9/18 |
| 4029 | Remblai         |  | Indéterminée              | T    | PCCR      | Ind       | Ind        |   |   | 1  |   | 1  | 1   |          | CER 9/18 |
| 4029 | Remblai         | 3 panses avec peinture blanche / 1 panse avec peinture rouge | Indéterminée              | T    | PEINT A   | Ind       | Ind        |   | 4 |    |   | 4  | 2   |          | CER 9/18 |
| 4029 | Remblai         |  | Indéterminée              | T    | NPR       | Ind       | Ind        |   |   | 1  |   | 1  | 1   |          | CER 9/18 |
| 4029 | Remblai         |  | Indéterminée              | NT   | BES       | Ind       | Ind        |   |   | 5  |   | 5  | 1   |          | CER 9/18 |
| 4029 | Remblai         |  | Indéterminée              | T    | PSFIN-    | Ind       | Ind        |   |   | 3  |   | 3  | 1   |          | CER 9/18 |
| 4029 | Remblai         |  | Indéterminée              | NT   | PSGROS    | Ind       | Ind        |   |   | 2  |   | 2  |     |          | CER 9/18 |
| 4029 | Remblai         |  | Vaisselle de présentation | NT   | PSGROS    | Ecuelle   | CNT-ECU 1a | 1 |   |    |   | 1  | 1   |          | CER 9/18 |
| 4029 | Remblai         |  | Vaisselle de présentation | NT   | PSGROS    | Ecuelle   | CNT-ECU 1a | 1 |   |    |   | 1  | 1   |          | CER 9/18 |
| 4029 | Remblai         |  | Vaisselle de présentation | NT   | PSGROS    | Ecuelle   | CNT-ECU 3  | 1 |   |    |   | 1  | 1   |          | CER 9/18 |
| 4029 | Remblai         |  | Vaisselle de présentation | NT   | PSGROS    | Ecuelle   | CNT-ECU 1a | 1 |   |    |   | 1  | 1   |          | CER 9/18 |
| 4030 | Remblai         |  | Indéterminée              | NT   | BES       | Ind       | Ind        |   | 1 | 5  |   | 6  |     |          | CER 9/18 |
| 4030 | Remblai         |  | Vaisselle de cuisine      | NT   | BES       | Pot       | CNT-POT 1  | 1 |   |    |   | 1  | 1   |          | CER 9/18 |
| 4030 | Remblai         |  | Indéterminée              | T    | PEINT A   | Ind       | Ind        |   |   | 2  |   | 2  | 1   |          | CER 9/18 |
| 4030 | Remblai         |  | Indéterminée              | T    | NPR       | Ind       | Ind        |   |   | 1  |   | 1  | 1   |          | CER 9/18 |
| 4030 | Remblai         |  | Indéterminée              | NT   | PCGROS    | Ind       | Ind        |   |   | 2  |   | 2  | 1   |          | CER 9/18 |
| 4030 | Remblai         |  | Indéterminée              | NT   | PSGROS    | Ind       | Ind        |   | 1 | 1  |   | 2  | 1   |          | CER 9/18 |
| 4030 | Remblai         |  | Vaisselle de présentation | NT   | PSGROS    | Ecuelle   | CNT-ECU 1a | 1 |   |    |   | 1  | 1   |          | CER 9/18 |

| UF   | Inter-prétation | Description mobilier   | Fonction                  | Cat. | Sous Cat. | Forme   | Typologie  | B | F  | P | A | NR | NMI | N.figure | NCaisse   |
|------|-----------------|--|---------------------------|------|-----------|---------|------------|---|----|---|---|----|-----|----------|-----------|
| 4030 | Remblai         |  | Vaisselle de présentation | NT   | PSGROS    | Ecuelle | CNT-ECU 1a | 1 |    |   |   | 1  | 1   |          | CER 9/18  |
| 4031 | Remblai         |  | Indéterminée              | NT   | PCGROS    | Ind     | Ind        |   | 1  | 9 |   | 10 | 1   |          | CER 13/18 |
| 4031 | Remblai         |  | Vaisselle de présentation | NT   | PCGROS    | Ecuelle | CNT-ECU 2  | 1 | 0  | 0 |   | 1  | 1   |          | CER 13/18 |
| 4031 | Remblai         |  | Vaisselle de présentation | NT   | PCGROS    | Ecuelle | CNT-ECU 1a | 1 | 0  | 0 |   | 1  | 1   |          | CER 13/18 |
| 4031 | Remblai         |  | Vaisselle de présentation | NT   | PCGROS    | Ecuelle | CNT-ECU 1a | 1 | 0  | 0 |   | 1  | 1   |          | CER 13/18 |
| 4031 | Remblai         |  | Vaisselle de présentation | NT   | PCGROS    | Ecuelle | CNT-ECU 1a | 1 | 0  | 0 |   | 1  | 1   |          | CER 13/18 |
| 4031 | Remblai         |  | Vaisselle de présentation | NT   | PCGROS    | Ecuelle | CNT-ECU 1a | 1 | 0  | 0 |   | 1  | 1   |          | CER 13/18 |
| 4031 | Remblai         | Une panse possède un décor de chevrons incisés   | Indéterminée              | NT   | PSGROS    | Ind     | Ind        |   | 27 |   |   | 27 | 1   |          | CER 13/18 |
| 4031 | Remblai         |  | Vaisselle de présentation | NT   | PSGROS    | Ecuelle | CNT-ECU 1a | 1 | 0  | 0 |   | 1  | 1   |          | CER 13/18 |
| 4031 | Remblai         |  | Vaisselle de présentation | NT   | PSGROS    | Ecuelle | CNT-ECU 1a | 1 | 0  | 0 |   | 1  | 1   |          | CER 13/18 |
| 4031 | Remblai         |  | Vaisselle de présentation | NT   | PSGROS    | Ecuelle | CNT-ECU 1a | 1 | 0  | 0 |   | 1  | 1   |          | CER 13/18 |
| 4031 | Remblai         |  | Vaisselle de présentation | NT   | PSGROS    | Ecuelle | CNT-ECU 1a | 1 | 0  | 0 |   | 1  | 1   |          | CER 13/18 |
| 4031 | Remblai         |  | Vaisselle de présentation | NT   | PSGROS    | Ecuelle | CNT-ECU 1a | 1 | 0  | 0 |   | 1  | 1   |          | CER 13/18 |
| 4031 | Remblai         |  | Vaisselle de présentation | NT   | PSGROS    | Ecuelle | CNT-ECU 1a | 1 | 0  | 0 |   | 1  | 1   |          | CER 13/18 |
| 4031 | Remblai         |  | Vaisselle de présentation | NT   | PSGROS    | Ecuelle | CNT-ECU 1a | 1 | 0  | 0 |   | 1  | 1   |          | CER 13/18 |
| 4031 | Remblai         |  | Vaisselle de présentation | NT   | PSGROS    | Ecuelle | CNT-ECU 1a | 1 | 0  | 0 |   | 1  | 1   |          | CER 13/18 |
| 4031 | Remblai         |  | Vaisselle de présentation | NT   | PSGROS    | Ecuelle | CNT-ECU 1a | 1 | 0  | 0 |   | 1  | 1   |          | CER 13/18 |
| 4031 | Remblai         |  | Vaisselle de présentation | NT   | PSGROS    | Ecuelle | CNT-ECU 1a | 1 | 0  | 0 |   | 1  | 1   |          | CER 13/18 |
| 4031 | Remblai         |  | Vaisselle de présentation | NT   | PSGROS    | Ecuelle | CNT-ECU 1a | 1 | 0  | 0 |   | 1  | 1   |          | CER 13/18 |
| 4031 | Remblai         |  | Vaisselle de présentation | NT   | PSGROS    | Ecuelle | CNT-ECU 1e | 2 | 0  | 0 |   | 2  | 1   |          | CER 13/18 |
| 4031 | Remblai         | 2 tessons portent des traces de peinture rouge / 33 tessons portent des traces de peinture blanche | Indéterminée              | T    | PEINT A   | Ind     | Ind        |   | 35 |   |   | 35 | 1   |          | CER 13/18 |
| 4031 | Remblai         |  | Autre                     | T    | PEINT A   | Jeton   | Ind        |   |    |   |   | 1  |     |          | CER 13/18 |
| 4031 | Remblai         |  | Autre                     | T    | PEINT A   | Jeton   | Ind        |   |    |   |   | 1  |     |          | CER 13/18 |



| UF   | Inter-prétation | Description mobilier   | Fonction                  | Cat. | Sous Cat. | Forme     | Typologie  | B | F  | P | A | NR | NMI | N.figure | NCaisse   |
|------|-----------------|--|---------------------------|------|-----------|-----------|------------|---|----|---|---|----|-----|----------|-----------|
| 4031 | Remblai         |  | Autre                     | T    | PEINT A   | Jeton     | Ind        |   |    |   |   | 1  |     |          | CER 13/18 |
| 4031 | Remblai         |  | Autre                     | T    | PEINT A   | Jeton     | Ind        |   |    |   |   | 1  |     |          | CER 13/18 |
| 4031 | Remblai         |  | Autre                     | T    | PEINT A   | Jeton     | Ind        |   |    |   |   | 1  |     |          | CER 13/18 |
| 4031 | Remblai         |  | Indéterminée              | NT   | PC-       | Ind       | Ind        | 4 | 49 |   |   | 53 | 1   |          | CER 13/18 |
| 4031 | Remblai         |  | Vaisselle de présentation | NT   | PC-       | Ecuelle   | TFC-ECU 1  | 1 | 0  | 0 |   | 1  | 1   |          | CER 13/18 |
| 4031 | Remblai         |  | Vaisselle de présentation | NT   | PC-       | Ecuelle   | TFC-ECU 1  | 1 | 0  | 0 |   | 1  | 1   |          | CER 13/18 |
| 4031 | Remblai         |  | Vaisselle de présentation | NT   | PC-       | Ecuelle   | TFC-ECU 1  | 1 | 0  | 0 |   | 1  | 1   |          | CER 13/18 |
| 4031 | Remblai         |  | Vaisselle de présentation | NT   | PC-       | Coupe     | TFC-COU 1  | 1 | 0  | 0 |   | 1  | 1   |          | CER 13/18 |
| 4031 | Remblai         |  | Indéterminée              | NT   | PC-       | Ind       | Ind        | 1 | 0  | 0 |   | 1  | 1   |          | CER 13/18 |
| 4031 | Remblai         |  | Vaisselle de stockage     | NT   | PC-       | Pot       | CNT-POT 1  | 2 | 0  | 0 |   | 2  | 1   |          | CER 13/18 |
| 4031 | Remblai         |  | Vaisselle de stockage     | NT   | PC-       | Bouteille | TFC-BOU 3  | 2 | 0  | 0 |   | 2  | 1   |          | CER 13/18 |
| 4031 | Remblai         |  | Autre                     | NT   | PC-       | Jeton     | Ind        |   |    |   |   | 1  |     |          | CER 13/18 |
| 4031 | Remblai         |  | Autre                     | NT   | PC-       | Jeton     | Ind        |   |    |   |   | 1  |     |          | CER 13/18 |
| 4031 | Remblai         |  | Indéterminée              | T    | PGFINF    | Ind       | Ind        | 2 | 4  |   |   | 6  | 1   |          | CER 13/18 |
| 4031 | Remblai         |  | Vaisselle à boire         | T    | PGFINF    | Tonnelet  | TFS-TON 1a | 2 | 0  | 0 |   | 2  | 1   |          | CER 13/18 |
| 4031 | Remblai         |  | Indéterminée              | T    | PGFIN     | Ind       | Ind        |   |    |   |   |    | 1   |          | CER 13/18 |
| 4031 | Remblai         |  | Indéterminée              | T    | NPR       | Ind       | Ind        |   | 2  |   |   | 2  | 1   |          | CER 13/18 |
| 4031 | Remblai         |  | Vaisselle à boire         | T    | NPR       | Tonnelet  | TFS-TON 1a | 2 | 0  | 0 |   | 2  | 1   |          | CER 13/18 |
| 4031 | Remblai         |  | Indéterminée              | T    | NPR       | Ind       | Ind        | 2 | 0  | 0 |   | 2  | 1   |          | CER 13/18 |
| 4031 | Remblai         | Une panse décors de chevrons incisés / Une panse décors incisés / Une panse décors de chevrons & de trait(s) parallèles obliques incisés | Indéterminée              | NT   | BES       | Ind       | Ind        | 2 | 72 |   |   | 74 | 1   |          | CER 13/18 |
| 4031 | Remblai         |  | Vaisselle de cuisine      | NT   | BES       | Pot       | CNT-POT 2  | 1 | 0  | 0 |   | 1  | 1   |          | CER 13/18 |
| 4031 | Remblai         |  | Vaisselle de cuisine      | NT   | BES       | Pot       | CNT-POT 2  | 2 | 0  | 0 |   | 2  | 1   |          | CER 13/18 |

| UF   | Inter-prétation | Description mobilier | Fonction                  | Cat. | Sous Cat.         | Forme     | Typologie  | B | F  | P | A | NR | NMI | N.figure | NCaisse   |
|------|-----------------|----------------------|---------------------------|------|-------------------|-----------|------------|---|----|---|---|----|-----|----------|-----------|
| 4031 | Remblai         |                      | Vaisselle de cuisine      | NT   | BES               | Pot       | CNT-POT 1  | 1 | 0  | 0 |   | 1  | 1   |          | CER 13/18 |
| 4031 | Remblai         |                      | Vaisselle de cuisine      | NT   | BES               | Pot       | CNT-POT 1  | 1 | 0  | 0 |   | 1  | 1   |          | CER 13/18 |
| 4031 | Remblai         |                      | Vaisselle de cuisine      | NT   | BES               | Pot       | CNT-POT 1  | 1 | 0  | 0 |   | 1  | 1   |          | CER 13/18 |
| 4031 | Remblai         |                      | Vaisselle de cuisine      | NT   | BES               | Pot       | CNT-POT 1  | 1 | 0  | 0 |   | 1  | 1   |          | CER 13/18 |
| 4031 | Remblai         |                      | Vaisselle de cuisine      | NT   | BES               | Pot       | CNT-POT 1  | 2 | 0  | 0 |   | 2  | 1   |          | CER 13/18 |
| 4033 | Remblai         |                      | Indéterminée              | T    | PEINT A           | Ind       | Ind        |   | 26 |   |   | 26 |     |          | CER 14/18 |
| 4033 | Remblai         |                      | Vaisselle de stockage     | T    | PEINT A           | Bouteille | TFC-BOUT 3 | 1 |    |   |   | 1  | 1   |          | CER 14/18 |
| 4033 | Remblai         |                      | Indéterminée              | T    | PC-               | Ind       | Ind        |   | 31 |   |   | 31 |     |          | CER 14/18 |
| 4033 | Remblai         |                      | Vaisselle de stockage     | T    | PC-               | Bouteille | TFC-BOUT 1 | 1 |    |   |   | 1  | 1   |          | CER 14/18 |
| 4033 | Remblai         |                      | Vaisselle de stockage     | T    | PC-               | Pot       | TFC-POT 1  | 1 |    |   |   | 1  | 1   |          | CER 14/18 |
| 4033 | Remblai         |                      | Vaisselle de stockage     | T    | PC-               | Pot       | TFC-POT 1  | 1 |    |   |   | 1  | 1   |          | CER 14/18 |
| 4033 | Remblai         |                      | Autre                     | T    | PC-               | Jeton     | Ind        |   |    |   |   | 1  |     |          | CER 14/18 |
| 4033 | Remblai         |                      | Indéterminée              | NT   | BES               | Ind       | Ind        |   | 40 |   |   | 40 |     |          | CER 14/18 |
| 4033 | Remblai         |                      | Vaisselle de cuisine      | NT   | BES               | Pot       | CNT-POT 1  | 2 |    |   |   | 2  | 1   |          | CER 14/18 |
| 4033 | Remblai         |                      | Vaisselle de cuisine      | NT   | BES               | Pot       | CNT-POT 1  | 2 |    |   |   | 2  | 1   |          | CER 14/18 |
| 4033 | Remblai         |                      | Vaisselle de cuisine      | NT   | BES               | Pot       | CNT-POT 1  | 1 |    |   |   | 1  | 1   |          | CER 14/18 |
| 4033 | Remblai         |                      | Vaisselle de cuisine      | NT   | BES               | Pot       | CNT-POT 1  | 1 |    |   |   | 1  | 1   |          | CER 14/18 |
| 4033 | Remblai         |                      | Indéterminée              | T    | Ind (pâte brûlée) | Ind       | Ind        | 1 | 3  |   |   | 4  |     |          | CER 14/18 |
| 4033 | Remblai         |                      | Indéterminée              | T    | NPR               | Ind       | Ind        |   | 3  |   |   | 3  |     |          | CER 14/18 |
| 4033 | Remblai         |                      | Indéterminée              | T    | PSFIN-            | Ind       | Ind        |   | 3  |   |   | 3  |     |          | CER 14/18 |
| 4033 | Remblai         |                      | Vaisselle de présentation | T    | PSFIN-            | Assiette  | TFS-ASS 1a | 1 |    |   |   | 1  | 1   |          | CER 14/18 |

## ANNEXE 8 - INVENTAIRE DE LA CÉRAMIQUE DU SECTEUR 4 (2022)

| UF   | Inter-prétation | Description mobilier | Fonction                  | Cat. | Sous Cat.         | Forme    | Typologie  | B | F | P  | A | NR | NMI | N.figure | NCaisse   |
|------|-----------------|----------------------|---------------------------|------|-------------------|----------|------------|---|---|----|---|----|-----|----------|-----------|
| 4033 | Remblai         |                      | Indéterminée              | NT   | PCGROS            | Ind      | Ind        |   | 1 | 11 |   | 12 |     |          | CER 14/18 |
| 4033 | Remblai         |                      | Vaisselle de présentation | NT   | PCGROS            | Ecuelle  | CNT-ECU 1a | 2 |   |    |   | 2  | 1   |          | CER 14/18 |
| 4033 | Remblai         |                      | Vaisselle de présentation | NT   | PCGROS            | Ecuelle  | CNT-ECU 1a | 1 |   |    |   | 1  | 1   |          | CER 14/18 |
| 4033 | Remblai         |                      | Indéterminée              | NT   | PSGROS            | Ind      | Ind        |   |   | 14 |   | 14 |     |          | CER 14/18 |
| 4033 | Remblai         |                      | Vaisselle de présentation | NT   | PSGROS            | Ecuelle  | CNT-ECU 1b | 2 |   |    |   | 2  | 1   |          | CER 14/18 |
| 4033 | Remblai         |                      | Vaisselle de présentation | NT   | PSGROS            | Ecuelle  | CNT-ECU1d  | 1 |   |    |   | 1  | 1   |          | CER 14/18 |
| 4034 | Remblai         |                      | Indéterminée              | T    | Ind (pâte brûlée) | Ind      | Ind        | 1 | 1 | 4  |   | 6  |     |          | CER 15/18 |
| 4034 | Remblai         |                      | Indéterminée              | T    | NPR               | Ind      | Ind        |   | 3 | 1  |   | 4  |     |          | CER 15/18 |
| 4034 | Remblai         |                      | Vaisselle à boire         | T    | NPR               | Tonnelet | TFS-TON 1a | 1 |   |    |   | 1  | 1   |          | CER 15/18 |
| 4034 | Remblai         |                      | Indéterminée              | NT   | PSGROS            | Ind      | Ind        |   | 3 | 9  |   | 12 |     |          | CER 15/18 |
| 4034 | Remblai         |                      | Vaisselle de présentation | NT   | PSGROS            | Ecuelle  | CNT-ECU 1a | 1 |   |    |   | 1  | 1   |          | CER 15/18 |
| 4034 | Remblai         |                      | Vaisselle de présentation | NT   | PSGROS            | Ecuelle  | CNT-ECU 1a | 1 |   |    |   | 1  | 1   |          | CER 15/18 |
| 4034 | Remblai         |                      | Vaisselle à boire         | NT   | PSGROS            | Gobelet  | CNT-GOB 1  | 1 |   |    |   | 1  | 1   |          | CER 15/18 |
| 4034 | Remblai         | Peinture blanche     | Indéterminée              | T    | PEINT A           | Ind      | Ind        |   |   | 18 |   | 18 | 1   |          | CER 15/18 |
| 4034 | Remblai         |                      | Autre                     | T    | PEINT A           | Jeton    | Ind        |   |   |    |   | 1  |     |          | CER 15/18 |
| 4034 | Remblai         |                      | Indéterminée              | NT   | PCGROS            | Ind      | Ind        |   |   | 6  |   | 6  |     |          | CER 15/18 |
| 4034 | Remblai         |                      | Vaisselle de présentation | NT   | PCGROS            | Ecuelle  | CNT-ECU 1c | 1 |   |    |   | 1  | 1   |          | CER 15/18 |
| 4034 | Remblai         |                      | Indéterminée              | T    | PC-               | Ind      | Ind        |   | 1 | 2  |   | 3  |     |          | CER 15/18 |
| 4034 | Remblai         |                      | Vaisselle de présentation | T    | PC-               | Ecuelle  | TFC-ECU 2a | 1 |   |    |   | 1  | 1   |          | CER 15/18 |
| 4034 | Remblai         |                      | Autre                     | T    | PC-               | Jeton    | Ind        |   |   |    |   | 1  |     |          | CER 15/18 |
| 4034 | Remblai         |                      | Indéterminée              | NT   | BES               | Ind      | Ind        |   |   | 23 |   | 23 |     |          | CER 15/18 |
| 4034 | Remblai         |                      | Vaisselle de cuisine      | NT   | BES               | Jarre    | CNT-JAR 1  | 2 |   |    |   | 2  | 1   |          | CER 15/18 |
| 4034 | Remblai         |                      | Vaisselle de stockage     | NT   | BES               | Pot      | CNT-POT 1  | 1 |   |    |   | 1  | 1   |          | CER 15/18 |

| UF   | Inter-prétation | Description mobilier         | Fonction                  | Cat. | Sous Cat. | Forme     | Typologie  | B | F | P  | A | NR | NMI | N.figure | NCaisse   |
|------|-----------------|------------------------------|---------------------------|------|-----------|-----------|------------|---|---|----|---|----|-----|----------|-----------|
| 4034 | Remblai         |                              | Vaisselle de stockage     | NT   | BES       | Pot       | CNT-POT 1  | 1 |   |    |   | 1  | 1   |          | CER 15/18 |
| 4034 | Remblai         |                              | Vaisselle de stockage     | NT   | BES       | Pot       | CNT-POT 1  | 1 |   |    |   | 1  | 1   |          | CER 15/18 |
| 4034 | Remblai         |                              | Vaisselle de stockage     | NT   | BES       | Pot       | CNT-POT 2  | 1 |   |    |   | 1  | 1   |          | CER 15/18 |
| 4034 | Remblai         |                              | Autre                     | NT   | BES       | Jeton     | Ind        |   |   |    |   | 1  |     |          | CER 15/18 |
| 4034 | Remblai         |                              | Autre                     | NT   | BES       | Jeton     | Ind        |   |   |    |   | 1  |     |          | CER 15/18 |
| 4034 | Remblai         | Bord portant une perforation | Vaisselle de présentation | T    | PGFINF    | Ecuelle   | TFS-ECU 1a | 1 |   |    |   | 1  | 1   |          | CER 15/18 |
| 4035 | Remblai         |                              | Indéterminée              | NT   | BES       | Ind       | Ind        |   | 1 | 9  |   | 10 |     |          | CER 14/18 |
| 4035 | Remblai         |                              | Vaisselle de cuisine      | NT   | BES       | Pot       | CNT-POT 2  | 2 |   |    |   | 2  | 1   |          | CER 14/18 |
| 4035 | Remblai         |                              | Vaisselle de cuisine      | NT   | BES       | Pot       | CNT-POT 2  | 1 |   |    |   | 1  | 1   |          | CER 14/18 |
| 4035 | Remblai         |                              | Vaisselle de cuisine      | NT   | BES       | Pot       | CNT-POT 2  | 1 |   |    |   | 1  | 1   |          | CER 14/18 |
| 4035 | Remblai         |                              | Vaisselle de cuisine      | NT   | BES       | Pot       | CNT-POT 1  | 1 |   |    |   | 1  | 1   |          | CER 14/18 |
| 4035 | Remblai         |                              | Vaisselle de cuisine      | NT   | BES       | Pot       | CNT-POT 1  | 1 |   |    |   | 1  | 1   |          | CER 14/18 |
| 4035 | Remblai         |                              | Vaisselle de cuisine      | NT   | BES       | Pot       | CNT-POT 1  | 1 |   |    |   | 1  | 1   |          | CER 14/18 |
| 4035 | Remblai         |                              | Vaisselle de cuisine      | NT   | BES       | Pot       | CNT-POT 1  | 1 |   |    |   | 1  | 1   |          | CER 14/18 |
| 4035 | Remblai         |                              | Indéterminée              | T    | PEINT A   | Ind       | Ind        |   | 2 | 2  |   | 2  | 1   |          | CER 14/18 |
| 4035 | Remblai         |                              | Indéterminée              | T    | NPR       | Ind       | Ind        |   | 1 | 3  |   | 4  | 1   |          | CER 14/18 |
| 4035 | Remblai         |                              | Indéterminée              | T    | PC-       | Ind       | Ind        |   |   | 1  |   | 1  | 1   |          | CER 14/18 |
| 4035 | Remblai         |                              | Autre                     | T    | PC-       | Jeton     | Ind        |   |   |    |   | 1  |     |          | CER 14/18 |
| 4035 | Remblai         |                              | Indéterminée              | NT   | PCGROS    | Ind       | Ind        |   |   | 1  |   | 1  |     |          | CER 14/18 |
| 4035 | Remblai         |                              | Vaisselle de présentation | NT   | PCGROS    | Ecuelle   | CNT-ECU 1a | 1 |   |    |   | 1  | 1   |          | CER 14/18 |
| 4035 | Remblai         |                              | Vaisselle à boire         | NT   | PSGROS    | Gobelet   | CNT-GOB 1  | 1 |   |    |   | 1  | 1   |          | CER 14/18 |
| 4035 | Remblai         |                              | Vaisselle de cuisine      | T    | PGFINF    | Faisselle | TFS-FAIS 1 | 1 |   |    |   | 1  | 1   |          | CER 14/18 |
| 4036 | Remblai         |                              | Indéterminée              | NT   | BES       | Ind       | Ind        |   | 2 | 10 |   | 12 |     |          | CER 14/18 |
| 4036 | Remblai         |                              | Indéterminée              | NT   | BES       | Ind       | Ind        | 1 |   |    |   | 1  | 1   |          | CER 14/18 |

| UF   | Inter-prétation | Description mobilier | Fonction                  | Cat. | Sous Cat.         | Forme    | Typologie   | B | F | P  | A | NR | NMI | N.figure | NCaisse   |
|------|-----------------|----------------------|---------------------------|------|-------------------|----------|-------------|---|---|----|---|----|-----|----------|-----------|
| 4036 | Remblai         |                      | Vaisselle de stockage     | NT   | BES               | Pot      | CNT-POT 2   | 1 |   |    |   | 1  | 1   |          | CER 14/18 |
| 4036 | Remblai         |                      | Vaisselle de stockage     | NT   | BES               | Pot      | CNT-POT 2   | 1 |   |    |   | 1  | 1   |          | CER 14/18 |
| 4036 | Remblai         |                      | Vaisselle de stockage     | NT   | BES               | Pot      | CNT-POT 2   | 1 |   |    |   | 1  | 1   |          | CER 14/18 |
| 4036 | Remblai         |                      | Indéterminée              | T    | PEINT A           | Ind      | Ind         |   |   | 1  |   | 1  | 1   |          | CER 14/18 |
| 4036 | Remblai         |                      | Indéterminée              | NT   | PCGROS            | Ind      | Ind         |   |   | 2  |   | 2  | 1   |          | CER 14/18 |
| 4036 | Remblai         |                      | Indéterminée              | NT   | PSGROS            | Ind      | Ind         |   | 1 | 3  |   | 4  |     |          | CER 14/18 |
| 4036 | Remblai         |                      | Vaisselle de présentation | NT   | PSGROS            | Ecuelle  | TFS-ECU 1a  | 1 |   |    |   | 1  | 1   |          | CER 14/18 |
| 4036 | Remblai         |                      | Vaisselle de présentation | NT   | PSGROS            | Coupe    | TFS-COUP 1b | 1 |   |    |   | 1  | 1   |          | CER 14/18 |
| 4036 | Remblai         |                      | Vaisselle de présentation | NT   | PSGROS            | Coupe    | TFS-COUP 1b | 1 |   |    |   | 1  | 1   |          | CER 14/18 |
| 4036 | Remblai         |                      | Indéterminée              | T    | NPR               | Ind      | Ind         |   |   | 8  |   | 8  | 1   |          | CER 14/18 |
| 4036 | Remblai         |                      | Indéterminée              | T    | PGFINF            | Ind      | Ind         |   |   | 3  |   | 3  | 1   |          | CER 14/18 |
| 4036 | Remblai         |                      | Indéterminée              | T    | Ind (pâte brûlée) | Ind      | Ind         | 2 |   |    |   | 2  |     |          | CER 14/18 |
| 4036 | Remblai         |                      | Indéterminée              | T    | PC-               | Ind      | Ind         |   |   | 11 |   | 11 |     |          | CER 14/18 |
| 4036 | Remblai         |                      | Vaisselle à boire         | T    | PC-               | Tonnelet | TFC-TON 1a  | 1 |   |    |   | 1  | 1   |          | CER 14/18 |
| 4038 | Remblai         |                      | Vaisselle de présentation | NT   | PCGROS            | Ecuelle  | CNT-ECU 2   | 1 |   |    |   | 1  | 1   |          | CER 14/18 |
| 4040 | Remblai         |                      | Indéterminée              | T    | PC-               | Ind      | Ind         |   |   | 9  |   | 9  |     |          | CER 14/18 |
| 4040 | Remblai         |                      | Vaisselle de présentation | T    | PC-               | Ecuelle  | TFC-ECU 1   | 1 |   |    |   | 1  | 1   |          | CER 14/18 |
| 4040 | Remblai         |                      | Indéterminée              | T    | PSFIN-            | Ind      | Ind         |   | 1 | 1  |   | 2  |     |          | CER 14/18 |
| 4040 | Remblai         |                      | Vaisselle de présentation | T    | PSFIN-            | Ecuelle  | TFS-ECU 1a  | 1 |   |    |   | 1  | 1   |          | CER 14/18 |
| 4040 | Remblai         |                      | Indéterminée              | NT   | BES               | Ind      | Ind         |   |   | 3  |   | 3  | 1   |          | CER 14/18 |
| 4040 | Remblai         |                      | Indéterminée              | NT   | PSGROS            | Ind      | Ind         |   |   | 1  |   | 1  | 1   |          | CER 14/18 |
| 4040 | Remblai         |                      | Indéterminée              | T    | Ind (pâte brûlée) | Ind      | Ind         | 3 |   | 5  |   | 8  |     |          | CER 14/18 |
| 4041 | Remblai         |                      | Indéterminée              | T    | PC-               | Ind      | Ind         |   |   | 4  |   | 4  |     |          | CER 14/18 |

| UF   | Inter-prétation | Description mobilier | Fonction                  | Cat. | Sous Cat. | Forme     | Typologie  | B | F | P  | A | NR | NMI | N.figure | NCaisse   |
|------|-----------------|----------------------|---------------------------|------|-----------|-----------|------------|---|---|----|---|----|-----|----------|-----------|
| 4041 | Remblai         |                      | Vaisselle de stockage     | T    | PC-       | Bouteille | TFC-BOU1   | 2 |   |    |   | 2  | 1   |          | CER 14/18 |
| 4041 | Remblai         |                      | Indéterminée              | NT   | BES       | Ind       | Ind        |   |   | 1  |   | 1  |     |          | CER 14/18 |
| 4041 | Remblai         |                      | Vaisselle de cuisine      | NT   | BES       | Pot       | CNT-POT 2  | 1 |   |    |   | 1  | 1   |          | CER 14/18 |
| 4041 | Remblai         |                      | Indéterminée              | NT   | PSGROS    | Ind       | Ind        |   | 1 | 4  |   | 5  |     |          | CER 14/18 |
| 4041 | Remblai         |                      | Vaisselle de présentation | NT   | PSGROS    | Ecuelle   | CNT-ECU 2  | 4 |   |    |   | 4  | 1   |          | CER 14/18 |
| 4041 | Remblai         |                      | Vaisselle de présentation | NT   | PSGROS    | Ecuelle   | CNT-ECU 1a | 1 |   |    |   | 1  | 1   |          | CER 14/18 |
| 4041 | Remblai         |                      | Indéterminée              | T    | PEINT A   | Ind       | Ind        |   |   | 5  |   | 5  | 1   |          | CER 14/18 |
| 4041 | Remblai         |                      | Autre                     | T    | PEINT A   | Jeton     | Ind        |   |   |    |   | 1  |     |          | CER 14/18 |
| 4042 | Annulé          |                      | Indéterminée              | T    | PEINT A   | Ind       | Ind        |   |   | 1  |   | 1  | 1   |          | CER 14/18 |
| 4042 | Annulé          |                      | Indéterminée              | T    | PC-       | Ind       | Ind        |   |   | 1  |   | 1  | 1   |          | CER 14/18 |
| 4042 | Annulé          |                      | Indéterminée              | T    | NPR       | Ind       | Ind        |   |   | 2  |   | 2  | 1   |          | CER 14/18 |
| 4043 | Remblai         |                      | Indéterminée              | NT   | BES       | Ind       | Ind        |   | 2 | 28 |   | 30 |     |          | CER 14/18 |
| 4043 | Remblai         |                      | Vaisselle de cuisine      | NT   | BES       | Pot       | CNT-POT 1  | 2 |   |    |   | 2  | 1   |          | CER 14/18 |
| 4043 | Remblai         |                      | Vaisselle de cuisine      | NT   | BES       | Pot       | CNT-POT 2  | 2 |   |    |   | 2  | 1   |          | CER 14/18 |
| 4043 | Remblai         |                      | Vaisselle de cuisine      | NT   | BES       | Pot       | CNT-POT 1  | 1 |   |    |   | 1  | 1   |          | CER 14/18 |
| 4043 | Remblai         |                      | Vaisselle de cuisine      | NT   | BES       | Pot       | CNT-POT 2  | 1 |   |    |   | 1  | 1   |          | CER 14/18 |
| 4043 | Remblai         |                      | Vaisselle de cuisine      | NT   | BES       | Pot       | CNT-POT 2  | 1 |   |    |   | 1  | 1   |          | CER 14/18 |
| 4043 | Remblai         |                      | Vaisselle de cuisine      | NT   | BES       | Pot       | CNT-POT 2  | 1 |   |    |   | 1  | 1   |          | CER 14/18 |
| 4043 | Remblai         |                      | Vaisselle de cuisine      | NT   | BES       | Pot       | CNT-POT 2  | 1 |   |    |   | 1  | 1   |          | CER 14/18 |
| 4043 | Remblai         |                      | Vaisselle de cuisine      | NT   | BES       | Pot       | CNT-POT 2  | 1 |   |    |   | 1  | 1   |          | CER 14/18 |
| 4043 | Remblai         |                      | Vaisselle de cuisine      | NT   | BES       | Pot       | CNT-POT 2  | 1 |   |    |   | 1  | 1   |          | CER 14/18 |
| 4043 | Remblai         |                      | Vaisselle de cuisine      | NT   | BES       | Pot       | CNT-POT 2  | 1 |   |    |   | 1  | 1   |          | CER 14/18 |
| 4043 | Remblai         |                      | Vaisselle de cuisine      | NT   | BES       | Pot       | CNT-POT 2  | 1 |   |    |   | 1  | 1   |          | CER 14/18 |
| 4043 | Remblai         |                      | Indéterminée              | NT   | PSGROS    | Ind       | Ind        |   |   | 32 |   | 32 |     |          | CER 14/18 |
| 4043 | Remblai         |                      | Vaisselle de présentation | NT   | PSGROS    | Ecuelle   | CNT-ECU 1a | 2 |   |    |   | 2  | 1   |          | CER 14/18 |

| UF   | Inter-prétation | Description mobilier   | Fonction                  | Cat. | Sous Cat.         | Forme     | Typologie  | B | F  | P  | A | NR | NMI | N.figure | NCaisse   |
|------|-----------------|--|---------------------------|------|-------------------|-----------|------------|---|----|----|---|----|-----|----------|-----------|
| 4043 | Remblai         |  | Vaisselle de présentation | NT   | PSGROS            | Ecuelle   | CNT-ECU 1a | 1 |    |    |   | 1  | 1   |          | CER 14/18 |
| 4043 | Remblai         |  | Indéterminée              | NT   | PSGROS            | Ind       | Ind        | 1 |    |    |   | 1  | 1   |          | CER 14/18 |
| 4043 | Remblai         |  | Indéterminée              | T    | Ind (pâte brûlée) | Ind       | Ind        | 1 | 3  |    |   | 4  |     |          | CER 14/18 |
| 4043 | Remblai         |  | Indéterminée              | T    | PC-               | Ind       | Ind        |   | 8  | 80 |   | 88 |     |          | CER 14/18 |
| 4043 | Remblai         |  | Indéterminée              | T    | PC-               | Ind       | Ind        | 1 |    |    |   | 1  | 1   |          | CER 14/18 |
| 4043 | Remblai         |  | Indéterminée              | T    | PC-               | Ind       | Ind        | 1 |    |    |   | 1  | 1   |          | CER 14/18 |
| 4043 | Remblai         |  | Vaisselle à boire         | T    | PC-               | Tonnelet  | TFC-TON 1b | 1 |    |    |   | 1  | 1   |          | CER 14/18 |
| 4043 | Remblai         |  | Vaisselle de stockage     | T    | PC-               | Pot       | TFC-POT 1  | 1 |    |    |   | 1  | 1   |          | CER 14/18 |
| 4043 | Remblai         |  | Vaisselle de stockage     | T    | PC-               | Bouteille | TFC-BOUT 1 | 1 |    |    |   | 1  | 1   |          | CER 14/18 |
| 4043 | Remblai         |  | Vaisselle de stockage     | T    | PC-               | Bouteille | TFS-BOUT 2 | 1 |    |    |   | 1  | 1   |          | CER 14/18 |
| 4043 | Remblai         |  | Indéterminée              | T    | PEINT A           | Ind       | Ind        |   | 48 |    |   | 48 |     |          | CER 14/18 |
| 4043 | Remblai         |  | Vaisselle de stockage     | T    | PEINT A           | Bouteille | TFC-BOUT 1 | 2 |    |    |   | 2  | 1   |          | CER 14/18 |
| 4043 | Remblai         |  | Indéterminée              | NT   | PSGROS            | Ind       | Ind        |   | 1  | 5  |   | 6  |     |          | CER 14/18 |
| 4043 | Remblai         |  | Vaisselle de présentation | NT   | PSGROS            | Ecuelle   | CNT-ECU 1a | 2 |    |    |   | 2  | 1   |          | CER 14/18 |
| 4043 | Remblai         |  | Vaisselle de présentation | NT   | PSGROS            | Ecuelle   | CNT-ECU 1a | 1 |    |    |   | 1  | 1   |          | CER 14/18 |
| 4043 | Remblai         |  | Indéterminée              | T    | NPR               | Ind       | Ind        |   | 3  | 44 |   | 47 |     |          | CER 14/18 |
| 4043 | Remblai         |  | Vaisselle de présentation | T    | PGFINF            | Ecuelle   | TFS-ECU 1a | 1 |    |    |   | 1  | 1   |          | CER 14/18 |
| 4044 | Remblai         | Une panse décor de chevrons incisés une panse décor de traits obliques incisés | Indéterminée              | NT   | BES               | Ind       | Ind        |   | 44 |    |   | 44 |     |          | CER 14/18 |
| 4044 | Remblai         |  | Vaisselle de cuisine      | NT   | BES               | Pot       | CNT-POT 1  | 2 |    |    |   | 2  | 1   |          | CER 14/18 |
| 4044 | Remblai         |  | Vaisselle de cuisine      | NT   | BES               | Pot       | CNT-POT 1  | 1 |    |    |   | 1  | 1   |          | CER 14/18 |
| 4044 | Remblai         |  | Vaisselle de cuisine      | NT   | BES               | Pot       | CNT-POT 2  | 1 |    |    |   | 1  | 1   |          | CER 14/18 |



| UF   | Inter-prétation | Description mobilier  | Fonction                  | Cat. | Sous Cat.         | Forme    | Typologie  | B | F  | P | A | NR | NMI | N.figure | N.Caisse  |
|------|-----------------|---|---------------------------|------|-------------------|----------|------------|---|----|---|---|----|-----|----------|-----------|
| 4044 | Remblai         |   | Vaisselle de cuisine      | NT   | BES               | Pot      | CNT-POT 2  | 1 |    |   |   | 1  | 1   |          | CER 14/18 |
| 4044 | Remblai         |   | Indéterminée              | T    | Ind (pâte brûlée) | Ind      | Ind        | 1 | 6  |   |   | 7  |     |          | CER 14/18 |
| 4044 | Remblai         | Une panse présente une perforation  | Indéterminée              | NT   | PSGROS            | Ind      | Ind        |   | 1  |   |   | 1  |     |          | CER 14/18 |
| 4044 | Remblai         |   | Vaisselle de présentation | NT   | PSGROS            | Ecuelle  | CNT-ECU1d  | 2 |    |   |   | 2  | 1   |          | CER 14/18 |
| 4044 | Remblai         |   | Vaisselle de présentation | NT   | PSGROS            | Ecuelle  | CNT-ECU1e  | 1 |    |   |   | 1  | 1   |          | CER 14/18 |
| 4044 | Remblai         | 6 panses avec de la peinture rouge / 25 panses avec de la peinture blanche / une panse avec peinture blanche et traits rouges | Indéterminée              | T    | PEINT A           | Ind      | Ind        |   | 32 |   |   | 32 |     |          | CER 14/18 |
| 4044 | Remblai         |   | Vaisselle à boire         | T    | PEINT A           | Tonnelet | TFC-TON 1a | 3 |    |   |   | 3  | 1   |          | CER 14/18 |
| 4044 | Remblai         |   | Indéterminée              | T    | PC-               | Ind      | Ind        |   | 1  | 7 |   | 8  |     |          | CER 14/18 |
| 4044 | Remblai         |   | Vaisselle de présentation | T    | PC-               | Ecuelle  | TFC-ECU 1  | 1 |    |   |   | 1  | 1   |          | CER 14/18 |
| 4046 | Remblai         | Une panse décor de lignes obliques incisées   | Indéterminée              | NT   | BES               | Ind      | Ind        |   | 12 |   |   | 12 |     |          | CER 14/18 |
| 4046 | Remblai         |   | Vaisselle de cuisine      | NT   | BES               | Pot      | CNT-POT 1  | 1 |    |   |   | 1  | 1   |          | CER 14/18 |
| 4046 | Remblai         |   | Vaisselle de cuisine      | NT   | BES               | Pot      | CNT-POT 1  | 1 |    |   |   | 1  | 1   |          | CER 14/18 |
| 4046 | Remblai         |   | Indéterminée              | T    | NPR               | Ind      | Ind        |   | 4  |   |   | 4  |     |          | CER 14/18 |
| 4046 | Remblai         |   | Vaisselle à boire         | T    | NPR               | Tonnelet | TFS-TON 1b | 1 |    |   |   | 1  | 1   |          | CER 14/18 |
| 4046 | Remblai         | Décor lignes horizontales incisées  | Indéterminée              | T    | PSFIN-            | Ind      | Ind        |   | 2  |   |   | 2  | 1   |          | CER 14/18 |
| 4046 | Remblai         |   | Indéterminée              | T    | PEINT A           | Ind      | Ind        |   | 3  |   |   | 3  |     |          | CER 14/18 |
| 4046 | Remblai         |   | Vaisselle de présentation | T    | PEINT A           | Bol      | TFC-BOL 1  | 1 |    |   |   | 1  | 1   |          | CER 14/18 |
| 4046 | Remblai         |   | Autre                     | T    | PEINT A           | Jeton    | Ind        |   |    |   |   | 1  |     |          | CER 14/18 |
| 4046 | Remblai         |   | Indéterminée              | T    | PC-               | Ind      | Ind        |   | 13 |   |   | 13 | 1   |          | CER 14/18 |
| 4046 | Remblai         |   | Autre                     | T    | PC-               | Jeton    | Ind        |   |    |   |   | 1  |     |          | CER 14/18 |

| UF   | Inter-prétation | Description mobilier      | Fonction                  | Cat. | Sous Cat.         | Forme    | Typologie  | B | F  | P  | A | NR | NMI | N.figure | N.Caisse  |
|------|-----------------|---------------------------|---------------------------|------|-------------------|----------|------------|---|----|----|---|----|-----|----------|-----------|
| 4046 | Remblai         |                           | Indéterminée              | T    | Ind (pâte brûlée) | Ind      | Ind        | 5 | 2  |    |   | 7  |     |          | CER 14/18 |
| 4046 | Remblai         |                           | Indéterminée              | NT   | PSGROS            | Ind      | Ind        |   | 14 |    |   | 14 |     |          | CER 14/18 |
| 4046 | Remblai         | Vaisselle de présentation | Vaisselle de présentation | NT   | PSGROS            | Ecuelle  | CNT-ECU 1a | 1 |    |    |   | 1  | 1   |          | CER 14/18 |
| 4046 | Remblai         |                           | Vaisselle de stockage     | NT   | PSGROS            | Pot      | CNT-POT 4  | 1 |    |    |   | 1  | 1   |          | CER 14/18 |
| 4046 | Remblai         |                           | Indéterminée              | T    | PSMIFIN           | Ind      | Ind        |   | 2  |    |   | 2  |     |          | CER 14/18 |
| 4048 | Remblai         |                           | Indéterminée              | T    | NPR               | Ind      | Ind        |   | 4  |    |   | 4  |     |          | CER 16/18 |
| 4048 | Remblai         |                           | Vaisselle à boire         | T    | NPR               | Tonnelet | TFC-TON 1a | 3 |    |    |   | 3  | 1   |          | CER 16/18 |
| 4048 | Remblai         |                           | Indéterminée              | T    | PSFIN-            | Ind      | Ind        |   | 3  |    |   | 3  |     |          | CER 16/18 |
| 4048 | Remblai         |                           | Vaisselle à boire         | T    | PSFIN-            | Tonnelet | TFS-TON 1a | 2 |    |    |   | 2  | 1   |          | CER 16/18 |
| 4048 | Remblai         |                           | Vaisselle de présentation | T    | PSFIN-            | Ecuelle  | TFS-ECU 1a | 2 |    |    |   | 2  | 1   |          | CER 16/18 |
| 4048 | Remblai         |                           | Vaisselle de présentation | T    | PSFIN-            | Ecuelle  | TFS-ECU 1a | 1 |    |    |   | 1  | 1   |          | CER 16/18 |
| 4048 | Remblai         |                           | Indéterminée              | NT   | PSGROS            | Ind      | Ind        |   | 25 |    |   | 25 |     |          | CER 16/18 |
| 4048 | Remblai         |                           | Vaisselle de présentation | NT   | PSGROS            | Ecuelle  | CNT-ECU 1a | 1 |    |    |   | 1  | 1   |          | CER 16/18 |
| 4048 | Remblai         |                           | Vaisselle de présentation | NT   | PSGROS            | Ecuelle  | CNT-ECU 1a | 1 |    |    |   | 1  | 1   |          | CER 16/18 |
| 4048 | Remblai         |                           | Indéterminée              | T    | PC-               | Ind      | Ind        |   | 14 |    |   | 14 |     |          | CER 16/18 |
| 4048 | Remblai         |                           | Vaisselle de présentation | T    | PC-               | Ecuelle  | TFC-ECU 1  | 1 |    |    |   | 1  | 1   |          | CER 16/18 |
| 4048 | Remblai         |                           | Vaisselle à boire         | T    | PC-               | Tonnelet | TFC-TON 1b | 1 |    |    |   | 1  | 1   |          | CER 16/18 |
| 4048 | Remblai         |                           | Autre                     | T    | PC-               | Jeton    | Ind        |   |    |    |   | 1  |     |          | CER 16/18 |
| 4048 | Remblai         |                           | Vaisselle de stockage     | T    | PEINT A           | Pot      | TFC-POT 1  | 2 |    |    |   | 2  | 1   |          | CER 16/18 |
| 4048 | Remblai         |                           | Indéterminée              | T    | Ind (pâte brûlée) | Ind      | Ind        | 3 | 1  | 10 |   | 14 |     |          | CER 16/18 |
| 4048 | Remblai         |                           | Indéterminée              | T    | PGFINF            | Ind      | Ind        |   | 1  | 6  |   | 7  | 1   |          | CER 16/18 |
| 4048 | Remblai         |                           | Indéterminée              | NT   | PCGROS            | Ind      | Ind        |   | 1  | 17 |   | 18 |     |          | CER 16/18 |
| 4048 | Remblai         |                           | Vaisselle de présentation | NT   | PCGROS            | Ecuelle  | CNT-ECU 1a | 2 |    |    |   | 2  | 1   |          | CER 16/18 |

| UF   | Inter-prétation | Description mobilier  | Fonction                  | Cat. | Sous Cat. | Forme   | Typologie  | B | F  | P  | A | NR | NMI | N.figure | N.Caisse  |
|------|-----------------|---|---------------------------|------|-----------|---------|------------|---|----|----|---|----|-----|----------|-----------|
| 4048 | Remblai         |   | Vaisselle de présentation | NT   | PCGROS    | Ecuelle | CNT-ECU 1a | 1 |    |    |   | 1  | 1   |          | CER 16/18 |
| 4048 | Remblai         |   | Autre                     | NT   | PCGROS    | Jeton   | Ind        |   |    |    |   | 1  |     |          | CER 16/18 |
| 4048 | Remblai         | 5 panses avec de la peinture rouge / 13 panses avec de la peinture blanche        | Indéterminée              | T    | PEINT A   | Ind     | Ind        |   | 18 |    |   | 18 | 1   |          | CER 16/18 |
| 4048 | Remblai         | 2 panses avec décor de chevrons incisés une panse avec décor de chevrons imprimés | Indéterminée              | NT   | BES       | Ind     | Ind        |   | 1  | 48 |   | 49 |     |          | CER 16/18 |
| 4048 | Remblai         |   | Vaisselle de cuisine      | NT   | BES       | Pot     | CNT-POT 2  | 2 |    |    |   | 2  | 1   |          | CER 16/18 |
| 4048 | Remblai         |   | Vaisselle de cuisine      | NT   | BES       | Pot     | CNT-POT 1  | 2 |    |    |   | 2  | 1   |          | CER 16/18 |
| 4048 | Remblai         |   | Indéterminée              | NT   | BES       | Ind     | Ind        | 6 |    |    |   | 6  | 1   |          | CER 16/18 |
| 4048 | Remblai         |   | Vaisselle de cuisine      | NT   | BES       | Pot     | CNT-POT 1  | 1 |    |    |   | 1  | 1   |          | CER 16/18 |
| 4048 | Remblai         |   | Vaisselle de cuisine      | NT   | BES       | Pot     | CNT-POT 2  | 1 |    |    |   | 1  | 1   |          | CER 16/18 |
| 4048 | Remblai         |   | Vaisselle de cuisine      | NT   | BES       | Pot     | CNT-POT 2  | 1 |    |    |   | 1  | 1   |          | CER 16/18 |
| 4048 | Remblai         |   | Vaisselle de cuisine      | NT   | BES       | Pot     | CNT-POT 2  | 1 |    |    |   | 1  | 1   |          | CER 16/18 |
| 4048 | Remblai         |   | Vaisselle de cuisine      | NT   | BES       | Pot     | CNT-POT 2  | 1 |    |    |   | 1  | 1   |          | CER 16/18 |
| 4048 | Remblai         |   | Vaisselle de cuisine      | NT   | BES       | Pot     | CNT-POT 2  | 1 |    |    |   | 1  | 1   |          | CER 16/18 |
| 4048 | Remblai         |   | Vaisselle de cuisine      | NT   | BES       | Pot     | CNT-POT 2  | 1 |    |    |   | 1  | 1   |          | CER 16/18 |
| 4048 | Remblai         |   | Vaisselle de cuisine      | NT   | BES       | Pot     | CNT-POT 2  | 1 |    |    |   | 1  | 1   |          | CER 16/18 |
| 4049 | Remblai         | 2 panses avec de la peinture rouge  | Indéterminée              | T    | PEINT A   | Ind     | Ind        |   | 11 |    |   | 11 | 1   |          | CER 16/18 |
| 4049 | Remblai         |   | Autre                     | T    | PEINT A   | Jeton   | Ind        |   |    |    |   | 1  |     |          | CER 16/18 |
| 4049 | Remblai         |   | Autre                     | T    | PEINT A   | Jeton   | Ind        |   |    |    |   | 1  |     |          | CER 16/18 |
| 4049 | Remblai         |   | Autre                     | T    | PEINT A   | Jeton   | Ind        |   |    |    |   | 1  |     |          | CER 16/18 |
| 4049 | Remblai         |   | Indéterminée              | T    | PC-       | Ind     | Ind        |   | 5  |    |   | 5  | 1   |          | CER 16/18 |
| 4049 | Remblai         |   | Autre                     | T    | PC-       | Jeton   | Ind        |   |    |    |   | 1  |     |          | CER 16/18 |
| 4049 | Remblai         |   | Vaisselle de présentation | T    | PSFIN-    | Ecuelle | TFS-ECU 1a | 4 |    |    |   | 4  | 1   |          | CER 16/18 |
| 4049 | Remblai         |   | Indéterminée              | NT   | PSGROS    | Ind     | Ind        |   | 6  |    |   | 6  |     |          | CER 16/18 |

| UF   | Inter-prétation | Description mobilier | Fonction                  | Cat. | Sous Cat. | Forme     | Typologie  | B | F | P  | A | NR | NMI | N.figure | N.Caisse  |
|------|-----------------|----------------------|---------------------------|------|-----------|-----------|------------|---|---|----|---|----|-----|----------|-----------|
| 4049 | Remblai         |                      | Vaisselle de présentation | NT   | PSGROS    | Ecuelle   | CNT-ECU 1e | 2 |   |    |   | 2  | 1   |          | CER 16/18 |
| 4049 | Remblai         |                      | Vaisselle de présentation | NT   | PSGROS    | Ecuelle   | CNT-ECU 1e | 2 |   |    |   | 2  | 1   |          | CER 16/18 |
| 4049 | Remblai         |                      | Vaisselle de présentation | NT   | PSGROS    | Ecuelle   | CNT-ECU 1e | 1 |   |    |   | 1  | 1   |          | CER 16/18 |
| 4049 | Remblai         |                      | Vaisselle de présentation | NT   | PSGROS    | Ecuelle   | CNT-ECU1d  | 1 |   |    |   | 1  | 1   |          | CER 16/18 |
| 4049 | Remblai         |                      | Vaisselle de présentation | NT   | PSGROS    | Ecuelle   | CNT-ECU 1a | 1 |   |    |   | 1  | 1   |          | CER 16/18 |
| 4049 | Remblai         |                      | Vaisselle de présentation | NT   | PSGROS    | Ecuelle   | CNT-ECU 1a | 1 |   |    |   | 1  | 1   |          | CER 16/18 |
| 4049 | Remblai         |                      | Vaisselle de présentation | NT   | PSGROS    | Ecuelle   | CNT-ECU 1b | 1 |   |    |   | 1  | 1   |          | CER 16/18 |
| 4049 | Remblai         |                      | Vaisselle de présentation | NT   | PSGROS    | Ecuelle   | CNT-ECU 1b | 1 |   |    |   | 1  | 1   |          | CER 16/18 |
| 4049 | Remblai         |                      | Indéterminée              | NT   | PCGROS    | Ind       | Ind        |   | 1 | 11 |   | 12 |     |          | CER 16/18 |
| 4049 | Remblai         |                      | Vaisselle de stockage     | NT   | PCGROS    | Couvercle | CNT-COUV 1 | 1 |   |    |   | 1  | 1   |          | CER 16/18 |
| 4049 | Remblai         |                      | Indéterminée              | NT   | BES       | Ind       | Ind        |   | 2 | 35 |   | 37 |     |          | CER 16/18 |
| 4049 | Remblai         |                      | Vaisselle de cuisine      | NT   | BES       | Pot       | CNT-POT 1  | 1 |   |    |   | 1  | 1   |          | CER 16/18 |
| 4049 | Remblai         |                      | Vaisselle de cuisine      | NT   | BES       | Pot       | CNT-POT 1  | 1 |   |    |   | 1  | 1   |          | CER 16/18 |
| 4049 | Remblai         |                      | Vaisselle de cuisine      | NT   | BES       | Pot       | CNT-POT 1  | 1 |   |    |   | 1  | 1   |          | CER 16/18 |
| 4049 | Remblai         |                      | Vaisselle de cuisine      | NT   | BES       | Pot       | CNT-POT 2  | 1 |   |    |   | 1  | 1   |          | CER 16/18 |
| 4049 | Remblai         |                      | Vaisselle de cuisine      | NT   | BES       | Pot       | CNT-POT 2  | 1 |   |    |   | 1  | 1   |          | CER 16/18 |
| 4049 | Remblai         |                      | Autre                     | NT   | BES       | Jeton     | Ind        |   |   |    |   | 1  |     |          | CER 16/18 |
| 4049 | Remblai         |                      | Indéterminée              | T    | PGFINF    | Ind       | Ind        |   | 1 | 2  |   | 3  | 1   |          | CER 16/18 |
| 4049 | Remblai         |                      | Autre                     | T    | PGFINF    | Jeton     | Ind        |   |   |    |   | 1  |     |          | CER 16/18 |
| 4053 | Remblai         |                      | Indéterminée              | NT   | BES       | Ind       | Ind        |   |   | 2  |   | 2  | 1   |          | CER 15/18 |
| 4053 | Remblai         |                      | Indéterminée              | T    | PC-       | Ind       | Ind        |   |   | 1  |   | 1  | 1   |          | CER 15/18 |
| 4055 | Remblai         |                      | Indéterminée              | NT   | BES       | Ind       | Ind        |   |   | 2  |   | 2  | 1   |          | CER 16/18 |

| UF   | Inter-prétation | Description mobilier   | Fonction                  | Cat. | Sous Cat. | Forme   | Typologie  | B | F | P | A | NR | NMI | N.figure | NCaisse   |
|------|-----------------|--|---------------------------|------|-----------|---------|------------|---|---|---|---|----|-----|----------|-----------|
| 4055 | Remblai         |  | Indéterminée              | T    | PC-       | Ind     | Ind        |   | 2 | 2 |   | 2  | 1   |          | CER 16/18 |
| 4055 | Remblai         | Perforation  | Indéterminée              | NT   | PCGROS    | Ind     | Ind        |   | 1 | 1 |   | 1  | 1   |          | CER 16/18 |
| 4058 | Remblai         |  | Indéterminée              | NT   | BES       | Ind     | Ind        |   | 4 | 4 |   | 4  | 1   |          | CER 16/18 |
| 4058 | Remblai         |  | Autre                     | NT   | BES       | Jeton   | Ind        |   |   |   |   | 1  | 1   |          | CER 16/18 |
| 4058 | Remblai         |  | Indéterminée              | T    | PEINT A   | Ind     | Ind        |   | 3 | 3 |   | 3  | 1   |          | CER 16/18 |
| 4060 | Remblai         |  | Indéterminée              | NT   | BES       | Ind     | Ind        |   | 1 | 1 |   | 1  | 1   |          | CER 16/18 |
| 4060 | Remblai         |  | Indéterminée              | T    | NPR       | Ind     | Ind        |   | 1 | 1 |   | 1  | 1   |          | CER 16/18 |
| 4060 | Remblai         |  | Indéterminée              | T    | PC-       | Ind     | Ind        |   | 2 | 2 |   | 2  | 1   |          | CER 16/18 |
| 4060 | Remblai         |  | Indéterminée              | NT   | PSGROS    | Ind     | Ind        |   | 1 | 1 |   | 1  | 1   |          | CER 16/18 |
| 4060 | Remblai         |  | Vaisselle de présentation | NT   | PSGROS    | Ecuelle | CNT-ECU 1a | 1 |   |   |   | 1  | 1   |          | CER 16/18 |
| 4061 | Remblai         |  | Indéterminée              | NT   | BES       | Ind     | Ind        |   | 3 | 3 |   | 3  | 1   |          | CER 16/18 |
| 4061 | Remblai         |  | Vaisselle de cuisine      | NT   | BES       | Pot     | CNT-POT 1  | 1 |   |   |   | 1  | 1   |          | CER 16/18 |
| 4061 | Remblai         |  | Autre                     | NT   | BES       | Jeton   | Ind        |   |   |   |   | 1  | 1   |          | CER 16/18 |
| 4061 | Remblai         |  | Indéterminée              | NT   | PSGROS    | Ind     | Ind        |   | 2 | 2 |   | 2  | 1   |          | CER 16/18 |
| 4061 | Remblai         |  | Indéterminée              | T    | NPR       | Ind     | Ind        |   | 1 | 1 |   | 1  | 1   |          | CER 16/18 |
| 4061 | Remblai         |  | Indéterminée              | NT   | PCGROS    | Ind     | Ind        |   | 2 | 2 |   | 2  | 1   |          | CER 16/18 |
| 4062 | Remblai         |  | Indéterminée              | T    | NPR       | Ind     | Ind        |   | 4 | 4 |   | 4  | 1   |          | CER 15/18 |
| 4062 | Remblai         |  | Vaisselle de présentation | T    | NPR       | Ecuelle | TFS-ECU 1a | 2 |   |   |   | 2  | 1   |          | CER 15/18 |
| 4063 | Remblai         |  | Indéterminée              | T    | PC-       | Ind     | Ind        |   | 3 | 3 |   | 3  | 1   |          | CER 16/18 |
| 4065 | Remblai         |  | Indéterminée              | T    | PC-       | Ind     | Ind        |   | 3 | 3 |   | 3  | 1   |          | CER 16/18 |
| 4065 | Remblai         |  | Vaisselle de stockage     | T    | PC-       | Pot     | TFC-POT 1  | 1 |   |   |   | 1  | 1   |          | CER 16/18 |
| 4065 | Remblai         |  | Vaisselle de stockage     | T    | PC-       | Pot     | TFC-POT 1  | 1 |   |   |   | 1  | 1   |          | CER 16/18 |
| 4065 | Remblai         |  | Indéterminée              | T    | PSFIN-    | Ind     | Ind        |   | 2 | 2 |   | 2  | 1   |          | CER 16/18 |
| 4065 | Remblai         | 3 panses avec de la peinture rouge et blanche / 4 panses avec de la peinture blanche | Indéterminée              | T    | PEINT A   | Ind     | Ind        |   | 7 | 7 |   | 7  | 1   |          | CER 16/18 |
| 4065 | Remblai         |  | Indéterminée              | NT   | PCGROS    | Ind     | Ind        |   | 2 | 2 |   | 2  | 1   |          | CER 16/18 |
| 4065 | Remblai         | Fond comportant une perforation  | Indéterminée              | NT   | BES       | Ind     | Ind        |   | 1 | 3 |   | 4  | 1   |          | CER 16/18 |

| UF   | Inter-prétation | Description mobilier                        | Fonction                  | Cat. | Sous Cat.         | Forme   | Typologie | B | F  | P  | A | NR | NMI | N.figure | N.Caisse  |
|------|-----------------|---|---------------------------|------|-------------------|---------|-----------|---|----|----|---|----|-----|----------|-----------|
| 4066 | Remblai         |   | Indéterminée              | NT   | PSGROS            | Ind     | Ind       |   | 15 | 15 |   | 15 |     |          | CER 17/18 |
| 4066 | Remblai         |   | Vaisselle de présentation | NT   | PSGROS            | Ecuelle | CNT-ECU1d | 2 |    |    |   | 2  | 1   |          | CER 17/18 |
| 4066 | Remblai         |   | Vaisselle de stockage     | T    | PSFIN-            | Pot     | TFS-POT 3 | 1 |    |    |   | 1  | 1   |          | CER 17/18 |
| 4066 | Remblai         |   | Indéterminée              | T    | PEINT A           | Ind     | Ind       |   | 80 |    |   | 80 | 1   |          | CER 17/18 |
| 4066 | Remblai         |   | Autre                     | T    | PEINT A           | Jeton   | Ind       |   |    |    |   | 1  |     |          | CER 17/18 |
| 4066 | Remblai         |   | Indéterminée              | T    | PC-               | Ind     | Ind       |   | 11 | 56 |   | 67 |     |          | CER 17/18 |
| 4066 | Remblai         |   | Indéterminée              | T    | PC-               | Ind     | Ind       | 1 |    |    |   | 1  | 1   |          | CER 17/18 |
| 4066 | Remblai         |   | Indéterminée              | T    | NPR               | Ind     | Ind       |   | 5  | 5  |   | 5  |     |          | CER 17/18 |
| 4066 | Remblai         |   | Vaisselle à boire         | T    | NPR               | Bol     | TFS-BOL 1 | 1 |    |    |   | 1  | 1   |          | CER 17/18 |
| 4066 | Remblai         |   | Vaisselle de stockage     | T    | NPR               | Pot     | TFS-POT 2 | 1 |    |    |   | 1  | 1   |          | CER 17/18 |
| 4066 | Remblai         |   | Indéterminée              | T    | Ind (pâte brûlée) | Ind     | Ind       | 7 | 7  | 20 |   | 34 |     |          | CER 17/18 |
| 4066 | Remblai         | Un fond avec une large perforation centrale | Indéterminée              | NT   | BES               | Ind     | Ind       |   | 6  | 71 |   | 77 |     |          | CER 17/18 |
| 4066 | Remblai         |   | Vaisselle de cuisine      | NT   | BES               | Pot     | CNT-POT 1 | 1 |    |    |   | 1  | 1   |          | CER 17/18 |
| 4066 | Remblai         |   | Vaisselle de cuisine      | NT   | BES               | Pot     | CNT-POT 1 | 1 |    |    |   | 1  | 1   |          | CER 17/18 |
| 4066 | Remblai         |   | Vaisselle de cuisine      | NT   | BES               | Pot     | CNT-POT 1 | 1 |    |    |   | 1  | 1   |          | CER 17/18 |
| 4066 | Remblai         |   | Vaisselle de cuisine      | NT   | BES               | Pot     | CNT-POT 1 | 1 |    |    |   | 1  | 1   |          | CER 17/18 |
| 4066 | Remblai         |   | Vaisselle de cuisine      | NT   | BES               | Pot     | CNT-POT 1 | 1 |    |    |   | 1  | 1   |          | CER 17/18 |
| 4066 | Remblai         |   | Vaisselle de cuisine      | NT   | BES               | Pot     | CNT-POT 1 | 1 |    |    |   | 1  | 1   |          | CER 17/18 |
| 4066 | Remblai         |   | Vaisselle de cuisine      | NT   | BES               | Pot     | CNT-POT 1 | 1 |    |    |   | 1  | 1   |          | CER 17/18 |
| 4066 | Remblai         |   | Indéterminée              | NT   | BES               | Ind     | Ind       | 1 |    |    |   | 1  | 1   |          | CER 17/18 |
| 4066 | Remblai         |   | Vaisselle de cuisine      | NT   | BES               | Pot     | CNT-POT 2 | 2 |    |    |   | 2  | 1   |          | CER 17/18 |
| 4070 | Remblai         |   | Indéterminée              | T    | PSFIN-            | Ind     | Ind       |   | 1  |    |   | 1  | 1   |          | CER 16/18 |
| 4070 | Remblai         |   | Indéterminée              | NT   | PSGROS            | Ind     | Ind       |   | 1  |    |   | 1  | 1   |          | CER 16/18 |
| 4070 | Remblai         | Peinture blanche                            | Indéterminée              | T    | PEINT A           | Ind     | Ind       |   | 8  |    |   | 8  | 1   |          | CER 16/18 |

| UF   | Inter-prétation | Description mobilier | Fonction                  | Cat. | Sous Cat.         | Forme   | Typologie | B | F | P | A | NR | NMI | N.figure | NCaisse   |
|------|-----------------|----------------------|---------------------------|------|-------------------|---------|-----------|---|---|---|---|----|-----|----------|-----------|
| 4073 | Remblai         |                      | Indéterminée              | T    | Ind (pâte brûlée) | Ind     | Ind       |   | 1 |   |   | 1  |     |          | CER 16/18 |
| 4073 | Remblai         |                      | Indéterminée              | T    | PEINT A           | Ind     | Ind       |   |   | 1 |   | 1  | 1   |          | CER 16/18 |
| 4073 | Remblai         |                      | Indéterminée              | T    | PC-               | Ind     | Ind       |   |   | 3 |   | 3  |     |          | CER 16/18 |
| 4073 | Remblai         |                      | Vaisselle de présentation | T    | PC-               | Ecuelle | TFC-ECU 1 | 1 |   |   |   | 1  | 1   |          | CER 16/18 |
| 4073 | Remblai         |                      | Indéterminée              | NT   | PSGROS            | Ind     | Ind       |   |   | 3 |   | 3  | 1   |          | CER 16/18 |
| 4080 | Remblai         |                      | Autre                     | T    | PEINT A           | Jeton   | Ind       |   |   |   |   | 1  |     |          | CER 16/18 |



ANNEXE 9 - INVENTAIRE DES AMPHORES DU SECTEUR 3 (2022)

| UF   | Type             | Bord | Bord + att sup | Anse | Panse | Att. Sup | Att. Inf | Epaule | Epaule + att inf | Fond | Fond interne | NMI | NR  | Masse (g) | Commentaire                                    |
|------|------------------|------|----------------|------|-------|----------|----------|--------|------------------|------|--------------|-----|-----|-----------|--|
| 3000 | D1               | 2    |                | 3    | 49    | 2        |          |        |                  |      | 3            | 2   | 59  | 5098      | 1 jeton  |
| 3000 | Tarraconaise ?   |      |                | 1    |       |          |          |        |                  |      |              | 1   | 1   | 44        | 3 fgt, n°30 Brulé                              |
| 3000 | Gauloise 3-5     |      |                |      | 1     |          |          |        |                  |      |              | 1   | 1   | 57        | 3 fgt ; n°34                                   |
| 3000 | Gauloise 3-5     |      |                |      | 1     |          |          |        |                  |      |              | 1   | 1   | 238       | 3 fgt ; n° 35                                  |
| 3000 | Bétique          |      |                |      | 1     |          |          |        |                  |      |              | 1   | 1   | 43        | 2 fgt ; n° 31                                  |
| 3000 | Gauloise 3-5     |      |                |      | 1     |          |          |        |                  |      |              | 1   | 1   | 82        | n°35   |
| 3001 | D1               |      |                | 2    | 17    |          | 1        |        |                  | 1    |              | 1   | 21  | 2098      |  |
| 3001 | Africaine        |      |                | 1    |       |          |          |        |                  |      |              | 1   | 1   | 54        | n° 50  |
| 3001 | Gauloise 3-5     |      |                |      | 1     |          |          |        |                  |      |              | 1   | 1   | 14        | n° 49  |
| 3003 | D1               | 8    |                | 7    | 81    | 2        |          | 5      | 2                |      | 1            | 8   | 106 | 13977     | timbre sur fond interne n°29 grande palme Cosa |
| 3003 | Gauloise 3-5     |      |                |      | 5     |          |          |        |                  |      |              | 1   | 5   | 175       | n°15   |
| 3003 | Gauloise 3-5     |      |                |      |       |          |          |        |                  |      | 1            | 1   | 1   | 110       | n°8  |
| 3003 | Africaine ?      |      |                |      | 1     |          |          |        |                  |      |              | 1   | 1   | 73        | n°12   |
| 3003 | D20              |      |                |      | 1     |          |          |        |                  |      |              | 1   | 1   | 249       | n°11   |
| 3003 | Africaine ?      |      |                |      | 1     |          |          |        |                  |      |              | 1   | 1   | 25        | n°9  |
| 3003 | Bétique          |      |                |      | 2     |          |          |        |                  |      |              | 1   | 2   | 135       | n°17   |
| 3003 | Bétique ?        |      |                |      | 1     |          |          |        |                  |      |              | 1   | 1   | 39        |  |
| 3003 | Bétique          |      |                |      | 1     |          |          |        |                  |      |              | 1   | 1   | 21        | n°16   |
| 3003 | Africaine ?      |      |                |      | 1     |          |          |        |                  |      |              | 1   | 1   | 25        | n° 14  |
| 3003 | Bétique          |      |                |      | 6     |          |          | 1      |                  |      |              | 1   | 7   | 368       | n°27   |
| 3003 | Tarraconaise     |      |                |      | 2     |          |          |        |                  |      |              | 1   | 2   | 45        | n°23   |
| 3003 | Bétique          |      |                |      | 2     |          |          |        |                  |      |              | 1   | 2   | 96        | n° 18  |
| 3003 | Bétique          |      |                |      | 1     |          |          |        |                  |      |              | 1   | 1   | 14        | n°24   |
| 3003 | Tarraconaise 1 ? |      |                |      | 2     |          |          |        |                  |      |              | 1   | 2   | 108       |  |
| 3003 | Gauloise 3-5     | 1    |                | 3    |       |          |          |        |                  |      |              | 1   | 4   | 208       | n°28   |
| 3003 | Gauloise 3-5     |      |                |      | 1     |          |          |        |                  |      |              | 1   | 1   | 23        | n°26   |
| 3003 | Bétique          |      |                |      | 1     |          |          |        |                  |      |              | 1   | 1   | 20        | n° 22  |
| 3003 | Bétique          |      |                |      | 1     |          |          |        |                  |      |              | 1   | 1   | 10        | n°10   |
| 3003 | Gauloise 3-5     |      |                |      | 1     |          |          |        |                  |      |              | 1   | 1   | 20        | n°21   |
| 3003 | Gauloise 3-5     |      |                |      | 1     |          |          |        |                  |      |              | 1   | 1   | 20        | n°20   |
| 3005 | D1               | 3    |                | 9    | 17    | 1        |          | 2      | 2                | 2    |              | 3   | 36  | 7034      |  |
| 3005 | Gauloise 3-5     |      |                |      | 1     |          |          |        |                  |      |              | 1   | 1   | 16        | n° 46  |
| 3005 | Tarraconaise     |      |                |      | 1     |          |          |        |                  |      |              | 1   | 1   | 36        | n° 47  |
| 3005 | Tarraconaise ?   |      |                |      | 2     |          |          |        |                  |      |              | 1   | 2   | 43        | n° 45  |
| 3005 | Indet 4          |      |                |      | 1     |          |          |        |                  |      |              | 1   | 1   | 18        | n° 44  |
| 3009 | D1               |      |                |      |       |          |          |        |                  |      | 1            | 1   | 1   | 193       | 2 fgt ; n° 51 annulé                           |
| 3009 | D1               |      |                |      | 7     |          |          |        |                  |      |              | 1   | 7   | 455       |  |
| 3012 | D1               | 4    |                | 6    | 98    | 2        |          | 2      |                  |      | 1            | 4   | 113 | 9911      |  |

## ANNEXE 9 - INVENTAIRE DES AMPHORES DU SECTEUR 3 (2022)

| UF   | Type                     | Bord | Bord + att sup | Anse | Panse | Att. Sup | Att. Inf | Epaule | Epaule + att inf | Fond | Fond interne | NMI | NR  | Masse (g) | Commentaire  |
|------|--------------------------|------|----------------|------|-------|----------|----------|--------|------------------|------|--------------|-----|-----|-----------|--|
| 3012 | D1C                      | 1    |                |      |       |          |          |        |                  |      |              | 1   | 1   | 179       | n°55   |
| 3012 | Tarraconaise             |      |                |      |       | 1        |          |        |                  |      |              | 1   | 1   | 131       | n°60   |
| 3012 | D2-4 Cos                 |      | 1              |      | 19    |          |          |        |                  |      |              | 1   | 20  |           | n° 61  |
| 3013 | D1                       |      |                |      | 3     |          |          |        |                  |      |              | 1   | 3   | 166       |  |
| 3013 | Gauloise 2 de Marseille  |      |                | 1    |       |          |          |        |                  |      |              | 1   | 1   | 127       | Anse de G2 ; n° 62   |
| 3013 | Bétique                  |      |                |      | 1     |          |          |        |                  |      |              | 1   | 1   | 21        |  |
| 3015 | D1                       |      |                |      | 11    |          |          | 1      |                  |      |              | 1   | 12  | 616       |  |
| 3021 | D1                       |      |                |      | 1     |          |          |        |                  |      |              | 1   | 1   | 14        |  |
| 3023 | D1                       | 27   | 2              | 30   | 414   | 11       | 1        | 7      |                  | 5    | 9            | 27  | 506 | 51986     | Timbre cosa sur bd n°71 + un timbre illisible n° 89 ; ep retaillée pour emploi ; 1 pn brulée |
| 3023 | Africaine ?              |      |                |      | 1     |          |          |        |                  |      |              | 1   | 1   | 97        | n°72   |
| 3023 | Tarraconaise 1           |      |                |      | 2     |          |          |        |                  |      |              | 1   | 2   | 175       | n°80   |
| 3023 | Tarraconaise 2           |      |                | 1    | 2     |          |          |        |                  |      |              | 1   | 3   | 102       | n° 81 et 83  |
| 3023 | D1C                      | 1    |                | 1    |       |          |          |        |                  |      |              | 1   | 2   | 184       |  |
| 3025 | D1                       | 1    |                | 4    | 13    | 1        | 1        |        |                  | 1    |              | 1   | 21  | 3132      | 1 jeton  |
| 3025 | Gauloise 2 de Marseille  | 1    |                |      |       |          |          |        |                  |      |              | 1   | 1   | 141       | Echantillon à faire  |
| 3033 | D1                       |      |                |      | 12    |          |          |        |                  |      |              | 1   | 12  | 965       |  |
| 3033 | D1                       | 3    |                |      |       |          |          |        |                  |      |              | 3   | 3   | 161       |  |
| 3034 | D1                       |      |                |      | 1     |          |          |        |                  |      |              | 1   | 1   | 17        |  |
| 3035 | D1                       | 5    |                | 1    | 36    |          |          |        |                  |      |              | 5   | 42  | 3819      |  |
| 3035 | Tarraconaise 1           |      |                |      | 1     |          |          |        |                  |      |              | 1   | 1   | 7         | n°153  |
| 3035 | D20 Tarraconaise         |      |                |      | 1     |          |          |        |                  |      |              | 1   | 1   | 256       | n°152  |
| 3035 | Tarraconaise 2           |      |                |      | 1     |          |          |        |                  |      |              | 1   | 1   | 8         |  |
| 3035 | Bétique                  |      |                |      | 1     |          |          |        |                  |      |              | 1   | 1   | 12        |  |
| 3037 | D1                       |      |                |      | 1     |          |          |        |                  |      |              | 1   | 1   | 30        |  |
| 3039 | D1                       | 1    |                | 1    | 29    | 1        |          |        |                  |      | 1            | 1   | 33  | 2509      |  |
| 3041 | D1                       |      |                |      | 1     |          |          |        |                  |      |              | 1   | 1   | 18        |  |
| 3043 | D1                       | 2    |                | 1    | 26    |          |          |        |                  |      | 1            | 2   | 30  | 1507      |  |
| 3043 | Indet                    |      |                |      | 1     |          |          |        |                  |      |              | 1   | 1   | 74        | n°154  |
| 3043 | Bétique D20 Guadalquivir |      |                |      | 2     |          |          |        |                  |      |              | 1   | 2   | 86        | n°155  |
| 3045 | D1                       |      |                |      | 1     |          |          |        |                  |      |              | 1   | 1   | 120       |  |
| 3047 | D1                       |      |                |      | 1     |          |          |        |                  |      |              | 1   | 1   | 24        |  |
| 3049 | D1                       |      |                |      | 4     |          |          |        |                  |      |              | 1   | 4   | 442       | Fgt chauffés   |
| 3055 | D1                       |      |                |      | 4     |          |          |        |                  |      |              | 1   | 4   | 222       |  |
| 3071 | D1                       |      |                | 1    |       |          |          |        |                  |      |              | 1   | 1   | 91        |  |

ANNEXE 9 - INVENTAIRE DES AMPHORES DU SECTEUR 3 (2022)

| UF        | Type | Bord | Bord + att sup | Anse | Panse | Att. Sup | Att. Inf | Epaule | Epaule + att inf | Fond | Fond interne | NMI | NR | Masse (g) | Commentaire  |
|-----------|------|------|----------------|------|-------|----------|----------|--------|------------------|------|--------------|-----|----|-----------|--|
| 3077      | D1   | 9    | 5              | 21   | 15    | 5        | 4        | 4      | 2                | 12   | 4            | 12  | 81 | 32136     | Timbre gouvernail cosa<br>n°134; n°122 = n° 127; n° 125<br>= n° n°121; n° 128 = n° 120 |
| 3077      | D1   |      | 1              |      |       |          |          |        |                  |      |              | 1   | 1  | 1470      | Col entier   |
| 3077      | D1C  |      |                | 1    |       |          |          |        |                  |      |              | 1   | 1  | 179       |  |
| 3079      | D1   |      |                | 1    |       |          |          |        |                  |      |              | 1   | 1  | 86        |  |
| 3013-3015 | D1   | 2    |                |      | 2     |          | 1        |        |                  |      |              | 2   | 4  | 425       |  |

| UF   | Iso | Type iso | Matériau        | NR | NMI | Masse (g) | Dimensions (mm)                      | Domaine               | Catégorie                             | Sous-catégorie               | Identification    | Description  | dat. Absolue  | Stab./restau  | Etat de conservation |
|------|-----|----------|-----------------|----|-----|-----------|--------------------------------------|-----------------------|---------------------------------------|------------------------------|-------------------|--|---------------|---------------|----------------------|
| 2000 |     | Vrac     | Fer             | 1  | 1   | 4,5       | L : 43 ; L ss tête : 36 ; S° : 8x5   | Transport             | Équipement lié à l'animal             |                              | Clou de ferrure   | Clou de section rectangulaire et tête carrée. La tige est courbe et la pointe se replie sur elle même.   | MOD/CONT      |               | Complet              |
| 2000 | 1   | Isolat   | Fer             | 1  | 1   | 7,1       | L : 55 ; S° : 4                      | Inclassable           | Divers polyvalent                     |                              | Maillon de chaîne | Maillon en 8, ouvert et tordu. Tige de section ovale, recourbée en anneau à une extrémité.   | Stab          | Lacunaire     |                      |
| 2000 |     | Vrac     | Scorie          | 1  | 1   | 3         |                                      | Production            | Artisanat du fer                      | Déchet lié au travail du fer | Scorie            | Fragment de scorie SFR   |               |               |                      |
| 2000 |     | Vrac     | Fer             | 1  | 1   | 0,8       | L : 26 ; S° : 6x3                    | Production            | Artisanat du fer                      | Chute liée au travail du fer | Tôle              | Fragment de tôle découpée en forme de lamelle épointée.  |               | Lacunaire     |                      |
| 2000 |     | Vrac     | Fer             | 1  | 1   | 12,6      | L : 32 ; S° : 14x9                   | Production            | Artisanat du fer                      | Chute liée au travail du fer | Barre             | Barre rectangulaire cassée sur l'une des extrémités, biseauté sur l'autre.   |               | Lacunaire     |                      |
| 2000 |     | Vrac     | Fer             | 1  | 1   | 2,6       | L : 21 ; L ss tête : 16 ; S° : 5     | Mobilier / Immobilier | Élément d'assemblage et de serrurerie |                              | Clou              | Clou sans pointe de section carrée et tête convexe.  |               | Lacunaire     |                      |
| 2000 |     | Vrac     | Fer             | 1  | 1   | 1,2       | L : 17,5 ; L ss tête : 14,5 ; S° : 3 | Mobilier / Immobilier | Divers polyvalent                     |                              | Clou              | Clou sans pointe à tige de section carrée et tête irrégulière.   |               | Lacunaire     |                      |
| 3000 | 14  | Isolat   | Étain + plomb ? | 2  | 1   | 2,8       | D : 19 ; S : 2                       | Inclassable           | Divers polyvalent                     |                              | Anneaux           | 2 anneaux fermés de section circulaire soudés l'un à l'autre par deux petits points de soudure. surface grise brillante après sablage. Il s'agit possiblement d'une bague.               | MOD ?         | Complet       |                      |
| 3000 | 18  | Isolat   | AC              | 1  | 1   | 1,6       | L : 49                               | Personnel             | Parure                                | Fibule                       | Fibule            | Fibule pseudo LTC. Arc tendu à profil en archet de violon de section circulaire avec pied en retour sur l'arc maintenu par une bague. Une seule spire encore présente. Ardillon disparu. |               | Quasi complet |                      |
| 3000 | 3   | Isolat   | AC              | 1  | 1   | 2,2       | L cons : 18                          | Personnel             | Parure                                | Fibule                       | Fibule            | Fibule à charnière, arc rectangulaire, arc cassé, pied et ardillon disparus  | (15)20/60(80) | Lacunaire     |                      |

ANNEXE 10- INVENTAIRE DU MOBILIER MÉTALLIQUE ET DU «PETIT MOBILIER» (2022)

| UF   | Iso | Type iso | Matériau    | NR | NMI | Masse (g) | Dimensions (mm)                | Domaine     | Catégorie                     | Sous-catégorie                  | Identification            | Description  | dat. Absolue | Stab./restau | Etat de conservation |
|------|-----|----------|-------------|----|-----|-----------|--------------------------------|-------------|-------------------------------|---------------------------------|---------------------------|--|--------------|--------------|----------------------|
| 3000 | 1   | Isolat   | AC          | 1  | 1   | 1,4       | L : cons : 14                  | Personnel   | Parure                        | Fibule                          | Fibule                    | Fibule à charnière, arc rectangulaire à profil à angle droit au niveau de la tête; arc cassé, pied et ardillon disparus.   | 30/100       |              | Lacunaire            |
| 3000 | 16  | Isolat   | AC          | 1  | 1   | 2,7       | D : 20                         | Personnel   | Parure                        | Fibule                          | Fibule                    | Fibule à charnière réduite sous l'arc. Arc en forme de disque décoré par des lignes incisées sur tout le pourtour avec un décor central disparu (décor estampé ou étamé), orné sur son pourtour d'une guirlande de feuille. Ardillon disparu         | 30/70(100)   |              | Quasi complet        |
| 3000 | 9   | Isolat   | AC          | 1  | 1   | 2,8       | L cons : 16 ; D : 14,5         | Mobilier    | Ameublement                   |                                 | Clou de serrure           |  | ANT          |              | Quasi complet        |
| 3000 | 5   | Isolat   | AC          | 1  | 1   | 5,2       | L : 55 ; l : 27 ; E : 1        | Inclassable | Indéterminé                   | Indéterminé tôle                | Tôle                      | Tôle plus ou moins rectangulaire sans aucun bord droit, repliée sur une des extrémités courte.   |              |              | Lacunaire            |
| 3000 | 7   | Isolat   | AC          | 1  | 1   | 1,9       | D : 5 ; S° : 4                 | Personnel   | Parure                        | Parure annulaire                | Perte                     | Perte annulaire de section circulaire.   |              |              | Complet              |
| 3000 | 8   | Isolat   | AC          | 1  | 1   | 0,9       | L : 35 ; l : 9 ; E : 1         | Personnel   | Parure                        | Vêtement                        | Accessoire vestimentaire? | Fragment de tôle rectangulaire pliée en deux, terminé à une extrémité par une tête d'oiseau ou de reptile et cassé à l'autre. La finesse de la tôle et l'étamage sur ses surface laisse penser qu'il s'agit un objet lié à la parure ou au vêtement. |              |              | Lacunaire            |
| 3000 | 11  | Isolat   | Plomb       | 1  | 1   | 11,1      | L : 27 ; l : 20 ; E : 2        | Inclassable | Indéterminé                   | Indéterminé tôle                | Tôle                      | Tôle de plomb repliée plusieurs fois sur elle même   |              |              | Lacunaire            |
| 3000 | 12  | Isolat   | Plomb       | 1  | 1   | 23,7      | L : 37 ; l : 21 ; E : 7        | Production  | Artisanat des métaux fusibles | Déchet lié au travail du plomb  | Cou lure                  | Cou lure de plomb  |              |              | Complet              |
| 3000 | 13  | Isolat   | AC          | 1  | 1   | 1,7       | D : 30 ; E : 0,5               | Inclassable | Divers polyvalent             |                                 | Rondelle                  | Plaque circulaire percée d'un trou central, aux bords très endommagés.   |              |              | Quasi complet        |
| 3000 | 17  | Isolat   | AC          | 1  | 1   | 5,9       | D : 10, S° : 5                 | Personnel   | Parure                        | Parure annulaire                | Anneau                    | Anneau/perle fermé de section irrégulière de sub circulaire à ogivale.   |              |              | Complet              |
| 3000 | 20  | Isolat   | Terre cuite | 1  | 1   | 30,4      | D total : 42,5 D : 5 ; S° : 33 | Production  | Artisanat du textile          | Outil lié au travail du textile | Fusaiole                  | Fusaiole à profil plano convexe. Brûlée.   |              |              | Complet              |

ANNEXE 10 - INVENTAIRE DU MOBILIER MÉTALLIQUE ET DU «PETIT MOBILIER» (2022)

| UF   | Iso | Type iso         | Matériau | NR | NMI | Masse (g) | Dimensions (mm)                  | Domaine               | Catégorie         | Sous-catégorie               | Identification | Description   | dat. Absolue | Stab./restau  | Etat de conservation |
|------|-----|------------------|----------|----|-----|-----------|----------------------------------|-----------------------|-------------------|------------------------------|----------------|---|--------------|---------------|----------------------|
| 3000 | 21  | Iso post-fouille | Fer      | 1  | 1   | 9,9       | L : 44 ; S° : 7                  | Inclassable           | Divers polyvalent |                              | Piton          | Piton de section carrée replié au niveau de la tête.  |              | Stab          | Lacunaire            |
| 3000 |     | Vrac             | Fer      | 2  | 1   | 18,2      | L : 131 ; S° : 7x5               | Production            | Artisanat du fer  | Chute liée au travail du fer | Barre          | Barre de section rectangulaire en cours de martelage . Les deux frag-ments ne recollent pas.  | Stab         | Lacunaire     |                      |
| 3000 |     | Vrac             | Fer      | 1  | 1   | 6,4       | L : 42,5 ; S° : 7,5x7            | Production            | Artisanat du fer  | Chute liée au travail du fer | Barre          | Barre de section carrée avec une extrémités cassées. L'autre s'affine.  |              | Lacunaire     |                      |
| 3000 |     | Vrac             | Fer      | 2  | 1   | 29,1      | L : 105 ; S° : 10x9              | Inclassable           | Divers polyvalent |                              | Crampon        | 2 fragments de barre de section quadrangulaire qui recollent. La barre est coudée.  | Stab         | Lacunaire     |                      |
| 3000 |     | Vrac             | Fer      | 1  | 1   | 10,2      | L : 57 ; L ss tête : 55 ; S° : 6 | Mobilier / Immobilier | Divers polyvalent |                              | Clou           | Clou sans pointe à tige de section quadrangulaire et à tête rectangulaire.  |              | Quasi complet |                      |
| 3000 |     | Vrac             | Fer      | 1  | 1   | 20        | L cons 32 ; S° : 10,5x9          | Immobilier            | Gros-oeuvre       |                              | Clou           | Clou sans pointe à tige de section et tête quadrangulaire. La tige est cassée.  |              | Quasi complet |                      |
| 3000 |     | Vrac             | Fer      | 1  | 1   | 19,1      | L : 48                           | Inclassable           | Divers polyvalent |                              | Ferrure        | Tôle épaisse, incurvée, avec une perforation et un bord droit. La tête du clou devait être enchâssée dans la tôle. La section de la perforation est de 3mm. |              | Lacunaire     |                      |
| 3000 |     | Vrac             | Fer      | 1  | 1   | 2,5       | L : 25 ; l : 12                  | Inclassable           | Indéterminé       | Indéterminé tôle             | Tôle           | Fragment de tôle triangulaire.  |              | Lacunaire     |                      |
| 3000 |     | Vrac             | Fer      | 1  | 1   | 69        |                                  | Production            | Artisanat du fer  | Déchet lié au travail du fer | Scorie         | Fragment de culot SFR   |              |               |                      |
| 3001 | 1   | Isolat           | AC       | 1  | 1   | 4,3       | L : 74                           | Personnel             | Parure            | Fibule                       | Fibule         | Ardillon et ressort d'une fibule simple gauloise. Présence de l'ardillon et de 3 spires   | -30/+30(+60) | Lacunaire     |                      |
| 3003 | 12  | Isolat           | AC       | 1  | 1   | 2,8       | L cons: 35                       | Personnel             | Parure            | Fibule                       | Fibule         | Fibule pseudo LTC. Arc de section circulaire à profil en archet de violon. Ressort à 2 fois 2 spires et corde interne. Le pied est cassé.                   | 10/80        | Lacunaire     |                      |

ANNEXE 10- INVENTAIRE DU MOBILIER MÉTALLIQUE ET DU «PETIT MOBILIER» (2022)

| UF   | Iso | Type iso | Matériau         | NR | NMI | Masse (g) | Dimensions (mm)                                  | Domaine                  | Catégorie         | Sous-catégorie    | Identification    | Description  | dat. Absolue  | Stab./restau | Etat de conservation |
|------|-----|----------|------------------|----|-----|-----------|--|--------------------------|-------------------|-------------------|-------------------|--|---------------|--------------|----------------------|
| 3003 | 2   | Isolat   | AC               | 1  | 1   | 1         | L cons : 19                                      | Personnel                | Parure            | Fibule            | Fibule            | Arc de fibule, étamé, trapézoïdal décoré de deux incisions longitudinales.   | (15)20/60(80) |              | Lacunaire            |
| 3003 | 4   | Isolat   | Verre/<br>Fritte | 1  | 1   | 1,4       | D : 7,5 ;<br>E : 5                               | Personnel                | Parure            | Parure annulaire  | Perle             | Demie perle côtelée en «melon» en fritte bleu-vert clair. Cassée au niveau du joint de moulure.  | 15/200        |              | Lacunaire            |
| 3003 | 15  | Isolat   | AC               | 1  | 1   | 15,4      | L : 69   | Personnel                | Parure            | Fibule            | Fibule            | Fibule à large couvre-ressort. Arc non interrompu avec une arête sur la face supérieur; couvre ressort décoré d'une incision transversale à chaque extrémité; porte-ardillon fenestré              | 15/70         |              | Complet              |
| 3003 | 14  | Isolat   | Verre            | 1  | 1   | 0,3       | L : 14 ; D<br>ext : 4                            | Personnel                | Parure            | Parure annulaire  | Perle             | Perle cylindrique de section hexagonale en verre vert.   | I-IVe s.      |              | Complet              |
| 3003 | 6   | Isolat   | Ambre            | 1  | 1   | 1,2       | L : 18 ;<br>E : 6                                | Personnel                | Parure            | Parure annulaire  | Perle             | Perle plano convexe à perforation axiale latérale.   | ANT           |              | Quasi complet        |
| 3003 | 1   | Isolat   | AC               | 1  | 1   | 1,2       | L : 7 ; D<br>tête 24                             | Personnel                | Parure            | Vêtement          | Applique          | Applique décorative à tête circulaire plate. La tête est repliée sur elle même.  |               |              | Quasi complet        |
| 3003 | 3   | Isolat   | Fer              | 1  | 1   | 1,2       | L cons : 33                                      | Personnel                | Parure            | Fibule            | Fibule            | Fragment d'arc à profil en archet de violon de section quadrangulaire interrompu par une protubérance au centre et prolongé ensuite par un arc de section plate. Fibule à pied attaché sur l'arc ? |               |              | Lacunaire            |
| 3003 | 7   | Isolat   | Fer              | 1  | 1   | 4         | L : 51 ; S°<br>: 4,5                             | Mobilier /<br>Immobilier | Divers polyvalent |                   | Clou              | Clou à tige de section carrée sans tête.   |               |              | Lacunaire            |
| 3003 | 8   | Isolat   | AC +<br>Fer      | 1  | 1   | 1,6       | L : 15 ; L ss<br>tête : 14 ; D<br>: 10           | Mobilier                 | Ameublement       |                   | Clou              | Clou décoratif à tête circulaire plate. La tige est en fer pour être fichée dans du bois. Probable clou de coffret.  |               |              | Quasi complet        |
| 3003 | 9   | Isolat   | AC               | 1  | 1   | 6,2       | D : 17 ; S°<br>: 5                               | Personnel                | Parure            | Parure annulaire  | Anneau            | Quart d'anneau de section ovale.   |               |              | Lacunaire            |
| 3003 | 11  | Isolat   | Fer              | 1  | 1   | 21,8      | Tête l :<br>30x24 ; E<br>: 4 ; L ss<br>tête : 52 | Inclassable              | Indéterminé       | Objet indéterminé | Objet indéterminé | Objet avec une tige de section quadrangulaire repliée en forme de crochet qui été très certainement fiché dans du bois, la tête est rectangulaire et cassée.                                       | Stab          | Lacunaire    |                      |



| UF   | Iso | Type Iso         | Matériau | NR | NMI | Masse (g) | Dimensions (mm)                                    | Domaine               | Catégorie         | Sous-catégorie               | Identification    | Description   | dat. Absolue | Stab./restau | Etat de conservation |
|------|-----|------------------|----------|----|-----|-----------|--|-----------------------|-------------------|------------------------------|-------------------|---|--------------|--------------|----------------------|
| 3003 | 16  | Iso post-fouille | Fer      | 1  | 1   | 15,2      | L : 99   | Inclassable           | Indéterminé       | Objet indéterminé            | Objet indéterminé | Piton ? Tige de quadrangulaire repliée en U. L'une des extrémités est épointée (finie ?), l'autre est cassée. |              | Stab         | Lacunaire            |
| 3003 | 17  | Iso post-fouille | Fer      | 1  | 1   | 8,6       | L : 67   | Production            | Artisanat du fer  | Chute liée au travail du fer | Barre             | Barre courbe de section quadrangulaire (5mm) pour moitié et incurvée pour l'autre (8x5mm).                    |              | Stab         | Lacunaire            |
| 3003 | 18  | Vrac             | Fer      | 1  | 1   | 7,3       | L : 48 ; L ss tête : 41 S° : 6x4                   | Mobilier              | Ameublement       |                              | Clou              | Clou sans pointe de section rectangulaire et tête en 8. Le clou est coudé à 28mm.                             |              |              | Complet              |
| 3003 | 19  | Vrac             | Fer      | 1  | 1   | 3,7       | L : 32 ; L ss tête : 30 ; S° : 5                   | Mobilier / Immobilier | Divers polyvalent |                              | Clou              | Clou sans pointe dont la tige forme un double coude. Possible usage comme piton.                              |              |              | Lacunaire            |
| 3003 |     | Vrac             | Fer      | 1  | 1   | 2,4       | L : 25 ; S° : 6x4                                  | Production            | Artisanat du fer  | Chute liée au travail du fer | Barre             | Barre de section rectangulaire cassée à une extrémités.   |              |              | Lacunaire            |
| 3003 |     | Vrac             | Fer      | 1  | 1   | 26,2      | L : 83 ; L ss tête 78 ; S° : 7 ; D. tête : 28      | Immobilier            | Gros-oeuvre       |                              | Clou              | Clou sans pointe à tige de section carrée et tête circulaire.   |              |              | Quasi complet        |
| 3003 |     | Vrac             | Fer      | 1  | 1   | 18,1      | L : 83 ; L ss tête : 79 ; S° : 8 ; D. tête : 18x16 | Immobilier            | Huisserie         |                              | Clou              | Clou sans pointe à tige de section carrée et tête ovale. La tige est coudée à 35 mm.                          |              |              | Quasi complet        |
| 3003 |     | Vrac             | Fer      | 2  | 1   | 5,4       | L : 45 ; L ss tête : 40 ; S° : 5                   | Mobilier / Immobilier | Divers polyvalent |                              | Clou              | Fragments d'un clou sans pointe à tige de section carrée et tête indéterminée.                                |              |              | Lacunaire            |
| 3003 |     | Vrac             | Fer      | 1  | 1   | 6,6       | L : 38 ; S ss tête : 36 S° : 5                     | Mobilier / Immobilier | Divers polyvalent |                              | Clou              | Clou à tige de section carrée et tête circulaire.   |              |              | Complet              |
| 3003 |     | Vrac             | Fer      | 1  | 1   | 3,3       | L : 34 ; L ss tête : 32 ; S° : 5                   | Mobilier / Immobilier | Divers polyvalent |                              | Clou              | Clou sans pointe à tige de section carrée et tête ovale.  |              |              | Quasi complet        |
| 3003 |     | Vrac             | Fer      | 1  | 1   | 2,4       | L : 34 ; L ss tête : 31 ; S° : 4                   | Mobilier / Immobilier | Divers polyvalent |                              | Clou              | Clou sans pointe à tige de section carrée.  |              |              | Quasi complet        |

| UF   | Iso | Type iso | Matériau | NR | NMI | Masse (g) | Dimensions (mm)                          | Domaine                  | Catégorie          | Sous-catégorie               | Identification     | Description  | dat. Absolue | Stab./restau | Etat de conservation |
|------|-----|----------|----------|----|-----|-----------|--|--------------------------|--------------------|------------------------------|--------------------|--|--------------|--------------|----------------------|
| 3003 |     | Vrac     | Fer      | 1  | 1   | 11,5      | L : 29 ; l : ss<br>tête : 25 ;<br>S° : 6 | Mobilier /<br>Immobilier | Divers polyvalent  |                              | Clou               | Clou sans pointe à tige de section carrée et tête ovale.   |              |              | Quasi complet        |
| 3003 |     | Vrac     | Fer      | 1  | 1   | 2,6       | L : 25 ; L ss<br>tête : 21 ;<br>S° : 5   | Mobilier /<br>Immobilier | Divers polyvalent  |                              | Clou               | Clou sans pointe à tige de section carrée et tête ovale.   |              |              | Quasi complet        |
| 3003 |     | Vrac     | Fer      | 1  | 1   | 2,1       | L : 24 ; L ss<br>tête 19 ;<br>S° : 4     | Mobilier /<br>Immobilier | Divers polyvalent  |                              | Clou               | Clou sans pointe à tige de section carrée et tête indéterminée.  |              |              | Complet              |
| 3003 |     | Vrac     | Fer      | 12 | 12  | 26,3      | S° : 3/4                                 | Inclassable              | Indéterminé        | Indéterminé tige             | Tige               | Lot de tiges de petite section.  |              |              | Lacunaire            |
| 3003 |     | Vrac     | Fer      | 1  | 2   | 2         | L : 37 ; S° : 5                          | Mobilier /<br>Immobilier | Divers polyvalent  |                              | Clou               | Clou sans tête et sans pointe, à tige de section carrée.   |              |              | Quasi complet        |
| 3003 |     | Vrac     | Fer      | 5  | 5   | 63,9      | S° : 5/8                                 | Inclassable              | Indéterminé        | Indéterminé tige             | Tige               | Lot de tiges de grosse section.  |              |              | Lacunaire            |
| 3003 |     | Vrac     | Fer      | 1  | 1   | 7,5       | L : 33 ; S° : 6                          | Mobilier /<br>Immobilier | Divers polyvalent  |                              | Clou               | Clou sans pointe à tige de section carrée et tête circulaire.  |              |              | Quasi complet        |
| 3003 |     | Vrac     | Fer      | 2  | 1   | 8         |  | Production               | Artisanat du fer   | Déchet lié au travail du fer | Scorie             | fragment de scorie SFR   |              |              |                      |
| 3005 | 1   | Isolat   | Fer      | 1  | 1   | 26,2      | L : 96 ; S° : 10x6                       | Inclassable              | Divers polyvalent  |                              | Piton              | Piton à tête enroulée.   |              |              | Complet              |
| 3005 |     | Vrac     | Fer      | 1  | 1   | 395       |  | Production               | Artisanat du fer   | Déchet lié au travail du fer | Scorie             | Culot conservé à 50%, type SGD 1, trace de sole, forme circulaire et concave   |              |              |                      |
| 3007 | 1   | Isolat   | AC       | 1  | 1   | 1,3       | L cons : 40                              | Personnel                | Parure             | Fibule                       | Artillon de fibule | Artillon de fibule   | ANT          |              | Lacunaire            |
| 3009 | 1   | Isolat   | Os       | 1  | 1   | 2         | L : 83 ; S° : 5x4                        | Production               | Artisanat des MDOA | fabricat os                  | Fabricat d'épingle | Épingle qui semble en cours de fabrication, la tige n'est pas droite mais légèrement incurvée, la section est irrégulière, sub ovulaire, la tête à une forme de palette grossière. |              |              | Complet              |
| 3009 |     | Vrac     | Fer      | 1  | 1   | 4         |  | Production               | Artisanat du fer   | Déchet lié au travail du fer | Scorie             | Fragment de scorie SFR   |              |              |                      |

| UF   | Iso | Type iso         | Matériau    | NR | NMI | Masse (g) | Dimensions (mm)                     | Domaine               | Catégorie         | Sous-catégorie               | Identification | Description  | dat. Absolue   | Stab./restau | Etat de conservation |               |           |
|------|-----|------------------|-------------|----|-----|-----------|-------------------------------------|-----------------------|-------------------|------------------------------|----------------|--|--|--------------|----------------------|---------------|-----------|
| 3011 |     | Vrac             | Fer         | 1  | 1   | 17        |                                     | Production            | Artisanat du fer  | Déchet lié au travail du fer | Scorie         | fragment de Paroie   |  |              |                      |               |           |
| 3012 | 1   | Iso post-fouille | Fer         | 1  | 1   | 2,2       | L cons : 26                         | Production            | Artisanat du fer  | Chute liée au travail du fer | Barre          | Barre de section rectangulaire. Une extrémité est biseauté. Barre en cours de travail.   | Stab   |              | Lacunaire            |               |           |
| 3012 |     | Vrac             | Fer         | 1  | 1   | 8,4       | L cons : 44 ; S° : 6                | Inclassable           | Indéterminé       | Indéterminé tige             | Tige           | Tige de section quadrangulaire.  |  |              |                      | Lacunaire     |           |
| 3012 |     | Vrac             | Fer         | 1  | 1   | 25        |                                     | Production            | Artisanat         | Déchet lié au travail du fer | Scorie         | Fragment de culot SFR  |  |              |                      |               |           |
| 3012 |     | Vrac             | Fer         | 1  | 1   | 24        |                                     | Production            | Artisanat         | Déchet lié au travail du fer | Scorie         | Fragment de culot SFR  |  |              |                      |               |           |
| 3012 |     | Vrac             | Fer         | 2  | 2   | 14        |                                     | Production            | Artisanat         | Déchet lié au travail du fer | Scorie         | Fragment de scorie SAS   |  |              |                      |               |           |
| 3013 |     | Vrac             | Fer         | 1  | 1   | 7,2       | L : 29,5 ; L ss tête : 25 ; S : 9x7 | Immobilier            | Gros-oeuvre       |                              |                | Clou   | Clou à tige de section et à tête quadrangulaires. La tête est légèrement cassée. |              |                      |               | Lacunaire |
| 3013 |     | Vrac             | Fer         | 1  | 1   | 5,5       | L : 46 ; L ss tête : 44 ; S° : 6x5  | Mobilier / Immobilier | Divers polyvalent |                              | Clou           | Clou sans pointe à tige de section et à tête quadrangulaires.  |  |              |                      | Quasi complet |           |
| 3015 |     | Vrac             | Fer         | 1  | 1   | 7         | L : 28 ; L ss tête : 27 ; S° 6      | Mobilier / Immobilier | Divers polyvalent |                              | Clou           | Clou sans pointe à tête losangique.  |  |              |                      | Quasi complet |           |
| 3015 |     | Vrac             | Fer         | 1  | 1   | 9,7       | L : 59,5 ; S° : 7x6,5               | Inclassable           | Indéterminé       | Indéterminé tige             | Tige           | Tige de section quadrangulaire.  |  |              |                      | Lacunaire     |           |
| 3017 | 1   | Isolat           | Roche noire | 1  | 1   | 6,7       | D : 8 ; S° : 10x7                   | Personnel             | Parure            | Parure annulaire             | Perle          | Perle annulaire de section biconvexe avec une ouverture très faible. Traces d'oxyde de fer sur toute l'ouverture et le pourtour. |  |              |                      | Complet       |           |
| 3017 | 2   | Iso post-fouille | Fer         | 1  | 1   | 19,3      | L:19,4                              | Production            | Artisanat du fer  | Chute liée au travail du fer | Barre          | Barre de section quadrangulaire. La barre est très légèrement coudée. L'une des extrémités est biseauté.                         | Stab   |              |                      | Lacunaire     |           |

| UF   | ISO | Type ISO         | Matériau | NR | NMI | Masse (g) | Dimensions (mm)  | Domaine                 | Catégorie                          | Sous-catégorie                 | Identification     | Description   | dat. Absolue         | Stab./restau | Etat de conservation |
|------|-----|------------------|----------|----|-----|-----------|--|-------------------------|------------------------------------|--------------------------------|--------------------|---|----------------------|--------------|----------------------|
| 3023 | 10  | Isolat           | Fer      | 1  | 1   | 43,3      | L cons : 74 ;<br>lame : 34 ;<br>E : 4                        | Production              | Artisanat                          | Outil lié au travail du bois ? | Hache              | Hache à douille de section circulaire (?) qui semble formée par des ailettes rabattues. Le tranchant est peu évasé. Petite dimension, ce qui signifie qu'elle a été utilisée pour des travaux de grandes précision. | TENE/ANT             | Stab         | Lacunaire            |
| 3023 | 21  | iso post-fouille | Fer      | 1  | 0   | 1,1       | L : 60   | Personnel               | Parure                             | Fibule                         | Ardillon de fibule | Ardillon de fibule à ressort.   | TENE/ANT             |              | Lacunaire            |
| 3023 | 20  | iso post-fouille | Fer      | 1  | 1   | 2,1       | L cons : 23  | Personnel               | Parure                             | Fibule                         | Fibule             | Knickfibel. Fibule filiforme de section circulaire, arc plié à angle droit au niveau de la tête et ornée d'une perle. Ressort à 2x2 spires (2 disparues) et corde interne. Pied et ardillon manquants.              | LTD2a                |              | Lacunaire            |
| 3023 | 3   | Isolat           | Fer      | 1  | 1   | 6,2       | L : 51   | Personnel               | Parure                             | Fibule                         | Fibule             | Fibule à charnière en fer à arc tendu de section quadrangulaire, pied triangulaire ajouré, ardillon manquant.   | 1ere moitié<br>1ers. | Stab         | Quasi complet        |
| 3023 | 2   | Isolat           | Fer      | 1  | 1   | 4         | L : 57 ; L :<br>soie : 39,5 ;<br>lame : 8                    |                         | Spirituel                          | Objet à caractère religieux    | Couteau miniature  | Couteau miniature à soie de section quadrangulaire terminé par un pommeau biconique. Le dos et le fil sont droits, la pointe est cassée.  | Fin 1er av/1er ap    | Stab         | Quasi complet        |
| 3023 | 19  | Isolat           | AC       | 1  | 1   | 0,7       | L cons : 26  | Personnel               | Parure                             | Fibule                         | Ardillon de fibule | Fragment d'ardillon de fibule   | ANT                  |              | Lacunaire            |
| 3023 | 4   | Isolat           | AC       | 1  | 1   | 3,3       | D : 3,5 ;<br>S° : 5  | Personnel               | Parure                             | Parure annulaire               | Perle              | Perle annulaire de section sub-circulaire.  |                      |              | Complet              |
| 3023 | 6   | Isolat           | Fer      | 1  | 1   | 9,6       | L : 42 ; l :<br>35 ; E : 2                                   | Inclassable             | Indéterminé                        | Indéterminé plaque             | Plaque             | Plaque informe.   |                      |              | Lacunaire            |
| 3023 | 7   | Isolat           | Fer      | 2  | 1   | 24,4      | L cons : 114, L<br>tranchant : 25 ;<br>E : 2 ; S° soie : 7x4 | Domestique / Production | Activité culinaire ou de boucherie | Couteau                        | Couteau            | Couteau à soie; fil et dos droit ; le tranchant est cassé ; soie de section rectangulaire.  |                      |              | Lacunaire            |
| 3023 | 8   | Isolat           | Fer      | 2  | 1   | 20,6      | L : 51 ; l :<br>36 ; E : 3                                   | Militaire               | Armement ?                         | Armement offensif              | Épée ?             |   |                      | Stab         | Lacunaire            |

ANNEXE 10 - INVENTAIRE DU MOBILIER MÉTALLIQUE ET DU «PETIT MOBILIER» (2022)

| UF   | ISO | Type ISO        | Matériau | NR | NMI | Masse (g) | Dimensions (mm)                                | Domaine     | Catégorie            | Sous-catégorie                  | Identification     | Description  | dat. Absolue | Stab./restau | Etat de conservation |
|------|-----|-----------------|----------|----|-----|-----------|--|-------------|----------------------|---------------------------------|--------------------|--|--------------|--------------|----------------------|
| 3023 | 9   | Isolat          | AC       | 7  | 1   | 2,6       | L : 30 ; D jonc : 7 ; E : 1                    | Personnel   | Parure               | Parure annulaire                | Bracelet ?         | Possible fragments de bracelet à jonc creux.   |              | Restau       | Lacunaire            |
| 3023 | 11  | Isolat          | AC       | 1  | 1   | 0,8       | L : 15 ; l 11 ; E : 2                          | Inclassable | Indéterminé          | Indéterminé tôle                | Tôle               | Petit fragment de tôle informe brûlé.  |              |              | Lacunaire            |
| 3023 | 12  | Isolat          | Fer      | 1  | 1   | 39        | L : 140 ; S° : 10x10                           | Production  | Artisanat du fer     | Chute liée au travail du fer    | Barre              | Barre de section carré coudée à angle droit. Cassée à l'une des extrémités, légèrement arrondie à l'autre.   |              |              | Lacunaire            |
| 3023 | 13  | Isolat          | Fer      | 1  | 1   | 12,1      | L : 87 ; S° : 6x6                              | Production  | Artisanat du fer     | Chute liée au travail du fer    | Barre              | Barre de section irrégulière, de triangulaire et quadrangulaire, cassée à une extrémité.   |              |              | Lacunaire            |
| 3023 | 14  | Isolat          | AC       | 1  | 1   | 3,8       | L : 90 ; l : 25 ; E : 1                        | Inclassable | Indéterminé          | Indéterminé tôle                | Tôle               | Bande de tôle avec un bord droit, les 3 autres cassés, les deux extrémités courtes sont repliées vers l'intérieur ; on distingue deux petites protubérances sur la tôle. Fragment de vaisselle, décor de coffre ou ex-voto ? |              |              | Lacunaire            |
| 3023 | 15  | Isolat          | AC       | 2  | 1   | 2         | L : 12 ; l : 10 ; E : 1                        | Inclassable | Indéterminé          | Indéterminé tôle                | Tôle               | Fragment de tôle informe, brûlé.   |              |              | Lacunaire            |
| 3023 | 16  | Isolat          | AC       | 1  | 1   | 12,2      | D : 24 ; S° : 4,5                              | Inclassable | Divers polyvalent    |                                 | Anneau             |  |              | Stab         | Complet              |
| 3023 | 17  | Isolat          | Fer      | 1  | 1   | 21,6      | L : 44 ; l : 15 ; E : 10                       |             | Divers polyvalent    |                                 | Mailon de chaîne ? |  |              | Stab         | Lacunaire            |
| 3023 | 18  | Isolat          | Fer      | 3  | 1   | 92,7      | L : 217 ; S° tranchant : 27x2 ; S° soie : 12x4 |             | Artisanat du textile | Outil lié au travail du textile | Lame de forces     | Lame de force de forme triangulaire prolongée par une tige d'axe perpendiculaire de section quadrangulaire, cassée.  |              | Stab         | Quasi complet        |
| 3023 | 22  | Isopost-fouille | Fer      | 1  | 1   | 2,6       | L : 47 ; S° : 5x5                              | Production  | Artisanat du fer     | Chute liée au travail du fer    | Tige               | Tige en court de martelage qui présente une section carrée avec une extrémité assez à ou le métal été maintenu et l'autre plus épaisse. Les deux extrémités ont cassées.   |              |              | Lacunaire            |

| UF   | Iso | Type iso         | Matériau | NR | NMI | Masse (g) | Dimensions (mm)          | Domaine     | Catégorie         | Sous-catégorie               | Identification        | Description  | dat. Absolue | Stab./restau | Etat de conservation |
|------|-----|------------------|----------|----|-----|-----------|--------------------------|-------------|-------------------|------------------------------|-----------------------|--|--------------|--------------|----------------------|
| 3023 | 23  | Iso post-fouille | Fer      | 1  | 1   | 14,8      | L : cons : 82 ; S° : 9x8 | Inclassable | Indéterminé       | Objet indéterminé            | Objet indéterminé     | Anneau articulé ? Tige de section carrée qui s'aplatit à l'une de ses extrémités qui semble finie. L'autre extrémité change d'orientation, est plate et semble traversée par un rivet.                 |              | Stab         | Lacunaire            |
| 3023 | 24  | Iso post-fouille | Fer      | 1  | 1   | 16,7      | L : 57 ; S° : 13x5       | Production  | Artisanat du fer  | Fabrique fer                 | Fabrique de charnière | Barre de section rectangulaire sans perforation avec départ d'une charnière à une extrémité et cassée à l'autre. Partie mâle d'une charnière en cours de fabrication ?                                 | Stab         |              | Lacunaire            |
| 3023 |     | Vrac             | Fer      | 1  | 1   | 4,8       | L : 39 ; S° : 8x4        | Production  | Artisanat du fer  | Chute liée au travail du fer | Barre                 | Barre de section quadrangulaire coupée à une extrémité et arrondie à l'autre. La barre est légèrement coudée   |              |              | Lacunaire            |
| 3023 |     | Vrac             | Fer      | 1  | 1   | 22,7      | L : 116 ; l : 14 ; E : 4 | Production  | Artisanat du fer  | Chute liée au travail du fer | Barre                 | Barre plate cassée aux deux extrémités probablement en cours de martelage. Sur l'une des faces on perçoit une arête localisée au centre de la barre mais qui ne se prolonge pas sur toute la longueur. |              |              | Lacunaire            |
| 3023 |     | Vrac             | Fer      | 1  | 0   | 6,6       | L : 52 ; L : 12 ; 3      | Production  | Artisanat du fer  | Chute liée au travail du fer | Barre                 | Barre plate cassée aux deux extrémités.  |              |              | Lacunaire            |
| 3023 |     | Vrac             | Fer      | 1  | 1   | 2,3       | L : 33 ; S° : 8x4        | Production  | Artisanat du fer  | Chute liée au travail du fer | Barre                 | Barre de section quadrangulaire coupée à une extrémité et arrondie à l'autre.  |              |              | Lacunaire            |
| 3023 |     | Vrac             | Fer      | 1  | 1   | 6,9       | L : 50 ; S° : 9x5        | Production  | Artisanat du fer  | Chute liée au travail du fer | Barre                 | Barre de section quadrangulaire coupée à une extrémité et arrondie à l'autre.  |              |              | Lacunaire            |
| 3023 |     | Vrac             | Fer      | 1  | 1   | 27,3      | L : 113                  | Production  | Artisanat du fer  | Chute liée au travail du fer | Barre                 | Barre de section quadrangulaire cassée à l'une des extrémités.   | Stab         |              | Lacunaire            |
| 3023 |     | Vrac             | Fer      | 1  | 1   | 10        | L : 85 ; l : 10 ; E : 3  |             | Divers polyvalent |                              | Barre de renfort      | Barre de section plate coudée à angle droit.   |              |              | Lacunaire            |
| 3023 |     | Vrac             | Fer      | 3  | 1   | 6,8       | L : 61 ; l : 26 ; E : 3  |             | Divers polyvalent |                              | Plaque                | 3 fragments de plaques rectangulaires qui recollent.   | Stab         |              | Lacunaire            |

ANNEXE 10 - INVENTAIRE DU MOBILIER MÉTALLIQUE ET DU «PETIT MOBILIER» (2022)

| UF   | Iso | Type iso | Matériau | NR | NMI | Masse (g) | Dimensions (mm)                                     | Domaine     | Catégorie         | Sous-catégorie               | Identification | Description   | dat. Absolue | Stab./restau | Etat de conservation |
|------|-----|----------|----------|----|-----|-----------|---|-------------|-------------------|------------------------------|----------------|---|--------------|--------------|----------------------|
| 3023 |     | Vrac     | Fer      | 1  | 1   | 10,8      | L : 67 ; S° : 5                                     | Inclassable | Indéterminé       | Indéterminé tige             | Tige           | Tige de section carrée légèrement courbée.  |              |              | Lacunaire            |
| 3023 |     | Vrac     | Fer      | 2  | 1   | 32,6      | L : 135 ; L ss tête : 133 ; S° : 9                  | Immobilier  | Gros-oeuvre       |                              | Clou           | Clou en 2 fragments de section et tête carrée.  |              |              | Quasi complet        |
| 3023 |     | Vrac     | Fer      | 1  | 1   | 9,1       | L cons: 45 ; L ss tête : 40 ; S° : 7                | Immobilier  | Gros-oeuvre       |                              | Clou           | Clou à tige de section quadrangulaire et à tête carré. Une torsion est présente du milieu de la tige à la pointe. |              |              | Complet              |
| 3023 |     | Vrac     | Fer      | 1  | 1   | 11,6      | L cons: 35 ; L ss tête : 30 ; S° : 6,5 ; D. tête 17 | Immobilier  | Gros-oeuvre       |                              | Clou           | Clou sans pointe à tête quadrangulaire  |              |              | Quasi complet        |
| 3023 |     | Vrac     | Fer      | 2  | 1   | 30,5      | L : 142 ; L ss tête : 138 ; S° : 7                  | Immobilier  | Gros-oeuvre       |                              | Clou           | Clou en 2 fragments de section carrée et tête ovalaire. Cassure à 115 mm.   |              |              | Complet              |
| 3023 |     | Vrac     | Fer      | 1  | 1   | 17,7      | L : 70 ; S° : 6x7                                   | Inclassable | Divers polyvalent |                              | Crochet        | Tige de section rectangulaire. Massive à une extrémité (12x10 mm) et recourbée en crochet à l'autre.              |              |              | Quasi complet        |
| 3023 |     | Vrac     | Fer      | 1  | 1   | 6,6       | L : 43 ; S° : 7x6                                   | Inclassable | Indéterminé       | Indéterminé tige             | Tige           | Tige de section quadrangulaire cassée à l'une de ses extrémités, l'autre se termine en pointe.                    |              |              | Lacunaire            |
| 3023 |     | Vrac     | Fer      | 1  | 1   | 7,7       | L : 48,5 ;  | Inclassable | Indéterminé       | Indéterminé tige             | Tige           | Tige de section quadrangulaire, l'une des extrémités est cassée, l'autre est en pointe.                           |              |              | Lacunaire            |
| 3023 |     | Vrac     | Fer      | 1  | 1   | 12,3      | L : 45 ; S° : 8x7                                   | Inclassable | Indéterminé       | Indéterminé tige             | Tige           | Tige de section quadrangulaire coupé à l'une des extrémités.  |              |              | Lacunaire            |
| 3025 |     | Vrac     | Fer      | 1  | 1   | 14        |   | Production  | Artisanat         | Déchet lié au travail du fer | Scorie         | Fragment de scorie SFR  |              |              |                      |
| 3035 |     | Vrac     | FER      | 1  | 1   | 142       |   | Production  | Artisanat         | Déchet lié au travail du fer | Scorie         | Fragment de culot SAS   |              |              |                      |
| 3039 | 1   | Isolat   | AC       | 1  | 1   | 4,1       | D : 14 ; S : 3,5                                    | Personnel   | Parure            | Parure annulaire             | Anneau         | Anneau fermé de section sub losangique.   |              |              | Complet              |



ANNEXE 10- INVENTAIRE DU MOBILIER MÉTALLIQUE ET DU «PETIT MOBILIER» (2022)

| UF   | Iso | Type iso         | Matériau | NR | NMI | Masse (g) | Dimensions (mm)                      | Domaine               | Catégorie               | Sous-catégorie                  | Identification   | Description  | dat. Absolue | Stab./restau | Etat de conservation |
|------|-----|------------------|----------|----|-----|-----------|--------------------------------------|-----------------------|-------------------------|---------------------------------|------------------|--|--------------|--------------|----------------------|
| 3039 |     | Vrac             | Fer      | 1  | 1   | 10,6      | L : 55 ; L ss tête : 48,5 ; S° : 6x5 | Mobilier / Immobilier | Divers polyvalent       |                                 | Clou             | Clou à tige de section et à tête quadrangulaires. Léger épaississement sous la tête.   |              |              | Lacunaire            |
| 3039 |     | Vrac             | Fer      | 1  | 1   | 2,9       | L : 46 ; S° : 5x5                    | Inclassable           | Indéterminé             | Indéterminé tige                | Tige             | Tige de section carrée. L'une des extrémités s'épaissit et est cassée, l'autre se termine en pointe.   |              |              | Lacunaire            |
| 3045 |     | Vrac             | Fer      | 1  | 1   | 2,1       | L : 5 ; S° : 4x3                     | Inclassable           | Indéterminé             | Indéterminé tige                | Tige             | Tige de section carrée légèrement courbée .  |              |              | Lacunaire            |
| 3049 | 1   | Isolat           | Fer      | 1  | 1   | 4,2       | L cons : 41                          | Personnel             | Parure                  | Fibule                          | Fibule           | Fibule à ressort à corde interne, 2 spires encore présentes, arc tendu de section circulaire. Pied et arillon disparus. Fibule à pied attaché sur l'arc? | LTC/D        |              | Lacunaire            |
| 3049 | 2   | Iso post-fouille | Fer      | 2  | 1   | 60,7      | L : 78,5 ; S° : 17x15                | Production            | Artisanat               | Outil lié au travail du métal   | Tas              | Tas de frappe : tige à base pointue et à table rectangulaire.  |              |              | Quasi complet        |
| 3049 | 3   | Iso post-fouille | Fer      | 1  | 1   | 11,8      | L : 74 ; S° douille : 10x9           | Production            | Activité de subsistance | Chasse                          | Pointe de flèche | Pointe de flèche à douille, asymétrique, à simple barbelure.   |              | Stab         | Lacunaire            |
| 3049 |     | Vrac             | Fer      | 1  | 1   | 8,4       | L : 41 ; L ss tête : 33 ; S° : 8x6   | Immobilier            | Gros-oeuvre             |                                 | Clou             | Clou à tige de section et à tête rectangulaire. Tige légèrement courbée et cassée.   |              |              | Lacunaire            |
| 4000 | 9   | Iso post-fouille | Fer      | 1  | 1   | 7         | L cons. : 42                         | Personnel             | Parure                  | Fibule                          | Fibule           | Fibule filiforme à arc tendu de section circulaire, ressort à 2x5 (?) spires ; pied disparu ; arillon cassé.   | LTC2/D1      | Restau       | Lacunaire            |
| 4000 | 1   | Isolat           | AC       | 1  | 1   | 1,6       | L : 24 ; l : 16 ; E : 1              | Personnel             | Parure                  | Vêtement                        | Agrafe           | Agrafe de demi-ceint, carrée, décorée d'entrelacs, prolongée à une extrémité par un crochet et à l'autre par un anneau.                                  | 1500/1700    |              | Complet              |
| 4000 |     | Vrac             | AC       | 1  | 1   | 3,6       | L : 38 ; D : 11 ; E : 0              | Production            | Artisanat du textile    | Outil lié au travail du textile | Dé à coudre      | Dé à coudre martelé, fermé. Le pourtour et le sommet sont décorés de petites dépressions obtenus par emboutissage mécanique au vu de leur régularité.    | Après 1600   |              | Complet              |

ANNEXE 10 - INVENTAIRE DU MOBILIER MÉTALLIQUE ET DU «PETIT MOBILIER» (2022)

| UF   | Iso | Type iso         | Matériau | NR | NMI | Masse (g) | Dimensions (mm)           | Domaine                 | Catégorie                          | Sous-catégorie               | Identification | Description  | dat. Absolue | Stab./restau | Etat de conservation |
|------|-----|------------------|----------|----|-----|-----------|---------------------------|-------------------------|------------------------------------|------------------------------|----------------|--|--------------|--------------|----------------------|
| 4000 | 3   | Isolat           | Fer      | 1  | 1   | 76,9      | L : 177 ; l. : 35 ; Ep. 3 | Domestique / Production | Activité culinaire ou de boucherie | Couteau                      | Couteau        |  |              | Stab         | Quasi complet        |
| 4000 | 5   | Isolat           | Fer      | 1  | 1   | 23,6      | D : 45 ; S : 7            | Inclassable             | Divers polyvalent                  |                              | Anneau         | Grand anneau fermé de section sub-quadriculaire.   |              | Stab         | Complet              |
| 4000 | 8   | Isolat           | Fer      | 1  | 1   | 14,2      | L : 150 ; S° : 8x2        | Domestique              | Activité culinaire                 | Ustensile                    | Barre de grill | Barre à section rectangulaire avec une extrémité arrondie et l'autre cassée. La barre présente un profil irrégulier. Barre de grill ou possible barre en cours de martelage. |              | Oui          | Lacunaire            |
| 4000 | 2   | Isolat           | Fer      | 1  | 1   | 21,2      | L : 185, S° : 8x2         | Domestique              | Activité culinaire                 | Ustensile                    | Barre de grill | Barre à section rectangulaire avec une extrémité arrondie et l'autre cassée. La barre présente un profil irrégulier. Barre de grill ou possible barre en cours de martelage. |              |              | Lacunaire            |
| 4000 | 10  | Iso post-fouille | Fer      | 1  | 1   | 6,6       | L : 48 ; 8x3              | Production              | Artisanat du fer                   | Chute liée au travail du fer | Tige           | Tige en cours de martelage qui présente une section quadrangulaire qui s'aplatit à une extrémité là où le métal a probablement cassé.  |              |              | Lacunaire            |
| 4000 |     | Vrac             | Fer      | 1  | 1   | 11        | L : 63 ; S° : 8x6         | Production              | Artisanat du fer                   | Chute liée au travail du fer | Barre          | Barre de section quadrangulaire qui s'amincit à l'une des extrémités. Les deux extrémités sont cassées.  |              |              | Lacunaire            |
| 4000 |     | Vrac             | Fer      | 1  | 1   | 1,6       | L : 37 ; S° : 4x3         | Inclassable             | Indéterminé                        | Indéterminé tige             | Tige           | Tige de section quadrangulaire, appointée à une extrémité et cassée à l'autre.   |              |              | Lacunaire            |
| 4000 |     | Vrac             | Fer      | 1  | 1   | 7,6       | L : 85 ; S° : 6x4,5       | Immobilier              | Huisserie                          |                              | Clou           | Clou sans tête à tige de section carrée. Probablement cassé juste sous la tête. Coude à 40 mm  |              |              | Lacunaire            |
| 4000 |     | Vrac             | Fer      | 1  | 1   | 4         | L : 47 ; S° : 9x1,5       | Inclassable             | Indéterminé                        | Indéterminé tôle             | Tôle           | Tôle rectangulaire légèrement courbée. De section plate convexe. Cassée aux deux extrémités.   |              |              | Lacunaire            |
| 4000 |     | Vrac             | Fer      | 1  | 1   | 3,5       | L : 39 ; S° : 11x4        | Inclassable             | Indéterminé                        | Indéterminé tôle             | Tôle           | Tôle rectangulaire de section plate convexe cassée aux deux extrémités.  |              |              | Lacunaire            |

ANNEXE 10- INVENTAIRE DU MOBILIER MÉTALLIQUE ET DU «PETIT MOBILIER» (2022)

| UF   | Iso | Type iso | Matériau | NR | NMI | Masse (g) | Dimensions (mm)                                | Domaine    | Catégorie        | Sous-catégorie               | Identification | Description  | dat. Absolue                                    | Stab./restau | Etat de conservation |               |
|------|-----|----------|----------|----|-----|-----------|--|------------|------------------|------------------------------|----------------|--|---|--------------|----------------------|---------------|
| 4000 |     |          | Scorie   | 1  | 1   | 115       |  | Production | Artisanat du fer | Déchet lié au travail du fer | scorie         | fragment de culot de type SFR  |   |              |                      |               |
| 4000 | 4   |          | Scorie   | 1  | 1   | 214       |  | Production | Artisanat du fer | Déchet lié au travail du fer | scorie         | Culot conservé à 80%, de type SFR, Trace de sole, forme ovale et bombée  |   |              |                      |               |
| 4000 | 7   |          | Scorie   | 3  | 1   | 156       |  | Production | Artisanat du fer | Déchet lié au travail du fer | scorie         | Culot conservé à 20%, de type SGD 1, trace de sole, forme plano-convexe étalé.   |   |              |                      |               |
| 4001 | 2   |          | AC       | 1  | 1   | 4,4       | L : 80 ; S : 3 ; E : 4                         | Personnel  | Parure           | Parure annulaire             | Bracelet       | Extrémité d'un bracelet à jonc plein de section ovale et terminé par un bourrelet. Probablement bracelet à extrémités chevauchantes. | LTC2/D1   |              | Lacunaire            |               |
| 4001 | 1   | Isolat   | AC       | 1  | 1   | 1,2       | L : 38   | Personnel  | Parure           | Fibule                       | Fibule         | Fibule de Nauheim. Ressort 2x2 spires et corde interne, et ardilhon. Arc et pied manquants.  | LTD1b   |              | Lacunaire            |               |
| 4001 |     | Vrac     | Fer      | 1  | 1   | 9,3       | L : 70 ; S° : 7x5                              | Production | Artisanat du fer | Chute liée au travail du fer | Barre          | Barre de section rectangulaire cassée aux deux extrémités et également ployée à l'une des extrémités                                 |   |              | Lacunaire            |               |
| 4001 |     | Vrac     | Fer      | 1  | 1   | 13,7      | L : 52 ; L ss tête : 45 ; S° : 8 ; D tête : 19 | Immobilier | Gros-oeuvre      |                              | Clou           | Clou   | Clou à tige de section carrée et à tête carrée. |              |                      | Quasi complet |
| 4001 |     | Vrac     | Fer      | 1  | 1   | 15,1      | L : 56 ; L ss tête : 48 ; S° : 8 ; D tête : 20 | Immobilier | Gros-oeuvre      |                              | Clou           | Clou   | Clou à tige de section carrée et à tête carrée. |              |                      | Quasi complet |
| 4001 |     |          | Scorie   | 1  | 1   | 179       |  | Production | Artisanat du fer | Déchet lié au travail du fer | scorie         | Culot multiple conservé à 90%, de type SGD et SAS, trace de sole, forme circulaire et concave, avec un reste de parois               |   |              |                      |               |
| 4001 |     |          | Scorie   | 7  | 3   | 236       |  | Production | Artisanat du fer | Déchet lié au travail du fer | scorie         | Fragment de scorie SFR   |   |              |                      |               |

| UF   | Iso | Type iso         | Matériau    | NR | NMI | Masse (g) | Dimensions (mm)   | Domaine     | Catégorie         | Sous-catégorie               | Identification      | Description  | dat. Absolue | Stab./restau | Etat de conservation |
|------|-----|------------------|-------------|----|-----|-----------|-------------------|-------------|-------------------|------------------------------|---------------------|--|--------------|--------------|----------------------|
| 4001 | 3   |                  | Scorie      | 1  | 1   | 538       |                   | Production  | Artisanat du fer  | Déchet lié au travail du fer | scorie              | Culot conservé à 80%, de type SGD 1, Trace de sole, forme ovale et bombée  |              |              |                      |
| 4003 | 12  | iso post-fouille | Fer         | 1  | 1   | 9,1       | L : 59 ; S° : 5   | Personnel   | Parure            | Fibule                       | Fibule              | Fibule de schéma LT C. Ressort dont il ne subsiste qu'un fragment de spire, arc filiforme à profil semi-circulaire dont le sommet est décoré d'une perle qui retient le pied, en grande partie disparu. Ardillon manquant. | LT C2/D1     | Stab/Restau  | Lacunaire            |
| 4003 | 1   | Isolat           | Fer         | 5  | 1   | 7         | L.cons : 51       | Personnel   | Parure            | Fibule                       | Fibule              | Fibule à ressort (2 spires conservées) très corrodée. Arc filiforme, fibule de schéma LT C ?   | LTC/D        | Restau       | Lacunaire            |
| 4003 | 2   | Isolat           | Fer         | 1  | 1   | 6,4       | L : 58            | Personnel   | Parure            | Fibule                       | Fibule              | Fragment de fibule à ressort. Présence de 2 spires et de l'ardillon.   | LTC/D        | Restau       | Lacunaire            |
| 4003 | 4   | Isolat           | Fer         | 1  | 1   | 2,2       | L : 55            | Personnel   | Parure            | Fibule                       | Fibule              | Fragment de fibule à ressort, présence de 2 spires et de l'ardillon.   | LTC/D        | Restau       | Lacunaire            |
| 4003 | 3   | Isolat           | Roche noire | 4  | 1   | 1,8       | D : 19 ; S : 5    | Personnel   | Parure            | Parure annulaire             | Perte               | Anneau de section circulaire.  |              |              | Lacunaire            |
| 4003 | 5   | Isolat           | Fer         | 1  | 1   | 11        | L : 74 ; S° : 8x6 | Inclassable | Divers polyvalent |                              | Barrette de renfort | Barre de section carrée dont une extrémité en anneau est repliée vers l'intérieur. L'autre est cassée.   |              |              | Lacunaire            |
| 4003 | 10  | iso post-fouille | Fer         | 1  | 1   | 11,6      | L : 67 ; S° : 5   | Inclassable | Divers polyvalent |                              | Barrette de renfort | Barre de section carrée dont une extrémité en anneau est repliée vers l'intérieur. L'autre est cassée.   |              |              | Lacunaire            |
| 4003 | 11  | iso post-fouille | Fer         | 1  | 1   | 17,4      | L : 85 ; S° : 8x5 | Production  | Artisanat du fer  | Fabricat fer                 | Fabricat de tige    | Tige coudée dont la section rectangulaire change d'orientation au niveau du coude. Le segment le plus long est incurvé. Sa section présente également une incurvation sur l'un des côtés.                                  | Stab         | Stab         | Indéterminé          |
| 4003 |     | Vrac             | Fer         | 1  | 1   | 2,3       | L : 30 ; S° : 7x2 | Production  | Artisanat du fer  | Chute liée au travail du fer | Barre               | Petite barre de section rectangulaire, tordue à une extrémité. Possible fragment de barrette de renfort.   |              |              | Lacunaire            |

| UF   | Iso | Type iso | Matériau    | NR | NMI | Masse (g) | Dimensions (mm)                                  | Domaine               | Catégorie                             | Sous-catégorie                | Identification  | Description   | dat. Absolue | Stab./restau | Etat de conservation |
|------|-----|----------|-------------|----|-----|-----------|--|-----------------------|---------------------------------------|-------------------------------|-----------------|---|--------------|--------------|----------------------|
| 4003 |     | Vrac     | Fer         | 1  | 1   | 7         | L : 42 ; L ss tête : 37 ; S° : 8x6 ; D tête : 16 | Mobilier / Immobilier | Élément d'assemblage et de serrurerie |                               | Clou            | Clou sans pointe à tige de section rectangulaire et à tête circulaire. Coude à 19 mm.   |              | Stab         | Lacunaire            |
| 4003 |     | Vrac     | Fer         | 1  | 1   | 4,1       | L : 98 ; S° : 3                                  | Inclassable           | Indéterminé                           | Indéterminé tige              | Tige            | Tige de section circulaire cassée à chaque extrémité. Légèrement coudée à l'une des extrémités.   |              | Stab         | Lacunaire            |
| 4003 |     | Vrac     | Fer         | 1  | 1   | 20        | L : 96 ; S° : 8x6                                | Inclassable           | Indéterminé                           | Indéterminé tige              | Tige            | Tige de section rectangulaire, légèrement incurvée. Cassée à une extrémité et épointée à l'autre. Probable tige de clou.                  |              | Stab         | Lacunaire            |
| 4003 |     |          | Scorie      | 1  | 1   | 16        |  | Production            | Artisanat du fer                      | Déchet lié au travail du fer  | scorie          | Fragment de scorie SFR  |              |              |                      |
| 4013 | 3   | Isolat   | Fer         | 4  | 1   | 24,4      | L : 92   | Personnel             | Parure                                | Fibule                        | Fibule          | Fibule de schéma LT C, ressort à 2x5 (?) spires et corde externe, arc filiforme décoré par une perle, pied cassé. Quasi complète.         | LTC2         | Restau       | Quasi complet        |
| 4013 | 6   | Isolat   | Fer         | 1  | 1   | 3,6       | L : 81   | Personnel             | Parure                                | Fibule                        | Fibule          | Fragment de fibule à ressort, présence de 2 spires et de l'ardillon.  | LTC/D        | Restau       | Lacunaire            |
| 4013 | 7   | Isolat   | Fer         | 1  | 1   | 12        | L : 98   | Production            | Artisanat                             | Outil lié au travail du métal | Lime            | Soie de section carrée, prolongée par le corps de la lime qui s'aplatit pour prendre une section rectangulaire ; cassée aux 2 extrémités. |              | Restau       | Quasi complet        |
| 4013 | 1   | Isolat   | Terre cuite | 1  | 1   | 15,5      | L : 34 ; S : 21                                  | Production            | Agro-pastorale                        | Chasse                        | Balle de fronde | Balle modelée oblongue.   |              |              | Complet              |
| 4013 | 2   | Isolat   | Fer         | 1  | 1   | 20,2      | L : 113 ; l : 12                                 | Inclassable           | Indéterminé                           | Indéterminé plat              | Bande plate     | Bande incurvée de section rectangulaire.  |              |              | Lacunaire            |
| 4013 | 5   | Isolat   | Fer         | 1  | 1   | 9,9       | L : 52 ; l : 11 ; E : 5                          | Production            | Artisanat du fer                      | Chute liée au travail du fer  | Barre           | Barre de section quadrangulaire cassée aux deux extrémités. L'une d'elles est légèrement incurvée.  |              | Stab         | Lacunaire            |
| 4013 |     |          | Scorie      | 9  | 3   | 98        |  | Production            | Artisanat du fer                      | Déchet lié au travail du fer  | scorie          | Fragment de paroi   |              |              |                      |

ANNEXE 10 - INVENTAIRE DU MOBILIER MÉTALLIQUE ET DU «PETIT MOBILIER» (2022)

| UF   | Iso | Type iso | Matériau | NR | NMI | Masse (g) | Dimensions (mm)                                 | Domaine                 | Catégorie                     | Sous-catégorie               | Identification                | Description   | dat. Absolue | Stab./restau | Etat de conservation |               |
|------|-----|----------|----------|----|-----|-----------|---|-------------------------|-------------------------------|------------------------------|-------------------------------|---|--------------|--------------|----------------------|---------------|
| 4013 |     |          | Scorie   | 1  | 1   | 48        |   | Production              | Artisanat du fer              | Déchet lié au travail du fer | scorie                        | Culot multiple conservé à 20%, type SGD et SAS, forme indéterminé   |              |              |                      |               |
| 4013 |     |          | Scorie   | 4  | 1   | 15        |   | Production              | Artisanat du fer              | Déchet lié au travail du fer | scorie                        | Fragment de scorie SFR/SAS  |              |              |                      |               |
| 4013 | 4   |          | Scorie   | 1  | 1   | 128       |   | Production              | Artisanat du fer              | Déchet lié au travail du fer | scorie                        | Fragment de culot de type SFR   |              |              |                      |               |
| 4015 | 1   | Isolat   | Fer      | 1  | 1   | 5,7       | L : 112   | Personnel               | Parure                        | Fibule                       | Fibule                        | Grand ardillon de fibule.   | LTC/D        | Stab         | Lacunaire            |               |
| 4015 | 2   | Isolat   | Fer      | 1  | 1   | 19,6      | L : 62 ; S° : 7x7                               | Inclassable             | Divers polyvalent             |                              | Barrette de renfort           | Barre de section carrée dont les extrémités en anneaux sont repliées vers l'intérieur.  |              |              |                      | Complet       |
| 4015 |     | Vrac     | Fer      | 1  | 1   | 3,5       | L : 92 ; S° : 3                                 | Inclassable             | Indéterminé                   | Indéterminé tige             | Tige                          | Tige de section circulaire cassée à chaque extrémité. Légèrement coudée à l'une des extrémités.   |              | Stab         |                      | Lacunaire     |
| 4019 | 4   | Isolat   | AC       | 1  | 1   | 0,4       | L. cons. : 27                                   | Personnel               | Parure                        | Fibule                       | Fibule                        | Pied de fibule de Nauheim : pied trapézoïdal ajouré, cassé et tordu, départ de l'arc.   |              |              |                      | Lacunaire     |
| 4019 | 6   | Isolat   | Fer      | 1  | 1   | 21,1      | L : 47 ; L patte : 25                           | Domestique / Production | Activité culinaire / Stockage | Récipient                    | Attache d'anse de seau/situle | Attache en arc de cercle munie de pattes oblongues rivetées et repliées vers l'intérieur. Un rivet replié est encore présent dans l'une des pattes.   | LTC/D        | Stab         |                      | Complet       |
| 4019 | 9   | Isolat   | Fer      | 1  | 1   | 15,5      | L : 110   | Production              | Artisanat du fer              | Chute liée au travail du fer | Barre à douille               | Barre rectangulaire repliée à une extrémité pour former une soie de préhension de section carrée avec une légère torsion à son extrémité. L'objet forme un léger coude entre la barre et la soie. |              | Marion       |                      | Complet       |
| 4019 | 11  | Isolat   | Fer      | 1  | 1   | 64,4      | L : 167 ; L ss tête : 163 ; S : 10 ; tête 20x19 | Immobilier              | Gros-œuvre                    |                              | Clou                          | Clou massif sans pointe avec une tête carrée de section quadrangulaire.   |              |              |                      | Quasi complet |

ANNEXE 10- INVENTAIRE DU MOBILIER MÉTALLIQUE ET DU «PETIT MOBILIER» (2022)

| UF   | Iso | Type iso | Matériau | NR | NMI | Masse (g) | Dimensions (mm)                    | Domaine               | Catégorie         | Sous-catégorie                 | Identification          | Description  | dat. Absolue   | Stab./restau | Etat de conservation |           |           |
|------|-----|----------|----------|----|-----|-----------|------------------------------------|-----------------------|-------------------|--------------------------------|-------------------------|--|--|--------------|----------------------|-----------|-----------|
| 4019 | 12  | Isolat   | Fer      | 1  | 1   | 12,2      | L : 55 ; S : 10x6                  | Immobilier            | Divers polyvalent |                                | Crochet                 | Crochet en S de section rectangulaire doublement coudé, enchâssé dans du bois d'une épaisseur de 13 mm.      |  |              | Complet              |           |           |
| 4019 | 5   | Isolat   | Fer      | 4  | 1   | 43        | L : 65 ; l : 44 ; E : 3            | Inclassable           | Indéterminé       | Indéterminé plaque             | Plaque et contre plaque |  | Stab   |              | Lacunaire            |           |           |
| 4019 | 7   | Isolat   | Fer      | 1  | 1   | 14        | L : 60 ; S° : 8x8                  | Production            | Artisanat du fer  | Chute liée au travail du fer   | Barre                   | Barre de section carrée.   |  |              |                      | Lacunaire |           |
| 4019 | 8   | Isolat   | Fer      | 1  | 1   | 25,3      | L : 70 ; S° : 10x9                 | Production            | Artisanat du fer  | Chute liée au travail du fer   | Barre                   | Barre de section carrée, cassée aux deux extrémités.   |  | Stab         |                      | Lacunaire |           |
| 4019 | 10  | Isolat   | Fer      | 1  | 1   | 23,7      | L : 135 ; l : 17                   | Production            | Artisanat du fer  | Fabricat fer                   | Fabricat de lame        | Barre à section triangulaire laissant entrevoir la forme d'une lame. La barre est cassée à chaque extrémité. |  | Oui          |                      | Lacunaire |           |
| 4019 | 13  | Isolat   | Fer      | 1  | 1   | 6,4       | L : 47 ; S° : 5,5                  | Mobilier / Immobilier | Divers polyvalent |                                | Clou                    | Tige de clou sans tête.  |  |              |                      | Lacunaire |           |
| 4019 | 14  | Isolat   | Fer      | 1  | 1   | 28,9      | L : 83 ; L ss tête : 80 ; S° : 8   | Immobilier            | Gros-oeuvre       |                                |                         | Clou   | Clou sans pointe à tige de section quadrangulaire et à tête carrée. Épaississement important sur une partie de la tige. Matière en surface indéterminée. | Stab         |                      | Lacunaire |           |
| 4019 |     | Vrac     | Fer      | 1  | 1   | 10,5      | L : 43 ; S° : 9x7                  | Production            | Artisanat du fer  | Chute liée au travail du fer   | Barre                   | Barre de section quadrangulaire dont les extrémités cassées semblent se replier vers l'intérieur.            |  |              |                      | Lacunaire |           |
| 4019 |     | Vrac     | Fer      | 1  | 1   | 13,7      | L : 24 ; S° : 13x11                | Production            | Artisanat du fer  | Chute liée au travail du fer   | Barre                   | Barre de section quadrangulaire cassée à une extrémité et coupée à l'autre.                                  |  |              |                      | Lacunaire |           |
| 4019 |     | Vrac     | Fer      | 1  | 1   | 24,4      | L cons : 52 ; S° : 9 ; D tête : 23 | Immobilier            | Gros-oeuvre       |                                |                         | Clou   | Clou sans pointe à tige de section carrée à tête carrée.   |              |                      |           | Lacunaire |
| 4019 |     |          | Scorie   | 1  | 1   | 23        |                                    | Production            | Artisanat du fer  | Déchets liés au travail du fer | scorie                  | fragment de culot SFR  |  |              |                      |           |           |



| UF   | Iso | Type iso         | Matériau | NR | NMI | Masse (g) | Dimensions (mm)   | Domaine                 | Catégorie                          | Sous-catégorie               | Identification     | Description   | dat. Absolue | Stab./restau | Etat de conservation |
|------|-----|------------------|----------|----|-----|-----------|---|-------------------------|------------------------------------|------------------------------|--------------------|---|--------------|--------------|----------------------|
| 4021 | 2   | Isolat           | Fer      | 5  | 1   | 44        | L : 127 ; l : 23 ; S° : soie : 5x6                          | Domestique / Production | Activité culinaire ou de boucherie | Couteau                      | Couteau            | Couteau à soie époincée, peut-être renforcée par un rivet à la jonction entre la soie et la lame. Lame à dos et fil droit. L'extrémité de la soie est manquante, la pointe de la lame est cassée, mais ne recolle pas directement avec le reste de la lame. |              | Stab         | Quasi complet        |
| 4021 | 3   | Isolat           | AC       | 1  | 1   | 1,1       | D : 7 ; S : 3 ; E : 2                                       | Inclassable             | Divers polyvalent                  |                              | Anneau             | Anneau fermé plat.  |              |              | Complet              |
| 4031 | 2   | Isolat           | Fer      | 2  | 1   | 15,1      | L. cons. : 46   | Personnel               | Parure                             | Fibule                       | Fibule             | Fibule de schéma LT C, ressort à 2x5 (?) spires et corde externe, arc filiforme tendu de section circulaire, pied manquant, ardil lon cassé.  | LTC2/D1      | Restau       | Lacunaire            |
| 4031 | 5   | Isolat           | Fer      | 3  | 1   | 26,5      | L : 100 ; l : 19 ; S : 15                                   | Inclassable             | Indéterminé                        | Objet indéterminé            | Objet indéterminé  | 3 fragments d'un long objet présentant une face incurvée, une section plus ou moins triangulaire et la face opposée plus informe avec une sorte d'arête dorsale.  |              | Stab         | Lacunaire            |
| 4031 | 1   | Isolat           | Fer      | 1  | 1   | 61        | L : 90 ; l : 26 ; E : 3                                     | Inclassable             | Indéterminé                        | Indéterminé plaque           | Plaque perforée    | Plaque rectangulaire légèrement incurvée avec un bord long droit, l'autre biseauté sur lequel apparaît une perforation. L'un des bords court est droit et l'autre est cassé.  |              | Stab         | Lacunaire            |
| 4031 | 3   | Isolat           | Fer      | 1  | 1   | 6,9       | L : 71 ; S° : 5x5   | Production              | Artisanat du fer                   | Chute liée au travail du fer | Tige               | Tige en cours de martelage qui présente une section quadrangulaire qui s'aplatit à une extrémité là où le métal a probablement cassé.   |              | Stab         | Lacunaire            |
| 4031 | 4   | Isolat           | Fer      | 1  | 1   | 7,8       | L : 77 ; S° : 6x5   | Production              | Artisanat du fer                   | Chute liée au travail du fer | Tige               | Tige de section quadrangulaire avec une extrémité ovale, l'autre qui s'amincit et qui est cassé.  |              |              | Lacunaire            |
| 4031 |     | Vrac             | Fer      | 5  | 1   | 6,7       | L : 54 ; S° : 10x2  | Inclassable             | Indéterminé                        | Indéterminé tôle             | Tôle               | Bande de tôle étroite et légèrement incurvée. 3 fragments recollent.  |              |              | Lacunaire            |
| 4033 | 4   | Iso post-fouille | Fer      | 1  | 1   | 3,6       | L cons : 36 ; l lame : 12 ; E : 2 ; l soie : 5 ; E soie : 4 | Production              | Artisanat du fer                   | Fabricat fer                 | Fabricat de lame ? | Fragment de lame qui semble en cours de travail avec un dos et un fil droit et une soie de section carrée. Les deux extrémités sont cassées.  |              |              | Lacunaire            |

| UF   | Iso | Type iso         | Matériau | NR | NMI | Masse (g) | Dimensions (mm)                                   | Domaine               | Catégorie         | Sous-catégorie               | Identification      | Description   | dat. Absolue | Stab./restau | Etat de conservation |
|------|-----|------------------|----------|----|-----|-----------|---|-----------------------|-------------------|------------------------------|---------------------|---|--------------|--------------|----------------------|
| 4033 | 5   | Iso post-fouille | Fer      | 1  | 1   | 14,5      | L : 82 ; S° : 8x6                                 | Production            | Artisanat du fer  | Chute liée au travail du fer | Tige                | Tige en court de martelage qui présente une section quadrangulaire qui s'aplatit à une extrémité là où le métal a probablement cassé. |              |              | Lacunaire            |
| 4033 | 6   | Iso post-fouille | Fer      | 1  | 1   | 2,7       | L : 33 ; S° : 8x2                                 | Production            | Artisanat du fer  | Chute liée au travail du fer | Barre               | Barre de section rectangulaire cassée aux deux extrémités.  |              |              | Lacunaire            |
| 4033 |     |                  | Scorie   | 1  | 1   | 32        |   | Production            | Artisanat du fer  | Déchet lié au travail du fer | scorie              | fragment de culot SFR   |              |              |                      |
| 4034 | 2   | Isolat           | Fer      | 1  | 1   | 11,3      | L : 74 ; l : 6 ; E : 4                            | Production            | Artisanat du fer  | Chute liée au travail du fer | Barre               | Barre de section quadrangulaire incurvée à angle droit. Les deux extrémités sont cassées.   |              |              | Lacunaire            |
| 4036 | 2   | Isolat           | Fer      | 1  | 1   | 2,2       | L : 40 ; S° : 5x2                                 | Inclassable           | Divers polyvalent |                              | Barrette de renfort | Barre de section rectangulaire dont une extrémité est repliée vers l'inférieur, l'autre est cassée.                                   |              |              | Quasi complet        |
| 4040 |     | Vrac             | Fer      | 2  | 1   | 15        | L : 35 ; S° : 11x8 ; L : 28 ; S° : 11x8           | Production            | Artisanat du fer  | Chute liée au travail du fer | Barre               | 2 fragments de barre de section quadrangulaire qui ne recollent pas   |              |              | Lacunaire            |
| 4043 |     |                  | Scorie   | 1  | 1   | 99        |   | Production            | Artisanat du fer  | Déchet lié au travail du fer | scorie              | Culot conservé à 90%, type SGD 1, forme ovale plano-convexe   |              |              |                      |
| 4044 | 1   | Isolat           | Fer      | 2  | 1   | 4,4       | L : 55 ; S° : 5                                   | Inclassable           | Indéterminé       | Indéterminé tige             | Tige                | Très corrodée de section circulaire.  |              | Stab         | Lacunaire            |
| 4048 | 5   | Isolat           | Fer      | 1  | 1   | 6,5       | L : 56 ; L ss tête : 51 ; S° : 5 ; D tête : 11x13 | Mobilier / Immobilier | Divers polyvalent |                              | Clou                | Clou sans pointe à tige de section carrée et à tête rectangulaire.  |              |              | Quasi complet        |
| 4048 | 1   | Isolat           | Fer      | 1  | 1   | 12,2      | L : 90 ; S : 7                                    | Immobilier            | Divers polyvalent |                              | Piton               | Piton à tête enroulée.  |              | Stab         | Complet              |
| 4048 | 2   | Isolat           | Fer      | 1  | 1   | 2,8       | L : 47 ; l : 7 ; Ep : 1,5                         | Inclassable           | Divers polyvalent |                              | Barrette de renfort | Barre de section rectangulaire dont une extrémité est repliée vers l'inférieur, l'autre est cassée.                                   |              |              | Lacunaire            |

ANNEXE 10 - INVENTAIRE DU MOBILIER MÉTALLIQUE ET DU «PETIT MOBILIER» (2022)

| UF        | Iso | Type iso | Matériau | NR | NMI | Masse (g) | Dimensions (mm)           | Domaine     | Catégorie               | Sous-catégorie                  | Identification     | Description  | dat. Absolue | Stab./restau | Etat de conservation |
|-----------|-----|----------|----------|----|-----|-----------|---------------------------|-------------|-------------------------|---------------------------------|--------------------|--|--------------|--------------|----------------------|
| 4048      | 3   | Isolat   | Fer      | 1  | 1   | 1,6       | L : 42 ; l : 4 ;<br>E : 3 | Inclassable | Indéterminé             | Indéterminé tige                | Tige               | Tige de section sub rectangulaire cassée aux deux extrémités.  |              |              | Lacunaire            |
| 4048      | 4   | Isolat   | Fer      | 1  | 1   | 2,4       | L : 61 ; S° : 3           | Personnel   | Parure                  | Fibule                          | Ardillon de fibule | Tige de section circulaire qui s'amincit à une extrémité. Les deux extrémités sont cassées. Ardillon de fibule?  | Stab         |              | Lacunaire            |
| 4048      |     |          | Scorie   | 4  | 1   | 55        |                           | Production  | Artisanat du fer        | Déchet lié au travail du fer    | scorie             | Fragment de scorie SFR   |              |              |                      |
| 4048      |     |          | Scorie   | 1  | 1   | 92        |                           | Production  | Artisanat du fer        | Déchet lié au travail du fer    | scorie             | Culot multiple conservé à 50%, type SGD et SAS, trace de sole, forme ovale et bombé  |              |              |                      |
| 4048      |     |          | Scorie   | 1  | 1   | 5         |                           | Production  | Artisanat du fer        | Déchet lié au travail du fer    | scorie             | Scorie informe   |              |              |                      |
| 4048      |     |          | Scorie   | 1  | 1   | 35        |                           | Production  | Artisanat du fer        | Déchet lié au travail du fer    | scorie             | Fragment de paroi  |              |              |                      |
| 4049      |     |          | Scorie   | 1  | 1   | 61        |                           | Production  | Artisanat du fer        | Déchet lié au travail du fer    | scorie             | fragment de culot SGD  |              |              |                      |
| 4050      | 1   | Isolat   | Fer      | 1  | 1   | 2,2       | L : 68 ; l : 8 ;<br>E : 3 | Production  | Artisanat du textile    | Outil lié au travail du textile | Aiguille à chas    | Aiguille à chas : tige de section circulaire dont la pointe est cassée. L'autre extrémité s'aplatit et s'élargit pour former le chas, la tige aplatie se prolonge au-delà du chas. Son extrémité est cassée. | Stab         |              | Lacunaire            |
| 4070      | 1   | Isolat   | Fer      | 1  | 1   | 4,7       | L : 68 ; S° : 5x5         | Production  | Activité de subsistance | Pêche                           | Hameçon            | Hameçon à tige filiforme de section carrée dont le dard est cassé, la partie supérieure est simplement repliée, elle est cassée.   |              |              | Quasi complet        |
| In-défini |     |          | Scorie   | 2  | 2   | 38        |                           | Production  | Artisanat du fer        | Déchet lié au travail du fer    | scorie             | Fragment de scorie SFR   |              |              |                      |

ANNEXE 11 - INVENTAIRE DU MOBILIER LITHIQUE (2022)

| an-née | UF           | catégorie           | matériau                | description  | provenance     | Nb. | pds.  | datation       | fonction st.                                 |
|--------|--------------|---------------------|-------------------------|--|----------------|-----|-------|----------------|--|
| 2022   | UF 3003      | catillus            | grès siliceux           | grossier à rares feldspaths blancs                   |                | 1   | 0,388 | Fin Ier s. ap. | mare   |
| 2022   | UF 3023      | meule indéterminée  | grès siliceux           | grossier   |                | 1   | 0,751 | La Tène D2b    | puits  |
| 2022   | UF 3023      | outil de percussion | grès quartzitique       | moyen à grossier gris                                |                | 1   | 0,707 | La Tène D2b    | puits  |
| 2022   | UF 3023      | outil de percussion | quartzite               | grise  |                | 1   | 0,158 | La Tène D2b    | puits  |
| 2022   | UF 3023      | aiguiseur           | grès micacé             | fin blond  | Rhétien        | 2   | 0,272 | La Tène D2b    | puits  |
| 2022   | UF 3023      | meule indéterminée  | grès feldspathique      | grossier à nombreux petits feldspaths roses          |                | 1   | 0,514 | La Tène D2b    | puits  |
| 2022   | UF 3023      | meule indéterminée  | grès siliceux           | grossier   |                | 1   | 3,225 | La Tène D2b    | puits  |
| 2022   | UF 4013      | débris              | schiste micacé          | argenté  |                | 1   | 0,24  | La Tène C2/D1a | sablère ? Drain ?                            |
| 2022   | UF 4019      | débris              | schiste micacé          | argenté  |                | 1   | 0,00  | La Tène D1     | comblement superficielle. Passe artificielle |
| 2022   | UF 4019      | mortier             | grès siliceux           | grossier gris  |                | 1   |       | La Tène D1     | comblement superficielle. Passe artificielle |
| 2022   | UF 4029      | débris              | schiste micacé          | argenté  |                | 1   | 0,05  | La Tène D1     | structure indet. Soubassement ?              |
| 2022   | UF 4031      | débris              | schiste micacé          | argenté  |                | 1   | 0,19  | La Tène D1     | structure indet. Soubassement ?              |
| 2022   | UF 4033      | débris              | schiste micacé          | argenté  |                | 1   | 0,12  | La Tène C2/D1a | sablère ? Drain ?                            |
| 2022   | UF 4033      | débris              | schiste micacé          | argenté  |                | 1   | 0,45  | La Tène C2/D1a | sablère ? Drain ?                            |
| 2022   | UF 4034      | débris              | grès feldspathique      | grossier à nombreux petits feldspaths roses anguleux |                | 2   | 0,44  | La Tène D1     | structure indet. Soubassement ?              |
| 2022   | UF 4035      | débris              | grès feldspathique      | grossier à nombreux petits feldspaths roses anguleux |                | 1   | 0,04  | La Tène D1     | structure indet. Soubassement ?              |
| 2022   | UF 4035      | débris              | schiste micacé          | argenté  |                | 1   | 0,04  | La Tène D1     | structure indet. Soubassement ?              |
| 2022   | UF 4044, 3/4 | catillus            | basalte gris vacuolaire | à nombreuses petites inclusions ferrugineuses        | Massif Central | 1   | 0,55  | La Tène D1     | structure indet. Soubassement ?              |

| an-née | UF           | catégorie          | matériau                | description                                   | provenance     | Nb. | pds. | datation       | fonction st.                    |
|--------|--------------|--------------------|-------------------------|---|----------------|-----|------|----------------|---------------------------------|
| 2022   | UF 4044, 3/4 | débris             | basalte gris vacuolaire |   | Massif Central | 1   | 0,08 | La Tène D1     | structure indet. Soubassement ? |
| 2022   | UF 4044, 3/4 | catillus           | grès siliceux           | grossier à nombreux petits feldspaths blancs  | Fangy          | 1   | 0,52 | La Tène D1     | structure indet. Soubassement ? |
| 2022   | UF 4049, 2/4 | meule indéterminée | basalte gris vacuolaire | à nombreuses petites inclusions ferrugineuses | Massif Central | 1   | 0,06 | La Tène D1     | structure indet. Soubassement ? |
| 2022   | UF 4061, /4  | p à main           | grès micacé             | fin ocre                                      |                | 3   | 0,33 | La Tène C2/D1a | sablère ? Drain ?               |
| 2022   | UF 4066      | débris             | grès siliceux           | moyen gris rosé à muscovites                  |                | 1   | 0,94 | La Tène D1     | structure indet. Soubassement ? |
| 2022   | UF 4066      | catillus           | basalte gris vacuolaire | à nombreuses petites inclusions ferrugineuses | Massif Central | 3   | 4,78 | La Tène D1     | structure indet. Soubassement ? |
| 2022   | UF 4066      | débris             | grès siliceux           | moyen gris rosé à muscovites                  |                | 1   | 0,94 | La Tène D1     | structure indet. Soubassement ? |
| 2022   | UF 4070      | débris             | grès siliceux           | grossier à petits feldspaths roses anguleux   |                | 1   | 0,01 | La Tène D1     | structure indet. Soubassement ? |